

نشریه علمی - پژوهشی پژوهش‌های ذرایعی ایران

جلد ۱۷ شماره ۱
سال ۱۳۹۸

(شماره پیاپی: ۵۳)

شماره: ۱۴۷۳-۲۰۰۸

عنوان مقالات

| | |
|---|---|
| ۱ علیرضا برجست - احمد ظاهري - حميد رضا حمادي - سکاندر زند | اثر کم آبیاری و تراکم یولاف وحشی (<i>Avena ludoviciana</i>) بر عملکرد و اجزای عملکرد گندم |
| ۱۵ علیرضا کوچکی - مهدی نصیری محلاتی | پاش عملکرد گندم و چند درصد در استان خراسان: ۲ بوآورد خلاط عملکرد |
| ۲۹ فاطمه عباس بور - حميد رضا حمادي - يروز رضوانی گندم - حميد عابدخت - جواد شاهنگ - عادل یگانه بابایی | تأثیر بیوجار بر حاصلخیزی خاک و کارآبی مصرف آب در سیاهداده (<i>Nigella sativa L.</i>) تحت شرایط نتش خنکی |
| ۵۳ عباس فروضی آیینه ده - جاسمین بیانی - طلبی رامینی کاربری کنی - قربانعلی درسام | بررسی خصوصیات فیزیولوژیک مؤثر بر بهبود عملکرد ارقام کلزا |
| ۷۵ دازه صادقزاده هری | به گزینی ژنتیک‌های نخود برای تحمل به سرما در شرایط کنتrol شده |
| ۸۳ هرام مسعودی | از زیانی خصوصیات ریشه و عملکرد دانه ارقام گندم تحت تأثیر باکتری‌های حل کننده فستات و قارچ میکوریزا در شرایط دیم |
| ۹۹ هرام مسعودی | رژیم نامری - مهرداد براري - سید جواد زارع - کاظم خاورازی - زهراء طهماسبی از زیانی رابطه میان عملکرد دانه و درصد روشن با برخی از صفات بهم زرایی در کنجد بدوسیله تجزیه علیت و تجزیه به موقوفه‌های اصلی |
| ۱۱۱ خدیجه علزاده - اساعیل رضانی - جهانه رضا نیزی - سید محمود ناظری | از زیانی تحمل به نتش خنکی دوره رشد را بشی در برخی از ژنتیک‌های گندم (<i>Triticum aestivum L.</i>) با استفاده از ناخص‌های تحمل و حساسیت به نتش خنکی |
| ۱۲۲ حسن برین | و حیدرحسینی ویجیه - محمد رضا داداشی - سید محمود ناظری الف) کاربرد تلفیقی ریزو-باکتری‌های محرک رشد و قارچ میکوریزا در کشت مخلوط بزرک (<i>Linum usitatissimum L.</i>) و باقلا (<i>Vicia faba L.</i>) بر خصوصیات رشدی و عملکرد دانه |
| ۱۴۱ حسن برین | شبیه‌سازی اثرات تغییر اقلیم بر رشد و عملکرد ذرت (<i>Zea mays</i>) تحت شرایط کم آبیاری در دشت مغان |
| ۱۵۷ حسن ابراهیمی | تأثیر محلول یاشی سایسیلیک اسید بر کارآبی مصرف آب در جو در شرایط قطع آبیاری |
| ۱۶۹ مسد فرهاد صابر عینی | بررسی تأثیر تغییر اقلیم در آینده فردیک بر تولید گندم آبی منطقه تربت جام: مطالعه موردی مسد فرهاد صابر عینی - حسین ستری نصر آبادی - محمد دوستخواه - محمد |

نشریه پژوهش‌های زراعی ایران

«نشریه علمی - پژوهشی قطب علمی گیاهان زراعی ویژه»

با شماره ثبت ۱۲۴/۷۸۵۷ از وزارت فرهنگ و ارشاد اسلامی و
۸۲/۵/۲۷

درجه علمی - پژوهشی شماره ۳/۱۱/۷۴۵۰۹ از وزارت علوم، تحقیقات و فناوری
۸۹/۱۰/۲۱

سال ۱۳۹۸

شماره ۱

جلد ۱۷

| | |
|--------------|---------------------|
| صاحب امتیاز: | دانشگاه فردوسی مشهد |
| مدیر مسئول: | پرویز رضوانی مقدم |
| سردیبیر: | حمیدرضا خزاعی |

اعضای هیئت تحریریه:

| | |
|---|------------------------|
| استاد - فیزیولوژی گیاهان زراعی (دانشگاه شیراز) | یحیی امام |
| استاد - ژنتیک و اصلاح نباتات (دانشگاه فردوسی مشهد) | عبد الرحیم باقری |
| استاد - اکولوژی گیاهان زراعی (دانشگاه بیرجند) | محمدعلی بهدادی |
| استاد - مدل سازی سیستم های کشاورزی (دانشگاه فردوسی مشهد) | محمد بنایان اول |
| دانشیار - فیزیولوژی گیاهان زراعی (دانشگاه بیرجند) | مجید جامی الاحمدی |
| استاد - فیزیولوژی گیاهان زراعی (دانشگاه فردوسی مشهد) | حمیدرضا خزاعی |
| استاد - فیزیولوژی گیاهان زراعی (دانشگاه تهران) | حمید رحیمیان مشهدی |
| دانشیار - فیزیولوژی گیاهان زراعی (دانشگاه بیرجند) | غلامرضا زمانی |
| استاد - اکولوژی گیاهان زراعی (مرکز تحقیقات کشاورزی و منابع طبیعی خراسان رضوی) | احمد زارع فیض آبادی |
| استاد - ژنتیک و اصلاح نباتات (دانشگاه فردوسی مشهد) | فرج الله شهریاری احمدی |
| استاد - فیزیولوژی گیاهان زراعی (دانشگاه فردوسی مشهد) | محمد کافی |
| استاد - فیزیولوژی گیاهان زراعی (دانشگاه فردوسی مشهد) | احمد نظامی |
| استاد - اکولوژی گیاهان زراعی (دانشگاه تهران) | داریوش مظاہری |

ناشر: انتشارات دانشگاه فردوسی مشهد

چاپ: چاپخانه دانشگاه فردوسی مشهد

شمارگان: ۲۰ نسخه

نشانی: مشهد، دانشگاه فردوسی مشهد، دانشکده کشاورزی، دیرخانه نشریات علمی، نشریه پژوهش‌های زراعی ایران صندوق پستی ۹۱۷۷۵-۱۱۶۳

نماهی: ۳۸۷۸۷۴۳۰

پست الکترونیک: cesc@um.ac.ir

مقالات این شماره در سایت <https://jcesc.um.ac.ir> به صورت مقاله کامل نمایه شده است.

این نشریه در پایگاه‌های زیر نمایه می‌شود:

پایگاه استنادی جهان اسلام (ISCI) پایگاه اطلاعات علمی جهاد دانشگاهی (SID) (MAGIRAN)

سُمَرَ الْجَنَاحِيَّةِ

مندرجات

- 1 اثر کم آبیاری و تراکم یولاف وحشی (*Avena ludoviciana*) بر عملکرد و اجزای عملکرد گندم علیرضا برجسته - احمد نظامی - حمیدرضا خزاعی - اسکندر زند
- 15 پایش عملکرد گندم و چغندرقند در استان خراسان: 2- برآورد خلاء عملکرد علیرضا کوچکی - مهدی نصیری محلاتی
- 39 تاثیر بیوچار بر حاصلخیزی حاک و کارایی مصرف آب در سیاهداده (*Nigella sativa L.*) تحت شرایط تنش خشکی فاطمه عباسپور - حمیدرضا اصغری - پرویز رضوانی مقدم - حمید عباسدخت - جواد شباهنگ - عادل بیگ بابایی
- 53 برسی خصوصیات فیزیولوژیک مؤثر بر بهبود عملکرد ارقام کلزا عباس فروغی آینه ده - عباس بیابانی - علی راحمی کاریزکی - قربانعلی رسام
- 75 به گزینی ژنتیپ‌های نخود برای تحمل به سرما در شرایط کنترل شده داود صادقزاده اهری
- 83 ارزیابی خصوصیات ریشه و عملکرد دانه ارقام گندم تحت تأثیر باکتری‌های حل‌کننده فسفات و قارچ میکوریزا در شرایط دیم رحیم ناصری - مهرشاد باری - محمدجواد زارع - کاظم خواوازی - زهرا طهماسبی
- 99 ارزیابی رابطه بین عملکرد دانه و درصد رونغن با برخی از صفات مهم زراعی در کنجد به وسیله تجزیه علیت و تجزیه به مؤلفه‌های اصلی بهرام مسعودی
- 111 ارزیابی تحمل به تنش خشکی دوره رشد زایشی در برخی از ژنتیپ‌های گندم (*Triticum aestivum L.*) با استفاده از شاخص‌های تحمل و حساسیت به تنش خشکی وحید بحرینی ویجویه - محمد رضا داداشی - سید محمود ناظری
- 123 اثر کاربرد تلفیقی دیزو باکتری‌های محرك رشد و قارچ میکوریزا در کشت مخلوط بزرگ (*Linum usitatissimum L.*) و باقلاء (*Vicia faba L.*) بر خصوصیات رشدی و عملکرد دانه خدیجه علیزاده - اسماعیل رضائی چیانه - رضا امیرنیا - محسن برین
- 141 شبیه‌سازی اثرات تغییر اقلیم بر رشد و عملکرد ذرت (*Zea mays*) تحت شرایط کم آبیاری در دشت مغان امیرعباس رستمی اجرلو - محمدرضا اصغری پور - احمد قبیری - مهدی جودی - محمود خرمی وفا
- 157 تاثیر محلول‌پاشی سالیسیلیک اسید بر کارایی مصرف آب در جو در شرایط قطع آبیاری عباس ابهری - اسماعیل قلی نژاد
- 169 برسی تاثیر تغییر اقلیم در آینده نزدیک بر تولید گندم آبی منطقه تربت جام: مطالعه موردی سید فرهاد صابرعلی - حسین نستری نصرآبادی - محمد دوستخواه احمدی



اثر کم آبیاری و تراکم یولاف وحشی (*Avena ludoviciana*) بر عملکرد و اجزای عملکرد گندم

علیرضا برجسته^۱، احمد نظامی^{۲*}، حمیدرضا خزاعی^۲، اسکندر زند^۳

تاریخ دریافت: ۱۳۹۵/۰۴/۲۳

تاریخ پذیرش: ۱۳۹۵/۱۱/۰۴

چکیده

با توجه به محدودیت منابع آب و تأثیر منفی کمبود آب و رقابت علف‌های هرز بر عملکرد گندم، بررسی خصوصیات گیاه گندم تحت تأثیر کمبود آب و رقابت علف هرز از اهمیت خاصی برخوردار است. آزمایش مزروعه‌ای به صورت کرت‌های خرد شده در قالب طرح بلوك کامل تصادفی به منظور بررسی تأثیر کم آبیاری (سه رژیم آبیاری مشتمل بر تأمین ۱۰۰، ۸۰ و ۶۰ درصد نیاز آبی گندم به عنوان عامل اصلی) و تراکم علف هرز یولاف وحشی (چهار تراکم یولاف شامل تراکم صفر، ۲۰، ۴۰ و ۸۰ بوته در متر مربع به عنوان عامل فرعی) در مرکز تحقیقات کشاورزی استان سمنان (شهرورد) انجام شد. نتایج نشان داد که اثر کم آبیاری و افزایش تراکم یولاف بر تعداد سنبله، تعداد دانه در سنبله، وزن هزار دانه، طول سنبله، ارتفاع بوته، عملکرد دانه، عملکرد بیولوژیک، شاخص برداشت و بهره‌وری آب معنی دارد. کاهش میزان آب مصرفی به ۶۰ درصد نیاز آبی به ترتیب کاهش ۳۸/۵۹ و ۱۱/۶۴ درصدی عملکرد دانه و بیولوژیک گندم در تراکم ۸۰ بوته یولاف در متر مربع را به دنبال داشت. افزایش تراکم یولاف تا ۲۰ بوته در متر مربع تأثیر معنی‌داری بر عملکرد دانه و بیولوژیک گندم نداشت در حالی که افزایش تراکم به ۸۰ بوته در متر مربع در رژیم کم آبیاری تأمین ۶۰ درصد نیاز آبی موجب کاهش ۵۲/۳ و ۲۶/۲ درصدی عملکرد دانه و بیولوژیک نسبت به شاهد (۱۰۰٪ نیاز آبی) و تراکم صفر یولاف شد. تعداد سنبله در واحد سطح محاسبه شده مثبت و معنی‌داری ($r=0.97$) با عملکرد داشت. همچنین نتایج نشان داد که کم آبیاری به میزان تأمین ۸۰ درصد نیاز آبی گندم علی‌رغم کاهش ۹ درصدی عملکرد دانه با صرفه‌جویی ۱۲ درصدی آب موجب افزایش تراکم به ۴۶ درصدی بهره‌وری آب (نسبت عملکرد دانه به آب مصرفی) نسبت به شرایط مطلوب رطوبتی شد در حالی که با کاهش میزان آب آبیاری به ۶۰ درصد نیاز آبی، بهره‌وری آب نسبت به شرایط مطلوب رطوبتی ۱۳/۶ درصد کاهش یافت. آزمایش حاضر نشان داد که امکان دارد کاهش میزان آب به ۸۰ درصد نیاز آبی در شرایط محدودیت منابع آبی بتواند ضمن صرفه‌جویی در مصرف آب به ثبات تولید نیز در این شرایط کمک نماید.

واژه‌های کلیدی: ارتفاع، بهره‌وری آب، تعداد سنبله، تنش خشکی، علف هرز

مقدمه

اختصاص دارد که بخش اعظمی از این اراضی در مناطق خشک و نیمه‌خشک قرار دارد. در این مناطق بروز تنش خشکی ناشی از کمبود آب سبب کاهش قابل ملاحظه عملکرد این محصولات زراعی می‌گردد (Wang *et al.*, 2003). در مناطقی که با کمبود آب مواجه هستند (مانند ایران) استفاده از نظامه‌های کم آبیاری با هدف افزایش کارایی مصرف آب و حصول عملکرد قابل قبول می‌تواند استراتژی مطلوبی برای دستیابی به تولید مناسب باشد. کم آبیاری یکی از راهکارهای بهینه‌سازی مصرف آب است که طی آن به گیاهان زراعی اجازه داده می‌شود تا مقداری تنش آبی را در طول فصل رشد تحمل کنند (Wang *et al.*, 2001). کم آبیاری ممکن است باعث کاهش عملکرد در واحد سطح شود، اما با افزایش بهره‌وری آب مصرفی در نهایت می‌تواند منجر به افزایش سطح زیر کشت و به حداکثر رساندن ظرفیت تولید محصولات زراعی در یک منطقه گردد. کنگ و همکاران (Kang *et al.*, 2002) گزارش کردند که کاهش ۲۰ درصدی آب آبیاری در مراحل رویشی گندم بهاره سبب کاهش

تنش خشکی و کم آبی، مهمترین عامل غیر زنده است که رشد و تولید گیاهان در جهان به ویژه در مناطق خشک و نیمه‌خشک را محدود ساخته (Reddy *et al.*, 2004; Delmer, 2005; Rajala *et al.*, 2009) و سبب کاهش قابل ملاحظه‌ای در تولید محصولات کشاورزی در سطح جهان می‌شود. گندم (*Triticum aestivum*) مهمترین غله‌ای است که در بخش وسیعی از اراضی زراعی دنیا کشت می‌شود. در ایران سطح قابل توجهی از اراضی زراعی به کشت گندم

۱- دانشجوی دکتری فیزیولوژی گیاهان زراعی، دانشگاه فردوسی مشهد
۲- استاد، گروه زراعت، دانشکده کشاورزی، دانشگاه فردوسی مشهد
۳- استاد، موسسه تحقیقات گیاه‌پزشکی کشور، سازمان تحقیقات، آموزش و ترویج کشاورزی، تهران، ایران
(Email: nezami@um.ac.ir)
DOI: 10.22067/gsc.v17i1.57485
(*)- نویسنده مسئول:

مزیت کم‌آبیاری در صرفه‌جویی در مصرف آب، تغییر رفتار علفهای هرز نیز تحت این شرایط مورد ارزیابی قرار بگیرد. با توجه به مطالب فوق این تحقیق با هدف بررسی واکنش گندم در شرایط کم‌آبیاری به تداخل علف هرز یولاف وحشی اجرا شد.

مواد و روش‌ها

به منظور بررسی اثر کم‌آبیاری و رقابت یولاف وحشی بر عملکرد و اجزای عملکرد گندم، این مطالعه در مرکز تحقیقات کشاورزی استان سمنان (شهرود) به صورت آزمایش کرت‌های خرد شده در قالب طرح بلوك کامل تصادفی با سه تکرار در سال زراعی ۱۳۹۲-۱۳۹۳ اجرا شد. این منطقه در سه کیلومتری شمال شهرود با عرض جغرافیایی ۳۶ درجه و ۲۹ دقیقه شمالی و طول جغرافیایی ۵۵ درجه شرقی و ارتفاع ۱۳۶۶ متر از سطح دریا واقع است. اطلاعات مربوط به میانگین دما و میزان بارندگی منطقه مورد مطالعه در طول سال زراعی در جدول ۱ آورده شده است. عامل اصلی کم‌آبیاری مشتمل بر سه سطح آبیاری به میزان ۱۰۰، ۸۰ و ۶۰ درصد نیاز آبی گندم و عامل فرعی تراکم علف هرز یولاف وحشی شامل چهار تراکم صفر، ۲۰، ۴۰ و ۸۰ بوته در متر مربع بود. هر کرت دارای هشت ردیف کاشت به فاصله ۲۵ سانتی‌متر و به طول پنج متر بود که با احتساب تراکم ۴۰۰ بذر گندم در متر مربع به صورت دستی با توجه به وزن هزار دانه و قوه نامیه بذر مربوطه در ۵ آذر ماه ۱۳۹۲ کشت گردید. رقم گندم مورد آزمایش، رقم الوند بود. به منظور آگاهی از ویژگی‌های خاک محل آزمایش، نمونه‌گیری از خاک انجام و مشخصات خاک در عمق صفر تا ۳۰ سانتی‌متر تعیین شد (جدول ۲).

معنی‌دار عملکرد دانه نشد. استفاده از سیستم آبیاری قطره‌ای که به دلیل توزیع یکنواخت آب و راندمان بالاتر آبیاری در گیاهان زراعی مورد توجه قرار گرفته است در کنار کم‌آبیاری می‌تواند نقش موثری در کاهش آب مصرفی و افزایش بهره‌وری مصرف آب داشته باشد.

علفهای هرز از طریق رقابت با گیاهان زراعی برای مواد غذایی، آب، نور و فضای موجب کاهش عملکرد گندم. کاهش عملکرد گندم در اثر رقابت علفهای هرز در مطالعات متعددی گزارش شده است (Pester et al., 2000; Eslami et al., 2006; Bazrafshan et al., 2010). یولاف وحشی به دلیل سازگاری با شرایط مختلف اکولوژیک در بیشتر استان‌های کشور به عنوان یکی از مهم‌ترین علفهای هرز مزارع گندم مطرح می‌باشد (Ahmadvand et al., 2006; Montazeri et al., 2005) وحشی علف‌هزی یک‌ساله از خانواده گندمیان است که کترل آن به واسطه ریزی بذر قبل از رسیدگی گیاه زراعی و همچنین قابلیت بقاء بذر در خاک به دلیل وجود دوره خواب، بسیار دشوار است. میزان خسارت به عواملی مثل زمان سبز شدن، تراکم و مدت زمان رقابت علف هرز بستگی دارد. کوزنس و همکاران (Cousens et al., 1991) علف هرز با گیاه زراعی از طریق رقابت برای نور سبب کاهش نور موقت در فتوستز برای گیاه مغلوب شده و نقش سایر عوامل رشد را تحت تاثیر قرار می‌دهد. میزان خسارت یولاف وحشی در مزارع گندم ایران بسته به تراکم آن بین ۱۲ تا ۳۵ درصد برآورد شده است (Salimi, 1996).

برای اتخاذ روش‌های مدیریت مناسب در مزرعه شناخت رفتار علفهای هرز لازم می‌باشد. به دلیل اینکه هرگونه تغییر مدیریتی در سطح مزرعه ممکن است با تغییر رفتار علفهای هرز همراه باشد، لازم است با توجه به گسترش استفاده از آبیاری قطره‌ای و همچنین

جدول ۱- میانگین ماهانه دما و بارندگی محل اجرای آزمایش

Table 1- Average of temperature and precipitation at site of experiment

| پارامترها Parameters | Month | | | | | | | | | ماه |
|--|-------------|------------|-----------|-------------|--------------|----------------|-----------------|--------------|--|-----|
| | آبان Nov | آذر Dec | دی Jan | بهمن Feb | اسفند Mar | فروردین Apr | اردیبهشت May | خرداد Jun | | |
| میانگین دما Average of temperature (°C) | 11.24 | 5.1 | 1.1 | 2.8 | 8.6 | 12.6 | 20.8 | 24.2 | | |
| بارندگی Precipitation (mm) | 6.1 | 1.5 | 1.3 | 0.7 | 18.8 | 27.3 | 12.1 | 17.7 | | |

گردید و همزمان با کاشت گندم با تراکم بالاتر در بین ردیفهای کاشت به صورت دستی پخش شد و در اواسط اسفند پس از گذشت سرمای زمستانه عملیات تک برای رسیدن به تراکم‌های مورد نظر صورت گرفت.

بذر یولاف وحشی از مزارع گندم اطراف شهرود جمع‌آوری شد. به منظور اعمال تیمارهای تراکم یولاف وحشی، قبل از کشت بذر تست جوانه‌زنی بذر انجام شده و با توجه به درصد جوانه‌زنی و وزن هزار دانه یولاف وحشی، مقدار بذر مورد نیاز برای هر تراکم محاسبه

جدول ۲- مشخصات فیزیکی و شیمیایی خاک محل اجرای آزمایش
Table 2- Physicochemical properties of soil at site of experiment

| بافت خاک Soil texture | رطوبت Field capacity moisture (%) | رطوبت نقطه پژمردگی Wilting point moisture (%) | نتیجہ نیتروژن کل Total Nitrogen (%) | پتابسیم قابل جذب Absorbable Potassium (ppm) | فسفر قابل جذب Absorbable Phosphorus (ppm) | اسیدیتہ خاک pH | شوری خاک Soil salinity (dS.m ⁻¹) |
|--------------------------|--------------------------------------|---|--|---|---|-------------------|---|
| Sandy loam | 19.2 | 9 | 0.05 | 150 | 16 | 7.9 | 1.4 |

استفاده از برنامه آماری SAS (Ver 9.1) صورت گرفت و به علت معنی دار شدن اثر متقابل رژیم آبیاری با تراکم یولاف در مورد بعضی از صفات مورد بررسی، جهت مقایسات میانگین برهمنکنش اثر عوامل مورد بررسی از روش برش دهی اثرات متقابل (Slicing) استفاده شد. نمودارها با استفاده از نرم افزار Excel ترسیم شدند.

نتایج و بحث

ارتفاع بوته

رژیم آبیاری تأمین ۶۰ درصد نیاز آبی گندم سبب کاهش معنی دار ارتفاع بوته نسبت به رژیم آبیاری تأمین ۱۰۰ درصد نیاز آبی شد و از این نظر تقاضت معنی داری بین رژیم آبیاری ۸۰ و ۱۰۰ درصد نیاز آبی وجود نداشت (جدول ۴). در بررسی واکنش دو رقم گندم به شرایط تنفس خشکی نیز کاهش ۵۰ درصدی میزان آب آبیاری سبب کاهش ۲۴ درصدی ارتفاع بوته گندم شد (Hossein Panahi *et al.*, 2011). کاهش آب قابل دسترس گیاه از طریق اختلال در تقسیم سلولی، رشد طولی میانگرهای ساقه و میزان تولید مواد فتوستنتزی سبب کاهش رشد و ارتفاع کمتر ساقه می گردد (Mirzakhani *et al.*, 2015). نتایج نشان داد که افزایش تراکم یولاف به ۴۰ و ۸۰ بوته در متر مربع سبب کاهش معنی دار ارتفاع گندم نسبت به شاهد بدون رقابت گردید (نمودار ۱-a). افزایش تراکم یولاف به ۸۰ بوته در متر مربع اگرچه سبب کاهش ارتفاع گندم گردید اما این کاهش در مقایسه با کاهش ارتفاع گندم تحت تاثیر رژیم آبیاری تأمین ۶۰ درصد نیاز آبی، کمتر بود (۵ درصد در مقابل ۱۱ درصد). در بررسی دیگری نیز افزایش تراکم یولاف وحشی از صفر تا یک صد بوته در متر مربع سبب کاهش ارتفاع گندم شد، اما شدت تاثیرگذاری منفی بر ارتفاع گندم در تراکم های بیش از ۶۰ بوته یولاف در متر مربع بیشتر بود (Abrahimpour *et al.*, 2005).

تعداد سنبله در واحد سطح

اثر رژیم آبیاری، تراکم یولاف و برهمنکنش رژیم آبیاری و تراکم یولاف بر تعداد سنبله در واحد سطح، معنی دار بود (جدول ۳). در رژیم

برای میازه با علف های هرز پهن برگ از علف کش D-2,4 به میزان ۱/۵ لیتر در هکتار در مرحله پنجه زنی گندم استفاده گردید و با سرکشی مدام سایر علف های هرزی سبز شده به غیر یولاف وحشی در مزرعه، به صورت دستی حذف شدند. آبیاری کرت ها با استفاده از سیستم آبیاری قطره ای نواری (Tape) با فاصله خروجی های ۱۰ سانتی متر در وسط هر پشنۀ صورت گرفت. اولین آبیاری بلا فاصله بعد از کاشت بذرها صورت گرفت و آبیاری بعدی تمام کرت ها تا زمان مرحله طویل شدن ساقه های گندم، بر اساس تأمین کامل نیاز آبی صورت گرفت و پس از آن با توجه به تیمار کم آبیاری بر اساس ۸۰ و (بدون تنفس) درصد نیاز آبی گندم صورت گرفت. دور آبیاری با توجه به قابلیت نگهداری آب توسط خاک مزرعه تعیین و به صورت ثابت در نظر گرفته شد. برای اعمال تیمارهای کم آبیاری با استفاده از روش پنمن - مانتیس فائو (برنامه نرم افزاری OPTIWAT) میزان تبخیر روزانه محاسبه شد و مقدار آب مصرفی بر اساس میزان تبخیر، میزان بارندگی موثر، نوع تیمار و مساحت کرت ها محاسبه شد و در هر نوبت با استفاده از کنتورهای حجمی و شیرهای تعیینه شده در سیستم، آبیاری صورت گرفت. به منظور جلوگیری از تداخل اثر تیمارهای آبیاری فاصله یک و دو متری بین کرت های اصلی و تکرارها در نظر گرفته شد. جهت اندازه گیری عملکرد دانه، عملکرد بیولوژیک و شاخص برداشت در انتهای فصل رشد، مساحتی معادل دو متر مربع از چهار خط میانی هر کرت پس از حذف اثر حاشیه به طور جداگانه برداشت گردید. همچنین از هر کرت یک نمونه تصادفی ۰/۲۵ متر مربعی برای تعیین تعداد سنبله در متر مربع تهیه و تعداد ۱۰ ساقه بارور از این نمونه به صورت تصادفی انتخاب و پس از اندازه گیری طول سنبله، دانه ها از سنبله ها خارج، توزین و شمارش شدند و از تقسیم تعداد دانه بر تعداد سنبله، تعداد دانه در سنبله و از تقسیم وزن دانه ها بر تعداد دانه، متوسط وزن دانه به دست آمد. اثر تیمارها بر تعداد پنجه نابارور نیز با شمارش تعداد پنجه نابارور در همین نمونه و تقسیم آن بر تعداد پنجه نابارور شاهد بدون تنفس و رقابت (تیمار رژیم آبیاری تأمین ۱۰۰ درصد نیاز آبی و تراکم صفر یولاف) و تعیین نسبت پنجه نابارور صورت گرفت. شاخص بهره وری آب با تقسیم عملکرد دانه بر کل آب مصرفی محاسبه گردید. تجزیه و تحلیل آماری نتایج با

(جدول ۳). کاهش میزان آب آبیاری سبب کاهش طول سنبله گردید به طوری که کاهش میزان آب به ۶۰ درصد نیاز آبی، کاهش ۱۲ درصدی این صفت را نسبت به شرایط مطلوب رطوبتی به دنبال داشت (جدول ۴). امیری و همکاران (Amiri *et al.*, 2013) در بررسی اثر تنفس خشکی آخر فصل روی ۸۰ رقم گندم، به طور میانگین کاهش ۲/۵۸ درصدی طول سنبله را گزارش کردند. ایشان معتقدند که کاهش طول سنبله به این دلیل که سنبله نزدیکترین منبع اسیمیلات به دانه‌ها می‌باشد و برای مدت طولانی تر سبز هستند در کاهش عملکرد دانه نقش مهمی دارد. افزایش تراکم یولاف تا ۲۰ بوته در متر مربع تاثیر معنی‌داری بر طول سنبله نداشت اما افزایش بیشتر تراکم یولاف باعث کاهش معنی‌دار این صفت شد به طوری که تراکم ۸۰ بوته در متر مربع یولاف، کاهش ۱۲/۸ درصدی طول سنبله را به دنبال داشت (شکل ۱-۱c). به نظر می‌رسد که کاهش طول سنبله گندم در اثر افزایش تراکم یولاف به دلیل کاهش تخصیص مواد فتوستراتی به سنبله و تداخل در گردهافشانی ناشی از سایه‌اندازی یولاف باشد (Abrahimpour *et al.*, 2005).

تعداد دانه در سنبله

اثر رژیم آبیاری و تراکم یولاف بر تعداد دانه در سنبله معنی‌دار بود (جدول ۳). بررسی روند تغییرات تعداد دانه در سنبله نشان داد که با کاهش میزان آب آبیاری از ۱۰۰٪ به ۸۰ و ۶۰ درصد نیاز آبی تعداد دانه در سنبله به ترتیب ۹/۸ و ۱۵/۴ درصد کاهش یافت (جدول ۴). محدوده زمانی پیش از گردهافشانی در گندم با تکامل و شکل‌گیری گلچه‌ها همراه است و تنفس خشکی در این مرحله سبب کاهش تعداد گلچه‌بارور در سنبله و در نتیجه تعداد دانه در سنبله در مرحله گردهافشانی می‌گردد. کاهش تعداد دانه در سنبله در اثر تنفس خشکی می‌تواند به دلیل کاهش تعداد دانه در سنبلک و تعداد سنبلک در سنبله باشد، زیرا در این وضعیت در اثر افزایش ABA ناشی از تنفس خشکی، مرگ دانه‌های گرده و گلچه‌ها اتفاق افتاده (Siani and Aspinall, 1981; Westgate *et al.*, 1996) و در فتوستراتی جاری و انتقال مواد ذخیره شده به دانه‌های تشکیل شده و به تبع آن در پر شدن و تشکیل دانه اختلال روی می‌دهد. در این مرحله ساقه در حال طویل شدن نیز برای جذب اسیمیلات رقابت می‌کند و سبب محدودیت منبع می‌گردد و در نتیجه تعداد گلچه‌بارور کمتر می‌گردد (Rajala *et al.*, 2009). غیلیون و همکاران (Rajala *et al.*, 2009) نیز بین محتوی کربوهیدرات‌سنبله و مرگ گلچه‌ها همبستگی گزارش کردند. در مطالعه‌ای دیگر تنفس خشکی در مرحله پر شدن دانه کاهش ۲۲ درصدی تعداد دانه نسبت به شاهد بدون تنفس را به دنبال داشت (Rajala *et al.*, 2009). با وجود اینکه افزایش تراکم یولاف تا ۲۰ بوته در متر مربع تاثیری بر

آبیاری تأمین ۱۰۰ درصد نیاز آبی افزایش تراکم یولاف تا ۲۰ بوته در متر مربع تاثیر معنی‌داری روی تعداد سنبله در واحد سطح نداشت اما با افزایش بیشتر تراکم یولاف در تمام رژیم‌های آبیاری، تعداد سنبله در واحد سطح کاهش معنی‌داری یافت (جدول ۵) به طوری که در تیمار تأمین ۱۰۰ نیاز آبی افزایش تراکم یولاف به ۸۰ بوته در متر مربع سبب کاهش شش درصدی تعداد سنبله در واحد سطح در مقایسه با تیمار عدم حضور یولاف وحشی شد. این کاهش در شرایط مشابه در تیمارهای تأمین ۸۰ و ۶۰ درصد نیاز آبی به ترتیب منجر به کاهش ۱۳/۸ و ۹ درصدی این صفت شد (جدول ۵). در اثر رقابت یولاف وحشی تعداد زیادی از پنجه‌های گندم از ورود به مرحله زایشی و تولید دانه باز می‌مانند (Balyan *et al.*, 1991) (Ghererekloo *et al.*, 2004) کاهش تعداد پنجه‌های بارور گندم را در اثر رقابت با علف‌های هرز گزارش کردند. در تحقیقی دیگر نشان داده شد که افزایش تراکم یولاف به ۵۰ و ۷۵ بوته در متر مربع به ترتیب باعث کاهش ۲۹/۹ و ۴۳/۳ درصدی تعداد سنبله در واحد سطح شد (Armin *et al.*, 2007).

در واقع یولاف وحشی اثر خود را روی کاهش عملکرد گندم بیشتر از طریق کاهش تعداد سنبله‌های بارور و تعداد بذور تشکیل شده اعمال می‌کند (Zamani *et al.*, 2005; Ahmadvand *et al.*, 2006) افزایش ۴۰، ۴۶/۲ و ۴۰ درصدی نسبت پنجه نابارور به ترتیب در اثر افزایش تراکم یولاف به ۴۰ و ۸۰ بوته در متر مربع (شکل ۱-b) و کاهش میزان آب به ۶۰ درصد نیاز آبی (جدول ۴) نشان‌دهنده نقش تعیین‌کننده افزایش تعداد پنجه نابارور در کاهش تعداد سنبله در واحد سطح و به تبع آن کاهش عملکرد می‌باشد. کاهش تعداد پنجه بارور در واحد سطح در اثر افزایش فشار رقابتی علف هرز در مطالعات متعددی گزارش شده است (Huel and Hucl, 1996; Das and Yaduraju, 1999; Ghererekloo *et al.*, 2004) تیمارهای آبیاری پس از اتمام مرحله پنجه‌زنی گندم، کاهش تعداد سنبله در واحد سطح در این تیمارها می‌تواند به دلیل عدم باروری سنبله تعدادی از پنجه‌های تولیدی به دلیل کاهش میزان آب آبیاری و همچنین افزایش رقابت درون و بین گونه‌ای و محدودیت فضای رشد باشد (Saadatian *et al.*, 2012). Rajala و همکاران (Rajala *et al.*, 2009) گزارش کردند که وقوع تنفس خشکی قبل از مرحله گردهافشانی نیز سبب کاهش اندک تعداد پنجه می‌گردد. وقوع تنفس خشکی قبل از مرحله گلدهی از طریق محدودیت مواد فتوستراتی سبب کاهش و توقف رشد پنجه‌های تشکیل شده و در نتیجه کاهش تعداد پنجه‌های بارور می‌گردد.

طول سنبله

طول سنبله تحت تاثیر رژیم آبیاری و تراکم علف هرز قرار گرفت

رژیم آبیاری \times تراکم یولاف بر عملکرد گندم معنی دار بود (جدول ۳). هرچند که در تمامی تراکم‌های یولاف کاهش میزان آب آبیاری به ۶۰ درصد نیاز آبی سبب کاهش عملکرد شد ولی این کاهش در تراکم ۴۰ بوته در متر مربع یولاف، ۳۴/۲ درصد و در تراکم ۸۰ بوته در متر مربع ۶/۳۸ درصد بود (شکل ۲-a). در تیمار تأمین ۱۰۰ نیاز آبی افزایش تراکم یولاف به ۸۰ بوته در متر مربع سبب کاهش ۲۲ درصدی عملکرد در مقایسه با تیمار عدم حضور یولاف شد در حالی که این کاهش در شرایط مشابه در تراکم‌های ۲۰ و ۴۰ بوته در متر مربع یولاف به ترتیب کاهش ۵/۵ و ۱۷/۶ درصدی این صفت را در پی داشت (شکل ۲-a). افزایش تراکم یولاف سبب افزایش تراکم گیاهی در واحد سطح شده و به دلیل برتری یولاف در استفاده از منابع محیطی به ویژه نور به دلیل ساختار رشدی و نحوه توزیع برگ‌ها در کانونپی از طریق کاهش نور در دسترس باعث کاهش فتوسترن و در نتیجه کاهش عملکرد گندم می‌گردد (Cousens *et al.*, 1991) و همکاران (Zand *et al.*, 2005) در تحقیقی نشان دادند که رقم الوند در رقبابت با یولاف وحشی آرایش کانونپی خود را به گونه‌ای تغییر داد که حداقل سطح برگ، در ارتفاع بالاتری نسبت به ارقام غیر رقیب گندم قرار گرفت و این ویژگی مانع از غالیت کامل کانونپی یولاف وحشی گردید. این وضعیت نشان‌دهنده رقبابت‌پذیری بیشتر این رقم بوده و حساسیت کمتر این رقم به رقبابت تراکم‌های پایین یولاف وحشی را توجیه می‌نماید.

سعادتیان و همکاران (Saadatian *et al.*, 2012) نیز ضمن گزارش نتایج مشابه عنوان کردند که در تراکم ۸۰ بوته چاودار در متر مربع، رقم سایسون ۴۴ درصد کاهش عملکرد نشان داد در حالی که رقم الوند تنها ۲۹ درصد کاهش عملکرد داشت. در تحقیق دیگری مشخص گردید که افزایش تراکم یولاف سبب کاهش معنی دار عملکرد گندم گردید به طوری که تراکم‌های ۳۹/۲ و ۶۱ بوته یولاف در متر مربع به ترتیب کاهش ۴۳/۹ و ۴۳/۲ درصدی عملکرد گندم را به دنبال داشت (Montazeri, 2007). بررسی روند تغییرات عملکرد دانه با افزایش تراکم یولاف از ۴۰ به ۸۰ بوته در متر مربع نشان داد که افزایش تراکم یولاف در شرایط مطلوب رطوبتی برخلاف شرایط کم آبیاری سبب کاهش معنی داری عملکرد دانه نشد (شکل ۲-b). این امر می‌تواند ناشی از کاهش توانایی رقابتی گندم در اثر تنفس خشکی و به دلیل توانایی بیشتر یولاف در جذب منابع رشدی در این شرایط و در نتیجه حفظ فشار رقابتی بر گیاه زراعی باشد.

این جز از عملکرد دانه نداشت اما افزایش بیشتر تراکم یولاف سبب کاهش معنی دار تعداد دانه در سنبله نسبت به تیمار بدون رقابت (تراکم صفر یولاف) گردید (شکل ۱)، به طوری که در تراکم ۸۰ بوته یولاف در متر مربع کاهش تعداد دانه در سنبله نسبت به تیمار شاهد حدود ۲۱/۶ درصد بود. کاهش تعداد دانه در سنبله با افزایش تراکم یولاف توسط متنظری (Montazeri, 2007) نیز گزارش گردید. در اثر سایه‌اندازی ناشی از افزایش تراکم علف هرز، کارایی فتوسترن گندم و در نتیجه توانایی رقابت در دریافت نور، مواد غذایی و تخصیص آسمیلات به اندام‌های زایشی کاهش یافته و باعث کاهش باروری گلچه و کاهش تعداد دانه در سنبله می‌شود (Blakshaw *et al.*, 2004; Rezvani *et al.*, 2013).

وزن هزار دانه

نتایج نشان داد که اثر رژیم آبیاری و تراکم یولاف بر وزن هزار دانه گندم معنی دار بود (جدول ۳). کاهش میزان آب آبیاری به ۸۰ و ۶۰ درصد نیاز آبی گندم به ترتیب سبب کاهش ۹ و ۱۹ درصدی وزن هزار دانه نسبت به تیمار آبیاری کامل شد (جدول ۴). در بررسی سایر محققان نیز کمبود آب در مرحله پر شدن دانه (خصوصاً ۲ تا ۳ هفته پس از گلدهی)، باعث کاهش مدت دوره پرشدن دانه و کاهش وزن آن شد (Gooding *et al.*, 2003; Paknejad *et al.*, 2007). نتایج نشان داد که وزن هزار دانه در اثر افزایش تراکم یولاف، کاهش یافت. افزایش تراکم یولاف از صفر تا ۲۰ بوته در متر مربع تاثیری بر وزن هزار دانه نداشت اما افزایش بیشتر تراکم یولاف سبب کاهش معنی دار وزن هزار دانه گردید به طوری که افزایش تراکم یولاف به ۸۰ بوته در متر مربع کاهش ۱۶ درصدی وزن هزار دانه گندم را به دنبال داشت (شکل ۱-d). سایه‌اندازی یولاف در مرحله پر شدن دانه، به دلیل ارتفاع بیشتر آن نسبت به گندم از طریق کاهش جذب تشبع توسط گندم و در نتیجه کاهش فتوسترن جاری منجر به کاهش وزن دانه می‌گردد (Anafjeh *et al.*, 2008). زمانی و همکاران (Zamani *et al.*, 2005) در بررسی اثر تراکم یولاف وحشی بر عملکرد و اجزای عملکرد گندم، کاهش وزن هزار دانه گندم را در اثر افزایش تراکم یولاف گزارش کردند. متنظری (Montazeri, 2007) نیز گزارش کرد که افزایش تراکم یولاف به بیش از ۳۹ بوته در متر مربع سبب کاهش معنی دار وزن هزار دانه گندم گردید.

عملکرد دانه

نتایج نشان داد که اثر رژیم آبیاری، تراکم یولاف و برهمکنش

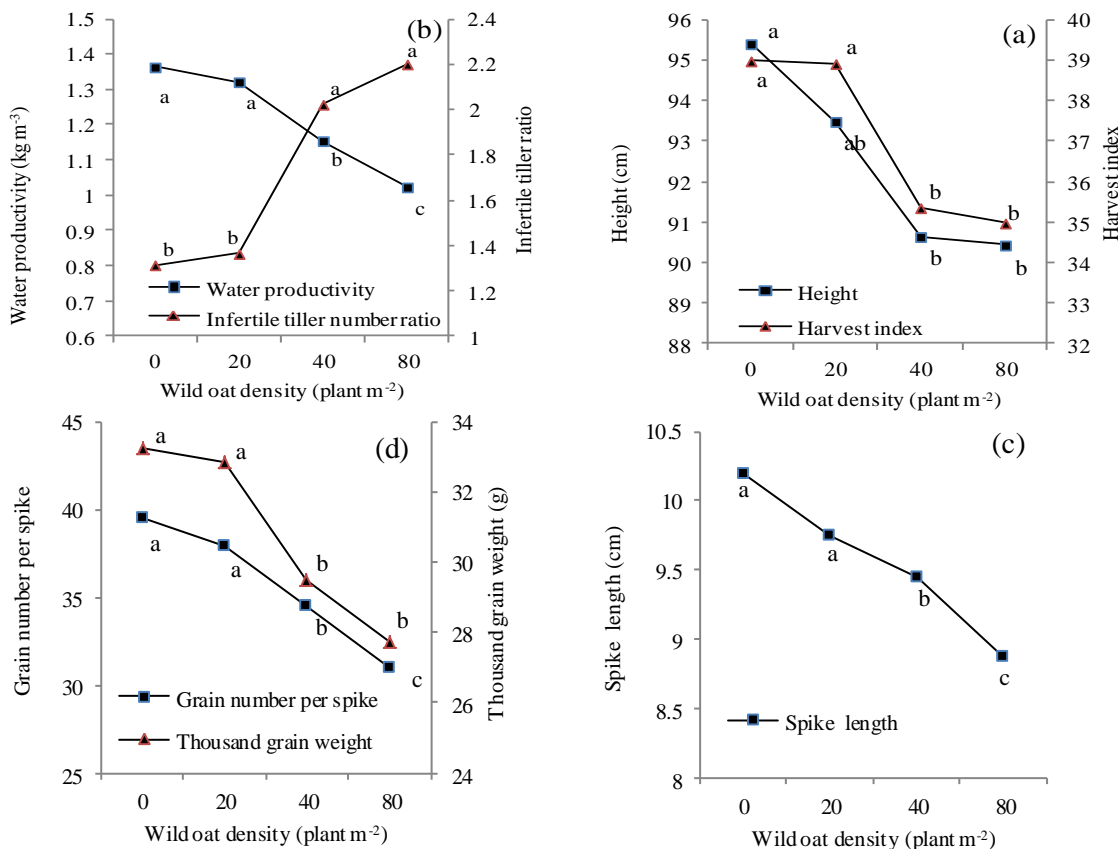
جدول ۳- متابع تغییر، درجه آزادی و میانگین مربعت اثر رژیم آبیاری و تراکم بولاف بر ازفاغ، اجزای عمکرد، نسبت پنجه نایارو، عمکرد دانه، عمکرد بیولوژیک، شاخص برداشت بهره وری آب ۹ بهمن‌پیوری آب

Table 3- Source of variation, degree of freedom and Mean Squares of irrigation regime and wild oat density on height, yield components, infertile tiller ratio, grain yield, biological yield, harvest index and water productivity index

| بهره وری آب | جوده وری آب | شاخص برداشت | عمکرد بیولوژیک | عمکرد دانه | عمکرد دانه | عمکرد دانه | طول سنبله | تعداد سنبله | نسبت پنجه نایارو | تعداد دانه در سنبله | وزن هزار دانه | عمکرد دانه | تعداد سنبله | ارتفاع | درجه آزادی | متابع تغییرات |
|--------------------|---------------|------------------|----------------|-------------------|------------------------|--------------|------------------------|--------------|------------------|---------------------|---------------------------|------------|-------------|--------|------------|---------------|
| Water productivity | Harvest index | Biological yield | Grain yield | 1000 grain weight | Grain number per Spike | Spike length | Infertile tiller ratio | Spike number | Height | df | S.O.V | | | | | |
| 0.0004 | 5.246 | 0.927 | 0.011 | 23.795 | 0.33 | 0.126 | 0.72 | 61.89 | 12.655 | 2 | Block(B) | | | | | |
| 0.159 * | 278.284 * | 23.665 ** | 16.845 ** | 125.594 * | 111.87 ** | 4.787 * | 3.76* | 26954.44* | 421.86* | 2 | Irrigation regime(I.R) | | | | | |
| 0.007 | 6.487 | 0.288 | 0.121 | 6.186 | 3.787 | 0.522 | 0.186 | 570.355 | 42.712 | 4 | (B×I.R) | | | | | |
| 0.222 * | 43.242 * | 9.801 ** | 4.542 ** | 63.636 * | 130.033 ** | 2.703 * | 1.845* | 5973.364* | 51.457* | 3 | Wild oat Density (W.D) | | | | | |
| 0.006 ns | 10.085 ns | 1.595 ** | 0.166 * | 10.771 ns | 2.305 ns | 0.221 ns | 0.93 ns | 389.109* | 11.837 ns | 6 | رژیم آبیاری × تراکم بولاف | | | | | |
| 0.003 | 3.946 | 0.3178 | 0.055 | 7.343 | 3.465 | 0.326 | 0.99 | 112.021 | 13.26 | 18 | (Eh) | | | | | |
| | | | | | | | | | | | خطای دوام | | | | | |

ns, *, and **: Non-significant and significant at 5% and 1% probability levels, respectively

به ترتیب: معنی‌دار و معنی‌دار و سطوح احتمال پنج و یک درصد



شکل ۱- تاثیر تراکم یولاف وحشی روی ارتفاع، شاخص برداشت (a) بهره‌وری آب، نسبت پنجه نابارور، (b) طول سنبله، (c) تعداد دانه در سنبله و وزن هزار دانه، (d) گندم. حروف مشابه نشان‌دهنده عدم تفاوت معنی‌دار در سطح احتمال پنج درصد.

Figure 1- Effect of Wild oat on height and harvest index (a) Water productivity, infertile tiller ratio, (b) Length of spike, (c) Grain number per spike and thousand grain weight, (d) of wheat.
The same letter indicates no statistical difference at $P=0.05$.

تمامی تراکم‌های یولاف کاهش میزان آب آبیاری به ۶۰ درصد نیاز آبی سبب کاهش عملکرد بیولوژیک شد. این کاهش در تراکم ۴۰ بوته در متر مربع یولاف، ۱۸/۷۵ درصد و در تراکم ۸۰ بوته در متر مربع، ۱۰/۴۲ درصد بود (شکل ۲-۲). کاهش کمتر این صفت در تراکم ۸۰ بوته در متر مربع ناشی از کاهش بسیار بیشتر ۱۷/۶۸ درصدی عملکرد بیولوژیک در تیمار تأمین ۱۰۰ نیاز آبی در اثر افزایش تراکم یولاف به ۸۰ بوته در متر مربع در مقایسه با کاهش ۴/۳۶ درصدی این صفت در تراکم ۴۰ بوته در متر مربع یولاف در شرایط مشابه بود (شکل ۲-۲). افزایش تراکم یولاف تا ۲۰ بوته در متر مربع تاثیر معنی‌داری بر عملکرد بیولوژیک گندم در رژیم‌های آبیاری تأمین ۸۰ و ۱۰۰ درصد نیاز آبی نداشت در حالی که در رژیم آبیاری تأمین ۶۰ درصد نیاز آبی، افزایش تراکم یولاف به ۲۰ بوته در متر مربع سبب کاهش معنی‌دار عملکرد بیولوژیک گردید.

افزایش نسبت بیوماس علف هرز *Echinochloa colona* به برج (Oryza sativa) در شرایط تنش خشکی نیز نشان‌دهنده توانایی بیشتر این علف هرز در استفاده از منابع رشدی نسبت به برج در این شرایط است (Chauhan and Johnson, 2010). کاهش ۱۰۰ درصدی عملکرد ذرت در رقابت با تاج خروس در شرایط محدودیت آبیاری در مقایسه با کاهش ۶۲/۵ درصدی عملکرد، ناشی از رقابت این علف هرز در شرایط آبیاری مناسب (Ruf-Pachta et al., 2013)، نیز نشان‌دهنده غلبه برخی علف‌های هرز در شرایط کمبود آب نسبت به شرایط عدم کمبود آب نسبت به گیاه زراعی می‌باشد.

عملکرد بیولوژیک

اثر رژیم آبیاری و تراکم علف هرز و برهمکنش رژیم آبیاری × تراکم علف هرز بر عملکرد بیولوژیک معنی‌دار بود (جدول ۳). در

جدول ۴- مقایسه میانگین صفات مرتبط با عملکرد و اجزای عملکرد تحت تاثیر رژیم آبیاری

Table 4- Mean comparison of yield and yield components traits affected by deficit irrigation regimes

| تیمارهای آبیاری Irrigation treatment | ارتفاع (سانتی متر) Height (cm) | نسبت پنجه نایارور Infertile tiller ratio | تعداد دانه در سنبله Grain number per spike | وزن هزار دانه (گرم) 1000 grain weight (g) | طول سنبله (سانتی متر) Spike length (cm) | شاخص برداشت Harvest index (%) | بهرهوری آب (کیلوگرم بر متر مربع) Water productivity (kg m ⁻³) |
|---|---|--|--|---|---|-------------------------------------|---|
| FI | 96.52 ^a | 1.26 ^c | 39.02 ^a | 34.01 ^a | 10.06 ^a | 40.48 ^a | 1.25 ^b |
| 80% FI | 95.28 ^a | 1.56 ^b | 35.18 ^b | 30.94 ^b | 9.77 ^a | 39.13 ^a | 1.31 ^a |
| 60% FI | 85.69 ^b | 2.35 ^a | 32.98 ^c | 27.54 ^c | 8.85 ^b | 31.55 ^b | 1.08 ^c |

FI: تأمین ۱۰۰ درصد نیاز آبی گندم، ۸۰٪ FI: تأمین ۸۰ درصد نیاز آبی گندم، ۶۰٪ FI: تأمین ۶۰ درصد نیاز آبی گندم. میانگین‌های دارای حداقل یک حرف مشترک در هر ستون اختلاف معنی‌داری در سطح احتمال پنج درصد ندارند.

FI: Supply of 100% of wheat water requirement, 80%FI: Supply of 80% of wheat water requirement, 60% FI: Supply of 60% of wheat water requirement. Within each column the same letter indicates no statistical difference at P = 0.05.

جدول ۵- مقایسه میانگین تعداد سنبله در رژیمهای آبیاری تحت تاثیر تراکم یولاف وحشی

Table 5- Mean comparison of spike number in irrigation regimes affected by Wild oat density

| صفت Trait | رژیم آبیاری Irrigation regime | تراکم یولاف وحشی | | | | Wild oat density (plants m ⁻²) | |
|---|---|------------------|----|--------|----|--|----|
| | | 0 | 20 | 40 | 80 | | |
| تعداد سنبله (در متر مربع) Spike number (m ⁻²) | ۱۰۰٪ نیاز آبی 100% of W.R ¹ | 615.41 | a | 612.07 | a | 593.89 | bc |
| | ۸۰٪ نیاز آبی 80% of W.R | 611.33 | ab | 576.33 | c | 543 | d |
| | ۶۰٪ نیاز آبی 60% of W.R | 532 | de | 517 | e | 490.33 | f |

¹ Water Requirement

میانگین‌های دارای حداقل یک حرف مشترک اختلاف معنی‌داری در سطح احتمال پنج درصد، با استفاده از روش برش‌دهی اثرات متقابل ندارند.

Means with same letters don't have significant difference, using Slicing method, p=0.05

کاهش معنی‌دار شاخص برداشت در رژیم آبیاری تأمین ۸۰ درصد نیاز آبی را می‌توان به تاثیر مشابه این تیمار کم آبیاری بر عملکرد دانه و بیولوژیک گندم مرتبط دانست. افزایش تراکم یولاف تا ۲۰ بوته در متر مربع تاثیر معنی‌داری روی شاخص برداشت نداشت اما افزایش تراکم این علف هرز به ۴۰ و ۸۰ بوته در متر مربع به ترتیب سبب کاهش معنی‌دار $\frac{9}{3}$ و $\frac{10}{2}$ درصدی شاخص برداشت گردید (شکل ۱-d). عطاریان و راشد محسسل (Attarian and Rashed Mohasel, 2002) با بررسی اثر رقابت یولاف وحشی و سه رقم گندم زمستانه نتیجه گرفتند که با افزایش تراکم یولاف وحشی، شاخص برداشت کاهش می‌یابد. سایه‌اندازی یولاف بر روی گندم از طریق کاهش فتوسنتز، تولید و تخصیص مواد لازم جهت ساخت اندام‌های زایشی و پر شدن داندها را دچار اختلال کرده و در نتیجه موجب کاهش عملکرد اقتصادی و کاهش شاخص برداشت می‌گردد.

این نتایج نشان می‌دهد که عملکرد بیولوژیک این رقم گندم همانند ارتفاع حساسیت کمتری به تنش ملایم خشکی دارد که این امر می‌تواند ناشی از ویژگی‌های رشدی این رقم و توانایی رقابت‌پذیری بیشتر آن مرتبط دانست (Zand *et al.*, 2005). در بررسی اثر تراکم یولاف بر عملکرد دو رقم گندم مشاهده شد که افزایش تراکم یولاف تا ۲۵ بوته در متر مربع تاثیر معنی‌داری روی عملکرد بیولوژیک نداشت اما افزایش تراکم یولاف به ۵۰ و ۷۵ بوته در متر مربع به دلیل افزایش رقابت درون و برونقونهای سبب کاهش معنی‌دار عملکرد بیولوژیک گردید (Armin *et al.*, 2007).

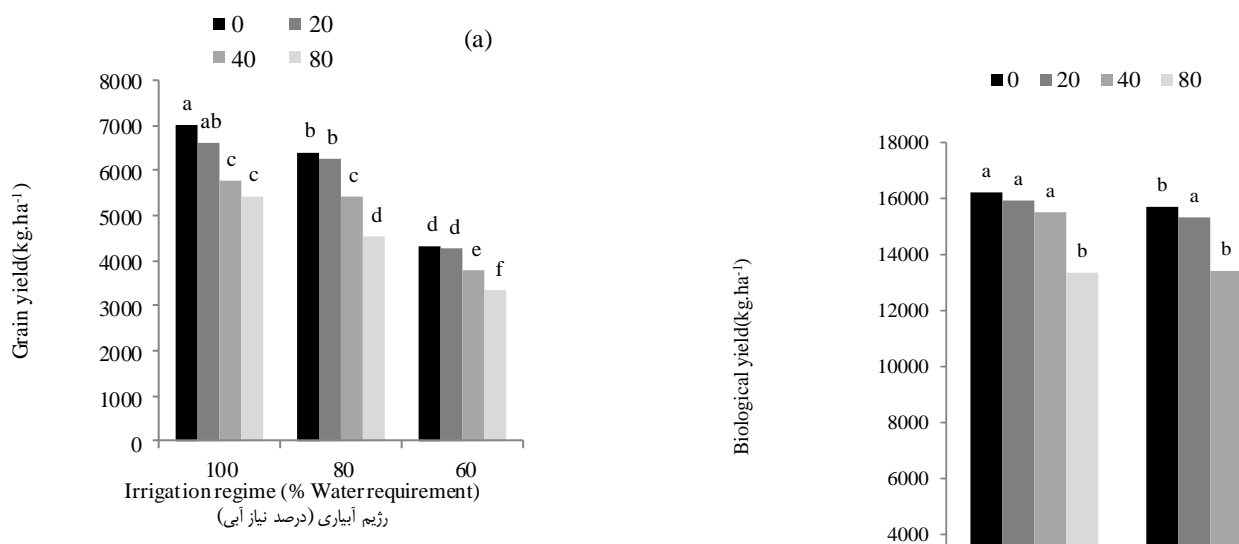
شاخص برداشت

اثر کم آبیاری و تراکم علف هرز بر شاخص برداشت معنی‌دار بود (جدول ۳). کاهش میزان آب آبیاری به ۸۰ درصد نیاز آبی گندم سبب کاهش جزئی (۳ درصد) و غیر معنی‌دار شاخص برداشت گردید در حالی که با کاهش بیشتر میزان آب آبیاری (۶۰ درصد نیاز آبی) شاخص برداشت به میزان ۲۲ درصد کاهش یافت (جدول ۴). عدم

جدول ۶- ضرایب همبستگی بین صفات اندازه‌گیری شده در گندم
Table 6- Correlation coefficient of measured wheat traits

| صفات Traits | 1 | 2 | 3 | 4 | 5 | 6 | 7 | 8 | 9 |
|---|------|-------|-------|-------|-------|-------|-------|------|---|
| -۱- ارتفاع 1. Height | 1 | | | | | | | | |
| -۲- تعداد سنبله در متر مربع 2. Spike number per square meter | 0.90 | 1 | | | | | | | |
| -۳- تعداد دانه در سنبله 3. Grain number per spike | ** | 0.69 | 0.88 | 1 | | | | | |
| -۴- وزن هزار دانه 4. 1000 grain weight | * | 0.78 | 0.89 | 0.90 | 1 | | | | |
| -۵- طول سنبله 5. Spike length | ** | 0.85 | 0.87 | 0.89 | 0.86 | 1 | | | |
| -۶- نسبت پنجه نایارور 6. Infertile tiller ratio | ** | -0.88 | -0.96 | -0.91 | -0.91 | -0.89 | 1 | | |
| -۷- عملکرد دانه 7. Grain yield | ** | 0.91 | 0.97 | 0.87 | 0.94 | 0.93 | -0.95 | 1 | |
| -۸- عملکرد بیولوژیک 8. Biological yield | ** | 0.85 | 0.93 | 0.87 | 0.90 | 0.87 | -0.90 | 0.93 | 1 |
| -۹- شاخص بهرهوری آب 9. Water productivity index | ** | 0.85 | 0.93 | 0.87 | 0.90 | 0.87 | -0.90 | 0.94 | 1 |

** و * به ترتیب معنی دار در سطوح احتمال یک و پنج درصد
** and * significant at 1% and 5% probability levels respectively



شکل ۲- تأثیر تراکم یولاف وحشی بر عملکرد دانه (a) و بیولوژیک (b) گندم در رژیمهای آبیاری (میانگین‌های دارای حداقل یک حرف مشترک اختلاف معنی داری در سطح پنج درصد، با استفاده از روش برش دهی اثرات متقابل ندارند.)

Figure 1- Effect of drought stress on length (a) and dry weight (b) of plumule in irrigation regimes
(Means with same letters don't have significant difference, using Slicing method, p=0.05)

را می‌توان به وجود ذخایر آسیمیلات در ساقه و انتقال آن به دانه‌ها در طول دوره پر شدن دانه‌ها مرتبط دانست. وجود همبستگی مثبت و معنی‌داری ($r=0.97^{**}$) بین تعداد سنبله در واحد سطح و عملکرد، نشان‌دهنده اهمیت این عامل در تعیین میزان عملکرد می‌باشد (جدول ۶). وجود همبستگی مثبت و معنی‌دار بین عملکرد دانه و صفاتی نظیر ارتفاع بوته، تعداد سنبله در متر مربع و وزن هزار دانه هم در شرایط مطلوب و هم در شرایط تنفس خشکی گزارش شده است (Leilah and Al-Khateeb, 2005; Mohammadi, 2014).

نتیجه‌گیری

نتایج نشان داد که کم‌آبیاری سبب کاهش عملکرد و اجزای عملکرد می‌شود. کاهش مصرف آب به ۸۰ درصد نیاز آبی اگرچه با کاهش ۹ درصدی عملکرد همراه بود اما منجر به صرفه‌جویی ۱۲ درصدی آب و به تبع آن افزایش بهره‌وری آب شد و از این حیث امکان توصیه آن برای مناطقی که با کمبود آب قابل بررسی می‌باشد. به عبارت دیگر در مناطق کم‌آب، استراتژی آب کمتر - بهره‌وری بیشتر، مناسب‌ترین گرینه برای مدیریت بهینه آبیاری جهت ثبات تولید و افزایش آب قابل استفاده است. افزایش تراکم یولاف تا ۲۰ بوته در متر مربع تاثیری معنی‌داری بر عملکرد دانه و بیولوژیک گندم نداشت اما افزایش تراکم تا ۸۰ بوته در متر مربع سبب کاهش این صفات در تمامی رژیم‌های آبیاری شد. عدم حساسیت رقم الوند گندم به رقابت یولاف در تراکم‌های کمتر به دلیل ویژگی‌های رشدی و توانایی رقابتی رقم مذکور است که مانع از غالبیت یولاف و کاهش عملکرد دانه و بیولوژیک و بهره‌وری آب در این شرایط می‌شود.

بهره‌وری آب

نتایج نشان داد که اثر رژیم آبیاری و تراکم علف هرز بر بهره‌وری آب معنی‌دار بود (جدول ۳). کاهش میزان آب مصرفی از ۱۰۰٪ نیاز آبی به ۸۰٪ نیاز آبی سبب افزایش معنی‌دار بهره‌وری آب گردید در حالی که کاهش آب مصرفی به ۶۰٪ نیاز آبی سبب کاهش معنی‌دار بهره‌وری آب نسبت به سایر رژیم‌های آبیاری گردید (جدول ۴). کاهش میزان مصرف آب در تیمارهای تأمین ۸۰ و ۶۰٪ نیاز آبی نسبت به تیمار تأمین ۱۰۰ نیاز آبی به ترتیب ۱۲/۴ و ۲۶/۷ درصد بود در حالی که میزان کاهش عملکرد در این تیمارها نسبت به تیمار تأمین ۱۰۰ نیاز آبی به ترتیب ۹ و ۳۶/۶ درصد بود. در واقع در تیمار تأمین ۸۰٪ نیاز آبی کاهش عملکرد کمتر از کاهش مصرف آب بود و در نتیجه بهره‌وری آب افزایش یافت در حالی که در تیمار تأمین ۶۰٪ نیاز آبی کاهش عملکرد بیشتر از کاهش مصرف آب بود و به همین دلیل بهره‌وری آب در این تیمار کاهش یافت. بررسی روند تغییرات بهره‌وری آب با افزایش تراکم علف هرز یولاف نشان داد که با افزایش تراکم یولاف، بهره‌وری آب کاهش داشت (شکل ۱-۶). افزایش تراکم یولاف تا ۲۰ بوته در متر مربع تاثیر معنی‌داری بر بهره‌وری آب نسبت به تیمار بدون علف هرز نداشت اما با افزایش تراکم یولاف به ۴۰ و ۸۰ بوته در متر مربع، بهره‌وری آب به واسطه کاهش عملکرد ناشی از محدودیت آب قابل دسترس برای گندم (به دلیل مصرف بیشتر آب توسط یولاف) کاهش معنی‌داری نشان داد.

نتایج همبستگی بین صفات نشان داد که عملکرد دانه با ارتفاع، تعداد سنبله در متر مربع، تعداد دانه در سنبله، وزن هزار دانه، طول سنبله، وزن سنبله و عملکرد بیولوژیک همبستگی مثبت و معنی‌داری داشت (جدول ۶). وجود این همبستگی بین عملکرد دانه و ارتفاع بوته

References

1. Abrahimpour Noorabady, F., Ayneband, A., Nour Mohammadi, G., Moosavinia, H. and Mesgarbashi, M. 2005. Study of some wheat ecophysiological indices as influenced by wild oat interaction. Pajouhesh and Sazandegi 73: 117-125. (in Persian).
2. Ahmadvand, G., Naseri-Mahalati, M., and Kocheki, A. R. 2006. Effect of light competition and nitrogen fertilizer on canopy structure of wheat and wild oat. Journal of Agricultural Sciences and Natural Resources 12 (6): 100-112. (in Persian).
3. Amiri, R., Bahraminejad, S., and Jalali-Honarmand, S. 2013. Effect of terminal drought stress on grain yield and some morphological traits in 80 bread wheat genotypes. International Journal of Agriculture and Crop Sciences 5 (10): 1145-1153.
4. Anafjeh, Z., Fathi, G., Ebrahimpour, F., Zand, E., and Chaab, A. 2008. Study on Competitiveness of Wild oat (*Avena fatua* L.) with Wheat (*Triticum aestivum* L.) Chamran Cultivar. Iranian Journal of Weed Science 8: 35-46. (in Persian with English abstract).
5. Armin, M., Noormohammadi, Gh., Zand, E., Baghestani, M. A., and Darvishi, F. 2007. Competition effect of wild oat (*Avena ludoviciana* L.) on two wheat (*Triticum aestivum* L.) genotypes contrasting in their competitive ability. Iranian Journal of Field Crops Research 5 (1): 9-18. (in Persian with English abstract).
6. Attarian, A. M., and Rashed Mohasel, M. H. 2002. Competitive effects of wild oat (*Avena ludoviciana*) on yield and yield components of three winter wheat varieties. Journal of Agricultural Science and Technology 2 (1): 25-32. (in Persian with English abstract).

7. Bazrafshan, F., Moosavinia, H., Moezi, A., Siadat, A., and Hamidi, R. 2010. Influence of wild mustard (*Sinapis arvensis* L.) different densities on yield and yield component of winter wheat (*Triticum aestivum* L.). Weed Research Journal 2:15-28. (in Persian).
8. Balyan, R. S., Mlik, R. K., Panvar, R. S., and Singh, S. 1991. Competitive ability of winter cultivars with wild oat (*Avena ludoviciana*). Weed Science 39: 154-158.
9. Blakshaw, R. E., Molnar, L. J., and Janzen, H. H. 2004. Nitrogen fertilizer timing and application method affect weed growth and competition with spring wheat. Weed Science 52 (4): 614-622.
10. Chauhan, B. S., and Preston, D. E. 2010. Growth and reproduction of Jungle rice (*Echinochloa colona*) in response to water stress. Weed Science 58 (2): 132-135.
11. Cousens, R. D., Weaver, S. E., Martin, T. D., Blair, A. M., and Wilson, J. 1991. Dynamics of competition between wild oat (*Avena fatua*) and winter cereals. Weed Research 37 (4): 203-210.
12. Delmer, D. P. 2005. Agriculture in the developing world: connecting innovations in plant research to downstream applications. Proceedings of the National Academy of Sciences of the United States of America 102: 15739 -15746.
13. Das, T. K., and Yaduraju, N. T. 1999. Effect of weed competition on growth, nutrient uptake and yield of wheat as affected by irrigation and fertilizers. Journal of Agricultural Science 133 (1): 45-51.
14. Eslami, S. V., Gill, G. S., Bellotti, B., and McDonald, G. 2006. Wild radish (*Raphanus raphanistrum*) interference in wheat. Weed Science 54 (4): 749-756.
15. Fabeiro, C., Martin de Santa Olalla, F., and De Juan, J. A. 2002. Production of muskmelon (*Cucumis melo* L.) under controlled deficit irrigation in a semi-arid climate. Agricultural Water Management 54 (2): 93-105.
16. Gherekhloo, J., Mazaheri, D., Ghanbari, A., and Ghannadha, M. R. 2004. Mutispecies competition effects of weeds on yield and yield components of wheat. Desert 9 (2): 197-206. (in Persian with English abstract).
17. Ghiglione, H., Gonzalez, F., Serrago, R., Maldonado, S., Chilcott, C., Cura, J., Miralles, D. J., Zhu, T., and Casal, J. 2008. Autophagy regulated by day length sets the number of fertile florets in wheat. the Plant Journal 55 (6): 1010-1024.
18. Gooding, M. J., Ellis, R. H., Shewry, P. R., and Schofield, J. D. 2003. Effects of restricted water availability and increased temperature on the grain filling, drying and quality of winter wheat. Journal of Cereal Science 37 (3): 295-309.
19. Hossein Panahi, F., Kafi, M., Parsa, M., Nasiri Mahallati, M., and Banayan, M. 2011. Evaluation of yield and yield components of resistant to drought cultivars of wheat under moisture stress, using Penman-Muntis FAO model. Journal of Environmental Stress in Crop Science 5 (1): 47-63. (in Persian).
20. Huel, D. G., and Hucl, P. 1996. Genotypic variation for competitive ability in spring wheat. Plant Breeding 115 (5): 325-329.
21. Kang, S., Zhang, L., Ling, Y., Hu, X., Cai, H., and Gu, B. 2002. Effects of limited irrigation on yield and water use efficiency of winter wheat in the Loess Plateau of China. Agricultural Water Management 55 (3): 203-216.
22. Leilah, A. A., and Al-Khateeb, S. 2005. Statistical analysis of wheat yield under drought conditions. Journal of Arid Environments 61 (3): 483-496.
23. Mirzakhani, M., Hemmati, Z., and Sajedi, N. A. 2015. Response of wheat physiological and agronomic traits to water Stress and zeolite Application. Iranian Journal of Field Crops Research 13 (1):173-183. (in Persian with English abstract).
24. Mohammadi, S. 2014. Evolution of grain yield and its components relationships in bread wheat genotypes under full irrigation and terminal water stress condition using multivariate statistical analysis. Iranian Journal of Field Crops Research 12 (1): 99-109. (in Persian).
25. Montazeri, M. E., Zand, E., and Baghestani. M. A. 2005. Weeds and their control in wheat fields in Iran. Advances in Agronomy 58: 57-93.
26. Montazeri, M. 2007. Influence of winter wild oat (*Avena ludoviciana*), annual canary grass (*Phalaris minor*) and wild mustard (*Sinapis arvensis*) at different density on yield and yield component of wheat. Pajouhesh and Sazandegi 74: 72-78. (in Persian).
27. Paknejad, F., Majidi, E., Noormohammadi, G., Seadat, A., and Vazan, S. 2007. Evaluation of drought stress on effective traits at accumulative assimilate of grain in different cultivars of wheat. Journal of Agricultural Sciences 13 (1): 137- 149. (in Persian).
28. Pester, T. A., Westra, P., Anderson, R. L., Lyon, D. L., Miller, S. D., Stahlman, P. W., Northam, F. E., and Wicks, G. A. 2000. *Secale cereale* interference and economic thresholds in winter *Triticum aestivum*. Weed Science 48 (6): 720-727.
29. Rajala, A., Hakala, K., Makela, P., Muurinen, S., and Peltonen-Sainio, P. 2009. Spring wheat response to timing of water deficit through sink and grain filling capacity. Field Crop Research 114 (2): 263-271.
30. Reddy, A. R., Chaitanya, K. V., and Vivekanandan, M. 2004. Drought induced responses of photosynthesis and antioxidant metabolism in higher plants. Journal of Plant Physiology 161 (11):1189-1202.

31. Rezvani1, H., Asghari, J., Ehteshami, S. M. R., and Kamkar, B. 2013. Study the response of yield and component yield of wheat cultivars in competition with wild mustard in Gorgan Electronic Journal of Crop Production 6 (4): 187-214. (in Persian with English abstract).
32. Ruf-Pachta, E. K., Rule, D. M., and Dille, J. A. 2013. Corn and palmer amaranth (*Amaranthus palmeri*) interactions with nitrogen in dryland and irrigated environments. Weed Science 61 (2): 249-258.
33. Saadatian, B., Ahmadvand, G., and Soleimani, F. 2012. Study of canopy structure and growth characters role of two wheat cultivars in competition, on economic threshold and yield of rye and wild mustard. Iranian Journal of Field Crops Research 9 (3): 494-504. (in Persian).
34. Salimi, H. 1996. Biology review competition and damage rate of wild oat densities in Irrigated wheat. Twelfth congress of Iranian Plant Protection. Karaj, Iran.
35. Siani, H. S. and Aspinall, D. 1981. Effects of water deficit on sporogenesis in wheat. Annals of Botany 48 (5): 623-633.
36. Wang, H., Zhang, L., Dawes, W. R., and Liu, C. 2001. Improving water use efficiency of irrigated crops in North China plain measurements and modeling. Agricultural Water Management 48 (2): 151-167.
37. Wang, W., Vinocur, B., and Altman, A. 2003. Plant responses to drought, salinity and extreme temperatures: towards genetic engineering for stress tolerance. *Planta* 218 (1):1-14.
38. Westgate, M. E., Passioura, J. B., and Munns, R. 1996. Water status and ABA content of floral organs in drought-stressed wheat. Australian Journal of Plant Physiology 23 (6): 763-772.
39. Zamani, G. R., Rahimian, H., Kafi, M., and Bagheri, A. R. 2005. Effects of salinity and wild oat (*Avena ludoviciana*) densities on yield and yield components of wheat (*Triticum aestivum* L.). Journal of Agricultural Sciences and Natural Resources 11 (4): 35-45. (in Persian with English abstract).
40. Zand, E., Koochaki, A., Rahimiyan mashhadi, H., Deyhim fard, R., Soofi zade, S., and Nassiri mahalati, M. 2005. Studies on some ecophysiological traits associated with competitiveness of old and new Iranian bread wheat (*Triticum aestivum* L.) cultivars against wild oat (*Avena ludoviciana* L.). Iranian Journal of Field Crops Research 2 (2): 160-174. (in Persian with English abstract).
41. Zhang, B. C., Li, F. M., Huang, G. B., Gan, Y., Liu, P. H., and Heng, Z. Y. C. 2005. Effects of regulated deficit irrigation on grain yield and water use efficiency of spring wheat in an arid environment. Canadian Journal of Plant Science 85 (4): 829-837.



Effects of Deficit Irrigation and Wild Oat (*Avena ludoviciana*) Density on Yield and Yield Components of Wheat

A. R. Barjasteh¹, A. Nezami^{2*}, H. R. Khazaei², E. Zand³

Received: 13-07-2016

Accepted: 23-01-2017

Introduction: Water stress is one of the most important abiotic factors that restrict the growth and production of plants in the world, especially in arid and semi-arid regions. In Iran, a majority of wheat are located in arid and semi-arid regions. In these regions, drought stress occurs due to the lack of water which causes a considerable decrease in the yield of wheat. A suitable strategy to achieve satisfactory production in these areas is to apply deficit irrigation systems with the aim of improving water use efficiency and acceptable yield. Weed competition is another factor which decreases the wheat yield. Wild oat, due to its high compatibility and different ecological conditions, is one of the most important weed in wheat in most areas of Iran. Therefore, it is necessary to understand their behavior in the field, if we plan to apply appropriate weed management methods. Because any management change in the field may change weed behavior, and since the drip irrigation is spreading and the merits of deficit irrigation is known, it is necessary to evaluate their behavior at these conditions. Thus, the aim of this study was to study the wheat response to the interference of wild oat under deficit irrigation conditions.

Materials and Methods: An experiment as split plot in randomized complete block design was conducted to evaluate the effects of deficit irrigation in three levels (supply of 100, 80 and 60 percent of crop water requirement as main plot) and wild oat density in four levels (0, 20, 40 and 80 plant m⁻²) on wheat yield in Shahrood agricultural research center. Wild oat seed was collected from wheat field around Shahrood and was planted with wheat. Crop water requirements calculated by Penman-Monteith equation amended by FAO. Irrigation treatments was applied at the beginning of jointing stage and continued during the growing season. At the end of experiment, two square meters of each plot harvested to measure the grain yield and biological yield. At this time 0.25 square meters of each plot harvested and yield components were measured. Data were analyzed in SAS software (version 9.1). Slicing method was used for interaction mean comparison.

Results and Discussion: The effects of irrigation regime and wild oat density were significant on the number of spikes, the number of grains at spike, infertile tiller ratio, spike length, plant height, biological yield, grain yield, harvest index and water productivity. Decreasing the water usage to 60% of the water requirement decreased the grain yield and biological yield of wheat by 38.59 and 11.64%, respectively at the density of 80 bushes m². Increasing the wild oat density up to 20 plants per m² had no significant effect on the grain and biological yield of wheat, while increasing it up to 80 plants in the deficient irrigation regime with 60% of water requirement, decreased the grain and biological yield of wheat to 52.3 and 26.2%, respectively, compared with the control (100% of the water requirement) and zero density of wild oat treatment. Spike numbers per unit area showed a significant and positive correlation ($r=0.97^{**}$) with yield. Moreover, the results showed that deficient irrigation regime with supplying 80% of the water requirement reduced the grain yield and water usage by 9 and 12%, respectively and it improved the water productivity by 4.6% compared with the optimum water conditions. Whereas, reducing the amount of irrigation water to 60% of the required water, decreased the water productivity by 13.6% compared with the optimum water conditions.

Conclusions: Results showed that the deficit irrigation decreases the yield and yield components. Reducing water usage to 80% of water requirement reduced the water usage to 12%, consequently, although the water productivity increased, the yield decreased by 9%. Thus, it could be a suitable approach for regions with low water reservoirs. In the other words, in low water regions, the best choice to manage optimum irrigation to achieve constant production and increasing usable water is “the lower water-the higher productivity” strategy.

1- PhD student of Crop physiology, Ferdowsi University of Mashhad

2- Professor of Crop physiology, Ferdowsi University of Mashhad

3- Professor of Iranian Research Institute of Plant Protection, Agricultural Research, Education and Extension Organization (AREEO), Tehran, Iran

(*- Corresponding Author Email: nezami@um.ac.ir)

Increasing wild oat density up to 20 plants m^{-2} had no significant effect on the grain and biological yield of wheat. However, increasing wild oat density up to 80 plants m^{-2} decreased these properties under all irrigation regimes. The insensitivity of wheat to wild oat competition in lower densities is due to the growth characteristics and competitive ability of Alvand variety.

Keywords: Drought stress, Height, Number of spike, Water productivity, Weed



پایش عملکرد گندم و چغندرقند در استان خراسان: ۲- برآورد خلاء عملکرد

علیرضا کوچکی^{۱*}، مهدی نصیری محلاتی^۱

تاریخ دریافت: ۱۳۹۵/۱۱/۲۴

تاریخ پذیرش: ۱۳۹۶/۰۷/۲۵

چکیده

در این تحقیق عملکرد پتانسیل و خلاء عملکرد گندم آبی و چغندرقند در استان خراسان رضوی طی دوره‌ای ۱۰ ساله (۱۳۸۴-۱۳۹۳) مورد بررسی قرار گرفته است. به این منظور بر اساس داده‌های درازمدت هواشناسی ۱۷ شهرستان و با استفاده از آنالیز خوشای سه ناحیه اقلیمی کشاورزی در استان خراسان رضوی از یکدیگر تفکیک شدند. پیش‌بینی عملکرد پتانسیل با استفاده از مدل شبیه‌سازی LINTUL1 انجام شد و پیش از استفاده از آن بر مبنای داده‌های عملکرد در معرض تعیین اعتبار مقابله قرار گرفت. بر اساس نتایج شبیه‌سازی، عملکرد پتانسیل (YP) گندم آبی در نواحی اقلیمی کشاورزی ۱ (نیمه‌خشک و معتدل)، ۲ (خشک و گرم) و ۳ (نیمه‌خشک و گرم) به ترتیب ۷۴۷۸، ۷۲۴۸ و ۷۸۵۲ و در کل استان ۶۹۳۶ کیلوگرم در هکتار برآورد شد. در حدود ۷۶ درصد از تغییرات سالانه YP گندم آبی ناشی از تغییر در طول دوره پر شدن دانه به دلیل افزایش درجه حرارت می‌باشد. خلاء عملکرد گندم آبی در هر سه ناحیه در طی ۵ سال ابتدای دوره به طور نسبی افزایش یافته و به حدود ۴ تن در هکتار رسید ولی از سال ۱۳۹۰ عملکرد در حال کاهش بوده به طوری که میزان خلاء قابل مهار آن در سال ۹۳ بین ۰/۴۸-۰/۵۰ عملکرد پتانسیل بوده است. میانگین عملکرد پتانسیل گندم دیم در نواحی اقلیمی بین ۲۰۰۰-۲۸۰۰ کیلوگرم در هکتار برآورد شد و بر این اساس میانگین خلاء نسبی استان در محدوده ۰/۷۵-۰/۸ به دست آمد. میانگین ۱۰ ساله عملکرد پتانسیل چغندرقند در نواحی اقلیمی استان خراسان رضوی بین ۷۸-۸۸ t ha⁻¹ پیش‌بینی شد.

واژه‌های کلیدی: اطلس جهانی خلاء عملکرد، عملکرد پتانسیل، خلاء قابل مهار، تعیین اعتبار مقابله

جمله ایران (Koocheki and Nassiri Mahallati, 2014) حتی

تداوی روندهای فعلی نیز چندان محتمل به نظر نمی‌رسد. بر اساس برآورد فیشر و ادمیداس (Fischer and Edmeades, 2010) میانگین سرعت رشد عملکرد گندم در مناطق مختلف جهان بین ۰/۹-۰/۰ درصد در سال می‌باشد که کمتر از ۱/۱۶ درصد پیش‌بینی شده تا سال ۲۰۵۰ است. به علاوه این نرخ رشد در کشور چین یعنی بزرگترین تولیدکننده گندم در جهان بین ۰/۷۵-۰/۸۰ درصد در سال گزارش شده (Zhang *et al.*, 2013; Zhou *et al.*, 2007) و در انگلستان نیز رشد عملکرد گندم در طی سال‌های ۲۰۰۷-۱۹۴۸ معادل ۰/۷۶ درصد در سال بوده است (Mackay *et al.*, 2011). در آمریکا سرعت رشد عملکرد ذرت در بهترین شرایط آبیاری و مصرف نیتروژن، ۰/۷۹ درصد در سال می‌باشد و متوسط عملکرد آن در تمام آمریکا در فاصله سال‌های ۲۰۰۸-۲۰۰۲ ثابت مانده است (Grassini *et al.*, 2011). باید توجه داشت که سرعت افزایش عملکرد مفهومی متفاوت از میزان افزایش عملکرد می‌باشد برای مثال در فاصله سال‌های ۱۹۶۰ تا ۲۰۱۰ میلادی عملکرد غلات در جهان به میزان ۵۲/۶ کیلوگرم در هکتار در سال افزایش یافته است در حالی که در طی همین دوره سرعت افزایش عملکرد (درصد افزایش نسبت به سال قبل) کاهش یافته و از ۳/۴ درصد در سال ۱۹۶۰ به ۱/۲ درصد در سال ۲۰۱۰ رسیده است (FAOSTAT, 2013).

مقدمه

برای تأمین نیاز غذایی جهان به غلات (گندم، برنج و ذرت) لازم است که تا سال ۲۰۵۰ میلادی تولید جهانی این محصولات نسبت به سال ۲۰۰۶ به میزان ۴۹ درصد افزایش یابد (Bruinsma, 2009) که البته بسته به سناریوهای مختلف ساختهای زیستی باید ۹ تا ۱۹ درصد به این مقدار اضافه کرد (Fischer, 2009). تحقق این میزان از تولید مستلزم آن است که عملکرد این محصولات با نرخ ۱/۱۶ تا ۱/۳۱ درصد در سال افزایش یابد در حالی که سرعت فعلی افزایش عملکرد غلات در اغلب سیستم‌های زراعی کمتر از این مقدار است (Hall and Richards, 2013). باوجودی که برخی محققین (Ewert *et al.*, 2005; Jaggard *et al.*, 2010) پیش‌بینی کرده‌اند که روند فعلی رشد عملکرد در آینده نیز همچنان تداوم خواهد یافت ولی با توجه به شواهد موجود در مورد ثابت شدن روند عملکرد گندم (*Zea mays*)، (*Oryza sativa*)، برنج (*Triticum aestivum*) در برخی مناطق جهان (Acreche *et al.*, 2008; Brisson *et al.*, 2010; Brisson *et al.*, 2011; Cassman *et al.*, 2010) و از

۱- استاد، گروه زراعت و اصلاح نباتات، دانشکده کشاورزی، دانشگاه فردوسی مشهد
(*)- نویسنده مسئول:
Email: akooch@um.ac.ir
DOI: 10.22067/gsc.v17i1.62557

Deihimfard *et al.*, 2015a; Deihimfard *et al.*, 2015b; Soltani *et al.*, 2016 (http://www.yieldgap.org) مورد توجه قرار گرفته است. با شکل‌گیری اطلس جهانی خلاء عملکرد^۱ این پایگاه چارچوب جدیدی را برای برآورد خلاء عملکرد ارائه کرده است که تاکنون در کشور به کار گرفته نشده است. به علاوه نتایج پژوهش‌های موجود خلاء عملکرد را در یک مقطع زمانی (عموماً سال اجرای تحقیق) برآورد کرده‌اند در صورتی که آگاهی از روند تغییرات این خلاء در طی زمان اطلاعات جامع‌تری را فراهم خواهد ساخت (van Bussel *et al.*, 2015; Merlosa *et al.*, 2015). براین اساس هدف از اجرای این پژوهش برآورد تغییرات زمانی خلاء عملکرد گندم آبی و چندرقند در استان خراسان رضوی به روش پیشنهاد شده توسط اطلس جهانی خلاء عملکرد طی یک دوره ۱۰ ساله می‌باشد. به علاوه خلاء عملکرد گندم دیم نیز با استفاده از روش خط مرزی مورد ارزیابی قرار گرفته است.

مواد و روش‌ها

چارچوب مطالعه

براساس روش ارائه شده توسط اطلس جهانی خلاء عملکرد (van Bussel *et al.*, 2015; Grassini *et al.*, 2015; http://www.yieldgap.org/methods) مراحل محاسبه عملکرد پتانسیل محصولات زراعی در مقیاس منطقه‌ای (استان خراسان رضوی) شامل تعیین نواحی اقلیمی کشاورزی، انتخاب تعدادی شهر در هر ناحیه، انتخاب مدل شبیه‌سازی مناسب، واسنجی و تعیین اعتبار آن، پیش‌بینی عملکرد پتانسیل در شهرهای منتخب در هر ناحیه اقلیمی به وسیله مدل، تغییر مقیاس نتایج از شهرستان به ناحیه اقلیمی، و در نهایت تغییر مقیاس از نواحی اقلیمی به استان می‌باشد. لازم به ذکر است که این محاسبات باید طی دوره‌های زمانی (حداقل ۱۰ ساله) اجرا می‌شود و میانگین دوره، برآورده از عملکرد پتانسیل ناحیه خواهد بود.

تعیین مناطق اقلیمی کشاورزی

داده‌های آب و هوایی مربوط به ۱۷ شهرستان منتخب در استان خراسان رضوی (شکل ۱) شامل حداقل و حداکثر درجه حرارت روزانه، بارندگی ماهانه و تعداد ساعت‌های آفتابی روزانه مربوط به دوره ۱۰ ساله ۱۳۹۳-۱۳۸۴ از پایگاه داده‌های مرکز ملی اقلیم‌شناسی خراسان جمع‌آوری شد. میزان تشبع روزانه به روش ارائه شده در مدل سوکروز (Van Laar *et al.*, 1997) بدست آمد. در این روش ابتدا تشبع روزانه بدون اختساب آتمسفر برآورد می‌شود و سپس با استفاده از داده‌های تعداد ساعت‌های آفتابی و براساس معادله آنگستروم

بنابراین با توجه به عوامل متعددی که در شکل‌گیری عملکرد نقش دارند تداوم این روند در دهه‌های آینده بعید به نظر می‌رسد. از سوی دیگر به دلیل محدودیت منابع اصلی تولید یعنی آب و زمین امکان افزایش تولید غذا از طریق افزایش سطح زیر کشت عملی به نظر نمی‌رسد برای مثال در مقیاس جهانی سطح زیر کشت گندم در طی سال‌های ۲۰۰۷ تا ۱۹۶۱ تنها ۸ درصد افزایش یافته و ۲۰۰۷ پیش‌بینی شده که این افزایش تا سال ۲۰۵۰ نسبت به سال ۲۰۰۷ (Alexandratos and Bruinsma, 2012) درصد باشد (Lobell *et al.*, 2009). بنابراین افزایش عملکرد مهمترین راه حل برای تأمین نیازهای غذایی آینده محسوب می‌شود. بالا بردن عملکرد محصولات زراعی در مقیاس ملی و منطقه‌ای مستلزم آگاهی از پتانسیل عملکرد و پایش عوامل محدود کننده و کاهش دهنده آن می‌باشد (Kiniry *et al.*, 2004).

عملکرد پتانسیل (بالقوه) در صورتی حاصل خواهد شد که آب و کلیه مواد غذایی مورد نیاز برای رشد در حد مطلوب و در محیطی عاری از علفهای هرز و آفات و بیماری‌ها فراهم باشد. در شرایط پتانسیل رشد به وسیله درجه حرارت، تشبع، غلظت دی‌اکسید کربن و آن دسته از صفات ژنتیکی تعیین می‌شوند که بر طول دوره رشد (دوره رسیدگی ارقام) و جذب تشبع (ساختار کانوی) تاثیر دارند (Muchow and Kropff, 1997). عملکرد پتانسیل برای هر ژنتیک وابسته به اقلیم بوده و بنابراین و در مناطق مختلف متفاوت است ولی به خصوصیات خاک بستگی ندارد زیرا فرض بر این است که گیاه در بهترین شرایط رشد قرار داشته و آب و مواد غذایی به طور کامل تأمین شده‌اند (van Ittersum *et al.*, 2013). چنین عملکردی بهندرت در محصولات زراعی تحقق می‌یابد زیرا در بهترین شرایط مدیریت نیز ممکن است گیاه هرچند به مدت کوتاه در معرض کمبود آب یا نیتروژن قرار گیرد به علاوه آفات، بیماری‌ها و علفهای هرز هیچ‌گاه به طور کامل قابل کنترل نخواهد بود (Abeledo *et al.*, 2008; Espe *et al.*, 2012; Nassiri Mahallati and Koocheki, 2009; Gharineh *et al.*, 2012; Parsa, 2008; Taei Semiroomi *et al.*, 2012; یاری، ۲۰۱۳).

بسهنه به روش مدیریت بسیار متغیر می‌باشد. به طور کلی اختلاف بین عملکرد واقعی و حداکثر عملکرد قابل حصول در شرایط عدم وجود محدودیت (شرایط پتانسیل) خلاء عملکرد نامیده می‌شود. لازم به ذکر است که خلاء عملکرد علاوه بر عوامل محیطی، تحت تأثیر روش‌های مدیریت تولید محصولات زراعی نیز قرار دارد (Fischer, 2015). کاسمن (Cassman, 2003) از پیش‌بینی این خلاء و تلاش برای پرکردن آن را به عنوان یکی از مهمترین چالش‌های پیش روی محققین در قرن حاضر مطرح کرده و در این راستا طی دو دهه اخیر ارزیابی خلاء عملکرد محصولات زراعی در بسیاری از نقاط جهان (Affholder *et al.*, 2013; Laborte *et al.*, 2012; Nassiri Mahallati and Koocheki, 2009; Gharineh *et al.*, 2012; Parsa, 2008; Taei Semiroomi *et al.*, 2012; یاری، ۲۰۱۳) و نیز در ایران (

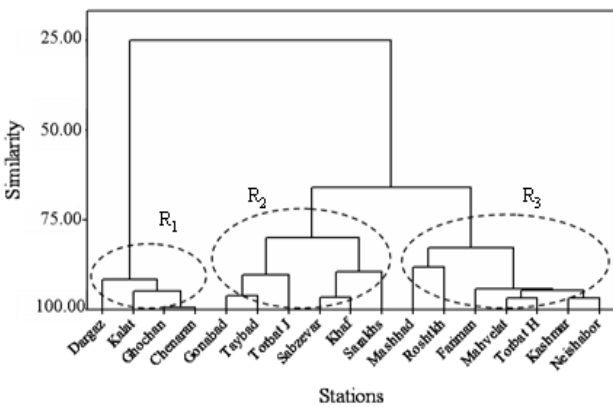
R_3 ، شهرهای مشهد، نیشابور، فریمان، تربت حیدریه، رشتخار، مه ولات و کاشمر) در حد فاصل این دو ناحیه جای داشته و بر اساس ساختارهای موردن استفاده در طبقه‌بندی منطقه‌ای گرم و نیمه‌خشک می‌باشد. لازم به ذکر است که سه ناحیه از نظر میزان تشبع تفاوت قابل توجهی ندارند (شکل ۳).

عملکرد واقعی

مقادیر عملکرد واقعی هریک از محصولات تحت بررسی (گندم و چغندر) برای دوره ۱۰ ساله (۱۳۸۴-۱۳۹۳) شهرستان‌های واقع در هر ناحیه اقلیمی از سال نامه‌های آماری جهاد کشاورزی استان خراسان رضوی جمع‌آوری شد، لازم به ذکر است که شهرستان‌های انتخاب شده در هر ناحیه اقلیمی بیش از ۸۵ درصد سطح زیر کشت محصولات تحت بررسی در کل ناحیه را دارا هستند. سپس عملکرد واقعی برای هر ناحیه اقلیمی با استفاده از معادله ۱ (Merlosa et al., 2015) محاسبه شد:

$$Y_k = \sum_{j=1}^n (\mu_j \times \frac{a_j}{a_k}) \quad (1)$$

که در آن Y_k میانگین عملکرد واقعی محصول در ناحیه اقلیمی k تعداد شهرستان‌های ناحیه k ، μ_j میانگین عملکرد واقعی محصول در شهرستان j ، a_j سطح زیر کشت محصول در شهرستان j و a_k سطح زیر کشت محصول در کل ناحیه اقلیمی k می‌باشد. واضح است که با استفاده از معادله ۱ می‌توان به سهولت عملکرد واقعی در مقیاس استان را نیز برآورد کرد.



شکل ۲- دندروگرام حاصل از اجرای آنالیز خوش‌های بر روی متغیرهای اقلیمی-کشاورزی شهرستان‌های استان خراسان رضوی و تفکیک ۳ ناحیه اصلی (R_1 , R_2 و R_3)، خوش‌بندی بر مبنای ۷۵ درصد تشابه انجام شده است.

Figure 2- Dendrogram of performing cluster analysis on agroclimatic variables of counties over Khorasan-Razavi province showing 3 separate homogenous regions (R_1 , R_2 and R_3), clustering is based on 75% similarity

ضریب نشر آتمسفر^۱ برای روزهای سال محاسبه شده و تشبع روزانه به دست می‌آید.



شکل ۱- موقعیت ۱۷ شهرستان منتخب در استان خراسان رضوی که در این تحقیق مورد بررسی فرار گرفته است.

Figure 1- Location of 17 selected districts within the Khorasan Razavi province subjected to the analysis

بر اساس پروتکل ارائه شده توسط اطلس جهانی خلاصه عملکرد طبقه‌بندی نواحی اقلیمی کشاورزی بر اساس سه معیار شامل مجموع درجه روزهای بالاتر از صفر درجه سانتی‌گراد، شاخص خشکی (نسبت بارندگی کل سالانه به مجموع کل تبخیر و تعرق بالقوه سالانه) شدت فصلی بودن درجه حرارت (انحراف معیار ماهانه درجه حرارت) انجام شد (van Bussel et al., 2015) و در ادامه نواحی اقلیمی-کشاورزی^۲ استان خراسان رضوی با اجرای آنالیز خوش‌های^۳ بر روی معیارهای فوق تعیین گردید. با انجام این آنالیز به روش وارد سه ناحیه اقلیمی-کشاورزی با تشابه بیشتر از ۷۵ درصد در استان خراسان رضوی از یکدیگر تفکیک شدند (شکل ۲).

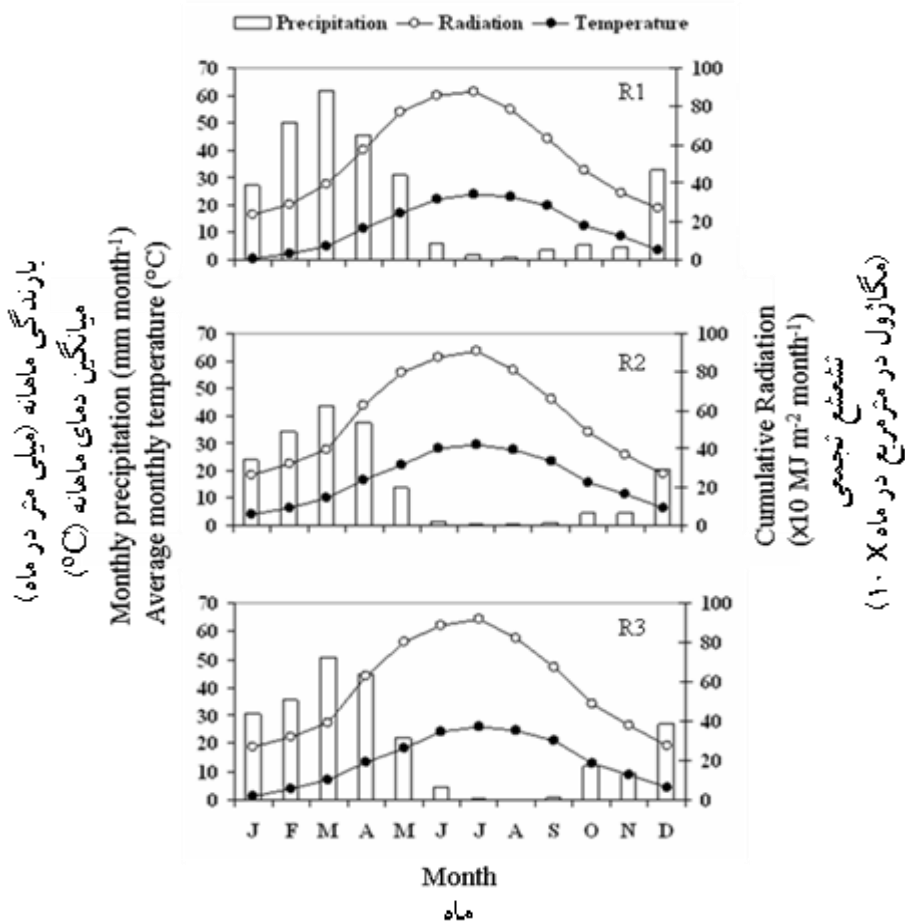
براساس داده‌های ۱۰ ساله ناحیه ۱ (R_1) شامل شهرهای درگز، کلات، قوچان و چنان را دارای بیشترین میزان بارش و پایین‌ترین میانگین دمای ماهانه بوده، مجموع درجه روزهای بالاتر از صفر درجه سانتی‌گراد در این ناحیه 4512°C d و مقدار شاخص خشکی آن 0.31 است که بر اساس طبقه‌بندی متزگر و همکاران (Metzeger et al., 2013) منطقه‌ای معتدل و نیمه‌خشک می‌باشد. ناحیه ۲ (R_2) شامل شهرهای گناباد، تایباد، تربت‌جام، سبزوار، خوف و سرخس) از بالاترین میانگین دما و کمترین میزان بارندگی برخوردار است، مجموع درجه روزهای رشد سالانه آن 6476°C d بوده و با شاخص خشکی حدود 0.13 ناحیه‌ای گرم و خشک محسوب می‌شود. ناحیه ۳

1- Atmospheric transmission

2- Agroclimatic

3- Cluster analysis

4- Ward method



شکل ۳- میانگین درجه حرارت ماهانه، مجموع بارندگی ماهانه و تشعشع تجمعی ماهانه در ۳ ناحیه اقلیمی-کشاورزی (R1-R3) استان خراسان رضوی

Figure 3- Average monthly temperature, cumulative monthly precipitation and cumulative monthly radiation in 3 agroclimatic regions (R1-R3) of Khorasan Razavi province

اخصاص یافته به برگ ($\text{g m}^{-2} \text{d}^{-1}$) بر سطح ویژه برگ (m^2) محاسبه می‌شود و جذب نور به صورت تابعی نمایی از LAI و ضریب خاموشی نور (k) بر اساس معادله لامبرت-بیر براورد می‌گردد. در این مطالعه کارآیی مصرف نور برای گندم $1/60$ گرم بر مگاژول (Nassiri Mahallati *et al.*, 2011; O'Connell *et al.*, 2004) برای چندرقند $1/48$ گرم بر مگاژول (Richter *et al.*, 2001; Parsa, 2008) منظور شده است. مراحل نمو شامل کاشت تا سبز شدن، سبز شدن تا گلدهی و گلدهی تا رسیدگی تابع مجموع درجه روزهای رشد (TSUM, $^{\circ}\text{C d}$) مورد نیاز برای هریک از این مراحل می‌باشد که بر اساس میانگین دمای روزانه و دمای حداقل (T_{base}) هر محصول محاسبه می‌شود. مراحل نموی فوق مربوط به گیاهان دانه‌ای (گندم) است و در مورد محصولاتی نظیر چندر این مراحل به صورت کاشت تا سبز شدن؛ سبزشدن تا شروع رشد اندام ذخیره‌ای (غده) و

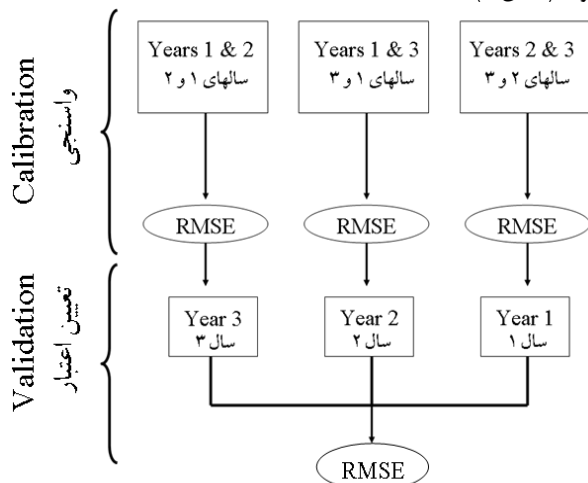
برآورد عملکرد پتانسیل

گندم آبی و چندرقند: در این مطالعه عملکرد پتانسیل گندم و چندر در کشت آبی با استفاده از مدل شبیه‌سازی LINTUL-1¹ براورد شد. LINTUL-1 مدل ساده‌ای است که رشد سطح برگ، جذب نور، تولید ماده خشک و عملکرد محصولات زراعی را در شرایط پتانسیل شبیه‌سازی می‌کند فان دلن (van Delden, 2001) در این مدل سرعت تولید ماده خشک ($\text{g m}^{-2} \text{d}^{-1}$) از حاصل ضرب تشعشع جذب شده ($\text{MJ m}^{-2} \text{d}^{-1}$) در کارایی مصرف نور (RUE, g MJ^{-1}) محاسبه شده و سپس ماده خشک با الگویی که تابع مرحله نموی گیاه می‌باشد بین اندام‌ها (برگ، ساقه، ریشه و اندام ذخیره‌ای) تخصیص می‌یابد. شاخص سطح برگ (LAI) از تقسیم ماده خشک

1- Light Interception and Utilization (LINTUL)

پیش‌بینی مدل موثر باشد.

در روش LOO ابتدا مدل بر اساس مجموعه‌ای از داده‌های اندازه‌گیری شده عملکرد از n فصل زراعی n مرتبه به طور مستقل از هم واسنجی و تعیین اعتبار می‌شود. الگوریتم مربوط به تعیین اعتبار متقابل به روش LOO در شکل ۴ ارائه شده است. ابتدا مدل با داده‌های $n-1$ سال از n سال واسنجی و تعیین اعتبار می‌شود تا حداقل RMSE حاصل شود. برای مثال از ۳ سال داده عملکرد موجود برای یک ناحیه ۲ سال (سال‌های ۱ و ۲) برای واسنجی به کار رفته و RMSE مورد ارزیابی قرار می‌گیرد، در این مرحله داده‌های سال ۳ خارج شده‌اند. سپس مدل مجددًاً توسط داده‌های عملکرد سال‌های ۱ و ۳ (سال ۲ خارج می‌شود) واسنجی و تعیین اعتبار شده و نهایتاً واسنجی و تعیین اعتبار با داده‌های سال‌های ۲ و ۳ انجام و سال ۱ خارج می‌شود (شکل ۴). پس از اتمام مراحل واسنجی متقابل، مرحله تعیین اعتبار متقابل اجرا می‌شود. به این منظور مدل واسنجی شده با داده‌های سال‌های ۱ و ۲ با داده‌های سال ۳ که در مرحله واسنجی خارج بوده تعیین اعتبار می‌شود، فرآیند به همین ترتیب ادامه می‌یابد تا داده‌های تمام n سال زراعی یک بار برای تعیین اعتبار به کار برده شوند (شکل ۴).



شکل ۴- مراحل اجرای واسنجی و تعیین اعتبار متقابل مدل به روش خارج کردن یک به یک (LOO) بر اساس داده‌های عملکرد مربوط به ۳ سال زراعی

Figure 4- Steps in cross calibration and validation of model using leave-one-out (LOO) method based on 3-year yield data.

سپس توانایی مدل واسنجی شده به روش LOO بر اساس میانگین ریشه مربعات خطای پیش‌بینی^۱ (RMSEP^۲) مورد ارزیابی قرار می‌گیرد (معادله ۲):

رشد غده تا رسیدگی تعریف می‌شود. ورودی‌های مدل داده‌های روزانه تشعشع خورشیدی، درجه حرارت حداقل و حداکثر در طی دوره رشد محصول می‌باشد. لازم به ذکر است که مدل LINTUL برای گندم بهاره طراحی شده و نیاز ورنالیزاسیون در آن در نظر گرفته نشده است، در این تحقیق فرآیند ورنالیزاسیون به روش ارائه شده توسط نصیری (Nassiri Mahallati and Koocheki, 2007) در مدل تعریف گردید. گراسینی و همکاران (Grassini et al., 2015) بیان داشتند که در اجرای پروتکل اطلس جهانی خلاء عملکرد برای انتخاب مدل شبیه‌سازی عملکرد محدودیت وجود ندارد و در واقع مدل بر اساس میزان دسترسی به داده‌های مورد نیاز برای اجرای آن انتخاب می‌شود. انتخاب مدل LINTUL برای این مطالعه نیز به دلیل داده‌های ورودی نسبتاً محدود این مدل بوده و به علاوه این مدل قبلاً برای پیش‌بینی عملکرد گندم (Mondani, 2012) و چغندرقند (Parsa, 2010) در شرایط پتانسیل برای مشهد واسنجی و تعیین اعتبار شده است. باید توجه داشت که عملکرد پتانسیل در هر ناحیه اقلیمی برای بهترین رقم توصیه شده و مناسب‌ترین تاریخ کاشت در منطقه برآورد می‌شود (van Ittersum et al., 2013).

پژوهش ارقام توصیه شده گندم آبی و چغندرقند برای هر منطقه بر اساس اطلاعات افراد خبره شناسایی شد و بهترین تاریخ کاشت در هر ناحیه اقلیمی با اجرای مدل شبیه‌سازی در تاریخ‌های مختلف کاشت با فواصل ۱۵ روزه تا حصول به حداکثر عملکرد به دست آمد.

واسنجی و تعیین اعتبار متقابل مدل

پارامترهای مدل در جریان واسنجی برای هر سال در یک ناحیه مشخص اقلیمی به طور مستقل تصحیح شدند تا مقدار جذر میانگین مربعات خطأ^۳ (RMSE^۳) در هر ناحیه به حداقل برسد. یعنی در هر ناحیه اقلیمی مدل برای هر سال واسنجی شد. از آنجا که داده‌های عملکرد مزارع آزمایشی یا پرمحصول مربوط به دوره ۱۰ ساله تحت بررسی اندک می‌باشند بنابراین در عمل تعیین اعتبار مدل به وسیله داده‌هایی مستقل از آنچه که در مرحله واسنجی به کار رفته امکان‌پذیر نخواهد بود. در چنین شرایطی استفاده از روش‌های تعیین اعتبار متقابل^۲ و از بین آنها تعیین اعتبار به روش "خارج کردن یک به یک"^۴ (Efron, 1983; Efron and Tibshirani, 1998) رایج می‌باشد. این روش برای واسنجی مدل با تعداد کم داده در سایر مطالعات نیز به کار رفته است (Irmak et al., 2000; Jones and Carberry 1994; Xiong et al., 2008). مدل باید بین سال‌ها نیز واسنجی و تعیین اعتبار شود زیرا تغییر شرایط محیطی در فصول مختلف ممکن است بر مقادیر عملکرد اندازه‌گیری شده و قدرت

1- Root Mean Square Error

2- Cross validation

3- Leave-One-Out

مقدادیر متغیر مستقل، خارج کردن نقاط پرت، مشخص ساختن داده‌هایی که نشان‌دهنده حداکثر عملکرد در هر سطح از عامل تحت بررسی هستند و برآش تابع به داده‌های حداکثر عملکرد می‌باشد (Shatar and McBratney, 2004). محققین توابع مختلفی را برای بهدست آوردن خط مرزی ارائه کرده‌اند که رایج‌ترین آنها توابع خطی و چند جمله‌ای درجه دوم می‌باشند (Casanova *et al.*, 1999; Schnug *et al.*, 1996) در این پژوهش تابع تولید مرزی برای تخمین عملکرد پتانسیل در شرایط محدودیت آب بر اساس میزان بارندگی سالانه و عملکرد واقعی گندم دیم (عملکرد گزارش شده) و نیز عملکردهای ثبت شده از مزارع پر محصول و آزمایشات ایستگاهی در استان‌های خراسان رضوی و شمالی در هر سطح از بارندگی مورد استفاده قرار گرفت. از آنجا که استان خراسان شمالی در مقایسه با خراسان رضوی بارندگی بیشتری داشته و سطح اراضی و عملکرد گندم دیم در آن بیشتر است داده‌های این استان نیز به مجموعه داده‌ها اضافه گردید تا خط مرزی و عملکرد پتانسیل به طور دقیق‌تر برآورد شود.

تغییر مقیاس نتایج

در دستورالعمل اطلس جهانی خلاء عملکرد مقدادیر پیش‌بینی شده عملکرد پتانسیل در هر شهر ابتدا باید به ناحیه اقلیمی و سپس به استان تغییر مقیاس یافته یا به عبارت دیگر بزرگ مقیاس شود^۳ (van Bussel *et al.*, 2015). به دلیل نوسان سالانه عملکرد پتانسیل برای پیش‌بینی آن در هر شهر (YP_{city}) باید میانگین مقادیر پیش‌بینی شده برای یک دوره زمانی شامل p سال محاسبه شود (معادله ۳) که حداقل طول این دوره ۱۰ سال است (Grassini *et al.*, 2015)

$$YP_{city} = \frac{\sum_{i=1}^p YP_{year_i}}{p} \quad (3)$$

سپس با استفاده از معادله ۴ (van Bussel *et al.*, 2015) عملکرد پتانسیل پیش‌بینی شده هر محصول در هر شهر (YP_{city_i}) بزرگ مقیاس شد تا عملکرد پتانسیل هر یک از نواحی اقلیمی (YP_{CZ}) بهدست آید:

$$YP_{CZ} = \frac{\sum_{i=1}^q YP_{city_i} \times A_{city_i}}{\sum_{i=1}^q A_{city_i}} \quad (4)$$

که در آن q تعداد شهرهای واقع در هر ناحیه اقلیمی و سطح زیر کشت محصول در هر شهر می‌باشد. در نهایت عملکرد پتانسیل هر محصول در کل استان ($YP_{province}$) با بزرگ مقیاس

$$RMSEP = \left[\frac{1}{n} \sum_{i=1}^n (Ym_{ij} - Ys_{ij})^2 \right]^{0.5} \quad (2)$$

که در آن Ym_{ij} عملکرد اندازه‌گیری شده برای زامین ناحیه در i امین سال از n سال زراعی می‌باشد که در LOO به کار رفته‌اند. Ys_{ij} عملکرد شبیه‌سازی شده برای زامین ناحیه که با استفاده از مدل واسنجی شده بدون سال i ام بهدست آمده است.

به همین ترتیب تعیین اعتبار متقابل به روش LOO در همه نواحی اقلیمی به کار برد شده و با مقایسه RMSEP بین سه ناحیه می‌توان قابلیت مدل را در هر ناحیه برآورد و نتایج پیش‌بینی را مقایسه کرد به علاوه تغییرات زمانی (بین سال‌های زراعی) و مکانی (بین مناطق) عملکرد را نیز می‌توان مورد ارزیابی قرار داد. چون مدل با استفاده از داده‌های چند سال زراعی واسنجی شده بنابراین قابلیت پیش‌بینی مدل تا حد زیادی تابع این است که سال‌های زراعی تا چه اندازه تغییر ویژگی‌های اقلیمی را منعکس می‌کنند. بدینهی است که با افزایش تعداد سال‌ها قدرت مدل بهبود خواهد یافت.

تعیین اعتبار مدل هم بر اساس عملکردهای ثبت شده از مزارع پر محصول و هم از آزمایشات ایستگاهی در شرایط بهینه رشد انجام شد. این داده‌های عملکرد برای شهرستان‌های واقع در هر یک از سه ناحیه اقلیمی در فاصله سال‌های ۱۳۹۳-۱۳۸۴ تعیین احتمال آنها در هر ناحیه به روش ذکر شده توسط نصیری محلاتی و کوچکی (Nassiri Mahallati and Koocheki, 2019) می‌گردد. با معلوم بودن احتمال عملکرد مزارع پر محصول، 10 درصد بالای توزیع به عنوان برآورده از عملکرد پتانسیل گندم و چغندر قند (عملکرد مشاهده شده) در هر ناحیه در نظر گرفته شد (van Ittersum *et al.*, 2013).

برآورد عملکرد پتانسیل گندم دیم

در این مطالعه عملکرد پتانسیل گندم دیم با برآش خط مرزی^۱ یا تابع تولید مرزی^۲ برآورد شد. برآورد تابع مرزی روشی آماری برای کار دادن پاسخ هر متغیر مورد نظر (برای مثال عملکرد) به یک عامل خاص (برای مثال آب) در مجموعه‌ای از داده‌های عملکرد است که تحت تاثیر چندین عامل قرار دارند. در واقع خط مرزی نشان‌دهنده حداکثر عملکرد در پاسخ به عامل تحت بررسی می‌باشد. نقاط واقع بر روی این خط عملکرد پتانسیل در سطوح مختلف یک عامل و در غیاب سایر عوامل محدود کننده عملکرد هستند (Elliott and De Jong, 1993) و هر نقطه از داده‌های عملکرد که زیر خط مرزی قرار بگیرد توسط عوامل دیگری محدود شده است. مراحل برآش خط مرزی به‌طور خلاصه شامل: گروه‌بندی داده‌های عملکرد بر اساس

3- Up-scaling

1- Boundary line

2- Frontier production function

تعیین اعتبار متقابل روش مناسب و نسبتی ساده‌ای برای بهبود قدرت پیش‌بینی مدل در مطالعات مرتبط با ارزیابی خلاء عملکرد می‌باشد. این روش در پژوهش‌های مشابه نیز در کاهش خطای پیش‌بینی مدل‌ها با موقعيت مورد استفاده قرار گرفته است (Xiong *et al.*, 2007; Thorp *et al.*, 2008).

عملکرد پتانسیل و خلاء عملکرد چغندرقند

میانگین ۱۰ ساله عملکرد واقعی چغندرقند در استان ۳۶/۲ تن در هکتار برآورده شد، این مقدار در سه ناحیه اقلیمی اختلافی در حدود ۱/۵ تن در هکتار داشت و بالاترین عملکرد واقعی (۳۶/۴) تن در هکتار (مریبوط به ناحیه ۳ بود (جدول ۲). ضریب تغییرات عملکرد این محصول در نواحی اقلیمی و در کل استان پایین و بین ۹-۱۲ درصد قرار دارد. بیشترین و کمترین عملکرد پتانسیل چغندرقند براساس نتایج ۱۰ ساله به میزان ۸۷/۷ و ۷۸/۶ تن در هکتار به ترتیب در ناحیه ۳ و ۲ و میانگین این عملکرد در کل استان ۸۳/۹ تن در هکتار بهدست آمد.

بر اساس این نتایج میانگین ۱۰ ساله خلاء عملکرد چغندرقند در استان خراسان رضوی ۴۹/۷ تن در هکتار و به طور نسبی معادل ۵۹ درصد عملکرد پتانسیل می‌باشد به بیان دیگر عملکرد واقعی این محصول در استان تنها ۴۱ درصد از عملکرد پتانسیل است. بیشترین خلاء نسبی عملکرد چغندر به میزان ۶۰ درصد مریبوط به ناحیه ۳ و در دو ناحیه دیگر بین ۵۶ تا ۵۷ درصد می‌باشد (جدول ۲).

خلاء قابل مهار عملکرد (خلاء ۸۵%) این محصول در کل استان ۳۷/۱ تن در هکتار است که بر این اساس در عمل ۴۸ درصد از عملکرد قابل مهار توسعه کشاورزان تولید می‌شود، البته میانگین ۱۰ ساله این مقدار در نواحی اقلیمی استان متفاوت است و در ناحیه ۲ در حدود ۵۲ درصد از عملکرد قابل مهار تحقق یافته که بالاترین مقدار بین سه ناحیه می‌باشد (جدول ۲).

تغییرات زمانی عملکرد پتانسیل چغندرقند ($YP_{85\%}$) نشان می‌دهد که این عملکرد در هر ۳ ناحیه اقلیمی استان بدون روند بوده و تنها نوسان سالانه اندکی در آن مشهود است (شکل ۶). البته خلاء قابل مهار (خلاء ۸۵%) عملکرد این محصول در طی این دوره در حال پر شدن می‌باشد و مقدار آن که در ابتدای دوره تقریباً ۴۰ تن در هکتار بود در سال‌های انتهایی دوره به حدود ۲۰ تن در هکتار رسیده است. نتایج شبیه‌سازی نشان می‌دهد که خلاء قابل مهار در نواحی اقلیمی ۱، ۲ و ۳ به ترتیب (شکل a6، b6 و c6) لازم به ذکر است که در شکل مقدار خلاء عملکرد به صورت منفی نمایش داده شده و در نتیجه مقدار صفر به معنی پر شدن کامل این خلاء می‌باشد. بر این اساس خلاء نسبی عملکرد ($YG_{85\%}/YP_{85\%}$) نیز در طی دوره ۱۰ ساله تحت بررسی در هر سه ناحیه اقلیمی استان روند کاهشی معنی‌داری داشته و

کردن عملکرد پتانسیل در هر یک از c ناحیه اقلیمی متناسب یا سطح زیر کشت محصول در آن ناحیه (A_{CZ_i}) به دست آمد (معادله ۵):

$$YP_{province} = \frac{\sum_{i=1}^c YP_{CZ_i} \times A_{CZ_i}}{\sum_{i=1}^c A_{CZ_i}} \quad (5)$$

تخمین خلاء عملکرد

خلاء عملکرد (YG) محصولات تحت بررسی از اختلاف بین عملکرد پتانسیل (YP) و عملکرد واقعی (YA) برای هر ناحیه اقلیمی برآورده و سپس به کل استان تغییر مقیاس داده شد. مطالعات نشان داده است که حتی در بهترین شرایط تولید نیز عملکرد در سطحی پایین‌تر از عملکرد پتانسیل به ثبات می‌رسد زیرا پر کردن خلاء باقی‌مانده توجیه اقتصادی نخواهد داشت (Lobell *et al.*, 2009; Cassman *et al.*, 2010 van Ittersum *et al.*, 2013) این سطح که در حدود ۸۵ درصد عملکرد پتانسیل می‌باشد به خلاء قابل مهار^۱ موسم است (YG_{85\%} = 0.85YP-YA) نیز در مقیاس ناحیه اقلیمی و استان برای هر یک از محصولات و نیز روند ۱۰ ساله آن برآورده گردید.

نتایج و بحث

تعیین اعتبار متقابل مدل

نتایج تعیین اعتبار متقابل نشان داد که قدرت مدل در تخمین عملکرد گندم آبی و چغندرقند در هر سه ناحیه اقلیمی مطلوب می‌باشد (شکل ۵) و جذر میانگین مربعات خطأ (%) برای دو محصول تحت بررسی در هر سه ناحیه از ۱۳/۱ درصد تجاوز نکرد (جدول ۱). عملکرد پتانسیل معمولاً با استفاده از مدل‌های شبیه‌سازی پیش‌بینی می‌شود و این مدل‌ها قبلاً باید بر اساس داده‌های اندازه‌گیری شده تعیین اعتبار شوند. در اغلب مطالعات داده‌های لازم برای تعیین اعتبار از آزمایشات ایستگاهی جمع‌آوری می‌شوند (Nassiri Mahallati and Koocheki, 2009) در حالی که بررسی‌ها نشان می‌دهد مدل‌هایی که براساس داده‌های جمع‌آوری شده از کرت‌های آزمایشی واسنجی و تعیین اعتبار می‌شوند معمولاً در مقیاس‌های بزرگ به خوبی عمل نمی‌کنند و خطای پیش‌بینی آنها قابل توجه خواهد بود (De Wit *et al.*, 2005; Batchelor, 2002; Viglizzo *et al.*, 2004; Palosuo *et al.*, 2011) از سوی دیگر در روش ارائه شده توسط اطلس جهانی خلاء عملکرد در انتخاب مدل شبیه‌سازی برای پیش‌بینی عملکرد پتانسیل محدودیتی وجود ندارد ولی اعتبارسنجی دقیق آن مورد تأکید قرار گرفته است (Grassini *et al.*, 2015).

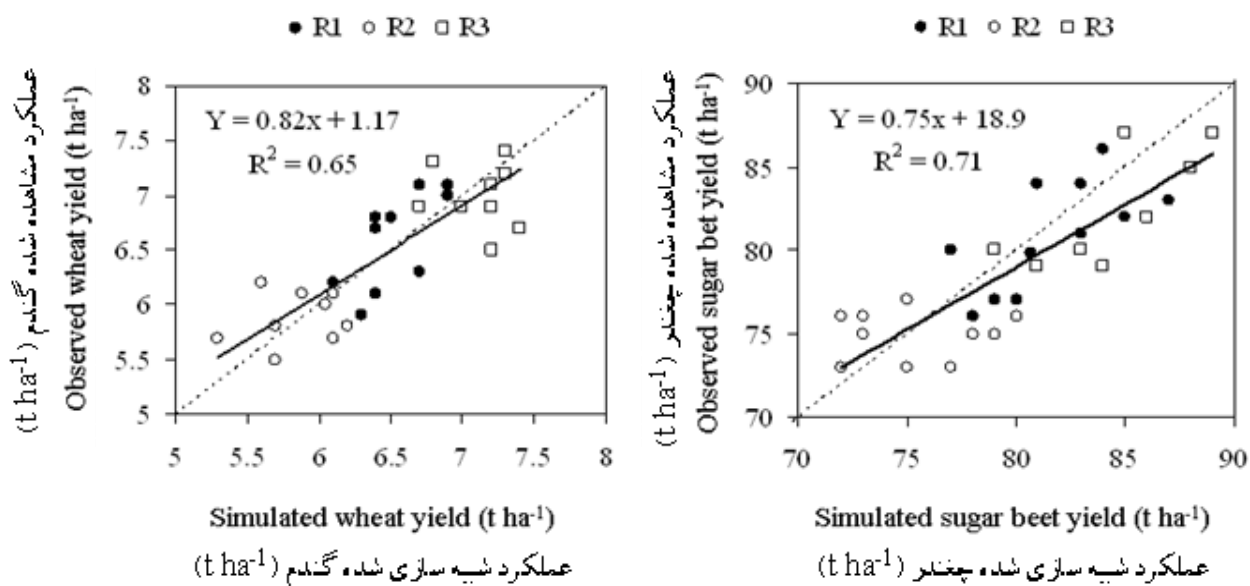
در استان به حدود ۶۰ درصد عملکرد پتانسیل قابل مهار این محصول رسیده است.

در پایان دوره (سال‌های ۱۳۹۲ و ۱۳۹۳) به طور متوسط ۴۰ درصد می‌باشد (شکل ۶، e6 و f6)، به بیان دیگر عملکرد واقعی چندرقدند

جدول ۱- مقایسه مقادیر درصدی جذر میانگین مربعات خطای پیش‌بینی (RMSE%) برای عملکرد گندم آبی و چندر در سه ناحیه اقلیمی کشاورزی خراسان پس از تعیین اعتبار مدل در سطح کرت آزمایشی و پس از تعیین اعتبار متقابل

Table 1- Comparison of percentage root mean squared error of prediction (RMSE%) for irrigated wheat and sugar beet yield in 3 agroclimatic regions of Khorasan Razavi after validation of model at plot level and after cross validation

| | Region 1 ناحیه ۱ | Region 2 ناحیه ۲ | Region 3 ناحیه ۳ |
|-----------------------|---------------------|---------------------|---------------------|
| | Wheat گندم | | |
| Plot validated model | 19.2 | 18.4 | 18.7 |
| Cross validated model | 11.3 | 10.6 | 11.1 |
| Δ RMSE | 7.9 | 7.8 | 7.6 |
| | Sugar beet چندرقدن | | |
| Plot validated model | 20.5 | 19.7 | 19.1 |
| Cross validated model | 13.1 | 12.1 | 12.6 |
| Δ RMSE | 7.4 | 7.6 | 6.5 |



شکل ۵- تعیین اعتبار متقابل مقادیر مشاهده شده و شبیه‌سازی شده عملکرد گندم و چندرقدن در ۳ ناحیه اقلیمی کشاورزی استان خراسان رضوی (R1, R2, R3). در مورد هر دو محصول شبیه‌سازی تفاوت معنی‌داری با خط ۱:۱ (خط نقطه‌چین) ندارد.

Figure 5- Cross validation of observed and simulated yields of wheat and sugar beet in 3 agroclimatic regions (R1, R2, R3) of Khorasan Razavi province. For both crops the slope of regression lines was not significantly different from 1:1 line (dotted line).

جدول ۲- میانگین عملکرد واقعی و ضریب تغییرات (CV) آن و مقادیر شبیه‌سازی شده عملکرد پتانسیل، خلاء عملکرد و خلاء نسبی عملکرد چغندرقند طی دوره ۱۰ ساله (۱۳۹۳-۱۳۸۴) در ۳ ناحیه اقلیمی کشاورزی استان خراسان رضوی و تغییر مقیاس نتایج به کل استان

Table 2- Mean actual yield and its coefficient of variation (CV) and simulated values of potential yield, yield gap and relative yield gap for sugar beet during a 10-year period (1384-1393) in 3 agroclimatic regions of Khorasan Razavi province and up-scaled results to the whole province

| | Region 1 ناحیه ۱ | Region 2 ناحیه ۲ | Region 3 ناحیه ۳ | Province استان |
|---|------------------------|---------------------|---------------------|-------------------|
| | Sugar beet چغندرقند | | | |
| Actual yield (YA kg ha ⁻¹) | عملکرد واقعی | 36.4 | 34.8 | 34.9 |
| CV (%) | ضریب تغییرات (%) | 9.5 | 11.9 | 10.8 |
| Potential yield (YP kg ha ⁻¹) | عملکرد پتانسیل | 84.9 | 78.6 | 87.7 |
| Yield gap (YG kg ha ⁻¹) | خلاء عملکرد | 48.5 | 43.8 | 52.8 |
| Relative gap | خلاء نسبی | 0.57 | 0.56 | 0.60 |
| Yield gap _{85%} (YG _{85%} kg ha ⁻¹) | خلاء عملکرد (٪/۸۵) | 35.8 | 32.0 | 39.6 |
| Relative gap (85%) | خلاء نسبی (٪/۸۵) | 0.50 | 0.48 | 0.53 |
| | | | | 0.52 |

ظاهر گردد (van Bussel *et al.*, 2015; van Wart *et al.*, 2013). میانگین جهانی عملکرد چغندرقند در سال ۲۰۱۵ در حدود ۵۲ تن در هکتار بوده و کشورهای اروپایی بالاترین عملکردها را در اختیار دارند که در میان آنها فرانسه با میانگین عملکرد ۸۸ تن در هکتار در صدر قرار دارد (FAOSTAT, 2015) در حالی که در آمار وزارت جهاد کشاورزی در سال ۱۳۹۳ (MJA, 2015) میانگین عملکرد این محصول در کشور ۴۷/۸ و در استان خراسان رضوی ۴۳/۴ تن در هکتار گزارش شده که در حدود ۲۰ درصد کمتر از میانگین جهانی می‌باشد.

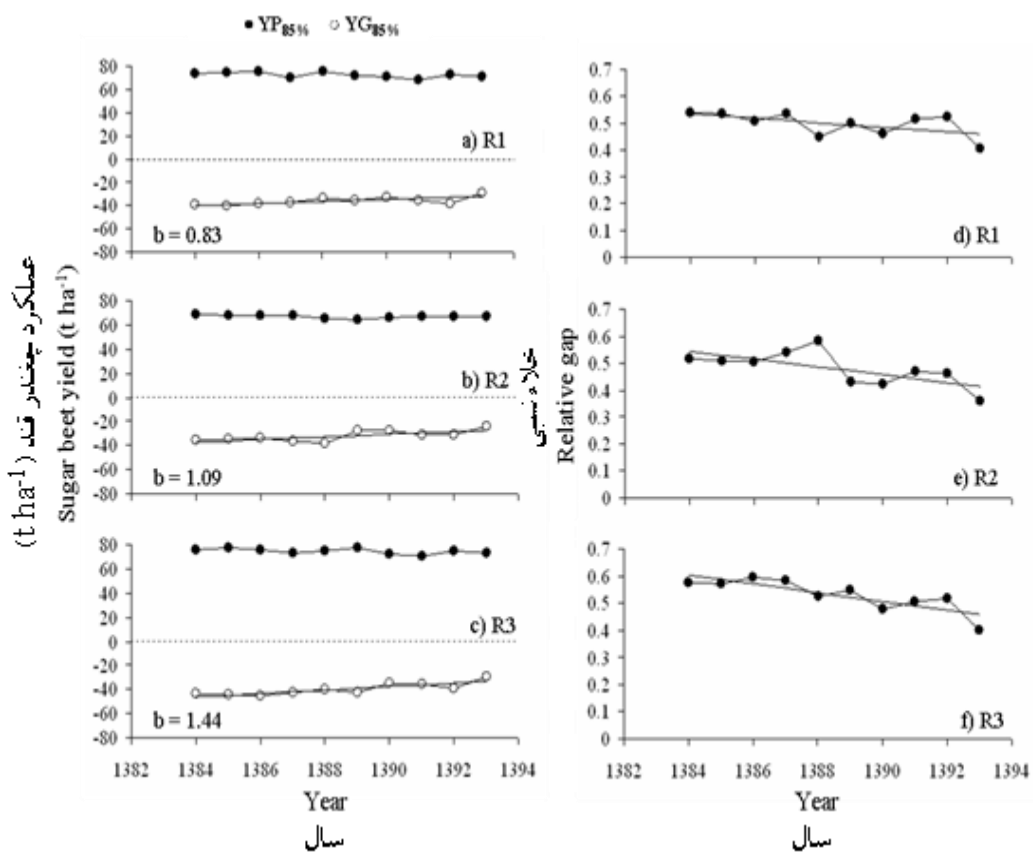
یافته‌های این تحقیق نشان می‌دهد که برای رسیدن میانگین عملکرد استان به سطح جهانی باید حداقل ۲۵ درصد از خلاء فعلی عملکرد چغندرقند از طریق بهبود عملیات زراعی پر شود. باید توجه داشت تا زمانی که عملکرد واقعی تفاوت قابل توجهی با عملکرد پتانسیل داشته باشد خلاء عملکرد عمدتاً ناشی از روش‌های مدیریت بوده و افزایش پتانسیل ژنتیکی ارقام تاثیر چندانی در افزایش عملکرد واقعی نخواهد داشت (Hall *et al.*, 2013; Espe, 2016).

عملکرد چغندرقند بهشت تابع میزان تشعشع جذب شده در طی فصل رشد است در این محصول رشد اولیه کانوپی سریع بوده و معمولاً پوشش زمین در فاصله ۵۰ روز بعد از سبز شدن کامل می‌شود به علاوه در شرایط مطلوب رشد، دوام کانوپی طولانی است و در حدود ۱۰۰ روز به طول می‌انجامد و در انتهای دوره رشد نیز پوشش کانوپی در حدود ۷۰ می‌باشد (Werker and Jaggard, 1998).

در ایران مطالعات اندکی در مورد برآورد عملکرد پتانسیل و خلاء عملکرد چغندرقند اجرا شده است برای مثال پارسا (Parsa, 2005) با استفاده از مدل شبیه‌سازی LINTUL عملکرد پتانسیل این محصول در استان خراسان رضوی را ۱۱۰ تن در هکتار به دست آورد و بر این اساس خلاء عملکرد آن در حدود ۷۰ درصد پیش‌بینی شد. دیهیم فرد و همکاران (Deihimfard *et al.*, 2015b) نیز با به کارگیری مدل SUCROS عملکرد پتانسیل و خلاء عملکرد چغندرقند در استان خراسان رضوی را به ترتیب ۱۰۰ و ۶۸ تن در هکتار برآورد کردند که بر این اساس عملکرد واقعی این محصول در استان تنها ۳۲ درصد از عملکرد پتانسیل آن می‌باشد.

نتایج این محققین با یافته‌های پژوهش حاضر تفاوت قابل توجهی دارد که دلیل آن عمدتاً مربوط به روش مطالعه است. در هر دو تحقیق فوق مدل شبیه‌سازی در مقیاس کرته‌های آزمایشی واسنجی و تعیین اعتبار شده و بدیهی است که پیش‌بینی چنین مدلی در مقیاس منطقه‌ای با خطا همراه خواهد بود در حالی که در این پژوهش پیش‌بینی‌ها پس از واسنجی و تعیین اعتبار متقابل مدل در مقیاس بزرگ انجام شده و در نتیجه از دقت بالاتری برخوردار است.

به علاوه بر اساس پروتکل پیشنهادی اطلس جهانی خلاء عملکرد که در این مطالعه به کار گرفته شد، جهت پیش‌بینی عملکرد پتانسیل و خلاء عملکرد در مقیاس منطقه‌ای یا ملی ابتدا باید نواحی اقلیمی کشاورزی تعیین و سپس میانگین طولانی مدت این مقادیر (حداقل ۱۰ ساله) در هر ناحیه برآورد شود تا تغییرات مکانی و زمانی خلاء



شکل ۶- عملکرد پتانسیل ($YP_{85\%}$) و خلاء قابل مهار ($YG_{85\%}$) عملکرد چندرقند در سه ناحیه اقلیمی کشاورزی استان خراسان رضوی (a-c) همراه با خلاء نسبی عملکرد (d-f) در طی دوره ۱۰ ساله ۱۳۸۴-۱۳۹۳. مقادیر خلاء عملکرد به صورت منفی نشان داده شده است تا سرعت پر شدن خلاء (b, $t \text{ ha}^{-1} \text{ y}^{-1}$) در طی دوره تحت بررسی مشخص شود.

Figure 6– Potential yield ($YP_{85\%}$) and exploitable yield gap ($YG_{85\%}$) of sugar beet in 3 agroclimatic regions of Khorasan Razavi province (a-c) and relative gap (d-f) during 1384-1393 periods. Yield gap is presented as negative values to show the rate of gap filling (b, $t \text{ ha}^{-1} \text{ y}^{-1}$) during the studied period

اردیبهشت در تمام نواحی اقلیمی استان کاهش می‌باید بنابراین به‌نظر می‌رسد تنظیم دقیق تاریخ کاشت روش مدیریتی مناسبی در کاهش خلاء عملکرد این محصول باشد. در همین ارتباط کشت پاییزه چندرقند که در سال‌های اخیر با تشديد اثرات گرمایشی تغییر اقلیم مورد توجه محققین کشور و استان خراسان رضوی قرار گرفته و در مناطق مدیترانه‌ای و برخی کشورهای اروپایی نیز موفقیت‌آمیز بوده است (Jaggard and Werker, 1999; Kluge-Severin *et al.*, 2009) راهکار موثری برای بهبود جذب تشعشع و افزایش عملکرد به منظور پر کردن خلاء فعلی محسوب می‌شود. شواهد آزمایشی نشان داده است که در کشت پاییزه علاوه بر جذب بیشتر تشعشع، کارآبی مصرف نور چندرقند نیز در حدود ۱۰ درصد بالاتر از کشت بهاره است (Hoffmann and Kluge-Severin, 2010).

اصلاح ارقام مقاوم به بولتینگ بروز یخ‌بندان‌های ناگهانی و شدید که افزایش فراوانی آنها از ویژگی‌های تغییر اقلیم محسوب می‌شود باعث

تنظیم تاریخ کاشت از جمله روش‌های زراعی می‌باشد که در گیاهانی که رشد رویشی آنها مورد توجه است و به‌ویژه در چندرقند Kenter *et al.*, (2006) نقش مهمی در جذب نور و شکل‌گیری عملکرد دارد. نتایج شبیه‌سازی نشان داد که در تاریخ کاشت بهینه مجموع تشعشع جذب شده توسط کانوپی چندرقند در مناطق مختلف اقلیمی استان خراسان بین ۱۹۰۰-۱۷۰۰ مگاژول در متر مربع است. با محاسبات ساده‌ای (Nassiri Mahallati and Koocheki, 2019) می‌توان تخمین زد که در شرایط پتانسیل میزان ماده خشک تولیدی با این مقدار تشعشع جذب شده و کارآبی مصرف نور ۱/۴۸ گرم بر مگاژول بین ۲۵-۲۸ تن در هکتار است که با احتساب شاخص برداشت ۸۰ درصد و درصد ماده خشک، معادل عملکرد غده به میزان ۸۰ تا ۹۰ تن در هکتار می‌باشد و با نتایج حاصل از شبیه‌سازی (جدول ۲) نیز قابل مقایسه است. البته عملکرد پتانسیل چندرقند نسبت به تغییر تاریخ کاشت حساس بوده و با تأخیر در کشت به‌ویژه بعد از نیمه

تحقیق نیافته است بین ۰/۵۸ تا ۰/۶۳ می باشد به علاوه نواحی اقلیمی ۳ و ۲ بهترتب دارای بیشترین و کمترین خلاء عملکرد هستند. تغییر مقیاس نتایج از نواحی اقلیمی به کل استان نشان داد که عملکرد پتانسیل و خلاء عملکرد این محصول در خراسان رضوی بهترتب ۶۹۳۶ و ۴۰۶۱ کیلوگرم در هکتار است و درنتیجه عملکرد واقعی تنها ۴۱ درصد از عملکرد پتانسیل می باشد (جدول ۳). البته خلاء قابل مهار عملکرد گندم آبی (خلاء ۸۵٪) در کل استان ۵۱ درصد عملکرد پتانسیل بوده و مقدار نسبی آن در نواحی سه گانه اقلیمی نیز بین ۵۱ (ناحیه ۲) تا ۵۶ درصد (ناحیه ۳) می باشد.

افزایش رسیک در کشت پاییزه چغندر قند خواهد شد.

عملکرد پتانسیل و خلاء عملکرد گندم آبی

میانگین ۱۰ ساله (۱۳۹۳-۱۳۸۴) عملکرد پتانسیل گندم آبی در نواحی اقلیمی ۱، ۲ و ۳ بهترتب ۷۲۴۸، ۶۴۷۴ و ۷۸۵۲ کیلوگرم در هکتار برآورده است در حالی که در طی همین دوره میانگین عملکرد واقعی این ۳ ناحیه بهترتب ۲۸۹۰، ۲۷۱۰ و ۲۹۵۰ کیلوگرم در هکتار بوده است (جدول ۳). بنابراین خلاء عملکرد در هر سه ناحیه بزرگ و در دامنه‌ای بین ۳۷۰۰-۴۹۰۰ کیلوگرم در هکتار قرار دارد و مقدار نسبی این خلاء یا به بیان دیگر بخشی از عملکرد پتانسیل که هنوز

جدول ۳- میانگین عملکرد واقعی و ضریب تغییرات (CV) آن و مقادیر شبیه‌سازی شده عملکرد پتانسیل، خلاء عملکرد و خلاء نسبی عملکرد گندم آبی طی دوره ۱۰ ساله (۱۳۹۳-۱۳۸۴) در ۳ ناحیه اقلیمی کشاورزی استان خراسان رضوی و تغییر مقیاس نتایج به کل استان

Table 3- Mean actual yield and its coefficient of variation (CV) and simulated values of potential yield, yield gap and relative yield gap for irrigated wheat during a 10-year period (1384-1393) in 3 agroclimatic regions of Khorasan Razavi province and up-scaled results to the whole province

| Province استان | Region 3 ناحیه ۳ | Region 2 ناحیه ۲ | Region 1 ناحیه ۱ | Irrigated wheat گندم آبی |
|---|---------------------|---------------------|---------------------|-----------------------------|
| | | | | |
| Actual yield (YA kg ha ⁻¹) | عملکرد واقعی | 2893 | 2710 | 2951 |
| CV (%) | ضریب تغییرات (%) | 19.3 | 22.0 | 16.7 |
| Potential yield (YP kg ha ⁻¹) | عملکرد پتانسیل | 7248 | 6474 | 7852 |
| Yield gap (YG kg ha ⁻¹) | خلاء عملکرد | 4409 | 3764 | 4937 |
| Relative gap | خلاء نسبی | 0.61 | 0.58 | 0.63 |
| Yield gap _{85%} (YG _{85%} kg ha ⁻¹) | خلاء عملکرد (۸۵٪) | 3268 | 2792 | 3723 |
| Relative gap (85%) | خلاء نسبی (۸۵٪) | 0.53 | 0.51 | 0.56 |

همکاران (Gharineh *et al.*, 2009) با استفاده از مدل WOFOST پتانسیل عملکرد گندم آبی در استان خوزستان را طی دوره‌ای ۱۳ ساله بین ۷۵۳۹ تا ۹۲۴۵ کیلوگرم در هکتار و خلاء عملکرد را ۵۰۶۹-۳۱۳۸ کیلوگرم در هکتار معادل ۴۱/۶ تا ۶۵/۸ درصد عملکرد پتانسیل تخمین زدند. طائی سمیرمی و همکاران (Taei Semiroomi *et al.*, 2012) با ارزیابی بوم نظامه‌ای گندم حوضه آبریز بروجن پتانسیل عملکرد گندم آبی این منطقه را بر اساس پیش‌بینی مدل WOFOST بین ۲/۶-۶/۴ تن در هکتار و خلاء عملکرد در این حوضه را در دامنه ۴/۲-۶/۲ تن در هکتار به دست آوردند. سید جلالی و همکاران (Seyed Jalali *et al.*, 2012) نیز پتانسیل عملکرد گندم آبی در منطقه عقیلی استان خوزستان را با استفاده از روش فائقه بسته به نوع مدیریت بین ۶/۵-۷/۵ تن در هکتار در هکتار برآورد کردند. باوجودی که این مطالعات در مقیاس منطقه‌ای اجرا شده‌اند ولی بر مبنای مجموعه این نتایج به نظر می‌رسد که پتانسیل عملکرد گندم آبی در کشور در دامنه ۶/۵-۷/۵ تن در هکتار قرار داشته و با توجه به

طی سال‌های اخیر خلاء عملکرد گندم آبی در برخی مناطق کشور مورد ارزیابی قرار گرفته است. برای مثال نصیری محلاتی و کوچکی (Nassiri Mahallati and Koocheki, 2009) میانگین عملکرد پتانسیل گندم و خلاء آن در استان خراسان رضوی را طی سال‌های ۱۳۷۵-۸۵ بهترتب ۶/۹ و ۴/۳ تن در هکتار پیش‌بینی کردند که این خلاء ۶۳ درصد عملکرد پتانسیل بود البته بر اساس نتایج تحقیق حاضر در فاصله سال‌های ۱۳۸۴-۹۳ میانگین خلاء نسبی به دوره ۱۰ ساله قبلی تنها ۴ درصد کاهش یافته است. دیهیم فرد و همکاران (Deihimfard *et al.*, 2015a) عملکرد پتانسیل گندم آبی در کل استان خراسان را ۷/۸ و خلاء آن را ۵/۲ تن در هکتار برآورده کردند که نشان می‌دهد عملکرد واقعی استان در حدود ۳۳ درصد پتانسیل آن می‌باشد لازم به ذکر است که این ارزیابی تنها مربوط به یک سال (سال انجام مطالعه) و هر سه استان خراسان می‌باشد در حالی که بر مبنای میانگین ۱۰ ساله، عملکرد واقعی استان خراسان رضوی به ۴۱ درصد پتانسیل رسیده است (جدول ۳). قرینه و

سال‌های گذشته بر اساس نظر محققین مرکز تحقیقات کشاورزی استان تعیین شدند ولی به هر حال هر گونه خطا در این اطلاعات دقت پیش‌بینی عملکرد پتانسیل را تحت تاثیر قرار خواهد داد.

از سوی دیگر عملکرد پتانسیل ممکن است تحت تاثیر تغییر شرایط اقلیمی نیز قرار گیرد، این تغییرات می‌تواند مانع از تحقق پتانسیل ژنتیکی ارقام شده و گاه نیز باعث بهبود آن شود (Hall and Richards, 2013; Neumann *et al.*, 2010) (Hochman *et al.*, 2016) بیان داشتند مثال هاچمن و همکاران (Hochman *et al.*, 2016) کاهاش میزان بارش سالانه باعث کاهش عملکرد پتانسیل ارقام پر کاهاش میزان بارش سالانه شده است در حالی که جاگارد و محصول گندم دیم در استرالیا شده است در سال ۲۰۱۰ (Jaggard *et al.*, 2010) نشان دادند که افزایش پتانسیل عملکرد چند رقند در انگلستان از ابتدای قرن اخیر عمدهاً ناشی بهبود شرایط اقلیمی به ویژه درجه حرارت فصل بهار به دلیل گرمایش جهانی بوده و اصلاح ارقام نقشی در آن نداشته است.

با وجود ثابت بودن روند تغییرات عملکرد پتانسیل، عملکرد واقعی گندم آبی استان در حدود ۵۰ درصد این پتانسیل است. تا زمانی که عملکرد واقعی تفاوت قابل توجهی با پتانسیل محیطی داشته باشد روش‌های مدیریتی راهکار اصلی برای پرکردن خلاء عملکرد می‌باشد و اهمیت روش‌های اصلاح نباتات در صورتی بر جسته خواهد بود که خلاء عملکرد به صفر نزدیک شود (Fischer, 2015; Espe *et al.*, 2016). بنابراین بر اساس یافته‌های این تحقیق تنظیم عملیات مدیریت زراعی راهکار اصلی در جهت کاهش خلاء عملکرد گندم آبی در استان محسوب می‌شوند. در همین ارتباط دیهیم فرد و همکاران (Deihimfard *et al.*, 2015a) نشان دادند که خلاء عملکرد گندم در استان خراسان عمدهاً مبنای مدیریتی داشته و بین ۵۰ تا ۶۰ درصد از این خلاء مربوط به مدیریت نیتروژن و آب می‌باشد. سلطانی و همکاران (Soltani *et al.*, 2016) نیز نشان دادند که با روش‌های مدیریتی می‌توان خلاء عملکرد خود در کشور را تا ۷۵ درصد کاهش داد.

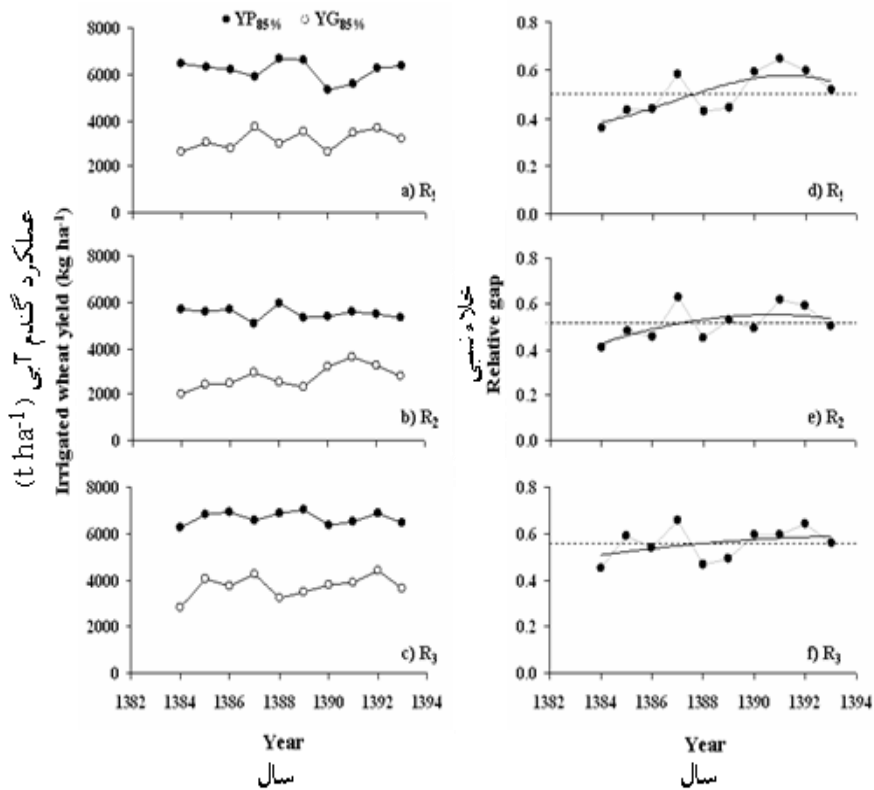
علی‌رغم معنی دار نبودن روند تغییرات عملکرد پتانسیل، نوسان سالانه آن قابل توجه و بین ۰/۱ تا ۲ تن در هکتار می‌باشد (شکل‌های ۷b و ۷c). نوسان عملکرد پتانسیل در طی زمان در سایر مطالعات نیز گزارش شده است برای مثال آبلدو و همکاران (Abeledo *et al.*, 2008) تغییرات عملکرد پتانسیل گندم در آرژانتین را در طی دوره‌ای ۱۷ ساله بین ۳/۵ تا ۸ تن در هکتار گزارش کردند. این محققین نشان دادند که تغییرات سال به سال میانگین تشعشع روزانه در فاصله کاشت تا گرده‌افشانی دلیل اصلی نوسان عملکرد پتانسیل گندم بوده است.

میانگین عملکرد این محصول در کشور (تقرباً ۳ تن در هکتار) خلاء عملکرد گندم آبی در مقیاس ملی قابل توجه و در محدوده ۵۵ تا ۶۰ درصد عملکرد پتانسیل می‌باشد. باید توجه داشت که تحقق کامل عملکرد پتانسیل به دلیل بازده نزولی عملکرد در پاسخ به کود و سایر منابع تولید مستلزم مصرف مقادیر بیشتری از نهاده‌ها خواهد بود که این امر از نظر کشاورزان به لحاظ اقتصادی و از نظر برنامه‌ریزان به لحاظ زیستمحیطی قابل پذیرش نمی‌باشد و شواهد موجود تیز نشان داده که در پیشرفت‌های ترین بوم‌نظم‌های زراعی نیز عملکرد واقعی در ۸۵ درصد عملکرد پتانسیل به ثبات رسیده است (Lobell *et al.*, 2009; Koning and van Ittersum, 2009; Grassini *et al.*, 2011).

البته حتی بر اساس خلاء ۸۵ درصد نیز مشابه آنچه برای خراسان رضوی ارائه شد (جدول ۳) در حال حاضر تنها ۵۰ درصد از پتانسیل عملکرد گندم آبی کشور در عمل تحقق یافته است.

در شکل‌های ۷a تا ۷c تغییرات ۱۰ ساله عملکرد پتانسیل (YP_{85%}) و خلاء قابل مهار عملکرد (YG_{85%}) گندم آبی در نواحی اقلیمی کشاورزی استان ارائه شده است. عملکرد پتانسیل در هیچ‌یک از سه ناحیه روند معنی‌داری را نشان نداد. خلاء عملکرد علی‌رغم نوسان سالانه، در ابتدای دوره نسبتاً پایین بود ولی در ادامه افزایش یافت و در هر سه ناحیه اقلیمی از ۴ تن در هکتار نیز تجاوز کرد البته در سال‌های انتهایی دوره نشانه‌هایی از کاهش خلاء مشهود می‌باشد. بر این اساس خلاء نسبی عملکرد که در ابتدای دوره بین ۳۵–۴۵ درصد بود در میانه دوره ۱۰ ساله به ۵۵–۶۰ درصد رسید و در پایان دوره ۵۰ درصد می‌باشد این شواهد نشان می‌دهد که روند تغییرات خلاء عملکرد گندم در استان خراسان رضوی خطی نبوده و با فرم درجه ۲ انتطاق بهتری دارد (شکل‌های ۷d تا ۷f).

به‌طور کلی انتظار می‌رود عملکرد پتانسیل در طی زمان با شبیه مثبت که نشان‌دهنده پتانسیل ژنتیکی عملکرد اصلاح شده جدید است افزایش یابد (Fischer *et al.*, 2015; van Ittersum *et al.*, 2013)، البته باید توجه داشت که برای تعیین دقیق این شبیه عملکرد پتانسیل باید بر اساس سال آزادسازی ارقام بررسی شود. برای مثال Koocheki and Nassiri Mahallati (2019) با ارزیابی ارقام آزاد شده در فاصله سال‌های ۹۰-۱۳۴۷ نشان دادند که پتانسیل ژنتیکی ارقام گندم آبی کشور به میزان ۵۷ کیلوگرم در هکتار در سال افزایش یافته است با این وجود در تحقیق حاضر عملکرد پتانسیل گندم در استان روند معنی‌داری نشان نداد (شکل ۶) که احتمالاً به دلیل عدم دسترسی به اطلاعات دقیق در مورد ارقام کشت شده در طی دوره ۱۰ ساله در هر ناحیه اقلیمی می‌باشد. در همین ارتباط دیهیم فرد و همکاران (Deihimfard *et al.*, 2015a) با مقایسه ۳ رقم گندم در مناطق مختلف استان خراسان نشان دادند که میانگین عملکرد پتانسیل شبیه‌سازی شده ارقام تا ۲ تن در هکتار تفاوت داشت. با وجودی که در تحقیق حاضر ارقام گندم زیر کشت در



شکل ۷- عملکرد پتانسیل ($Y_{P85\%}$) و خلاصه عملکرد ($Y_{G85\%}$) گندم آبی در سه ناحیه اقلیمی کشاورزی استان خراسان رضوی (a-c) همراه با خلاصه نسبی عملکرد ($Y_{G85\%}/Y_{P85\%}$) (d-f) در طی دوره ۵ ساله ۱۳۸۴-۱۳۹۳

Figure 7- Potential yield ($Y_{P85\%}$) and yield gap ($Y_{G85\%}$) of irrigated wheat in 3 agroclimatic regions of Khorasan Razavi province (a-c) and relative gap ($Y_{G85\%}/Y_{P85\%}$) in the studied regions (e-f) during 1384-1393 period

افزایش عملکرد دانه (کیلوگرم در هکتار در روز) را از مشتق اول تابع سیگمویدی برآورد کرد (شکل ۸). نقاط تلاقی مشتق سوم تابع سیگمویدی با محور x (شکل ۸) زمان دقیق شروع و پایان دوره موثر پر شدن دانه (EGFP) را مشخص می‌سازد (Dionora and Dionora and Kropff, 1995).

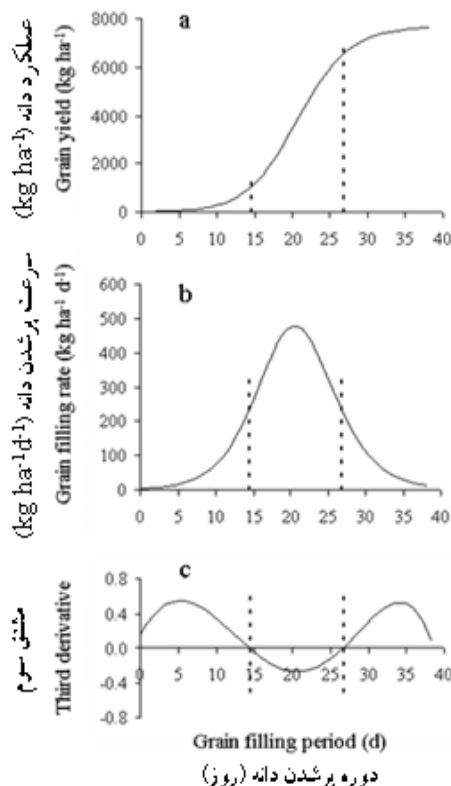
بر اساس نتایج ارائه شده در شکل ۱۰ طول دوره پرشدن دانه گندم آبی برای شرایط شبیه‌سازی (مشهد، سال زراعی ۱۳۹۰-۹۱) ۳۸ روز و طول دوره موثر پر شدن دانه ۱۳/۷ روز است. باید توجه داشت که میانگین سرعت افزایش عملکرد دانه در طی EGFP بسیار زیاد و برای داده‌های شکل ۱۰ در حدود ۴۰۰ کیلوگرم در هکتار در روز است به بیان دیگر با وجودی که EGFP تنها ۳۴ درصد از کل دوره پرشدن دانه می‌باشد در حدود ۶۷ درصد از عملکرد در طی آن تجمع می‌یابد. در ادامه طول دوره موثر پر شدن دانه طی ۱۰ سال برای ۲ شهر منتخب از هر یک از ۳ ناحیه اقلیمی (مجموعاً ۶۰ مقدار) به روش فوق محاسبه شد. نتایج نشان داد طول این دوره برای گندم آبی در شرایط پتانسیل و در نواحی مختلف اقلیمی استان بین ۱۹ تا ۲۷ روز

البته در مطالعه حاضر تغییر قابل توجهی از نظر میزان تشعشع بین سال‌های مختلف مشاهده نشد بنابراین به نظر می‌رسد که عوامل دیگری در تغییرات سالانه Y_P گندم آبی (شکل ۷) موثرند. طول دوره پرشدن دانه نقش تعیین‌کننده‌ای در عملکرد غلات دارد در این ارتباط دیونورا و کراپف (Dionora and Kropff, 1995) در مطالعه‌ای بر روی برنج نشان دادند که طول دوره موثر پر شدن دانه^۱ (EGFP) یعنی مدت زمانی که تجمع ماده خشک در دانه به صورت خطی افزایش می‌یابد تعیین‌کننده پتانسیل عملکرد در ارقام برنج می‌باشد. دینگکوهن و همکاران (Dingkuhn et al., 2015) نیز EGFP را عامل مهمی در شکل گیری عملکرد پتانسیل در برنج ذکر کردند. بر این اساس با استفاده از نتایج شبیه‌سازی تاثیر طول دوره پرشدن دانه بر تغییرات عملکرد پتانسیل گندم آبی در استان خراسان مورد بررسی قرار گرفت. مدل LINTUL روند تجمع ماده خشک در دانه (عملکرد دانه، کیلوگرم در هکتار) را با فواصل یک روزه شبیه‌سازی می‌کند. با برآذش نابع سیگمویدی به این داده‌ها (شکل a8) می‌توان سرعت

۱- Effective grain filling period

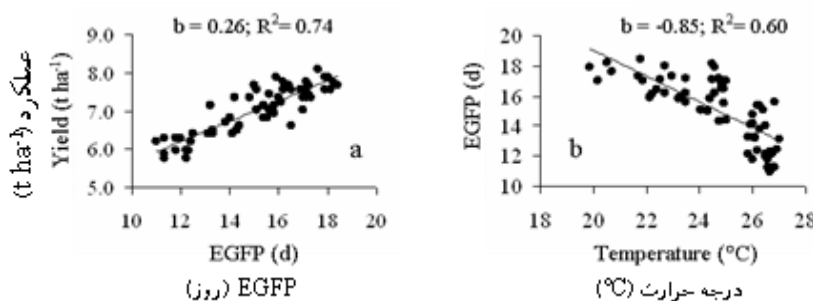
طول دوره موثر بر شدن دانه بوده و به ازای هر روز افزایش طول EGFP، این عملکرد در حدود ۲۶۰ کیلوگرم در هکتار افزایش می‌باید.

است. رابطه بین مقادیر EGFP و عملکردهای شبیه‌سازی شده متناظر با آنها (شکل ۹) حاکی از آن بود که ۷۴ درصد از تغییرات مشاهده شده در عملکرد پتانسیل گندم آبی استان طی دوره ۱۰ ساله مربوط به



شکل ۸- a) پیش‌بینی روند تجمع وزن خشک دانه گندم آبی در شرایط آب و هوایی مشهد در سال زرعی ۱۳۹۰-۹۱ می‌باشد) و برآنش تابع سیگمویدی برای توصیف روند. b) برآورد سرعت تجمع ماده خشک دانه گندم بر اساس مشتق اول تابع سیگمویدی. c) مشتق سوم تابع سیگمویدی برای تعیین زمان شروع و اتمام دوره موثر پرشدن دانه (EGFP).

Figure 8- a) Time trend of grain filling of wheat simulated by LINTUL model (data from simulation results under Mashhad conditions for 2011-2012 season) and fitted sigmoid function. b) Grain filling rate estimated from the first derivative of the sigmoid function. c) Third derivative of the sigmoid function showing start and end of effective grain filling period (EGFP)



شکل ۹- رابطه طول دوره موثر پرشدن دانه (EGFP) و عملکرد پتانسیل گندم آبی (a) و پاسخ EGFP به میانگین روزانه درجه حرارت در طی دوره پرشدن دانه (b). داده‌ها (b). داده‌ها (n=۶۰) حاصل ۱۰ سال شبیه‌سازی عملکرد گندم در ۲ شهر منتخب از هر یک از ۳ ناحیه اقلیمی استان می‌باشد.

Figure 9- Relation between effective grain filling period (EGFP) and potential yield of irrigated wheat (a) and response of EGFP to mean daily temperature during grain filling period (b). Data points (n=60) are obtained from 10 years simulation of wheat yield in 2 selected stations from each of 3 climatic regions of the province

۵۴٪ فرار دارد یعنی در استان‌های تحت بررسی عملکرد واقعی بین ۵۰ تا ۵۰ درصد حداکثر عملکرد قابل حصول می‌باشد. ۲۵ با وجودی که مدل‌های شبیه‌سازی متعددی برای پیش‌بینی عملکرد محصولات زراعی در شرایط محدودیت آب وجود دارد ولی واستجی و تعیین اعتبار این مدل‌ها مستلزم دسترسی به داده‌های دقیق آزمایشی است و بدون چنین داده‌هایی از دقت کافی برخوردار نمی‌باشد (Grassini *et al.*, 2015). تابع تولید مرزی از جمله روش‌های رایج در تخمین خلاء عملکرد محصولات زراعی است که در سال‌های اخیر جهت پیش‌بینی عملکرد پتانسیل و خلاء عملکرد به کار گرفته شده است (Kumbhakar and Tsionas, 2006; Neumann *et al.*, 2010; Affholder *et al.*, 2013) و جایگزین مناسبی برای مدل‌های شبیه‌سازی در شرایط محدودیت داده می‌باشد (van Ittersum *et al.*, 2013).

با استفاده از تابع مرزی (شکل a10) عملکرد پتانسیل گندم دیم در ۳ ناحیه اقلیمی استان بین ۱۹۹۴ تا ۲۸۱۲ و میانگین ۱۰ ساله آن در کل استان ۲۴۳۱ کیلوگرم در هکتار برآورد شد (جدول ۴) در حالی که میانگین ۱۰ ساله عملکرد واقعی استان ۴۴۱ کیلوگرم در هکتار بوده و بالاترین مقدار آن در ناحیه ۱ از ۵۶۲ کیلوگرم در هکتار تجاوز نکرد به علاوه خربی تغییرات عملکرد واقعی گندم دیم استان بین ۲۷-۲۹ درصد و به مراتب بیشتر از گندم آبی (جدول ۳) می‌باشد. پایین بودن عملکردهای واقعی باعث ایجاد خلاء بسیار زیاد معادل ۸۴۰۰ تا ۲۲۰۰ کیلوگرم در هکتار شده است که در حدود ۸۰ تا ۱۶۰۰ درصد عملکرد پتانسیل می‌باشد بنابراین عملکرد واقعی گندم دیم استان تنها ۲۰ درصد پتانسیل آن است (جدول ۴). به نظر می‌رسد پایین بودن کارآیی مصرف آب در دیم‌زارهای استان نقش مهمی در شکل گیری این وضعیت دارد. برآورد کارآیی مصرف آب (WUE) بر مبنای تابع تولید مرزی (شکل ۱۱) نشان داد که WUE در شرایط پتانسیل برای تولید گندم دیم با افزایش بارندگی افزایش یافته و در بارش‌های بین ۲۲۰ تا ۳۲۰ میلی‌متر به بالاترین مقدار ۱/۳۵ کیلوگرم دانه به ازای متر مکعب آب) می‌رسد و نهایتاً در بارندگی‌های بالاتر از ۳۶۰ میلی‌متر به تدریج کاهش می‌یابد.

با وجودی که مقادیر واقعی WUE به مراتب کمتر از مقدار قابل حصول بود ولی از میزان بارندگی تبعیت کرده و با افزایش بارش از ۳/۰ به ۰/۷ کیلوگرم دانه به ازای مترمکعب آب رسید (شکل ۱۱). یافته‌های این تحقیق نشان می‌دهد که خلاء عملکرد گندم دیم در استان‌های تحت بررسی به طور معنی‌داری تابع کارآیی مصرف آب است (شکل ۱۲) و ۶۹ درصد از تغییرات مشاهده شده در خلاء عملکرد به وسیله WUE توصیف می‌شود. مطالعات انجام شده در مورد برآورد عملکرد پتانسیل گندم در شرایط دیم بسیار محدود است برای مثال طائی سميرمی و همکاران

از سوی دیگر نتایج حاکی از وجود رابطه منفی و معنی‌داری ($R^2=0.60$) بین EGFP و میانگین درجه حرارت روزانه در طی دوره پر شدن دانه است (شکل b9) به طوری که به ازای هر یک درجه سانتی‌گراد افزایش دما در طی دوره پر شدن دانه ۰/۸۵ روز از طول EGFP کاسته شده که تقریباً معادل ۲۲۰ کیلوگرم دانه در هکتار می‌باشد. تاثیر افزایش درجه حرارت بر کاهش عملکرد گندم بدليل کوتاه شدن طول مراحل نموی در بسیاری از مطالعات (برای مثال Fulco and Sentholt, 2006; Xiao, *et al.*, 2008 ایران (Koocheki and Nassiri Mahallati, 2016) گزارش شده است. بنابراین به نظر می‌رسد که افزایش درجه حرارت ناشی از گرمایش جهانی در طی دهه گذشته عامل اصلی نوسان مشاهده شده (شکل ۷) در پتانسیل عملکرد گندم آبی در استان خراسان باشد.

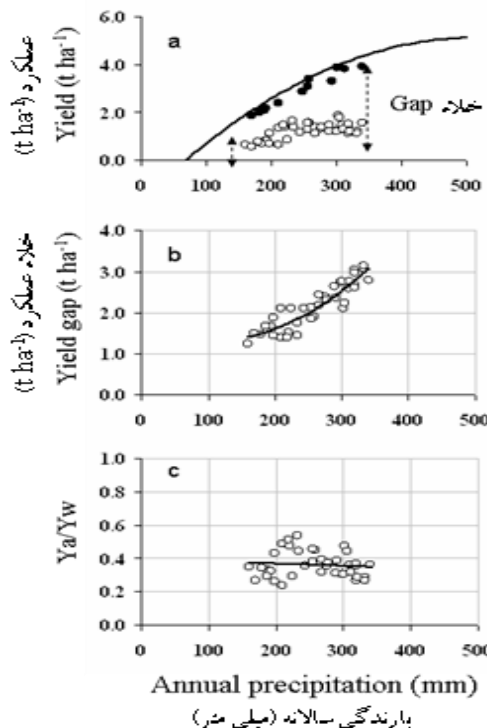
عملکرد پتانسیل و خلاء عملکرد گندم دیم

تابع تولید مرزی بین عملکردهای ثبت شده گندم دیم از مزارع پر محصول و آزمایشات ایستگاهی در استان‌های خراسان رضوی و شمالی در پاسخ به میزان بارش سالانه در شکل a10 ارائه شده است. نقاط روی منحنی در هر سطحی از بارندگی نشان‌دهنده عملکرد قابل حصول یا به بیان دیگر عملکرد پتانسیل گندم دیم می‌باشدند و اختلاف بین عملکردهای مشاهده شده با تابع مرزی خلاء عملکرد در هر مقدار بارش را مشخص می‌سازد. بر اساس این نتایج عرض از مبدأه تابع مرزی در ۸۰ میلی‌متر بارندگی قرار دارد و با افزایش بارش عملکرد به صورت خطی افزایش یافته و در بارش‌های بالاتر از ۵۰۰ میلی‌متر تقریباً به ثبات می‌رسد (شکل a10). نتایج نشان می‌دهد که در يوم نظامهای تولید گندم دیم استان‌های خراسان رضوی و شمالی میزان بارش سالانه در دامنه‌ای بین ۱۶۰ تا ۳۴۰ میلی‌متر قرار دارد که بیش از ۹۵ درصد آن در طی دوره رشد گندم نازل می‌شود. در این يوم نظامهای عملکرد نسبتاً پایین و در محدوده ۰/۵ تا ۱/۸ تن در هکتار است البته عملکردهای گزارش شده از آزمایشات ایستگاهی با مدیریت دقیق و مزارع پر محصول در همین دامنه بارندگی بین ۲ تا ۴ تن در هکتار می‌باشد که نشان‌دهنده پتانسیل بالا و درنتیجه خلاء قابل توجه عملکرد در این مناطق است به طوری که خلاء عملکرد گندم دیم در دو استان تحت بررسی بین ۱/۲ تا ۳/۱ تن در هکتار برآورد گردید (شکل b10). به علاوه با افزایش بارندگی خلاء عملکرد نیز افزایش می‌یابد به عبارت دیگر در مناطقی که عملکرد پتانسیل گندم دیم بیشتر است خلاء عملکرد بالاتر خواهد بود.

لازم به ذکر است نسبت عملکرد واقعی (Ya) به حداکثر عملکرد قابل حصول در شرایط دیم (Yw) با میزان بارندگی سالانه رابطه معنی‌داری نداشت (شکل c10) و در نتیجه با افزایش عملکرد پتانسیل گندم دیم مقدار Ya/Yw تقریباً ثابت بوده و در دامنه‌ای بین ۰/۴ تا

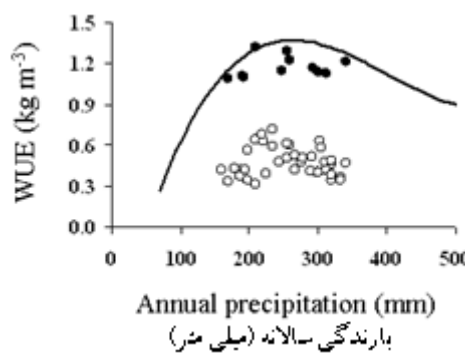
را $2/4-3/2$ تن در هکتار و خلاء عملکرد آن را $3/0-3/6$ تن در هکتار برآورد کردند.

(Taei Semiroomi *et al.*, 2012) پتانسیل عملکرد گندم دیم در حوضه آبریز بروجن با بارندگی سالانه حدود ۳۰۰ میلی‌متر



شکل ۱۰- a) تابع مرزی تولید جهت توصیف رابطه عملکرد گندم دیم و میزان بارندگی سالانه در استان خراسان رضوی و شمالی، دایره‌های سیاه مقادیر عملکرد در آزمایشات ایستگاهی و مزارع پر محصول می‌باشند که تابع مرزی به آنها برآشش شده است و دایره‌های سفید عملکردهای واقعی را مشخص می‌سازند. (b) رابطه بین خلاء عملکرد گندم دیم و میزان بارندگی سالانه و (c) رابطه نسبت عملکرد واقعی (Y_a) به عملکرد قابل حصول (با میزان بارندگی سالانه) در استان‌های خراسان رضوی و شمالی

Figure 10- a) Frontier production function for relation between rainfed wheat yield and annual precipitation in Khorasan Razavi and Shomali provinces. The function is fitted to yields recorded in controlled experiments and high yielding farms (closed circle a), actual yields are shown with open circles. b) Relation between yield gap of rainfed wheat and annual precipitation and. c) relation between ratio of actual yield to attainable yield (Y_a/Y_w) and annual precipitation in Khorasan Razavi and Shomali provinces



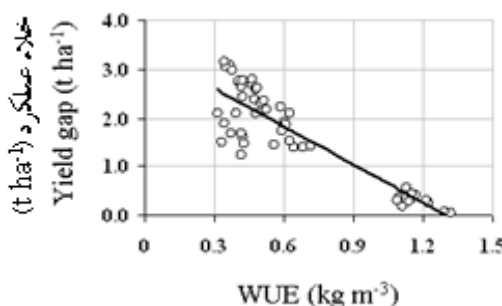
شکل ۱۱- رابطه کارآبی مصرف آب (WUE) و میزان بارندگی سالانه در بوم‌نظام‌های تولید گندم دیم استان خراسان رضوی و شمالی. که بر اساس تابع تولید مرزی (شکل ۴-الف) برآورده شده است، دایره‌های سیاه مقادیر ایستگاهی و مزارع پرمحصول و دایره‌های سفید مقادیر مشاهده شده WUE می‌باشند.

Figure 11- Relation between water use efficiency (WUE) and annual precipitation for rainfed wheat production systems of Khorasan Razavi and Shomali provinces obtained from frontier production function, closed circles show WUE of controlled experiments and high yielding fields and open circles are actual WUE

جدول ۴- میانگین عملکرد واقعی و ضریب تغییرات (CV) آن و مقادیر شبیه‌سازی شده عملکرد پتانسیل، خلاء عملکرد و خلاء نسبی عملکرد گندم دیم طی دوره ۱۰ ساله (۱۳۸۴-۱۳۹۳) در ۳ ناحیه اقلیمی کشاورزی استان خراسان رضوی و تغییر مقیاس نتایج به کل استان

Table 4- Mean actual yield and its coefficient of variation (CV) and predicted values of potential yield, yield gap and relative yield gap for rainfed wheat over a 10-year period (1384-1393) in 3 agroclimatic regions of Khorasan Razavi province and up-scaled results to the whole province

| | | Region 1 ناحیه ۱ | Region 2 ناحیه ۲ | Region 3 ناحیه ۳ | Province استان |
|--|--------------------|---------------------|---------------------|---------------------|-------------------|
| | Rainfed wheat | گندم دیم | | | |
| Actual yield (Y_A kg ha ⁻¹) | عملکرد واقعی | 562 | 343 | 407 | 441 |
| CV (%) | ضریب تغییرات (%) | 29.3 | 26.7 | 27.0 | 27.7 |
| Potential yield (Y_P kg ha ⁻¹) | عملکرد پتانسیل | 2812 | 1994 | 2537 | 2431 |
| Yield gap (Y_G kg ha ⁻¹) | خلاء عملکرد | 2250 | 1651 | 2130 | 1990 |
| Relative gap | خلاء نسبی | 0.80 | 0.83 | 0.84 | 0.81 |
| Yield gap _{85%} ($Y_{G85\%}$ kg ha ⁻¹) | خلاء عملکرد (٪/۸۵) | 1828 | 1352 | 1749 | 1625 |
| Relative gap (85%) | (٪/۸۵) | 0.76 | 0.80 | 0.81 | 0.79 |



شکل ۱۲- رابطه خلاء عملکرد گندم دیم و کارآبی مصرف آب (WUE) در بوم نظامهای تولید گندم دیم در استان خراسان رضوی و شمالی ($r^2=0.69$)

Figure 12- Relation between yield gap of rainfed wheat yield and water use efficiency (WUE) in production systems of Razavi and Shomali provinces

کارآبی مصرف آب 0.12 ± 0.058 کیلوگرم دانه به ازای متر مکعب آب به دست آمد. لازم به ذکر است که این کارآبی بر اساس میزان بارندگی سالانه برآورد شده و در واقع کارآبی مصرف بارندگی^۱ می‌باشد. بنی و هنسلى (Bennie and Hensley, 2001) نشان دادند که در حدود $65-70$ درصد از کل بارش در طی فصل رشد برای گیاهان زراعی قابل استفاده است. بر این اساس کارآبی مصرف آب در بوم نظامهای دیم استان $30-35$ درصد بیشتر و در حدود 0.78 ± 0.051 کیلوگرم دانه به ازای متر مکعب آب است در حالی که مقدار بهینه آن در استان حدود 0.82 ± 0.018 کیلوگرم دانه بر متر مکعب می‌باشد (شکل ۱۱). سادراس و آنگوس (Sadras and Angus, 2006) با بارش تابع مرزی تولید آب در دامنه وسیعی از میزان آب قابل دسترس (بین 1000 تا 10000 میلی متر) نشان دادند که کارآبی بالقوه مصرف آب در گندم دیم معادل $2/2$ کیلوگرم دانه به ازای متر مکعب آب می‌باشد.

هاچمن و همکاران (Hochman *et al.*, 2013) با ارزیابی زمانی و مکانی تولید گندم دیم در استرالیا عملکرد پتانسیل گندم دیم در این کشور را $1/14 \pm 0.050$ و خلاء عملکرد را معادل $1/52 \pm 0.077$ تن در هکتار برآورد کردند. در ادامه هاچمن و همکاران (Hochman *et al.*, 2016) با استفاده از حجم زیادی از داده‌ها شامل میانگین شبیه‌سازی شده عملکرد پتانسیل در 245 منطقه و در طی یک دوره 15 ساله عملکرد پتانسیل گندم دیم در استرالیا را $3/5 \pm 0.05$ و خلاء عملکرد را 0.49 ± 0.01 در هکتار و نسبت عملکرد واقعی به پتانسیل را 0.49 ± 0.01 در هکتار که نشان‌دهنده خلائی معادل 51 درصد از عملکرد پتانسیل می‌باشد. به علاوه نتایج این تحقیق نشان داد که خلاء عملکرد در مناطقی که پتانسیل بیشتری داشتند بالاتر بود. البته کارآبی مصرف آب در دیمزارهای این کشور با میانگین بارندگی 224 میلی متر در سال 0.79 ± 0.051 کیلوگرم دانه به ازای متر مکعب آب است (Hochman *et al.*, 2013) در حالی که در دیمزارهای خراسان رضوی و شمالی با بارندگی سالانه 52 ± 0.058 میلی متر میانگین

داده‌های دقیق برای واسنجی و تعیین اعتبار مدل‌های رشد (نظیر شرایط محدودیت آب) تابع تولید مرزی برآورد قابل قبولی از عملکرد پتانسیل به دست خواهد داد.

بالاترین میانگین عملکرد پتانسیل چندرقدن و گندم آبی مربوط به نواحی اقلیمی معتدل خشک و معتدل نیمه‌خشک بوده و عملکرد پتانسیل این محصولات در ناحیه گرم و خشک استان در حدود ۱۵ درصد کمتر از دو ناحیه دیگر است در حالی که در میانگین عملکرد پتانسیل گندم دیم در ناحیه معتدل نیمه‌خشک بالاترین مقدار را دارد. یافته‌های این پژوهش نشان داد که خلاء قابل مهار عملکرد چندرقدن و گندم آبی در کل استان در حدود ۵۲ درصد از عملکرد پتانسیل است به بیان دیگر ۴۸ درصد از پتانسیل اقلیمی استان در تولید این محصولات در عمل تحقق می‌یابد. این خلاء در مورد گندم دیم بسیار زیاد بوده و عملکرد واقعی تهها ۲۵ درصد از عملکرد پتانسیل است. روند تغییرات ۱۰ ساله حاکی از آن است که خلاء عملکرد در چندرقدن و با سرعت کمتری در گندم آبی در حال پر شدن است در حالی که در مورد خلاء عملکرد گندم دیم روندی افزایشی مشاهده شد. با توجه به نتایج این مطالعه جهت پر کردن خلاء عملکرد چندرقدن و گندم آبی در استان خراسان رضوی اولویت با بهسازی روش‌های مدیریتی بوده و اصلاح ارقام جدید در اولویت بعدی می‌باشد. در حالی که در مورد گندم دیم به دلیل کاهشی بودن روند ۱۰ ساله عملکرد پتانسیل، لازم است که اصلاح ارقام جدید به ویژه در جهت ارتقاء کارآبی مصرف آب در کنار روش‌های مدیریتی به عنوان راهکارهای پر کردن خلاء عملکرد مورد توجه قرار گیرد.

سپاسگزاری

بودجه این تحقیق از محل اعتبارات طرح پژوهه شماره ۳۵۴۶۰ مورخ ۸۷/۷/۳۰ توسط معاونت پژوهشی دانشگاه فردوسی مشهد تأمین شده که بدین‌وسیله سپاسگزاری می‌شود.

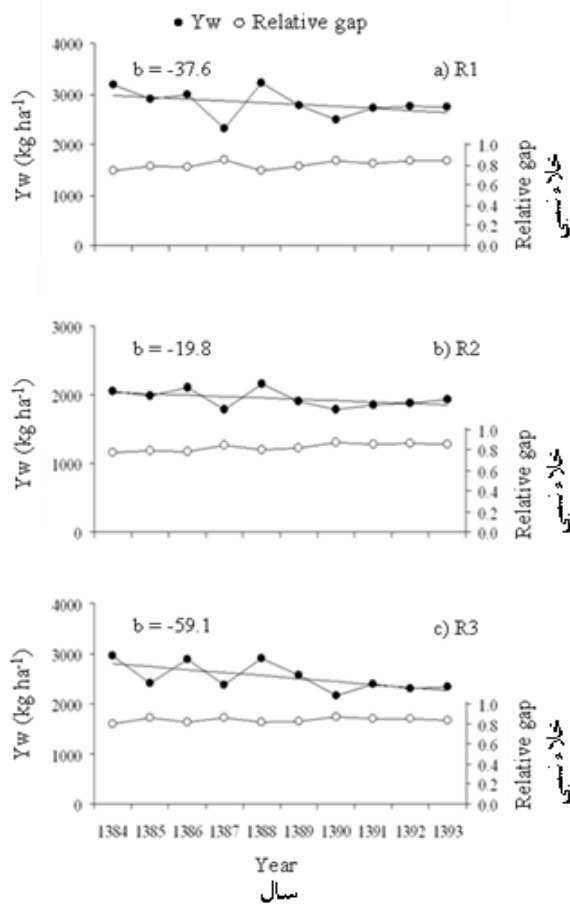
روند تغییرات زمانی پتانسیل عملکرد گندم دیم یا به بیان دیگر حداقل عملکرد در شرایط محدودیت آب (Y_w) در هر سه ناحیه اقلیمی کشاورزی استان خراسان رضوی در حال کاهش می‌باشد. بیشترین شبک کاهش مربوط به ناحیه ۳ (R3) به میزان ۵۹/۱ کیلوگرم در هکتار در سال (شکل c13) و کمترین آن (R2) است (شکل b13). این روند منفی در پتانسیل عملکرد گندم دیم استان به دلیل کاهش نزوالت در طی دوره ۱۰ ساله تحت بررسی می‌باشد که عملکرد واقعی گندم دیم را نیز با شبک مشابهی کاهش داده است و در نتیجه خلاء نسبی عملکرد (Y_G/Y_w) در فاصله سال‌های ۱۳۹۳-۱۳۸۴ در هر سه ناحیه تقریباً ثابت و در دامنه‌ای بین ۰/۷۶-۰/۸۴ در نوسان بوده است.

منفی بودن شبک تغییرات عملکرد پتانسیل گندم دیم در نواحی اقلیمی استان در واقع نشان می‌دهد که ارقام زراعی فعلی در شرایط جدید اقلیمی قادر به تولید عملکرد بالا نمی‌باشند که در این صورت خلاء عملکرد باید با تأکید بر روش‌های اصلاح نبات پر شود (Denison, 2015; Dingkuhn *et al.*, 2015). باید توجه داشت که یافته‌های این تحقیق در مقیاس منطقه بوده و ممکن است در سایر استان‌ها و یا در کل کشور وضعیت دیگری حاکم باشد. برای مثال سلطانی و همکاران (Soltani *et al.*, 2016) با ارزیابی عملکرد پتانسیل و خلاء آن در مورد نخود دیم کشور نشان دادند که در مقیاس ملی سهم روش‌های اصلاحی در پر کردن این خلاء تنها ۲۵ درصد می‌باشد.

با توجه به پایین بودن کارآبی مصرف آب در دیم‌زارهای استان (شکل ۱۱) و نقش تعیین‌کننده این کارآبی در خلاء عملکرد گندم دیم (شکل ۱۲) بالا بردن کارآبی مصرف آب موثرترین راه حل برای پر کردن خلاء عملکرد گندم در بومنظمات‌های دیم استان محسوب می‌شود. افزایش کارآبی مصرف آب هم از طریق اصلاح ارقام جدید و هم با روش‌های مدیریت زراعی امکان‌پذیر می‌باشد و تلفیق این دو راهکار مناسبی برای افزایش پتانسیل عملکرد گندم دیم و کاهش خلاء آن خواهد بود.

نتیجه‌گیری

در این تحقیق عملکرد پتانسیل چندرقدن، گندم آبی و دیم در نواحی اقلیمی استان خراسان رضوی و در طی دوره‌ای ۱۰ ساله بر پایه چارچوب ارائه شده توسط اطلس جهانی خلاء عملکرد برآورد و سپس خلاء عملکرد این محصولات محاسبه شد. نتایج نشان داد که استفاده از مدل‌های شبیه‌سازی ساده‌ای نظیر LINTUL در صورت واسنجی و تعیین اعتبار آنها در مقیاس وسیع قابلیت مطلوبی در پیش‌بینی عملکرد پتانسیل دارند به علاوه در شرایط عدم دسترسی به



شکل ۱۳- روند تغییرات عملکرد پتانسیل عملکرد گندم دیم (Y_G) و خلاصه نسبی عملکرد (Y_w) در سه ناحیه اقلیمی کشاورزی (R1, R2, R3) استان خراسان رضوی طی دوره ۱۰ ساله ۱۳۹۳-۱۳۸۴. در شکل شیب تغییرات عملکرد قابل حصول (b , $\text{kg ha}^{-1} \text{y}^{-1}$) نیز نشان داده شده است.

Figure 13- Time trend of potential yield of rainfed wheat (Y_w) and relative yield gap (Y_G/Y_w) in 3 agroclimatic regions (R1, R2, R3) of Khorasan e Razavi province during 1384-1393 period. Slope of the trend line (b , $\text{kg ha}^{-1} \text{y}^{-1}$) is also shown

References

1. Abeledo, L. G., Savin, R., and Slafer, G. A. 2008. Wheat productivity in the Mediterranean Ebro Valley: analyzing the gap between attainable and potential yield with a simulation model. European Journal of Agronomy 28: 541-550.
2. Acreche, M. M., Briceño-Felix, G., Sanchez, J. A. M., and Slafer, G. A. 2008. Physiological bases of genetic gains in Mediterranean bread wheat yield in Spain. European Journal of Agronomy 28: 162-170.
3. Affholder, F., Poeydebat, C., Corbeels, M., Scopel, and E., Tittonell, P. 2013. The yield gap of major food crops in family agriculture in the tropics: Assessment and analysis through field surveys and modeling. Field Crops Research 143: 106-118.
4. Alexandratos, N., and Bruinsma, J. 2012. World agriculture towards 2030/2050. The 2012 Revision. ESA Working paper No. 12-03, April 2012. Food and Agriculture Organization of the United Nations: Rome.
5. Batchelor, W. D., Basso, B., and Paz, J. O. 2002. Examples of strategies to analyze spatial and temporal yield variability using crop models. European Journal of Agronomy 18: 141-158.
6. Bennie, A. T. P., and Hensley, M. 2001. Maximizing precipitation utilization in dryland agriculture in South Africa - a review. Journal of Hydrology 241: 124-139.
7. Brisson, N., Gate, P., Gouache, D., Charmet, G., Oury, F.-X., and Huard, F. 2010. Why are wheat yields stagnating in Europe? A comprehensive data analysis for France. Field Crops Research 119: 201-212.
8. Bruinsma, J. 2009. The resource outlook to 2050. By how much do land; water use and crop yields need to increase by 2050? In: Proc. FAO Expert Meeting on How to Feed the World in 2050, 24–26 June 2009. FAO, Rome (available at <http://www.fao.org/wsfs/forum2050/background-documents/expert-papers/en/>).

9. Casanova, D., Goudriaan, J., Bouma, J. and Epema, G. F. 1999. Yield gap analysis in relation to soil properties in direct-seeded flooded rice. *Geoderma* 91: 191-216.
10. Cassman, K. G. 1999. Ecological intensification of cereal production systems: Yield potential, soil quality, and precision agriculture. *Proceedings of National Academy of Sciences of the U.S.A.* 96: 5952-5959.
11. Cassman, K. G., Dobermann, A., Walters, D. T., and Yang, H. S. 2003. Meeting cereal demand while protecting natural resources and improving environmental quality. *Annual Review of Environmental Resources* 28: 315-358.
12. Cassman, K. G., Grassini, P., and van Wart, J. 2010. Crop yield potential, yield trends, and global food security in a changing climate. In: Rosenzweig, C., Hillel, D. (Eds.), *Handbook of Climate Change and Agroecosystems*. Imperial College Press, London, pp. 37-51.
13. De Wit, A. J. W., Boogaard, H. L., and van Diepen, C. A. 2005. Spatial resolution of precipitation and radiation: the effect on regional crop yield forecasts. *Agricultural and Forest Meteorology* 135: 156-168.
14. Deihimfard, R., Nassiri Mahallati, M., and Koocheki, A. 2015a. Yield gap analysis in major wheat growing areas of Khorasan province, Iran, through crop modeling. *Field Crops Research* 184: 28-38.
15. Deihimfard, R., Nassiri Mahallati, M., and Koocheki, A. 2015b. Simulating the potential yield and yield gaps of sugar beet due to water and nitrogen limitations in Khorasan province using SUCROS model. *Journal of Agroecology* 7 (3): 315-330. (in Persian with English abstract).
16. Denison, R. F. 2015. Evolutionary tradeoffs as opportunities to improve yield potential. *Field Crops Research* 182: 3-8.
17. Dingkuhn, M., Laza, M. R. C., Kumar, U., Mendez, K. S., Collard, B., Jagadish, K., Singh, R. K., Padolina, T., Malabayabas, M., Torres, E., Rebolledo, M. C., Manneh, B., and Sow, A. 2015. Improving yield potential of tropical rice: achieved levels and perspectives through improved ideotypes. *Field Crops Research* 182: 43-59.
18. Dionora, M. J. A. and Kropff, M. J. 1995. Variation in rate and duration of grain filling in rice genotypes. In: Aggarwal, P. K., et al. (eds.). *Application of Systems Approaches in Plant Breeding*. SARP Research Proceedings, International Rice Research Institute, Los Banos, Philippines. pp: 123-127.
19. Efron, B. 1983. Estimating the error rate of a prediction rule: Some improvements on cross validation. *Journal of the American Statistical Association* 78: 316-331.
20. Efron, B., and Tibshirani, R. J. 1998. *An Introduction to the Bootstrap*. Boca Raton, Fla.: CRC Press.
21. Elliott, J. A., and De Jong, E. 1993. Prediction of field denitrification rates: a boundary-line approach. *Soil Science Society of America Journal* 57: 82-87.
22. Espe, M. B., Cassman, K. G., Yang, H., Guilpart, N., Grassini, P., Van Wart, J., Anders, M., Beighley, D., Harrell, D., Linscombe, S., McKenzie, K., Mutters, R., Wilson, L. T., and Linquist, B. A. 2016. Yield gap analysis of US rice production systems shows opportunities for improvement. *Field Crops Research* 196: 276-283.
23. Ewert, F., Rounsevell, M. D. A., Reginster, I., Metzger, M. J., and Leemans, R. 2005. Future scenarios of European agricultural land use I. Estimating changes in crop productivity. *Agriculture, Ecosystem and Environment* 107: 101-116.
24. FAOSTAT. 2013. Crop production Statistics. Food and Agriculture Organization: Rome. At www faostat. fao.org.
25. FAOSTAT. 2015. Crop production Statistics. Food and Agriculture Organization: Rome. At www faostat. fao.org.
26. Fischer, G. 2009. World food and agriculture to 2030/50: how do climate change and bioenergy alter the long-term outlook for food, agriculture and resource availability? In: Proc. FAO Expert Meeting on How to Feed the World in 2050, (available at <http://www fao.org/wsfs/forum2050/backgrounddocuments/expert-papers/en/>).
27. Fischer, R. A. 2015. Definitions and determination of crop yield, yield gaps, and of rates of change. *Field Crops Research* 182: 9-18.
28. Fischer, R. A., and Edmeades, G. O. 2010. Breeding and cereal yield progress. *Crop Science* 50: S86-S98.
29. Fulco, L., and Senthil, A. 2006. Climate change impacts on wheat production in a Mediterranean environment in Western Australia. *Agricultural Systems*: 90: 159-179.
30. Gharineh, M. H., Bakhshandeh, A., Andarzian, B., and Faieai zadeh, N. 2012. Agroecological zoning of Khozestan province for potential yield of irrigated wheat using WOFOST model. *Journal of Agroecology* 4 (3): 255-264. (in Persian with English abstract).
31. Grassini, P., Thornburn, J., Burr, C., and Cassman, K. G. 2011. High-yield irrigated maize in the Western US Corn Belt: I. On-farm yield, yield potential, and impact of agronomic practices. *Field Crops Research* 120: 144-152.
32. Grassini, P., van Bussel, L. G., van Wart, J., Wolf, J., Claessens, L., Yang, H., Boogaard, H., de Groot, H., van Ittersum, M. K., and Cassman, K. G. 2015. How good is good enough? Data requirements for reliable crop yield simulations and yield-gap analysis. *Field Crops Research* 177: 49-63.
33. Hall, A. J., Feoli, C., Ingaramo, J., and Balzarini, M. 2013. Gaps between farmer and attainable yields across rainfed sunflower growing regions of Argentina. *Field Crops Research* 143: 119-129.
34. Hall, A. J., and Richards, R. A. 2013. Prognosis for genetic improvement of yield potential and water-limited yield of major grain crops. *Field Crops Research* 143: 18-33.

35. Hochman, Z., Gobbett, D., Holzworth, D., McClelland, T., van Reese, H., Marinoni, O., Garcia, J. N., and Horan, H. 2013. Reprint of "Quantifying yield gaps in rainfed cropping systems: A case study of wheat in Australia". *Field Crops Research* 143: 65-75.
36. Hochman, Z., Gobbett, D., Horan, H., and Garcia, J. N. 2016. Data rich yield gap analysis of wheat in Australia. *Field Crops Research* 197: 97-106.
37. Hoffmann, C. M., and Kluge-Severin, S. 2010. Light absorption and radiation use efficiency of autumn and spring sown sugar beets. *Field Crops Research* 119: 238-244.
38. Irmak, A., J. W. Jones, T. Mavromatis, S. M. Welch, K. J. Boote, and G. G. Wilkerson. 2000. Evaluating methods for simulating cultivar responses using cross validation. *Agronomy Journal* 92 (6): 1140-1149.
39. Jaggard, K. W., Qi, A., Eric, S., and Ober, E. S. 2010. Possible changes to arable crop yields by 2050. *Philosophical Transaction of Royal Society of Biology* 365: 2835-2851.
40. Jaggard, K. W., and Werker, A. R. 1999. An evaluation of the potential benefits and costs of autumn-sown sugarbeet in Europe. *Journal of Agricultural Science (Cambridge)* 132: 91-102.
41. Jones, P. N., and P. S. Carberry. 1994. A technique to develop and validate simulation models. *Agricultural Systems* 46: 427-442.
42. Kenter, C., Hoffmann, C. M., and Märlander, B. 2006. Effects of weather variables on sugar beet yield development. *European Journal of Agronomy* 24: 62-69.
43. Kiniry, J. R., Bean, B., Xie, Y., and Chen, P. 2004. Maize yield potential: critical processes and simulation modeling in a high-yielding environment. *Agricultural Systems* 82: 45-56.
44. Kluge-Severin, S., Hoffmann, C., and Märlander, B. 2009. Yield and quality of winter beets - prospects for sugarbeet production? *Zuckerindustrie* 134: 366-376.
45. Koning, N., and van Ittersum, M. K. 2009. Will the world have enough to eat? *Current Opinions on Environmental Sustainability* 1: 77-82.
46. Koocheki, A., and Nassiri Mahallati, M. 2019. Contribution of genetic and agronomic measures on yield gain of irrigated wheat in Iran for 1971-2011. *Journal of Agroecology* (in press). (in Persian with English abstract).
47. Koocheki, A., and Nassiri Mahallati, M. 2007. Impacts of climate change and CO₂ concentration on wheat yield in Iran and adaptation strategies. *Iranian Journal of Field Crops Research* 6 (1): 139-153. (in Persian with English abstract).
48. Koocheki, A., and Nassiri Mahallati, M. 2016. Effects of climate change on agricultural production of Iran: II. Predicting productivity of field crops and adaptation strategies. *Iranian Journal of Field Crops Research* 14(2): 1-20. (in Persian with English abstract).
49. Kumbhakar, C. S., and Tsionas, E. G. 2006. Estimation of stochastic frontier production functions with input-oriented technical efficiency. *Journal of Econometrics* 133: 71-96.
50. Laborte, A. G., de Bie, C. A. J. M., Smaling, E. M. A., Moya, P. F., Boling, A. A., and van Ittersum, M. K. 2012. Rice yields and yield gaps in Southeast Asia: past trends and future outlook. *European Journal of Agronomy* 36: 9-20.
51. Lobell, D. B., Cassman, K. G., and Field, C. B. 2009. Crop yield gaps: Their importance, magnitudes, and causes. *Annual Review of Environmental Resources* 34: 179-204.
52. Mackay, I., Horwell, A., Garner, J., White, J., McKee, J., and Philpott, H. 2011. Reanalyses of the historical series of UK variety trials to quantify the contributions of genetic and environmental factors to trends and variability in yield over time. *Theoretical and Applied Genetics* 122: 225-238.
53. Merlosa, F. A., Monzon, J. P., Mercau, J. L., Taboada, M., Andradea, F. H., Halle, A. J., Jobbagy, E., Cassman, K. G., and Grassini, P. 2015. Potential for crop production increase in Argentina through closure of existing yield gaps. *Field Crops Research* 184: 145-154.
54. Metzger, M. J., Bunce, R. G. H., Jongman, R. H. G., Sayre, R., Trabucco, A., and Zomer, R. 2013. A high-resolution bioclimate map of the world: a unifying framework for global biodiversity research and monitoring. *Global Ecology and Biogeography* 22: 630-638.
55. MJA, 2015. Agricultural Statistics Yearbook, 2014-15. vol. 1. Crops. Ministry of Jihad e Keshavarzi, 2015.
56. Mondani, F. 2012. Simulating the effect of climate change on wild oat and sunn pest damage on wheat under Mashhad weather conditions. PhD thesis, Ferdowsi University of Mashhad. (in Persian with English abstract).
57. Muchow, R. C., and Kropff, M. J. 1997. Assessing the potential yield of tropical crops: role of field experimentation and simulation. In: Kropff, M.J., Teng, P.S., Aggarwal, P.K., Bouma, J., Bouman, B.A.M., Jones, J.W., Van Laar, H.H. (Eds.), Applications of Systems Approaches at the Field Level. Vol. 2. Kluwer Academic Publishers, Dordrecht, The Netherlands, pp. 101-112.
58. Nassiri Mahallati, M., and Koocheki, A. 2014. Long term evaluation of yield stability trend for cereal crops in Iran. *Journal of Agroecology* 6 (3): 607-621. (in Persian with English abstract).
59. Nassiri Mahallati, M., and Koocheki, A. 2019. Yield monitoring for wheat and sugar beet in Khorasan province: 1- Analysis of methods for estimating potential yield. *Journal of Agroecology* 16 (4): 723-741. (in Persian with English abstract).

60. Nassiri Mahallati, M., Koocheki, A., and Jahan, M. 2011. Radiation absorption and use efficiency in relay intercropping and double cropping of winter wheat and maize. *Iranian Journal of Field Crops Research* 8 (6): 878-890. (in Persian with English abstract).
61. Nassiri Mahallati, M., and Koocheki, A. 2009. Agroecological zoning of wheat in Khorasan provinces: Estimating yield potential and yield gap. *Iranian Journal of Field Crops Research* 7 (2): 695-709. (in Persian with English abstract).
62. Neumann, K., Verberg, P. H., Stehfest, E., and Muller, C. 2010. The yield gap of global grain production: a spatial analysis. *Agricultural Systems* 103: 316-326.
63. O'Connell, M. G., O'Leary, G. J., Whitfield, D. M., and Connor, D. J. 2004. Interception of photosynthetically active radiation and radiation use efficiency of wheat, field pea and mustard in a semi-arid environment. *Field Crops Research* 85: 111-124.
64. Oerke, E. C., Dehne, H. W., Schonbeck, F., and Weber, A. 1994. *Crop Production and Crop Protection. Estimated Losses in Major Food and Cash Crops*. Elsevier, Amsterdam, The Netherlands.
65. Ortiz, R., Sayre, K. D., Govaerts, B., Gupta, R., Subbarao, G. V., Ban, T., Hodson, D., Dixon, J. M., Ortiz-Monasterio, J. I., and Reynolds, M. 2008. Climate change: Can wheat beat the heat? *Agriculture Ecosystems and Environment* 126: 46-58.
66. Palosuo, T., Kersebaum, K. C., Angulo, C., Helvinka, P., Moriondo, M., and Olesen, J. E. 2011. Simulation of winter wheat yield and its variability in different climates of Europe: a comparison of eight crop models. *European Journal of Agronomy* 35: 103-114.
67. Parsa, S. 2008. Modeling spatial and temporal variation of sugar beet (*Beta vulgaris L.*) yield in Khorasan province. PhD thesis. Ferdowsi University of Mashhad. (in Persian with English abstract).
68. Reynolds, M., Bonnett, D., Chapman, S. C., Furbank, R. T., Manes, U., Mather, D. E., and Parry, M. A. J. 2011. Raising yield potential of wheat. I. Overview of a consortium approach and breeding strategies. *Journal of Experimental Botany* 62: 439-452.
69. Richter, G. M., Jaggard, K. W., and Mitchell, R. A. C. 2001. Modeling radiation interception and radiation use efficiency for sugar beet under variable climatic stress. *Agricultural and Forest Meteorology* 109: 13-25.
70. Sadras, V. O., and Angus, J. F. 2006. Benchmarking water use efficiency of rainfed wheat crops in dry mega-environments. *Australian Journal of Agricultural Research* 57: 847-856.
71. Schnug, E., Heym, J., and Achwan, F. 1996. Establishing critical values for soil and plant analysis by means of the Boundary Line Development System (Bolides). *Communications in Soil Science and Plant Analysis* 27: 2739-2748.
72. Seyed Jalali, S. A., Sarmadian, F., and Shorafa, M. 2012. Modeling potential land productivity for winter wheat in Aghili region, Khozestan province. *Journal of Soil Research (Soil and Water Sciences)* 27 (4): 427-439.
73. Shatar, T. M., and McBratney, A. B. 2004. Boundary-line analysis of field-scale yield response to soil properties. *Journal of Agricultural Science* 142: 553-560.
74. Soltani, A., Hajjarpour, A., and Vadez, V. 2016. Analysis of chickpea yield gap and water-limited potential yield in Iran. *Field Crops Research* 185: 21-30.
75. Taei Semiroomi, J., Ghanbari, A., Amiri, F., Ghaffari, A., Siahsar, B., and Ayoubi, Sh. 2012. Agroecological zoning of wheat in the Borujen watershed: Rainfed and irrigated wheat cropping system evaluation. *Journal of Agricultural Sciences and Sustainable Production* 22 (4): 1-12. (in Persian with English abstract).
76. Thorp, K. R., Batchelor, W. D., Paz, J. O., Kaleita, A. L., and DeJonge, K. C. 2007. Using cross validation to evaluate CERES-Maize yield simulation within a decision support system for precision agriculture. *Transactions of the American Society of Agricultural and Biological Engineers* 50 (4): 1467-1479.
77. van Bussel, L. G., Grassini, P., Van Wart, J., Wolf, J., Claessens, L., Yang, H., Boogaard, H., de Groot, H., Saito, K., Cassman, K. G., and van Ittersum, M. K. 2015. From field to atlas: upscaling of location-specific yield gap estimates. *Field Crops Research* 177: 98-108.
78. van Delden, A. 2001. Yielding ability and weed suppression of potato and wheat under organic nitrogen management. PhD Thesis, Wageningen University, The Netherlands, ISBN 90 5808 519_8, pp. 197.
79. van Ittersum, M. K., Cassman, K. G., Grassini, P., Wolf, J., Tittonell, P., and Hochman, Z. 2013. Yield gap analysis with local to global relevance-A review. *Field Crops Research* 143: 4-17.
80. van Laar, H. H., Goudriaan, J., and, Van Keulen, H. 1997. SUCROS97: Simulation of crop growth for potential and water-limited production situations. C.T. de Wit Graduate School for Production Ecology and Resource Conservation, Wageningen, The Netherlands, pp. 52.
81. van Wart, J., van Bussel, L. G., Wolf, J., Licker, R., Grassini, P., Nelson, A., Boogaard, H., Gerber, J., Mueller, N. D., and Claessens, L. 2013. Use of agro-climatic zones to upscale simulated crop yield potential. *Field Crops Research* 143: 44-55.
82. Viglizzo, E. F., Pordomingo, A. J., Castro, M. G., Le'rora, F. A., and Bernardos, J. N. 2004. Scale-dependent controls on ecological functions in agroecosystems of Argentina. *Agriculture, Ecosystems and Environment* 101: 39-51.

83. Werker, A. R., and Jaggard, K. W. 1998. Dependence of sugar beet yield on light interception and evapotranspiration. *Agricultural and Forest Meteorology* 89: 229- 240.
84. Xiao, G., Zhang, Q., Yao, Y., Zhao, G., Wang, R., Bai, H., and Zhang, F. 2008. Impact of recent climatic change on the yield of winter wheat at low and high altitudes in semi-arid northwestern China. *Agriculture, Ecosystems and Environment* 127: 37-42.
85. Xiong, W., Holman, I., Conway, D., Lin, E., and Li, Y. 2008. A crop model cross calibration for use in regional climate impacts studies. *Ecological Modeling* 213: 365-380.
86. Zhang, X., Wang, S., Sun, H., Chen, S., Shao, L., and Liu, X. 2013. Contribution of cultivar, fertilizer and weather to yield variation of winter wheat over three decades: A case study in the North China Plain. *European Journal of Agronomy* 50: 52-59.
87. Zhou, Y., He, Z. H., Sui, X. X., Xia, X. C., Zhang, K., and Zhang, G. S. 2007. Genetic improvement of grain yield and associated traits in the Northern China winter wheat region from 1960 to 2000. *Crop Science* 47: 245-253.



Yield Monitoring for Wheat and Sugar beet in Khorasan Province: 2- Estimation of Yield Gap

A. Koocheki^{1*}, M. Nassiri Mahallati¹

Received: 12-02-2017

Accepted: 17-10-2017

Introduction: To realize global food demand by 2050 world cereal production should be increased up to 49% compared to 2006. This level of production could be achieved by annual yield increment of 1.16%. However, the current rates are much lower. At the same time, there is a very restricted area to increase cultivated lands because of resource limitation, provided that increase in crop yields is the main option to sustain food security. Potential yield (YP) could be achieved when limiting and reducing factors are completely absent during crop growth. YP is an indicator for the yielding capacity of a given environment and management system and estimating the difference between YP and actual yield, known as yield gap, is crucial for improvement of crop production systems at regional or national scale. In this study yield gap and its temporal trend for sugar beet, irrigated and rainfed wheat are estimated over Khorasan Razavi province based on the method developed by Global Yield Gap Atlas.

Materials and Methods: Following the protocol provided by Global Yield Gap Atlas, Khorasan province was clustered into agroclimatic zones using the proposed indices (cumulative degree days above 0 °C, aridity index and temperature seasonality) based on 10 years (1384-1393) weather data. YP of sugar beet and irrigated wheat for the study period in the climatic regions was first estimated for selected cities within each region using LINTUL model and finally the simulation results were up scaled from cities to region and from regions to the whole province. The model was cross-validated against measured data using leave-one-out (LOO) method to increase accuracy of predictions. Potential yield of rainfed wheat (YW) was estimated from frontier production function which was fitted to yield data over a wide range of annual precipitation. Yield gap (YG) of the studied crops was estimated as the difference between potential (YP) and actual yields (YA) for each region and over the 10-year period. In addition exploitable gap (YG85% = 85% YP-YA) was also calculated.

Results and Discussion: The accuracy of LINTUL model for simulation of sugar beet and irrigated wheat yields was considerably increased after cross validation and the prediction error was reduced by 6.5 - 7.8%. Mean YP of irrigated wheat in the climatic region 1 (temperate, semi-dry), 2 (hot, dry) and 3 (temperate, dry) was respectively, 7248, 6478 and 7852 and for the whole province 6936 kg ha⁻¹. Time trend of YP for irrigated wheat was not significant in 3 climatic regions however, high annual variation of YP was found over the studied period. Results indicated that up to 74% of this variation was accounted for by changes in the effective grain filling period in response to temperature. YG85% of irrigated wheat in all climatic regions was increased up to 4 t ha⁻¹ during 1384-1388 but decreased later on so that relative gap was 0.48-0.50 of YP in 1993. Average YW of rainfed wheat in the climatic regions of the province was estimated as 2000-2800 kg ha⁻¹ with a negative trend due to decreased precipitation, the highest negative slope in YW (59 kg ha⁻¹ y⁻¹) was found in the hot dry region. Rainfed wheat showed an extremely high yield gap in all climatic regions and mean relative yield gap (YG/YW) was estimated as 0.75-0.80 over the province. Mean YP of sugar beet in different climatic regions of the province was estimated from 78 to 88 t ha⁻¹ with the lowest potential in hot-dry region. However, declining trend was found in the yield gap of sugar beet in all studied regions with the highest gap filling rate of 1.44 t ha⁻¹ y⁻¹ in temperate-dry region.

Conclusions: Simulated YP of sugar beet and irrigated wheat were higher in temperate-semi arid regions of the province and lower in hot-dry regions. However, cold-semi arid regions had the highest YW of rainfed wheat. When up-scaled over the province, YG85% was about 50% of YP for irrigated wheat and sugar beet and 25% for rainfed wheat. It was concluded that closing yield gap of sugar beet and irrigated wheat would be possible mainly by improving management practices however, for rainfed wheat breeding strategies should be considered as the first priority.

Keywords: Cross validation, Exploitable yield gap, Global yield gap atlas, Potential yield

1- Professor, College of Agriculture, Ferdowsi University of Mashhad
(*- Corresponding Author Email: akooch@um.ac.ir)



تأثیر بیوچار بر حاصلخیزی خاک و کارایی مصرف آب در سیاهدانه (*Nigella sativa L.*) تحت شرایط تنفس خشکی

فاطمه عباس‌پور^۱، حمیدرضا اصغری^{۲*}، پرویز رضوانی مقدم^۳، حمید عباس‌دخت^۴، جواد شبانگ^۵، عادل بیگ بابایی^۶

تاریخ دریافت: ۱۳۹۵/۱۲/۲۸

تاریخ پذیرش: ۱۳۹۷/۰۱/۱۸

چکیده

به منظور بررسی تأثیر بیوچار بر حاصلخیزی خاک و کارایی مصرف آب در سیاهدانه (*Nigella sativa L.*) در شرایط تنفس خشکی، آزمایشی به صورت اسپلیت پلات فاکتوریل در قالب طرح بلوک‌های کامل تصادفی با سه تکرار در سال زراعی ۱۳۹۴-۹۵ در مزرعه تحقیقاتی دانشکده کشاورزی دانشگاه فردوسی مشهد اجرا گردید. تیمارها شامل آبیاری به عنوان عامل اصلی در سه سطح ۱۰۰ درصد، ۷۰ و ۴۰ درصد نیاز آبی و کرت‌های فرعی شامل فاکتور بیوچار در سه سطح شامل بدون بیوچار و ۲۰ تن در هکتار بیوچار و کود شیمیایی در دو سطح شامل بدون مصرف کود و مصرف کود بود. نتایج نشان داد که مصرف ۲۰ تن در هکتار بیوچار بیشترین تأثیر را بر درصد نیتروژن خاک، میزان پتانسیم، درصد مواد آلی و کربن زیست‌توده میکروبی خاک داشت ولی اثر بیوچار بر میزان فسفر قابل دسترس خاک معنی‌دار نبود. نتایج مرتبط با گیاه سیاهدانه نشان داد که با وجود معنی‌دار نبودن اثر ساده بیوچار بر صفات گیاه، اثر متقابل آن با کود شیمیایی و نیاز آبی معنی‌دار شد. بیشترین کارایی مصرف آب بر اساس عملکرد دانه در تیمارهای آبیاری بر اساس ۷۰ درصد نیاز آبی به همراه مصرف کود شیمیایی (I_2F_2) و ۱۰ تن در هکتار بیوچار به همراه مصرف کود شیمیایی (B_2F_2) مشاهده شد. اثرات متقابل آبیاری، بیوچار و کود شیمیایی تأثیر معنی‌داری بر عملکرد دانه و عملکرد کاه و کلش در سیاهدانه داشت و بیشترین تأثیر مربوط به تیمار آبیاری بر اساس ۷۰ درصد نیاز آبی به همراه ۱۰ تن در هکتار بیوچار و کود شیمیایی ($I_2B_2F_2$) بود. به طور کلی، استفاده از بیوچار در مناطق خشک و نیمه‌خشک علاوه بر بهبود خصوصیات خاک، جذب آب و عناصر غذایی توسط گیاه را افزایش داده و با تأثیر بهینه بر عملکرد، میزان آب مصرفی در سیاهدانه را کاهش داده و باعث صرفه‌جویی در مصرف آب می‌شود.

واژه‌های کلیدی: کربن زیست‌توده میکروبی، کود شیمیایی، عملکرد دانه، مواد آلی خاک

مقدمه

سلامت خاک از اهمیت ویژه‌ای برخوردار است. گیاهان عناصر غذایی خود را از مواد آلی یا مواد معدنی موجود در خاک‌ها به دست می‌آورند. کشاورزی مدرن از طریق برداشت‌های مکرر محصول باعث کاهش مواد آلی خاک می‌شود. استفاده از کودهای شیمیایی که با صنتی شدن کشاورزی رواج یافت، عملکرد گیاهان زراعی را به دو یا سه برابر افزایش داد ولی به دلیل کاهش کیفیت خاک، استفاده از کودهای شیمیایی برای حصول همان مقدار عملکرد به تدریج در طی زمان افزایش یافت. از طرف دیگر، مصرف کودهای شیمیایی به‌ویژه نیتروژن باعث تخریب خاک و مشکلات زیست‌محیطی در طی زمان شد (Widowati, 2012). در حال حاضر استفاده از انواع کودهای دامی یا آلی در خاک برای افزایش حاصلخیزی خاک یک روش معمول است. یکی از خصوصیات مواد آلی، تجزیه‌ی کنترل آن‌ها در مقایسه با کودهای معدنی است و عموماً کودهای دامی هر دو تا سه سال اعمال می‌شود که علاوه بر هزینه‌های بالا، تجزیه سریع و معدنی شدن مواد آلی، تأثیر معنی‌داری نیز بر گرمایش جهانی دارد (Sika, 2012; Aslam *et al.*, 2014).

مواد آلی و ذخیره طولانی مدت کربن در خاک استفاده از بیوچار است.

افزایش جمعیت همراه با تغییرات شدید عوامل زیست‌محیطی و اقلیمی، بی‌ثباتی‌های اقتصادی، فقر، گرسنگی و به‌ویژه عدم وجود امنیت غذایی را به همراه دارد. امنیت غذایی، دسترسی همه مردم به غذای کافی در هر زمان برای یک زندگی سالم است که مستلزم افزایش عملکرد محصولات و پایداری آن، افزایش بازده منابع آب و خاک، کاهش ضایعات تولیدی و اصلاح الگوی تغذیه می‌باشد (Schouten, 2010).

- ۱- دانشجوی دکتری اگروکالوژی، دانشکده کشاورزی، دانشگاه صنعتی شهرورد
- ۲- دانشیار، گروه زراعت، دانشکده کشاورزی، دانشگاه صنعتی شهرورد
- ۳- استاد، گروه زراعت، دانشکده کشاورزی، دانشگاه فردوسی مشهد
- ۴- دانشیار، گروه زراعت، دانشکده کشاورزی، دانشگاه صنعتی شهرورد
- ۵- استادیار، گروه زراعت، دانشکده کشاورزی، دانشگاه فردوسی مشهد
- ۶- استادیار، گروه شیمی فیزیک، موسسه پژوهشی صنایع غذایی خراسان رضوی (Email: hamidasghari@gmail.com)

DOI: 10.22067/gsc.v17i1.63344

التهاب، سرفه، برونشیت، سردرد، اگزما، تب، سرگیجه و آنفولانزا نیز مصرف دارد. دانه یا روغن سیاه‌دانه به عنوان داروی ضدنفخ، ادرارآور، شیرآور و ضدانگل استفاده می‌شود (Boskabady *et al.*, 2007; Akhondian *et al.*, 2007).

آب یکی از مهمترین عوامل محیطی در تولید گیاهان دارویی می‌باشد. به طوری که کمبود آب در جریان تولید گیاهان می‌تواند خدمات سنجنی به رشد و نمو و همچنین مواد موثره گیاهان دارویی وارد نماید. آب نه تنها به لحاظ اکولوژیکی بلکه به لحاظ فیزیولوژیکی نیز دارای اهمیت است زیرا در اکثر فرآیندهای داخلی گیاه دخالت داشته و تقریباً تمام فعالیت‌های متabolیکی سلول‌های گیاهی از جمله ساخت مواد موثره در گیاهان دارویی بستگی به وجود آب دارد. به نظر می‌رسد بیوچار با داشتن صفاتی مانند توانایی ویژه در جذب و نگهداری عناصر غذایی و ظرفیت نگهداری آب بالا بتواند جایگزین کودهای شیمیایی در گیاهان شده و مقاومت گیاه به تنش‌های خشکی را افزایش دهد (Haider, 2016). در سال‌های اخیر استفاده از روش‌های تلفیقی برای افزایش مقاومت گیاهان به تنش‌های کم‌آبی، خاک‌های فقیر یا شور همراه با حفظ عملکرد مطلوب مورد توجه قرار گرفته است. از آنجایی که تحقیقات اندکی در رابطه با تاثیر بیوچار بر تنش خشکی وجود دارد، از طرفی نتایج مربوط به مطالعات بیوچار بسته به نوع ماده اولیه، دمای گرمکافت و خاک منطقه‌ی مورد استفاده متفاوت می‌باشد (Teat, 2014) و با توجه به اهمیت گیاه سیاه‌دانه در صنایع داروسازی و غذایی، اطلاعاتی در زمینه اثر بیوچار بر این گیاه به‌ویژه در مناطق خشک و نیمه‌خشک وجود ندارد. لذا تحقیق حاضر بر روی گیاه سیاه‌دانه در اراضی تحقیقاتی دانشکده کشاورزی دانشگاه فردوسی مشهد انجام گرفت.

مواد و روش‌ها

این آزمایش در سال زراعی ۹۵-۹۶ به صورت اسپلیت پلات فاکتوریل در قالب طرح بلوک‌های کامل تصادفی با سه تکرار و ۱۸ تیمار در مزرعه تحقیقاتی دانشکده کشاورزی دانشگاه فردوسی مشهد واقع در ۱۰ کیلومتری شرق مشهد (طول جغرافیایی ۵۹ درجه و ۲۸ دقیقه شرقی ۳۶ درجه و ۱۵ دقیقه شمالی و ارتفاع ۹۸۵ متر از سطح دریا) به‌اجرا درآمد. زمین مورد نظر در سال قبل از اجرای این آزمایش به صورت آیش بود. قبل از انجام آزمایش، از خاک این زمین نمونه‌برداری تصادفی انجام شد که نتایج آنالیز آن در جدول ۱ آمده است. کرت‌های اصلی شامل سطوح آبیاری در سه سطح شامل آبیاری بر اساس ۱۰۰ درصد نیاز آبی (I₁)، آبیاری بر اساس ۷۰ درصد نیاز آبی (I₂) و آبیاری بر اساس ۴۰ درصد نیاز آبی (I₃) و کرت‌های فرعی فاکتوریل دو عامل بیوچار در سه سطح (بدون بیوچار (B₁)، ۱۰ تن در هکتار بیوچار (B₂) و ۲۰ تن در هکتار بیوچار (B₃)) و عامل کود

بیوچار یک ماده زیستی گرمکافت (پیرولیز) شده است. گرمکافت فرآیند سوختن مواد آلی در حضور اکسیژن کم یا شرایط بدون اکسیژن است که منجر به تشکیل زغال غنی از کربن می‌شود که بسیار مقاوم به تجزیه است (Azeem *et al.*, 2016; Mukherjee *et al.*, 2014). دواه بالا و مقاومت به تجزیه‌ی بیوچار مربوط به تغییر در ساختار شیمیایی سلولز، همی‌سلولز و لیگنین در دمای بالای ۳۰۰ درجه سانتی‌گراد است به طوری که بیوچار ۱۰۰۰ تا ۱۰۰۰ برابر مقاومت از سایر مواد آلی موجود در خاک است (Aslam *et al.*, 2014; Azeem *et al.*, 2016). توانایی بالای این ماده در جذب و نگهداری عناصر غذایی و جلوگیری از آبشویی آنها، جذب فلزات سمی و کودهای شیمیایی و کاهش آزادسازی گازهای کلخانه‌ای منجر به افزایش حاصلخیزی خاک می‌شود (Berek *et al.*, 2011). بیوچار به دلیل منافذ زیاد و سطح ویژه بالا، زیستگاه مناسبی برای میکرووارگانیسم‌های خاکزی است و از خشکی و شکار شدن آنها توسط موجودات بزرگ‌تر جلوگیری کرده و منابع سرشاری از مواد معنده و کربنی را برای میکرووارگانیسم‌ها فراهم می‌کند. با توجه به این که میکرووارگانیسم‌ها از خدمات اکوسيستمی مهم در طبیعت هستند، می‌توانند با تاثیر بر ساختار بیولوژیکی خاک، چرخه‌ی عناصر غذایی، بهبود دانه‌بندی خاک و معنده شدن کربن آلی بر رشد گیاه موثر باشند (Zhang *et al.*, 2014; Aslam *et al.*, 2016; Lehmann *et al.*, 2011). به دلیل نقش بیوچار در پایداری اکوسيستم‌ها، آزمایش‌های گسترده‌ای در سال‌های اخیر در ارتباط با تاثیر بیوچار بر رشد گیاهان و حاصلخیزی خاک انجام شده است ولی اغلب این مطالعات بر روی گیاهان زراعی بوده و تحقیق در رابطه با تاثیر بیوچار بر گیاهان دارویی بسیار نادر است. گیاهان دارویی از ارزش و اهمیت خاصی در تأمین بهداشت و سلامت جوامع، هم به لحاظ درمان و هم پیشگیری از بیماری‌ها برخوردار بوده و هستند. تحقیقات سازمان بهداشت جهانی نشان می‌دهد که بیش از ۸۰ درصد جمعیت جهان به‌ویژه در کشورهای در حال توسعه از گیاهان دارویی به‌منظور رفع نیازهای اولیه بهداشتی و درمانی خود بهره می‌گیرند (Choudhary and Singh Sekhon, 2011). از طرفی به دلیل عوارض جانبی داروهای شیمیایی، روز به روز به گیاهان دارویی و فراوردهای آن بیشتر توجه می‌شود و اعتقاد عمومی درباره استفاده از آن‌ها پیوسته تقویت می‌گردد.

سیاه‌دانه با نام علمی *Nigella sativa* L. یک گیاه دارویی دو لپه، علفی و یکساله که متعلق به خانواده آلاله می‌باشد که به دو صورت وحشی و زراعی در ایران دیده می‌شود. سیاه‌دانه دارای زمینه‌ی تاریخی و مذهبی در بین اقوام و ملل است، به طوری که میلیون‌ها نفر در نواحی مدیترانه و شبه قاره‌ی هند روزانه از روغن دانه آن در پیشگیری طبیعی و یا درمان بیماری‌ها استفاده می‌کنند. این گیاه به عنوان ادویه و در درمان بیماری‌هایی مثل آسم، فشارخون، دیابت،

همزمان با عملیات برداشت، شاخص‌های مورد مطالعه در خاک شامل درصد نیتروژن کل خاک، درصد فسفر قابل دسترس، پتانسیم خاک و مقدار ماده آلی خاک تعیین شد. برای این منظور در سه نقطه از تمامی کرت‌های آزمایشی در عمق ۰-۱۵ سانتی‌متری نمونه‌برداری انجام شد. هر سه نمونه با هم مخلوط و یک نمونه واحد تهیه و در کیسه پلاستیکی بسته‌بندی و به آزمایشگاه منتقل شد (Chaudhry *et al.*, 2016). نمونه‌برداری برای کربن زیست‌توده میکروبی خاک جداگانه و در شرایطی که خاک مزروعه از نظر رطوبتی در حد ظرفیت زراعی بود، انجام گرفت. نمونه‌های برداشت شده در ظروف حاوی یخ قرار داده شد و سریعاً به آزمایشگاه منتقل و تا زمان آزمایش در دمای چهار درجه‌ی سانتی‌گراد نگهداری شد. میزان کربن زیست‌توده‌ی میکروبی به روش تدخین - انکوپاسیون (Horwath and Paul, 1994) در ۱۰۰ گرم خاک تعیین شد و بر حسب میلی‌گرم کربن در ۱۰۰ گرم خاک گزارش گردید. سایر نمونه‌های خاک بعد از انتقال به آزمایشگاه، هوا خشک شده و پس از عبور از الک دو میلی‌متری، نیتروژن کل با روش کجلدال (AOAC, 2000)، فسفر قابل دسترس خاک به روش اولسن و سامرز (Olsen and Sommers, 1982) و کربن آلی به روش والکلی بلک (Klut, 1986) و کربن آلی به روش اندازه‌گیری (Nelson and Sommers, 1982) اندازه‌گیری کریں آلتی، مقدار ماده آلی خاک از حاصل ضرب کربن آلی در عدد ۱/۷۲۴ بدست آمد (Baldock and Skjemstad, 1999). عملکرد دانه، عملکرد کاه و کلش با حذف ردیف‌های کناری و با برداشت ردیف‌های وسط در هر کرت تعیین شد. کارایی مصرف آب به صورت عملکرد دانه (کیلوگرم در هکتار) به ازای میزان آب مصرفی (مترمکعب در هکتار) محاسبه گردید. تجزیه و تحلیل داده‌های آزمایش با استفاده از نرم‌افزار SAS انجام گرفت. مقایسه میانگین‌ها با استفاده از آزمون دانکن در سطح احتمال پنج درصد صورت گرفت.

نتایج و بحث

صفات مرتبط با خاک

درصد نیتروژن خاک: نتایج تجزیه واریانس داده‌ها نشان داد که بیوجار در سطح احتمال پنج درصد بر درصد نیتروژن خاک تاثیر مثبتی داشت (جدول ۳). مقایسه میانگین داده‌ها نیز بیانگر افزایش درصد نیتروژن خاک در تیمارهای ۲۰ و ۱۰ تن در هکتار بیوجار بود. به طوری که میزان نیتروژن در این دو تیمار به ترتیب ۰/۰۸۹ و ۰/۰۸۰۵ درصد در مقایسه با ۰/۰۷۶ درصد در شاهد بود (جدول ۴). هیچ‌یک از اثرات متقابل دوگانه و سه‌گانه‌ی تیمارهای مورد مطالعه بر درصد نیتروژن خاک معنی‌دار نبود. گزارش‌های زیادی مبنی بر تاثیر بیوجار

شیمیایی در دو سطح (بدون مصرف کود F_1) و مصرف کود شیمیایی (F_2) بود. میزان مصرف کود شیمیایی بر اساس آزمایش‌های خاک ۷۵ کیلوگرم در هکتار سوپر فسفات تریپل (P_2O_5)، ۱۰۰ کیلوگرم در هکتار پتانسیم (K_2SO_4) و ۱۵۰ کیلوگرم در هکتار نیتروژن (اوره) بود. مراحل آماده‌سازی زمین در دی ماه سال زراعی ۹۵-۱۳۹۴ انجام گرفت. ابعاد کرت‌های آزمایش ۳×۲ متر، فاصله بین کرت‌ها ۵۰ سانتی‌متر و فاصله بلوک‌ها از یکدیگر یک متر بود. بیوجار از ضایعات چوب درخت گردو تهیه شد (Mukome *et al.*, 2012). برای این منظور از کوره‌ای که فضای آن کاملاً بسته بود، استفاده شد تا اکسیژن وارد کوره نشود. دمای کوره بین ۴۰۰-۶۵۰ درجه سانتی‌گراد بود (Mukherjee, 2011). تجزیه شیمیایی بیوجار نیز از طریق آزمایش مشخص شد (جدول ۲). بیوجار و کود شیمیایی فسفر و پتانسیم قبل از کاشت با خاک تا عمق ۰-۱۵ سانتی‌متری مخلوط شد (Pühringer, 2016). سیاهدانه در تاریخ نوزدهم فروردین ماه ۹۵-۱۳۹۴ به صورت دستی در عمق دو سانتی‌متری کشت شد. هر کرت شامل هشت ردیف به فاصله ۲۵ سانتی‌متر بود. گیاهچه‌های سیاهدانه در دو مرحله چهار و هشت برگی برای رسیدن به تراکم مورد نظر (۲۰۰ بوته در مترمربع) با فاصله روی ردیف دو سانتی‌متر تنک شدند. کود نیتروژن در دو مرحله بعد از تنک کردن بوته‌ها (مرحله ده برجی و قبل از شروع رشد زایشی) به کرت‌های مورد نظر اضافه شد. از وجین دستی برای کنترل علفهای هرز استفاده شد. نیاز آبی گیاه تیمار شاهد با استفاده از میانگین بلند مدت داده‌های روزانه‌ی پارامترهای هواشناسی ثبت شده از نزدیکترین ایستگاه هواشناسی به منطقه مورد مطالعه جمع آوری گردید. تبخیر و تعرق گیاه مرجع (ET_0) (Khosroshahi, 2013) با استفاده از روش پنمن مونتیث فائق (Fao) (Ghamarnia *et al.*, 2014) محاسبه شد. نیاز آبی گیاه سیاهدانه بر اساس حاصل ضرب تبخیر و تعرق گیاه مرجع در ضریب گیاهی سیاهدانه (K_c) توسط نرم‌افزار آبیاری کراب وات که یک نرم‌افزار مناسب برای مدیریت و برنامه‌ریزی آبیاری است و به وسیله فائق ارائه شده است، تعیین شد. مقدار نیاز آبی برای تیمار شاهد ۷۴۲/۹ میلی‌متر برآورد شد. نیاز آبی سایر تیمارها (تیمارهای تنش آبی) بر اساس نیاز آبی تیمار شاهد و درصد تنش آبی (۷۰ و ۴۰ درصد) برآورد و توزیع شد. آبیاری به روش قطره‌ای و به صورت هفتگی انجام گرفت و برای اجرای مقدار آب تیمارهای آبیاری از کنتور حجمی استفاده شد. زمان اعمال تیمارهای آبیاری پس از توسعه کامل گیاه و قبل از شروع مرحله زایشی در تاریخ نهم خداداده ۹۵-۱۳۹۴ بود. دلیل انتخاب این زمان برای اعمال تنش، افزایش نیاز آبی گیاه در این مرحله و همچنین سپری شدن دوره بارندگی بود. به این ترتیب حداکثر صرفه‌جویی در مصرف آب صورت گرفت. برداشت در تاریخ‌های ۴ و ۵ مرداد ماه ۹۵-۱۳۹۴ با زرد شدن برگ‌ها و فولیکول‌ها انجام شد.

نسبت داد. همچنین وجود منافذ زیاد و سطح ویژه بالا در بیوچار موجب افزایش قدرت تبادل کاتیونی و افزایش عناصر غذایی در تیمارهای حاوی بیوچار می‌شود (Jemal and Abebe, 2016).

بر افزایش درصد نیتروژن خاک وجود دارد (Nigussie *et al.*, 2012; Njoku *et al.*, 2016; Foster *et al.*, 2016). دلیل افزایش درصد نیتروژن در تیمارهای حاوی بیوچار را می‌توان به توانایی بالای این ماده در نگهداری عناصر غذایی و جلوگیری از آشوبی نیتروژن

جدول ۱- ویژگی‌های فیزیکی و شیمیابی خاک مورد آزمایش

Table 1- Physicochemical properties of the experimental soil

| Soil texture | Clay (%) | Silt (%) | Sand (%) | کاتیونی CEC | دسترسی Available P (cmolc kg ⁻¹) | فسفرقابل (mg kg ⁻¹) | پتاسیم K (mg kg ⁻¹) | کربن آلی OC (%) | نیتروژن کل Total N (%) | خاک SP (%) | درصد اشباع EC (%) | هدایت الکتریکی EC (dS m ⁻¹) | اسیدیته pH |
|--------------|----------|----------|----------|-------------|--|---------------------------------|---------------------------------|-----------------|------------------------|------------|-------------------|---|------------|
| Loam | 21 | 41 | 38 | 8.9 | 12 | 220 | 0.837 | 0.079 | 40.2 | 1.9 | 7.65 | | |

جدول ۲- ویژگی‌های فیزیکی و شیمیابی بیوچار مورد استفاده

Table 2- Physicochemical properties of the biochar used for the experiment

| Volatile organic matter & moisture | موادآلی فرار و رطوبت | پتاسیم K | فسفر Available P | نیتروژن کل Total N | کربن Carbon | کاتیونی CEC | ظرفیت تبادل | هدایت الکتریکی EC | اسیدیته pH |
|------------------------------------|----------------------|----------|------------------|--------------------|-------------|-------------|-------------|-------------------|------------|
| | (%) | 46.95 | 0.21 | 0.01 | 1.27 | 45.44 | 0.27 | 200 | 9.7 |

کامل مشاهده کردند.

پتاسیم خاک

نتایج حاصل از تجزیه واریانس نشان داد که بیوچار بر میزان پتاسیم خاک در سطح احتمال یک درصد تاثیر معنی‌داری داشت (جدول ۳). مقایسه میانگین اثرات ساده نشان داد که با افزایش بیوچار از ۱۰ تا ۲۰ تن در هکتار، میزان پتاسیم خاک از ۱۴۸/۶ تا ۱۷۲/۲ میلی‌گرم در کیلوگرم افزایش یافت (جدول ۴). اثر متقابل آبیاری و بیوچار نیز معنی‌دار بود و بیشترین تاثیر مربوط به تیمار I₁B₃ (آبیاری بر اساس ۱۰۰ درصد نیاز آبی + مصرف ۲۰ تن در هکتار بیوچار) به مقدار ۱۸۶/۱۸ میلی‌گرم در کیلوگرم بود (جدول ۵). در آزمایشات مختلف نیز به افزایش پتاسیم خاک با افزایش مقدار بیوچار اشاره شده است (Dume *et al.*, 2016; Njoku *et al.*, 2016). بیوچار بهدلیل تاثیر بر افزایش قدرت تبادل کاتیونی در افزایش یون‌های خاک از جمله پتاسیم نقش دارد و باعث دسترسی بهتر گیاه به این عناصر می‌شود به علاوه بیوچار بهدلیل دارا بودن عناصر غذایی در افزایش این عناصر در خاک موثر است (Pühringer, 2016).

درصد ماده آلی خاک

بیوچار بر درصد مواد آلی خاک در سطح احتمال پنج درصد تاثیر معنی‌داری داشت ولی اثر سایر تیمارها بر این صفت معنی‌دار نبود (جدول ۳). مقایسه میانگین اثرات ساده نشان داد که در اثر افزایش سطوح بیوچار، درصد ماده آلی خاک افزایش یافت به‌طوری‌که در

درصد فسفر قابل دسترسی در خاک

تاثیر بیوچار بر فسفر قابل دسترسی خاک معنی‌دار نبود ولی آبیاری در سطح احتمال پنج درصد و کود شیمیابی در سطح احتمال ۱ درصد بر درصد فسفر قابل دسترسی خاک تاثیر معنی‌دار داشتند (جدول ۳). در یک تحقیق بیوچار بدون استفاده از کود شیمیابی باعث کاهش فسفر خاک شد، این امر به‌دلیل قلیایی شدن خاک و جذب فسفر توسط بیوچار عنوان شد (Nelson *et al.*, 2011). ولی محققان دیگری به افزایش فسفر قابل دسترسی در تیمارهای حاوی بیوچار اشاره کردند و دلیل این افزایش را بهبود اسیدیته خاک و در نتیجه کاهش فعالیت یون‌های آلومینیوم و آهن بیان کردند (Dume *et al.*, 2016). عدم تاثیر بیوچار بر فسفر قابل دسترسی در تحقیق حاضر احتمالاً به دلیل جذب سریع فسفر توسط گیاه یا تعادل در فسفر ورودی ناشی از کود شیمیابی با معدنی شدن آن توسط میکروگانیسم‌های خاک است که این نتایج همسو با گزارش‌های فوستر و همکاران (Foster *et al.*, 2016) بود. اثرات متقابل آبیاری و بیوچار و آبیاری و کود شیمیابی نیز معنی‌دار بودند (جدول ۳) به‌طوری‌که تیمار I₃B₁ (آبیاری ۴۰ درصد نیاز آبی + بدون مصرف بیوچار) با داشتن ۱۶ میلی‌گرم در کیلوگرم، بیشترین فسفر خاک را دارا بود (جدول ۵). اثرات متقابل آبیاری، بیوچار و کود شیمیابی نیز بیانگر تاثیر بیشتر تیمار I₃B₁F₂ (آبیاری بر اساس ۴۰ درصد نیاز آبی + بدون بیوچار + مصرف کود شیمیابی) بر درصد فسفر خاک بود (جدول ۵). فوستر و همکاران (Foster *et al.*, 2016) نیز فسفر قابل دسترس بیشتری را در تیمارهای تحت نتش نسبت به تیمار آبیاری

و بیوچار معنی دار بود و بیشترین کربن زیست توده میکروبی مربوط به تیمار I₁B₃ (آبیاری بر اساس ۱۰۰ درصد نیاز آبی + مصرف ۲۰ تن در هکتار بیوچار) به میزان ۴۱/۵۴ میلی گرم در ۱۰۰ گرم خاک بود. اثرات متقابل آبیاری، بیوچار و کود شیمیایی نیز معنی دار بود و بیشترین تاثیر مربوط به تیمار I₁B₃F₂ (آبیاری بر اساس ۱۰۰ درصد نیاز آبی + ۲۰ تن در هکتار بیوچار + مصرف کود شیمیایی) بود (جدول ۵). تاثیر بیوچار بر کربن زیست توده میکروبی به دلیل گزارش های متفاوت در مقالات هنوز ناشناخته است (Lehmann *et al.*, 2011). این تفاوت ها در نتایج با نوع و مقادیر بیوچار مصرفی و نوع خاک مرتبط است. برخی از محققان به افزایش کربن زیست توده میکروبی با افزایش مصرف بیوچار اشاره کردند (Demisie and Zhang, 2015) ولی محققان دیگری نیز کاهش کربن زیست توده میکروبی را در آزمایش های خود عنوان کردند (Dempster *et al.*, 2010). تغییرات در کربن زیست توده میکروبی خاک با توانایی بیوچار در بهبود اسیدیته و آب خاک، دسترسی بهتر به عناصر غذایی و جذب ترکیبات سمی مرتبط است به علاوه منافذ بیوچار می تواند از شکارشدن میکرو اگانیسم ها جلوگیری کرده و به ذخیره هی کربن و عناصر معدنی کمک کند (Zhang, 2014).

تیمار ۱۰ تن در هکتار بیوچار، ماده آلی ۱/۳۹۲ درصد و در تیمار ۲۰ تن در هکتار بیوچار ۱/۵۵۸ درصد بود (جدول ۴). محققان دیگری نیز به افزایش میزان کربن آلی و ماده آلی خاک با افزودن بیوچار به خاک اشاره کرده اند (Dume *et al.*, 2016). افزایش میزان کربن آلی در خاک با افزایش مصرف بیوچار به وجود درصد بالای از کربن آلی در بیوچار مصرفی مربوط است. با توجه به این که میزان ماده آلی خاک یکی از مولفه های مهم حاصلخیزی خاک است، افزودن بیوچار به خاک به دلیل کربن بالای آن می تواند منبع بسیار مناسبی برای جریان کمود کربن و مواد آلی خاک و در نتیجه بهبود خصوصیات فیزیکی و شیمیایی و نیز حفظ سلامت خاک باشد (Freddo, 2013).

کربن زیست توده میکروبی

کربن زیست توده میکروبی نشانگر حضور فعال میکرو اگانیزم های مختلف و تجزیه مواد آلی در اکوسیستم ها است و در آزادسازی عناصر غذایی و حاصلخیزی خاک نقش بهسزایی دارد. در تحقیق حاضر بیوچار بر کربن زیست توده میکروبی خاک در سطح احتمال ۵ درصد تاثیر معنی داری داشت و بیشترین مقدار کربن زیست توده میکروبی ۳۸/۲۸ میلی گرم در ۱۰۰ گرم خاک مربوط به مصرف ۲۰ تن در هکتار بیوچار بود (جدول های ۳ و ۴). در بین اثرات متقابل دو گانه، اثر متقابل آبیاری

جدول ۳- نتایج تجزیه واریانس (میانگین مرتعات) اثر تیمارهای مورد مطالعه بر برخی خصوصیات خاک

Table 3- Analysis of variance (mean square) for the effect of studied treatments on some properties of experimental soil

| منابع تغییر S.O.V | درجه آزادی d.f | نیتروژن کل Total nitrogen | فسفر قابل دسترس Available phosphorus | پتاسیم Potassium | مواد آلی خاک Soil organic matter | کربن زیست توده میکروبی Microbial biomass carbon |
|--------------------------------------|-------------------|------------------------------|---|---------------------|-------------------------------------|---|
| بلوک Block | 2 | 0.0051 ns | 0.891 ns | 3292.1 ns | 1.518 ns | 35.29 ns |
| آبیاری | 2 | 0.0000 ns | 8.25 ns | 1357.4 ns | 0.003 ns | 38.76 ns |
| Irrigation (I) | 2 | 0.0003 | 2.3 | 435.8 | 0.108 | 30.95 |
| کرتاهای اصلی خطای Main plot error | 4 | 0.0003 | 2.3 | 435.8 | 0.108 | 30.95 |
| بیوچار | 2 | 0.0007* | 1.91 ns | 4317.1** | 0.253* | 49.74* |
| Biochar (B) | 2 | 0.0001 ns | 25.44** | 1762.9* | 0.052 ns | 67.74* |
| بیوچار × آبیاری | 4 | 0.0001 ns | 25.44** | 1762.9* | 0.052 ns | 67.74* |
| Irrigation×Biochar | 1 | 0.0003 ns | 78.48** | 185.1 ns | 0.123 ns | 67.84 ns |
| کود شیمیایی (F) | 2 | 0.0001 ns | 8.76* | 179.6 ns | 0.067 ns | 14.7 ns |
| آبیاری × کود شیمیایی | 2 | 0.0001 ns | 8.76* | 179.6 ns | 0.067 ns | 14.7 ns |
| Irrigation× Fertilizer | 2 | 0.00006 ns | 4.43 ns | 311.5 ns | 0.021 ns | 0.021 ns |
| بیوچار × کود شیمیایی | 2 | 0.00006 ns | 4.43 ns | 311.5 ns | 0.021 ns | 0.021 ns |
| Biochar× Fertilizer | 4 | 0.00036 ns | 14.37** | 918.5 ns | 0.128 ns | 124.7** |
| Irrigation×Biochar× Fertilizer | - | 19.2 | 10.4 | 16.9 | 17.9 | 11.8 |
| خطای کرت های فرعی Sub plot error | 30 | 0.0002 | 2.08 | 685.7 | 0.065 | 18.92 |
| ضریب تغییرات C.V. (%) | - | | | | | |

% و ** به ترتیب معنی دار در سطح احتمال ۱% و ns

ns, ** and * are significant at p<0.01 and p<0.05, respectively

جدول ۴- مقایسه میانگین اثرات ساده بیوچار بر خصوصیات خاک

Table 4- Means comparison for biochar effects on soil properties

| فاکتور Factor | سطح Levels | نیتروژن کل Total Nitrogen (%) | پتاسیم Potassium (mg kg^{-1}) | مواد آلی خاک Soil organic matter (%) | کربن زیست توده میکروبی Microbial biomass carbonic (mgC100g soil^{-1}) |
|--------------------------------|-----------------------|----------------------------------|---|---|---|
| Biochar (t ha^{-1}) | بیوچار 0 (B_1) | 0.076b | 143.1b | 1.329b | 36.87ab |
| | 10 (B_2) | 0.085ab | 148.6b | 1.392ab | 34.96b |
| | 20 (B_3) | 0.089a | 172.2a | 1.558a | 38.28a |

در هر ستون و فاکتور، میانگین‌های دارای حداقل یک حرف مشترک تفاوت معنی‌دار در سطح احتمال پنج درصد ندارند.

In each column of each experimental factor, same letters had not significant differences in Duncan's multiple range at $p<0.05$

جدول ۵- مقایسه میانگین اثرات متقابل دوگانه آبیاری×بیوچار و اثرات سه‌گانه آبیاری × بیوچار × کودشیمیابی بر خصوصیات خاک

Table 5-Mean comparison of interaction effects for irrigation× biochar and irrigation× biochar × fertilizer on soil properties

| تیمار Treatment | فسفر قابل دسترس Available phosphorus (mg kg^{-1}) | پتاسیم Potassium (mg kg^{-1}) | کربن زیست توده میکروبی Microbial biomass carbonic (mgC100g soil^{-1}) |
|--------------------|---|---|---|
| I_1B_1 | 13.53c | 148.3bcd | 34.15cd |
| I_1B_2 | 15.5ab | 156.7abc | 35.62bcd |
| I_1B_3 | 14.17bc | 186.7a | 41.54a |
| I_2B_1 | 11.12d | 119.2d | 39.57ab |
| I_2B_2 | 12.7cd | 144.2cd | 38.25abc |
| I_2B_3 | 15.4ab | 176.7ab | 35.99bcd |
| I_3B_1 | 16a | 161.7abc | 36.89abc |
| I_3B_2 | 12.93c | 145cd | 31.03d |
| I_3B_3 | 12.97c | 153.3bc | 37.32abc |
| ----- | ----- | ----- | ----- |
| $I_1B_1F_1$ | 14.2 cdef | | 35.9bcdefg |
| $I_1B_1F_2$ | 12.8defg | | 32.3efgh |
| $I_1B_2F_1$ | 14.6cde | | 40abcd |
| $I_1B_2F_2$ | 16.4bc | | 31.1fgh |
| $I_1B_3F_1$ | 13.2 defg | | 37.1bcdefg |
| $I_1B_3F_2$ | 15.1cd | | 45.9a |
| $I_2B_1F_1$ | 10h | | 41.1abc |
| $I_2B_1F_2$ | 12.1fgh | | 37.9bcdef |
| $I_2B_2F_1$ | 11.7gh | | 37.5bcdefg |
| $I_2B_2F_2$ | 13.6defg | | 39abcde |
| $I_2B_3F_1$ | 12.6efg | | 41.6ab |
| $I_2B_3F_2$ | 18.2ab | | 30.35gh |
| $I_3B_1F_1$ | 12.2efgh | | 33defgh |
| $I_3B_1F_2$ | 19.7a | | 40.7abc |
| $I_3B_2F_1$ | 12.8defg | | 34.2cdefgh |
| $I_3B_2F_2$ | 13defg | | 27.7h |
| $I_3B_3F_1$ | 11.9fgh | | 39.7abcd |
| $I_3B_3F_2$ | 14cdefg | | 34.9bcdefgh |

I_1 , I_2 and I_3 : 100, 70, 40% water requirement, respectively;

B_1 , B_2 , B_3 : 0, 10, 20 t ha^{-1} biochar, respectively; F_1 and F_2 : non-using chemical fertilizer, using chemical fertilizer, respectively

در هر ستون و فاکتور، میانگین‌های دارای حداقل یک حرف مشترک تفاوت معنی‌دار در سطح احتمال پنج درصد ندارند

In a column of each experimental factor, same letters had no significant differences in Duncan's multiple range test at $p<0.05$

عملکرد کاه و کلش

اثر ساده تیمار کود شیمیایی، اثر مقابل آبیاری و کود و اثرات مقابل سه‌گانه آبیاری، کود و بیوچار بر عملکرد کاه و کلش معنی‌دار بود ولی اثر ساده آبیاری و بیوچار بر عملکرد کاه و کلش تاثیر معنی‌داری نداشت (جدول ۶). عدم تاثیر معنی‌دار بیوچار بر زیست‌توده گیاهی درآزمایش‌های دیگری نیز گزارش شده است (Schulz, et al., 2014). بیشترین عملکرد کاه و کلش در اثر مقابل آبیاری و کود شیمیایی مربوط به تیمارهای I_2F_2 (درصد نیاز آبی + مصرف کود شیمیایی) و I_1F_2 (۱۰۰ درصد نیاز آبی + مصرف کود شیمیایی) به ترتیب ۴۰۴۴ و ۳۷۲۵ کیلوگرم در هکتار بود (جدول ۸). اثرات مقابل سه تیمار نشان‌دهنده تاثیر بالاتر تیمارهای $I_2B_2F_2$ (درصد نیاز آبی + ۱۰ تن در هکتار بیوچار + مصرف کود شیمیایی) بر عملکرد کاه و کلش بود (۴۴۲۰ کیلوگرم بر هکتار) (جدول ۹). بنابراین می‌توان اظهار داشت که استفاده از کود شیمیایی و بیوچار به همراه آبیاری مناسب، باعث فراهم شدن آب و مواد غذایی و درنتیجه رشد بهینه گیاه گردیده است. ابراهیم و همکاران (Ibrahim, et al., 2015) به افزایش بیشتر عملکرد کاه و کلش در تیمارهای حاوی بیوچار و آبیاری بر اساس ۸۰ درصد نیاز آبی گیاه در مقایسه با تیمارهای بدون بیوچار و ۱۰۰ درصد آبیاری اشاره کردند. در آزمایشی بر روی گیاه ذرت بالاترین عملکرد کاه و کلش در تیمار بیوچار به همراه کود شیمیایی مشاهده شد. استفاده همزمان بیوچار با کود شیمیایی باعث جذب نیتروژن توسط بیوچار و آزادسازی آهسته آن شده و ارتباط بین منبع و مخزن تقویت می‌شود که نتیجه آن افزایش رشد روشی و زایشی گیاه است. در مقابل کاربرد نیتروژن معدنی به تنهایی، بهدلیل آبشویی آن به طور سریع‌تری از دسترس گیاه خارج می‌شود (Gokila and Baskar, 2015).

کارایی مصرف آب (بر اساس عملکرد دانه)

جدول تجزیه واریانس داده‌ها نشان داد که اثرات ساده تیمارها تاثیر معنی‌داری بر کارایی مصرف آب نداشت ولی اثر مقابل بیوچار و کود شیمیایی و اثر مقابل سه‌گانه آبیاری، بیوچار و کود معنی‌دار بود (جدول ۶). در بین تیمارهای مربوط به اثرات مقابل بیوچار و کود، تیمار B_3F_2 (۲۰ تن در هکتار بیوچار + مصرف کود شیمیایی) و B_2F_2 (۱۰ تن در هکتار بیوچار + مصرف کود شیمیایی) نیز بیشترین مقدار کارایی مصرف آب را داشتند (جدول ۸). مقایسه میانگین اثرات مقابل سه‌گانه نشان داد که تیمارهای $I_3B_3F_2$ (۴۰ درصد نیاز آبی + ۲۰ تن در هکتار بیوچار + مصرف کود شیمیایی) و $I_2B_2F_2$ (۷۰ درصد نیاز آبی + ۱۰ تن در هکتار بیوچار + مصرف کود شیمیایی) بیشترین کارایی مصرف آب را داشتند (به ترتیب ۲۸۴ و ۲۷۲ کیلوگرم در متر مکعب) (جدول ۹). افزایش کارایی مصرف آب با بالا بودن عملکرد و

صفات مرتبط با گیاه

عملکرد دانه

جدول تجزیه واریانس داده‌ها نشان‌گر تاثیر معنی‌دار آبیاری بر عملکرد دانه بود (جدول ۶). مقایسه میانگین اثرات ساده بیان‌گر تفاوت معنی‌دار تیمار ۴۰ درصد نیاز آبی با تیمار ۱۰۰ و ۷۰ درصد نیاز آبی بر عملکرد دانه بود (جدول ۷). تنش آبیاری با تاثیر بروکا هش رشد رویشی و زایشی در گیاه، افت عملکرد را در پی دارد (Shabanzadeh et al., 2011). در بین اثرات مقابل دوگانه، اثر مقابل کود و بیوچار B_3F_2 بر عملکرد دانه معنی‌دار بود و بیشترین مقدار مربوط به تیمار B_2F_2 (۲۰ تن در هکتار بیوچار + مصرف کود شیمیایی) و B_1F_2 (۱۰ تن در هکتار بیوچار + مصرف کود شیمیایی) به ترتیب برابر ۱۲۲۷ و ۱۱۸۴ کیلوگرم در هکتار بود (جدول‌های ۶ و ۸). این نتایج نشان داد که کاربرد بیوچار به همراه کود شیمیایی اثرات بهتری نسبت به مصرف هر یک از این دو ماده به تهیایی داشت. مطالعات مختلفی بیان‌گر تاثیر ضاعف بیوچار در ترکیب با کودهای آلی و معدنی بوده است که این امر با توانایی در جذب و نگهداری عناصر غذایی و در نتیجه دسترسی بهتر گیاه به عناصر غذایی مرتبط می‌باشد (Arif et al., 2012; Arif et al., 2016; Gokila and Baskar, 2015). اثرات سه‌گانه کود، بیوچار و آبیاری بر عملکرد دانه معنی‌دار بود (جدول ۹). در بین اثرات مقابل سه‌گانه، تیمار $I_2B_2F_2$ (آبیاری بر اساس ۷۰ درصد نیاز آبی + ۱۰ تن در هکتار بیوچار + مصرف کود شیمیایی) و تیمار $I_2B_3F_2$ (آبیاری بر اساس ۷۰ درصد نیاز آبی + ۲۰ تن در هکتار بیوچار + مصرف کود شیمیایی) به ترتیب با مقدار ۱۳۵۶ و ۱۳۲۵ کیلوگرم در هکتار بیشترین عملکرد دانه را داشتند. بالا بودن عملکرد در این دو تیمار نشان‌گر تاثیر بیوچار در کاهش میزان آب مصرفی است. به این ترتیب می‌توان با استفاده از بیوچار به جای ۱۰۰ درصد آبیاری از ۷۰ درصد آب مورد نیاز برای کشت سیاهدانه استفاده کرد. با کاربرد بیوچار به دلیل منافذ زیاد، سطح ویژه بالای آن، افزایش جذب عناصر غذایی و قدرت نگهداری آب بالا، موجبات عملکرد بیشتر گیاه فراهم گردید. به عبارت دیگر بیوچار در گیاهان تحت تنفس ملایم، عملکرد دانه را به ازای مقدار آب مصرف شده بیشتر از تیمار آبیاری ۱۰۰ درصد افزایش داد. در یک تحقیق، بیشترین تاثیر بر عملکرد دانه در لوپیای بالدار (*Vigna radiate*) در مصرف ۲۵ تن در هکتار بیوچار در مقایسه با مصرف ۵۰ و ۷۵ تن در هکتار بیوچار مشاهده گردید (Foster et al., 2016). فوستر و همکاران (Rub et al., 2016) در آزمایش‌های خود به کاهش عملکرد ذرت (*Zea mays*) در تیمار بیوچار به همراه تنش آب اشاره کردند در حالی که بیوچار در تیمار آبیاری کامل باعث افزایش عملکرد شد.

گیاهان تحت تنش تیمار شده با بیوچار به دلیل افزایش کارایی مصرف آب و محتوای نسبی آب در این تیمارها افزایش یافت. در تحقیقی دیگر استفاده از مخلوط بیوچار و کمپوست بیشترین افزایش کارایی مصرف آب و عملکرد را موجب شد (Abubakari *et al.*, 2015).

همچنین کاهش میزان آب مصرفی در این تیمارها مرتبط است. افزایش کارایی مصرف آب با کاربرد بیوچار در آزمایش‌های دیگر نیز گزارش شده است. اختر و همکاران (Akhtar *et al.*, 2014) گزارش کردند که در گیاه گوجه‌فرنگی (*Solanum lycopersicum*) کاربرد بیوچار باعث مقاومت این گیاه به تنش خشکی گردید و عملکرد بیوچار باعث مقاومت این گیاه به تنش خشکی گردید و عملکرد

جدول ۶- تجزیه واریانس (میانگین مریعات) اثر تیمارهای مورد مطالعه بر عملکرد دانه، عملکرد کاه و کلش و کارایی مصرف آب در گیاه سیاه‌دانه

Table 6- The analysis of variance (mean square) for the effect of studied treatments on seed yield, straw yield and water use efficiency in black seed

| منابع تغییر S.O.V | درجه آزادی d.f | عملکرد دانه Seed yield | عملکرد کاه و کلش Straw yield | کارایی مصرف آب WUE |
|---|-------------------|---------------------------|---------------------------------|-----------------------|
| بلوک Block | 2 | 338414.05 ns | 4908604.05 ns | 0.051 ns |
| آبیاری Irrigation (I) | 2 | 678718.6 * | 4387008.56 ns | 0.002 ns |
| خطای کرت‌های اصلی Main plot error | 4 | 66526.7 | 1136303.54 | 0.017 |
| بیوچار Biochar (B) | 2 | 18891.2 ns | 124676.87 ns | 0.001 ns |
| آبیاری×بیوچار Irrigation×Biochar | 4 | 30726.2 ns | 238939.54 ns | 0.002 ns |
| کودشیمیابی Fertilizer (F) | 1 | 101375.7 ns | 16534020.6 ** | 0.004 ns |
| آبیاری×کودشیمیابی Irrigation×Fertilizer | 2 | 41023.2 ns | 675786.42 * | 0.001 ns |
| بیوچار×کودشیمیابی Biochar×Fertilizer | 2 | 168023.7 ** | 20575.56 ns | 0.008 ** |
| آبیاری×بیوچار×کودشیمیابی Irrigation×Biochar×Fertilizer | 4 | 79246.9 * | 620880.02 * | 0.005 ** |
| خطای کرت‌های فرعی Sub plot error | 30 | 26548.1 | 246939.3 | 0.001 |
| ضریب تغییرات C.V. (%) | - | 15.0 | 16.7 | 15.1 |

% و *** به ترتیب معنی‌دار در سطح احتمال ۱٪ و ۰.۵٪ ns

ns, ** and * are significant at $p<0.01$ and $p<0.05$, respectively

جدول ۷- مقایسه میانگین اثر ساده تیمار آبیاری بر عملکرد دانه در گیاه سیاه‌دانه

Table 7- Means comparison for the effect irrigation on seed yield in black seed

| فاکتور Factor | سطح Levels | عملکرد دانه Seed yield (kg ha^{-1}) |
|---------------------------------|-----------------------|---|
| آبیاری Irrigation (I) (%) | 100 (I ₁) | 1239.3a |
| | 70 (I ₂) | 1157.9a |
| | 40 (I ₃) | 814.2b |

در هر ستون و فاکتور، میانگین‌های دارای حرف لاتین مشترک تفاوت معنی‌دار در سطح احتمال پنج درصد ندارند.

In a column of each experimental factor, same letters had not significant differences in Duncan's multiple range test at $p<0.05$.

جدول ۸- مقایسه میانگین اثرات متقابل دو گانه آبیاری \times کودشیمیایی و بیوجار \times کودشیمیایی بر عملکرد دانه، عملکرد کاه و کلش و کارایی مصرف آب در گیاه سیاهدانه

Table 8- Mean comparison of interaction effects for irrigation \times fertilizer and biochar \times fertilizer on yield, straw yield and water use efficiency in black seed

| فاکتور Factor | عملکرد دانه Seed yield (kg ha^{-1}) | عملکرد کاه و کلش Straw yield (kg ha^{-1}) | کارایی مصرف آب WUE(kg m^{-3}) |
|-------------------------------|---|---|---|
| I ₁ F ₁ | | 2747b | |
| I ₁ F ₂ | | 3725a | |
| I ₂ F ₁ | | 2502b | |
| I ₂ F ₂ | | 4044a | |
| I ₃ F ₁ | | 2000c | |
| I ₃ F ₂ | | 2800b | |
| B ₁ F ₁ | 1117abc | | 0.233abc |
| B ₁ F ₂ | 986.3c | | 0.203c |
| B ₂ F ₁ | 1033bc | | 0.213bc |
| B ₂ F ₂ | 1184ab | | 0.243ab |
| B ₃ F ₁ | 987.4c | | 0.203c |
| B ₃ F ₂ | 1227a | | 0.253a |

I₁, I₂ and I₃: 100, 70, 40% water requirement, respectively; B₁, B₂, B₃: 0, 10, 20 t ha⁻¹ biochar, respectively; F₁ and F₂: Non-using chemical fertilizer, using chemical fertilizer, respectively

در هر ستون و فاکتور، میانگین‌های دارای حداقل یک حرف لاتین مشترک تفاوت معنی‌دار در سطح احتمال پنج درصد ندارند.

In a column of each experimental factor, same letters had not significant differences in Duncan's multiple range test at p<0.05.

جدول ۹- مقایسه میانگین اثرات متقابل سه گانه آبیاری، کودشیمیایی و بیوجار بر عملکرددانه، عملکرد کاه و کلش و کارایی مصرف آب در گیاه سیاهدانه

Table 9- Mean comparison of interaction effects for irrigation \times fertilizer \times biochar on yield, straw yield and water use efficiency

| فاکتور Factor | عملکرددانه Seed yield (kg ha^{-1}) | عملکرد کاه و کلش Straw yield (kg ha^{-1}) | کارایی مصرف آب WUE (kg m^{-3}) |
|--|--|---|--|
| I ₁ B ₁ F ₁ | 1278ab | 2747efgh | 0.239abcd |
| I ₁ B ₁ F ₂ | 1289ab | 3327bcde | 0.246abcd |
| I ₁ B ₂ F ₁ | 1140abcdef | 2773efgh | 0.207de |
| I ₁ B ₂ F ₂ | 1314ab | 3874abc | 0.24abcd |
| I ₁ B ₃ F ₁ | 1232abc | 2720efghi | 0.234abcd |
| I ₁ B ₃ F ₂ | 1182abcd | 3973ab | 0.213cde |
| I ₂ B ₁ F ₁ | 1131abcdef | 2400fghi | 0.228bcd |
| I ₂ B ₁ F ₂ | 1087abcdef | 4053ab | 0.218cde |
| I ₂ B ₂ F ₁ | 1052bcdef | 2273ghi | 0.212cde |
| I ₂ B ₂ F ₂ | 1356a | 4420a | 0.272ab |
| I ₂ B ₃ F ₁ | 996.7cddefg | 2833defgh | 0.202de |
| I ₂ B ₃ F ₂ | 1325a | 3660abcd | 0.262abc |
| I ₃ B ₁ F ₁ | 941.2defg | 1893i | 0.23bcd |
| I ₃ B ₁ F ₂ | 583.7h | 3080cdefg | 0.146f |
| I ₃ B ₂ F ₁ | 906.3efg | 2007hi | 0.222bcde |
| I ₃ B ₂ F ₂ | 880.7fg | 2213hi | 0.218cde |
| I ₃ B ₃ F ₁ | 733.1gh | 2100hi | 0.173ef |
| I ₃ B ₃ F ₂ | 1174abcde | 3107cdef | 0.284a |

I₁, I₂ and I₃: 100, 70, 40% water requirement, respectively; B₁, B₂, B₃: 0, 10, 20 t ha⁻¹ biochar, respectively; F₁ and F₂: non-using chemical fertilizer, using chemical fertilizer, respectively

در هر ستون، میانگین‌های دارای حداقل یک حرف لاتین مشترک تفاوت معنی‌دار در سطح احتمال پنج درصد ندارند.

In each column, same letters had not significant differences in Duncan's multiple range test at p<0.05.

نتیجه‌گیری

داده می‌شود که از هدررفت و آبشویی نیترات جلوگیری کرده و به دستیابی بهتر گیاه برای عناصر غذایی کمک می‌کند. بیوچار در شرایط کم‌آبیاری بهدلیل داشتن منافذ زیاد و توانایی نگهداری آب بالا، باعث افزایش کارایی مصرف آب در گیاه شد. این امر بهویژه در مناطق خشک و نیمه‌خشک میزان آب مصرفی را کاهش داده و به ازای آب مصرفی، عملکرد بیشتر از گیاهان تحت تنفس بدون بیوچار افزایش می‌یابد. نتایج آزمایش نشان داد که با مصرف بیوچار می‌توان به جای آبیاری ۱۰۰ درصد از ۷۰ درصد نیاز آبی گیاه برای حصول همان میزان عملکرد استفاده کرده بهاین ترتیب می‌توان در میزان آب مصرفی صرفه‌جویی کرد.

بیوچار با تاثیر بر خصوصیات فیزیکی و شیمیایی خاک از قبیل بهبود اسیدیته خاک، بهبود عناصر غذایی خاک، افزایش قدرت نگهداری عناصر غذایی و ایجاد شرایط مناسب برای میکرووارگانیسم‌های خاک می‌تواند بر رشد رویشی و زایشی سیاهدانه تاثیر مثبت داشته باشد. اگرچه تاثیر مصرف ۲۰ تن در هکتار بیوچار بر خصوصیات خاک بیشتر از ۱۰ تن در هکتار بیوچار بود ولی تفاوت معنی‌داری بر صفات مرتبط با سیاهدانه بین این دو تیمار مشاهده نشد. مصرف بیوچار به همراه کود شیمیایی اثرات بهتری را بر عملکرد دانه و عملکرد کاه و کلش نسبت به مصرف بیوچار یا کود شیمیایی به تنها‌یابی داشت. این امر به منافذ و سطح ویژه بیشتر در بیوچار نسبت

References

1. Abubakari, A. H., Bayor, H., Takyi, I., Chimsah, F. A., Nyarko, G., Atuah, L., and Banful, B. 2016. Effect of compost-biochar mixes and irrigation on the growth and yield of Amaranthus (*Amaranthus hybridus*) under two growing temperatures. African Journal of Agricultural Research 11 (25): 2257-2265.
2. Akhondian, J., Parsa, A., and Rakhshandeh, H. 2007. The effect of *Nigella sativa* (black cumin seed) on intractable pediatric seizures. Medical of Science Monit 13: 555-559.
3. Akhtar, S. S., Andersen, M. N., and Liu, F. 2014. Biochar enhances yield and quality of tomato under reduced irrigation. Agriculture of Water Management 138: 37-44.
4. Arif, M., Asad, A., Umair, M., Munsif, F., Kawsar, A., Inamullah, M., Saleem, M., and Gohar, A. 2012. Effect of biochar, FYM and mineral nitrogen alone and in combination on yield components of maize. Sarhad Journal of Agriculture 28 (2): 191-195.
5. Aslam, Z., Khalid, M., and Aon, M. 2014. Impact of biochar on soil physical properties. Scholarly Journal of Agricultural Science 4 (5): 280-284.
6. A.O.A.C. 2000. Association of Official Agricultural Chemists, Official and Tentative Methods of Analysis, 2nd ed., Washington, DC, USA.
7. Azeem, M., Hayat, R., Hussain, Q., Ahmed, M., Imran, M., and Crowley, D. 2016. Effect of biochar amendment on soil microbial biomass, abundance, and enzyme activity in the mash bean field. Journal of Biodiversity and Environmental Sciences 8: 1-13.
8. Baldock, J. A., and Skjemstad, J. O. 1999. Soil Organic Carbon/Soil Organic Matter. CSIRO Publishing, Melbourne.
9. Berek, A. K., Hue, N., and Ahmad, A. 2011. Beneficial use of biochar to correct soil acidity. The Food Provider. Available at Website <http://www.ctahr.hawaii.edu/huen/nvh/biochar>.
10. Boskabady, M. H., Javan, H., Sajady, M. and Rakhshandeh H. 2007. The possible prophylactic effect of *Nigella sativa* seed extract in asthmatic patients. Fundamental and Clinical Pharmacology 21: 559-566.
11. Choudhary, N., and Singh Sekhon, B. 2011. An overview of advances in the standardization of herbal drugs. Journal of Pharmacy Education Research 2 (2): 55-70.
12. Chaudhry, U. K., Shahzad, S., Naqqash Abdul Saboor, M. N., Yaqoob, S., Salim, M., and Khalid, M. 2016. Integration of biochar and chemical fertilizer to enhance quality of soil and wheat crop (*Triticum aestivum L.*). Peer Journal Pre Prints. Available at Web site <https://doi.org/10.7287/peerj.preprints.1631v1>.
13. Demisie, W., and Zhang, M. 2015. Effect of biochar application on microbial biomass and enzymatic activities in degraded red soil. African Journal of Agricultural Research 10: 755-766.
14. Dempster, D. N., Gleeson, D. B., Solaiman, Z. M., Jones, D. L., and Murphy, D. V. 2010. Biochar addition to soil changed microbial community structure and decreased microbial biomass carbon and net inorganic nitrogen mineralized. In 19th World Congress of Soil Science, Soil Solutions for a Changing World, Brisbane, Australia.
15. Dume, B., Mosissa, T., and Nebiyu, A. 2016. Effect of biochar on soil properties and lead (Pb) availability in a military camp in South West Ethiopia. African Journal of Environmental Science and Technology 10:77-85.
16. Foster, E. J., Neil Hansenc, B., Matt Wallenstein, B. D., and Cotrufoa, F. 2016. Biochar and manure amendments impact soil nutrients and microbial enzymatic activities in a semi-arid irrigated maize cropping system. Agriculture, Ecosystems and Environment 233:404-414.

17. Freddo, A. 2013. Biochar: for better or for worse? Ph.D. dissertation, University of East Anglia School of Environmental Science.
18. Ghamarnia, H., Miri, E., and Ghobadei, M. 2014. Determination of water requirement, single and dual crop coefficients of black cumin (*Nigella sativa* L.) in a semi-arid climate. *Irrigation Science* 32 (1):67-76.
19. Gokila, B., and Baskar, K. 2015. Influence of biochar as soil amendment on yield and quality of maize. *International Journal of Plant, Animal and Environmental Sciences* 5:152-155.
20. Haider, G. 2016. Biochar as a Beneficial Soil Amendment in Sandy Soils. Ph.D. thesis. Department of Plant Ecology, Faculty of Biology and Chemistry Justus-Liebig-University Giessen, Germany.
21. Horwath, W. R., and Paul, E. A. 1994. Microbial biomass. In: DR Buxton (ed.), *Methods of Soil Analysis*, Part 2: Microbiological and Biochemical Properties. ASA and SSSA. Madison, WI.
22. Ibrahim, O. M., Bakry, A. B., El Kramany, M. F., and Elewa, T. A. 2015. Evaluating the role of biochar application under two levels of water requirements on wheat production under sandy soil conditions. *Global Journal of Advanced Research* 2 (2): 411-418.
23. Jemal, K., and Abebe, A. 2016. Determination of bio-char rate for improved production of Lemmon grass. *International Journal of Advanced Biological and Biomedical Research* 4 (2): 149-157.
24. Khosroshahi, M., 2013. Estimating water requirement of *Prosopis juliflora* at different habitates of Persian Gulf - Aman Sea region of Iran. *Iranian Journal of Forest and Poplar Research* 21 (2): 300-315.
25. Klut, A. 1986. Method of Soil Analysis: Physical, Chemical and Mineralogical Methods. Soil Science Society of America. Madison, Wisconsin, USA, 432-449.
26. Lehmann, J., Rillig, M. C., Thies, J., Masiello, C. A., Hockaday, W. C., and Crowley, D. 2011. Biochar effects on soil biota: A review. *Soil Biology and Biochemistry* 43: 1812-1836.
27. Mukherjee, A., Lal, R., and Zimmerman, A. R. 2014. Effects of biochar and other amendments on the physical properties and greenhouse gas emissions of an artificially degraded soil. *Science of the Total Environment* 487: 26-36.
28. Mukherjee, A. 2011. Physical and Chemical Properties of a Range of Laboratory-Produced Fresh and Aged Biochars. Doctoral Dissertation, Geological Sciences, University of Florida, Gainesville, Florida.
29. Mukome, F. N. D., Six, J., and Parikh, S. J. 2012. The effects of walnut shell and wood feedstock biochar amendments on greenhouse gas emissions from a fertile soil. *Geoderma* 200(201):90-98.
30. Nelson, N. O., Agudelo, S. C., Yuan, W., and Gan, J. 2011. Nitrogen and phosphorus availability in biochar-amended soils. *Soil Science* 176, 1. doi:<http://dx.doi.org/10.1097/SS.0b013e3182171eac>.
31. Nelson, B. W., and Sommers L. E. 1982. Total carbon, organic carbon, and organic matter. In: Page A.L, Miller R.H and Keeney D.R (eds). *Methods of soil analysis part 2. Chemical and microbiological properties*. The American Society of Agronomy. Madison, Wisconsin. 539-577.
32. Nigussie, A., Endalkachew Kissi, E., Misganaw, M., and Ambaw, G. 2012. Effect of biochar application on soil properties and nutrient uptake of lettuces (*Lactuca sativa*) grown in chromium polluted soils. *American-Eurasian Journal of Agriculture and Environment Science* 12 (3): 369-376.
33. Njoku, C., Uguru, B. N., and Chibuike, C. C. 2016. Use of biochar to improve selected soil chemical properties, carbon storage and maize yield in an Ultisol in Abakaliki Ebonyi State, Nigeria. *International Journal of Environmental and Agriculture Research* 2: 15-22.
34. Olsen, S. R. and Sammers, L. E. 1982. Phosphorous. In: Page A.L, Miller R. Hand Keeney D.R (eds). *Methods of soil analysis part 2. Chemical and microbiological properties*. The American Society of Agronomy, Madison, Wisconsin. 403-427.
35. Pühringer, H. 2016. Effects of different biochar application rates on soil fertility and soil water retention in on-farm experiments on smallholder farms in Kenya. Master's thesis, Independent Project in Environmental Science, Faculty of Natural Resources and Agricultural Sciences, Department of Soil and Environment, Swedish University of Agricultural Sciences.
36. Rab, A., Rabnawaz Khan, M., Ul Haq, S., Zahid, S., Asim, M., Afzidi, M.Z., Arif, M., and Munsif, F. 2016. Impact of biochar on mungbean yield and yield components. *Pure and Applied Biology* 5(3): 632-640.
37. Schouten, S. 2010. Biochar for sustainable agricultural development. A critical review of biochar for carbon management and the improvement of agricultural production systems. Institute of Environmental Sciences, Leiden.
38. Schulz, H., Dunst, G., and Glaser, B. 2014. No effect level of co-composted biochar on plant growth and soil properties in a greenhouse experiment. *Agronomy* 4: 34-51.
39. Shabanzadeh, Sh., Ramroudi, M., and Galavi, M. 2011. Influence of micronutrients foliar application on seed yield and quality traits of black cumin in different irrigation regimes. *Journal of Crop Production and Processing* 1 (2):79-89.
40. Sika, M. P. 2012. Effect of biochar on chemistry, nutrient uptake and fertilizer mobility in sandy soil. Thesis presented in partial fulfilment of the requirements for the degree Master of Science in Agriculture. University of Stellenbosch. ISSN 1818-6769.

41. Teat, L. 2014. Yield and physiological responses of the bioenergy crop miscanthus × giganteus to fertilizer, biochar and drought. Partial fulfillment of the requirements for the degree of Master of Science. Graduate School at Appalachian State University.
42. Widowati, W. H. 2012. The effect of biochar on the growth and N fertilizer requirement of Maize (*Zea mays*) in green house experiment. Journal of Agricultural Science 4 (5): 256-262.
43. Zhang, H. 2014. Biochar Effects on Soil Microbial Biomass and Activity. Ph.D. dissertation, The University of Guelph, Canada.



Effects of Biochar on Soil Fertility and Water Use Efficiency of Black Seed (*Nigella sativa L.*) under Water Stress Conditions

F. Abbaspour¹, H. R. Asghari^{2*}, P. Rezvani Moghaddam³, H. Abbasdokht⁴, J. Shabahang⁵, A. Baig Babaei⁶

Received: 18-03-2017

Accepted: 07-04-2018

Introduction: Application of chemical fertilizers since green revolution, make the crop production doubled or even tripled in some crops. However, long-term overuse of these fertilizers decreased soil quality. Thus to obtain the same yield, the rate of inorganic fertilizer application steadily increases from year to year. Recent studies revealed that in order to increase the chemical fertilizer efficiency, it needed to integrate organic resources with chemical fertilizers to soil. However, using organic manure in the soil will be decomposed very rapidly. Biochar is a source of high organic carbon which highly resistant to decomposition. It has a porous quality and large surface area which reduces leaching of nutrients. Biochar addition to soils can change microbial biomass, adsorb toxic compounds and improved soil water and pH status. The internal porosity of biochars may help soil microorganisms avoid grazers. Globally demands for plant-based medicines are growing. Black seed (*Nigella sativa L.*) is annual plant to Ranunculaceae family, is grown in arid and semi-arid regions of the world. Black seed considered as a spice, medicinal plant and used as seasoning in cooking and foodstuffs. Recently, there has been an increasing interest in integrated approaches in improving crop production to resist conditions of nutrient-poor soil, drought, and salinization. Since, a few attempt has been made to investigate the effects of biochar amendment on medicinal plants in semi-arid agricultural systems, the present study was initiated in agro ecological condition of Mashhad.

Materials and Methods: A field experiment was conducted as split plots factorial layout based on a randomized complete block design with three factors and three replications at the Research Station, Faculty of Agriculture, Ferdowsi University of Mashhad, Iran during growing season of 2016. Three levels of irrigation (100, 70, and 40 percent of water irrigation requirement) were assigned as main plots and the combination of three levels of biochar (0, 10, and 20 ton ha^{-1}) and two levels of chemical fertilizers (without and with chemical fertilizer) were allocated as sub plots. Recommended dose for nitrogen, phosphorus, and potassium was 150 kg ha^{-1} , 75 kg ha^{-1} and 100 kg ha^{-1} , respectively. The size of each experimental unit was $3 \times 2 \text{ m}^2$. Black seed thinning was performed after emergence to get a plant population density of 200 plants m^{-2} . Post experimental soil which was amended with biochar and fertilizer were analyzed for total nitrogen, available phosphorus, potassium, soil organic matter, and microbial biomass carbon. Plant criteria which studied were such as grain yield (kg ha^{-1}), straw yield (kg ha^{-1}) and water use efficiency (base of grain yield). Analysis of Variance (ANOVA) and Duncan multiple range test were used to compare the recoded data.

Results and Discussion: Soil N, K, SOM, and Microbial biomass carbon were significantly affected by biochar application. Phosphorus was not affected by biochar. The highest biochar effect on soil characteristics was found under 20 ton ha^{-1} biochar application treatment. The results showed that application of 10 and 20 ton ha^{-1} of biochar improved soil nitrogen compared with control treatment. Soil organic matter was increased by 1.56% compared with 1.33% in control when 20 ton ha^{-1} biochar was used. It has been reported that the biochar may increase the organic matter of the poor soils. The soil microbial biomass carbon was increased by biochar and fertilizer application. It seems that the reason for increasing soil microbial biomass by adding biochar to the soil is enhancing available soil nutrients, adsorption of toxic compounds and improved soil water and pH status. The internal porosity of biochars may help soil microorganisms avoid grazers. Combine use of fertilizer and

1- Ph.D. student of Agro ecology, Faculty of Agriculture, Shahrood University of Technology

2- Associate Professor, Faculty of Agriculture, Shahrood University of Technology

3- Professor, Faculty of Agriculture, Ferdowsi University of Mashhad

4- Associate Professor, Faculty of Agriculture, Shahrood University of Technology

5- Assistant professor, Faculty of Agriculture, Ferdowsi University of Mashhad

6- Assistant professor, Research Institute of Food Science and Technology

(*- Corresponding Author Email: hamidasghari@gmail.com)

biochar were more affected on plants growth than biochar or fertilizer alone. The interaction between biochar, chemical fertilizer and water requirements significantly affected the seed and straw yield. The significant increase of grain yield, straw yield observed in I₂B₂F₂ (70% water requirement+10 ton ha⁻¹ biochar+ with chemical fertilizer) and I₂B₃F₂ (70% water requirement+20 t.ha⁻¹ biochar+ with chemical fertilizer) treatments. Biochar significantly increased water use efficiency which shows that under water deficiency, biochar can increase the uptake of water and nutrients. As a result, plants tolerance against water deficiency increase and more yields will be produced for a specific value of water. This means the water use efficiency can increase and the use of water will decrease.

Conclusions: This study confirmed that biochar application can help in increasing of black seed production through the improving some physical and chemical properties of the soil such as soil pH, soil nutrient availability, soil nutrient holding capacity, and soil microorganism conditions. Although the application of 20 ton ha⁻¹ biochar improved soil properties compared with 10 ton ha⁻¹, the difference was not significant. Application of biochar with chemical fertilizers had better effects on seed and straw yield, compared with solely application of biochar and chemical fertilizers. It may belong to the biochar ability to decrease nitrate and other elements leaching due to its high porosity and high water retention capacity which increased water use efficiency in the plant. This is important in particular, in arid and semi-arid areas, where reduces the amount of water consumed and increases water yields for plants that are under water stress. The seed production of black seed was not affected by reducing water requirements up to 70 % of its total water requirements when biochar was applied. This means that, by using the biochar in soil, only 70% water irrigation required. These results may use for water saving in agriculture in arid and semi-arid conditions.

Keywords: Chemical fertilizer, Seed yield, Soil microbial biomass carbon, Soil organic matter



بررسی خصوصیات فیزیولوژیک مؤثر بر بهبود عملکرد ارقام کلزا

عباس فروغی آینه ده^{۱*}، عباس بیابانی^۲، علی راحمی کاریزکی^۳، قربانعلی رسام^۴

تاریخ دریافت: ۱۳۹۶/۰۱/۲۵

تاریخ پذیرش: ۱۳۹۷/۰۶/۲۷

چکیده

به منظور مطالعه تغییرات خصوصیات فیزیولوژیک ارقام و لاین‌های کلزا و اثرات این تغییرات بر بهبود پتانسیل عملکرد، آزمایشی طی سال‌های زراعی ۱۳۹۳-۹۴ و ۱۳۹۴-۹۵ در مجتمع آموزش عالی شیرازون، خراسان شمالی انجام شد. در این آزمایش ۲۰ رقم و لاین کلزا در قالب طرح بلوك‌های کامل تصادفی با چهار تکرار آزمایش شدند. به منظور بررسی شاخص‌های رشد، ارقام بر اساس تجزیه کلاستر به سه گروه با عملکرد بالا (Bilbao)، متوسط (کرج (۳) و پایین (ساری گل) تقسیم شدند و از هر گروه یک نماینده انتخاب شد. ارقام از لحاظ خصوصیات فنولوژیک متنوع بودند به‌طوری که ارقامی نظری ساری گل، طایله، شیرالی، ظفر و رفام زودتر از سایر ارقام به مرحله رسیدگی فیزیولوژیک رسیدند. همبستگی مثبت و معنی‌دار دوام گله‌ی با عملکرد ($r=0.66^{**}$) و تعداد خورجین در بوته ($r=0.88^{***}$) از اهمیت این دوره در تعیین عملکرد دانه دارد. از نظر شاخص سطح برگ، رقم Bilbao نسبت به دو رقم کرج ۳ و ساری گل برتری داشت. همچنین رقم ساری گل زودتر از دو رقم دیگر به حداکثر شاخص سطح برگ رسید. همبستگی قوی بین حداکثر تجمع ماده‌ی خشک و عملکرد دانه وجود داشت ($r=0.81^{**}$). شاخص‌های رشد از جمله CGR و RGR در سال اول به‌طور معنی‌داری از سال دوم بیشتر بودند. مقدار ضریب خاموشی (K) در سال اول از ۰/۶۵ (شیرالی) تا ۰/۷۷ (ظفر و ساری گل) و در سال دوم از ۰/۰۳ (کرج (۳) تا ۰/۰۸) متغیر بود. متوسط کارایی مصرف نور به‌ترتیب در دو سال آزمایش ۳/۸۰ و ۳/۶۳ گرم بر مکاره‌ی متر مربع برآورد گردید. به‌طور کلی عملکرد دانه در سال اول بیشتر از سال دوم انجام آزمایش بود. میانگین عملکرد ارقام در سال اول ۴۵۳/۸۰ گرم در متر مربع و در سال دوم ۴۰۱/۸۴ گرم در متر مربع بود. بیشترین عملکرد در سال نخست انجام آزمایش متعلق به ارقام Traviata و GKH-305، SW102، Kodiak، Bilbao و GKH-2005 با میانگین عملکرد ۴۹۵/۵۵ گرم در متر مربع و کمترین عملکرد متعلق به ارقام زرفام، ساری گل، طایله، شیرالی و Modena با میانگین عملکرد ۳۷۰/۴۸ گرم در متر مربع بود. بیشترین عملکرد در سال دوم انجام آزمایش متعلق به ارقام L72، SLM046، GKH-305، Bilbao و Traviata با میانگین عملکرد ۴۵۰/۳۱ گرم در متر مربع و کمترین میزان عملکرد متعلق به ارقام طایله، Opera، کرج (۳)، Okapi، Modena و کرج ۳ با میانگین عملکرد ۳۴۹/۶۶ گرم در متر مربع بود. به‌طور کلی ارقامی که شاخص سطح برگ بالاتر داشتند و نیز زمان رسیدن به شاخص سطح برگ حداکثر، هم‌زمان با تشعشع دریافتی بیشتر بود و همچنین از تشعشع دریافتی با کارایی بالاتر بهره‌مند شدند، عملکرد بالاتر داشتند.

واژه‌های کلیدی: خصوصیات فنولوژی، شاخص سطح برگ، ضریب خاموشی، کارایی مصرف نور

کاهش واردات روغن نباتی نیز سهم فراوانی برای آن در نظر گرفته شده است. این محصول در بین دانه‌های روغنی جهان بیشترین رشد را در دهه‌های اخیر داشته و امروزه مقام سوم را پس از سویا و نخل روغنی در فراورده‌های روغن نباتی احراز کرده است (Berry, 2006). کلزا گیاهی است روغنی و یک‌ساله از تیره شبوبوئیان که به صورت بوته‌ای استوار با انشعابات محدود و ارتفاع متوسط تا بلند رشد می‌کند. طول دوره رشد در ارقام زودرس و کشت بهاره ۹۰ تا ۱۵۰ روز و در کشت پاییزه از ۲۰۰ تا ۳۲۰ روز می‌رسد. گیاه کلزا در سال‌های اخیر به دلیل ویژگی‌های زراعی مناسب (جایگاه ویژه این گیاه در تنابوب با گندم)، درصد روغن بالا و کیفیت مطلوب آن مورد توجه قرار گرفته و امید می‌رود که با توسعه کشت آن در کنار سایر محصولات روغنی تا حدودی از وابستگی کشور به روغن وارداتی کاسته شود (Rodri, 2003).

مقدمه

کلزا (Brassica napus L.) از دانه‌های ارزشمند روغنی است که در سال‌های اخیر توجه بسیاری را به خود جلب کرده است و در طرح

- دانشجوی سابق فیزیولوژی گیاهان زراعی، دانشگاه گنبد کاووس، ایران
- دانشیار فیزیولوژی گیاهان زراعی، گروه تولیدات گیاهی، دانشکده کشاورزی، دانشگاه گنبد کاووس، ایران
- استادیار فیزیولوژی گیاهان زراعی، گروه تولیدات گیاهی، دانشکده کشاورزی، دانشگاه گنبد کاووس، ایران
- دانشیار اکولوژی گیاهان زراعی، گروه تولیدات گیاهی، مجتمع آموزش عالی شیرازون، ایران
- (*) - نویسنده مسئول: Email: abbasfrooghi@yahoo.com
- DOI: 10.22067/gsc.v17i1.63733

تابش نور خورشید در طول فصل رویشی است. در این ارتباط جامعه گیاهی نیاز به سطح برگ کافی دارد که با پوشش یکنواخت و کامل حداقل جزو نوری را فراهم آورد (Ouzuni Douji *et al.*, 2008). از بین خصوصیات وابسته به رشد، میزان ماده خشک به دلیل اهمیت اقتصادی بیشتر به عنوان یک عامل تعیین‌کننده محسوب می‌شود. مطالعه رشد و تجمع ماده خشک در گیاهان زراعی مختلف نشان داده است که تولید ماده خشک به شاخص سطح برگ و مقدار تشتعش دریافت شده در طول دوره رشد (Yano *et al.*, 2007) و کارایی Sinclair and گیاه در تبدیل تشتعش دریافت شده وابسته است. (Muchow, 1999). شاخص سطح برگ یکی از مهم‌ترین پارامترهایی است که برای مطالعه رشد و هماندسانزی و بسیاری از فرآیندهای فیزیولوژیک و اکولوژیک از جمله فتوسنتر، تعرق و بیلان انرژی محیطی مورد استفاده قرار می‌گیرد (Ahmadi, 2013). شاخص سطح برگ بیان کننده سطح برگ به سطح زمین اشغال شده توسط محصول است. معمولاً شاخص سطح برگ مساوی سه الی پنج جهت تولید حداقل ماده خشک برای اغلب محصولات کاشته شده لازم است. در کلزا اگر حداقل شاخص سطح برگ کمتر از چهار باشد، می‌توان گفت رشد و عملکرد گیاه در اثر کمبود سطح برگ محدود می‌شود زیرا شاخص سطح برگ حدود چهار برای دریافت حدود ۹۰ درصد تشتعش خورشیدی کفایت می‌کند (Azizi *et al.*, 2000).

کمیت‌هایی که در تجزیه و تحلیل رشد اجتماعات گیاهی مورد استفاده قرار می‌گیرند شامل شاخص سطح برگ (LAI)، سرعت رشد نسبی (RGR) و سرعت رشد محصول (CGR) می‌باشد. سرعت رشد محصول، افزایش وزن یک اجتماع گیاهی در واحد سطح در واحد زمان می‌باشد و معمولاً بر حسب گرم در متر مربع در روز بیان می‌گردد. افزایش جذب تابش خورشیدی توسط گیاه، تجمع ماده خشک را به دنبال خواهد داشت (Vanosterom *et al.*, 2007). تجزیه و تحلیل شاخص‌های رشد، منحصرأ به اندازه‌گیری سطح برگ و وزن خشک گیاه نیاز دارد و هدف از محاسبه شاخص‌های رشد توضیح و توصیف عکس‌العمل گیاه به شرایط محیطی است (Etesami, 2007). شرایط اقلیمی به خصوص میزان تشتعش دریافتی و ابری بودن بیشتر هوا (تغییر کسر تشتعش پراکنده به مستقیم) تولید ماده خشک را تحت تأثیر قرار می‌دهد چنان‌که هی و پورتر (Hey and Porter, 2006) بیان کردند که کارایی مصرف نور علاوه بر گونه گیاهی، به‌طور عمده به تغییر حداقل فتوسنتر برگ، کسر تابش مستقیم یا پراکنده و وضعیت نیتروژن تاج پوشش بستگی دارد. ایشان هم‌چنین بیان کردند که تاج پوشش از تابش پراکنده بیش از تابش مستقیم بهره می‌برد؛ اما کل تابش در روز ابری به اندازه روز آفتابی نیست. بنابراین در شرایط مشابه همیشه ماده خشک تولید شده در روز آفتابی صاف نسبت به روز ابری بیشتر است. این تحقیق با هدف بررسی شاخص‌های رشد و نیز ضریب خاموشی و کارایی مصرف نور

به ترتیب ۱۵۶۷ و ۱۵۹۲ بوده که در سال ۲۰۱۴ به ۲۰۴۳ و ۲۱۲۵ کیلوگرم در هکتار افزایش یافته است (FAO, 2014). متخصصان فیزیولوژی گیاهان زراعی می‌بایست شاخص‌های فیزیولوژیک مهمی را که در گذشته باعث افزایش عملکرد شده‌اند و در آینده نیز می‌توانند به پیش‌رفت بهترادی در افزایش کمک کنند، شناسایی نمایند (Attarbashi, 2002).

واکنش فنولوژیک گیاهان زراعی به تغییرات دمای هوا در گونه‌های گیاهی مختلف از جمله کلزا مورد بررسی قرار گرفته است (Miralles *et al.*, 2011). از عوامل مؤثر بر نمو کلزای تیپ بهاره در دوره بین سبز شدن تا شروع گل‌دهی، دما و فتوپریود است (Habekotte, 2007). در حالی که نمو کلزا از کاشت تا سبز شدن و از شروع گل‌دهی تا رسیدگی فیزیولوژیک تنها تحت تأثیر دما قرار می‌گیرد (Azizi *et al.*, 2000). در گیاه کلزا حساس‌ترین زمان از نظر مواجه شدن با شرایط نامساعد محیطی و تأثیر آن بر عملکرد، مرحله گلدهی و اوایل خورجین‌بندی شناخته شده است؛ یعنی زمانی که تعداد دانه و خورجین در حال تعیین شدن است. بنابراین اثرات زیان‌آور این عوامل نه تنها به شدت، بلکه به زمان و قوع آن‌ها در طول فصل رویش بستگی دارد (Faraji, 2005).

زمان و قوع مراحل نموی برای تطبیق ژنتیپ و محیط اهمیت حیاتی دارد و این بدان معنی است که چنان‌چه وقوع عوامل نامساعد مثل یخ‌بندان و خشکی در فاصله بین گل‌دهی و رسیدگی به حداقل بررس و عوامل مساعد نظیر شرایط مطلوب تشتعش، دما و رطوبت برای رشد خورجین و دانه در حداقل باشد؛ این تطبیق موقوفیت‌آمیز است (Mendham *et al.*, 2008). وجود واکنش به بهاره‌سازی یا طول روز در یک ژنتیپ بدین معناست که اگر نیازهای مطلوب به‌طور کامل تأمین نشود، آغازش گل‌آذین و گل‌دهی به تأخیر خواهد افتاد و تعداد بیشتری آغازی برگ علاوه بر آن حداقل تعداد، تولید می‌شود. این امر بدان معناست که گل‌دهی تا پایان یافتن زمستان یا طولانی‌تر شدن روزهای یا هر دو به تأخیر می‌افتد. تأخیر در گل‌دهی ممکن است هم‌چنین باعث بزرگ‌تر شدن ساختارهای رویشی، تولید تعداد بیشتری خورجین و پتانسیل عملکرد بالاتر شود (Azizi *et al.*, 2000).

تجزیه و تحلیل شاخص‌های رشد به منظور تفسیر چگونگی عکس‌العمل گونه‌های گیاهی به شرایط محیطی حائز اهمیت زیادی است (Lebaschy *et al.*, 2004). در این راستا شاخص سطح برگ یکی از معیارهای اساسی و مهم در تعیین قدرت فتوسنتری گیاه محسوب می‌گردد. نتایج برخی تحقیقات در این ارتباط نشان می‌دهد که شاخص سطح برگ معیار مناسبی برای برآورد میزان تغییرات فتوسنتری و توان رشدی همیستگی بالایی با میزان سطح برگ دارند. میزان ماده خشک کل نتیجه کارایی جامعه گیاهی از نظر استفاده از

(قبل از به ساقه رفتن ارقام) و به فاصله ۸ الی ۱۰ روز نمونه برداری های بعدی صورت گرفت. از هر کرت پنج بوته با رعایت حاشیه از طرفین (دو ردیف کناری و ۰/۵ متر از بالا و پایین به عنوان حاشیه در نظر گرفته شد) کفبر گردیدند و پس از انتقال به آزمایشگاه، به برگ و ساقه تفکیک و پس از گردهافشانی و تشکیل خورجین، خورجین ها هم جدا گردیدند. سپس نمونه ها در دمای ۷۰ درجه سانتی گراد تا رسیدن به وزن ثابت در آون قرار گرفتند. سطح برگ با دستگاه سطح برگ سنج لیزری CID ساخت آمریکا اندازه گیری شد. نسبت دریافت تشعشع با اندازه گیری تشعشع در بالا و پایین جامعه گیاهی با استفاده از دستگاه AccuPAR مدل LP-80 صورت گرفت، به این صورت که در ظهر خورشیدی (بین ساعت ۱۲ تا ۱۴) در بخشی از کرت که پوشش مناسب داشت، استقرار یافته و سپس با کمک پروب دستگاه یک بار تشعشع را در بالای جامعه گیاهی و دو بار در پایین جامعه گیاهی به نحوی که ابتدا و انتهای پروب دستگاه در فاصله بین ردیف ها قرار داشت، صورت گرفت. اندازه گیری تشعشع از مرحله ساقه دهی تا بسته شدن جامعه گیاهی به فاصله زمانی ۸ الی ۱۰ روز و دقیقاً قبل از نمونه برداری ماده خشک صورت گرفت.

تجزیه و تحلیل صفات مورد ارزیابی در این تحقیق با استفاده از نرم افزار SAS و رسم شکل ها و ویرایش آن ها با استفاده از نرم افزار Excel صورت گرفت. قبل از انجام هر تجزیه و تحلیل، به دلیل این که طرح تجزیه مرکب بود، آزمون یکنواختی واریانس ها (آزمون بارتلت) انجام شد که واریانس خطای بین دو سال یکسان بود. همچنین تجزیه کلاستر با روش متوسط فاصله (Average) انجام شد.

به منظور توصیف روند تغییرات شاخص سطح برگ نسبت به روزهای پس از کاشت از معادله لجستیک زیر استفاده شد که بهترین برازش را نسبت به نقاط اندازه گیری شده نشان داد (Soltani, 2005).

(۱)

$$LAI = ((ax \exp((-a) \times (dap-b)) \times c) / ((1 + \exp((-a) \times (dap-b)))^2)$$

در این معادله LAI شاخص سطح برگ، dap روز پس از کاشت و a، b و c ضرایب معادله می باشند.

برای توصیف وزن خشک در طول زمان از یک معادله لجستیک استفاده شد که زمان تا رسیدن به ۵۰ درصد حداقل ماده خشک و میزان حداقل ماده خشک تولیدی را نیز نشان می دهد (Soltani, 2005).

$$Y = DM_{\max} / (1 + \exp(-a \times (dap-b))) \quad (2)$$

در معادله لجستیک a ضریب معادله، b مدت زمانی که در آن تجمع ماده خشک به ۵۰ درصد حداقل خود می رسد و DM_{\max} حداقل ماده خشک تولید شده (گرم در متر مربع)، dap روز پس از کاشت و Y تجمع ماده خشک می باشد. حاصل مشتق معادله بالا CGR می باشد. از تقسیم CGR بر TDM سرعت رشد نسبی (RGR) محاسبه گردید.

در ارقام مختلف کلزا صورت گرفت.

مواد و روش ها

این تحقیق طی دو سال زراعی ۹۴-۹۳ و ۹۵-۹۴ در مزرعه تحقیقاتی مجتمع آموزش عالی شیراز، خراسان شمالی واقع در عرض جغرافیایی ۳۷ درجه ۴۰ دقیقه، طول جغرافیایی ۵۷ درجه و ۹۳ دقیقه و ارتفاع ۱۰۹۷ متر از سطح دریا اجرا شد. متوسط بارندگی سالانه منطقه ۲۵۱/۸ میلی متر است.

آزمایش در قالب طرح بلوك های کامل تصادفی با چهار تکرار در طی سال های زراعی ۹۴-۹۳ و ۹۵-۹۴ اجرا شد. تیمارهای آزمایشی شامل ۲۰ رقم و لاین کلزا بود (جدول ۱). زمین مورد آزمایش در هر سال زراعی با گاو آهن برگردانده شد و جهت خرد کردن کلوخه ها دوبار دیسک سبک عمود بر هم زده شد. سپس در دو جهت گونیا گردید و پس از اجرای نقشه طرح، کرت ها و مزها مشخص شدند. بذور از بخش دانه های روغنی مرکز تحقیقات بذر و نهال کرج تهیه گردید. پس از تصادفی کردن تیمارها برای هر سال به طور جداگانه، کشت با دست انجام شد. تاریخ کاشت منطقه بر اساس توصیه مرکز تحقیقاتی از نیمه دوم شهریور تا نیمه اول مهر می باشد. کاشت در هر دو سال زراعی در تاریخ ۳۰ شهریور صورت گرفت. هر کرت آزمایش شامل شش خط (سه پشته ۵۰ سانتی متری که کشت در دو طرف پشته ها انجام شد) به طول پنج متر و فاصله ۲۵ سانتی متر بود. فاصله بین کرت ها از یکدیگر یک متر و فاصله بلوك ها از هم دو متر در نظر گرفته شد. تمامی ارقام با تراکم بالا در تاریخ ذکر شده کشت شدند و پس از حصول اطمینان از استقرار بوت ها (مرحله چهار برگ حقیقی)، تراکم ۸۰ بوته در متربربع (فاصله روی ردیف پنج سانتی متر) با عمل تنک کردن حاصل گردید. کودهای مورد مصرف بر اساس آزمون خاک به میزان ۱۰۰ کیلوگرم در هکتار کود اوره در زمان کاشت و ۲۰۰ کیلوگرم در هکتار کود اوره به صورت سرک، ۵۰ کیلوگرم کود سوپر فسفات تربیل در هکتار و ۵۰ کیلوگرم سولفات پتاسیم در هکتار در زمان کاشت بود. آبیاری اول بلا فاصله بعد از کاشت و مراحل بعدی آبیاری در طول فصل رشد به گونه ای صورت پذیرفت که هیچ گونه علائم تنش خشکی در گیاهان مشاهده نگردید. همچنین، در طول فصل تمامی علف های هرز موجود در کرت ها و جین گردیدند. در مرحله گل دهی با مشاهده آفاتی همچون شته و سوسک گرده خوار عملیات سمپاشی صورت گرفت.

اندازه گیری هایی که در طول دو فصل زراعی ۹۴-۹۳ و ۹۵-۹۶ انجام شد عبارت بودند از ثبت مراحل فنلولوژیک از زمان کاشت هر چهار روز یک بار در پاییز تا ثابت شدن رشد و در بهار از شروع رشد مجدد که به روش سیلوستر برادلی (Sylvester and Bradley, 1984) صورت گرفت. اولین نمونه برداری تخریبی در نیمه دوم اسفند ماه انجام شد

کارایی مصرف نور (RUE) با استفاده از رگرسیون بیوماس تجمعی (گرم بر متر مربع) در مقابل تشعشع دریافتی تجمعی (مگاژول بر متر مربع) به صورت شبی خط حاصله تعیین گردید (Soltani and Sinclair, 2012).

برای تعیین ضریب خاموشی از معادله زیر استفاده شد (Felent *et al.*, 1996)

$$Y = 1 - \exp(-K_{\text{PAR}} \times LAI) \quad (3)$$

در این معادله Y نسبت پوشش گیاهی، K_{PAR} ضریب خاموشی بر پایه تشعشع فعال فتوستتزی و شاخص سطح برگ می‌باشد.

جدول ۱- نام و مبدأ ارقام کلزای مورد مطالعه

Table 1- Name and origin of the studied rapeseed cultivars

| مبدأ Origin | تیپ رشد Growth habit | رقم Cultivar | ردیف Row | مبدأ Origin | تیپ رشد Growth habit | رقم Cultivar | ردیف Row |
|----------------------|-------------------------|---------------------|-------------|----------------------|-------------------------|-----------------|-------------|
| آلمان (Germany) | (Winter) | Zemstane | 11 | ایران (Iran) | (Winter) | Talayee | 1 |
| دانمارک (Denmark) | (Winter) | Modena | 12 | Australia | (Spring) | Shirali | 2 |
| فرانسه (France) | (Winter) | Bilbao | 13 | ایران (Iran) | (Spring) | Sarigol | 3 |
| ایران | (Winter) | کرج ۳ (Karaje 3) | 14 | ایران (Iran) | حدواسط (Facultative) | Zarfam | 4 |
| ایران | (Winter) | *L72 | 15 | آلمان (Germany) | (Winter) | Slm046 | 5 |
| ایران | (Winter) | *SW102 | 16 | مجارستان (Hungry) | (Winter) | GKH-305 | 6 |
| ایران | حدواسط (Facultative) | Zafar | 17 | فرانسه (France) | (Winter) | okapi | 7 |
| ایران | (Winter) | کرج ۱ (Karaje 1) | 18 | مجارستان (Hungry) | (Winter) | GKH-1103 | 8 |
| آلمان (Germany) | (Winter) | Traviata | 19 | سوئد (Sweden) | (Winter) | Opera | 9 |
| آلمان (Germany) | (Winter) | Kodiak | 20 | مجارستان (Hungry) | (Winter) | GKH-2005 | 10 |

* لاین SW102 که در پایان سال ۱۳۹۵ به عنوان رقم نیما در بخش دانه‌های روغنی مؤسسه اصلاح نهال و بذر کرج معرفی گردید. L72 و کرج ۱ لاین می‌باشد.

نتایج و بحث

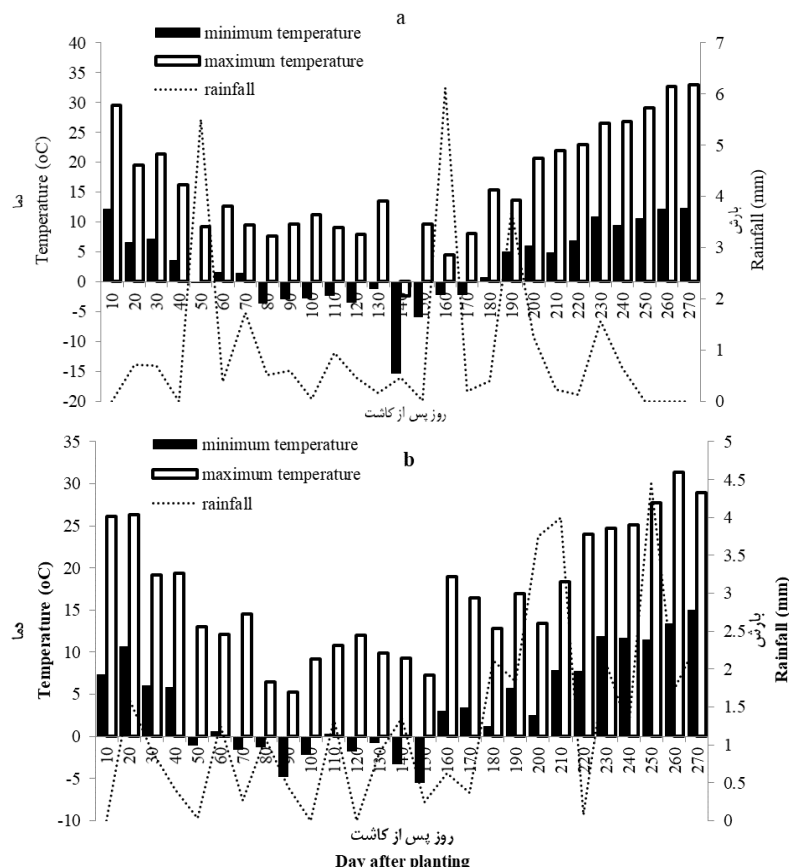
شرایط آب و هوایی

میانگین درجه حرارت طی ۱۰ روز اول کاشت سال دوم (۱۶/۷ درجه سانتی گراد) نسبت به زمان مشابه سال اول (۲۰/۸ درجه سانتی گراد) به میزان ۴/۱ درجه سانتی گراد کاهش یافت. میانگین دمای پاییز و زمستان سال ۹۳ (۶/۳۷ درجه سانتی گراد) در مقایسه با پاییز و زمستان سال ۹۴ (۷/۳۷ درجه سانتی گراد) یک درجه سانتی گراد کمتر بود. بین میانگین دمای بهار سال ۹۴ (۱۶/۸۶ درجه سانتی گراد) تفاوت قابل ملاحظه‌ای مشاهده نشد. کمترین میانگین دمای ماهانه در دی ماه سال ۹۳ (۳/۲۵ درجه سانتی گراد) روی داد که با ماههای آذر و بهمن تفاوت قابل ملاحظه‌ای مشاهده نشد. اما در سال ۹۴ کمترین میانگین دمای ماهانه در ماه بهمن (۲/۸۲ درجه سانتی گراد) اتفاق افتاد. آنچه که دارای اهمیت بارزی است اختلاف میانگین دمای ماه اسفند بین دو

سال اجرای آزمایش نشان داده شده است. در مقایسه بین دو سال از لحظه‌ای حدوث شدن زمان بارندگی و همچنین مقدار بارش تفاوت قابل ملاحظه‌ای مشاهده می‌شود. سال زراعی ۹۳-۹۴ (۲۹۳/۷ میلی‌متر) نسبت به سال زراعی ۹۴-۹۵ (۲۱۷/۱۴ میلی‌متر) مرتبط‌تر می‌باشد. مهم‌ترین نکته این بود که توزیع بارندگی بین دو سال متفاوت می‌باشد. بیشترین میزان بارندگی (۶۷ میلی‌متر) در اسفند سال ۹۳-۹۴ ثبت شد. در سال ۹۴-۹۵ بیشترین میزان بارش در ماه فروردین با ۹۵/۹ میلی‌متر اتفاق افتاد. در مجموع پاییز و زمستان سال ۹۳-۹۴ (۲۱۲/۵ میلی‌متر) نسبت به سال ۹۴ (۱۱/۵۴ میلی‌متر) بسیار پرباران‌تر بود. اما بهار سال ۱۳۹۵ (۲۰۵/۶ میلی‌متر) نسبت به سال ۹۴

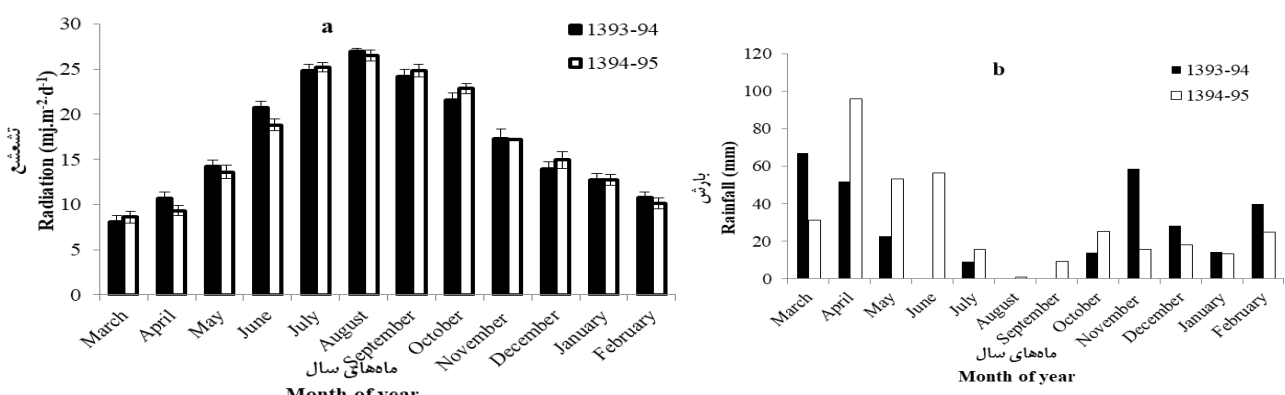
مقایسه تشعشع دریافتی (مگاژول بر متر مربع در روز) بهار ۹۴ و بهار ۹۵ نشان می‌دهد که مقدار تشعشع دریافتی فروردین و اردیبهشت و خرداد ۹۴ به طور معنی‌داری از سال ۹۵ بیشتر می‌باشد. همچنین در هر دو سال آزمایش از فروردین به خرداد میزان تشعشع دریافتی به طور معنی‌داری افزایش یافت (شکل ۲).

سال می‌باشد (شروع رشد مجدد و ظهور گل آذین برخی از ارقام در این ماه روی داد، میانگین آن در سال ۹۳ ۳/۷ (درجه سانتی‌گراد) نسبت به سال ۹۴ ۹/۲۹ (درجه سانتی‌گراد) به طور قابل توجهی کمتر بود به طوری که در اسفند سال ۹۳ میانگین دمای حداقل، ۱/۴- درجه سانتی‌گراد و اسفند سال ۹۴، ۲/۵۵ درجه سانتی‌گراد بود.



شکل ۱ - میانگین دمای حداقل، حداثت و نیز بارندگی روزانه شهرستان شیروان مربوط به دوره رشد گیاه سال زراعی ۱۳۹۳-۹۴ و b - سال زراعی ۱۳۹۴-۹۵

Figure 1- The mean of minimum, maximum temperature and daily rainfall of Shirvan in crop growth period
a) 2014-2015 and b) 2015-2016



شکل ۲ - تشعشع (مگاژول بر متر مربع در روز) (a) و بارش ماهانه (b) منطقه شیروان خراسان شمالی در دو سال زراعی ۹۳-۹۴ و ۹۴-۹۵
Figure 2- Monthly radiation ($MJ.m^{-2}.d^{-1}$) (a) and rainfall (mm) (b) in Shirvan region in 2014-2015 and 2015-2016

ویژگی‌های فنولوژیک

آزمایش بود. به علاوه، مقایسه میانگین در سال اول پژوهش نشان داد که ارقام ساری گل، طایله، ظفر، شیرالی و زرفام زودتر از سایر ارقام وارد مرحله شروع رشد مجدد گردیدند (۱۶۳/۳۵ روز پس از کاشت)، در حالی که در همین سال ارقام Bilbao، Opera، Okapi، Kodiak، Traviata و Modena دیرتر از سایر ارقام به مرحله ساقه‌دهی وارد شدند (۱۹۰/۹۵ روز پس از کاشت) (جدول ۳ و ۴). بقیه ارقام حد واسط بین این دو وارد مرحله رشد مجدد گردیدند. در سال دوم آزمایش، مقایسه میانگین نشان داد که رقم Bilbao دیرتر از سایر ارقام وارد مرحله به ساقه رفتن گردید (۱۸۴ روز پس از کاشت). ارقام ساری گل، شیرالی، ظفر و سپس ارقام طایله و زرفام زودتر از سایر ارقام وارد مرحله رشد مجدد گردیدند (به ترتیب ۱۵۸/۵ و ۱۶۶/۸۷ روز پس از کاشت). عزیزی و آروین (Azizi and Arvin, 2007) اعلام کردند که سرعت نمو از کاشت تا گل‌دهی همبستگی نزدیکی با میانگین طول روز در طی این مرحله دارد. آن‌ها همچنین بیان کردند که دما نیز در طی این زمان در حال تغییر است و یک واکنش اساسی برداشت می‌باشد؛ ولی واکنش به عوامل دیگر یعنی بهاره‌سازی و فتوپریود، دیده نمی‌شود. به طور کلی میانگین صفت شروع گل‌دهی در سال اول (۱۹۱/۳۸) روز پس از کاشت) زودتر از سال دوم (۱۹۵/۲۵) حادث شد. میانگین دمای ماه فروردین سال دوم آزمایش، ۱/۳ درجه سانتی‌گراد کمتر از سال اول آزمایش بود. بنابراین زمان حادث شدن فرآیند گل‌دهی در سال دوم طولانی‌تر گردید. در سال اول پژوهش ارقام شیرالی، ظفر و ساری گل اولین گروه از ارقامی بودند که فرآیند شروع گل‌دهی در آن‌ها اتفاق افتاد (۱۷۷/۲۵ روز پس از کاشت). بعد از آن ارقام طایله و زرفام شروع گل‌دهی در آن‌ها ثبت گردید (۱۸۰/۸۷ روز پس از کاشت). ارقام Bilbao، Okapi، Traviata و Kodiak دیرتر از همه فرآیند فنولوژیک شروع گل‌دهی در آن‌ها اتفاق افتاد (۱۹۹/۶ روز پس از کاشت).

Table 2- Combined analysis of important phonological stages of different canola cultivars in 2014-2015 and 2015-2016.
Em: day to emergence, **SHO:** day to elongation, **SFL:** day to flowering, **EFL:** day to end of flowering,
SF: day to grain filling, **PM:** day to physiological maturity

| | | میانگین مربعات (MS) | | | | | |
|-----------------|-----|---------------------|-----------|----------|--------------------|----------|-----------|
| (Year) | 1 | 68.90** | 1775.35** | 602.92** | 9.95 ^{ns} | 142.99** | 4453.93** |
| (Error) | 6 | 1.40 | 3.50 | 6.85 | 3.71 | 5.05 | 4.27 |
| (Cultivar) | 19 | 15.45** | 737.14** | 625.74** | 558.04** | 617.75** | 453.93** |
| (Cultivar×Year) | 19 | 0.41 ^{ns} | 29.45** | 41.67** | 76.18** | 71.06** | 51.04** |
| (Error) | 114 | 0.45 | 3.32 | 3.01 | 3.64 | 2.61 | 2.47 |
| CV (%) | - | 11.3 | 1.0 | 0.9 | 0.9 | 0.7 | 0.6 |
| (ضریب تغییرات) | | | | | | | |

نتایج تجزیه واریانس صفات فنولوژی بر اساس روز (تقویمی) تا رسیدن به مراحل مورد نظر نشان داد که اثر متقابل سال در ژنتیپ بر تمام مراحل فنولوژیکی به جز روز تا سبز شدن، در سطح یک درصد معنی‌دار بود (جدول ۲). میانگین صفت روز تا سبز شدن در سال اول کوتاه‌تر (۵/۲۷ روز پس از کاشت) از سال دوم (۶/۵۸ روز پس از کاشت) بود. مقایسه میانگین نشان می‌دهد که در سال اول پژوهش ارقام Modena، Licord و ساری گل دیرتر از سایر ارقام سبز شدن (۷/۸۷ روز پس از کاشت). SLM046، ظفر و Kodiak در مرحله بعد قرار گرفتند (۵/۲۵ روز پس از کاشت) و بقیه ارقام زودتر سبز شدند (۴/۴۸ روز پس از کاشت). همچنین مقایسه میانگین صفت مذکور بین ارقام در سال دوم آزمایش نشان داد که ارقام Licord، Modena، SLM046، Bilbao، SLM046، ساری گل و GKH-1103 در رتبه بعدی قرار شدند (۸/۸ روز پس از کاشت). رقم GKH-1103 در رتبه بعدی قرار گرفت (۶/۵ روز پس از کاشت) و بقیه ارقام تفاوت معنی‌داری از نظر سبز شدن با یکدیگر نداشتند. احتمالاً کاهش میانگین درجه حرارت طی ۱۰ روز اول کاشت سال دوم (۱۶/۷ درجه سانتی‌گراد) نسبت به سال اول (۲۰/۸ درجه سانتی‌گراد) آزمایش علت سبز شدن دیرتر ارقام در سال دوم نسبت به سال اول آزمایش باشد (جدول ۳ و ۴). کارت و همکاران (Carter et al., 2004)، سلطانی و همکاران (Soltani et al., 2006) و زیا و خان (Zia and Khan, 2004) تأکید کردند که دما می‌تواند سبز شدن گیاه‌چه ژنتیپ‌های مختلف یک گیاه را تحت تأثیر قرار دهد.

میانگین صفت روز تا به ساقه رفتن در سال اول (۱۸۱/۴۵ روز پس از کاشت) به طور معنی‌داری از سال دوم (۱۷۴/۴۳ روز پس از کاشت) بیشتر بود. همچنین علت شروع رشد مجدد زودتر ارقام در سال دوم نسبت به سال اول احتمالاً به دلیل افزایش میانگین ۵/۵ درجه‌ای دمای اوخر زمستان (ماه اسفند) سال دوم نسبت به سال اول

جدول ۲- تجزیه واریانس مرکب مراحل مهم فنولوژیکی ارقام مختلف کلزا در دو سال زراعی ۱۳۹۴-۹۵ و ۱۳۹۳-۹۴ EM: روز تا سبز شدن، SHO:

روز تا شروع ساقه‌دهی، SFL: روز تا شروع گل‌دهی، EFL: روز تا پایان گل‌دهی، PM: روز تا رسیدگی فیزیولوژیک

روز تا شروع گل‌دهی، EFL: روز تا شروع گل‌دهی، EFL: روز تا پایان گل‌دهی، PM: روز تا رسیدگی فیزیولوژیک

جدول ۳- مقایسه میانگین مراحل مهم فنولوژیکی ارقام مختلف کلزا در سال زراعی ۱۳۹۳-۹۴ EM روز تا سبز شدن، SHO روز تا شروع ساقدهی، SFL روز تا شروع گلدهی، SF روز تا پایان گلدهی، PM روز تا رسیدگی فیزیولوژیک

Table 3- Mean comparison of important phonological stages of different canola cultivars in 2013-2014. EM: day to emergence, SHO: day to elongation, SFL: day to flowering, EFL: day to end of flowering, SF: day to seed filling, PM: day to physiological maturity

| (Cultivars) | ارقام | EM | SHO | SFL | EFL | SF | PM |
|---------------------|-------|--------------------|-----------------------|-----------------------|-----------------------|----------------------|-----------------------|
| Licord | | 8.75 ^a | 189.00 ^{bcd} | 197.25 ^c | 227.50 ^{de} | 225.75 ^b | 256.25 ^b |
| Bilbao | | 8.50 ^a | 193.00 ^a | 200.75 ^{ab} | 236.50 ^a | 230.75 ^a | 260.75 ^a |
| GKH-305 | | 4.25 ^d | 184.00 ^{ef} | 190.25 ^d | 219.50 ⁱ | 211.25 ^h | 246.50 ^{fg} |
| Slm046 | | 5.75 ^c | 186.50 ^{ed} | 196.75 ^c | 227.50 ^{de} | 219.50 ^{ef} | 251.50 ^{de} |
| (Sarigol) ساری گل | | 7.00 ^b | 160.00 ^h | 178.00 ^{fg} | 203.75 ^{kl} | 202.00 ^j | 238.25 ⁱ |
| (Talayee) طایله | | 4.50 ^d | 167.75 ^g | 181.25 ^a | 207.50 ^j | 207.25 ^{ij} | 244.50 ^{fg} |
| L72 | | 4.50 ^d | 184.50 ^{ef} | 192.00 ^d | 223.50 ^{fgh} | 230.25 ^a | 255.75 ^b |
| Sw102 | | 4.25 ^d | 184.25 ^{ef} | 191.00 ^d | 226.00 ^{ef} | 222.50 ^{cd} | 252.75 ^{cde} |
| (Shirali) شیرالی | | 4.50 ^e | 161.50 ^h | 177.00 ^g | 201.50 ^l | 197.75 ^k | 236.75 ^j |
| (Zafar) ظفر | | 5.00 ^{cd} | 160.00 ^h | 176.75 ^g | 203.75 ^{kl} | 202.25 ^j | 239.00 ^k |
| GKH-1103 | | 4.50 ^d | 183.75 ^{ef} | 191.25 ^d | 222.50 ^{ghi} | 209.25 ^{hi} | 245.50 ^{gh} |
| Opera | | 4.75 ^d | 190.25 ^{abc} | 197.75 ^c | 229.75 ^{cd} | 215.25 ^g | 247.75 ^f |
| (Zarfam) زرفام | | 4.50 ^d | 167.50 ^g | 180.50 ^{ef} | 206.50 ^{jk} | 196.00 ^k | 234.25 ^k |
| (Karaje 3) کرج ۳ | | 4.50 ^d | 182.25 ^f | 190.25 ^d | 221.50 ^{hi} | 214.75 ^g | 252.00 ^{cde} |
| Kodiak | | 5.00 ^{cd} | 190.25 ^{abc} | 198.50 ^{abc} | 231.50 ^{bc} | 220.25 ^{ed} | 253.50 ^{cde} |
| Okapi | | 4.50 ^d | 190.25 ^{abc} | 201.25 ^a | 226.75 ^{de} | 216.25 ^g | 250.75 ^e |
| (Karaje 1) کرج ۱ | | 4.75 ^d | 184.50 ^{ef} | 192.00 ^d | 220.75 ^{hi} | 211.25 ^h | 243.75 ^f |
| Modena | | 7.25 ^b | 191.25 ^{ab} | 199.00 ^{abc} | 225.00 ^{efg} | 222.75 ^{cd} | 251.75 ^{de} |
| GKH-2005 | | 4.50 ^d | 187.75 ^{cd} | 198.00 ^{bc} | 232.25 ^{bc} | 217.25 ^{fg} | 254.00 ^{cb} |
| Traviata | | 4.25 ^d | 190.50 ^{abc} | 198.50 ^{abc} | 233.00 ^b | 223.50 ^{bc} | 257.25 ^b |
| (Mean) میانگین | | 5.27 | 181.45 | 191.38 | 221.32 | 214.45 | 247.12 |
| LSD _{0.05} | | 0.84 | 3.05 | 2.96 | 3.04 | 2.77 | 2.07 |

(روز ۲۴/۵۷) تجربه کرددند. با مشاهده و مقایسه وضعیت آب و هوایی زمان شروع تا پایان گلدهی ارقام می‌توان علت را در موقع بارندگی و روزهای ابری در زمان گلدهی و گردهافشانی جستجو نمود. همبستگی مثبت و معنی دار بین طول دوره گلدهی و عملکرد (*** $r=0.66$) و به خصوص تعداد خورجین در بوته ($r=0.81$) تأکیدی بر اهمیت این دوره بحرانی در تعیین عملکرد ارقام می‌باشد. روز تا رسیدگی فیزیولوژیک بین دو سال متفاوت بود و این مرحله در سال دوم ۱۱/۲۲ روز دیرتر از سال اول به موقع پیوست. در سال اول ارقام زرفام، ساری گل، شیرالی، ظفر زودتر از سایر ارقام به مرحله رسیدگی فیزیولوژیک رسیدند (۰/۶۷-۰/۲۳). روز پس از کاشت. رقم Bilbao به طور معنی داری دیرتر از سایر ارقام به مرحله رسیدگی فیزیولوژیک رسید (۷۵/۲۶-۷۵/۲۳). در سال دوم ارقام ساری گل، شیرالی، ظفر زودتر از سایر ارقام به مرحله رسیدگی فیزیولوژیک دست یافتند (۰/۴۴-۰/۲۴). روز پس از کاشت) و رقم Okapi که

مقایسه میانگین سال دوم آزمایش نشان می‌دهد که ارقام ساری گل، شیرالی و ظفر و پس از آن‌ها زرفام و طایله به مرحله گلدهی رسیدند (به ترتیب ۴۱/۱۷۶ و ۸۷/۱۸۵ روز پس از کاشت) و رقم Bilbao به تنهایی مرحله گلدهی را دیرتر از سایر ارقام تجربه کرد (۳۳/۲۰ روز پس از کاشت). طول دوام گلدهی در واقع تعیین کننده مهم‌ترین جزء عملکرد یعنی تعداد خورجین در بوته می‌باشد. به طور کلی این صفت در سال اول آزمایش ۹۲/۲۹ روز طول کشید که تفاوت معنی داری را با سال دوم آزمایش داشت (۴۳/۲۶ روز). شاید علت این اختلاف وجود روزهای ابری بیشتر در سال دوم و همچنین موقع بارندگی‌های پیاپی در مرحله شروع گلدهی تا مرحله پایان گلدهی باشد. این دوره در ارقام ساری گل، شیرالی، ظفر و زرفام در سال دوم نسبت به سال اول افزایش یافته بود (به ترتیب ۷۵/۳۳-۷۵/۳۳ روز در برابر ۸۱/۲۵ روز؛ در حالی که سایر ارقام دوره گلدهی طولانی‌تری را در سال اول آزمایش (۹۶/۳۰) نسبت به سال دوم

زودتر از سایر ارقام به مرحله رسیدگی فیزیولوژیک رسیدند. همچنین مراحل فنولوژیک تحت تأثیر سال آزمایش قرار گرفت. همبستگی مثبت و معنی دار دوام گل دهی با عملکرد ($r=0.66^{***}$) و تعداد خورجین در بوته ($r=0.88^{***}$) از اهمیت این دوره در تعیین عملکرد دانه دارد؛ به طوری که مهم‌ترین مرحله تشکیل عملکرد (دوام گل دهی) تحت تأثیر شرایط محیطی از جمله دما، تشعشع و بارندگی قرار داشت.

با ارقام Licord و کرج ۳ تفاوت معنی‌داری نداشت، دیرتر از سایر ارقام به مرحله رسیدگی فیزیولوژیک رسید (روز پس از شروع ۲۶۸/۲۵) احتمالاً تأخیر شروع گل دهی در سال دوم (کاهش دمای هوای نیز شرایط کاهش تشعشع، از عوامل تأخیر رسیدگی فیزیولوژیک سال دوم نسبت به سال نخست انجام آزمایش می‌باشد). در مجموع ارقام از لحاظ خصوصیات فنولوژیک متنوع بودند به‌طوری که ارقامی نظیر ساری گل، طلایه، شیرالی، ظفر و زرفام

جدول ۴- مقایسه میانگین مراحل مهم فنولوژیکی ارقام مختلف کلزا در سال زراعی ۹۵-۹۶ EM روز تا سبز شدن، SHO روز تا شروع ساقه‌دهی، SFL روز تا شروع گل دهی، EFL روز تا پایان گل دهی، SF روز تا شروع پر شدن دانه، PM روز تا رسیدگی فیزیولوژیک

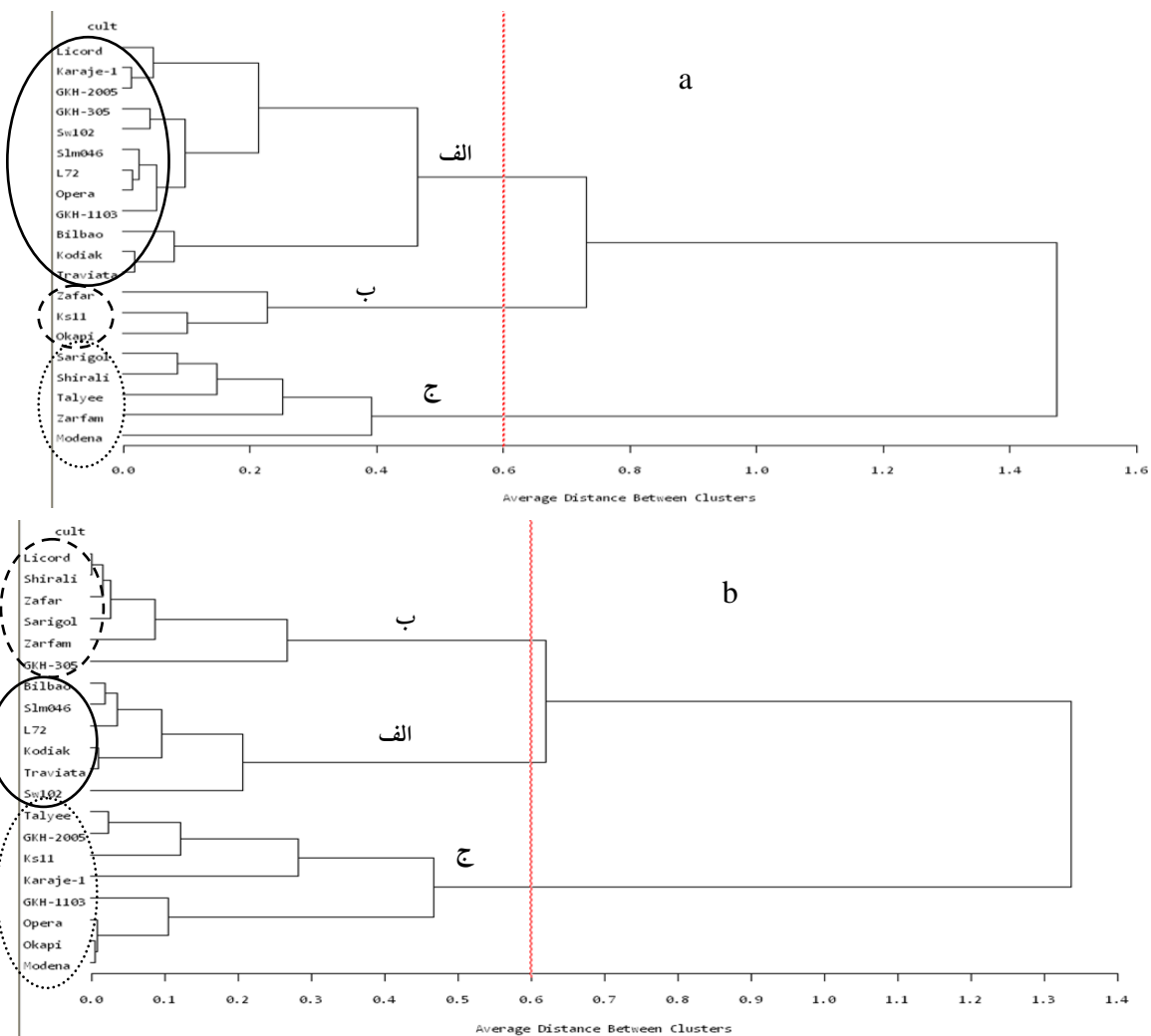
Table 4- Mean comparison of important phonological stages of different canola cultivars in 2014-2015. Em: day to emergence, SHO: day to elongation, SFL: day to flowering, EFL: day to end of flowering, SF: day to seed filling, PM: day to physiological maturity

| (Cultivars) | EM | SHO | SFL | EFL | SF | PM |
|---------------------|--------------------|----------------------|----------------------|------------------------|------------------------|------------------------|
| Licord | 9.50 ^a | 179.75 ^{bc} | 199.75 ^c | 224.00 ^{efg} | 222.25 ^{cdef} | 266.50 ^{abcd} |
| Bilbao | 9.75 ^a | 184.00 ^a | 210.33 ^a | 235.33 ^a | 225.00 ^{ab} | 267.66 ^{ab} |
| GKH-305 | 6.50 ^c | 180.25 ^b | 200.50 ^c | 223.00 ^{ghi} | 221.00 ^{fg} | 264.50 ^{de} |
| Slm046 | 8.25 ^b | 176.25 ^d | 198.00 ^d | 221.75 ^{ghij} | 218.75 ^h | 261.50 ^g |
| (Sarigol) ساری گل | 8.25 ^b | 158.75 ^h | 176.75 ^h | 210.50 ^k | 200.25 ^k | 244.00 ^j |
| (Talayee) طلایه | 5.50 ^{cd} | 168.75 ^f | 185.00 ^g | 211.25 ^k | 206.75 ^j | 249.50 ⁱ |
| L72 | 5.75 ^{cd} | 174.25 ^{de} | 198.75 ^{cd} | 228.25 ^b | 219.75 ^{gh} | 261.50 ^g |
| Sw102 | 5.25 ^d | 173.50 ^e | 193.00 ^e | 221.50 ^{hij} | 218.00 ^h | 260.25 ^{gh} |
| (Shirali) شیرالی | 5.50 ^{cd} | 159.00 ^h | 176.25 ^h | 209.75 ^k | 201.50 ^k | 244.00 ^j |
| (Zafar) ظفر | 6.25 ^{cd} | 157.75 ^h | 176.25 ^h | 209.75 ^k | 200.25 ^k | 244.00 ^j |
| GKH-1103 | 6.50 ^c | 181.25 ^b | 205.50 ^b | 226.00 ^{bcd} | 220.75 ^{fg} | 264.00 ^{ef} |
| Opera | 6.00 ^{cd} | 181.25 ^b | 201.00 ^c | 223.50 ^{fh} | 221.25 ^{efg} | 265.25 ^{cde} |
| (Zarfam) زرفام | 5.50 ^{cd} | 165.00 ^g | 186.75 ^f | 221.00 ^{hij} | 205.50 ^j | 250.00 ⁱ |
| (Karaje 3) کرج | 5.50 ^{cd} | 173.75 ^e | 201.00 ^c | 225.25 ^{cdef} | 223.75 ^{bc} | 266.75 ^{abc} |
| Kodiak | 6.25 ^{cd} | 180.25 ^b | 194.50 ^e | 223.75 ^{efgh} | 221.50 ^{efg} | 265.75 ^{bcd} |
| Okapi | 5.50 ^{cd} | 181.00 ^b | 204.25 ^b | 225.00 ^{def} | 226.75 ^a | 268.25 ^a |
| (Karaje 1) کرج | 6.00 ^{cd} | 176.00 ^d | 196.75 ^d | 220.50 ^j | 215.25 ⁱ | 258.75 ^h |
| Modena | 8.25 ^b | 181.00 ^b | 205.25 ^b | 227.25 ^{bcd} | 223.00 ^{cde} | 262.00 ^{fg} |
| GKH-2005 | 5.75 ^{cd} | 178.25 ^c | 198.00 ^d | 222.25 ^{ghij} | 221.75 ^{def} | 265.00 ^{cde} |
| Traviata | 6.00 ^{cd} | 181.00 ^b | 201.25 ^c | 227.50 ^{bc} | 223.50 ^{bcd} | 265.50 ^{bcd} |
| (Mean) میانگین | 6.58 | 174.43 | 195.25 | 221.85 | 215.08 | 258.34 |
| LSD _{0.05} | 1.04 | 1.95 | 1.84 | 2.39 | 1.78 | 1.85 |

دارای بالاترین عملکرد، در گروه دوم دارای عملکرد متوسط (نزدیک به میانگین گروه) و در گروه سوم دارای کمترین عملکرد بود انتخاب شد. از گروه اول رقم Bilbao، از گروه دوم رقم کرج ۳ و از گروه سوم رقم ساری گل انتخاب شدند (شکل ۳).

تجزیه و تحلیل رشد

در این تحقیق جهت بررسی تجزیه و تحلیل رشد گیاه در طی فصل رشد، ارقام بر اساس تجزیه کالاستر به سه گروه با عملکرد بالا (خط ممتد)، عملکرد متوسط (خطوط بریده) و عملکرد کم (خطوط نقطه‌چین) تقسیم شدند و از هر گروه یک نماینده که در گروه اول



شکل ۳ - تجزیه کلاستر عملکرد ارقام مختلف کلزا به روش متوسط فاصله (Average) در دو سال زراعی ۹۴-۹۵ و ۹۵-۹۶ (a) و (b)

Figure 3- Cluster analysis of yield of different canola cultivars by method of average distance in 2014-2015 and 2015-2016

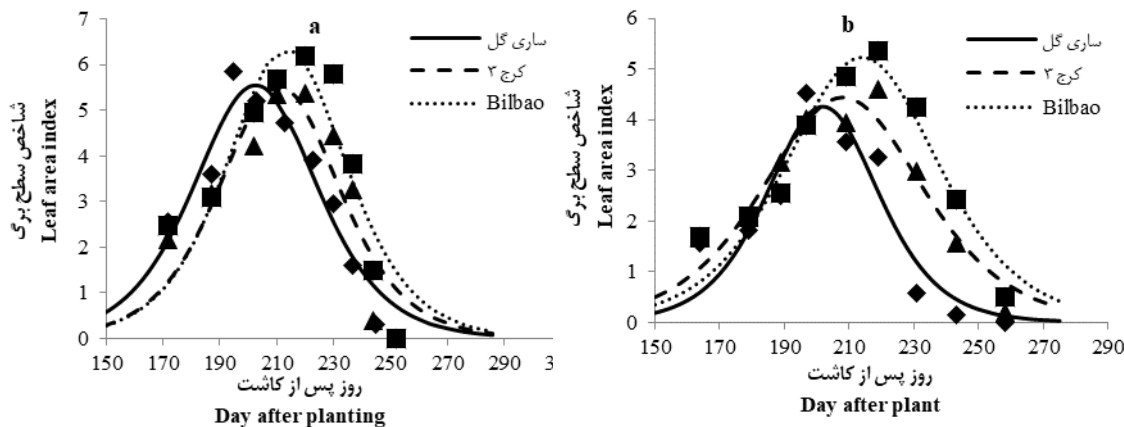
شاخص سطح برگ برای رقم ساری گل تا ۲۰۲ روز پس از کاشت ادامه داشت که در این روز شاخص سطح برگ $4/25$ به دست آمد. همچنین رقم کرج ۳ در $۲۰۸/۱$ روز پس از کاشت به حداقل شاخص سطح برگ خود دست یافت. رقم Bilbao نیز به افزایش روند شاخص سطح برگ تا ۲۱۴ روز پس از کاشت ادامه داد که در این روز شاخص سطح برگ به $5/22$ رسید (جدول ۵). شاخص سطح برگ ارقام در سال دوم نسبت به سال اول انجام آزمایش کاهش یافت. احتمالاً دلیل این کاهش با کاهش دما و نیز افزایش شرایط ابری بودن هوا و کاهش تشعشع رسیده در ماههای فروردین و اردیبهشت مرتبط است. علاوه بر تفاوت بین این سه رقم از نظر میزان شاخص سطح برگ، زمان رسیدن به حداقل شاخص سطح برگ نیز متفاوت بود. نقش

شاخص سطح برگ

رونده تغییرات شاخص سطح برگ، در ارقام مختلف در شکل ۴ نشان داده شده است. در سال زراعی ۹۴-۹۵ رقم ساری گل به دلیل شروع رشد مجدد زودتر، در اوایل فصل دارای شاخص سطح برگ بالاتری بود و این روند تا ۲۰۴ روز پس از کاشت ادامه داشت. در این روز رقم ساری گل به حداقل شاخص سطح برگ خود ($LAI_{max}=5/50$) دست یافت و در ادامه روند نزولی پیدا کرد. در رقم کرج ۳، روند افزایش شاخص سطح برگ تا ۲۰۸ روز پس از کاشت ادامه یافت و در این تاریخ به حداقل شاخص سطح برگ $5/46$ دست یافت. رقم Bilbao در ۲۱۶ روز پس از کاشت به حداقل شاخص سطح برگ $6/27$ دست یافت (جدول ۵). در سال دوم روند افزایش

حداکثر ماده خشک برای اغلب محصولات کاشته شده لازم است. در کلزا اگر جداکثر شاخص سطح برگ کمتر از چهار باشد می‌توان گفت رشد و عملکرد گیاه در اثر کمبود سطح برگ محدود می‌شود، زیرا شاخص سطح برگ حدود چهار برای دریافت حدود ۹۰ درصد تشعشع خورشیدی کفایت می‌کند (Mendham *et al.*, 2009). بنابراین شاخص سطح برگ در این مطالعه محدود کننده عملکرد نمی‌باشد. عزیزی و همکاران (Azizi *et al.*, 2000) گزارش کردند که جداکثر سطح سبز در مرحله گل‌دهی و جداکثر سرعت رشد محصول در مرحله پایان گل‌دهی حاصل شد. همچنین ایشان گزارش کردند که ماده خشک کل و شاخص سطح برگ دارای ضرایب بالاتر همبستگی نسبت به سایر شاخص‌های رشدی با عملکرد بودند. نتایج این مطالعه با یافته‌های ضمیری، آلن و مورگان و کلارک و سیمپسون (Zamiri, 2009; Allen and Morgan, 2009; Clarke and Simpson, 2008) که زمان رسیدن به جداکثر شاخص سطح برگ کلزا در نیمه مرحله گل‌دهی گزارش کردند، مطابقت دارد. بنابراین انطباق زمان وقوع جداکثر شاخص سطح برگ با تشعشع دریافتی بیشتر یکی از دلایل افزایش عملکرد می‌باشد. لوکاس و همکاران (Lucas *et al.*, 2003) بر اهمیت انطباق مرحله پر شدن دانه با جداکثر تشعشع خورشید تأکید داشتند. نبوی (Nabavi, 1998) همبستگی مثبت ۹۴ درصدی را بین جداکثر شاخص سطح برگ و عملکرد دانه در کلزا گزارش کرد. در کلزا از آنجایی که جداکثر شاخص سطح برگ در زمان گل‌دهی حادث می‌شود (Manaffé and Kloepffer, 2004)، هر اندازه سطح برگ گیاه در این موقع بیشتر باشد، به همان اندازه نیز قادر به استفاده بهتر و بیشتر از تشعشع خورشیدی بوده و توان تولید مواد فتوستنتزی بیشتری پیدا می‌کند که در نهایت بر دانه‌های موجود در خورجین و عملکرد دانه تأثیر می‌گذارد (Sharma, 2003).

برگ‌ها در عملکرد می‌تواند در تعیین اندازه مقصد های نظیر تعداد خورجین در گیاه مهم باشد (Hosseinzadeh *et al.*, 2008). بین عملکرد دانه و عملکرد بیولوژیک با جداکثر شاخص سطح برگ همبستگی مثبت و معنی‌داری در سطح یک درصد وجود داشت، به طوری که ضریب همبستگی بین عملکرد دانه و عملکرد بیولوژیک با جداکثر شاخص سطح برگ به ترتیب $0.53/0.63$ بود (جدول ۱۰). در توجیه این رابطه می‌توان بیان داشت که سطح برگ بیشتر و ماده خشک بیشتر قبل از گرده‌افشانی منجر به ذخیره بیشتر مواد فتوستنتزی در ساقه و برگ‌ها می‌شود، که در نهایت این عمل منجر به انتقال آسمیلات‌ها به دانه و افزایش عملکرد در واحد سطح خواهد شد. همچنین از آن جا که فتوستنتز جاری گیاه در بعد از گرده‌افشانی مهم‌ترین عامل پر شدن دانه می‌باشد، بنابراین سطح برگ بالاتر در بعد از گرده‌افشانی یکی دیگر از دلایل افزایش عملکرد می‌باشد. محققان همبستگی مثبت بین عملکرد دانه و شاخص سطح برگ موجود در اواسط گل‌دهی را در کلزا گزارش کردند (Thurling, 1974; Gabrielle *et al.*, 1998) همچنین بین روز تا رسیدن به جداکثر شاخص سطح برگ و عملکرد دانه نیز همبستگی معنی‌داری در سطح پنج درصد به دست آمد ($r=+0.31^{*}$). بررسی میزان تشعشع ورودی نشان می‌دهد که میزان آن از اسفند تا مرداد رو به افزایش است و جداکثر تشعشع ورودی در دوره رشد گیاه در فصل خرداد می‌باشد. بنابراین رقم Bilbao که از نظر شروع رشد مجدد در بهار با تأخیر قابل توجه نسبت به رقم ساری گل همراه بود؛ شرایط مساعدتری را از نظر دمایی و نیز تشعشع در مراحل تشکیل اجزای عملکرد و نیز پر شدن دانه دارا بود. در سال دوم کاهش میزان تشعشع دریافتی و میانگین دما در زمان شروع رشد مجدد، سبب کاهش سطح برگ ارقام گردید. عموماً شاخص سطح برگ مساوی ۳ الی ۵ جهت تولید



شکل ۴- روند تغییرات شاخص سطح برگ در مقابل روز پس از کاشت در ارقام کلزا در سال زراعی ۱۳۹۴-۹۵ (a) و سال زراعی ۱۳۹۳-۹۴ (b)

Figure 4- Trend of changes of leaf area index against day after planting in different varieties of canola in 2014-2015 (a) and 2015- 2016 (b)

جدول ۵- ضرایب (a، b و c) معادله پیش‌بینی تغییرات شاخص سطح برگ در مقابل زمان در دو سال زراعی ۹۴-۹۳: تعداد مشاهدات (n)، حداقل شاخص سطح برگ (LAI_{max}) و زمان وقوع آن بر حسب روز (T_{max}) و ضریب تبیین (R^2)

Table 5- Estimated logistic model coefficients of (equation 1) leaf area index against day after planting in different varieties of canola in 2014-2015 and 2015-2016 (a, b and c are equation coefficients, LAI_{max} is maximum leaf area, T_{max} is days to maximum LAI)

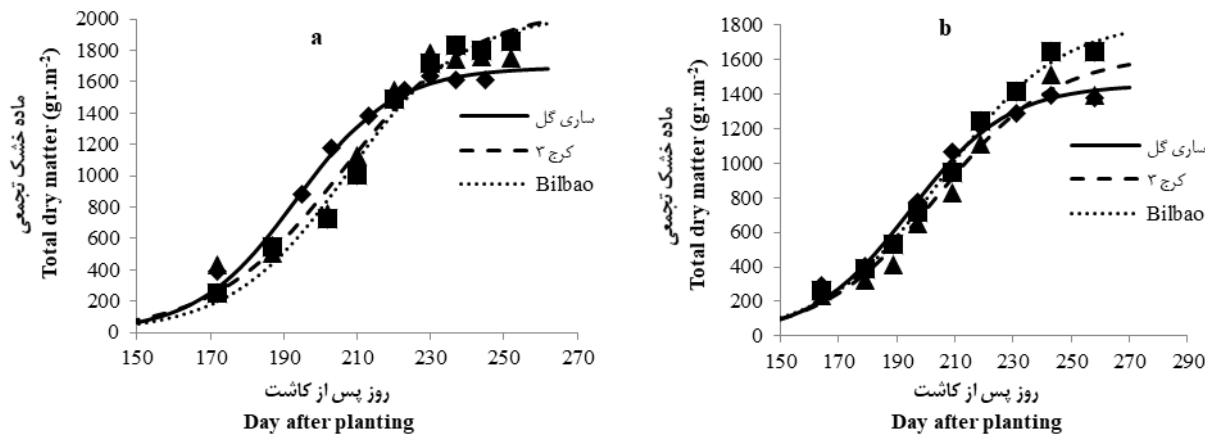
| رقم (Cultivar) | n | a±SE | b±SE | c±SE | LAI _{max} | T max | R2 | |
|----------------------|---------|------|-------------|------------|--------------------|-------|-----|------|
| Growing season 93-94 | Bilbao | 9 | 0.070±0.011 | 213.9±2.89 | 358.3±44.00 | 6.27 | 216 | 0.95 |
| | ساری گل | 9 | 0.060±0.009 | 204.2±3.12 | 366.7±45.12 | 5.50 | 204 | 0.96 |
| | کرج | 9 | 0.070±0.011 | 211.0±3.19 | 312.9±41.49 | 5.46 | 208 | 0.95 |
| Growing season 94-95 | Bilbao | 9 | 0.063±0.005 | 214.1±1.85 | 330.1±23.53 | 5.22 | 214 | 0.98 |
| | ساری گل | 9 | 0.086±0.013 | 210.9±2.36 | 196.7±24.35 | 4.25 | 202 | 0.95 |
| | کرج | 9 | 0.060±0.006 | 208.1±2.06 | 294.2±23.02 | 4.42 | 210 | 0.98 |

پس از کاشت اختلافی بین ارقام مشاهده نشده و سپس رقم Bilbao از نظر تولید ماده خشک از دو رقم دیگر پیشی گرفت. تفاوت آب و هوایی آشکار بین دو سال و کاهش تشعشع و موقع بارش‌های پیاپی (هوای ابری) در سال دوم علت تفاوت ایجاد شده تجمع ماده خشک بین دو سال است (شکل ۱ و ۲). در سال اول بین دو رقم کرج ۳ و Bilbao از نظر حداقل تجمع ماده خشک تفاوت معنی‌داری از نظر آماری مشاهده نشده، در حالی که رقم ساری گل از دو رقم دیگر متفاوت بود (جدول ۶). این اختلاف را می‌توان به بالاتر بودن شاخص سطح برگ در ارقام نسبت داد. بهدلیل افزایش سطح برگ میزان جذب تشعشع خورشیدی بالا رفته و به تبع آن فتوسترات و ماده‌سازی افزایش یافت. همچین شاخص سطح برگ در ارقام Bilbao و کرج ۳ زمانی به حالت حداقل رسید که تشعشع خورشیدی بیشتر نسبت به زمانی که رقم ساری گل به حداقل شاخص سطح برگ رسید وجود داشت. بنابراین تطابق زمان حداقل شاخص سطح برگ با حداقل تابش دریافتی از خورشید برای دست‌بایی به عملکرد بالا بسیار حائز اهمیت است (Lucas *et al.*, 2003). همبستگی بین شاخص سطح برگ و عملکرد بیولوژیک ($r=+0.63^{***}$) و عملکرد اقتصادی ($r=+0.53^{**}$) مؤید این مساله است (جدول ۱۰).

همبستگی قوی بین حداقل تجمع ماده خشک و عملکرد دانه وجود داشت ($r=+0.81^{***}$) (جدول ۱۰). وزن خشک گیاه حاصل تجمع مواد فتوستراتی و یکی از مهم‌ترین فاکتورهای برآورد عملکرد محصول است؛ به طوری که بسیاری از محققین با اندازه‌گیری وزن خشک بخش‌های مختلف گیاه و وزن خشک کل اندام‌های هوایی، اقدام به تعیین الگوی رشد کرده‌اند (Gardner, 2005). الگوی تجمع وزن خشک در این مطالعه با مطالعات طهماسبی‌زاده و همکاران Nazeri *et al.*, 2009) و ناظری و همکاران (Tahmasebizade *et al.*, 2009) مطابقت داشت.

الگوی تجمع ماده خشک

در استفاده از معادله لجستیک (معادله ۲) که با هدف محاسبه زمان حصول ۵۰ درصد عملکرد ماده خشک و حداقل ماده خشک تولیدی استفاده شد، توصیف خوبی از تجمع ماده خشک به دست داد، به نحوی که مقادیر ضرایب تبیین همگی بزرگتر از ۹۸ درصد بودند (جدول ۶). اختلاف ارقام از نظر مدت زمان لازم برای رسیدن ماده خشک به ۵۰ درصد حداقل خود متفاوت بود و روند تقریباً مشابهی بین دو سال از این نظر وجود داشت. بین دو سال آزمایش، در سال اول میانگین زمان رسیدن به ۵۰ درصد ماده خشک ۲۰۳/۰۴ روز در ۲۰۵/۳ روز پس از کاشت بود، اما در سال دوم این زمان با تأخیر ۲/۲۵ روز در ۲۰۵/۳ زمان حصول ۵۰ درصد ماده خشک تجمعی به ترتیب ۱۹۳/۳، ۱۹۳/۳ و ۲۰۲/۲ روز پس از کاشت اتفاق افتاد. در سال دوم آزمایش این پارامتر در ارقام ذکر شده به ترتیب در ۱۹۴/۶، ۲۱۰/۲ و ۲۰۸/۹ اتفاق افتاد که گویای شرایط محیطی متفاوت بین دو سال می‌باشد (جدول ۶). روند تغییرات ماده خشک ارقام مورد آزمایش در شکل ۵ نشان داده شده است. چنان‌چه مشاهده می‌شود؛ تشکیل ماده خشک در ارقام به عنوان معیاری از میزان تولید، از یک منحنی غیر خطی در هر دو سال زراعی تعیین می‌کند. به طور کلی در اوایل رشد گیاه با توجه به دمای پایین و تشعشع کم با وجود پوشش گیاهی مناسب (در کلزا) افزایش اولیه ماده خشک کم می‌باشد. در سال اول ارقام مورداً آزمایش در مراحل اولیه رشد (رزت) از نظر ماده خشک تجمعی اختلاف زیادی با هم نداشتند و از ۱۷۰ روز بعد از کاشت (شروع گل‌دهی) اختلاف رقم ساری گل از دو رقم دیگر بیشتر شد (سرعت رشد نسبی بالاتر در اوایل رشد) و در زمان پرشدن دانه به حداقل رسید؛ ولی این رقم زودتر به حالت رشد ثابت رسید اما دو رقم دیگر Bilbao و کرج (۳) دیرتر به رشد ثابت دست یافته‌ند و تولید ماده خشک آن‌ها از رقم ساری گل پیشی گرفت. در سال دوم تا ۲۲۰ روز



شکل ۵- روند تغییرات ماده‌ی خشک تجمعی (گرم در متر مربع) در مقابل روز پس از کاشت در ارقام مختلف کلزا در سال زراعی ۱۳۹۳-۹۴ (a) و سال زراعی ۱۳۹۴-۹۵ (b)

Figure 5- Figure 3- Trend of changes of cumulative dry matter against day after planting in different varieties of canola in 2014-2015 (a) and 2015- 2016 (b)

جدول ۶- ضرایب معادله لجستیک جهت پیش‌بینی تجمع ماده خشک در مقابل زمان برای ارقام مختلف در طی دو سال آزمایش.

تعداد نمونه‌برداری (n)، ضریب معادله (a)، مدت زمانی که تجمع ماده خشک به ۵۰ درصد حداقل خود می‌رسد (b) (بر حسب روز)،

حداقل ماده خشک تولید شده (dm_{max}) (گرم در متر مربع)، ضریب تبیین (R^2)

Table 6- Estimated logistic model coefficients of (equation 2) dry matter against day after planting in different varieties of canola in 2014-2015 (DM_{max} is maximum dry matter, a is equation coefficient, b is time requiring to achieve 50% of maximum dry matter)

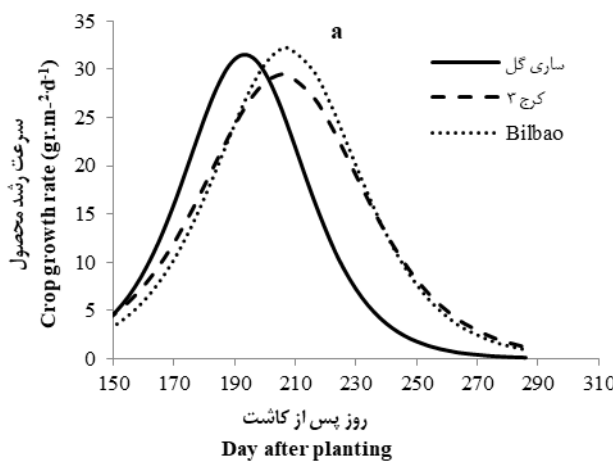
| رقم (Cultivar) | n | dmmax±SE | a±SE | b±SE | R ² |
|----------------------|---------|--------------|-------------|------------|----------------|
| Growing season 93-94 | Bilbao | 2037.7±134.8 | 0.063±0.010 | 207.3±3.22 | 0.99 |
| | ساری گل | 1692.3±58.87 | 0.074±0.009 | 193.3±1.67 | 0.99 |
| | کرج | 1966.9±136.3 | 0.069±0.013 | 202.2±3.16 | 0.99 |
| Growing season 94-95 | Bilbao | 1789.4±134.6 | 0.046±0.006 | 208.9±4.43 | 0.99 |
| | ساری گل | 1455.6±56.97 | 0.059±0.007 | 196.6±2.17 | 0.99 |
| | کرج | 1577.4±190.6 | 0.043±0.008 | 210.2±7.40 | 0.99 |

فصل رشد مجدد می‌باشد. نبوی (Nabavi, 1998) در خصوص کلزا پاییزه گزارش کرد که سرعت رشد محصول در مراحل اولیه رشد به دلیل کامل نبودن پوشش گیاهی، پایین بودن درصد جذب نور، کوتاه بودن روزها و دمای کم محیط روند کندی داشت، ولی بعد از خروج از مرحله رزت با افزایش شاخص سطح برگ، افزایش شدت تشعشع، دما و در نتیجه بهره‌گیری بهتر از نور خورشید میزان تولید ماده خشک در واحد سطح افزایش یافت و به تبع آن سرعت رشد محصول نیز افزایش نشان داد. از این مرحله به بعد سرعت رشد به صورت خطی در هر سه رقم در طی هر دو سال زراعی افزایش یافت. در سال اول این افزایش در رقم ساری گل با گذشت زمان تا ۱۹۲ روز پس از کاشت ادامه یافت؛ ولی شاخص سطح برگ تا ۲۰۴

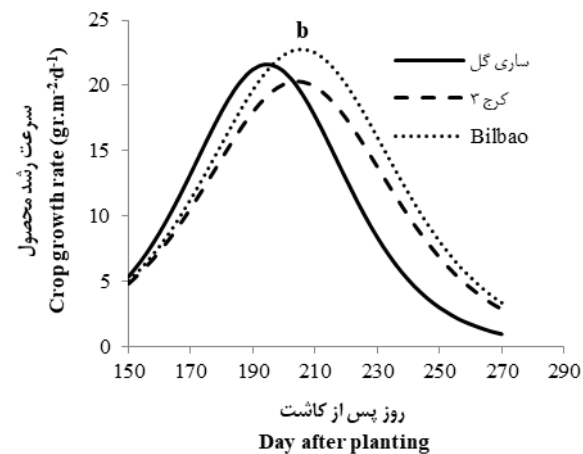
سرعت رشد محصول (CGR)

شکل ۶ روند تغییرات سرعت رشد را در دو سال زراعی ۹۳-۹۴ و ۹۴-۹۵ نشان می‌دهد. در دو سال، در هر سه رقم CGR در ابتدای رشد (۱۵۰ روز پس از کاشت) به آرامی افزایش یافت. عزیزی و آروین (Azizi and Arvin, 2007) گزارش کردند که در کلزا در شرایطی که شاخص سطح برگ برابر ۱، ۲ و ۳ باشد، دریافت تشعشع به ترتیب ۴۵، ۸۴ و ۷۰ درصد خواهد بود. بنابراین پوشش گیاهی با توجه به وجود برگ‌های بزرگ رزت که با ساقه یک زاویه متوسطی را می‌سازند و در جهت افقی خمیده می‌شوند؛ نمی‌توانند محدود کننده رشد در اوایل فصل باشند. دمای پایین هوا در اوایل شروع رشد مجدد و نیز مطلوب نبودن مقدار تشعشع خورشیدی از دلایل رشد کند در اوایل

و حداکثر تبدیل انرژی خورشیدی به انرژی شیمیایی در گیاه است. از مرحله پر شدن دانه به علت زرد شدن برگ‌ها و ریزش آن‌ها، شاخص سطح برگ کاهش یافته و در نتیجه CGR کاهش می‌یابد. این روند با نتیجه ناظری و همکاران (Nazari *et al.*, 2012) مطابقت داشت. حسین‌زاده و همکاران (Hosseinzadeh *et al.*, 2008) گزارش کردند که در آخر فصل رشد کاهش در روند CGR مشاهده شد و این کاهش زمانی روی داد که گیاه به جای تولید مواد فتوستتری بیشتر به انتقال مجدد آن‌ها از اندام‌های مختلف به دانه پرداخت. بین دو سال زراعی از نظر حداکثر CGR بین هر سه رقم تفاوت معنی‌داری مشاهده شد. مقدار CGR در سال اول به طور معنی‌داری از سال دوم بیش‌تر بود. وجود شرایط تشعشی در یافته مطلوب‌تر در سال اول و هوای بارانی و ابری بیش‌تر در سال دوم علت تفاوت CGR در دو سال بود (شکل ۱ و ۲). عزیزی و آروین (Azizi and Arvin, 2007) اعلام کردند که در کلزا حداکثر سرعت رشد محصول در مرحله پایان گله‌ی حادث می‌شود. هم‌چنین ایشان اعلام کردند که ماده خشک و شاخص سطح برگ دارای ضرایب بالاتر همبستگی نسبت به سایر شاخص‌های رشدی با عملکرد بودند.



روز پس از کاشت به حداکثر رسید. در رقم کرج ۳ سرعت رشد محصول برگ در ۲۰۸ روز پس از کاشت به حداکثر رسید و شاخص سطح برگ در ۲۰۸ روز پس از کاشت به حداکثر خود رسید. در رقم Bilbao سرعت رشد محصول در ۲۰۸ روز پس از کاشت به حداکثر خود رسید و شاخص سطح برگ در ۲۱۶ روز پس از کاشت به حداکثر خود دست یافت. مقدار CGR در رقم کرج ۳ از دو رقم دیگر کم‌تر بود، ولی زمان رسیدن به حداکثر CGR در رقم Sarai Göl نسبت به دو رقم دیگر متفاوت بود. عدم تطابق بین وقوع حداکثر CGR و شاخص سطح برگ به این دلیل است که در زمان وقوع حداکثر سرعت رشد محصول شاخص سطح برگ به حدی بوده که ۹۵ درصد تشعشع جذب گردیده و افزایش بیش از آن سبب افزایش CGR نگردید (شاخص سطح برگ بحرانی). در سال دوم رقم Sarai Göl در ۱۹۴ روز Bilbao پس از کاشت به حداکثر CGR دست یافت و ارقام کرج ۳ و ۲۰۶ روز پس از کاشت به حداکثر CGR رسیدند که تفاوت معنی‌داری بین دو سال مشاهده نشد. حداکثر CGR برای هر گونه معین و در شرایط مطلوب، هنگامی پدید می‌آید که پوشش برگ‌ها کامل باشد و این حالت نشان‌دهنده حداکثر توانایی تولید ماده خشک



شکل ۶- روند تغییرات سرعت رشد (CGR) در مقابل روز پس از کاشت در ارقام مختلف کلزا در سال زراعی ۱۳۹۳-۹۴ (a) و (b) ۱۳۹۴-۹۵

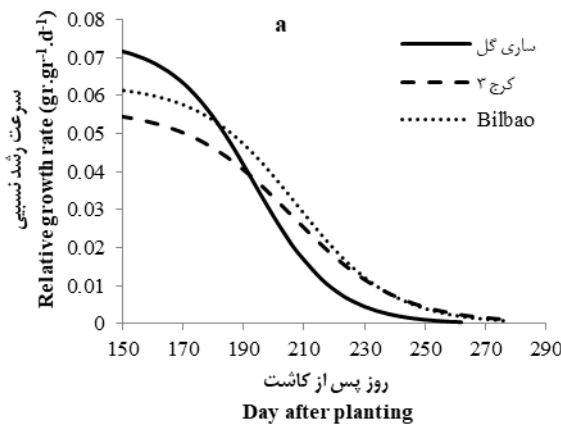
Figure 6- Trend of changes of crop growth rate (CGR) against days after planting in different varieties of canola in 2014-2015 (a) and 2015-2016 (b)

سایه قرار گرفتن و افزایش سن برگ‌های پایینی در کاهش میزان سرعت رشد نسبی در طی فصل رشد مؤثر است (Azizi and Arvin, 2007). بین دو سال زراعی از نظر RGR تفاوت معنی‌داری مشاهده شد. RGR در سال اول آزمایش از سال دوم آزمایش بیش‌تر بود. در هر دو سال آزمایش در ابتدای رشد مجدد RGR رقم Sarai Göl از دو رقم دیگر بیش‌تر بود و در ادامه فصل رشد مقدار RGR این رقم با شبی بیش‌تری کاهش یافت، به طوری که مقدار RGR ارقام Bilbao

سرعت رشد نسبی (RGR)

بررسی روند تغییرات سرعت رشد نسبی (شکل ۷) نشان داد که این شاخص در ابتدای مراحل رشد حداکثر و با گذشت زمان و با افزایش دوره رشد و افزایش سن گیاه کاهش یافت. کاهش در سرعت رشد نسبی در طی فصل رشد به این دلیل است که با گذشت زمان، وزن گیاه افزایش می‌یابد و در این افزایش وزن، تعداد بافت‌های مرده و کاملاً بالغ که در تولید نقشی ندارند نیز افزایش می‌یابد. هم‌چنین در

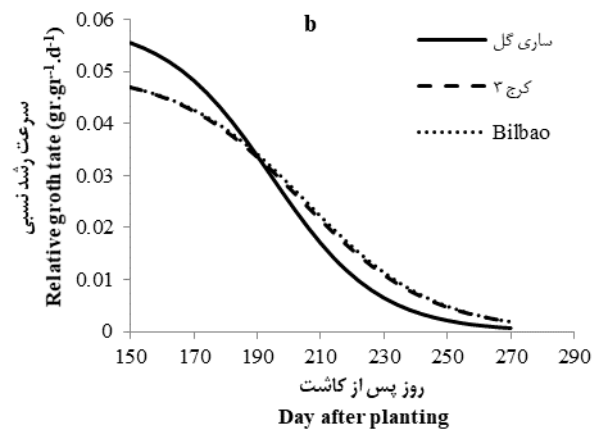
داشتند. سرعت رشد نسبی در سیکل زندگی گیاه روند کاهشی دارد (Campbel *et al.*, 2003). همچنین سرعت رشد نسبی با تغییرات وضعیت فتوستتر و تنفس گیاه تغییر می‌یابد؛ زیرا با گذشت زمان قسمت‌های مهم گیاه مانند ساقه، قدرت فتوستتر و فعالیت‌های متابولیکی تأثیرگذار در رشد را از دست داده و غیرفعال می‌شوند و سهم زیادی در رشد گیاه ایفا نمی‌کنند (Nazari *et al.*, 2012).



شکل ۷- روند تغییرات سرعت رشد نسبی (RGR) در مقابل روز پس از کاشت در ارقام مختلف کلزا (a) و سال زراعی ۱۳۹۴-۹۵ (۱۳۹۳-۹۴) (b)

Figure 7- Trend of changes of relative growth rate (RGR) against days after planting in different varieties of canola in 2014-2015 (a) and 2015-2016 (b)

و کرج ۳ (کاهش با شبیه ملایم‌تر) تا اواخر فصل بیشتر از ساری گل بود. با توجه به زمان‌های متفاوت شروع رشد مجدد، بهنظر می‌رسد در ابتداء رقم ساری گل (شروع رشد مجدد زودتر از دو رقم دیگر) دارای بافت‌های فتوستتر کننده بیشتر (شاخص سطح برگ بالاتر در اوایل فصل رشد) نسبت به بافت‌های تنفس کننده بود و در ادامه فصل، ارقام Bilbao و کرج ۳ تا آخر فصل رشد از این نظر بر رقم ساری گل برتری

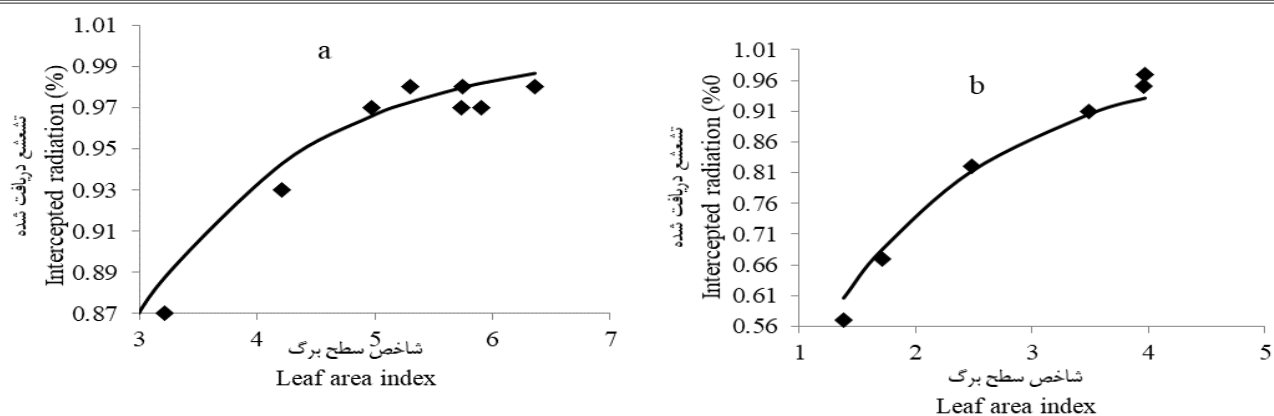


موارد برای ارتباط دادن سطح برگ و دریافت تشعشع کل گیاه (نه لایه‌های برگ) کفایت می‌کند و در شرایطی که شاخص سطح برگ، برابر ۱، ۲ و ۳ باشد، دریافت تشعشع به ترتیب ۷۰، ۴۵ و ۸۴ درصد خواهد بود (Azizi *et al.*, 2000).

همبستگی بین K با هیچ یک از صفات به جز شاخص سطح برگ و ارتفاع، معنی‌دار نبود (جدول ۸). در این تحقیق تفاوت معنی‌داری از نظر ارتفاع بین ارقام وجود داشت. همبستگی ضریب خاموشی با عملکرد غیرمعنی‌دار بود. ضریب خاموشی با شاخص سطح برگ حداقل، همبستگی منفی داشت. افزایش ارتفاع سبب می‌شود که برگ در طول ارتفاع گیاه توزیع گردد و بیش‌ترین میزان برگ در نیمه میانی بوته قرار گیرد، اما ارقام با ارتفاع پایین توزیع برگ‌ها در ارتفاع کمتری و نیز به احتمال زیاد در نیمه فوقانی کانونی صورت گرفته است. همبستگی منفی معنی‌دار بین K_{PAR} و ارتفاع ($r = -0.34^{**}$) مؤید این مطلب می‌باشد (جدول ۸). کمتر بودن ضریب K موجب می‌شود تا سرعت رشد محصول و سرعت جذب خالص در سطوح بیش‌تر شاخص سطح برگ، حفظ شود (Banayane-Aval, 2006).

درباره تشعشع و کارایی استفاده از آن

معادله ۳ به خوبی تغییرات پوشش گیاهی را در مقابل شاخص سطح برگ توجیه کرد (شکل ۸). بین ارقام از نظر مقادیر K_{PAR} به دست آمده اختلاف معنی‌داری وجود داشت (جدول ۶). متوسط ضریب خاموشی در سال اول ۰/۷۰ و در سال دوم ۰/۷۲ بود. شاید کاهش تشعشع در سال دوم سبب ایجاد این اختلاف گردیده باشد به طوری که گیاه با افقی تر کردن برگ‌های خود در جهت جذب تشعشع بیش‌تر باشد. همچنین کاهش ارتفاع بوته در سال دوم نسبت به سال اول می‌تواند علت این اختلاف باشد. در سال اول مقدار K_{PAR} بین ۰/۶۵ در رقم شیرالی تا ۰/۷۶ در ارقام Modena و GKH-2005 متغیر بود. در سال دوم مقدار K_{PAR} بین ۰/۶۳ در رقم کرج ۳ و ۰/۸۰ در رقم ظفر متغیر بود (جدول ۶). خصوصیات کانونی برگی در کلزا با زمان تغییر می‌کند. در مرحله رزت برگ‌های بزرگ با ساقه یک زاویه متوسطی را می‌سازند و در جهت افقی خمیده می‌شوند طوری که ضریب خاموشی (K) ۰/۶ یا بیش‌تر است. در طول دوره طویل شدن ساقه، برگ‌ها کوچک‌تر هستند و به صورت عمودی تر به ساقه متصل شده‌اند، طوری که مقدار K برابر ۰/۴۰-۰/۶ است. مقدار K در اغلب



شکل ۸- رابطه بین نسبت پوشش گیاهی (کسر تشعشع دریافت شده) در مقابل شاخص سطح برگ در سال ۱۳۹۳-۹۴ (الف) و ۱۳۹۴-۹۵ (ب)
Figure 8- Trend of changes in intercepted radiation (%) against leaf area index in 2014-2015 (a) and 2015-2016 (b)

جدول ۶- تخمین مقدار ضریب خاموشی (K) از معادله (۳) شاخص سطح برگ (در ارقام مختلف کلزا در دو سال زراعی ۱۳۹۳-۹۴ و ۱۳۹۴-۹۵) تعادل نمونه (n)، ضریب خاموشی بر اساس تشعشع فعال فتوستنتزی (K_{PAR})، ضریب تبیین (R^2)

Table 6- Estimated extinction coefficients (K_{PAR}) (equation 3) in different varieties of canola in 2014-2015 and 2015-2016

| Cultivar | Growing season of 2014-2015 | | | Growing season of 2015-2016 | | |
|----------|-----------------------------|------------------|-------|-----------------------------|------------------|-------|
| | n | $K_{PAR} \pm SE$ | R^2 | n | $K_{PAR} \pm SE$ | R^2 |
| Licord | 20 | 0.02±0.70 | 0.99 | 20 | 0.03±0.71 | 0.99 |
| Bilbao | 20 | 0.01±0.71 | 0.99 | 15 | 0.02±0.71 | 0.99 |
| GKH305 | 19 | 0.02±0.72 | 0.99 | 20 | 0.04±0.75 | 0.99 |
| Slm046 | 20 | 0.01±0.70 | 0.99 | 20 | 0.02±0.74 | 0.99 |
| Sarigol | 19 | 0.02±0.77 | 0.99 | 20 | 0.03±0.76 | 0.99 |
| Talayee | 20 | 0.02±0.74 | 0.99 | 20 | 0.02±0.72 | 0.99 |
| L72 | 20 | 0.02±0.67 | 0.99 | 20 | 0.02±0.70 | 0.99 |
| Sw102 | 20 | 0.03±0.70 | 0.99 | 20 | 0.03±0.75 | 0.99 |
| Shirali | 20 | 0.02±0.65 | 0.99 | 20 | 0.05±0.70 | 0.99 |
| Zafar | 20 | 0.02±0.77 | 0.99 | 20 | 0.04±0.80 | 0.99 |
| GKH1103 | 20 | 0.01±0.67 | 0.99 | 20 | 0.03±0.64 | 0.99 |
| Opera | 20 | 0.01±0.72 | 0.99 | 20 | 0.02±0.68 | 0.99 |
| Zarfam | 19 | 0.01±0.66 | 0.99 | 20 | 0.03±0.72 | 0.99 |
| Karaje 3 | 20 | 0.01±0.67 | 0.99 | 20 | 0.02±0.63 | 0.99 |
| Kodiak | 19 | 0.03±0.72 | 0.99 | 20 | 0.02±0.71 | 0.99 |
| Okapi | 20 | 0.01±0.66 | 0.99 | 20 | 0.03±0.76 | 0.99 |
| Karaje 1 | 20 | 0.01±0.70 | 0.99 | 20 | 0.04±0.78 | 0.99 |
| Modena | 20 | 0.03±0.76 | 0.99 | 20 | 0.03±0.76 | 0.99 |
| GKH2005 | 20 | 0.02±0.76 | 0.99 | 20 | 0.02±0.78 | 0.99 |
| Traviata | 20 | 0.03±0.72 | 0.99 | 20 | 0.03±0.68 | 0.99 |
| mean | - | 0.70 | - | - | 0.72 | - |

بیشتر بودن تشعشع پراکنده در سال دوم نسبت به سال اول آزمایش سبب این تفاوت گردید (شکل ۱ و ۲). هی و پورتر (Hey and Porter, 2006) بیان کردند که RUE علاوه بر گونه گیاهی، عمدتاً به تغییر حداکثر فتوستنتز برگ، کسر تابش مستقیم یا پراکنده و وضعیت نیتروژن تاج پوشش بستگی دارد. ایشان همچنین بیان کردند که تاج پوشش از تابش پراکنده بیش از تابش مستقیم بسیار بیشتر است؛ اما کل تابش در روز ابری به اندازه روز آفتابی بسیار بیشتر است. بنابراین در شرایط مشابه همیشه ماده خشک تولید شده در روز آفتابی صاف نسبت به روز ابری بیشتر است. در بین ارقام در سال اول،

مدل رگرسیون خطی ساده رابطه بین تشعشع تجمعی دریافت شده و بیomas تجمعی از کاشت تا رسیدگی را با ضرایب تبیین بالاتر از ۸۰ درصد به خوبی توصیف کرد (شکل ۹). RUE به دست آمده برای ارقام مختلف تفاوت معنی داری با هم داشتند. همچنین بین دو سال تفاوت معنی داری وجود داشت؛ به طوری که میانگین آن در سال اول ۳/۸۰ و در سال دوم ۳/۶۳ گرم بر مگازول تشعشع فعال فتوستنتزی بود (شکل ۹). احتمالاً علت اختلاف بین دو سال تفاوت آشکار آب و هوای دو سال به خصوص میزان تشعشع دریافتی و ابری بودن بیشتر هوا در سال دوم آزمایش نسبت به سال اول می باشد. به عبارتی

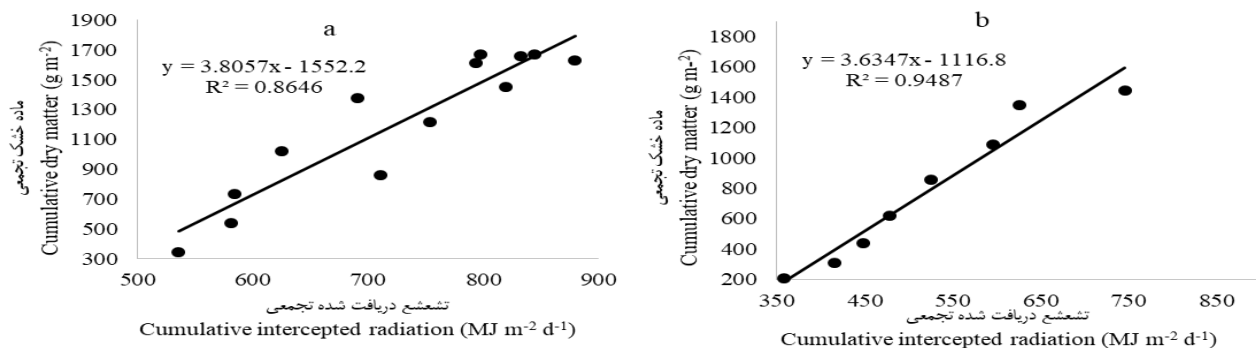
قوی و معنی‌داری وجود داشت (جدول ۷). بنابراین احتمالاً تفاوت RUE بین ارقام در این مطالعه، به عوامل اقلیمی از جمله میزان تشعشع دریافتی از خورشید (Hey and Porter, 2006) و نیز تشعشع دریافتی توسط کانوپی بستگی دارد (Kemanian *et al.*, 2000). برای کلزا تعدادی از محققین کارایی مصرف نور را از ۴ گرم بر مگازول تشعشع فعال فتوسنتزی بسته به شرایط محیطی و مرحله رشدی گزارش نمودند (Justes *et al.*, 2000).

RUE بین ۰/۳۰۱ در رقم ساری گل و ۰/۴۰۸ گرم بر مگازول بر اساس تشعشع فعال فتوسنتزی در رقم Bilbao متغیر بود (جدول ۷). در سال دوم کمترین RUE مجدداً به رقم ساری گل تعلق داشت ۰/۳۰۷ گرم بر مگازول و بیشترین RUE متعلق به رقم Licord بود ۰/۴۱۲ گرم بر مگازول. همبستگی بین RUE و عملکرد ($r=+0.45^{**}$) و بیولوژیک ($r=+0.35^{**}$) معنی‌دار بود. همچنین همبستگی بین RUE و شاخص سطح برگ حداکثر ($r=+0.9^{ns}$) معنی‌دار نبود، اما بین RUE و روز ترا رسیدن به شاخص سطح برگ حداکثر ($r=+0.68^{***}$) همبستگی

جدول ۷- ضرایب معادله توصیف کننده خشک (گرم در متر مربع) در مقابل تشعشع دریافت شده تجمعی (مگازول در متر مربع) در ارقام مختلف در دو سال زراعی ۱۳۹۳-۹۴ و ۱۳۹۴-۹۵. تعداد نمونه (n)، شیب خط (کارایی استفاده از تشعشع بر حسب گرم بر مگازول) (RUE)، ضریب تبیین (R^2)

Table 7- Linear equation coefficients ($y=a+bx$) of fitted for cumulative dry matter (gr.m^{-2}) against cumulative intercepted radiation ($\text{MJ.m}^{-2} \cdot \text{d}^{-1}$) in different varieties in 2014-2015 and 2015-2016

| Cultivar | Growing season of 2014-2015 | | | Growing season of 2015-2016 | | |
|----------|-----------------------------|-----------|-------|-----------------------------|-----------|-------|
| | a±SE | RUE±SE | R^2 | a±SE | RUE±SE | R^2 |
| Licord | 404.68±2100.11 | 0.50±3.93 | 0.89 | 165.03±1211.16 | 0.32±4.12 | 0.96 |
| Bilbao | 287.64±902.90 | 0.52±4.08 | 0.89 | 118.98±1287.38 | 0.19±3.71 | 0.97 |
| GKH305 | 430.74±1917.2 | 0.52±3.90 | 0.88 | 162.36±1288.48 | 0.27±3.55 | 0.96 |
| Slm046 | 384.66±1265.21 | 0.59±3.82 | 0.85 | 131.29±996.21 | 0.23±3.28 | 0.97 |
| Sarigol | 408.07±1244.69 | 0.49±3.01 | 0.84 | 242.78±1129.67 | 0.36±3.07 | 0.92 |
| Talayee | 414.56±1254.63 | 0.51±3.03 | 0.83 | 240.94±1214.08 | 0.44±3.40 | 0.90 |
| L72 | 299.31±1105.62 | 0.50±3.86 | 0.89 | 101.40±1046.96 | 0.18±3.49 | 0.98 |
| Sw102 | 287.87±1130.65 | 0.50±3.90 | 0.89 | 250.57±1934.84 | 0.35±3.94 | 0.95 |
| Shirali | 434.42±1226.97 | 0.54±3.14 | 0.89 | 263.09±747.59 | 0.55±3.51 | 0.86 |
| Zafar | 564.84±1431.67 | 0.65±3.25 | 0.77 | 155.80±1069.74 | 0.30±3.52 | 0.95 |
| GKH1103 | 448.61±1349.12 | 0.67±3.98 | 0.85 | 108.72±1136.84 | 0.18±3.41 | 0.98 |
| Opera | 307.13±1567.90 | 0.43±3.82 | 0.92 | 186.63±932.96 | 0.35±3.29 | 0.93 |
| Zarfam | 502.50±1716.86 | 0.55±3.31 | 0.83 | 352.99±1127.18 | 0.54±3.27 | 0.83 |
| Karaje 3 | 342.17±1422.06 | 0.47±3.68 | 0.91 | 163.67±1373.98 | 0.26±3.64 | 0.98 |
| Kodiak | 431.55±1471.64 | 0.52±3.26 | 0.86 | 132.10±1230.59 | 0.25±3.98 | 0.97 |
| Okapi | 341.55±2025.89 | 0.42±3.79 | 0.93 | 177.14±1326.07 | 0.31±3.84 | 0.97 |
| Karaje1 | 404.82±2010.43 | 0.48±3.92 | 0.91 | 86.39±720.24 | 0.22±3.55 | 0.98 |
| Modena | 370.31±1198.03 | 0.60±3.91 | 0.87 | 128.59±768.61 | 0.28±3.16 | 0.95 |
| GKH2005 | 284.70±1123.54 | 0.50±3.92 | 0.90 | 112.66±626.62 | 0.34±3.94 | 0.95 |
| Traviata | 279.44±1544.19 | 0.42±3.98 | 0.93 | 152.06±831.37 | 0.33±3.88 | 0.95 |



شکل ۹- برآذش رگرسیون خطی ماده خشک تجمعی (گرم بر متر مربع) در برابر تشعشع تجمعی (مگازول بر متر مربع) در سال زراعی ۱۳۹۳-۹۴ (الف) و ۱۳۹۴-۹۵ (ب)

Figure 9-Linear regression fitted for cumulative dry matter against cumulative intercepted radiation in different varieties of canola in 2014-2015 (a) and 2015-2016 (b)

جدول ۸- ضرایب همبستگی ساده بین صفات مورد بررسی در ارقام مختلف کلزا

Table 8- Correlation coefficients among investigated characteristics in different canola cultivars

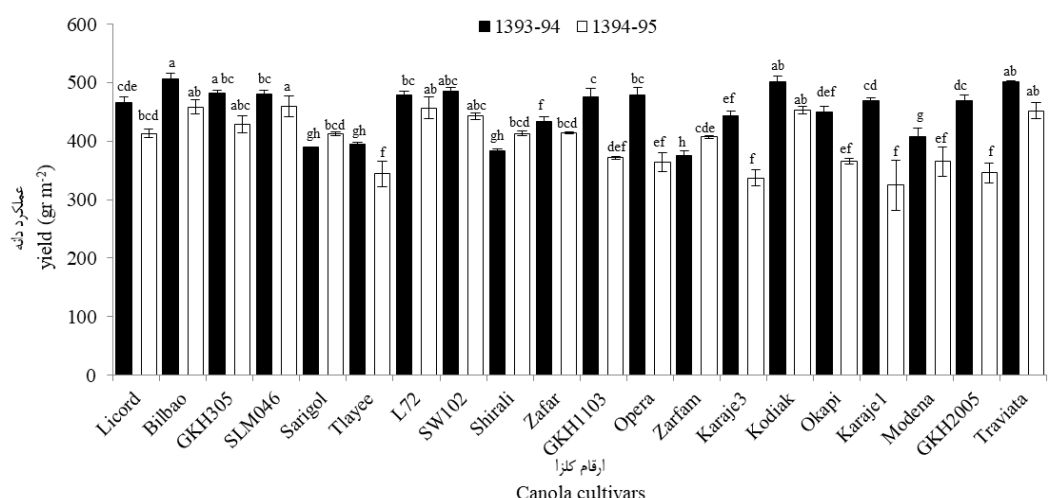
| صفت | 1 | 2 | 3 | 4 | 5 | 6 | 7 | 8 | 9 | 10 | 11 | 12 | 13 | 14 |
|---------------------|---------------------|---------------------|---------------------|---------------------|----------------------|---------------------|---------------------|---------------------|---------------------|---------------------|--------------------|---------------------|--------|----|
| Y | 1 | | | | | | | | | | | | | |
| BY | 0.81** | 1 | | | | | | | | | | | | |
| PN | 0.78** | 0.51** | 1 | | | | | | | | | | | |
| SN | 0.64** | 0.65** | 0.53** | 1 | | | | | | | | | | |
| SW | 0.40** | 0.23 ^{ns} | 0.42** | 0.02 ^{ns} | 1 | | | | | | | | | |
| HI | 0.79** | 0.29 ^{ns} | 0.74** | 0.37** | 0.40** | 1 | | | | | | | | |
| EM | -0.09 ^{ns} | -0.01 ^{ns} | -0.13 ^{ns} | -0.26 ^{ns} | 0.28 ^{ns} | -0.13 ^{ns} | 1 | | | | | | | |
| Ssho | 0.50** | 0.42** | 0.33* | 0.47** | 0.12 ^{ns} | 0.35** | 0.02 ^{ns} | 1 | | | | | | |
| FIL | 0.66** | 0.46** | 0.81** | 0.45** | 0.31* | 0.59** | -0.24 ^{ns} | 0.09 ^{ns} | 1 | | | | | |
| DLAI _{max} | 0.31* | 0.23 ^{ns} | 0.16 ^{ns} | 0.29 ^{ns} | 0.13 ^{ns} | 0.23 ^{ns} | 0.16 ^{ns} | 0.77** | 0.02 ^{ns} | 1 | | | | |
| LAI _{max} | 0.53** | 0.63** | 0.29 ^{ns} | 0.54** | -0.13 ^{ns} | 0.22 ^{ns} | -0.25 ^{ns} | 0.23 ^{ns} | 0.29 ^{ns} | -0.09 ^{ns} | 1 | | | |
| K | -0.12 ^{ns} | -0.17 ^{ns} | -0.17 ^{ns} | -0.27 ^{ns} | -0.003 ^{ns} | -0.02 ^{ns} | 0.23 ^{ns} | -0.24 ^{ns} | 0.03 ^{ns} | -0.01 ^{ns} | -0.41** | 1 | | |
| RUE | 0.45** | 0.35** | 0.35** | 0.45** | 0.27 ^{ns} | 0.37* | -0.02 ^{ns} | 0.70** | 0.24 ^{ns} | 0.68** | 0.09 ^{ns} | -0.12 ^{ns} | 1 | |
| H | 0.63** | 0.68** | 0.47** | 0.68** | -0.06 ^{ns} | 0.33* | -0.37* | 0.45** | 0.042 ^{ns} | 0.28 ^{ns} | 0.82** | 0.33* | -0.34* | 1 |

Y عملکرد، BY عملکرد بیولوژیک، PN تعداد خورجین در بوته، SN وزن هزار دانه در خورجین، SW تعداد دانه در خورجین، HI شاخص برداشت، EM روز تا شروع ساقدهی، Ssho روز تا سبز شدن، FIL ضریب خاموشی نور، K کارایی مصرف نور، LAI_{max}= دوز تا شاخص سطح برگ حداکثر، RUE ضریب خاموشی نور، DLAI_{max}= میانگین سطح برگ حداکثر

عملکرد دانه و Traviata با میانگین عملکرد ۴۵۰/۳۱ گرم در متر مربع و کمترین میزان عملکرد متعلق به ارقام طالیه، Opera، کرج ۳، Okapi، Modena GKH-2005 و کرج ۱ با میانگین عملکرد ۳۴۹/۶۶ گرم در متر مربع بود (شکل ۱۰). جدول همبستگی صفات نشان می‌دهد که عملکرد همبستگی مثبت معنی‌داری با ماده خشک ($r=0.81^{**}$)، شاخص سطح برگ ($r=0.53^{**}$) و نیز روز تا رسیدن به حداکثر شاخص سطح برگ ($r=0.51^{**}$) و نیز کارایی مصرف نور (RUE) ($r=0.45^{**}$) داشت (جدول ۸). به طور کلی ارقامی که شاخص سطح برگ بالاتری داشتند و نیز زمان رسیدن به شاخص سطح برگ حداکثر، همزمان با تشعشع دریافتی بیش تر بود و همچنین از تشعشع دریافتی با کارایی بالاتر بهره‌مند شدند، عملکرد بالاتری داشتند.

عملکرد دانه

به طور کلی عملکرد دانه در سال اول بیشتر از سال دوم انجام آزمایش بود (شکل ۱۰). میانگین عملکرد ارقام در سال اول ۴۵۳/۸۰ گرم در متر مربع و در سال دوم ۴۰۱/۸۴ گرم در متر مربع بود. با توجه به شرایط آب و هوایی متفاوت دو سال تفاوت عملکرد دور از انتظار نبود. احتمالاً بخشی از کاهش عملکرد مرتبط با کاهش شاخص‌های رشد، از جمله سرعت رشد محصول، به دلیل کاهش تشعشع دریافتی بود (شکل ۶). بیشترین عملکرد در سال نخست انجام آزمایش متعلق به ارقام GKH- SW102، Kodiak، Bilbao 305 و Traviata با میانگین عملکرد ۴۹۵/۵۵ گرم در متر مربع و کمترین عملکرد متعلق به ارقام زرفام، ساری گل، طالیه، شیرالی و Modena با میانگین عملکرد ۳۷۰/۴۸ گرم در متر مربع بود (شکل ۱۰). بیشترین عملکرد در سال دوم انجام آزمایش متعلق به ارقام



شکل ۱۰- مقایسه میانگین عملکرد ارقام مختلف کلزا در دو سال زراعی ۱۳۹۳-۹۴ و ۱۳۹۴-۹۵

Figure 10- Mean comparison of different cultivars of canola in 2014-2015 and 2015-2016 growing seasons

نتیجه‌گیری

نتایج این تحقیق نشان داد که ارقام مختلف کلزا از لحاظ خصوصیات فیزیولوژیک با یکدیگر متفاوت بودند. این تفاوت‌ها سبب تفاوت در عملکرد گردید. ارقامی که تطبیق بهتر پدیده‌های فیزیولوژیک را با شرایط آب و هوایی منطقه داشتند، دارای عملکرد بهتری بودند. تشبع عامل تعیین‌کننده عملکرد بود و تطابق وقوع پدیده‌های فیزیولوژیک بهویژه شاخص سطح برگ با تشبع بیشتر موجب افزایش عملکرد گردید. دوره گل دهی (شروع تا پایان گل دهی) از مهم‌ترین مراحل فنولوژیک بود که به شدت تحت تأثیر شرایط محیطی (بهویژه تشبع) قرار داشت. همبستگی بالای دوره گل دهی با عملکرد ($r=0.66^{**}$) و نیز مهم‌ترین جزء عملکرد یعنی تعداد خورجین در بوته ($r=0.81^{**}$) گویای اهمیت این دوره در تعیین عملکرد کلزا در منطقه بود. ارقام از لحاظ شاخص‌های رشد با یکدیگر

متفاوت بودند. شاخص سطح برگ بیشتر و نیز انطباق زمان وقوع حداکثر شاخص سطح برگ با تشبع دریافتی بیشتر تعیین‌کننده عملکرد دانه بود. همبستگی شاخص سطح برگ حداکثر با عملکرد ($r=0.53^{**}$) و عملکرد بیولوژیک ($r=0.63^{***}$) و نیز ارتباط قوی شاخص سطح برگ حداکثر با تعداد دانه در خورجین ($r=0.54^{***}$) گویای اهمیت این شاخص فیزیولوژیک می‌باشد. همچنین همبستگی قوی بین حداکثر تجمع ماده‌ی خشک و عملکرد دانه وجود داشت. (یعنی $r=0.81^{**}$). بین RUE و روز تا رسیدن به شاخص سطح برگ حداکثر، همبستگی قوی و معنی‌داری وجود داشت ($r=0.68^{***}$), ارقامی که وقوع شاخص سطح برگ حداکثر آن‌ها با تشبع خورشیدی بیشتر همراه بود دارای کارایی مصرف نور بالاتر و در نتیجه تجمع ماده‌ی خشک حداکثر بالاتر بودند.

References

1. Ahmadi, M. Investigation of physiological aspects of growth indices and yield for canola. 2013. Zeitung Magazin. Islamic Republic of Iran. Ministry of Agriculture-Jahad 215: 57-61. (in Persian).
2. Allen, E. J. and Morgan, D. G. 2009. A quantitative analysis of the effects of nitrogen on the growth, development and yield of oilseed rape. Journal of Agricultural Science 78: 315- 324.
3. Attarbashi, M. R., Galeshi, S., Soltani, A., and Zinali, E. 2002. Relationship of phenology and physiology with grain yield in wheat under rainfed condition. Iranian Journal of Agriculture Science 2: 21-27. (in Persian).
4. Azizi, M., and Arvin, P. 2007. Difference and radiation use efficiency in spring cultivars of the oilseed. Electronic Journal of Crop Production 4: 35-50. (in Persian).
5. Azizi, M., Soltani, A., and Khavari khorasani, S. 2000. Brassica oilseeds (production). Iranian Academic Center for Culture and Research (ACECR). Mashhad.230p. (in Persian).
6. Baradaran, R., Majidi, E., Darvish, F., and Azizi, M. 2006. Study of correlation relationships and path coefficient analysis between yield and yield components in rapeseed (*Brassica napus L.*). Iran Journal of Agricultural Sciences Islamic Azad University. 4: 811-819. (in Persian).
7. Berry, M. P., and Spink, J. H. 2006. A physiological analysis of oilseed rape yield, past and future (review). Journal of Agricultural Science. Cambridge. 199: 381-392.
8. Campbell, C. A., Davidson, H. R., and McGain, T. N. 2003. Deposition of nitrogen and soluble sugars in Manitou spring wheat as influenced by N fertilizer, temperature and duration of moisture stress. Canadian Journal of Plant Science 63: 73-90.
9. Carter, C. T., Brown, L. S., and Ungar, I. A. 2003. Effect of temperature regimes on germination of dimorphic seeds of Atriplex prostrate. Biologia Plantarum 47: 269-272.
10. Clarke, J. M., and Simpson, G. M. 2008. Growth analysis of *Brassica napus* CV. Tower. Canadian Journal of Plant Science 58: 587-595.
11. Etesami, M. 2007. Evaluation of the effect of some physiological traits on yield barley (*Hurdeum Vulgare L.*) genotypes yield. MSc Thesis. Agriculture and Resources Science University of Gorgan.78p. (in Persian).
12. Faraji, A. 2005. Study on yield, Agronomic characters and traits correlation of eighteen spring canola cultivars in Gonbad Area. Seed and Plant 3: 385-398.
13. Felent, F., Kiniry, J. R., Board, J. E., Westgate, M. E., and Reicosky, D. C. 1996. Row spacing effects on light extinction coefficient of corn, sorghum, soybean and sunflower. Agronomy Journal 88: 185-190.
14. Gabrielle, B., Denoroy, P., Goose, G., Justes, E., and Andersen, M. N. 1998. A model of leaf area development and senescence for winter oilseed rape. Field Crops Research 57: 209-222.
15. Gardner, F. P., Pearce R. B., and Mitchell R. L. 2005. Physiology of Crop Plants. Iowa State University Press. USA. 421 pp.
16. Habekotté, B. 2007. Evaluation of seed yield determining factors of winter oilseed rape (*Brassica napus L.*) by means of crop growth modeling. Field Crops Research 54: 137-151.
17. Hey, R., and Porter, J. 2006. The Physiology and Crop yield. Blackwell publishing.

18. Hosseinzadeh, M. H., Esfahani, M., Rabiei, M., and Rabiei, B. 2008. Effect of row spacing on light interception, grain yield and growth indices of rapeseed (*Brassica napus* L.) cultivars as second crop following rice. Iranian Journal of Crop Sciences 3: 281-302. (in Persian).
19. Justes, E., Denoroy, P., Gabrielle, B., and Gosse, G. 2000. Effect of crop nitrogen status and temperature on the radiation use efficiency of winter oilseed rape. European Journal of Agronomy 13: 165-177.
20. Kemanian, A. R., Stockle, C. O., and Huggins, D. R. 2004. Variability of barley radiation use efficiency. Crop Science 44: 1662-1672.
21. Lebaschy, M. H., and Sharifi Ashour Abadi, E. 2004. Application of physiological growth indices for suitable harvesting of *Hypericum perforatum*. Pajouhesh and Sazandegi 65: 65-75. (in Persian).
22. Lucas, B., Slafer, A., and Otegui, E. 2003. Seed dry weight response to source-sink manipulations in wheat, maize and soybean: a quantitative reappraisal. Field Crops Research 86: 131-146.
23. Manaffe, W. F., and Kloepper, J. W. 2004. Application of plant growth promoting rhizobacteria in sustainable agriculture. Crop Science 35: 150-164.
24. Miralles, D. J., Ferro, B. C., and Slafer, G. A. 2011. Developmental responses to sowing date in wheat, barley and rapeseed. Field Crops Research 71: 211-223.
25. Nabavi, A. 1998. The Effect of Planting Date on Yield and Components of Canola in Mashhad condition. MSc Thesis. Mashhad Ferdowsi University. (in Persian).
26. Nazeri, P., Khashan, A., Khavazi, K., Ardakani, M. R., and Mirakhori, M. 2012. Effect of use microbial zinc granulated phosphorous bio fertilizer on growth indices of bean. Iranian Journal of Agronomy and Plant Breeding 3: 111-126. (in Persian).
27. Ouzuni Douji, A. A., Esfahani, M., Samizadeh Lahiji, H. A., and Rabiei, M. 2008. Effect of planting pattern and plant density on growth indices and radiation use efficiency of apetalous flowers and petalled flowers rapeseed (*Brassica Bapus* L.) cultivars. Iranian Journal of Crop Science 9: 400-328. (in Persian).
28. Rahimian mashhadi, H., and Banayane-Aval, M. Biological Control of Weeds. 2006. Iranian Academic Center for Education, Culture and Research, Mashhad.116p. (in Persian).
29. Rodi, D., Rahmanpour, S., and Javidfar, F. 2003. Canola. Seed and plant improvement institute of Karaj, Iran. 53p. (in Persian).
30. Sharma, A. K. 2003. Biofertilizers for sustainable agriculture.1st edition. Jodhpur: Agrobios, India. 456p.
31. Sinclair, T. R., and Muchow, R. C. 1999. Radiation use efficiency. Advances in Agronomy 35: 215-265.
32. Soltani, A. 2005. Determination of effective parameters on accumulation and distribution nitrogen on chickpea. Research design reported. The University Agricultural Science and Natural Resources of Gorgan. 120 p. (in Persian).
33. Soltani, A., Robertson, M. J., Torabi, B., Yousefi Daz, M., and Sarparast, R. 2006b. Modelling seedling emergence in chickpea as influenced by temperature and sowing depth. Agricultural and Forest Meteorology 138: 156-167.
34. Sylvester-Bradley, R., and Makepeace, R. J. 1984. A code for stages of development in oilseed rape (*Brassica napus* L.). Aspects of Applied Biology 6: 398-419.
35. Tahmasebzahe, H., Khodabande, N., Madani, H., and Farahani, I. 2009. Investigation of growth analysis of spring safflower and its effect on yield in Arak condition. New Finding in Agriculture 2: 136-154. (in Persian).
36. Thurling, N. 1974. Morphophysiological determinants of yield in rapeseed (*Brassica campestris* and *Brassica napus*). II. Yield components. Australian Journal of Agricultural Research 25:711-721.
37. Vanosterom, E. J., Oleary, G. J. Caberry, P. S., and Craufurd, P. Q. 2007. Growth, development, and yield of tillering pearl millet. III. Biomass accumulation and partitioning. Field Crops Research 79: 85-106.
38. Yano, T., Aydin, M., and Haraguchi, T. 2007. Impact of climate change on irrigation demand and crop growth in a Mediterranean environment of Turkey. Sensors 7: 2297-2315.
39. Zamiri, M. A. 2009. Investigation of the effect of Planting dare on growth, Yield and Components three Cultivars of Canola in Dezful Condition. MSc Thesis. Islamic Azad University. Dezful Branch. 141p. (in Persian).
40. Zia, S., and Khan, M. A. 2004. Effect of light, salinity and temperature on seed germination of *Limonium stocksii*. Canadian Journal of Botany 84: 151-157.



Investigation the Physiological Traits Associated with Canola (*Brassica napus* L.) Genotypes Yield Improvement

A. Foroughi^{1*}, A. Biabani², A. Rahemi Karizaki³, Gh. A. Rassam⁴

Received: 14-04-2017

Accepted: 18-09-2018

Introduction: Canola (*Brassica napus* L.) is one of the most important oil crops in the world. It has placed in third rank after soybean and palm and has the fastest of growth rate among oil seed in recent decades too. Canola yield was 1592 and 1567 kg.ha⁻¹ in Iran and the world in 2003, respectively, however it has increased to 2125 and 2043 kg.ha⁻¹ in Iran and the world in 2014, respectively. Crop physiologist should investigate the important physiological parameters which in the past have increased yield and can help to increase the quality and quantity of crop yield in the future. Therefore, the current study was carried out to evaluate the physiological traits associated with canola (*Brassica napus* L.) genotypes yield improvement.

Materials and Methods: Experiment was conducted as randomized complete block design with four replications at Higher Education Complex of Shirvan during growing seasons 2014-2015 and 2015-2016. Treatments were included 20 cultivars and lines of rapeseed. The record of phonological stages was done based on Sylvester-Bradley (1984)'s method. Before the plants showed elongation. Aboveground biomass and leaf area index (LAI) were measured from destructive sampling and it has been continuing at intervals of 6 to 10 d until physiological maturity. The ratio intercepted photosynthetic active radiation (PAR) was obtained by measuring of radiation at the top and bottom of the canopy with a Ceptometer (ACCUPAR model LP-80). Light was measured just before each destructive sampling between the hours of 12 to 14 on clear days. To calculate the daily cumulative solar active radiation we used RLY- calc program (Soltani, 2011). In order to investigation of growth indices, we have divided the varieties to three group based on cluster analysis and is select a variety as group representative. The groups are included high yield (Bilbao), medium yield (Karaje 3) and low yield (Sarigol).

Results and Discussion: Results indicated that there were significant differences among studied varieties in terms of phenological traits. So that Sarigol, Talayee, Shirali, Zafar and Zarfam were achieved earlier than others to physiological maturity. Positive and significant correlation of flowering duration with yield and the number of pod plant⁻¹ has showed its importance in determination of yield. Positive and significant correlation among flowering duration with yield ($r=0.66^{**}$) and the number of pod per plant ($r=0.88^{**}$) showed its importance in determination of yield. Also, the most important of stage at making yield was affected by environmental conditions such as temperature, radiation and rainfall. LAI for Bilbao was higher than Sarigol and Karaje 3. Also, Sarigol was achieved maximum LAI earlier than two other varieties. There was strong correlation between yield and maximum dry matter accumulation ($r=0.81^{**}$). The synchronization of maximum LAI with more solar radiation was much more important to achieve maximum yield. In the first year of experiment, crop growth rate (CGR) and relative growth rate (RGR) were higher than second. There was more solar radiation in first year that it was increased growth indices. The average extinction coefficient of light (KPAR) is estimated 0.70 and 0.72 in the first and second year of experiment respectively. In the first year of experiment, KPAR was varied between 0.65 (Shirali) to 0.76 (Modena and GKH-2005). In the second year, the highest and lowest extinction coefficient was belonged to the varieties Zafar (0.80) and Karaje 3 (0.63) respectively. The average of radiation use efficiency (RUE) is estimated between 3.8 and 3.6g MJ .m⁻² in the first and second year respectively. Reducing light use efficiency in the second year can be probably because of obvious difference of weather between two years especially decreased of radiation. In other words, more scattered radiation in the second year than first year can be a major reason for this difference. In general, grain yield in the first was more than the second year of the experiment. The average yield of cultivars in the first and second year was 453.8 g.m⁻² and 401.8 g.m⁻²

1- Former Ph.D. student of Crop Physiology, Department of Plant Production, Faculty of Agriculture, Gonbad Kavous University

2- Associate Professor of Crop Physiology, Department of Plant Production, Faculty of Agriculture, Gonbad Kavous University

3- Assistant Professor of Crop Physiology, Department of Plant Production, Faculty of Agriculture, Gonbad Kavous University

4- Associate Professor of Crop Ecology, Department of Plant production, Higher Education Complex of Shirvan

(*- Corresponding Author Email: abbasfrooghi@yahoo.com)

respectively. The highest yield in the first year belonged for Bilbao, Kodiak, SW102, GKH-305 and Traviata with the mean 495.5 g.m^{-2} and the lowest yield related to Zarfam, Sarigol, Talaei, Shiraly and Modena with the average amount of 370.5 g.m^{-2} . The highest yield in the second year belonged to Bilbao, GKH-305, SLM046, L72, SW102, Kodiak and Traviata with the average amount of 450.3 g.m^{-2} and the lowest yield belonged to cultivars Talayeh, Opera, Karaj 3, Okapi, Modena, GKH-2005 and Karaj 1 with an average yield of 349.7 g.m^{-2} . In general, cultivars with a higher LAI, as well as whose their maximum LAI coincided with higher radiation input had higher yield.

Conclusions: It can be concluded the importance of the synchronization maximum leaf area index with more solar radiation. For canola if the maximum LAI is less than four can say that growth and yield will be limited due to lack of leaf area because LAI about four is sufficient to obtain about 90 % of solar radiation. Therefore in spite of second year, in the first year LAI was not limiting factor to achieve maximum biomass. Since maximum LAI of canola occurs in flowering stage, so higher leaf area index at this time was caused the cultivars use more solar radiation. In addition to maximum LAI, the coincidence maximum LAI with higher radiation input was important factor to achieve a higher yield as a result more dry matter accumulation.

Keywords: Extinction coefficient, Leaf area index, Phonological characteristics, Radiation use efficiency

به گزینی ژنوتیپ‌های نخود برای تحمل به سرما در شرایط کنترل شده

داود صادق‌زاده اهری*

تاریخ دریافت: ۱۳۹۶/۰۴/۲۱

تاریخ پذیرش: ۱۳۹۷/۰۷/۱۴

چکیده

در این مطالعه تحمل به بیخ‌زدگی ۳۳ ژنوتیپ نخود موجود در آزمایش‌های مقایسه عملکرد پیشرفتمناطق سردسیر دیم و سه ژنوتیپ شاهد (سارال، ILC 533 و جم) در اتفاق سرما و در قالب طرح لاتیس مریع با دو تکرار بررسی شد. کشت در هفتم مهر ماه انجام و تا مرحله شش هفتگی در بیرون از گلخانه نگهداری و تعداد بدراهای سبز شده آنها یادداشت گردید. گیاهچه‌ها به مدت یک ساعت در معرض سرمای ۱۵- درجه سانتی‌گراد قرار گرفته و سپس به مدت سه روز به اتفاق رشد (دماهی +۴ درجه سانتی‌گراد) منتقل شدند. گیاهان در شرایط گلخانه به مدت دو هفته و در دماهی ۲۰±۳ درجه سانتی‌گراد نگهداری و تعداد گیاهچه‌های باقیمانده ژنوتیپ‌ها ثبت شد. نتایج نشان داد که تفاوت معنی‌داری بین ژنوتیپ‌ها از نظر نسبت مقاومت به بیخ‌زدگی وجود داشت. لاین‌های شماره ۱۴ (Flip98-138C*SEL99TER85074)*SEL99TH15039 (Flip 00-84 C)، (۲۸) (Flip98-28C*Flip 98-22C)*ICCV2 (۱۲) (Flip 98-28C*Flip 98-22C)*ICCV2 (۱۲) با میزان بقای پنج درصد دارای کمترین تحمل در برابر بیخ‌زدگی بودند. جمع‌بندی نتایج ضمن تأیید وجود منابع ژنتیکی متتحمل به سرما در ژرمپلاسم موردنی مطالعه، نشان داد که امکان دسترسی به ژنوتیپ‌هایی با تحمل به سرمای بیشتر از رقم سارال به عنوان اولین رقم متتحمل به بیخ‌نیان، جهت کشت پاییزه در مناطق سردسیر دیم وجود دارد.

واژه‌های کلیدی: رقم سارال، دیم، گیاهچه، لاین، نسبت مقاومت به بیخ‌زدگی

و غیره از جمله مناطقی هستند که زراعت نخود دیم در آن‌ها از دیرباز مرسوم است (Sadeghzadeh-Ahari, 2015).

افزایش تولید نخود و پایداری آن در مناطق مختلف دیم کشور نیازمند ایجاد، شناسایی و معرفی ارقامی است که دارای ترکیبی از قابلیت تولید بالا و تحمل به تنفس‌ها باشند. آمار و گزارش‌های موجود، حاکی از کم بودن عملکرد نخود دیم (حدود ۵۰۰ کیلوگرم در هکتار) در این مناطق است (Anonymous, 2015 b). یکی از دلایل کم بودن عملکرد نخود دیم در این مناطق، در دسترس نبودن ارقام متتحمل به سرما و کشت بهاره آن است. در مناطق سردسیری دمای حداقل مطلق در زمستان به کمتر از ۶-۱۲ درجه سانتی‌گراد می‌رسد و کشت پاییزه نخود در این نواحی، باعث بروز خسارت کامل به گیاه در اثر سرما می‌شود (Saeed et al., 2010). نتایج مطالعات نشان داده است که، کشت پاییزه ارقام متتحمل به سرما می‌تواند محصول نخود در واحد سطح را تا دو برابر افزایش دهد (Nezami et al., 2010; Ozdemir and Karadavut, 2003).

مرور منابع نشان می‌دهد که اغلب مطالعات مربوط به ارزیابی و گزینش ژنوتیپ‌های متتحمل به بیخ‌زدگی در نخود تحت شرایط طبیعی (مزروعه) انجام شده ولی تنوع مکانی و زمانی در بروز سرما تحت چنین شرایطی ممکن است منجر به اخذ نتایج متفاوتی شود. به نظر پژوهشگران، استفاده از روش به گزینی در محیط‌های کنترل شده از

مقدمه

نخود (*Cicer arietinum* L.) در بین جویبات یکی از مهم‌ترین گیاهان زراعی کشور محسوب می‌شود (-Eradatmand, 2009; Parsa and Bagheri, 2008). مطابق آمار موجود، سطح زیر کشت نخود در کشور با نوساناتی در برخی سال‌ها بین ۵۵۰-۹۰۰ هزار هکتار است که بیش از ۹۰٪ آن به صورت دیم است (Anonymous, 2015 a).

اقلیم‌های سرد و فراسرد، بیش از ۶۳٪ از سطح کشور را شامل می‌شوند (Khalili et al., 1991) و بیش از ۶۰٪ زراعت دیم ایران در مناطق سردسیر و کوهستانی انجام می‌گیرد. وجود سرماهای شدید زیر صفر درجه سانتی‌گراد که در برخی سال‌ها حتی به -۲۵ درجه سانتی‌گراد نیز می‌رسد به همراه دوره یخبندان طولانی در سال از خصوصیات مهم اقلیمی در این مناطق است. استان‌های واقع در مناطق سردسیر کشور نظیر کردستان، آذربایجان‌های شرقی و غربی، خراسان (رضوی و شمالی)، مناطقی از کهگیلویه و بویر احمد، لرستان

۱- دانشیار، موسسه تحقیقات کشاورزی دیم کشور، سازمان تحقیقات، آموزش و ترویج کشاورزی، مراغه، ایران

(Email: dsadeghzade@yahoo.com

DOI: 10.22067/gsc.v17i1.66071

(*)- نویسنده مسئول:

شاهد های سارال، جم و نیز یک شاهد حساس به سرما (لین ILC533 به عنوان شاهد استاندارد) شرکت داشتند.

در هر تکرار، تعداد ۱۰ عدد بذر سالم از هر ژنوتیپ با قارچ کش بنومیل^۱ (به نسبت یک و نیم در هزار) ضدعفونی شده و در عمق پنج سانتی متری خاک (عمق توصیه شده برای کشت نخود دیم) در جعبه های مخصوص پلاستیکی ($100 \times 80 \times 25$ سانتی متر) کشت شدند. خاک مورد استفاده برای کشت خاک معمولی مزرعه (بافت کلی لو姆، pH=7.3، درصد مواد آلی برابر ۰/۸ و هدایت الکتریکی برابر ۰/۸۵ دسی زیمنس بر متر) بوده و بلافاصله پس از کاشت اقدام به آبیاری بستر های کشت شد. زمان کاشت هفتم مهر ماه ۱۳۹۳ بود. به منظور شبیه سازی شرایط طبیعی رشد و نمو پاییزه و القای خوسرمایی در نتیجه کاهش دما و فتوپریود رایج در پاییز، جعبه های کاشت در بیرون از کلخانه نگهداری (Izadi-Darbandi *et al.*, 2016) و هر هفته یک بار اقدام به آبیاری آنها شد.

پس از رسیدن گیاهان آزمایشی به سن شش هفتگی اقدام به یادداشت برداری از تعداد بذور سبز شده گردیده و جعبه های کاشت به شرایط کنترل شده (اتاک سرما) منتقل شدند. به منظور ایجاد هستک بین و جلوگیری از فراسرد شدن گیاهچه ها اقدام به پاشش قشر نازکی از محلول حاوی باکتری های فعال مولد هستک بین (INAB^۲) بر سطح گیاهان در دمای -۲ درجه سانتی گراد شد (Izadi-Darbandi *et al.*, 2016). دمای اتاک سرما تا رسیدن به دمای ۱۵ درجه سانتی گراد با روند کاهشی دو درجه در ساعت تنظیم و پس از رسیدن به دمای مذکور، گیاهان به مدت یک ساعت در اتاک نگهداری شدند. سپس گیاهچه ها به مدت سه روز در دمای چهار درجه سانتی گراد نگهداری شده و بعد از آن به مدت دو هفته در شرایط دمایی ۲۰±۳ درجه سانتی گراد قرار گرفتند. در پایان اقدام به یادداشت برداری از تعداد گیاهان باقیمانده در ژنوتیپ های آزمایشی گردید.

در این بررسی با یادداشت برداری از تعداد بذور سبز شده قبل از تیمار سرما (P₁) و تعداد گیاه باقیمانده پس از تیمار سرما (P₂) و با استفاده از حاصل نسبت P₂ بر P₁ نسبت مقاومت به بین زدگی (FRR) ژنوتیپ های آزمایشی محاسبه شد (Wery, 1990). از نرم افزار MSTAT-C برای تجزیه آماری داده ها استفاده شد. برای مقایسه میانگین ها از آزمون های کمترین اختلاف معنی دار آماری (LSD) در سطح احتمال یک و پنج درصد استفاده شد. بر مبنای روش های مورد استفاده توسط سایر پژوهشگران، ژنوتیپ هایی که نسبت تحمل به سرمای آنها $0.91-1.00 / 0.80-0.90$ بود به ترتیب در گروه خیلی مقاوم، مقاوم و متحمل دسته بندی شدند (Farayedi, 2007; Yazdi Samadi *et al.*, 2004).

1- Benomyl 50% WP

2- Ice Nucleation Active Bacteria

3- Frost Resistance Ratio (FRR)

محدودیت های فصلی جلوگیری کرده، سبب صرفه جویی در زمان شده و ضمن حذف عوامل ناخواسته، دقیق مطالعات را افزایش می دهد (Keykhah Akbari *et al.*, 2012; Sadeghzadeh-Ahari and Farayedi, 2007) ارزیابی تحمل به تنش سرما در گیاهچه های ۲۱ روزه پنج ژنوتیپ نخود در شرایط کنترل شده نشان داد که با کاهش دما، میزان خسارت به غشای سلول افزایش می یابد (Fathi *et al.*, 2016). بررسی تحمل به بین زدگی هفت ژنوتیپ نخود تحت شرایط کنترل شده (اتاک سرما) در دماهای مختلف (-۱۵، -۱۰، -۵ و -۲۰) و در سنین مختلف گیاهچه های (۱، ۳ و ۶ هفتگی) نشان داد که تفاوت بسیار معنی داری بین ژنوتیپ های آزمایشی از نظر نسبت تحمل به بین زدگی وجود داشته و بیشترین خسارت بین زدگی در مرحله شش هفتگی گیاهان رخ می دهد (Sadeghzadeh-Ahari, 2015). نتایج مطالعه روی گیاهچه های حاصل از کشت ریز نمونه محور جنینی به همراه تک پله سه ژنوتیپ نخود نشان داد که بیشترین درصد خسارت بین زدگی (۱۰۰ درصد) در دمای -۱۶ درجه سانتی گراد حادث می گردد (Keykhah Akbari *et al.*, 2012).

تحقیقات انجام شده در ایستگاه های تحقیقاتی مناطق سردسیر دیم منجر به شناسایی برخی ژنوتیپ های متتحمل Sadeghzadeh-Ahari, 2011؛ ژنوتیپ های مذکور منحصرأ تحت شرایط طبیعی (مزرعه) مورد به گزینی قرار گرفته اند ولی به دلیل شرایط متغیر آب و هوایی از قبیل تغییر در شروع بارندگی های اول فصل، تغییر در تعداد روزهای یخبندان در مناطق و طی سال های مختلف و نیز گاهآ و وجود یا عدم وجود پوشش برفی در منطقه، قاطعیتی در تعیین لاین های متتحمل به بین زدگی وجود ندارد. این بررسی به منظور تکمیل مطالعات مزرعه های و در نهایت شناسایی ژنوتیپ های متتحمل به بین زدگی و مناسب کشت در مناطق سردسیر دیم کشور انجام گردید.

مواد و روش ها

به منظور بررسی اثر سرمای -۱۵ درجه سانتی گراد بر ژنوتیپ های نخود دیم در مرحله گیاهچه های (با سن شش هفتگه) این مطالعه در سال زراعی ۱۳۹۳-۹۴ تحت شرایط کنترل شده (اتاک سرما) در قالب طرح لاتیس مربع با دو تکرار در ایستگاه تحقیقات کشاورزی دیم مراغه (طول جغرافیایی ۴۶ درجه و ۱۵ دقیقه شرقی، عرض جغرافیایی ۳۷ درجه و ۱۷ دقیقه شمالی، ارتفاع از سطح دریا ۱۷۲۰ متر) اجرا شد. در این مطالعه ۳۳ ژنوتیپ نخود دیم که در آزمایش های پیشرفتی مقایسه عملکرد دانه در ایستگاه های مناطق سردسیر دیم (مراغه، ارومیه، سمندج و قیدار) تحت بررسی بودند به همراه

تحمل به سرما در نخود موجود است که با نتایج پژوهش حاضر مطابقت داشته و آن را تأیید می‌کند (Heydarvand *et al.*, 2011; Kanouni *et al.*, 2009; Zare-Mehrjerdi *et al.*, 2005; Naderi *et al.*, 2013; Croser *et al.*, 2003)

نتایج و بحث

نتایج نشان داد که تفاوت آماری معنی‌داری بین ژنوتیپ‌های آزمایشی از نظر تحمل به یخ‌زدگی (FRR) وجود داشت (جدول ۱). این امر حاکی از وجود تنوع ژنتیکی در ژرمپلاسم مورد بررسی می‌باشد. گزارش‌هایی در خصوص وجود تنوع ژنتیکی در مورد صفت

جدول ۱- تجزیه واریانس صفت نسبت مقاومت به یخ‌زدگی در ژنوتیپ‌های آزمایشی نخود تحت شرایط اتاق سرما

Table 1- Analysis of frost resistance ratio in chickpea genotypes under cold room condition

| منبع تغییرات S.O.V | درجه آزادی d.f | میانگین مربعات MS | |
|-------------------------------|-------------------|----------------------|-------|
| تکرار | 1 | 0.053 ns | |
| ژنوتیپ | 35 | 0.15** | |
| بلوک‌های داخل تکرار | 10 | 0.08 | |
| موثر | 25 | 0.050 | |
| خطای آزمایشی | بلوک کامل | 35 | 0.055 |
| Error | داخل بلوک | 25 | 0.045 |
| سودمندی نسبی نسبت به طرح بلوک | | 108.3 | |
| Relative usefulness to RCBD | C.V% | 58.8 | |
| درصد ضریب تغییرات | | | |

ns= معنی‌دار در سطح اختصاری ۱٪، ns= فقد اختلاف معنی‌دار آماری

** Significant at 1% probability level, ns= not significant

معنی‌دار آماری نشان داد که در مقایسه با رقم شاهد سارال تعداد ۱۵ ژنوتیپ (حدود ۴۲ درصد از ژنوتیپ‌های آزمایشی) از نظر تحمل به یخ‌زدگی اختلافی نداشتند و متقابلاً تعداد ۵ و ۱۶ ژنوتیپ به ترتیب در سطوح احتمال ۵٪ و ۱٪ با رقم سارال اختلاف آماری معنی‌داری داشته و در کلاس‌های مجزایی گروه‌بندی شدند (جدول ۲).

نتایج این پژوهش نشان داد که حدود ۳۱٪ از ژنوتیپ‌های آزمایشی از نسبت مقاومت به یخ‌زدگی بالاتر از ۰/۵ (درصد بقای بیشتر از ۵۰ درصد) برخوردار بوده و بر مبنای روش مورد استفاده در Farayedi, 2007; Yazdi (Samadi *et al.*, 2004) دو ژنوتیپ شماره ۱۴ و ۲۸ با نسبت مقاومت به یخ‌زدگی ۱-۹۱٪ (بقای ۹۱-۱۰۰٪ درصد) در گروه ژنوتیپ‌های خیلی مقاوم و ژنوتیپ شماره ۱۱ در گروه مقاوم جای داشته و ژنوتیپ شماره ۱۷ در گروه متحمل به یخ‌زدگی قرار گرفت (جدول ۲ و شکل ۱). بر این مبنای حدود ۱۱ درصد از ژنوتیپ‌های تحت بررسی از تحمل نسبتاً مناسبی در برابر تنش یخ‌زدگی اعمال شده برخوردار بودند. بر اساس ماهیت ژرمپلاسم مورد مطالعه، مرحله رشدی، شدت و مدت اعمال تنش سرما، محیط آزمایشی (مزروعه و یا کنترل شده)، نتایج مختلفی از بررسی میزان تحمل به سرما و یخ‌زدگی در ژرمپلاسم نخود گزارش شده است. نتایج یک بررسی در شرایط مزرعه‌ای روی ۱۰ ژنوتیپ نخود تیپ کابلی نشان داد که ۱۰٪ درصد از ژنوتیپ‌های مورد مطالعه از نوع مقاوم و ۷٪ از نوع متحمل به

مقایسه میانگین‌ها نشان داد که ژنوتیپ‌های شماره ۱۴، ۱۳، ۲۸، ۱۱ و ۱۷ به ترتیب با نسبت مقاومت به یخ‌زدگی یک (صد درصد بقاء)، ۰/۹۸، ۰/۸۹، ۰/۷۵ و ۰/۷۰ از تحمل به سرما می‌بیشتری تحت شرایط این بررسی برخوردار بوده و در مقایسات میانگین به روش LSD (سطح احتمال پنج درصد) در بالاترین گروه آماری قرار گرفتند. رقم سارال در سال ۱۳۹۲ به عنوان اولین رقم مقاوم به یخ‌بندان در کشور معرفی گردید و نتایج پژوهش‌های انجام شده نشان داده است که ضمن تحمل به سرما پاییزه و زمستانه موجود در مناطق سردسیر دیم کشور در زیر پوشش برفی، ژنوتیپی با تحمل مناسب در برابر سرما بدون پوشش برف (سرما تا ۱۸ درجه سانتی‌گراد) است (Sadeghzadeh-Ahari, 2015; Sadeghzadeh-Ahari, 2013). نتایج پژوهش حاضر نیز حاکی از تحمل نسبتاً مناسب رقم سارال در برابر تنش یخ‌زدگی بود.

نتایج همچنین نشان داد که ژنوتیپ‌های شماره ۱۴ و ۲۸ در در برابر تنش یخ‌زدگی تحمل بیشتری در مقایسه با رقم سارال دارند. وجود منابع ژنتیکی متحمل به سرما در نخود توسط سایر پژوهشگران نیز گزارش شده است (Sedaghat Khahi *et al.*, 2011; Nezami and Bagheri, 2006; Kanouni *et al.*, 2009; Farayedi, 2007; Porsa *et al.*, 2016) که در راستای نتایج این پژوهش بوده و آن را تأیید می‌کند.

گروه‌بندی ژنوتیپ‌های آزمایشی بر مبنای آزمون کمترین اختلاف

گرفته و از تحمل کمتری نسبت به آنها برخوردار بودند (جدول ۲). مطالعات انجام شده توسط سایر پژوهشگران نیز حاکی از تحمل کم ژنوتیپ ۵۳۳ ILC به یخ‌زدگی است (Naderi *et al.*, 2013; Kanouni *et al.*, 2009; Saeed *et al.*, 2010; Kanouni, 2004; Sadeghzadeh-Ahari, 2015). همچنین گزارش شده است که نخود توده بومی قزوین در کشت زودهنگام پاییزه حساس به تنش سرمایی بوده و از تحمل به یخ‌زدگی مطلوبی برخوردار نیست (Saeed *et al.*, 2010; Saghfi *et al.*, 2013).

سرما بودند ولی ژنوتیپ خیلی مقاوم به سرما وجود نداشت (Farayedi, 2007). صداقت‌خواهی و همکاران (Sedaghat Khahi *et al.*, 2011) در بررسی ۸۱ ژنوتیپ متحمل به سرما در منطقه مشهد نشان دادند که درصد بقای ۷۳ درصد از نمونه‌ها بیش از ۷۵ درصد بود.

شاهد حساس به سرما (ILC) در این بررسی دارای نسبت مقاومت به یخ‌زدگی ۰/۱۳ بوده و پس از آن ژنوتیپ‌های شماره ۲۶، ۴، ۳۵ (توده بومی قزوین)، ۱۲ و ۳۶ (رقم کاکا) ضمن داشتن تفاوت معنی‌دار آماری با سایر ژنوتیپ‌ها، در پایین‌ترین گروه آماری قرار

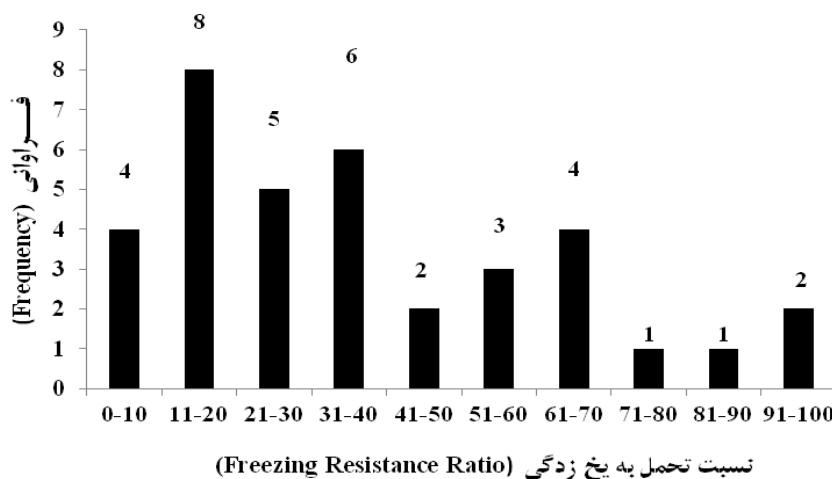
جدول ۲- مقایسه میانگین نسبت مقاومت به یخ‌زدگی ژنوتیپ‌های نخود تحت شرایط کتربل شده

Table 2- Mean comparisons of frost resistance ratio in chickpea genotypes under cold room condition

| شماره NO. | ژنوتیپ Genotype | نسبت مقاومت به یخ‌زدگی Frost Resistance Ratio |
|---------------|---|--|
| 1 | (S 00787*Flip 98-28C)* ILC 1929 | 0.250 e* |
| 2 | S 00791*Flip 98-23C)* ICCV2 | 0.392 d |
| 3 | Flip 98-131C*Flip 99-47C | 0.450 c |
| 4 | Flip 97-195C*Flip 97-23C | 0.100 e |
| 5 | Flip 98-128C*Flip 97-102C | 0.350 d |
| 6 | Flip 97-220C*Flip 98-178C | 0.222 e |
| 7 | Flip 98-131C*Flip 98-50C | 0.400 d |
| 8 | Flip 97-220C*Flip 98-178C | 0.579 c |
| 9 | Flip 98-130C* Lebanese market | 0.167 e |
| 10 | (Flip 97-81C*Flip 97-25C)*ICCV2 | 0.200 e |
| 11 | (Flip 97-149C*Flip 97-26C)* ICCV2 | 0.746 c |
| 12 | (Flip 98-28C*Flip 98-22C)* ICCV2 | 0.054 e |
| 13 | SARAL (Cold Tolerance Check) | 0.892 c |
| 14 | (Flip98-138C* SEL99TER85074)*SEL99TH15039 | 1.000 c |
| 15 | Flip98-138C*SEL99TH15039 | 0.153 e |
| 16 | Flip98-15C* S 98033 | 0.219 e |
| 17 | CA9783007*SEL99TER85534 | 0.700 c |
| 18 | UZ-6075*SEL99TER85581 | 0.650 c |
| 19 | (Flip98-52C*Flip98-12C)* SEL99TH15045 | 0.700 c |
| 20 | (S 00794*Flip 98-38C)*ILC 1929 | 0.400 c |
| 21 | Flip 98-130C*Flip 97-23C | 0.250 e |
| 22 | Flip 98-133C*Flip 98-117C | 0.208 e |
| 23 | Flip 97-131C*Gokce | 0.558 c |
| 24 | (ILC4291* Flip98-129C)*S 98008 | 0.190 c |
| 25 | FLIP 98-108C | 0.313 d |
| 26 | FLIP 97-118 C (Saeid) | 0.117 e |
| 27 | FLIP 00-75 | 0.675 c |
| 28 | FLIP 00-84 | 0.975 c |
| 29 | FLIP 02-85 | 0.512 c |
| 30 | Sel 96 th .11439 | 0.456 c |
| 31 | ILC 482 | 0.153 e |
| 32 | ILC 3279(Binalood) | 0.135 e |
| 33 | ILC 533(Cold Susceptible Check) | 0.132 e |
| 34 | JAM | 0.306 d |
| 35 | Ghazvin Local | 0.069 e |
| 36 | Kaka | 0.053 e |
| LSD 1% = 0.63 | | |
| LSD 5% = 0.46 | | |

* حرف d نشان‌دهنده تحمل کمتر از شاهد مقاوم به یخ‌زدگی (رقم سارال) در سطح ۱٪ LSD. حرف e نشان‌دهنده تحمل کمتر از شاهد مقاوم به یخ‌زدگی در سطح ۱٪ LSD و حرف c به معنی تحمل در سطح شاهد مقاوم به یخ‌زدگی (بدون اختلاف معنی‌دار) است.

*d letter indicates the tolerance less than the freezing tolerance of check (Saral) at LSD=0.05, e letter indicates the resistance less than the freezing tolerance of check (Saral) at LSD=0.01 and c letter indicates no significant difference with check (Saral).



شکل ۱- فراوانی نسبت تحمل به یخ‌زدگی ژنوتیپ‌های نخود در شرایط کنترل شده

Figure 1- Frost resistance ratio frequency histogram of chickpea genotypes under controlled condition

به ژنوتیپ‌های مقاوم‌تر از رقم سارال توصیه می‌شود. همچنین به دلیل تحمل نسبتاً مناسب رقم سارال در برابر تنفس یخ‌زدگی در مرحله شش هفتگی، توسعه کشت و کار پاییزه آن در مناطق سردسیر دیم که پس از بارندگی‌های پاییزه مناسب برای سبز شدن بذور به یکباره دما هوا به زیر صفر نزول می‌کند (مناطقی از استان‌های آذربایجان شرقی، آذربایجان غربی، کردستان، زنجان، همدان، اردبیل و غیره) توصیه می‌گردد.

نتیجه‌گیری

نتایج این مطالعه نشان داد که از نظر مقاومت به یخ‌زدگی در ژرم‌پلاسم اصلاحی تنوع وجود داشته و ژنوتیپ‌های شماره ۱۴ و ۲۸ به عنوان منابع ژنتیکی مقاوم‌تر از رقم سارال در برابر تنفس یخ‌زدگی بودند. بررسی‌های تکمیلی در زمینه مطالعه سازگاری و پایداری عملکرد دانه با استفاده از ژنوتیپ‌های منتخب در کشت پاییزه مناطق سردسیر دیم در کنار اطلاعات حاصل از این پژوهش جهت دستیابی

References

- Anonymous. 2015 a. Statistical information of agricultural crops production in Iran. Department of Statistics. Ministry of Jihad-e-Keshavarzi 1: 1-44. (in Persian).
- Anonymous. 2015 b. Survey of harvest area and crop production during 36 years (1977-2013). Department of Statistics. Ministry of Jihad-e-Keshavarzi 112-118. (in Persian).
- Croser, J. S., Clarke, H. J., Siddique, K. H. M., and Khan, T. N. 2003. Low-temperature stress: implications for chickpea (*Cicer arietinum* L.) improvement. Critical Reviews in Plant Sciences 22 (2): 185-219.
- Eradatmand-Asli, D., and Mehrpanah, H. 2009. Pulse Crops Production and Nitrogen Fixation. Islamic Azad University of Saveh. (in Persian).
- Farayedi, Y. 2007. Study on agronomic characteristics and cold hardiness in chickpea (*Cicer arietinum* L.) genotypes in autumn rainfed sowing condition. Seed and Plant Improvement Journal 23 (4): 489-503. (in Persian with English abstract).
- Fathi, E., Tahmasebi, I., and Teimoori, N. 2016. Electrolyte leakage and catalase and peroxidase activity in chickpea genotypes seedling responding to low temperatures. Agro Ecology Journal 12 (2): 25-34. (in Persian with English abstract).
- Heidarvand, L., Maali Amiri, R., Naghavi, M. R., Farayedi, Y., Sadeghzadeh, B., and Alizadeh, Kh. 2011. Physiological and morphological characteristics of chickpea accessions under low temperature stress. Russian Journal of Plant Physiology 58 (1): 157-163.
- Izadi-Darbandi, E., Nezami A., Hassanbeigy, R., and Janalizadeh Ghazvini, M. 2016. The effect of freezing stress on percentage of electrolytes leakage and survival of flixweed (*Descurainia sophia* L.) seedlings. Iranian Journal of Field Crops Research 14 (2): 369-379. (in Persian with English abstract).
- Kanouni, H., Khalily, M., and Malhotra, R. S. 2009. Assessment of cold tolerance of chickpea at rainfed highlands of Iran. American-Eurasian Journal of Agriculture and Environment Sciences 5 (2): 250-254.
- Kanouni, H. 2004. Study of cold tolerance in chickpea (*Cicer arietinum* L.) genotypes in fall sown nurseries. Seed and Plant Improvement Journal 20 (1): 89-99. (in Persian with English abstract).

11. Kanouni, H., Farayedi, Y., Sabaghpoor, S. H., Sadeghzadeh- Ahari, D., Shahab, M. R., Kamel, M., Saeid, A., Mahmoodi, A. A., Pezeshkpour, P., Norollahi, Kh., Hasanpour- Hosni, M., Mahdie, M., Bahrami Kamangir, S., Mahmoodi, F., Nemati-Fard, M., and Ghasemi, M. 2013. Saral, new chickpea variety to expand autumn sowing in highland cold areas of Iran. Research Achievements for Field and Horticulture Crops 2 (4): 265-276. (in Persian with English abstract).
12. Keykha Akhar, F., Bagheri, A., Moshtaghi, N., and Nezami, A. 2012. Selection for freezing tolerance in chickpea (*Cicer arietinum* L.) by in vitro culture. Iranian Journal of Field Crops Research 10 (2): 292-298. (in Persian with English abstract).
13. Khalili, A., Hojam, S., and Irannejhad, P. 1991. Extensive project of country water. Vol.4. Recognition of Iranian climatology, weather divisions. Ministry of Power publications. 274 pp. (in Persian).
14. Naderi, H., Shokrpoor, M., Asghari, A., Kanooni, H., and Esfandiari, A. 2013. Evaluation of cold tolerance in winter sowing of chickpea (*Cicer arietinum* L.) using morphological and phenological traits in Kurdistan. Iranian Journal of Pulses Research 4 (1):69-80. (in Persian with English abstract).
15. Nezami, A., Bagheri, A., Rahimian, H., Kafi, M., Nasiri Mahalati, M. 2007. Evaluation of freezing tolerance of chickpea (*Cicer arietinum* L.) genotypes under controlled conditions. Journal of Science and Technology of Agriculture and Natural Resources 10 (4): 257-269.
16. Nezami, A., and Bagheri, A. 2006. Preliminary evaluation of phenology, yield components and yield of fall chickpea genotypes in the Mashhad conditions. Agricultural Sciences and Technology Journal 20 (3): 71-80. (in Persian with English abstract).
17. Nezami, A., Sedaghatkhahi, H., Porsa, H., Parsa, M., and Bagheri, A. R. 2010. Evaluation of autumn sowing chickpea (*Cicer arietinum* L.) genotypes of cold tolerant under supplemental irrigation. Iranian Journal of Field Crops Research 8: 415-423. (in Persian with English abstract).
18. Ozdemir, S., and Karadavut, U. 2003. Comparison of the performance of autumn and spring sowing of chickpeas in a temperate region. Turk Journal of Agriculture and Forestry 27: 345-352.
19. Parsa, M., and Bagheri, A. R. 2008. Pulses. Mashhad Jihad-e- Daneshgahai Publ. (in Persian).
20. Porsa, H., Nezami, A., Bagheri, A. and Najibnia, S. 2016. Agronomic assessment of cold tolerant chickpea (*Cicer arietinum* L.) genotypes in fall sowing at Mashhad conditions. Iranian Journal of Pulses Research 7 (1): 37-53. (in Persian with English abstract).
21. Saeed, A., Darvishzadeh, R., Hovsepyan, H., and Asatryan, A. 2010. Tolerance to freezing stress in *Cicer* accessions under controlled and field conditions. African Journal of Biotechnology 9 (18): 2618-2626.
22. Saghi, S., Eivazi, A. R., and Qasimov, N. 2013. Assessing of chickpea (*Cicer arietinum* L.) genotypes to cold stress with different planting dates. International Journal of Agronomy and Plant Production 4 (8):1903-1909.
23. Sadeghzadeh-Ahari, D. 2011. Improving researches results of dryland pulses. Dryland Agricultural Research Institute publications. (in Persian).
24. Sadeghzadeh-Ahari, D. 2012. Improving researches results of dryland pulses. Dryland Agricultural Research Institute publications. (in Persian).
25. Sadeghzadeh-Ahari, D. 2015. Effect of freezing temperatures on different seedling ages of chickpea genotypes under controlled conditions. Seed and Plant Production Journal 31 (2): 161-172. (in Persian with English abstract).
26. Sadeghzadeh-Ahari, D., and Farayedi, Y. 2013. Response of chickpea (*Cicer arietinum* L.) advanced lines to no snow cover cold in fall planting. Seed and Plant Improvement Journal 29 (4): 711-727. (in Persian with English abstract).
27. Sedaghat Khahi, H., Parsa, M., Nezami, A., Bagheri, A., and Porsa, H. 2011. Evaluating of the morphological and phenological characteristics of cold tolerant chickpea (*Cicer arietinum* L.) genotypes at Entezary sowing in Mashhad conditions. Iranian Journal of Pulses Research 3 (1): 41-52. (in Persian with English abstract).
28. Singh, K. B. 1990. Winter chickpea: problems and potential in the Mediterranean region. Options Mediteranees 9: 25-34.
29. Zare-Mehrjerdi, M., Bagheri, A. R., and Vesal, S. R. 2005. Screening approach for cold tolerance screening in chickpea (*Cicer arietinum* L.). Proceedings of the first national pulse crops symposium of Iran. 441-444. (in Persian).
30. Yazdi Samadi, B., Majnoun Hosseini, N., and Peighambari, S. 2004. Evaluation of cold hardiness in lentil genotypes (*Lens culinaris* medik.) Seed and plant Improvement Journal 20 (1): 23-37. (in Persian with English abstract).
31. Wery, J. 1990. Adaptation to frost and drought stress in chickpea and implications in plant breeding.pages:77-85. In: M.C. Saxena, J. I. Cubero, J. Wery (Eds.). Present status and future prospects of chickpea crop production and improvement in the Mediterranean countries. Options Mediterranees Serie Seminars. No. 9. CHEAM. France.



Selectivity of Cold Tolerant Chickpea Genotypes under Controlled Condition (Cold room)

D. Sadeghzadeh-Ahari^{1*}

Received: 12-07-2017

Accepted: 06-10-2018

Introduction: Chickpea is the most important field crop among food legumes in Iran. According to the published statistic by agricultural ministry of Iran, cultivation area of chickpea varies between 550– 900 thousand hectares that more than of 90% them cultivated under dryland condition. More than 63% of country has cold and higher cold climates and more than 60% of drylands in Iran located in cold and highlands where temperature declines to -25°C in some years, with continues cold duration (more than 100 days per year). Reports show that the yield of chickpea is low in cold areas (about 500 kg.ha⁻¹) because of the spring planting and lack cold tolerant cultivars suitable for autumn planting. In cold regions that absolute minimum temperature in winter reaches under -6°C till -12°C, studies showed that it may be complete damage occurrence if chickpea planted in autumn. Studies showed that planting of cold tolerance varieties increased the yield of chickpea almost twice. Hence, screening chickpea germplasms for cold tolerance will help to release new cold tolerant cultivars. The literature review suggests that most studies related to the evaluation and screening of chickpea cold tolerance were done under natural conditions (field), but the spatial and temporal variation in the weather under such circumstances may lead to different results. Researchers reported that using from controlled condition for screening cold tolerance genotypes in chickpea germplasm would prevent seasonal restrictions, saving time and increasing the accuracy of studies while eliminating unwanted factors.

Materials and Methods: In order to study on cold tolerance of 33 Kabuli chickpea genotypes along with three controls (Saral, ILC 533 and Jam), this study carried out in square lattice design (6×6) with two replications under controlled condition (cold room) at Maragheh Dryland Agricultural Research Station, during growing season 2014-2015 . Ten seeds of each genotype after surface sterilized with fungicide (Benomile with 0.015%) planted in five cm depth in planting boxes (100×80×25 cm) at early autumn (29 September). In order to simulation of natural growth condition in autumn and acclimation of seedlings, planted boxes incubated outside of green house. Number of germinated seeds was recorded and seedling of genotypes at six-week stage, incubated in cold room. The temperature of cold room decreased two degrees in each hour up to minus 15°C and seedlings remained for one hour at this temperature. A thin layer of ice nucleation active bacteria sprayed on the surface of seedlings at -2°C in order to establish ice nucleation and prevent ultra-freezing of seedlings. Then temperature increased up to 4°C for three days and boxes transferred to green house for two weeks under 20±3°C. Frost resistance ratios (FRR) of genotypes calculated and analyzed. According to other studies and reports the genotypes with 0.91-1 and 0.81-0.90 FRR classified in highly resistance and resistance groups, respectively.

Results and Discussion: Results showed that there was significant ($p \leq 0.01$) differences in frost resistance ratio (FRR) among the investigated genotypes. Lines 14 (Flip98-138C* SEL99TER85074)*Sel.99th.15039, 28 (FLIP 00-84 C) and Saral cultivar had the highest FRR (100, 98 and 89 survived percentage, respectively) among the genotypes. Also Kaka cultivar and line 12 (Flip 98-28C*Flip 98-22C)* ICCV2 had the lowest frost tolerance among the studied genotypes.

1- Faculty member of Dryland Agricultural Research Institute (DARI), Agricultural Research, Education and Extension Organization (AREEO), Maragheh, Iran

(*- Corresponding Author Email: dsadeghzade@yahoo.com)

About 30% of genotypes could tolerate the frost damage, for example, genotypes 14 and 28 had between 0.9-1.0 ratio, whereas, the FRR of susceptible check (ILC533) was 0.13.

Conclusions: The existence of wide range of diversity for frost resistance among the studied germplasm would be useful to introduce new tolerant chickpea cultivars with autumn-sown potential. Moreover, the tolerance of Saral cultivar to frost stress, its cultivation under cold dryland regions could be recommended as the first frost tolerant variety in the country.

Keywords: Dryland, Frost resistance ratio, Line, Saral cultivar, Seedling



ارزیابی خصوصیات ریشه و عملکرد دانه ارقام گندم تحت تأثیر باکتری‌های حل کننده فسفات و قارچ میکوریزا در شرایط دیم

رحیم ناصری^{۱*}، مهرشاد باری^۱، محمدجواد زارع^۱، کاظم خوازی^۲، زهرا طهماسبی^۱

تاریخ دریافت: ۱۳۹۶/۰۹/۱۱

تاریخ پذیرش: ۱۳۹۷/۰۳/۲۰

چکیده

به منظور بررسی اثر تلکیح با باکتری سودوموناس و قارچ میکوریزا بر سیستم ریشه‌دهی و عملکرد دانه ارقام گندم در شرایط دیم، آزمایشی مزروعه‌ای به صورت فاکتوریل در قالب طرح بلوک‌های کامل تصادفی با سه تکرار در دو مزرعه در داشکده کشاورزی، دانشگاه ایلام و ایستگاه تحقیقات کشاورزی سرابله در سال زراعی ۱۳۹۲-۹۳ اجرا شد. تیمارهای آزمایشی شامل عامل رقم گندم در دو سطح (کراس‌سیلان و ساجی) و تیمار منابع کودی در هشت سطح شامل: ۱- شاهد (عدم مصرف هیچ منبع کودی)، ۲- ۵۰ کیلوگرم در هکتار کود شیمیایی فسفر، ۳- باکتری سودوموناس پوتیدا، ۴- قارچ گلوموس موسه آ، ۵- باکتری سودوموناس پوتیدا + قارچ گلوموس موسه آ، ۶- باکتری سودوموناس پوتیدا + قارچ گلوموس موسه آ ۲۵ کیلوگرم در هکتار کود شیمیایی فسفر، ۷- باکتری سودوموناس پوتیدا + ۲۵ کیلوگرم در هکتار کود شیمیایی فسفر و ۸- قارچ گلوموس موسه آ + ۲۵ کیلوگرم در هکتار کود شیمیایی فسفر بودند. نتایج این پژوهش نشان داد که برهمکنش رقائق منابع کودی در اجزای عملکرد دانه و همچنین خصوصیات ریشه‌ای گندم دیم معنی دار بود. به طوری که بیشترین تعداد سنبله در مترمربع (افزایش ۱۶/۷ درصدی)، تعداد دانه در سنبله (افزایش ۶۷/۲ درصدی)، وزن هزار دانه (افزایش ۱۹/۳ درصدی)، عملکرد دانه (افزایش ۷۲ درصدی)، عملکرد زیست‌توده (افزایش ۵۷ درصدی)، حجم ریشه (افزایش ۵۳/۶ درصدی)، سطح ریشه (افزایش ۶۹/۳ درصدی)، تراکم طول ریشه (افزایش ۷۶/۵ درصدی) و چگالی سطح ریشه (افزایش ۶۹ درصدی) در رقم ساجی × قارچ گلوموس موسه آ ۲۵+ کیلوگرم در هکتار کود شیمیایی فسفر نسبت به شاهد (عدم مصرف هیچ منبع کودی) به دست آمد. نتایج این تحقیق نشان داد که در شرایط کشت گندم دیم در ایلام که گیاه با تنفس‌های آخر فصلی (خشکی و دما) مواجه دیم دور روم دیم رقم ساجی و تلکیح با قارچ میکوریزا به دلیل بهبود سیستم ریشه‌دهی در شرایط دیم نتیجه مطلوب‌تری از خود نشان داده و موجب افزایش عملکرد دانه می‌گردد.

واژه‌های کلیدی: حجم ریشه، سطح ریشه، سیستم ریشه، عملکرد دانه، منابع کودی

مقدمه

باکتری‌های ریزوسفری محرک رشد، گروه ویژه‌ای از میکروگانیسم‌های خاک هستند که با کلونیزاسیون در محیط ریشه باعث افزایش رشد و کارآیی گیاه از طریق مکانیسم‌های مستقیم و غیر مستقیم می‌شوند (Naseri *et al.*, 2017a). باکتری‌های جنس سودوموناس از جمله مهمترین باکتری‌های ریزوسفری محرک رشد گیاه می‌باشند که با تولید مقادیر قابل ملاحظه‌ای از هورمون‌های تحریک‌کننده رشد بهویژه انواع اکسین، جیبریلین و سیتوکینین رشد و نمو و عملکرد گیاهان را تحت تأثیر قرار می‌دهند (Azadi *et al.*, 2013). یکی از مهمترین روابط همزیستی در عالم حیات که در طی دوره تکامل به وجود آمده است، همزیستی میکوریزا می‌باشد که در آن، ریشه گیاه با قارچ به صورت یک واحد زنده فعالیت می‌کند و از یکدیگر سود برد و به رشد یکدیگر کمک می‌کنند (Naseri *et al.*, 2017b). افزایش رشد و بهبود عملکرد گیاهان زراعی در اثر کاربرد کودهای زیستی توسط محققان مختلفی گزارش شده است، در این رابطه بحرانی و همکاران (Bahrani *et al.*, 2010) بیان کردند که

سطح زیر کشت گندم (*Triticum aestivum* L.) در ایران حدود ۶ میلیون هکتار برآورده شده است که ۳/۸ میلیون هکتار آن کشت دیم می‌باشد که معادل تقریباً ۶۵ درصد می‌باشد، متوسط عملکرد گندم دیم در ایران ۹۲۰ کیلوگرم در هکتار است (Ministry of Agriculture- Jahad, 2016). با توجه به این که عملکرد گندم دیم در ایران بسیار پایین بوده و سطح قابل توجهی از مناطق تحت کشت گندم ایران را دیم‌زارها تشکیل می‌دهند، بنابراین بررسی راهکارهای لازم برای افزایش میزان میزان محصول در واحد سطح ضرورت دارد (Khosravi and Mahmoudi, 2013).

۱- گروه زراعت و اصلاح نباتات، دانشکده کشاورزی، دانشگاه ایلام

۲- استاد، موسسه تحقیقات خاک و آب، کرج

(*)- نویسنده مسئول:
(Email: rahim.naseri@gmail.com)
DOI: 10.22067/gsc.v17i1.69147

۹۷۵ متر از سطح دریا) در سال زراعی ۱۳۹۲-۹۳ اجرا شد. تیمارهای آزمایشی شامل عامل مولکلر دو رقم گندم (کراس‌سبلان و ساجی) و هشت سطح کودی در شامل: ۱- شاهد (عدم مصرف هیچ منبع کودی) (Control)، ۲- کیلوگرم در هکتار کود شیمیایی فسفر (50 kg.ha⁻¹)، ۳- باکتری سودوموناس پوتیدا (PSB)، ۴- قارچ گلوموس موسه آ (GM)، ۵- باکتری سودوموناس پوتیدا/+ قارچ گلوموس موسه آ (PSB+GM)، ۶- باکتری سودوموناس پوتیدا/+ گلوموس موسه آ (PSB+GM+25 kg.ha⁻¹ P)، ۷- باکتری سودوموناس پوتیدا/+ گلوموس موسه آ (PSB+GM+25 kg.ha⁻¹ P)، ۸- باکتری کود شیمیایی فسفر (PSB+25 kg.ha⁻¹ P) و کیلوگرم در هکتار کود شیمیایی فسفر (PSB+25 kg.ha⁻¹ P) و قارچ گلوموس موسه آ (25+ کیلوگرم در هکتار کود شیمیایی فسفر (GM+25 kg.ha⁻¹ P)). ابعاد هر کرت ۸ مترمربع، تعداد خطوط ۸ ردیف و طول هر ردیف چهار متر و فاصله هر تکرار ۱ متر در نظر گرفته شد. هر کرت آزمایش شامل هشت خط کاشت با فاصله ۲۵ سانتی‌متر و طول چهار متر و تراکم بوته در واحد سطح ۲۰۰ بوته در مترمربع در نظر گرفته شد. باکتری سودوموناس پوتیدا/سویه ۱۶۸ (به صورت محلول) و قارچ گلوموس موسه آ (به صورت پودر) مورد استفاده در این پژوهش از بخش تحقیقات بیولوژی خاک، موسسه تحقیقات خاک و آب کشور تهیه شد. قبل از کشت، جهت تلقیح بذر گرم مایه تلقیح که هر گرم آن دارای ۱۰^۷ عدد باکتری سودوموناس زنده و فعال و قارچ گلوموس موسه آ که هر گرم آن دارای ۱۵۰ اسپور زنده بود. پس از آگسته کردن بذور با باکتری سودوموناس پوتیدا و قارچ گلوموس موسه آ و چرخاندن بذر در داخل ظرف به مدت چند دقیقه ادامه یافت تا مایه تلقیح به کمک صمغ عربی بذر به خوبی سطح بذر را (تلقیح به صورت بذر مال) پوشش دهد. بذور تیمار شده به مدت ده دقیقه روی سطح تمیز، در سایه قرار داده شدند تا خشک شوند. پس از تهیه کردن بستر کاشت، بذور تلقیح شده در شیارهای ایجاد شده قرار داده شدند مشخصات باکتری باکتری سودوموناس پوتیدا در جدول ۱ ارایه شده است. آمار هواشناسی محل مورد آزمایش در جدول ۲ ارائه شده است. مقدار بذر مصرفی برای هر هکتار ۱۲۰ کیلوگرم بود. کودهای نیتروژن و فسفر بر اساس آزمون خاک (جدول ۳) مورد استفاده قرار گرفتند.

قارچ میکوریزا اجزای عملکرد دانه و تعداد سنبلاچه گندم را به شکل معنی‌داری افزایش می‌دهد. علاوه بر این عسکری و همکاران (Askary et al., 2009) افزایش تعداد دانه گندم را در اثر تلقیح کودهای زیستی گزارش کردند. مالک و همکاران (Malik et al., 2012) در یک بررسی نشان دادند که تلقیح باکتری سودوموناس با بذرهای گندم تأثیر مثبتی بر وزن هزار دانه و عملکرد دانه در مقایسه با تیمار بدون تلقیح داشت. وو و همکاران (Wu et al., 2005) علت اصلی افزایش عملکرد غلات و سایر گیاهان تلقیح شده با ریزجانداران حل کننده فسفات را جذب بیشتر فسفر باشد عنوان کردند. تلقیح بذور با کود زیستی از طریق گسترش ریشه و قابل دسترس ساختن مواد غذایی و درنتیجه افزایش جذب مواد غذایی توسط گیاه اثر مثبت و معنی‌داری بر عملکرد گیاه ایجاد کرد (Shoghi Kalkhoran et al., 2010). در این راستا روزبه و همکاران (Rouzbeh et al., 2009) بیان داشتند که تلقیح کودهای زیستی از طریق افزایش جذب عناصر غذایی و تولید هورمون‌های رشد موجب افزایش عملکرد و اجزای عملکرد گندم گردید. برخی محققان بیان داشتند که کاربرد کودهای زیستی از طریق بهبود خصوصیات فیزیکی خاک و افزایش قابلیت دسترسی عناصر غذایی برای جذب توسط گیاه، اجزای عملکرد و عملکرد گندم را بهبود داد (Ahmed et al., 2011). قارچ میکوریزا با ایجاد تغییرات مورفولوژیک در ریشه منجر به افزایش سطح ریشه می‌گردد (Akhtar and Siddiqui, 2008).

با توجه به موارد فوق آزمایش حاضر با هدف بررسی اثر تلقیح با باکتری‌های افزاینده رشد و قارچ میکوریزا بر عملکرد، اجزای عملکرد و خصوصیات ریشه گندم دیم (کراس‌سبلان و ساجی) در شرایط آب و هوایی ایلام انجام گرفت.

مواد و روش‌ها

این آزمایش به صورت فاکتوریل در قالب طرح بلوک‌های کامل تصادفی با سه تکرار در دو مزرعه تحقیقاتی دانشکده کشاورزی، دانشگاه ایلام (با طول جغرافیایی ۴۶ درجه و ۲۸ دقیقه و عرض جغرافیایی ۳۳ درجه و ۳۷ دقیقه و ارتفاع از سطح دریا برابر با ۱۱۷۴ متر) و ایستگاه تحقیقات کشاورزی سرابله (با عرض جغرافیایی ۳۳ درجه و ۴۵ دقیقه و با طول جغرافیایی ۳۴ درجه و ۴۶ دقیقه و ارتفاع

جدول ۱- ویژگی‌های سویه باکتری حل کننده فسفات

Table 1-The characteristics of phosphate solubilizing bacteria strains

| تولید سیدروفور | تولید هورمون اکسین (mg.L ⁻¹) | قابلیت حل کننده فسفات | تولید ACC دیماز |
|---------------------------------------|--|-----------------------|--------------------------------|
| Genus, species and strain | Siderophore production | IAA production | Phosphate solubilizing ability |
| <i>Pseudomonas putida</i> strains 168 | 0.70 | 9.8 | + |

جدول ۲- مقدار متوسط ماهانه دما، بارش و رطوبت در مزرعه تحقیقاتی دانشکده کشاورزی، دانشگاه ایلام و ایستگاه تحقیقات کشاورزی سرابله در سال زراعی ۱۳۹۲-۹۳

Table 2- Monthly mean temperature, precipitation and relative humidity in Agricultural Research Station of Ilam University and Agricultural Research Field Station of Sarableh during 2013-2014 cropping season

| Month | ماه | حداقل دما | | حداکثر دما | | میزان بارش | | حداقل رطوبت | | حداکثر رطوبت | |
|-------|----------|----------------|----------------|------------|--------|------------|--------|-------------|--------|--------------|--------|
| | | Min temp. (°C) | Max temp. (°C) | ایلام | سرابله | ایلام | سرابله | ایلام | سرابله | ایلام | سرابله |
| Oct. | مهر | 11 | 12.3 | 27 | 30.6 | 0 | 0 | 14 | 15 | 41 | 38 |
| Nov. | آبان | 7.5 | 8 | 25.6 | 19.6 | 163.5 | 156.4 | 45 | 45 | 84 | 78 |
| Dec. | آذر | 2.7 | 3.5 | 12.7 | 13.1 | 103.3 | 100.5 | 45 | 54 | 89 | 86 |
| Jan. | دی | -1 | -0.5 | 10.8 | 10.6 | 89.9 | 85.4 | 42 | 52 | 88 | 86 |
| Feb. | بهمن | 2 | 0.9 | 11 | 12 | 151.3 | 95.2 | 43 | 53 | 89 | 88 |
| Mar. | اسفند | 5 | 5 | 15.8 | 17.3 | 93.1 | 75.9 | 43 | 46 | 85 | 85 |
| Apr. | فوردین | 6.4 | 6.5 | 19.8 | 21.5 | 32.4 | 31.8 | 27 | 33 | 74 | 78 |
| May | اردیبهشت | 12.8 | 12.7 | 27.1 | 28.8 | 27.2 | 24.8 | 21 | 24 | 59 | 65 |
| Jun. | خرداد | 16.9 | 13 | 32.4 | 40.4 | 0 | 4 | 14 | 16 | 39 | 41 |

جدول ۳- خصوصیات فیزیکی و شیمیایی خاک محل آزمایش در در مزرعه تحقیقاتی دانشکده کشاورزی، دانشگاه ایلام و ایستگاه تحقیقات کشاورزی سرابله در سال زراعی ۱۳۹۲-۹۳

Table 3- Soil physical and chemical properties in Agricultural Research Station of Ilam University and Agricultural Research Field Station of Sarableh during 2013-2014 cropping season

| مکان | | Location | |
|-----------------|----------------|------------------------|----------------------|
| ایلام | | سرابله | |
| Ilam | | Sarableh | |
| عمق | Depth (cm) | 0-30 | 0-30 |
| بافت | Texture | لومیشنی Sandy loam | لومیرسی Clay loam |
| | | (mg kg ⁻¹) | |
| آهن | Fe | 9.16 | 5.71 |
| روی | Zn | 1 | 1 |
| مس | Cu | 1 | 1.1 |
| منگنز | Mn | 5.04 | 7.78 |
| منیزیم | Mg | 3.6 | 2.4 |
| فسفر قابل جذب | Available P | 7.2 | 6.2 |
| پتاسیم قابل جذب | Available K | 310 | 270 |
| | | (%) | |
| نیتروژن کل | Total N | 0.12 | 0.13 |
| کربن آلی | Organic Carbon | 1.28 | 1.4 |
| | | (dS m ⁻¹) | |
| هدایت الکتریکی | E.C | 0.97 | 0.45 |
| اسیدیته خاک | pH | 7.2 | 7.31 |

جهت اندازه‌گیری تعداد سنبله در متر مربع از کوادرات یک متر مربعی استفاده گردید. تعداد ۱۰ بوته از هر کرت به طور تصادفی انتخاب و صفت تعداد دانه در سنبله اندازه‌گیری شدند. به منظور اندازه‌گیری و تعیین وزن هزار دانه ۱۰۰۰ بذر از هر تیمار به صورت تصادفی شمارش و توسط ترازوی دیجیتالی محاسبه شد. به منظور اندازه‌گیری عملکرد دانه بوته‌های موجود در هر کرت پس از حذف اثرات حاشیه‌ای در ۲/۲۵ متر مربع به صورت جداگانه کف بر و محاسبه گردید. جهت محاسبه عملکرد بیولوژیک پس از برداشت بوته‌های هر کرت آزمایشی و قبل از جدا کردن دانه‌ها، وزن کل بوته‌ها اندازه‌گیری و عملکرد بیولوژیک تعیین گردید. تجزیه واریانس و مقایسه میانگین داده‌ها به روش آزمون چند دامنه‌ای دانکن در سطح ۵ درصد با استفاده از نرم‌افزار SAS 9.1، ترسیم شکل‌ها توسط نرم‌افزار اکسل انجام گرفت.

نتایج و بحث

خصوصیات ریشه

در این آزمایش برهمکنش رقم «منابع کودی بر حجم ریشه معنی‌داری گردید (جدول ۴). بیشترین حجم ریشه با متوسط ۳/۵ سانتی‌متر مکعب از رقم ساجی و تحت کاربرد قارچ گلوموس موسه ۷/۹ کیلوگرم در هکتار کود شیمیایی فسفر و کمترین آن با متوسط ۱/۹ سانتی‌متر مکعب از رقم کراس‌سبلان و در شاهد (عدم مصرف هیچ منبع کودی) حاصل شد، که نسبت به شاهد (عدم مصرف هیچ منبع کودی) موجب افزایش ۵۳/۶ درصدی در حجم ریشه گردید (شکل ۱). حجم ریشه از مهمترین صفت و معیار جهت جذب آب و مواد غذایی می‌باشد بنابراین حجم ریشه یک واحد اندازه‌گیری خوبی جهت روابط عملی بین قسمت‌های هوایی و ریشه می‌باشد (Ganjeali and Kafi, 2007) (Caird et al., 2007) نیز بیان شد که نسبت حجم ریشه به اندام‌های هوایی می‌تواند یکی از مهمترین شاخص‌های پیش‌بینی شده برای میزان تنفس و جذب آب باشد. در این پژوهش نشان داده شد ارقام ساجی و کراس‌سبلان در شرایط دیم در مقایسه با ارقام آبی از طول ریشه و حجم ریشه بیشتری در طول دوره آزمایش برخوردار بود. بیان شده است که ارقام گندم دیم به خشکی ریشه طویل تر و حجم ریشه بیشتری نسبت به دیگر ارقام دارند (Naseri et al., 2016). قارچ‌های میکوریزا به دلیل افزایش مؤثر سطح جذب ریشه از طریق ایجاد هیف، سبب افزایش جذب آب و مواد غذایی به وسیله گیاهان می‌شوند (Esmaelpour et al., 2014).

کود نیتروژن به میزان ۱۲۰ کیلوگرم در هکتار در دو مرحله (در هنگام کاشت و شروع ساقه‌دهی) به زمین داده شد. در مورد کود فسفره ۵۰ کیلوگرم در هکتار P_2O_5 از منبع سوبر فسفات تریپل ۱۰۰٪ کود توصیه شده در زمان کاشت مصرف گردید. اندازه‌گیری خصوصیات وابسته به ریشه در داخل مزرعه بعد از مرحله گرده‌افشانی با استفاده از استوانه‌ای فلزی با ابعاد طول ۳۰ سانتی‌متر و عرض دو سانتی‌متر که از قبل با دستی طراحی شده بود صورت گرفت. بعد از برداشت ریشه‌ها از داخل خاک، آن‌ها را در داخل ظرف یکبار مصرف گذاشتند و پس از انتقال به آزمایشگاه اقدام به شستشوی ریشه‌ها کرده و سپس ریشه‌ها در داخل یخچال نگهداری شدند سپس اقدام به اندازه‌گیری صفات ریشه گردید. طول ریشه‌ها توسط خط کش با دقت زیاد اندازه‌گیری شدند. محاسبه حجم ریشه با استفاده از استوانه مدرج از طریق معادله (۱) انجام گرفت:

معادله ۱:

$$A = B - C \quad A = \text{حجم ریشه}, \quad B = \text{حجم آب و ریشه}, \quad C = \text{حجم آب خالی}.$$

سطح ریشه که از معادله (۲) محاسبه شد (Akhavan et al., 2012)

$$RA = 2 \times \text{SQRT}(RV \times 3.14 \times RL) \quad RA = \text{سطح ریشه}, \quad RV = \text{حجم ریشه}, \quad RL = \text{طول ریشه}, \quad \text{SQRT} = \text{ریشه دوم}.$$

تراکم طول ریشه از طریق معادله زیر به دست آمد (Mahanta et al., 2014)

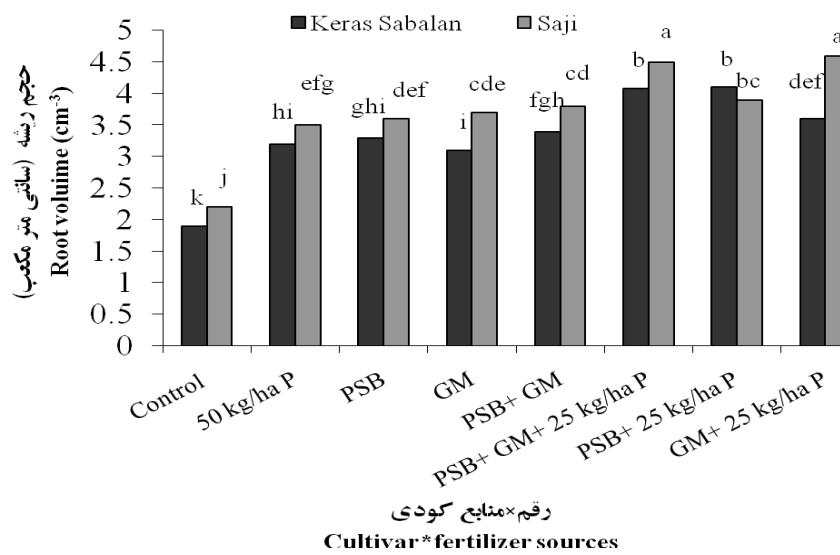
$$\text{معادله ۳: } RLD = \frac{RL}{SV} \quad RLD = \text{تراکم طول ریشه}, \quad RL = \text{طول ریشه}, \quad SV = \text{حجم خاک}.$$

قطر ریشه که طریق محاسبه آن به صورت زیر انجام گرفت (Hajabbasi, 2001)

$$\text{معادله ۴: } RD = \text{SQRT} \frac{\langle 4 \times FRW \rangle}{\langle RL \times 3.14 \rangle} \quad RD = \text{قطر ریشه}, \quad FRW = \text{وزن تر ریشه}, \quad RL = \text{طول ریشه}, \quad \text{SQRT} = \text{ریشه دوم}.$$

طریقه محاسبه چگالی سطح ریشه به صورت زیر انجام گرفت (Akhavan et al., 2012)

$$\text{معادله ۵: } RAD = RL \times RD \times 3.14 \quad RAD = \text{چگالی سطح ریشه}, \quad RL = \text{طول ریشه}, \quad RD = \text{قطر ریشه}.$$



شکل ۱- برهمکنش رقم×منابع کودی بر حجم ریشه در ارقام گندم دیم

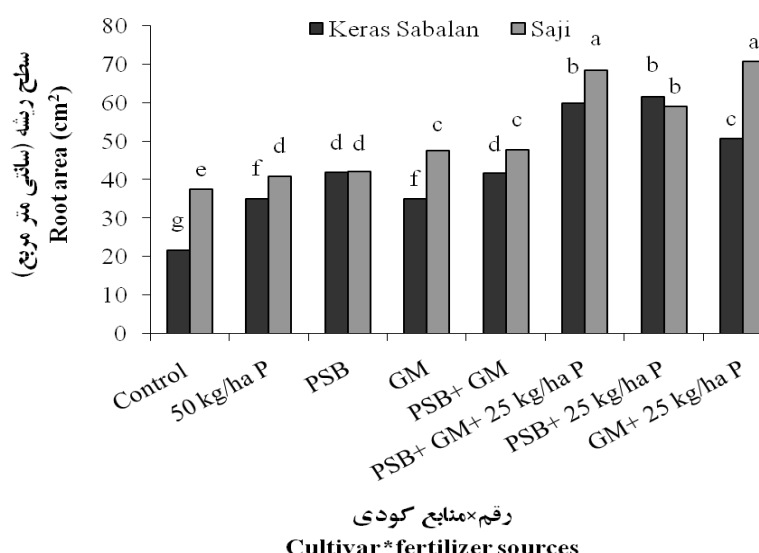
Figure 1- Interaction of cultivar ×fertilizer sources on root volume in dry land wheat cultivars

میانگین‌هایی که دارای حروف مشترک اختلاف معنی‌داری در سطح احتمال پنج درصد ندارند.

Means within same letter are not significantly different ($p<0.05$).

عناصر غذایی و همچنین افزایش سطح جذب می‌تواند کارآیی جذب آب و عناصر غذایی را افزایش دهد (Abrishamchi *et al.*, 2012) در بررسی سطح ریشه مشخص شد تلقیح بذور با باکتری‌های افزاینده رشد و قارچ میکوریزا در هر دو رقم مورد پژوهش توانسته‌اند سطح ریشه را به طور معنی‌داری افزایش دهد که این افزایش نسبت به شاهد معنی‌دار گردید.

در این آزمایش اثر برهمکنش رقم×منابع کودی بر سطح ریشه معنی‌دار گردید (جدول ۴). بیشترین سطح ریشه از رقم ساجی و تحت کاربرد قارچ گلوموس موسه A^{25} کیلوگرم در هکتار کود شیمیایی فسفر و کمترین آن از رقم کراس سبلان و در شاهد (عدم مصرف هیچ منبع کودی) حاصل شد، که نسبت به شاهد (عدم مصرف منبع کودی) موجب افزایش $69/3$ درصدی در سطح ریشه گردید (شکل ۲). افزایش سطح ریشه از طریق افزایش نقاط ورودی آب و



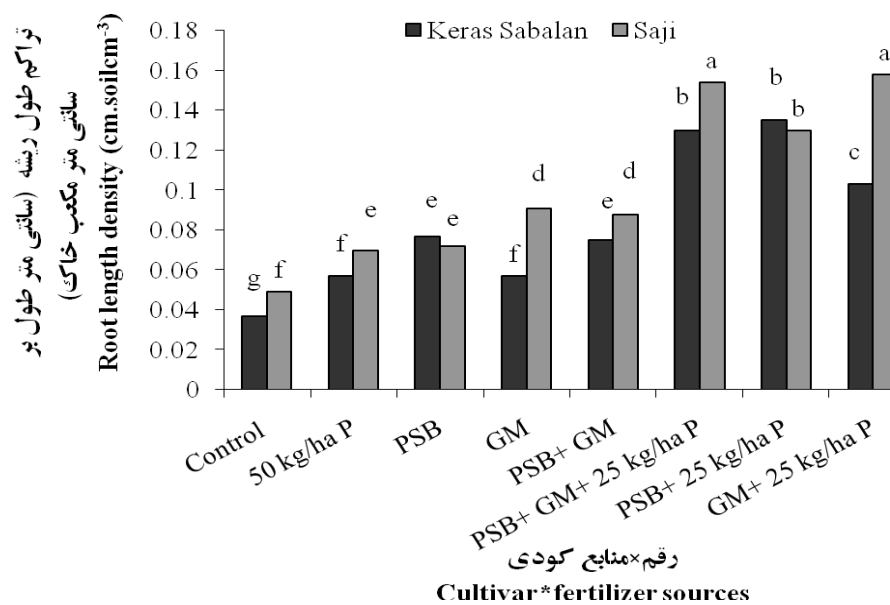
شکل ۲- برهمکنش رقم×منابع کودی بر سطح ریشه در ارقام گندم دیم

Figure 2- Interaction between cultivar ×fertilizer sources on root area in dry land wheat cultivars

میانگین‌هایی که دارای حروف مشترک اختلاف معنی‌داری در سطح احتمال پنج درصد ندارند.

Means within same letter are not significantly different ($p<0.05$).

دلیل این موضوع را تغییر ساختار ریشه و رشد بهتر ریشه از جمله افزایش تعداد ریشه بیان کردند (Khalvati *et al.*, 2005). در این آزمایش بر همکنش رقم × منابع کودی بر صفت تراکم طول ریشه معنی داری گردید (جدول ۴). بیشترین تراکم طول ریشه از رقم ساجی و تحت کاربرد قارچ گلوموس موسه $\text{آ} ۲۵+ ۲۵$ کیلوگرم در هکتار کود شیمیایی فسفر و کمترین آن از رقم کراس سبلان و در شاهد (عدم مصرف هیچ منبع کودی) حاصل شد، که نسبت به شاهد (عدم مصرف هیچ منبع کودی) موجب افزایش $۷۶/۵$ درصدی در تراکم طول ریشه گردید (شکل ۳). به نظر می‌رسد که افزایش جذب عناصر غذایی مانند فسفر به دلیل انتشار از طریق میکروسیلیوم‌های میکوریزایی مرتبط با بافت‌های درونی ریشه و تشکیل یک سیستم جذب اضافی مکمل سیستم ریشه‌ای گیاه باشد که بهره‌برداری از حجم بیشتری از خاک را ممکن می‌سازد که ریشه‌های تعذیه‌کننده به آن دسترسی ندارند (Parsa-Motlagh *et al.*, 2011).



شکل ۳ - برهمکنش رقم × منابع کودی بر تراکم طول ریشه در ارقام گندم دیم

Figure 3- Interaction between cultivar \times fertilizer sources on root length density in dry land wheat cultivars

میانگین‌هایی که دارای حروف مشترک اختلاف معنی داری در سطح احتمال پنج درصد ندارند.

Means within same letter are not significantly different ($p<0.05$).

در $۲۹/۷$ درصدی در قطر ریشه گردید (جدول ۸). اثر بر همکنش مکان × رقم نیز بر قطر ریشه معنی دار بود (جدول ۴). در این پژوهش با توجه به جدول بر همکنش، بیشترین قطر ریشه در منطقه ایلام و رقم کراس سبلان به دست آمد (جدول ۶). به نظر می‌رسد می‌توان دلیل کاهش قطر ریشه با مصرف کود زیستی را مربوط به افزایش طول ریشه در اثر مصرف کود زیستی دانست (Jiriaie *et al.*, 2014).

یکی از مهمترین مکانیزم‌های رشد گیاه به وسیله باکتری‌های افزاینده رشد گیاه، تغییر در ریخت‌شناسی و فیزیولوژی سیستم ریشه‌ای گیاه است. این باکتری‌ها موجب افزایش تعداد ریشه‌های جانبی و ریشه‌های موئین می‌شوند که این امر موجب افزایش سطح ریشه و افزایش دسترسی به آب و عناصر غذایی شده در نتیجه، موجب بهبود وضع آبی گیاه می‌شود (Askary *et al.*, 2009). نشان داده شده است که تغییرات هورمونی به دلیل استفاده از باکتری‌های افزاینده رشد سبب افزایش سطح ریشه خواهد بود (Shahroona *et al.*, 2008). قارچ میکوریزا با تشکیل شبکه‌هایی در اطراف ریشه‌های گیاهان، سطح تماس آن‌ها با خاک و رطوبت را بین $۱-۱۰۰۰$ برابر افزایش می‌دهند و به این ترتیب گیاه توانایی بیشتری در استفاده از منابع موجود در محیط اطراف خود را پیدا می‌کند (Sharma, 2002). در این پژوهش نشان داده شد که در شرایط دیم رقم ساجی می‌تواند موجب جذب بیشتر آب از طریق افزایش طول و سطح ریشه گردد، که

در این آزمایش بر همکنش رقم × منابع کودی بر قطر ریشه معنی داری گردید (جدول ۴). بیشترین قطر ریشه از رقم کراس سبلان و در شاهد (عدم مصرف هیچ منبع کودی) و کمترین آن از رقم ساجی و تحت کاربرد باکتری سودوموناس پوتیدا/ + قارچ گلوموس موسه $\text{آ} ۲۵+ ۲۵$ کیلوگرم در هکتار کود شیمیایی فسفر حاصل شد، که نسبت به تیمار کاربرد باکتری سودوموناس پوتیدا/ + قارچ گلوموس موسه $\text{آ} ۲۵+ ۲۵$ کیلوگرم در هکتار کود شیمیایی فسفر موجب افزایش

جدول ۴- تجزیه واریانس مرکب (میانگین مربعات) صفات مربوط به ریشه ارقام گندم دیم در تحت تأثیر منابع کودی

Table 4- Combined Analysis of variance (mean squares) for cultivar and fertilizer sources on grain yield and root system in two dry land wheat cultivars

| منابع تغییر | S.O.V | درجه آزادی df | حجم Volume | سطح Area | قطر Diameter | تراکم طول Length density | چگالی سطح Surface density |
|-------------------------|-------------------------|---------------|------------|----------|--------------|--------------------------|---------------------------|
| مکان | Location (L) | 1 | 7.05** | 2399.1** | 0.009** | 0.0147** | 9156.4** |
| بلوک داخل مکان | Block in location | 4 | 0.29 | 114.6 | 0.014 | 0.0016 | 145.9 |
| رقم | Cultivar (C) | 1 | 3.06** | 1213.3** | 0.009** | 0.0074** | 1781.4** |
| منابع کودی | Fertilizer sources (FS) | 7 | 5.8** | 2246.7** | 0.02** | 0.016** | 3124.4** |
| رقم×منابع کودی | C×FS | 7 | 0.32** | 147.9** | 0.001** | 0.0011** | 223.3** |
| مکان × رقم | L×C | 1 | 0.014ns | 4.09ns | 0.002** | 0.00001ns | 31.6ns |
| مکان × منابع کودی | L×FS | 7 | 0.028ns | 4.4ns | 0.0005ns | 0.000049ns | 58.09** |
| مکان × رقم × منابع کودی | L×C×FS | 7 | 0.016ns | 4.2ns | 0.00009ns | 0.00043ns | 6.2ns |
| خطا | Error | 60 | 0.048 | 13.8 | 0.0005 | 0.00009 | 19.8 |
| ضریب تغییرات (درصد) | C.V (%) | - | 6.1 | 7.9 | 6.03 | 10.4 | 7.8 |

* و ** : بهترتب معنی دار در سطح احتمال پنج و یک درصد
 * and **: significant at the 5% and 1% levels, respectively

جدول ۵- تجزیه واریانس مرکب (میانگین مربعات) صفات مربوط به عملکرد و اجزای عملکرد ارقام گندم دیم در تحت منابع کودی

Table 5- Combined Analysis of variance (mean squares) for traits related to grain and yield components in dry land wheat cultivars influenced by fertilizer sources

| منابع تغییر | S.O.V | درجه آزادی d.f | تعداد سنبله در متر مربع Spikes.m ⁻² | تعداد سنبله در سنبله spikelet.spike ⁻¹ | تعداد دانه در سنبله Grains.spike ⁻¹ | وزن هزار دانه 1000-grain weight | عملکرد دانه Grain yield | عملکرد زیست توده Biomass yield |
|-------------------------|-------------------------|----------------|--|---|--|---------------------------------|-------------------------|--------------------------------|
| مکان | Location (L) | 1 | 98.01ns | 0.16ns | 894.2* | 8.3ns | 5870407.4ns | 40926775.4* |
| بلوک داخل مکان | Block in location | 4 | 3926.1 | 1.3 | 59.5 | 10.4 | 1150355.7.7 | 4868382.8 |
| رقم | Cultivar (C) | 1 | 2871.09** | 64.6** | 896.7** | 61.6** | 3826172.4** | 8345847.2** |
| منابع کودی | Fertilizer sources (FS) | 7 | 1314.9** | 58.8** | 488.8** | 43.02** | 5314073.6** | 15970442.4** |
| رقم×منابع کودی | C×FS | 7 | 373.06** | 7.1** | 52.4** | 8.07** | 520658.05** | 2110590.3** |
| مکان × رقم | L×C | 1 | 23.01ns | 0.05ns | 5.04ns | 1.6ns | 5451.1ns | 55560.3ns |
| مکان × منابع کودی | L×FS | 7 | 4.5ns | 0.35ns | 16.3* | 1.03ns | 125412.01ns | 224064.7ns |
| مکان × رقم × منابع کودی | L×C×FS | 7 | 15.03ns | 0.26ns | 48.13ns | 1.01ns | 14869.4ns | 114753.9 |
| خطا | Error | 60 | 71.05 | 0.51 | 6.3 | 1.7 | 83740.7 | 337829.3 |
| ضریب تغییرات (درصد) | C.V (%) | - | 3.4 | 5.4 | 8.3 | 6.7 | 11.9 | 9.8 |

* و ** : بهترتب معنی دار در سطح احتمال پنج و یک درصد
 * and **: significant at the 5% and 1% levels, respectively

جدول ۶- مقایسه میانگین اثر برهمکنش مکان×رقم بر قطر ریشه دو رقم گندم دیم

Table 6- Mean comparisons of interaction effect of location ×cultivar sources on root diameter in two dry land wheat cultivars

| مکان | Location | رقم | Cultivar | قطر ریشه Root diameter (cm) |
|--------|----------|------------|---------------|-----------------------------------|
| ایلام | Ilam | کراس سبلان | Keras Sabalan | 0.38 (± 0.013) ^a |
| | | ساجی | Saji | 0.35 (± 0.011) ^b |
| سرابله | Sarableh | کراس سبلان | Keras Sabalan | 0.39 (± 0.011) ^a |
| | | ساجی | Saji | 0.38 (± 0.009) ^a |

میانگین‌هایی، در هر ستون، که دارای حرف مشترک می‌باشند بر مبنای آزمون چند دامنه‌ای دانکن در سطح احتمال ۵ درصد تفاوت معنی‌داری ندارند.

Means, in each column, followed by similar letter are not significantly different at the 5% probability level- using Duncan's Multiple Range Test.

سرابله در تیمار باکتری سودوموناس پوتیدا/ + قارچ گلوموس موسه $25+ \text{ کیلوگرم}$ در هکتار کود شیمیایی فسفر دارای بیشترین و منطقه ایلام در شاهد دارای کمترین چگالی سطح ریشه بود (جدول ۷). در بررسی چگالی سطح ریشه گندم، نتایج نشان داد که تلقیح بذو با باکتری‌های افزاینده رشد و قارچ میکوریزا توانست چگالی سطح ریشه را بهتر ترتیب $30+ 20$ درصد افزایش دهد، به نظر می‌رسد قارچ میکوریزا از طریق تغذیه مناسب می‌تواند موجب افزایش وزن خشک ریشه و اندام هوایی شود به نحوی که گیاه آلوده به قارچ میکوریزا می‌توانند سفر غیر قابل دسترس گیاهان که با فاصله دورتری نسبت به ریشه‌های آن‌ها قرار دارند از طریق میسیلیوم‌های خود جذب نمایند و در نتیجه باعث جذب بیشتر مواد غذایی توسط ریشه شوند (Jiriaie et al., 2014). قارچ‌های میکوریزا با تشکیل شبکه‌هایی در اطراف ریشه‌های گیاهان، سطح تماس آن‌ها با خاک و رطوبت را بین $1000-1$ برابر افزایش می‌دهند و به این ترتیب گیاه توانایی بیشتری در استفاده از منابع موجود در محیط اطراف خود را پیدا می‌کند (Sharma, 2002).

بانرجی و همکاران (Banerjee et al., 2006) و وسی و باس (Vessey and Buss, 2002) افزایش حجم و تعداد ریشه در غلات را به دلیل تلقیح بذر با باکتری‌های افزاینده رشد گزارش نمودند. آن‌ها اظهار داشتند که تأثیر مواد تنظیم‌کننده رشد تولید شده به وسیله باکتری‌های افزاینده رشد بر رشد ریشه از طریق پارامترهایی بروز می‌کند که مهمترین آن‌ها افزایش وزن و انسعبات ریشه، کاهش ضخامت ریشه و افزایش تارهای مویین سطح ریشه می‌باشند.

چگالی سطح ریشه در این پژوهش مورد بررسی قرار گرفت و تحت تأثیر برهمکنش رقم×منابع کودی معنی‌داری گردید (جدول ۴). بیشترین چگالی سطح ریشه از رقم ساجی و تحت کاربرد قارچ گلوموس موسه $25+ \text{ کیلوگرم}$ در هکتار کود شیمیایی فسفر و کمترین آن از رقم کراس سبلان و در شاهد عدم مصرف هیچ منبع کودی حاصل شد، که نسبت به تیمار شاهد (عدم مصرف هیچ منبع کودی) موجب افزایش 69 درصدی در چگالی سطح ریشه گردید (جدول ۴). اثر برهمکنش مکان×منابع کودی نیز بر چگالی سطح ریشه معنی‌دار گردید (جدول ۴). نتایج حاصل از این پژوهش نشان داد که منطقه

جدول ۷- مقایسه میانگین اثر برهمکنش مکان×منابع کودی بر چگالی سطح ریشه گندم دیم

Table 7- Mean comparisons of interaction effect of location ×fertilizer sources on root surface area density under dry land wheat

| | ایلام | Ilam | | |
|--------------------|-----------------------------------|-----------------------|-----------------------|---------------------|
| Control | $50 \text{ kg.ha}^{-1} \text{ P}$ | PSB | GM | PSB+GM |
| $23.4 (\pm 1.5)^f$ | $38.07 (\pm 2.6)^e$ | $41.3 (\pm 1.7)^{de}$ | $41.4 (\pm 2.8)^{de}$ | $44.1 (\pm 1.9)^d$ |
| | | | | $64.2 (\pm 3.07)^b$ |
| | | | | $60.4 (\pm 1.5)^b$ |
| | | | | $60.9 (\pm 4.8)^b$ |
| | | | سرابله | |
| | | | | Sarableh |
| | $37.1 (\pm 0.91)^e$ | $52.8 (\pm 3.8)^c$ | $58.6 (\pm 1.5)^b$ | $59.2 (\pm 4.3)^b$ |
| | | | | $64.1 (\pm 3.7)^b$ |
| | | | | $88.6 (\pm 3.5)^a$ |
| | | | | $86.1 (\pm 2.6)^a$ |
| | | | | $83.5 (\pm 6.2)^a$ |

میانگین‌هایی، در هر ستون، که دارای حرف مشترک می‌باشند بر مبنای آزمون چند دامنه‌ای دانکن در سطح احتمال ۵ درصد تفاوت معنی‌داری ندارند.

Means, in each column, followed by similar letter are not significantly different at the 5% probability level- using Duncan's Multiple Range Test.

از باکتری سودوموناس پوتیدا/ و قارچ گلوموس موسه $25+ \text{ کیلوگرم}$ در دو رقم گندم نان و دوروم موجب افزایش تعداد سنبله در متر مربع گردید. بیشترین تعداد سنبله با متوسط $267/3$ از رقم کراس سبلان و تحت کاربرد باکتری سودوموناس پوتیدا/ + 25 کیلوگرم در هکتار کود شیمیایی

عملکرد و اجزای عملکرد دانه

نتایج واریانس مرکب داده‌های حاصل از دو مکان، اثرات اصلی رقم و منابع کودی و برهمکنش آن‌ها بر تعداد سنبله در متر مربع معنی‌دار گردید (جدول ۵). در این پژوهش مشاهده گردید که استفاده

کودی) موجب افزایش ۶۷/۲ درصدی در تعداد دانه در سنبله گردید (جدول ۱۰). اثر برهمکنش مکان × منابع کودی نیز بر تعداد دانه در سنبله معنی دار شد، به طوری که منطقه سرابله در قارچ گلوموس موسه ۲۵+ کیلوگرم در هکتار کود شیمیایی فسفر دارای بیشترین و منطقه ایلام در شاهد (عدم مصرف هیچ منبع کودی) دارای کمترین تعداد دانه در سنبله بودند (جدول ۹). در این پژوهش نشان داده شد با توجه به اینکه در مرحله گردهافشانی تعداد دانه در سنبله تعیین می‌گردد بنابراین هر عاملی که موجب اختلال در عمل گردهافشانی گردد موجب کاهش در تشکیل تعداد دانه خواهد شد، همانطور که جدول آب و هواشناسی (جدول ۲) نیز نشان می‌دهد در شرایط دیم ایلام و سرابله از اسفند ماه معمولاً ما شاهد کاهش بسیار شدید در نزولات جوی هستیم که همین امر تأثیر منفی بر گردهافشانی و متعاقب آن تعداد دانه در سنبله گذاشت. استفاده از باکتری سودوموناس پوتیدا و قارچ گلوموس موسه آز طریق افزایش سیستم ریشه‌ای از جمله طول و حجم ریشه، سطح ریشه و تراکم طول ریشه (شکل‌های ۱ و ۳) سبب افزایش مواد پرورده شده که به نوبه خود باعث افزایش رشد رویشی و افزایش سهم اندام‌های زیشی از جمله تعداد دانه در سنبله شده است. در گزارشات الکراکی و همکاران (Al-Karaki *et al.*, 2004) ۲۰۰۴ تأثیر کود زیستی بر طولانی‌تر شدن دوره پرشن دانه در گندم و در نتیجه آن افزایش تعداد دانه در سنبله گزارش گردید. در این آزمایش کاربرد باکتری سودوموناس پوتیدا و قارچ گلوموس موسه آز موجب افزایش معنی دار در تعداد دانه در سنبله گردید که نتیجه افزایش سیستم ریشه‌دهی قوی و افزایش جذب عناصر غذایی بود. حضور کودهای زیستی می‌تواند باعث بهبود خصوصیات خاک نظری محنتواری ماده آلی و افزایش دسترسی عناصر نیتروژن، فسفر، پتاسیم می‌شود، این اثرات در حضور کودهای شیمیایی تشدید می‌شود (Eyidizadeh *et al.*, 2010) و از طریق گسترش ریشه و افزایش جذب عناصر غذایی موجب افزایش تعداد دانه در سنبله گندم گردیده باشد (Amiri Farsani *et al.*, 2013).

فسفر و کمترین تعداد سنبله با متوسط ۲۲۲/۶ سنبله از رقم ساجی و در شاهد (عدم مصرف هیچ منبع کودی) حاصل شد، که نسبت به شاهد (عدم مصرف هیچ منبع کودی) موجب افزایش ۱۶/۷ درصدی در تعداد سنبله در مترمربع گردید (جدول ۱۰). با توجه به اینکه فسفر دومین عنصر محدود کننده بعد از نیتروژن می‌باشد، در تیمار عدم استفاده از کود شیمیایی و عدم تلقیح با کود زیستی به علت عدم استفاده از هر نوع کود فسفره رشد پنجه‌ها و به تبع تعداد سنبله در متر مربع در شاهد کمتر بود. این افزایش تعداد سنبله در متر مربع احتمالاً ناشی از وجود تیمارهای کود شیمیایی و کود زیستی در محدوده خاک یا ریزوفسفر است که به وسیله ایجاد چرخه مواد غذایی و قابل دسترس ساختن آن، افزایش جذب مواد غذایی باعث رشد گیاه از جمله افزایش این صفت می‌گردد، همانطور که نتایج این مطالعه نشان داد تلقیح با باکتری سودوموناس پوتیدا به دلیل توانایی در افزایش جذب عناصر غذایی (Naseri *et al.*, 2017b) در مرحله رویشی تأثیر به سزاپی در تعداد پنجه در بوته و به تبع بر تعداد سنبله از خود نشان داد. مرسیز و هیس (Mertnese and Hess, 2004) نیز طی تحقیقات خود، افزایش عملکرد گندم تلقیح شده با کود زیستی را مربوط به افزایش تعداد پنجه در گیاه بیان کرده‌اند.

صفت تعداد دانه در سنبله یکی از معیارهای تعیین کننده عملکرد دانه محسوب می‌شود زیرا هرچه تعداد دانه بیشتر باشد، تعداد مخزن بزرگتری برای تجمع آسیمیلات به وجود آمده و هر عاملی که باعث افزایش این معیار شود، باعث افزایش عملکرد دانه خواهد شد، که در این آزمایش تحت تأثیر برهمکنش رقم × منابع کودی در سطح احتمال یک درصد معنی دار گردید (جدول ۵). استفاده از منابع کودی موجب افزایش تعداد دانه در سنبله گردید. به طوری که بیشترین تعداد دانه با متوسط ۴۳/۷ دانه از رقم ساجی و تحت کاربرد قارچ گلوموس موسه آز ۲۵+ کیلوگرم در هکتار کود شیمیایی فسفر و کمترین آن با متوسط ۱۴/۳ دانه در سنبله از رقم کراس سبلان و در شاهد (عدم مصرف هیچ منبع کودی) حاصل شد، که نسبت به شاهد (عدم مصرف هیچ منبع

جدول ۹- مقایسه میانگین اثر برهمکنش مکان × منابع کودی بر تعداد دانه در سنبله دو رقم گندم دیم

Table 9- Mean comparisons of interaction effect of cultivar × fertilizer sources on grains.spike⁻¹ d in two dry land wheat cultivars

| | ایلام | | | | Ilam | | | |
|---------------------------|----------------------------|----------------------------|---------------------------|----------------------------|---------------------------------|------------------------------|-----------------------------|--|
| | 50 kg.ha ⁻¹ P | PSB | GM | PSB+GM | PSB+GM+25 kg.ha ⁻¹ P | PSB+25 kg.ha ⁻¹ P | GM+25 kg.ha ⁻¹ P | |
| Control | 25.9 (±1.21) ^{gh} | 28.5 (±1.52) ^{fg} | 24.7 (±2.8) ^h | 27.1 (±1.15) ^{gh} | 31.1 (±1.16) ^{cde} | 34.3 (±1.3) ^{cd} | 30.7 (±1.18) ^{ef} | |
| 14.7 (±1.18) ^j | 30.8 (±1.18) ^{ef} | 31.9 (±1.7) ^{cde} | 35.06 (±2.9) ^c | 31.6 (±1.3) ^{def} | 40.17 (±2.5) ^b | 34.1 (±1.04) ^{cd} | 43.7 (±2.9) ^a | |
| 19.2 (±1.18) ⁱ | | | | | | | | |

میانگین‌هایی، در هر ستون، که دارای حرف مشترک می‌باشند بر مبنای آزمون چند دامنه‌ای دانکن در سطح احتمال ۵ درصد تفاوت معنی داری ندارند.

Means, in each column, followed by similar letter are not significantly different at the 5% probability level- using Duncan's Multiple Range Test.

موسه آ ۲۵+ کیلوگرم در هکتار کود شیمیایی فسفر و کمترین عملکرد دانه با متوسط ۹۸۵/۰۱ کیلوگرم در هکتار از رقم کراس‌سبلان و در شاهد (عدم مصرف هیچ منبع کودی) حاصل شد، که نسبت به شاهد (عدم مصرف هیچ منبع کودی) موجب افزایش ۷۲ درصدی در عملکرد دانه گردید (جدول ۱۰). بیشتر بودن عملکرد دانه در تیمارهای قارچ گلوموس موسه آ ۲۵+ کیلوگرم در هکتار کود شیمیایی فسفر و کمترین وزن هزار دانه با متوسط ۳۲۰/۰۳ گرم از رقم کراس‌سبلان و در شاهد (عدم مصرف هیچ منبع کودی) حاصل شد، که نسبت به شاهد (عدم مصرف هیچ منبع کودی) موجب افزایش ۱۹/۳ درصدی در وزن هزار دانه گردید (جدول ۱۰). علت افزایش وزن هزار دانه را در در رقم و تیمار قارچ گلوموس موسه آ می‌توان به دلیل این باشد که زمانی که گیاه شدیداً در حال رشد می‌باشد مواد حاصل از فتوستنتز به ریشه‌ها انتقال می‌یابد، توسعه ریشه شرایط برای جذب عناصر غذایی فراهم می‌شود که این به نوبه خود باعث افزایش فتوستنتز می‌گردد. زمانی که گیاه به دوران رسیدگی نزدیک می‌گردد مواد حاصل از فتوستنتز را به اندام‌های زایشی (دانه‌ها) منتقل می‌کند. باکتری سودوموناس پوتینیا و قارچ گلوموس موسه آ از طریق تسربی و تقویت (Naseri et al., 2017a) در شرایط آب و هوایی ایلام و در مرحله تشکیل و پر شدن دانه که عملاً کمبود آب و گرما (جدول ۲) را شاهد هستیم کمبود رطوبت موجب می‌گردد که عمل تشکیل دانه و پر شدن دانه به خوبی صورت نگیرد و با مشکل مواجه گردد که نتیجه آن چروکیدگی و کاهش وزن هزار دانه می‌باشد. در این پژوهش نیز نشان داده شد که باکتری سودوموناس پوتینیا و قارچ گلوموس موسه آ موجب فراهم شدن رشد بهتر اندام‌های هوایی از طریق افزایش سیستم ریشه‌دهی و جذب عناصر غذایی عذایی، موجب افزایش میزان کلروفیل برگ شده (Naseri et al., 2017b) که متعاقب آن سبب افزایش سطح سبز گیاه و موجب ذخیره بیشتر مواد فتوستنتزی به سمت دانه و افزایش وزن هزار دانه می‌گردد. به نظر می‌رسد که میزان کود زیستی با تولید هورمون‌های رشد و تأمین عناصر غذایی، ضمن افزایش سرعت پر شدن دانه امکان تداوم بیشتر دوره پر شدن را نیز فراهم ساخته‌اند (Naseri et al., 2017a). ناصری و همکاران (Naseri et al., 2010) در آزمایشی نشان دادند کمبود آب اندازه و وزن دانه‌های گندم را به علت تقلیل انتقال مجدد آسمیلات‌ها کاهش می‌دهد و کاهش وزن هزار دانه و تعداد دانه باعث کاهش عملکرد دانه می‌شود.

کاهش وزن مخصوص ظاهری خاک، افزایش ظرفیت نگهداری آب و ساختمان گرانولهای خاک، افزایش فعالیت‌های کود زیستی و آنزیمی و آزادسازی عناصر غذایی موجود در کلوبیت‌های خاک از دلایل افزایش رشد گیاه موثر شوند (Sharma, 2002). در گزارشات دیگر نیز افزایش عملکرد دانه در سطوح کودی در گیاهان تلقیح شده، به افزایش جذب عناصر غذایی فسفر تولیدهای رشد، تحمل به تنفس خشکی و مقاومت به عوامل بیماری‌زا گزارش شده است (Ashraf et al., 2004).

دلي افزایش اعملاً عملکرد دانه در تیمار منابع کودی می‌توان دانست.

کاهش وزن مخصوص ظاهری خاک، افزایش ظرفیت نگهداری آب و ساختمان گرانولهای خاک، افزایش فعالیت‌های کود زیستی و آنزیمی و آزادسازی عناصر غذایی موجود در کلوبیت‌های خاک از دلایل افزایش عملکرد در سیستم‌های تغذیه تلفیقی از کودهای زیستی و شیمیایی می‌تواند باشد (Maghsoudi et al., 2014).

اثر برهمکنش رقم × منابع کودی در سطح احتمال یک درصد بر عملکرد زیست‌توده معنی‌دار گردید (جدول ۵). بیشترین عملکرد زیست‌توده با متوسط ۷۸۴۰/۶ کیلوگرم در هکتار از رقم ساجی و تحت کاربرد باکتری سودوموناس پوتینیا + قارچ گلوموس موسه آ ۲۵+ کیلوگرم در هکتار کود شیمیایی فسفر و کمترین عملکرد زیست‌توده با متوسط ۳۳۴۰ کیلوگرم در هکتار از رقم کراس‌سبلان و در شاهد (عدم مصرف هیچ منبع کودی) حاصل شد، که نسبت به شاهد (عدم مصرف هیچ منبع کودی) موجب افزایش ۵۷ درصدی در عملکرد زیست‌توده گردید (جدول ۱۰). اثر ساده مکان بر عملکرد زیست‌توده نیز معنی‌دار گردید (جدول ۴).

وزن هزار دانه که از اجزای مهم عملکرد دانه به حساب می‌آید، در این پژوهش تحت برهمکنش رقم × منابع کودی در سطح احتمال پنج درصد معنی‌دار گردید (جدول ۵). بیشترین وزن هزار دانه با متوسط ۳۹/۷ گرم از رقم ساجی و تحت کاربرد باکتری سودوموناس پوتینیا + قارچ گلوموس موسه آ ۲۵+ کیلوگرم در هکتار کود شیمیایی فسفر و کمترین وزن هزار دانه با متوسط ۳۲۰/۰۳ گرم از رقم کراس‌سبلان و در شاهد (عدم مصرف هیچ منبع کودی) حاصل شد، که نسبت به شاهد (عدم مصرف هیچ منبع کودی) موجب افزایش ۱۹/۳ درصدی در وزن هزار دانه گردید (جدول ۱۰). علت افزایش وزن هزار دانه را در در رقم و تیمار قارچ گلوموس موسه آ می‌توان به دلیل این باشد که زمانی که گیاه شدیداً در حال رشد می‌باشد مواد حاصل از فتوستنتز به ریشه‌ها انتقال می‌یابد، توسعه ریشه شرایط برای جذب عناصر غذایی فراهم می‌شود که این به نوبه خود باعث افزایش فتوستنتز می‌گردد. زمانی که گیاه به دوران رسیدگی نزدیک می‌گردد مواد حاصل از فتوستنتز را به اندام‌های زایشی (دانه‌ها) منتقل می‌کند. باکتری سودوموناس پوتینیا و قارچ گلوموس موسه آ از طریق تسربی و تقویت (Naseri et al., 2017a) در شرایط آب و هوایی ایلام و در مرحله تشکیل و پر شدن دانه که عملاً کمبود آب و گرما (جدول ۲) را شاهد هستیم کمبود رطوبت موجب می‌گردد که عمل تشکیل دانه و پر شدن دانه به خوبی صورت نگیرد و با مشکل مواجه گردد که نتیجه آن چروکیدگی و کاهش وزن هزار دانه می‌باشد. در این پژوهش نیز نشان داده شد که باکتری سودوموناس پوتینیا و قارچ گلوموس موسه آ موجب فراهم شدن رشد بهتر اندام‌های هوایی از طریق افزایش سیستم ریشه‌دهی و جذب عناصر غذایی عذایی، موجب افزایش میزان کلروفیل برگ شده (Naseri et al., 2017b) که متعاقب آن سبب افزایش سطح سبز گیاه و موجب ذخیره بیشتر مواد فتوستنتزی به سمت دانه و افزایش وزن هزار دانه می‌گردد. به نظر می‌رسد که میزان کود زیستی با تولید هورمون‌های رشد و تأمین عناصر غذایی، ضمن افزایش سرعت پر شدن دانه امکان تداوم بیشتر دوره پر شدن را نیز فراهم ساخته‌اند (Naseri et al., 2017a). ناصری و همکاران (Naseri et al., 2010) در آزمایشی نشان دادند کمبود آب اندازه و وزن دانه‌های گندم را به علت تقلیل انتقال مجدد آسمیلات‌ها کاهش می‌دهد و کاهش وزن هزار دانه و تعداد دانه باعث کاهش عملکرد دانه می‌شود.

همان‌طوری که جدول تجزیه واریانس مرکب داده‌ها نشان می‌دهد عملکرد دانه تحت تاثیر رقم، منابع کودی و همچنین برهمکنش آن‌ها اختلاف معنی‌داری نشان داد (جدول ۵). بیشترین عملکرد دانه با متوسط ۳۵۷۱/۶ و ۳۵۷۱/۸ کیلوگرم در هکتار از رقم ساجی و تحت کاربرد باکتری سودوموناس پوتینیا + قارچ گلوموس موسه آ ۲۵+ کیلوگرم در هکتار کود شیمیایی فسفر و قارچ گلوموس

جدول ۸- مقایسه میانگین اثر برهمکنش رقم×منابع کودی بر قطر ریشه و چگالی سطح ریشه دو رقم گندم دیم

Table 8- Mean comparisons of interaction effect of cultivar ×fertilizer sources on Root diameter and root surface area density in two dry land wheat cultivars

| شاهد Control | قطر ریشه | | Root diameter (cm) | | | | | |
|------------------------------------|------------------------------------|-------------------------------------|------------------------------------|------------------------------------|--|------------------------------------|------------------------------------|--|
| | | | کراس سبلان | | Keras Sabalan | | | |
| | 50 kg.ha ⁻¹ P | PSB | GM | PSB+GM | PSB+GM+25 kg.ha ⁻¹ P | PSB+25 kg.ha ⁻¹ P | GM+25 kg.ha ⁻¹ P | |
| 0.44 (± 0.017) ^a | 0.43 (± 0.022) ^{ab} | 0.39 (± 0.013) ^{cde} | 0.43 (± 0.014) ^{ab} | 0.40 (± 0.014) ^{cd} | 0.31 (± 0.011) ^g | 0.32 (± 0.013) ^{fg} | 0.34 (± 0.014) ^f | |
| 0.41 (± 0.019) ^{bc} | 0.40 (± 0.018) ^{cd} | 0.40 (± 0.012) ^{cd} | 0.37 (± 0.010) ^e | 0.38 (± 0.012) ^{de} | 0.31 (± 0.012) ^g | 0.32 (± 0.014) ^{fg} | 0.31 (± 0.0099) ^g | |
| | ساجی | | ساجی | | Root surface area density (cm ² .cm ⁻³) | | | |
| | چگالی سطح ریشه | | کراس سبلان | Keras Sabalan | | | | |
| 26.9 (± 3.1) ^g | 42.3 (± 4.1) ^e | 50.9 (± 4.3) ^d | 50.42 (± 3.3) ^d | 50.3 (± 4.4) ^d | 70.4 (± 5.5) ^b | 74 (± 6.5) ^b | 60.1 (± 4.5) ^c | |
| 33.6 (± 3.2) ^f | 48.5 (± 4.7) ^d | 49.1 (± 4.05) ^d | 58 (± 4.8) ^c | 57.9 (± 5.6) ^c | 82.4 (± 6.03) ^a | 75.5 (± 5.6) ^b | 84.3 (± 5.8) ^a | |

میانگین‌هایی، در هر ستون، که دارای حرف مشترک می‌باشند بر مبنای آزمون چند دامنه‌ای دلکن در سطح احتمال ۵ درصد تفاوت معنی‌داری ندارند.

Means, in each column, followed by similar letter are not significantly different at the 5% probability level- using Duncan's Multiple Range Test.

جدول ۹- مقایسه میانگین اثر برهمکنش رقم×منابع کودی بر عملکرد و اجزای عملکرد دو رقم گندم دیم

Table 10- Mean comparisons of interaction effect of cultivar ×fertilizer sources on yield and yield component in two dry land wheat cultivars

| شاهد Control | تعداد سنبله در متر مربع | | Spike.m ⁻² | | | | | |
|-------------------------------------|---------------------------------------|---------------------------------------|--------------------------------------|---------------------------------------|--------------------------------------|--------------------------------------|--------------------------------------|--|
| | | | کراس سبلان | | Keras Sabalan | | | |
| | 50 kg.ha ⁻¹ P | PSB | GM | PSB+GM | PSB+GM+25 kg.ha ⁻¹ P | PSB+25 kg.ha ⁻¹ P | GM+25 kg.ha ⁻¹ P | |
| 225.1 (± 5.7) ^h | 249.1 (± 4.03) ^{cd} | 258 (± 6.16) ^{abc} | 246.8 (± 6.64) ^{de} | 249.6 (± 7.03) ^{cd} | 263.8 (± 6.9) ^{ab} | 267.3 (± 6.9) ^a | 267.3 (± 4.2) ^a | |
| 222.6 (± 7.9) ^h | 239.1 (± 5.02) ^{efg} | 232 (± 6.14) ^{gh} | 246.1 (± 2.62) ^{def} | 236.8 (± 6.24) ^{fg} | 248.8 (± 7.01) ^{cde} | 242.1 (± 5.98) ^{def} | 257.5 (± 4.51) ^{bc} | |
| | ساجی | | ساجی | | Grains.spike ⁻¹ | | | |
| | تعداد دانه در سنبله | | | | | | | |
| 14.3 (± 0.59) ^j | 25.9 (± 1.4) ^{gh} | 28.5 (± 1.8) ^{fg} | 24.7 (± 1.4) ^h | 27.1 (± 1.6) ^{gh} | 32 (± 2.01) ^{de} | 34.3 (± 2.2) ^{cd} | 30.7 (± 1.8) ^{ef} | |
| 19.2 (± 1.5) ⁱ | 30.8 (± 1.6) ^{ef} | 31.9 (± 2.3) ^{dce} | 35.06 (± 2.8) ^{cx} | 31.6 (± 1.7) ^{de} | 40.1 (± 1.6) ^b | 34.1 (± 1.5) ^{cd} | 43.7 (± 1.1) ^a | |
| | وزن هزار دانه | | | | 1000-grain weight (g) | | | |
| 32.03 (± 0.69) ^h | 32.9 (± 0.36) ^{gh} | 34.4 (± 0.76) ^{defg} | 34.1 (± 1.07) ^{fg} | 33.7 (± 0.67) ^b | 35.9 (± 0.48) ^{bvd} | 37.1 (± 0.68) ^b | 35.5 (± 0.56) ^{cdef} | |
| 33.2 (± 0.4) ^{gh} | 34.2 (± 0.27) ^{defg} | 34.4 (± 0.2) ^{defg} | 35.7 (± 0.59) ^{bcd} | 35.3 (± 0.34) ^{cdef} | 39.7 (± 0.47) ^a | 36.4 (± 0.37) ^{bc} | 39.5 (± 0.9) ^a | |
| | عملکرد دانه | | | | Grain yield (kg.ha ⁻¹) | | | |
| 985.1 (± 196.78) ^g | 1959.01 (± 111.76) ^f | 2300.4 (± 150.4) ^e | 1949.3 (± 122) ^f | 2066.9 (± 187.65) ^{ef} | 2727.9 (± 230.98) ^c | 3158.6 (± 161.23) ^b | 2666.5 (± 239.28) ^c | |
| | کراس سبلان | | Keras Sabalan | | | | | |
| 1286.2 (± 176.5) ^g | 2310.08 (± 158.62) ^e | 2359.7 (± 197.05) ^{de} | 2741.7 (± 219.41) ^c | 2382.9 (± 147.06) ^{de} | 3517.8 (± 143.45) ^a | 2838.7 (± 180.8) ^{bc} | 3571.6 (± 199.87) ^a | |
| | ساجی | | Saji | | | | | |
| | عملکرد زیست توده | | | | Biomass yield (kg.ha ⁻¹) | | | |
| 3340 (± 310.1) ^g | 5443.3 (± 351.53) ^{ef} | 5808.5 (± 368.7) ^{cde} | 5078.8 (± 259.77) ^f | 5138.3 (± 362.75) ^{ef} | 6401.7 (± 491.78) ^b | 7281.6 (± 196.65) ^a | 6121.6 (± 435.16) ^b | |
| | کراس سبلان | | Keras Sabalan | | | | | |
| 3865 (± 314.34) ^g | 5668.3 (± 373) ^{def} | 5661.6 (± 371.1) ^{def} | 6439.8 (± 492.1) ^{bc} | 5571.1 (± 367.9) ^{def} | 7840.6 (± 445.34) ^a | 6526.6 (± 476.84) ^b | 7758.3 (± 565.9) ^a | |
| | ساجی | | Saji | | | | | |

میانگین‌هایی، در هر ستون، که دارای حرف مشترک می‌باشند بر مبنای آزمون چند دامنه‌ای دلکن در سطح احتمال ۵ درصد تفاوت معنی‌داری ندارند.

Means, in each column, followed by similar letter are not significantly different at the 5% probability level- using Duncan's Multiple Range Test.

نتیجه‌گیری

با توجه به نتایج به دست آمده نشان داده شد که تلقیح بذر گندم دیم با باکتری‌های حل کننده فسفات و قارچ میکوریزا سبب افزایش سیستم ریشه‌دهی گندم که در نهایت موجب بهبود خصوصیات رشدی گیاه و در نهایت عملکرد دانه به واسطه کاهش تنش‌های آخر فصلی (خشکی و دما) که گندم با آن مواجه می‌گردد موثر گردید. در این پژوهش در هر دو رقم گندم مورد استفاده از باکتری سودوموناس پوتیدا و قارچ گلوموس موسه آ به واسطه افزایش خصوصیات ریشه (حجم ریشه، سطح ریشه، تراکم طول ریشه و چگالی سطح ریشه) سبب افزایش رطوبت و در نهایت خصوصیات رشدی گیاه شد. تیمار رقم ساجی × قارچ گلوموس موسه آ ۲۵+ ۲۵ کیلوگرم در هکتار کود شیمیایی فسفر توانست با ایجاد سیستم ریشه گستره موجب افزایش عملکرد و اجزای عملکرد دانه در شرایط دیم شد. از آنجا که در شرایط دیم محدودیت آب در مناطق خشک و نیمه خشک و شرایط دیم ایلام جهت دسترسی به حداکثر عملکرد دانه وجود دارد جهت جبران خسارت ناشی از تنش‌های محیطی در کشت دیم استفاده از رقم ساجی در قارچ میکوریزا می‌تواند مفید باشد.

روند تغییرات عملکرد زیست‌توده مشابه عملکرد دانه بوده است. در تیمار منابع کودی عملکرد زیست‌توده به دلیل افزایش اجزای زایشی (تعداد سنبله در متر مربع، تعداد سنبلاچه در سنبله، تعداد دانه و وزن هزار دانه) در مقایسه با شاهد (عدم مصرف هیچ منبع کودی) و جذب جذب عناصر غذایی بیشتر (Naseri et al., 2017b) توسط گیاه رشد و نمو و فعالیت‌های بیوشیمیایی گیاه را افزایش می‌دهد و این امر موجب افزایش عملکرد دانه و عملکرد زیست‌توده در گیاه می‌شود. بر اساس نتایج رودریگز و فراگا (Rodriguez and Fraga, 1999) در اثر کاربرد سودوموناس افزایش معنی‌داری در عملکرد زیست‌توده همراه با افزایش فسفر در گیاه گندم گزارش شده است. بنابراین، با توجه به نتایج حاصل از این آزمایش به خصوص عملکرد زیست‌توده و سایر صفات مربوط به عملکرد و اجزای عملکرد می‌توان چنین نتیجه گرفت که قارچ میکوریزا در شرایط مختلف رطوبتی می‌تواند باعث افزایش عملکرد زیست‌توده شود و در شرایط تنش خشکی گرما باعث افزایش مقاومت گیاه به تنش‌ها می‌شود.

References

1. Abrishamchi, P., Ganjeali, A., and Sakeni, H. 2012. Evaluation of morphological traits, proline content and antioxidant enzymes activity in chickpea genotypes (*Cicer arietinum* L.) under drought stress. Iranian Journal of Pulses Research 3 (2): 17-30. (in Persian with English abstract).
2. Al-Karaki, G., Michael, M. C., and John Zak, B. 2004. Field response of wheat to arbuscular mycorrhizal fungi and drought stress. Mycorrhiza 14: 263-269.
3. Askary, M., Mostajeran, A., Amooaghaei, R., and Mostajeran, M. 2009. Influence of the coinoculation *Azospirillum brasiliense* and *Rhizobium meliloti* plus 2, 4-d on grain yield and NPK content of *Triticum aestivum* (cv. Baccros and Mahdavi). Pakistan Journal of Biological 5: 296-307.
4. Ahmed, M. A., Amal, G. A., Magda, H. M., and Tawfik, M. M. 2011. Integrated effect of organic and biofertilizer on wheat productivity in new reclaimed sandy soil. Research Journal of Agriculture and Biological Sciences 7: 105-114.
5. Akhtar, M. S., and Siddiqui, Z. A. 2008. Arbuscular mycorrhizal fungi as potential bioprotectants against plant pathogens. p. 61-97. In: Z.A. Siddiqui, et al. (Eds.) mycorrhizae: Sustainable Agriculture and Forestry, Springer Science+Business Media B.V.
6. Akhavan, S., Shabani, M., and Esfahani, M. 2012. Soil compaction and texture effects on the growth of roots and shoots of wheat. Journal of Water and Soil 26 (1): 725-735.
7. Amiri, M. B., Rezvani Moghadam, P., Ghorbani, R., Falahi, Gh., Deyhimfard, R., and Falah Pour. F. 2013. Effects of coulanation with bio-fertilizer on growth characteristics of three wheat cultivars at emergency growth under greenhouse conditions. Iranian Journal of Field Crops Research 11 (1): 64-72. (in Persian with English abstract).
8. Amiri Farsani, F., Chorom, M., and Enayatizamir. N. 2013. Effect of biofertilizer and chemical fertilizer on wheat yield under two soil types in experimental greenhouse. Soil and Water 27 (2): 441-451. (in Persian with English abstract).
9. Ashraf, M., Museen-Ud-Din, M., and Warraich, N. H. 2004. Production efficiency of mung bean (*Vigna radiata* L.) as affected by seed inoculation and NPK application. International Journal of Agriculture and Biology 5 (2): 179-180.
10. Askary, M., Mostajeran, A., Amooaghaei, R., and Mostajeran, M. 2009. Influence of the coinoculation *Azospirillum brasiliense* and *Rhizobium meliloti* plus 2, 4-d on grain yield and NPK content of *Triticum aestivum* (cv. Baccros and Mahdavi). Pakistan Journal of Biological 5: 296-307.
11. Asrar, A. W. A., and Elhindi, K. M. 2011. Alleviation of drought stress of marigold (*Tagetes erecta*) plants by using arbuscular mycorrhizal fungi. Saudi Journal of Biological Sciences 18: 93-98.

12. Azadi, S., Siadat, A., Naseri, R., Soleymanifard, A., and Mirzaei, A. 2013. Effect of integrated application of *Azotobacter chroococcum* and *Azospirillum brasiliense* and nitrogen chemical fertilizers on qualitative and quantitative of durum wheat. *Journal of Crop and Ecophysiology* 5 (26):129-146. (in Persian with English abstract).
13. Baghban-Tabiat, S., and Rasouli-Sadaghiani, M. 2012. Investigation of Zn utilization and acquisition efficiency in different wheat genotypes at greenhouse conditions. *Journal of Science and Technology of Greenhouse Culture Soilless Culture Research Center* 3 (2): 17-32. (in Persian with English abstract).
14. Bahrani, A., Pourreza, J., and Haghjoo, M. 2010. Response of winter wheat to co-inoculation with *Azotobacter* and Arbuscular Mycorrhizal fungi (AMF) under different sources of nitrogen fertilizer. *American-Eurasian Journal Agriculture and Environment Science* 8(1): 95-103.
15. Banerjee, M., Yesmin, R. L., and Vessey, J. L. 2006. Plant-growth-promoting rhizobacteria as biofertilizers and biopesticides. pp. 137-181. In: *Handbook of microbial biofertilizers*. Ed., Rai, M., K., Food Production Press, U.S.A.
16. Caird, M. A., Richards, J. H., and Donovan, L. A. 2007. Night time stomatal conductance and transpiration in C₃ and C₄ plants. *Plant Physiology* 143: 4-10.
17. Dobbelaere, S., Vanderleyden, J., and Yacovokon, Y. 2003. Plant growth-promoting effects of diazotrophs in the rhizosphere. *Critical Review Plant Science* 22: 107-149.
18. Esmaielpour, B., and Amani, N. 2014. Investigating the effect of mycorrhizal inoculation on growth and uptake of nutrients in *lactuca sativa* cv Syaho. *Journal of Soil Management and Sustainable Production* 4 (2): 49-68. (in Persian with English abstract).
19. Ehteshami, S. M. R., Hakimian, F., Yousefie Rad, M., and Chaichi, M. R. 2014. Effect of the integration in phosphate fertilizer different levels and phosphate solubilizing bacteria on forage quantitative and qualitative of two barley cultivars. *Agronomy Journal (Pajouhesh & Sazandegi)* 102: 141-150. (in Persian with English abstract).
20. Eydizadeh, K., Mahdavi Damghani, A., Sabahi, H., and Soufizadeh, S. 2010. Effect of integrated application of biofertilizer and chemical fertilizer on growth of maize (*Zea mays* L.) in Shushtar. *Journal of Agroecology* 2 (2): 292-301. (in Persian with English abstract).
21. Ganjeali, A., and Kafi, M. 2007. Genotypic differences for allometric relationships between root and shoot characteristics chickpea (*Cicer arietinum* L.). *Pakistan Journal of Botany* 39 (5): 1523-1531.
22. Hajabbasi, M. A. 2001. Tillage Effects on Soil Compactness and Wheat Root Morphology. *Journal of Agricultural Science and Technology* 3: 67-77.
23. Jiriaie, M., Fateh, E., and Aynehband, A. 2014. The consequences of single and integrated application of Mycorrhiza and *Azospirillum* inoculants on yield and yield components of warm region wheat cultivars (*Triticum* spp.). *Journal of Agroecology* 16 (3): 520-528. (in Persian with English abstract).
24. Khalvati, M. A., Mozafar, A., and Schmidhalter, V. 2005. Quantification of water uptake by arbuscular mycorrhizal hyphae and its significance for leaf growth water relations and gas exchange of barley subjected to drought stress. *Plant Biology Stuttgart* 7 (6): 706-712.
25. Khosravi, H., and Mahmoudi, H. 2013. Evaluation of effects of *Azotobacter* inoculation and manure on growth of rainfed wheat. *Journal of Soil Management and Sustainable Production* 3 (2): 205-219. (in Persian with English abstract).
26. Khosrojerdi, M., Shahsavani, Sh., Gholipor, M., and Asghari, H. R. 2013. Effect of rhizobium inoculation and mycorrhizal fungi on some nutrient uptake by chickpea at different levels of iron sulfate fertilizer. *Electronic Journal of Crop Production* 6 (3): 71-87. (in Persian with English abstract).
27. Maghsoudi E., Ghalavand, A., and Aghaalkhani, M. 2014. Effect management strategies fertilizer nitrogen and biological on morphological traits, yield and quality traits corn (S.C. 704). *Iranian Journal of Field Crops Research* 12 (2): 273-382. (in Persian with English abstract).
28. Mahanta, D., Rai, R. K., Mishra, S. D., Raja, A., Purakayastha, T. J., and Varghese, E. 2014. Influence of phosphorus and biofertilizers on soybean and wheat root growth and properties. *Field Crops Research* 166: 1-9.
29. Malik, A. U., Malghani, A. L., and Hus, F. 2012. Growth and yield response of wheat (*Triticum aestivum* L.) to phosphobacterial inoculation. *Russian Agricultural Sciences* 38: 11-13.
30. Mertnese, T., and Hess, D. 2004. Yield increase in spring wheat inoculated with *Azospirillum* under greenhouse and field condition of a temperate region. *Plant and Soil* 82: 87-99.
31. Ministry of Agriculture- Jahad. Agricultural statistic. 2016-17.
32. Naseri, R., Soleymanifard, A., Mahmodian, L., and Nazrbegi, E. 2010. The effect of drought stress at different growth stages on seed yield and some agronomic traits of four rapeseed cultivars. *National Congress of New Findings in Oilseed Crops Production* 26-27Jun. (in Persian with English abstract).
33. Naseri, R., Barary, M., Zarea, M. J., Khavazi, K., and Tahmasebi, Z. 2016. Studying root morphological characteristics of seminal roots systems of durum and bread wheat cultivars. *Journal of Crop Ecophysiology* 10 (2): 477-492. (in Persian with English abstract).

34. Naseri, R., Barary, M., Zarea, M. J., Khavazi, K., and Tahmasebi, Z. 2017a. Effect of plant growth promoting bacteria and Mycorrhizal fungi on growth and yield of wheat under dryland conditions. *Journal of Soil Biology* 5 (1): 49-67. (in Persian with English abstract).
35. Naseri, R., Barary, M., Zarea, M. J., Khavazi, K., and Tahmasebi, Z. 2017b. Effect of phosphate solubilizing bacteria and mycorrhizal fungi on some activities of antioxidative enzymes, physiological characteristics of wheat under dry land conditions. *Iranian Journal of Dryland Agriculture* 6 (1): 1-34. (in Persian with English abstract).
36. Paras-Motlagh, B., Mahmoodi, S., Sayyar-Zahan, M. H., and Naghibzadeh, M. 2011. Effect of mycorrhiza fungi and phosphorus fertilizer on concentration of leaf nutrients and photosynthetic pigments of common bean (*Phaseolus vulgaris* L.) under salinity stress condition. *Journal of Agroecology* 3 (2): 233-244. (in Persian with English abstract).
37. Rahimi, A., Jamialahmadi, M., Khavazi, K., Sayyari-Zahan, M., and Yazdani, R. 2013. Effects of different pseudomonas fluorescence bacterium strains on yield, yield components and some traits of safflower. *Journal of Plant Ecophysiology* 5 (14), 1-16. (in Persian with English abstract).
38. Rodriguez, H., and Fraga, R. 1999. Phosphate solubilizing bacteria and their role in plant growth promotion. *Biofertilization Advances* 17: 319-339.
39. Rouzbeh, R., Daneshian, J., and Farahani, H. A. 2009. Super nitro plus influence on yield and yield components of two wheat cultivars under NPK fertilizer application. *Journal of Plant Breeding and Crop Science* 1: 293-297.
40. Shahroona, B., Naveed, M., Arshad, M., and Zahir, Z. A. 2008. Fertilizer-dependent efficiency of *Pseudomonas* for improving growth, yield and nutrient use efficiency of wheat (*Triticum aestivum* L.). *Microbial Biotechnology* 79: 147-155.
41. Sharma, A. K. 2002. Biofertilizers for sustainable agriculture. 1st edition. Jodhpur: agrobios, Indian, 456p.
42. Shoghi Kalkhoran, S., Ghalavand, A., Modarres-Sanavy, S. A. M., and Akbari, P. 2010. Effect of nitrogen fertilizer and biofertilizer application on yield and quality of sunflower (*Helianthus annuus* L.). *Iranian Journal of Crop Sciences* 12 (4) 467-481. (in Persian with English abstract).
43. Vessey, J. K., and Buss, T. J. 2002. *Bacillus cereus* UW85 inoculation effects on growth, nodulation, and N accumulation in grain legumes: Controlled-environment studies. *Canadian Journal of Plant Science* 82: 282-290.
44. Wu, B., Cao, Z. H., Li, Z. G., Cheung, K. C., and Wong, M. H. 2005. Effects of biofertilizer containing N-fixer, P and K solubilizers and AM fungi on maize growth. A greenhouse trial. *Geoderma* 125 (1-2): 155-162.



Evaluation of Root and Grain Yield of Wheat Cultivars Affected by Phosphate Solubilizing Bacteria and Mycorrhizal Fungi under Dry land Conditions

R. Naseri^{1*}, M. Barary¹, M. J. Zarea¹, K. Khavazi², Z. Tahmasebi¹

Received: 02-12-2017

Accepted: 10-06-2018

Introduction: Current estimates indicate that 25% of the world agricultural lands are affected by water stress. Iran, with an annual 228 mm of rainfall, is classified as a dry region in the word. Wheat is one of the main cereal crops, cultivated for human feeding. In order to increase crop yield per unit area, largely chemical fertilizers are used. The result of these activities in recent years has been the crisis of environmental pollution, especially water and soil pollution that threatens human society. Phosphorus is one of the limiting elements for crop production. It is essential for energy transfer, photosynthesis and other biochemical and genetic activities of plant. Biofertilizers have been used as source to improve plant nutrients in sustainable agriculture. Phosphorus Solubilizing Bacteria (PSB) plays an important role in phosphorus nutrition by enhancing its availability to plants through release from inorganic and organic soils phosphorus pools by solubilizing and mineralization. Mycorrhizal crops often have greater tolerance to drought than nonmycorrhizal crops. The use of arbuscular mycorrhizal fungi capable of forming symbiotic associations with most agricultural crops and has potential under such systems due to its higher binding capabilities and mineral nutrition. Therefore, the main of this study was to study the effect of phosphate solubilizing bacteria and mycorrhizal fungi on root characteristics and grain yield in dryland wheat cultivars.

Materials and Methods: This experiment was carried out as factorial arrangement based on a randomized complete block design with three replications at the Agricultural Research Station of Ilam University (46°28' N, 33°37 E; elevation 1174 m) and Sarableh Agricultural Research, Recources Center (34°46 N, 33°45 E; elevation 975 m) during growing season 2013-2014. Experiment factors consisted of two dry land cultivars (Keras Sablan and Saji) and fertilizer sources including of 1: without application of phosphorous chemical fertilizer, 2: 50 kg.ha⁻¹ phosphorous chemical fertilizer, 3: *pseudomonas putida* (PSB), 4: *Glomus mosseae* (GM), 5: PSB+GM, 6:PSB+GM+25 kg.ha⁻¹ phosphorous chemical fertilizer, 7: PSB+ 25 kg.ha⁻¹ phosphorous chemical fertilizer and 8: GM+25 kg.ha⁻¹ phosphorous chemical fertilizer. At flowering stage root traits such as root volume, root area, root diameter, root length density and root surface area density were studied and measured. At full maturity, agronomic traits such as spikes.m⁻², grains.spike⁻¹, 1000-grain weight, grain yield and biomass yield were recorded using a sample of ten random guarded plants from the middle ridges of each plot. The data were analyzed statistically by SAS program and the data means were compared by Duncan's multiple range test (DMRT).

Results and Discussion: Results indicated that interaction effect between cultivar× fertilizer sources had significant effect on root length total, root volume, root area, root diameter, root length density, root surface area density, spike.m⁻², grains.spike⁻¹, 1000-grain weight, grain yield and biomass yield. Using fertilizer sources had positive and significant effect on root traits and grain yield in two dryland wheat under dry land condition, so that Saji cultivar ×GM+25 kg.ha⁻¹ had the highest root volume (4.6 cm³), root area (70.9 cm⁻²), root length density (0.158 cm root length.cm⁻³ soil), root surface area density (84.3 cm².cm⁻³), spike.m⁻² (257.5 spikes), grains.spike⁻¹ (42.7 grains), 1000-grain weight (39.7 g), grain yield (3571.6 kg.ha⁻¹) and biomass yield (7840.6 kg.ha⁻¹) and the lowest root traits and grain yield belonged to Keras Sabalan×check treatment. There was

1- Department of Agronomy and Plant Breeding, Faculty of Agriculture, Ilam University, Ilam, Iran

3- Professor, Soil and Water Research Institute, Karaj, Iran

(*- Corresponding Author Email: rahim.naseri@gmail.com)

significant different between cultivars to response of Using of phosphate solubilizing bacteria and mycorrhizal fungi, so that Saji cultivars had the best response to mycorrhizal fungi. Therefore with regard to cultivation of wheat is facing to drought and heat stress indicated that Saji cultivar and using of mycorrhizal fungi can be the best result under dry land conditions.

Conclusions: The results indicated phosphate solubilizing bacteria (PSB) and mycorrhizal fungi (GM) had positive effect on root system and grain yield, so that root traits and grain yield had the better status in presence of inoculation with GM. In fact PSB and GM could alleviate the partial of grain yield in presence of dry land farming. Recent studies indicated that symbiosis bio-fertilizers also improved soil physical and chemical traits and increased organic matters content, root system and P available to coexistent plant.

Keywords: Fertilizer sources, Grain yield, Root area, Root volume, Root system



ارزیابی رابطه بین عملکرد دانه و درصد روغن با برخی از صفات مهم زراعی در کنجد به وسیله تجزیه علیت و تجزیه به مؤلفه‌های اصلی

بهرام مسعودی*

تاریخ دریافت: ۱۳۹۶/۰۹/۲۵

تاریخ پذیرش: ۱۳۹۷/۰۵/۲۱

چکیده

جهت مشخص کردن روابط بین عملکرد دانه و درصد روغن با برخی از صفات مهم زراعی و پیدا کردن اثرات مستقیم و غیر مستقیم آنها روی عملکرد دانه و درصد روغن و نیز انتخاب بهترین ارقام از نظر صفات مختلف، ۹۱ ژنتیپ کنجد در یک طرح آگمنت در موسسه اصلاح و تهیه نهال و بذر کرج در سال ۱۳۹۵ مطالعه شدند. در این مطالعه ۱۷ صفت کمی از جمله تعداد روز از جوانه‌زنی تا شروع گلدهی، تعداد روز از جوانه‌زنی تا شروع رسیدگی، ارتفاع اولین کپسول از سطح زمین، ارتفاع بوته، تعداد شاخه‌های فرعی، تعداد کپسول در شاخه‌های فرعی، تعداد کپسول در شاخه اصلی، تعداد کپسول‌های یک بوته، تعداد دانه در یک کپسول، وزن یک کپسول، طول کپسول، قطر کپسول، درصد روغن، عملکرد بیولوژیک و عملکرد دانه مورد ارزیابی قرار گرفت. ضرایب همبستگی ساده محاسبه گردید و معلوم شد که تعداد کپسول‌ها در گیاه، تعداد کپسول در شاخه‌های فرعی، عملکرد بیولوژیک، تعداد کپسول در شاخه اصلی و ارتفاع گیاه بالاترین ضرایب همبستگی را با عملکرد دانه دارا هستند. همچنین وزن صد دانه، عملکرد بیولوژیک، تعداد کپسول در شاخه اصلی، تعداد کپسول در تک بوته و وزن دانه‌های یک کپسول بالاترین همبستگی را با درصد روغن داشتند. تجزیه علیت نشان داد که تعداد کپسول‌ها در شاخه فرعی، عملکرد بیولوژیک و طول کپسول بیشترین اثر مستقیم مثبت را روی عملکرد دانه دارا بودند و پیشنهاد می‌شود که به عنوان شاخص‌های انتخاب برای پیشرفت عملکرد دانه به کار روند. همچنین وزن دانه‌های یک کپسول، طول کپسول، عملکرد دانه و تعداد کپسول در شاخه اصلی به ترتیب دارای بالاترین اثرات مستقیم مثبت روی درصد روغن دانه بودند. نتایج تجزیه به مؤلفه‌های اصلی نشان داد که ۶ مؤلفه مجموعاً ۸۲/۷۷ درصد از تغییرات داده‌ها را توجیه کردند. از لحاظ عملکرد به ترتیب ژنتیپ‌های Black c-2-c Lao hong zhi ma و Dulce 101/87 Bukbak دارای بالاترین اثرات مستقیم مثبت روی درصد روغن دانه در بای پلات حاصل از مؤلفه اول و دوم بودند. ژنتیپ شماره ۷۹ با نام ۲-۲-۳-۲ White c323-۲ دارای عملکرد نسبی خوب و همچنین مقدار روغن دانه نسبتاً خوب است. علاوه بر این، ژنتیپ‌های شماره ۷۹ و ۵۱ با نام‌های Local 123 و ۲-۳-۲ White c323 دارای عملکرد نسبی خوب و نیز نسبتاً زودرس است. در نهایت، ژنتیپ شماره ۴۹ با نام Lao hong zhi ma دارای عملکرد نسبی بالا و تعداد دانه در هر کپسول بالا می‌باشد. با توجه به نتایج می‌توان نتیجه‌گیری کرد که در اصلاح برای هر مؤلفه باید به صفات مرتبط با آن مؤلفه توجه شود به این دلیل که ژن یا ژن‌هایی که تعداد کپسول در یک بوته را کنترل می‌کنند، وزن یک بوته، وزن یک کپسول و صفات دیگر معنی دار در این مؤلفه را نیز به احتمال خیلی زیاد کنترل می‌کنند و مؤلفه یا ژنی که این صفات را کنترل می‌کند، مؤلفه یا ژن مشترک می‌باشد.

واژه‌های کلیدی: تجزیه به مؤلفه‌ها، تجزیه علیت، درصد روغن، عملکرد دانه

موردن توجه می‌باشد (Mkamilo and Bedigian, 2007). زمان کاشت در کنجد زمانی است که درجه حرارت خاک به ۲۰ درجه سانتی گراد رسیده باشد بنابراین کشت کنجد از نیمه دوم اردیبهشت ماه تا نیمه دوم تیرماه در مناطق گرمسیر و نیمه گرمسیر امکان‌پذیر است. عملکرد نسبتاً پایین کنجد یکی از دلایل مهمی است که صرورت اصلاح این گیاه را دوچندان نموده است (Furat and Uzun, 2010). استفاده از ارقام اصلاح شده می‌تواند موجب افزایش تولید و کیفیت محصولات زراعی از جمله افزایش کمی و کیفی روغن در گیاه کنجد گردد. میزان موفقیت در یک برنامه به نژادی و برنامه‌های انتخاب به دو عامل وجود تنوع ژنتیکی و انتخاب موثر ژنتیپ‌های مطلوب بستگی دارد (Falconer and Mackey, 1996).

مقدمه

کنجد (Sesamum indicum L.) گیاهی دیپلوئید ($2n = 26$) است که به طور معمول خودگردافشان بوده ولی تا ۵۰ درصد دگرگرده‌افشانی نیز توسط حشرات در این گیاه گزارش شده است، همچنین به دلیل سهولت استخراج و پایداری زیاد روغن آن و همچنین تحمل به خشکی، به عنوان یکی از مهمترین گیاهان روغنی

۱- استادیار موسسه تحقیقات اصلاح و تهیه نهال و بذر، سازمان تحقیقات، آموزش و ترویج کشاورزی، کرج، ایران

(Email: bmasoudi@gmail.com)

DOI: 10.22067/gsc.v17i1.69479

(*)- نویسنده مسئول:

داشت. محققین دیگر نیز به اثر مستقیم و مثبت تعداد کپسول در یک بوته روی عملکرد دانه تک بوته اشاره کردند Kavitha and Ramalingam, 2000; Arulmozhi *et al.*, 2001; Deepasankar and Anandakumar, 2003

اکبر و همکاران (Akbar *et al.*, 2011) با بررسی ۱۰۵ نمونه کنجد از نظر ۱۶ صفت کمی و کیفی و با استفاده از تجزیه به مؤلفه‌های اصلی چهار مؤلفه شناسایی نمودند که $63/64$ درصد از واریانس بین داده‌ها را توجیه می‌نمود. در مؤلفه اول صفات ارتفاع گیاه، تعداد شاخه‌های فرعی ثانویه، تعداد کپسول در گیاه و عملکرد دانه دارای بالاترین ضرایب بودند. در مؤلفه دوم صفات تعداد شاخه‌های فرعی اولیه، تعداد شاخه‌های فرعی ثانویه و وزن هزار دانه دارای بالاترین ضرایب بودند. در مؤلفه سوم صفات تعداد روز تا شروع گلدهی، تعداد روز تا 50 درصد گلدهی، تعداد روز تا رسیدگی و طول کپسول دارای بالاترین ضرایب بودند. در مؤلفه چهارم نیز صفات تعداد کپسول در گیاه با ضریب مثبت و صفات طول کپسول، قطر کپسول و تعداد دانه در کپسول با ضریب منفی دارای بالاترین ضرایب بودند.

منظیر (Menzir, 2012) با بررسی ۶۴ ژنتیپ کنجد از نظر صفات مورفولوژیک و زراعی و با استفاده از تجزیه به مؤلفه‌های اصلی $75/59$ درصد از واریانس بین داده‌ها را توجیه می‌نمود. در مؤلفه اول صفات طول دوره پر شدن کپسول، عملکرد دانه و عملکرد بیولوژیک دارای بالاترین ضرایب بودند. در مؤلفه دوم صفات روز تا 50 درصد گلدهی و روز تا رسیدگی با ضرایب مثبت و وزن هزار دانه با ضریب منفی دارای بالاترین ضرایب بودند. در مؤلفه سوم صفات طول دوره پر شدن کپسول با ضریب منفی و صفات تعداد شاخه‌های جانبی و عملکرد بیولوژیک با ضرایب مثبت دارای بالاترین ضرایب بودند. در مؤلفه چهارم صفات تعداد شاخه‌های جانبی و شاخص برداشت دارای بالاترین ضرایب بودند.

هدف از این تحقیق بررسی روابط بین صفات عملکرد دانه و درصد رونمایش با برخی از صفات زراعی و تعیین ارقام مناسب از نظر عملکرد و دیگر صفات با استفاده از نمودار بای پلات به منظور استفاده از آنها در برنامه‌های بهترادی است.

مواد و روش‌ها

این آزمایش در سال ۱۳۹۴-۹۵ در موسسه اصلاح و تهیه نهال و بذر کرج انجام گرفت. آزمایش به صورت طرح آگمنت با ۹۱ ژنتیپ جدید وارداتی کنجد (دریافت شده از بانک‌های زن گیاهی کشورهای آلمان، کانادا و استرالیا) با سه شاهد (ناز تک شاخه، اولتان و یلووایت) و در شش بلوک اجرا شد. از این بین حدود 30 ژنتیپ زوردرس و 30 ژنتیپ نیز دیررس بودند. هر ژنتیپ روی یک خط دو متري با فاصله 60 سانتي‌متر و فاصله بین دو بوته $7-10$ سانتي‌متر کاشته شد. در طول دوره رشد، اقدام به سه بار وجین دستی شد. اندازه‌گیری

هدف اصلاحی در کنجد افزایش عملکرد می‌باشد که این هدف اصلاحی با اصلاح برای بوته‌های منشعب‌تر و افزایش تعداد کپسول در بوته و افزایش تعداد برقه در کپسول دست یافتنی می‌شود (Baydar, 2005). همچنین تیپ رسیدی محدود و متholm به ریزش برای برداشت مکانیزه بسیار مورد علاقه است (Ashri, 1998).

شناخت مناسب ارتباطات بین عملکرد دانه و اجزای سازنده آن می‌تواند به طور قابل ملاحظه‌ای کارایی برنامه اصلاحی را از طریق استفاده مناسب از شاخص‌های انتخاب بهبود دهد (Mohammadnia *et al.*, 2003; Rafiq *et al.*, 2010). ماهیت ارتباط بین عملکرد دانه و اجزای آن مشخص کننده صفات مناسبی است که بایستی در انتخاب غیرمستقیم برای بهبود عملکرد دانه استفاده شوند. مطالعات همبستگی می‌تواند به سادگی روابط بین عملکرد و صفات دیگر را اندازه‌گیری کند. تجزیه و تحلیل ضرایب مسیر نیز اجازه می‌دهد ضرایب همبستگی ساده بین صفات به اثرات مستقیم و غیرمستقیم تفکیک شوند و تاثیر اثر صفات مختلف برهم مشخص شوند. چنین اطلاعاتی می‌تواند مبنای واقعی برای تخصیص سهم مناسب به هر جزء عملکرد را فراهم کند (Mahajan *et al.*, 2011). همچنین تجزیه به مؤلفه‌های اصلی که حالت خاصی از تجزیه به عامل‌ها است و در آن، تجزیه بدون چرخش فاکتورها انجام می‌گیرد نیز برای یافتن ترکیباتی از چند متغیر جمیت ایجاد شاخص‌های مستقل (غیرهمبسته) می‌باشد که عدم همبستگی بین این شاخص‌ها یک ویژگی مفید بوده و جنبه متفاوتی از داده‌ها را اندازه‌گیری می‌کند (Manly, 2004).

ینگ زونگ و یشو (Yingzhong and Yishou, 2002) با بررسی 30 رقم کنجد با توجه به 9 خصوصیت تعداد روز تا 50 درصد گلدهی، ارتفاع گیاه، ارتفاع نخستین کپسول، تعداد کپسول در گیاه، طول کپسول، عرض کپسول، تعداد بذر در کپسول، وزن هزار دانه و عملکرد بذر در گیاه، نشان دادند که تعداد کپسول در گیاه و ارتفاع گیاه همبستگی مثبت معنی دار با عملکرد دانه در گیاه دارد.

64 ژنتیپ کنجد به منظور همبستگی بین عملکرد و 6 خصوصیت تشکیل دهنده عملکرد به وسیله کومارسان و همکاران (Kumaresan and Nadarajan, 2003) مورد بررسی قرار گرفتند. به غیر از تعداد روز تا 50 درصد گلدهی و میزان رونمایش به صوریات مطالعه شده همبستگی مثبت و معنی داری با عملکرد دانه نشان دادند.

فضل و همکاران (Fazal *et al.*, 2015) با بررسی 13 ژنتیپ کنجد نتیجه‌گیری کردند که عملکرد دانه تک بوته بیشترین همبستگی مثبت را با تعداد کپسول در گیاه دارد. تجزیه علیت نشان داد که ارتفاع گیاه دارای اثر مستقیم منفی روی عملکرد دانه بود در حالی که دارای اثرات غیر مستقیم مثبت از طریق تعداد کپسول در گیاه، تعداد شاخه‌های فرعی و تعداد دانه در کپسول بود. تعداد کپسول در یک بوته بیشترین اثر مستقیم مثبت را روی عملکرد دانه

هستند. محققین دیگر نیز همبستگی‌های مثبت و معنی‌داری بین ارتفاع گیاه و صفات تعداد کپسول در گیاه (Prasad *et al.*, 2013; Bharathi *et al.*, 2015) و تعداد شاخه‌های فرعی در گیاه (Prasad *et al.*, 2013; Guirguis *et al.*, 1996) مشاهده نموده‌اند. عملکرد دانه در بوته همچنین دارای همبستگی منفی و ضعیفی با تعداد روز تا ۵۰ درصد گلدهی و تعداد روز تا رسیدگی (به ترتیب Kumaresan and Nadarajan, 2003; Abate and Mekbib, 2015) مشابه است. مطالعاتی نیز همبستگی مثبتی بین عملکرد دانه و صفات روز تا ۵۰ درصد گلدهی و رسیدگی مشاهده نموده بودند (Karuppaiyan and Ramasamy, 2000; Lal *et al.*, 2016) که در تضاد با نتایج این تحقیق بود.

همانطور که در نتایج همبستگی ساده مشاهده می‌شود درصد روغن همبستگی مثبتی با عملکرد دانه داشت (۰/۲۱) که در توافق با نتایج بعضی از محققین (Karuppaiyan and Ramasamy, 2000; Thiyagu *et al.*, 2007) و در تضاد با نتایج بعضی دیگر (Kumaresan and Nadarajan, 2003) بود. همچنین درصد روغن دارای همبستگی‌های مثبت و معنی‌داری با وزن صد دانه، تعداد کپسول در شاخه اصلی، تعداد کپسول در تک بوته و وزن دانه‌های یک کپسول بود. ایت و مکبی (Abate and Mekbib, 2015) همبستگی بین درصد روغن و صفات عملکرد بیولوژیک و وزن صد دانه را منفی اشاره کرده‌اند.

برای تفسیر واضح‌تر و درک ساختاری و منطقی دقیق‌تر نتایج به دست آمده از همبستگی ساده بین صفات، تجزیه علیت برای عملکرد دانه تک بوته و درصد روغن انجام گرفت که نتایج آن به ترتیب در جداول ۲ و ۳ آورده شده است. برای عملکرد دانه تک بوته با توجه به نتایج چنین برمری آید که تعداد کل کپسول‌ها در بوته بیشترین اثر مستقیم مثبت را دارد که با نتایج سایر محققین (Kumar and Vivekanandan, 2009; Kurdistani *et al.*, 2011; Sivaprasad and Yadavalli, 2012; Vanishree *et al.*, 2013) مطابقت دارد. همچنین صفات تعداد کل کپسول‌ها در شاخه فرعی، عملکرد بیولوژیک و طول کپسول نیز بعد از تعداد کل کپسول‌ها دارای اثرات مستقیم مثبت بالاتری نسبت به سایر صفات روی عملکرد دانه بودند. ایت و مکبی (Abate and Mekbib, 2015) نیز به اثرات مستقیم و مثبت عملکرد بیولوژیک روی عملکرد دانه تک بوته اشاره کرده‌اند. این در حالی است که گوداپاگودرا و همکاران (Goudappagoudra *et al.*, 2011) اشاره کرده‌اند که طول کپسول اثر مستقیم منفی روی عملکرد دانه دارد. همانطور که در نتایج مشخص است صفات عملکرد بیولوژیک یک بوته، ارتفاع بوته، تعداد شاخه‌های فرعی، تعداد کپسول شاخه‌های فرعی و اصلی دارای اثرات غیر مستقیم مثبت از طریق صفت تعداد کپسول کل بوته روی عملکرد دانه تک بوته داشته‌اند.

صفات با استفاده از پنج بوته تصادفی از وسط هر کرت با حذف حاشیه انجام پذیرفت. صفاتی که در این تحقیق مورد بررسی قرار گرفتند عبارت از تعداد روز از جوانه‌زنی تا شروع گلدهی، تعداد روز از جوانه‌زنی تا شروع رسیدگی، ارتفاع اولین کپسول از سطح زمین، ارتفاع بوته، تعداد شاخه فرعی، تعداد کپسول در شاخه‌های فرعی، تعداد کپسول در شاخه اصلی، تعداد کپسول‌های یک بوته، تعداد دانه در یک کپسول (میانگین بذر تعداد ۱۰ کپسول از ناحیه وسط بوته در پنج بوته)، وزن دانه یک کپسول (میانگین وزن دانه ۱۰ کپسول از ناحیه وسط بوته در پنج بوته)، وزن صد دانه، وزن یک کپسول (میانگین وزن ۱۰ کپسول از ناحیه وسط بوته در پنج بوته)، طول کپسول (میانگین طول ۱۰ کپسول از ناحیه وسط بوته در پنج بوته)، قطر کپسول (میانگین قطر ۱۰ کپسول از ناحیه وسط بوته در پنج بوته)، درصد روغن، عملکرد بیولوژیک و عملکرد بیولوژیک و اجزای آن بودند. به منظور تعیین وضعیت یکنواختی زمین آزمایشی، تجزیه واریانس یک طرفه شاهدها برای عملکرد و اجزای آن در قالب طرح بلوك کامل تصادفی انجام شد. پس از محاسبه ضرایب همبستگی ساده بین صفات با استفاده از نرم‌افزار SPSS نسخه ۱۵، تجزیه علیت برای عملکرد دانه و درصد روغن توسط نرم‌افزار Path74 صورت گرفت. در نهایت برای انجام تجزیه به مؤلفه‌های اصلی از نرم‌افزار Stat Graphics نسخه ۱/۵ استفاده شد.

نتایج و بحث

نتایج تجزیه واریانس شاهدها نشان داد که اختلاف معنی‌داری بین بلوك‌ها از نظر صفات مربوط به عملکرد و اجزای آن وجود نداشت. ضرایب همبستگی فتوتیبی صفات اندازه‌گیری شده روی ژنتیپ‌های مورد مطالعه نشان داد که عملکرد دانه در بوته بالاترین همبستگی مثبت را به ترتیب با صفات تعداد کل کپسول‌ها در گیاه (۰/۷۳)، تعداد کپسول در شاخه‌های فرعی (۰/۶۲)، عملکرد بیولوژیک (۰/۴۴)، تعداد کپسول در شاخه اصلی (۰/۰۴) و ارتفاع گیاه (۰/۰۴) دارد (جدول ۱). محققین زیادی نیز نتایج همبستگی مشابهی برای عملکرد دانه و صفات تعداد کل کپسول‌ها در گیاه (Azeez and Morakinyo, 2011; Mustafa *et al.*, 2015; Saha *et al.*, 2012; Yol *et al.*, 2010; Mishra *et al.*, 1994; Pawar *et al.*, 2002)، عملکرد بیولوژیک (Lal *et al.*, 2016) و ارتفاع گیاه (Ibrahim and Khidir, 2012; Sumathi and Muralidharan, 2010; Thirumala Rao *et al.*, 2013)

به نظر می‌رسد با افزایش ارتفاع گیاه و تعداد شاخه‌های فرعی، تعداد کپسول در گیاه افزایش یافته و عملکرد تک بوته افزایش می‌یابد. همانطور که مشاهده می‌شود تعداد شاخه‌های فرعی و ارتفاع با یکدیگر همبستگی مثبت و معنی‌داری داشته و هر دو صفت نیز با تعداد کپسول در بوته و عملکرد تک بوته دارای همبستگی مثبت

جدول ۱- تابع همبستگی ساده بین صفات

Table 1- Result of simple correlation analysis between traits

| | FD | MD | H | FCH | NB | NC/B | NC/M | NTC | SN/C | SW/C | HSW | CW | CL | CD | OIL | BY |
|-------|---------|--------|--------|---------|---------|--------|--------|--------|---------|--------|--------|--------|--------|--------|-------|--------|
| MD | 0.51** | | | | | | | | | | | | | | | |
| H | -0.17* | -0.13 | | | | | | | | | | | | | | |
| FCH | 0.05 | -0.05 | 0.31** | | | | | | | | | | | | | |
| NB | 0.15 | 0.13 | 0.18* | 0.20** | | | | | | | | | | | | |
| NC/B | -0.03 | 0.10 | 0.28** | 0.12 | 0.50** | | | | | | | | | | | |
| NC/M | -0.34** | -0.15 | 0.34** | -0.16** | -0.14 | 0.16** | | | | | | | | | | |
| NTC | -0.13 | 0.06 | 0.41** | 0.04 | 0.35** | 0.73** | 0.44** | | | | | | | | | |
| S/N/C | 0.03 | 0.13 | 0.20** | 0.19* | -0.01 | 0.08 | 0.08 | 0.13 | | | | | | | | |
| SW/C | -0.04 | 0.05 | 0.20** | 0.03 | -0.03 | 0.15 | 0.17* | 0.22** | 0.49** | | | | | | | |
| HSW | -0.14 | -0.06 | 0.04 | -0.19* | -0.09 | 0.03 | 0.10 | 0.06 | -0.19** | 0.34** | | | | | | |
| CW | 0.07 | 0.11 | 0.35** | 0.08 | 0.02 | 0.13 | 0.20* | 0.22** | 0.56** | 0.66** | 0.14 | | | | | |
| CL | 0.08 | 0.04 | 0.22** | 0.02 | 0.15* | 0.18** | 0.10 | 0.19* | 0.35** | 0.34** | 0.04 | 0.49** | | | | |
| CD | -0.11 | -0.04 | 0.20** | -0.07 | -0.22** | -0.02 | 0.32** | 0.11 | 0.34** | 0.26** | -0.01 | 0.48** | 0.31** | | | |
| OIL | -0.22** | -0.17 | 0.01 | -0.20* | 0.00 | 0.07 | 0.17* | 0.13 | -0.15 | 0.13 | 0.25** | -0.10 | 0.08 | -0.16* | | |
| BY | 0.13 | 0.25** | 0.24** | 0.09 | 0.39** | 0.45** | 0.10 | 0.47** | 0.13 | 0.10 | -0.04 | 0.19* | 0.19* | 0.08 | -0.04 | |
| SY | -0.21* | -0.03 | 0.40** | 0.05 | 0.30** | 0.62** | 0.40** | 0.73** | 0.11 | 0.28** | 0.16* | 0.26** | 0.30** | 0.15 | 0.21* | 0.44** |

* and ** : Significant at 95 and 99 percentage, respectively.
 * به ترتیب معنی دار سطح ۵ و ۱ درصد
 ** :

تعادل داده در یک کپسول: SN/C (Seed Number per Capsule); تعداد داده در یک سوچل: SW/C، تعداد داده در یک پرسول: FCH (First Capsule Height from surface of Earth); تعداد شاخه فرعی: NC/B (Number of Branches per plant); تعداد کپسول در شاخه اعلی فرعی: NC/M (Number of Capsule per Main stem); تعداد کپسول از سطح زمین: HSW (hundred Seed Weight); تعداد کپسول در شاخه اعلی: H (Height of plant); تعداد کپسول در شاخه اولین کپسول از زمان شروع گلهای: FD (Flowering Date); تعداد کپسول در شاخه اولین کپسول از زمان شروع رسیدگی: CL (Capsule length); تعداد کپسول های پک بر جا: CW (Capsule Weight); عالمکرد پیوژریک: CD (Capsule Diameter); تعادل داده در یک کپسول در شاخه اعلی: SY (Seed Yield):

جدول ۲- نتایج تجزیه عیت برای عملکرد دانه
Table 2- Result of path analysis for seed yield

| | اثر مستقیم | BY | SNC | SW/C | HSW | CW | CL | CD | H | FCH | NB | NC/B | NC/M | NTC | OIL | FD | MD |
|---------------|------------|-------|-------|-------|-------|-------|-------|-------|-------|-------|-------|-------|-------|-------|-------|-------|-------|
| BY | 0.13 | | 0.02 | 0.01 | -0.01 | 0.03 | 0.01 | 0.03 | 0.01 | 0.05 | 0.06 | 0.01 | 0.06 | -0.01 | 0.02 | 0.03 | |
| SNC | -0.04 | -0.01 | | -0.02 | 0.01 | -0.03 | -0.02 | -0.02 | -0.01 | 0.00 | 0.00 | 0.00 | -0.01 | 0.01 | 0.00 | -0.01 | |
| SW/C | 0.07 | 0.01 | 0.03 | | 0.02 | 0.05 | 0.02 | 0.02 | 0.01 | 0.00 | 0.01 | 0.01 | 0.01 | 0.01 | 0.00 | 0.00 | 0.00 |
| HSW | 0.06 | 0.00 | -0.01 | 0.02 | | 0.01 | 0.00 | 0.00 | 0.00 | -0.01 | -0.01 | 0.00 | 0.01 | 0.00 | -0.01 | 0.00 | -0.01 |
| CW | 0.00 | 0.00 | 0.00 | 0.00 | 0.00 | | 0.00 | 0.00 | 0.00 | 0.00 | 0.00 | 0.00 | 0.00 | 0.00 | 0.00 | 0.00 | 0.00 |
| CL | 0.12 | 0.02 | 0.04 | 0.04 | 0.01 | 0.06 | | 0.04 | 0.03 | 0.00 | 0.02 | 0.02 | 0.01 | 0.02 | 0.01 | 0.01 | 0.00 |
| CD | 0.03 | 0.00 | 0.01 | 0.01 | 0.00 | 0.01 | 0.01 | 0.01 | | 0.01 | 0.00 | -0.01 | 0.00 | 0.01 | -0.01 | 0.00 | 0.00 |
| H | 0.04 | 0.01 | 0.01 | 0.01 | 0.00 | 0.01 | 0.01 | 0.01 | 0.01 | | 0.01 | 0.01 | 0.01 | 0.02 | 0.00 | -0.01 | -0.01 |
| FCH | 0.03 | 0.00 | 0.01 | 0.00 | -0.01 | 0.00 | 0.00 | 0.00 | 0.00 | 0.01 | | 0.01 | 0.00 | -0.01 | 0.00 | 0.00 | 0.00 |
| NB | 0.03 | 0.01 | 0.00 | 0.00 | 0.00 | 0.00 | 0.01 | 0.01 | -0.01 | 0.01 | 0.01 | | 0.02 | -0.01 | 0.01 | 0.01 | 0.00 |
| NC/B | 0.18 | 0.08 | 0.01 | 0.03 | 0.01 | 0.02 | 0.03 | 0.00 | 0.05 | 0.02 | 0.09 | | 0.03 | 0.13 | 0.01 | -0.01 | 0.02 |
| NC/M | 0.09 | 0.01 | 0.01 | 0.02 | 0.01 | 0.02 | 0.01 | 0.03 | 0.03 | -0.02 | -0.01 | 0.01 | | 0.04 | 0.02 | -0.03 | -0.02 |
| NTC | 0.40 | 0.19 | 0.05 | 0.09 | 0.03 | 0.09 | 0.08 | 0.05 | 0.17 | 0.01 | 0.14 | 0.29 | 0.18 | | 0.05 | -0.05 | 0.02 |
| OIL | 0.08 | 0.00 | -0.01 | 0.01 | 0.02 | -0.01 | 0.01 | -0.01 | 0.00 | -0.02 | 0.00 | 0.01 | 0.01 | | -0.02 | -0.01 | -0.01 |
| FD | -0.11 | -0.02 | 0.00 | 0.00 | 0.02 | -0.01 | 0.01 | 0.02 | -0.01 | -0.02 | 0.00 | 0.04 | 0.01 | 0.02 | | -0.06 | |
| MD | -0.01 | 0.00 | 0.00 | 0.00 | 0.00 | 0.00 | 0.00 | 0.00 | 0.00 | 0.00 | 0.00 | 0.00 | 0.00 | 0.00 | -0.01 | | |
| اثر باقیمانده | 0.61 | | | | | | | | | | | | | | | | |

BY (Biological Yield): CD (Capsule Diameter); CL (Capsule length); CW (Capsule weight); FCH (First Capsule Height from surface of Earth); FD (Flowering Date); HSW (hundred Seed Weight); MD (Maturity Date): نوزن، فرن، صد دانه، ارتفاع، ارتقای، این کپسول از سطح زمین (گلده)، شروع رشدی، تعداد کپسول در شاخه های فرعی؛ NC/B (Number of Branches): تعداد شاخه های فرعی؛ NTC (Number of Capsule per Branches): تعداد کپسول های بک بوته؛ NTC، شاخه اصلی، NTC (Number of Total Capsule per plant): تعداد کپسول های بک بوته؛ OIL (Oil percentage): تعداد روغن؛ MD (Seed Number per Capsule): عملکرد دانه؛ وزن دانه بک کپسول؛ SY (Seed Yield): عملکرد دانه؛ وزن دانه بک کپسول؛ SW/C (Seed Weight per Capsule): عملکرد دانه، وزن دانه بک کپسول.

جدول ۳- نتایج تجزیه علیت برای درصد روغن
Table 3- Result of path analysis for oil %

BY (Biological Yield): CD (Capsule Diameter); CL (Capsule length); CW (Capsule Weight); FCH (First Capsule Height from surface of Earth); ED (Flowering Date); H (Height of plant); HSW (hundred Seed Weight); MD (Maturity Date).

تعداد کپسول در شاخه های فرعی: NCB (Number of Capsule per Branches); تعداد کپسول در شاخه های اصلی: NTC (Number of Total Capsule per plant); تعداد کپسول در سرچ زیرگل: SNIC (Seed Number per Capsule); تعداد کپسول در سرچ پرندگان: OIL (Oil percentage); تعداد کپسول در سرچ گل: SWIC (Seed Number of Capsule per Main stem):

عماکرود دانه یا Weight per Capsule):

کپسول در گیاه، عملکرد دانه، ارتفاع گیاه و تعداد شاخه‌های فرعی بود و مؤلفه اول منظیر (Menzir, 2012) که شامل صفات طول دوره پر شدن کپسول، عملکرد دانه و عملکرد بیولوژیک بود، می‌باشد.

در مؤلفه دوم صفات وزن دانه یک کپسول و وزن یک کپسول دارای بالاترین ضرایب بودند که بالا بودن ضرایب این صفات نیز عادی بوده زیرا با افزایش تعداد دانه در یک کپسول و افزایش وزن دانه‌ها انتظار بر این است که وزن کپسول افزایش یابد. در مؤلفه سوم صفات روز تا شروع گلدهی و روز تا شروع رسیدگی دارای بالاترین ضرایب مثبت بودند و صفت ارتفاع بوته دارای ضریب منفی بالایی بود. در اغلب گیاهان انتظار بر این است که با افزایش طول دوره رشد، ارتفاع افزایش یابد اما همانطور که در نتایج همبستگی ساده صفات نیز مشاهده شد در ژنوتیپ‌های مورد بررسی همبستگی منفی و معنی‌داری بین صفات دوره رویشی و ارتفاع بوته مشاهده گردید که می‌توان این گونه بیان نمود که به‌طور کلی در ژنوتیپ‌های مورد بررسی این روابط صادق نیست. نتایج این مؤلفه تقریباً مشابه مؤلفه سوم اکبر و همکاران (Akbar et al., 2011) که شامل صفات تعداد روز تا شروع گلدهی، تعداد روز تا ۵۰ درصد گلدهی، تعداد روز تا رسیدگی و طول کپسول و مؤلفه دوم منظیر (Menzir, 2012) که شامل صفات روز تا ۵۰ درصد گلدهی و روز تا رسیدگی با ضرایب مثبت و وزن هزار دانه با ضریب منفی بود، می‌باشد.

در مؤلفه چهارم صفت ارتفاع اولین کپسول از سطح زمین دارای بالاترین ضریب منفی بود. مؤلفه پنجم شامل صفات درصد روغن و طول کپسول با ضرایب مثبت بود. در نهایت مؤلفه ششم شامل صفات تعداد دانه در یک کپسول و تعداد کپسول در شاخه اصلی با ضرایب مثبت و وزن حد دانه با ضریب منفی بود.

معمولأً در برنامه‌های اصلاحی بیشتر توجه محققین روی صفت عملکرد می‌باشد، یعنی هدف برنامه‌های اصلاحی این است که با تعییر و اصلاح صفات دیگر که ارتباط نزدیکی با عملکرد دارند، بتوانند صفت عملکرد را بهبود ببخشنند. در هر مؤلفه با توجه به جداول، مشاهده می‌شود که صفاتی که بیشترین ضرایب همبستگی را با هم داشته‌اند، در مؤلفه مورد نظر قرار گرفته‌اند و از این صفات می‌توان در انتخاب غیرمستقیم استفاده نمود و انتظار می‌رود که آن مؤلفه نیز با این روش اصلاح شود.

در این تحقیق اثرات باقی‌مانده برای تجزیه علیت عملکرد دانه بالا بود (۶۱٪) که نشان‌دهنده این مطلب می‌باشد که صفات مهم دیگری نیز بر عملکرد دانه تک بوته تاثیرگذار هستند که در تجزیه علیت وارد نشده‌اند. این نتیجه با نتایج محققین دیگر مطابق است (Sumathi et al., 2007; Goudappagoudra et al., 2011). برای درصد روغن با توجه به نتایج تجزیه علیت می‌توان ابراز نمود که وزن دانه‌های یک کپسول بیشترین اثر مستقیم مثبت را دارد و صفات طول کپسول، عملکرد دانه و تعداد کپسول در شاخه اصلی نیز به‌ترتیب دارای اثرات مستقیم مثبت روی درصد روغن دانه بودند. همچنین قطر کپسول، وزن کپسول و ارتفاع اولین کپسول از سطح زمین دارای بیشترین اثرات مستقیم منفی روی درصد روغن دانه بودند. تعداد دانه در کپسول از طریق وزن دانه‌های یک کپسول دارای اثر غیرمستقیم مثبت روی درصد روغن دانه می‌باشد. همچنین تعداد کل کپسول‌ها از طریق عملکرد دانه دارای اثر غیرمستقیم مثبت روی درصد روغن دانه می‌باشد. تعداد دانه در یک کپسول، وزن دانه‌ها در کپسول، طول کپسول و قطر کپسول دارای اثرات غیرمستقیم منفی از طریق صفت وزن یک کپسول روی درصد روغن دانه بود. همچنین کپسول روی درصد روغن دانه بود. همچنین همانند صفت عملکرد دانه اثرات باقی‌مانده برای تجزیه علیت درصد روغن بالا بود (۸۶٪) که نشان‌دهنده این مطلب می‌باشد که صفات مهم دیگری نیز بر درصد روغن تاثیرگذار هستند که در تجزیه علیت وارد نشده‌اند.

نتایج تجزیه به مؤلفه‌ها نشان داد که در ژنوتیپ‌های مورد بررسی شش مؤلفه که دارای ریشه مشخصه بزرگ‌تر از یک بود مجموعاً ۷۷/۸۲ درصد از کل واریانس متغیرها را توجیه می‌کنند (جدول ۴). به‌طور کلی با توجه به نتایج تجزیه به مؤلفه‌های اصلی می‌توان نتیجه‌گیری نمود که مؤلفه اصلی اول شامل صفات عملکرد بیولوژیک، عملکرد دانه، تعداد کپسول در شاخه‌های فرعی و تعداد کپسول‌های یک بوته می‌باشد که دارای ضرایب مثبت بالایی بودند. همانطور که در نتایج همبستگی ساده صفات و تجزیه علیت مشاهده شده با افزایش تعداد کپسول‌ها در بوته و افزایش وزن کپسول‌ها، عملکرد بیولوژیک و عملکرد دانه افزایش می‌یابد که این نشان‌دهنده ارابطه مستقیم بین آنها است. نتایج این مؤلفه تقریباً مشابه مؤلفه اول اکبر و همکاران (Akbar et al., 2011) که شامل صفات تعداد

جدول ۴- نتایج تجزیه به مؤلفه‌ها برای صفات مورد اندازه‌گیری در ژنوتیپ‌های مورد بررسی
Table 4- Result of principal component analysis for all traits in studied genotypes

| صفات | Traits | مؤلفه اول | مؤلفه دوم | مؤلفه سوم | مؤلفه چهارم | مؤلفه پنجم | مؤلفه ششم |
|--------------------------------|---------------------------------------|-----------------|------------------|-----------------|------------------|-----------------|-----------------|
| | | First principal | Second principal | Third principal | Fourth principal | Fifth principal | Sixth principal |
| عملکرد بیولوژیک | Biological Yield (BY) | 0.31 | -0.1 | 0.2 | -0.09 | -0.22 | -0.04 |
| عملکرد دانه | Seed Yield (SY) | 0.37 | -0.26 | -0.05 | 0.14 | 0.1 | -0.02 |
| تعداد دانه در یک کپسول | Seed Number / Capsule (SN\ C) | 0.21 | 0.4 | -0.01 | -0.05 | 0.21 | 0.42 |
| وزن دانه یک کپسول | Seed Weight / Capsule (SW\ C) | 0.19 | 0.43 | 0.02 | 0.33 | 0.14 | -0.03 |
| وزن صد دانه | hundred Seed Weight (HSW) | -0.02 | 0.09 | 0.01 | 0.53 | -0.13 | -0.65 |
| وزن یک کپسول | Capsule Weight (CW) | 0.31 | 0.4 | 0.04 | 0.07 | -0.01 | -0.09 |
| طول کپسول | Capsule length (CL) | 0.21 | 0.18 | 0.18 | 0.05 | 0.36 | 0 |
| قطر کپسول | Capsule Diameter (CD) | 0.25 | 0.23 | -0.26 | -0.07 | -0.26 | -0.07 |
| ارتفاع بوته | Height of plant (H) | 0.28 | 0.07 | -0.33 | -0.26 | 0.04 | -0.2 |
| ارتفاع اولین کپسول از سطح زمین | First Capsule Height from Earth (FCH) | 0.14 | 0.03 | -0.14 | -0.52 | 0.3 | -0.3 |
| تعداد شاخه فرعی | Number of Branches (NB) | 0.23 | -0.28 | 0.29 | -0.03 | 0.28 | -0.17 |
| تعداد کپسول در شاخه‌های فرعی | Number of Capsule / Branches (NC\ B) | 0.35 | -0.3 | 0.12 | 0.01 | 0.02 | -0.04 |
| تعداد کپسول در شاخه اصلی | Number of Capsule / Main stem (NC\ M) | 0.24 | -0.1 | -0.28 | 0.15 | -0.36 | 0.37 |
| تعداد کپسول‌های یک بوته | Number of Total Capsule/ plant (NTC) | 0.37 | -0.29 | 0.02 | 0.1 | -0.11 | 0.08 |
| درصد روغن | Oil percentage (OIL) | -0.06 | -0.18 | -0.07 | 0.38 | 0.54 | 0.23 |
| روز تا شروع گلدهی | Flowering Date (FD) | -0.03 | 0.12 | 0.55 | -0.24 | -0.07 | 0 |
| روز تا شروع رسیدگی | Maturity Date (MD) | 0.1 | 0.11 | 0.49 | 0.08 | -0.25 | 0.13 |
| مقدار ویژه | Eigen value | 5.08 | 2.57 | 2.31 | 1.7 | 1.36 | 1.05 |
| درصد واریانس | Percentage of variance | 29.9 | 15.1 | 13.59 | 9.99 | 7.99 | 6.2 |
| درصد تجمعی واریانس | Cumulative percentage of variance | 29.9 | 45 | 58.59 | 68.58 | 76.57 | 82.77 |

صفات مرتبط با هم در یک جهت و همسو بوده و برای صفاتی که رابطه عکس با یکدیگر دارند غیر همسو می‌باشد. به عنوان مثال صفات تعداد دانه در کپسول، وزن دانه کپسول و وزن کپسول در یک راستا قرار گرفته‌اند که نشان‌دهنده ارتباط بین آنها است، همچنین همانطور که ملاحظه می‌شود درصد روغن در جهت مخالف این صفات قرار گرفته است و نشان‌دهنده رابطه عکس با صفات فوق می‌باشد. شکل ۲ نیز محل قرارگیری بعضی از ارقام را در این پلات

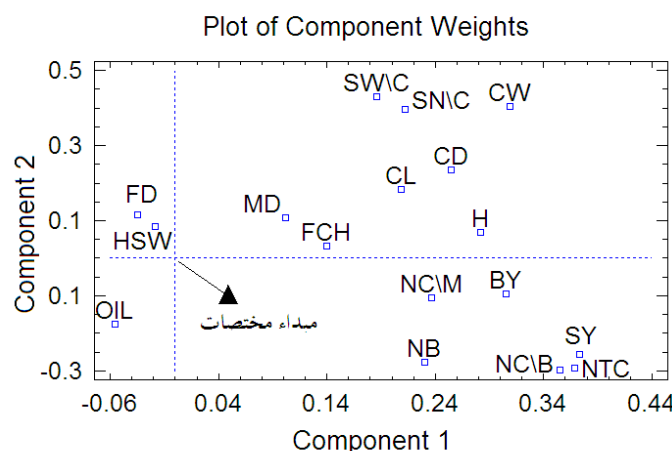
بر اساس پلات مؤلفه‌های مختلف با هم می‌توان بهترین ژنوتیپ‌ها را براساس مؤلفه‌های مختلف انتخاب نمود. در اکثر موارد از دو مؤلفه اول که بیشترین واریانس داده‌ها را توجیه می‌کنند برای این منظور استفاده می‌کنند که در تحقیق حاضر دو مؤلفه اول و دوم در مجموع ۴۵ درصد از کل واریانس متغیرها را توجیه می‌کردند. شکل ۱ محل قرارگیری صفات مختلف را در پلات حاصل از مؤلفه اول و دوم نشان می‌دهد و همانطور که مشخص است جهت نمودارها برای

شاخه‌های فرعی، تعداد کپسول‌های شاخه اصلی، تعداد کل کپسول‌های یک بوته، تعداد شاخه‌های فرعی و عملکرد بیولوژیک از جمله صفاتی هستند که مستقیماً عملکرد دانه را بالا می‌برند و بنابراین ارقامی که دارای مقدار بالاتری برای این صفات باشند در نتیجه عملکرد بالاتری خواهند داشت و در یک گروه قرار خواهند گرفت. با توجه به هدف از این تحقیق که انتخاب تعدادی ارقام از لحاظ عملکرد و سایر صفات بود می‌توان ذکر نمود که اگر به دنبال رقمی باشیم که عملکرد نسبی خوب و همچنین درصد روغن دانه نسبی خوبی نیز باشد می‌توان ژنتیک شماره ۷۹ White c323-2 را انتخاب نمود. از طرف دیگر اگر دنبال ژنتیکی باشیم که دارای عملکرد نسبی خوب باشد و نسبتاً زودرس نیز باشد می‌توان ژنتیک‌های با شماره ۷۹ و ۵۱ به ترتیب با اسمی ۲-White c323-2 Local 123 را انتخاب نمود. همچنین به عنوان مثال دیگر اگر به دنبال رقمی با عملکرد نسبی بالا و تعداد دانه در کپسول بالا باشیم می‌توانیم ژنتیک شماره ۴۹ با نام Lao hong zhi ma را انتخاب نماییم. به طور کلی با توجه به شکل ۲ می‌توان ژنتیک‌های مورد بررسی را به سه گروه کلی تقسیم بندی نمود. گروه اول (سمت راست) اکثراً شامل ارقامی هستند که دارای عملکرد و اجزای عملکرد بالا هستند، گروه دوم سمت چپ بالا اکثراً شامل ارقام زودرس و با عملکرد پایین می‌باشند و در نهایت گروه سوم (سمت چپ پایین) شامل ارقام با درصد روغن بالا ولی عملکرد و اجزای عملکرد پایین هستند.

نشان می‌دهد. با توجه به این شکل‌ها ما قادر هستیم ژنتیک‌های مختلف را با توجه به صفات مختلف انتخاب کنیم. بدین صورت که از صفت مربوطه خطی به مبدأ مختصات رسم کرده و سپس خط دیگری که از مبدأ مختصات رد شود و عمود بر این خط باشد رسم می‌کنیم و ژنتیک‌هایی که بالاترین تصویر را روی خط اول داشته باشند و در سمت قرارگیری صفت مورد نظر نسبت به خط عمود باشند دارای بالاترین مقدار در رابطه با آن صفت بوده و ژنتیک‌هایی که بالاترین تصویر را روی خط اول داشته باشند و در سمت عکس قرارگیری صفت مورد نظر نسبت به خط عمود باشند دارای کمترین مقدار در رابطه با آن صفت خواهند بود. به عنوان مثال برای صفت عملکرد دانه با توجه به شکل ۲ در بین ژنتیک‌های مورد بررسی، ژنتیک شماره ۴۹ به نام Lao hong zhi ma و سپس به ترتیب ژنتیک‌های شماره ۱۱، ۲۰ و ۱۵ دارای بالاترین تصویرهای مثبت برای این صفت بوده و بنابراین می‌توان آنها را به عنوان ارقام با عملکرد بالا در شکل حاصل از مؤلفه اول و دوم در نظر گرفت. به همین صورت ژنتیک شماره ۳۸۱ به نام White Sindos (early) و سپس به ترتیب ژنتیک‌های ۲۷، ۴۷، ۲۴ و ۱۵ دارای بیشترین تصویرها اما در جهت عکس برای صفت عملکرد بوده و در نتیجه عملکرد دانه پایینی در شکل حاصل از مؤلفه اول و دوم دارند.

نتیجه‌گیری

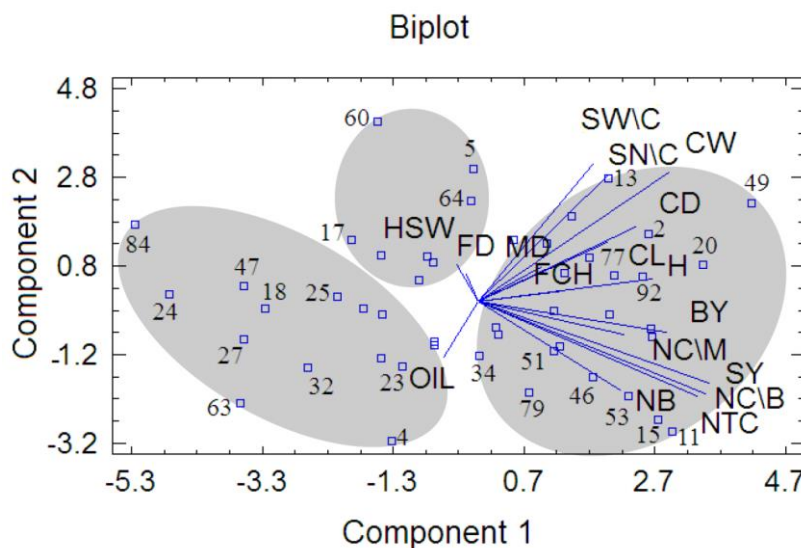
همانطور که از شکل ۲ مشخص است صفات تعداد کپسول در



شکل ۱- پلات بارهای عاملی مؤلفه اول و دوم حاصل از تجزیه به مؤلفه‌ها برای ژنتیک‌های مورد بررسی

Figure 1- Plot of factor loadings of first and second principal resulted from principal component analysis for studied genotypes

BY: عملکرد بیولوژیک، CD: قطر کپسول، CL: طول کپسول، CW: وزن یک کپسول، FCH: ارتفاع اولین کپسول از سطح زمین، FD: روز تا شروع گلدهی، H: ارتفاع HSW، MD: وزن صد دانه، NB: روز تا شروع رسیدگی، NC\B: تعداد کپسول در شاخه‌های فرعی، NC\M: تعداد کپسول در شاخه اصلی، OIL: تعداد کپسول‌های یک بوته، NC\B: تعداد دانه در یک کپسول، SN\C: درصد روغن، SW\C: وزن دانه یک کپسول، SY: عملکرد دانه NTC:



شکل ۲- بای پلات مؤلفه اول و دوم حاصل از تجزیه به مؤلفه‌ها برای ژنتیپ‌های مورد بررسی، بعضی از ژنتیپ‌های قرار گرفته در آن و گروه‌بندی صورت گرفته برای ژنتیپ‌ها

Figure 2- Biplot of first and second principal resulted from principal component analysis for studied genotypes, some of genotypes in it and grouping done for genotypes

2:Akyang, 4:Anthalya-1, 5:Ba fang tuo, 11:Black c-2-c, 13:Boryung, 15:Bukbak, 17:Daeyang, 18:Dongbu, 20:Dulce 101/87. 23:Godae, 24:Gogun, 25:Gyum 1 1, 27:Haeree, 32:Hanyim 1, 34:Hoechon 2, 46:Jungkyung, 47:Keumyu, 49:Lao hong zhi ma, 51:Local 123, 53:Margo, 60:Q21115 (non-shattering selection), 63:Sagok, 64:SC 4520-2-1, 77:VNIIMK 1651, 79:White c323-2, 84:White Sindos 381 (early), 92: اوکان: اولان

References

1. Abate, M., and Mekbib, F. 2015. Assessment of genetic variability and character association in 108 office low-altitude sesame (*Sesamum indicum* L.) genotypes. Journal of Agriculture and Environmental Sciences, 2 (3): 55-66.
2. Akbar, F., Rabbani, M.A., Shinwari, Z.K., and Khan, S.J. 2011. Genetic divergence in sesame (*Sesamum indicum* L.) landraces based on qualitative and quantitative traits. Pakistan Journal of Botany 43 (6): 2737-2744.
3. Arulmozhi, N., Santha, S., and Mohammed, S. 2001. Correlation and path co-efficient analysis in sesame. Journal of Ecobiology 13 (3): 229-232.
4. Ashri, A. 1998. Sesame breeding. Plant Breeding Reviews 16: 179-228.
5. Azeez, M. A., and Morakinyo, J. A. 2011. Path analysis of the relationships between single plant seed yield and some morphological traits in sesame (*Sesamum indicum* L.). International Journal of Plant Breeding and Genetics 5: 358-368.
6. Baydar, H. 2005. Breeding for the improvement of the ideal plant type of sesame. Plant Breeding 124: 263-267.
7. Bharathi, D., Rao, V. T., Venkanna, V., and Bhadru, D. 2015. Association Analysis in Sesame (*Sesamum indicum* L.). International Journal of Applied Biology and Pharmaceutical Technology 6 (1): 210-212.
8. Deepasankar, P., and Anandakumar, C. R. 2003. Character association and path coefficient analysis in sesame (*Sesamum indicum* L.). Agricultural Science Digest 23: 17-19.
9. Falconer, D. S., and T. F. C. Mackay. 1996. Introduction to quantitative genetics. Longman Group Ltd. Harlow, UK, 187- 246.
10. Fazal, A., Mustafa, H. S. B., Hasan, E., Anwar, M., Tahir, M. H. N., and Sadaqat, H. A. 2015. Interrelationship and Path Coefficient Analysis among Yield and Yield Related Traits in Sesame (*Sesamum indicum* L.). Natural Science 13 (5): 27-32.
11. Furat, S., and Uzun, B. 2010. The use of agro-morphological characters for the assessment of genetic diversity in sesame (*Sesamum indicum* L.). Plant Omics 3: 85-91.
12. Goudappagoudra, R., Lokesha, R., and Ranganatha, A. R. G. 2011. Trait association and path coefficient analysis for yield and yield attributing traits in sesame (*Sesamum indicum* L.) Electronic Journal of Plant Breeding 2 (3): 448-452.

13. Guirguis, N. R., Mandoh, E. L., and Madkour, M. A. 1996. Evaluation of some different genotypes of sesame (*Sesamum indicum* L.). *Annals of Agricultural Sciences* 34 (1): 53-68.
14. Ibrahim, S. E., and Khidir, M. O. 2012. Genotypic correlation and path coefficient analysis of yield and some yield components in sesame (*Sesamum indicum* L.). *International Journal of Agricultural Science* 2 (8): 664-670.
15. Karuppaiyan, R., and Ramasamy, P. 2000. Cause and effect relationship between seed yield and its components in sesame. *Madras Agricultural Journal* 7 (1-3): 74-76.
16. Kavitha, M., and Ramalingam, S. 2000. Path analysis in segregating population of sesame. *Madras Agricultural Journal* 5 (1-3): 158-159.
17. Kumar, K. B., and Vivekanandan, P. 2009. Correlation and path analysis for seed yield in sesame (*Sesamum indicum* L.). *Electronic Journal of Plant Breeding* 1: 70-73.
18. Kumaresan, D. and Nadarajan, N. 2003. Genetic divergence analysis in sesame (*Sesamum indicum* L.). *Sesame and Safflower Newsletter* 18:15-19.
19. Kurdistani, R., Tohidinejad, E., Mohammadi-Nejad, G., and Zareie, S. 2011. Yield potential evaluation and path analysis of different sesame genotypes under various levels of iron. *African Journal of Plant Science* 5:862-866.
20. Lal, M., Dutta, S., Saikia, D., and Bhau, B. S. 2016. Assessment of Selection Criteria in Sesame by using Correlation and Path Coefficient Analysis under High Moisture and Acidic Stress Soil Condition. *Indian Journal of Science and Technology* 9(4).
21. Mahajan, R. C., Wadikar, P. B., Pole, S. P., and Dhuppe, M. V. 2011. Variability, Correlation and Path Analysis Studies in Sorghum. *Research Journal of Agricultural Sciences* 2: 101-103.
22. Manly, B. F. J. 2004. Multivariate statistical methods, A primer. Chapman and Hall, London. Third edition, 224p.
23. Menzir, A. 2012. Phenotypic variability, divergence analysis and heritability of characters in sesame (*Sesamum indicum* L.) genotypes. *Nature and Science* 10 (10): 117-126.
24. Mishra, A. K., Yada, L. N., and Tiwari, R. C. 1994. Association analysis for yield and its component in sesame (*Sesamum indicum*). *Agricultural Science Digest* 15: 42-46.
25. Mkamilo, G. S., and Bedigian, D. 2007. *Sesamum indicum* L. In H.A.M. van der Vossen and G.S. Mkamilo, eds. *Vegetable Oils. Plant Resources of Tropical Africa [PROTA]*. 14: 153-158.
26. Mohammadia, S. A., Prasanna, B. M., and Singh, N. N. 2003. Sequential path model for determining interrelationship among grain yield and related characters in maize. *Crop Science* 43: 1690-1697.
27. Mustafa, H. S. B., Ejaz-ul-Hasan, Q. A., Anwar, M., Aftab, M., and Mahmood, T. 2015. Selection Criteria for Improvement in Sesame (*Sesamum indicum* L.). *American Journal of Experimental Agriculture* 9 (4).
28. Pawar, K. N., Chetti, M. B., and Jahagirdar, S. 2002. Association between seed yield attributing character in Sesame. *Agricultural Science Digest* 22: 18-20.
29. Rafiq, C. M., Rafique, M., Hussain, A., and Altaf, M. 2010. Studies on heritability, correlation and path analysis in maize (*Zea mays* L.). *Journal of Agricultural Research* 48: 35-38.
30. Saha, S., Tamina, B., and Tapash, D. 2012. Analysis of Genotypic Diversity in Sesame Based on Morphological and Agronomic Traits. *International Research Conference. Tropentag*, Gottingen, Germany 19-21.
31. Siva Prasad, Y. V. N., Krishna, M. S. R., and Venkateswarlu Yadavalli. 2013. Correlation, path analysis and genetic variability for economical characteristics in F2 and F3 generations of the cross AVT 3× TC 25 in Sesamum (*Sesamum indicum* L.). *Journal of Environmental and Applied Bioresearch* 1 (2): 14-18.
32. Sivaprasad, Y. V. N., and Yadavalli, V. 2012. Correlation, path analysis and genetic variability in F2 and F3 generations of cross Padma × JLSV 4 in sesamum (*Sesamum indicum* L.). *International Journal of Agricultural Science* 2: 311-314.
33. Sumathi, P., Muralidharan, V., and Manivannan, N. 2007. Trait association and path analysis for yield and yield attributing traits in sesame (*Sesamum indicum* L.). *Madras Agricultural Journal* 94: 174-178.
34. Sumathi, P., and Muralidharan, V. 2010. Analysis of genetic variability, association and path analysis in the hybrids of sesame (*Sesamum indicum* L.). *Tropical Agricultural Research and Extension* 13 (3): 63-67.
35. Thirumala Rao, V., Bharathi, D., Chandra Mohan, Y., Venkanna, V., and Bhadru, D. 2013. Genetic variability and association analysis in sesame. (*Sesamum indicum* L.). *Crop Research* 46 (1, 2&3): 122-125.
36. Thiyyagu, K., Kandasamy, G., Manivannan, N., and Uma, D. 2007. Correlation and path analysis for oil yield and its components in cultivated sesame. Department of Oilseeds, CPBG. Tamil Nadu Agricultural University, India. 27: 1.
37. Vanishree, L. R., Banakar, N. C., and Renuka, G. 2013. Correlation and path coefficient analysis of 109oeff and 109oeff attributing traits in f4 generation of sesame (*Sesamum indicum* L.). *Journal of Life Sciences* 10: 180-182.
38. Yingzhong, Z., and Yishou, W. 2002. Genotypic correlations and path coefficient analysis in sesame. *Sesame and Safflower Newsletter* 17:10-12.
39. Yoll, E., Karaman, E., Furat, S., and Uzun, B. 2010. Assessment of selection criteria in sesame by using correlation coefficients, path and factor analyses. *Australian Journal of Crop Science* 4 (8): 598-602.



An Evaluation of the Relationship between Seed Yield and Oil Percentage with Some Important Agronomic Traits in Sesame by Using Path Analysis and Principal Component Analysis

B. Masoudi^{1*}

Received: 16-12-2017

Accepted: 12-08-2018

Introduction: Sesame (*Sesamum indicum* L.) is considered as the queen of oilseeds for its high oil quality. Sesame oil is rich in micronutrients, antioxidants and essential amino acids as well as polyunsaturated fatty acids. Proper understanding of the relationship between grain yield and its components can significantly improve the performance of the breeding program through the proper use of selection indicators.

Materials and Methods: In order to determine the relationship between the seed yield and oil percentage with some important agronomic traits, and to find the direct and indirect effects of important agronomic traits on both seed yield and oil percentage and also select best genotypes in terms of different traits, 91 sesame genotypes (received from botanical gene banks of Germany, Canada and Australia) were studied based on an augmented design with 3 checks (Oltan, Yellow white, Naz tak shakheh) at seed and plant improvement institute, Karaj, Iran in 2016. 17 agronomic traits including flowering date, maturity date, first capsule height from surface of earth, height of plant, number of branches, number of capsule per branches, number of capsule per main stem, number of total capsule per plant, seed number per capsule, seed weight per capsule, 100-seed weight, capsule weight, capsule diameter, capsule length, oil percentage, biological yield and seed yield were studied.

Results and Discussion: The results of simple correlation indicated that seed yield per plant had a high correlation with total number of capsules per plant, number of capsules in branches, biological yield, number of capsules per main stem and plant height. Also 100 seed weight, seed yield per plant, number of capsules per main stem, number of capsules per plant and seeds weight per capsules were in a high correlation with oil percentage. The result of path analysis showed that the number of capsules per plant, number of capsules per branch, biological yield and capsule length exerted the greatest positive effects on seed yield and therefore suggest that they can used as selection criteria in seed yield improvement. Also seeds weight per capsule, capsule length, seed yield and number of capsules per main stem exerted the greatest positive effects on oil percentage. The results of principal component analysis showed that 6 components comprised 82.77 % of the total variations in genotypes. In the first components of this study biological yield, seed yield, capsule weight, number of capsules in the branches and number of capsules per plant had high positive coefficients. The number of seeds per capsule, the seed weight of a capsule and the weight of a capsule had the highest coefficients in the second component. In the third component, the traits of the day to the beginning of flowering and the day to the beginning of the maturity had the highest positive coefficients and the height of the plant had a high negative coefficient. In the fourth component, the weight of 100 seeds, oil percent and seed weight per capsule had the highest positive coefficients and the height of the first capsule from the ground surface had the highest negative coefficient. The fifth component, including oil percent, capsule length and height of the first capsule from the ground had positive coefficients and the numbers of capsules in the main branch were negative. Finally, the sixth component included the number of seeds per capsule and the number of capsules in the main branch with positive and 100-seed weight and the height of the first capsule from the surface with negative coefficients. Lao hong zhi ma and Black c-2-c, Dulce 101/87 and Bukbak had the highest yield in component 1 and 2 biplot. The genotype number 79, with the name of White c323-2, had a good relative yield and also a good relative seed oil content. In addition, genotypes number 79 and 51, with the names of White c323-2 and Local 123, have a good relative yield and also relatively early. Finally, genotype number 49, with the name of Lao hong zhi ma, had the highest relative yield and seed number per capsule.

Conclusions: For improvement of each component, we must pay attention to the related traits because gene or genes which control number of capsules per plant, probability control biological yield, capsule weight and other significant traits in this component too, and the component or gene which control this traits is similar gene or factor. By identifying these phenological and morphological patterns that effective in the structure of sesame and determining the relationships between them, breeders can use them in future programs.

Keywords: Oil percentage, Path analysis, Principal component analysis, Seed yield

1- Assistant Professor, Seed and Plant Improvement Institute, Agricultural Research, Education and Extension Organization (AREEO), Karaj, Iran

(*- Corresponding Author Email: bmasoudi@gmail.com)



ارزیابی تحمل به تنش خشکی دوره رشد زایشی در برخی از ژنوتیپ‌های گندم با استفاده از شاخص‌های تحمل و حساسیت به تنش خشکی (*Triticum aestivum L.*)

وحید بحرینی ویجویه^۱، محمد رضا داداشی^{۲*}، سید محمود ناظری^۳

تاریخ دریافت: ۱۳۹۶/۱۰/۴

تاریخ پذیرش: ۱۳۹۷/۰۸/۱۲

چکیده

این بررسی به منظور تعیین حدود حساسیت و تحمل به تنش کمبود رطوبتی ژنوتیپ‌های گندم به شرایط آبیاری کامل و کمبود رطوبتی در دوره زایشی اجرا شد. تعداد هشت ژنوتیپ حاصل از برنامه بهترادی اقلیم سرد کشور که دارای تیپ رشد ممتازه در مقایسه با ارقام اروم، میهن و زارع به عنوان شاهد بر پایه طرح بلوک کامل تصادفی با سه تکرار طی دو سال زراعی ۱۳۹۵-۱۳۹۳ در دو شرایط آبیاری کامل و کمبود رطوبتی در دوره زایشی در استیگاه تحقیقات کشاورزی طرق مشهد مورد مقایسه قرار گرفتند. در این تحقیق از ۱۴ شاخص ارزیابی تنش به ترتیب شاخص حساسیت به تنش (SSI)، شاخص تحمل به تنش (STI)، شاخص تحمل (TOL)، شاخص بهره‌وری متوسط (MP)، شاخص میانگین هندسی بهره‌وری (GMP)، میانگین هارمونیک (HM)، شاخص تحمل به تنش تعدیل‌یافته (MSTI)، شاخص پایداری عملکرد (YSI)، شاخص عملکرد (YI)، شاخص خشکی (DI)، شاخص تحمل غیرزیستی، (ATI) شاخص درصد حساسیت به تنش (SSPI)، شاخص مخصوص در تنش و بدون تنش (SNPI) و درصد کاهش عملکرد (RE) استفاده گردید. در مجموع شاخص‌ها پنج شاخص میانگین هندسی بهره‌وری (GMP)، میانگین بهره‌وری (MP)، میانگین هارمونیک (HM) و شاخص تحمل به تنش تعدیل‌یافته (MSTI) با احتمال ۹۹ درصد بیشترین همیستگی را با عملکرد دانه در شرایط بدون تنش و تنش نشان دادند و به عنوان برترین شاخص‌های متتحمل به خشکی در این بررسی مشخص شدند. ژنوتیپ هشت که بالاترین مقدار را در این پنج شاخص داشت به عنوان متتحمل ترین ژنوتیپ در شرایط تنش شناسایی گردید. ارقام شاهد به لحاظ عملکرد و تحمل به تنش خشکی در قیاس با ژنوتیپ هشت جایگاه مناسبی نداشتند. در شرایط تنش خشکی ژنوتیپ هشت بیشترین عملکرد را با ۵۱۷۶ کیلوگرم در هکتار به خود اختصاص داده و در رتبه میانگین شاخص‌های این تحقیق رتبه اول را داشت. ژنوتیپ ۹ نیز از لحاظ عملکرد دانه در شرایط تنش خشکی با ۵۰۷۹ کیلوگرم در هکتار و رتبه دوم در میانگین شاخص‌های این تحقیق به عنوان بهترین ژنوتیپ متتحمل به خشکی بعد از ژنوتیپ ۸ قرار گرفت.

واژه‌های کلیدی: بهره‌وری، پایداری، شاخص عملکرد، کمبود رطوبت

مقدمه

در سال ۲۰۱۴ با عنایت به محدودیت ذخایر آب موجود در سراسر جهان باید سیاست‌های کشاورزی به منظور افزایش تولید گندم، تدوین برنامه‌های استراتژیک جهانی برای تحقیقات گندم، تشویق سرمایه‌گذاری کارآمد در این خصوص و توسعه ژنوتیپ‌های متتحمل در برابر شرایط تنش خشکی صورت گیرد (Gautam *et al.*, 2015). تغییرات آب و هوایی منجر به خشکسالی در بعضی کشورها گردیده که باعیستی با توسعه ارقام متتحمل به خشکی، بهره‌وری گندم را افزایش داد (Dixit *et al.*, 2018). تنش خشکی قبل از گرده‌افشانی در گندم بر روی باروری گیاه و بعد از آن در دوره پر شدن دانه تاثیرات منفی دارد (Al-Ajlouni *et al.*, 2016).

در تحقیقی بر روی ۱۲ ژنوتیپ جو در شرایط تنش خشکی در انتهای فصل رشد، همیستگی معنی دار بین عملکرد دانه و شاخص‌های میانگین بهره‌وری (MP)، شاخص تحمل به تنش (STI) و میانگین هندسی بهره‌وری (GMP) وجود داشت و شاخص‌های

در میان غلات گندم مهمترین گیاه زراعی است و نقش حیاتی در اقتصاد کشاورزی کشورها دارد (Tadesse *et al.*, 2016). با توجه به پیش‌بینی جمعیت ۹ میلیارد نفری در سال ۲۰۵۰ تقاضا برای گندم ۶۰ درصد افزایش خواهد یافت. (Lucas *et al.*, 2016)

۱- دانشجویی دکترای زراعت، گروه کشاورزی، واحد گرگان، دانشگاه آزاد اسلامی، گرگان، ایران

۲- استادیار، گروه کشاورزی، واحد گرگان، دانشگاه آزاد اسلامی، گرگان، ایران

۳- استادیار، بخش تحقیقات اصلاح و تهیه نهال و بنر، مرکز تحقیقات و آموزش کشاورزی و منابع طبیعی استان خراسان رضوی، سازمان تحقیقات، آموزش و ترویج کشاورزی، مشهد، ایران

(Email: mdadashi730@yahoo.com
DOI: 10.22067/gsc.v17i1.69690
*)- نویسنده مسئول:

و بدون تنفس همبستگی معنی‌دار با عملکرد دانه دارند، شاخص‌های برتری هستند چراکه قادر به تفکیک و شناسایی ژنوتیپ‌هایی با عملکرد بالا در هر دو محیط می‌باشند. بر این اساس با استفاده از تحلیل همبستگی بین عملکرد در شرایط بدون تنفس و تنفس و شاخص‌های کمی تحمل به خشکی، ژنوتیپ‌های متتحمل را غربال و مناسب‌ترین ژنوتیپ را انتخاب کرد. Fernandez (1992) در بررسی عملکرد ژنوتیپ‌ها در محیط تنفس و بدون تنفس چهار نوع واکنش برای ژنوتیپ‌ها در نظر گرفت عملکرد بالاتر از میانگین در هر دو شرایط تنفس و بدون تنفس (گروه A)، عملکرد بالاتر از میانگین در شرایط بدون تنفس (گروه B)، عملکرد بالاتر از میانگین در شرایط تنفس (گروه C) و عملکرد پایین‌تر از میانگین در هر دو شرایط تنفس و بدون تنفس (گروه D). شاخص میانگین تولید MP و شاخص تحمل Tolerance برای ارزیابی عکس‌العمل گیاهان زراعی ارائه شد که ژنوتیپ‌هایی با MP بالا و TOL کم از پایداری تولید بالاتری در شرایط تنفس برخوردارند، در شاخص‌های معرفی شده مقدار TOL براساس تفاوت میانگین عملکرد در شرایط Rosielle and Hamblin, (1981). در شاخص پایداری عملکرد Yield Stability Index (YSI) (1981). در شرایط می‌رود ژنوتیپ‌هایی با مقدار عددی بالاتر از این شاخص، عملکرد بالایی در شرایط تنفس داشته باشد (Bouslama and Schpaugh, 1984). در واقع ژنوتیپی که بر اساس YSI به عنوان ژنوتیپ متتحمل انتخاب می‌شود ثبات عملکرد بالاتری داشته و حداقل کاهش عملکرد را نشان می‌دهد (Yarnia et al., 2011). شاخص عملکرد Yield Index (YI) ارقام را فقط براساس عملکرد در شرایط تنفس رتبه‌بندی می‌کند و مقدار عددی بالا بیانگر برتری در این شاخص است (Gavazzi et al., 1997). بنابراین ژنوتیپ‌هایی با عملکرد بالا در هر دو شرایط تنفس و بدون تنفس را تشخیص نمی‌دهد. شاخص جدید خشکی Drought Index (DI) معمولاً برای شناسایی ژنوتیپ‌هایی با عملکرد بالا تحت هر دو شرایط تنفس و بدون تنفس بوده و مقدار عددی بالا بیانگر برتری در این شاخص می‌باشد (LAN, 1998). شاخص‌های DI و STI نه تنها توان ژنوتیپ‌ها برای تولید عملکرد بالا در شرایط تنفس را در نظر می‌گیرند بلکه عملکرد مناسب در شرایط آبیاری کامل را نیز ملاک قرار می‌دهند. شاخص STI به شاخص تحمل به تنفس تغییریافته (MSTI) (Modified Stress Tolerance Index) اصلاح شد و برای ارزیابی تحمل ژنوتیپ‌ها به تنفس خشکی معرفی و بر این اساس در شاخص Ki, KiSTI, K1STI و K2STI تصحیح STI در شرایط رطوبتی می‌باشد. بنابراین Farshadfar (1992) و Sutka, (2002) Fernandez (1992) کارایی شاخص تحمل به تنفس بوده و مقدار عددی بالا بیانگر برتری می‌باشد (and).

مذکور به عنوان بهترین شاخص برای غربال‌گری ژنوتیپ‌های متتحمل به خشکی انتخاب شدند (Khokhar et al., 2012). تحمل به خشکی صفت کمی نیست و روش اندازه‌گیری مستقیمی برای آن وجود ندارد و این امر باعث مشکل شدن شناسایی Takeda and Matsuka, (2008). در مناطق خشک مرحله پر شدن دانه اغلب با دوره‌ای منطبق می‌شود که درجه حرارت محیط افزایش و ذخیره رطوبتی خاک کاهش می‌یابد و درنتیجه این تنفس چروکیدگی دانه، کاهش وزن و در نهایت منجر به کاهش عملکرد دانه می‌شود. بنابراین در این شرایط ارقامی که توانایی تولید محصول بیشتری داشته باشد مورد توجه قرار می‌گیرند. برای غربال ارقام متتحمل به خشکی بایستی از شاخص‌های متتحمل به تنفس استفاده کرد (Moayedi et al., 2010). در شرایط تنفس رطوبتی در طی پر شدن دانه، سرعت پرشدن دانه، یک صفت فیزیولوژیک موثر در افزایش کارایی توزیع ماده خشک به سمت دانه می‌باشد (Naderi et al., 2013). برای دقت بیشتر در گزینش‌ها بهتر است از چندین شاخص استفاده شود (Zebarjadi et al., 2013). در بررسی انجام شده در داراب فارس بهدلیل این که شاخص‌های MP, GMP, STI, GMP بیشترین همبستگی معنی‌دار با عملکرد دانه در شرایط آبیاری کامل و تنفس ژنوتیپ‌های گندم متتحمل به خشکی معرفی و با عنایت به این شاخص‌ها متتحمل ترین ژنوتیپ‌ها در شرایط تنفس خشکی معرفی شدند (Dastfal et al., 2011).

Fischer and Maurer (1978) شاخص حساسیت به تنفس ژنوتیپ‌ها را پیشنهاد دادند. این محققین نشان دادند که ژنوتیپ‌هایی با SSI کمتر از واحد به خشکی متتحمل ترند و SSI را معياری از نسبت تغییرات عملکرد دانه یک ژنوتیپ در شرایط تنفس نسبت به شرایط آبیاری کامل دانستند و این شاخص را برای ارزیابی میزان حساسیت و تحمل معرفی نمودند. Fernandez (1992) STI (Stress Tolerance Index) میانگین هندسی بهره‌وری (GMP) و میانگین هارمونیک Geometric Mean Productivity (HARM) را ارائه داد و STI را به عنوان معیاری گزینش ارقام متتحمل به تنفس خشکی پیشنهاد کرد که مقادیر بالای این شاخص نشان‌دهنده تحمل زیاد به تنفس و عملکرد بالقوه بالا در ژنوتیپ مورد نظر است. شاخص میانگین هندسی Mean بهره‌وری (GMP) در مقایسه با شاخص MP (Mean Productivity) در تفکیک ژنوتیپ‌ها از قدرت بالاتری برخوردار است. مقادیر بالای عددی GMP, MP و HM بیانگر تحمل بیشتر به تنفس می‌باشند. طبق نظر فرناندز شاخص‌هایی که در دو محیط تنفس

میانگین دمای فصل سرد -۴ درجه سانتی گراد ثبت شده است. بارندگی سالیانه مشهد ۲۵۶ میلی متر و آب و هوای آن بر اساس تقسیم‌بندی آمبرژه خشک و سرد است.

عملیات تهیه زمین شامل شخم کلش بعد از برداشت محصول قبلی، یک نوبت شخم بهاره، یک نوبت دیسک، دو بار لولر عمود بر هم، کودپاشی و ایجاد فارو بود. کود مصرفی بر اساس آزمون خاک با فرمول $(120-90-50)$ بود که کود پتاس از منبع سولفات پتاسیم، کود فسفره از منبع فسفات آمونیوم کود نیتروژنی از منبع اوره در دو نوبت پایه و سرک به مصرف رسید. آبیاری به صورت نشستی انجام شد. برای شرایط آبیاری کامل یک نوبت آبیاری پاییزه و ۳ نوبت آبیاری بهاره انجام گردید ولی برای ایجاد شرایط تنش در مورد ژنوتیپ‌های تحت تنش محدودیت رطوبتی، با قطع آبیاری پس از ظهر بساک (اواسط اردیبهشت) انجام شد و لازم به توضیح است تا مرحله ظهر بساک در هر دو شرایط آبیاری به طور یکسان انجام گرفت. هر ژنوتیپ در یک کرت با ابعاد $6 \times 1/2 = 7/2$ متر مربع کشت شد که با حذف نیم متر از ابتدا و انتهای هر کرت، مساحت برداشت ۶ متر مربع بود. بذور آزمایشی قبل از کاشت به منظور جلوگیری از سیاهک پنهان با قارچ کش کربوکسین تیرام به نسبت دو در هزار ضعفونی شدند. برای مبارزه با علف‌های هرز پهن برگ و باریک برگ مخلوطی از علف‌کش‌های گرانستار و پوماسوپر به ترتیب ۲۰ گرم و یک لیتر در هكتار در مرحله پنجه‌زنی تا ساقه رفتمن استفاده شد. میزان بذر مصرفی بر اساس 450 بذر در هر متر مربع و با در نظر گرفتن وزن هزار دانه برای هر رقم تعیین گردید.

افزون بر میانگین عملکرد دانه در شرایط بدون تنش و تنش، شاخص‌های حساسیت و تحمل به تنش محدودیت رطوبتی اعم از شاخص حساسیت به تنش (SSI)، شاخص تحمل به تنش محدودیت رطوبتی (STI)، شاخص تحمل (TOL)، شاخص بهره‌وری متوسط (MP)، شاخص میانگین هندسی بهره‌وری (GMP)، شاخص میانگین هارمونیک (HARM)، شاخص مقاومت به خشکی (DI)، شاخص تحمل به تنش تعییل‌یافته (MSTI)، درصد کاهش عملکرد (RE)، شاخص پایداری عملکرد (YSI)، شاخص عملکرد (YI)، شاخص تحمل غیر زیستی (ATI)، شاخص درصد حساسیت به تنش (SSPI)، شاخص محصول در شرایط تنش و بدون تنش (SNPI) به منظور ارزیابی واکنش ژنوتیپ‌ها به تنش خشکی در دوره زایشی، ارزیابی شد. شاخص‌های حساسیت و تحمل به تنش خشکی در معادله‌های ۱ الی ۱۴ نشان داده شده است.

به تنش تأثیر نمود.

شاخص‌های تحمل غیر زیستی (ATI) (Abiotic Tolerance)، شاخص درصد حساسیت به تنش (SSPI)، شاخص درصد خشکی (Index Stress)، شاخص مقاومت (Susceptibility Percentage Index Stress)، شاخص خشکی (Stress non-Stress Production Index)، شاخص محصول (SNPI) برای تفکیک ژنوتیپ‌های نسبتاً متتحمل و غیر متتحمل به تنش خشکی معرفی شدند (Moosavi et al., 2008). در دو شاخص SSPI و ATI کمترین و در SNPI بیشترین مقدار عددی، برتری این شاخص‌ها را معرفی می‌نماید. در شاخص درصد کاهش عملکرد شرایط آبیاری کامل یک نوبت آبیاری به صورت نشستی انجام شد. برای این شاخص‌ها را عملکرد در شرایط تنش عامل موثری برای تحمل به تنش می‌باشد و Choukan مقدار عددی کمتر این شاخص برتری محسوب می‌شود (et al., 2006). گندم آبی در مناطق نیمه‌خشک و خشک عمده‌تاً با خشکی آخر فصل رو به رو است، موفقیت برای دستیابی به ژنوتیپ‌های سازگار به شرایط تنش مستلزم مقایسه ژنتیکی و معرفی ژنوتیپ‌های برتر می‌باشد، با دستیابی به این ژنوتیپ‌ها امکان مطالعه جامع برای شناخت صفات فیزیولوژیکی مرتبط با فرآیندهای سازگاری میسر خواهد شد. هدف از اجرای این تحقیق شناسایی و تعیین برخی لاین‌های متتحمل به تنش خشکی و پر محصول از نظر عملکرد دانه برای معرفی در شرایط تنش خشکی در دوره زایشی و تعیین شاخص‌هایی با کارایی مطلوب برای ارزیابی عکس العمل ژنوتیپ‌ها به شرایط تنش بود.

مواد و روش‌ها

در این بررسی تعداد هشت ژنوتیپ گندم حاصل از برنامه‌های به نژادی ایستگاه‌های سرد کشور که دارای تیپ رشد زمستانه می‌باشند به همراه ارقام میهن، زارع و اروم به عنوان شاهد بر پایه طرح بلوک‌های کامل تصادفی با سه تکرار در دو شرایط آبیاری کامل و تنش محدودیت رطوبتی در دوره رشد زایشی مورد مقایسه قرار گرفتند. در این تحقیق برای محاسبات آماری از نرم‌افزار SAS و SPSS استفاده گردید. تعیین ضرایب همبستگی از نرم‌افزار SPSS طی دو سال زراعی ۱۳۹۳-۹۵ در ایستگاه تحقیقاتی کشاورزی مشهد با عرض جغرافیایی ۳۶ درجه و ۱۳ دقیقه شمالی و طول جغرافیایی ۵۹ درجه و ۴۰ دقیقه شرقی و ارتفاع ۹۸۵ متر از سطح دریا اجرا شد. حداقل درجه حرارت مطلق به ترتیب $43/4$ و $-27/8$ درجه سانتی گراد، میانگین دمای فصل گرم $24/5$ و

جدول ۱- نام / تلاقي ژنوتيب‌های گندم مورد بررسی (شجره)
Table 1-Pedigree genotypes of wheat

| ردیف | Plot No/ تیمار | Pedigree/ شجره |
|------|----------------|--|
| 1 | زارع | BOL1.11//F35.70/MO73/4/YMH/TO/3/LIRA CIT92/ M 0- E-OYC-7YC-OYC-1YC-OYC-3YC-OYC |
| 2 | میهن | /90-ZHONG87 BK |
| 3 | اروم | ER 732/ N ALVAND/ |
| 4 | C-93-4 | TILA/SHARK/F4105W2.1 NWAA15/A |
| 5 | C-93-5 | ERYT1554.90/MV1 |
| 6 | C-93-6 | SPN/MCD/3/NZR/4 LD"s"/.. |
| 7 | C-93-7 | BOW/CROW/3RSH//3B/3/91 U |
| 8 | C-93-8 | JIA/SHARK/F4105W2.1 R8/ |
| 9 | C-93-9 | BLUEGIL-2/ UCUR /SI E NA |
| 10 | C-93-10 | AJIVI A |
| 11 | C-93-11 | K-1 G HA 196/ |

$$D = 1 - (\bar{Y}_s / Y_p)$$

$$SSI = [1 - (Y_s / Y_p)] / D \quad (1)$$

$$STI = (Y_p \times Y_s) / (\bar{Y}_p)^2 \quad (2)$$

$$TOL = Y_p - Y_s \quad (3)$$

$$GMP = \sqrt{Y_p \times Y_s} \quad (4)$$

$$MP = (Y_p + Y_s) / 2 \quad (5)$$

$$HARM = 2(Y_p)(Y_s) / (Y_p + Y_s) \quad (6)$$

$$MSTI = k_i STI \quad (7)$$

$$K_1 = Y_p^2 / \bar{Y}_p^2$$

$$K_2 = Y_s^2 / \bar{Y}_s^2$$

$$RE\% = [(Y_p - Y_s) / Y_p] \times 100 \quad (8)$$

$$YI = Y_s / \bar{Y}_s \quad (9)$$

$$YSI = Y_s / Y_p \quad (10)$$

$$ATI = [(Y_p - Y_s) / (\bar{Y}_p / \bar{Y}_s)] [\sqrt{Y_p \times Y_s}] \quad (11)$$

$$SSPI = [(Y_p - Y_s) / 2(\bar{Y}_p)] \times 100 \quad (12)$$

$$SNPI = [3\sqrt[3]{(Y_p + Y_s)(Y_p - Y_s)}] [3\sqrt[3]{(Y_p \times Y_s \times Y_s)}] \quad (13)$$

$$DI = Y_s \times (Y_s / Y_p) / \bar{Y}_s \quad (14)$$

نتایج و بحث

تجزیه واریانس مرکب نشان داد که اثر آبیاری و اثر متقابل سال در ژنوتیپ در سطح احتمال ۹۹ درصد و اثرات سال و ژنوتیپ هرکدام در سطح احتمال ۹۵ درصد معنی دار بودند که نشان از تاثیرات نتش خشکی در دوره رشد زیستی، تنوع ژنتیکی و تغییرات آب و هوایی در عملکرد دانه می‌باشد (جدول ۲).

که در معادلات بالا Y_p عملکرد ژنوتیپ در شرایط بدون نتش، Y_s عملکرد ژنوتیپ در شرایط نتش، \bar{Y}_p میانگین عملکرد کل ژنوتیپ‌ها در شرایط بدون نتش، \bar{Y}_s میانگین عملکرد کل ژنوتیپ‌ها در شرایط نتش، D شدت نتش و K_1 و K_2 به ترتیب ضریب تصحیح STI در شرایط بدون نتش و نتش می‌باشد.

جدول ۲- تجزیه واریانس مرکب دو ساله عملکرد دانه

Table 2- Analysis of variance composite at two years on grain yield

| میانگین مربعات Mean of squares | درجه آزادی df | منابع تغییرات S.O.V |
|-----------------------------------|------------------|---|
| 24.946* | 1 | Year/ سال |
| 0.444 ns | 4 | Rep/(سال) تکرار |
| 158.39 ** | 1 | Irrigation/ آبیاری |
| 2.172 ns | 1 | Irrigation×Year / سال×آبیاری |
| 0.415 | 4 | Error1/ خطای 1 |
| 0.469 * | 10 | Genotype/ ژنوتیپ |
| 0.740 ** | 10 | Year×Genotype/ سال×ژنوتیپ |
| 0.134 ns | 10 | آبیاری × ژنوتیپ / |
| 0.209 ns | 10 | Irrigation×Genotype / سال×آبیاری × ژنوتیپ |
| 0.201 | 80 | Irrigation×Genotype×Year / سال |
| CV=7.5% | 80 | Error 2/ خطای 2 |

ns, * و ** به ترتیب غیر معنی دار و معنی دار در سطح ۵ و ۱ درصد

ns, * and **: no significant, significant at level 5 and 1 percent respectively

رقم‌های گندم نان مروودشت و زاگرس را به ترتیب ۶۱/۹ و ۳۰/۱ درصد کاهش داد (Saeidi *et al.*, 2010).

تحقیقات نشان داد که در شرایط تنش خشکی آخر فصل رشد کاهش شدیدی در فتوستتر گندم پس از مرحله گرده‌افشانی رخ می‌دهد که باعث محدود شدن اختصاص مواد حاصل از فتوستتر جاری گیاه به دانه می‌شود، بدین ترتیب کاهش عملکرد دانه در شرایط تنش خشکی دوره رشد زایشی را می‌توان به کاهش فتوستتر جاری گیاه نسبت داد (Ehdaie *et al.*, 2008).

عملکرد دانه در سال دوم نسبت به سال اول ۱۳/۶ درصد کاهش نشان داد و اختلاف معنی دار بین عملکرد دانه در دو سال زراعی وجود دارد که ناشی از تاثیر تغییرات آب و هوای بود (جدول ۳). تنش اعمال شده در این تحقیق باعث شد میانگین عملکرد ژنوتیپ‌ها در شرایط تنش خشکی دوره رشد زایشی نسبت به شرایط آبیاری کامل ۳۱ درصد کاهش نشان دهد که حاکمی از تاثیر تنش خشکی در زمان پر شدن دانه است (جدول ۴). پژوهش انجام شده در کرج نشان داد تنش خشکی در دوره پرشدن دانه گندم، عملکرد دانه

جدول ۳- مقایسه میانگین اثر سال بر عملکرد دانه براساس آزمون دانکن

Table 3-Mean comparison effect of year on grain yield on base Duncan test

| سال Year | عملکرد دانه Grain yield (kg ha^{-1}) |
|-------------|--|
| 2014-2015 | 6407 a |
| 2015-2016 | 5537 b |

اعداد با حروف مشترک در هر سه توان دارای اختلاف معنی دار ($P<0.05$) نمی‌باشد.Numbers followed by the same letter are not significantly differentns ($P<0.05$)

به لحاظ عملکرد ارقام شاهد در شرایط تنش، بدون تنش و میانگین رتبه تحمل به تنش خشکی شاخص‌ها نسبت به ژنوتیپ ۸ از جایگاه قابل قبولی برخوردار نبودند (جدول ۶).

جدول مقایسه میانگین ژنوتیپ‌ها بر عملکرد دانه نشان داد ژنوتیپ‌ها با هم اختلاف معنی دار دارند که بیانگر تنوع ژنتیکی بین ژنوتیپ‌ها بوده و همین باعث شد در شرایط تنش خشکی در دوره زایشی واکنش متفاوت داشته باشند. ژنوتیپ ۸ به غیر از ژنوتیپ‌های ۷، ۶ و ۵ با سایر ژنوتیپ‌ها از جمله ارقام شاهد اختلاف معنی دار در سطح احتمال ۵ درصد نشان داد (جدول ۵).

جدول ۴- مقایسه میانگین اثر تنفس خشکی بر عملکرد دانه براساس آزمون دانکن

Table 4- Mean comparison effect of drought stress on grain yield on base Duncan test

| آبیاری Irrigation | عملکرد دانه Grain yield (kg ha^{-1}) |
|-----------------------------|--|
| آبیاری کامل/Normal | 7068 a |
| آبیاری در شرایط تنفس/Stress | 4877 b |

اعداد با حروف مشترک در هر ستون دارای اختلاف معنی دار ($P < 0.05$) نمی باشند.Numbers followed by the same letter are not significantly differentns ($P < 0.05$)

جدول ۵- مقایسه میانگین عملکرد دانه ژنوتیپ‌ها براساس آزمون دانکن

Table 6 - Mean Comparison genotypes on grain yield on base Duncan test

| ژنوتیپ Genotype | عملکرد دانه Grain yield (kg ha^{-1}) |
|--------------------|--|
| 1 | 5816 de |
| 2 | 5848 de |
| 3 | 6053 bc |
| 4 | 5924 cd |
| 5 | 5724 e |
| 6 | 6168 ab |
| 7 | 6100 abc |
| 8 | 6288 a |
| 9 | 6159 ab |
| 10 | 5943 cd |
| 11 | 5671 e |

اعداد با حروف مشترک در هر ستون دارای اختلاف معنی دار ($P < 0.05$) نمی باشند.Numbers followed by the same letter are not significantly differentns ($P < 0.05$)

تحمل به تنفس را به خود اختصاص دهد به عنوان متحمل‌ترین ژنوتیپ شناخته شد (جدول ۶). در تحقیق دیگر مشخص شد GMP, MP, STI, STI همبستگی مثبت و معنی دار با عملکرد دانه در دو شرایط تنفس خشکی و آبیاری معمول داشتند و بر همین اساس مناسب‌ترین شاخص‌ها برای انتخاب ژنوتیپ‌های متحمل به خشکسالی معرفی شدند (Saeedi *et al.*, 2016).

در آزمایشی شاخص‌های GMP, MSTIK1, HM, STI, MP, به عنوان مناسب‌ترین شاخص‌ها برای شناسایی ژنوتیپ‌های متحمل به خشکی معرفی شدند (Afiuni *et al.*, 2009). در آزمایشی برووی GMP MP, STI, YI, DI, ۳۰ ژنوتیپ گندم نان شاخص‌های MSTI, به عنوان مناسب‌ترین شاخص‌ها برای شناسایی ژنوتیپ‌های متاحمل به خشکی معرفی شدند (Farshadfar *et al.*, 2013). در دو تحقیق جداگانه یکی با ژنوتیپ‌های گندم نان و دیگری با ارقام گندم دوروم گزارش شد SSI قادر به تشخیص ارقام دارای عملکرد دانه نمی باشد (Sanjari *et al.*, 2010; Zebarjadi *et al.*, 2013).

در این تحقیق شاخص‌های RE, DI, YI, SSI, TOL, YSI, SNPI, ATI در هر دو شرایط بدون تنفس و تنفس با عملکرد دانه همبستگی معنی دار نشان ندادند (جدول ۸). لازمه انتخاب شاخص برتر این است که شاخص‌ها بتوانند در هر دو شرایط بدون تنفس و تنفس، همبستگی معنی دار با عملکرد دانه داشته باشند، لذا نمی‌توان با شاخص‌های مذکور ژنوتیپ متحمل به خشکی با عملکرد بالا را انتخاب کرد.

در این تحقیق همبستگی معنی دار شاخص‌های GMP, MSTI, MP, HM با عملکرد دانه در هر دو شرایط بدون تنفس و تنفس وجود دارد که انتخاب ژنوتیپ‌ها براساس این شاخص‌ها می‌تواند منجر به گزینش ژنوتیپ‌هایی شود که در هر دو شرایط بدون تنفس و تنفس عملکرد بالا دارند (جدول ۸). ژنوتیپ ۸ در این شاخص‌ها برتر بود و از نظر عملکرد در شرایط تنفس رتبه اول با ۵۱۷۶ کیلوگرم در هکتار و در شرایط بدون تنفس با ۷۴۰۰ کیلوگرم در هکتار با اختلاف اندکی (۳۹) کیلو گرم در هکتار از ژنوتیپ ۶ رتبه دوم را داشت. با توجه به این که ژنوتیپ ۸ توانست رتبه برتر میانگین شاخص‌های حساسیت و

جدول ۶- میانگین عملکرد دانه (کیلوگرم در هکتار) در شرایط آبیاری کامل (Yp) و تنش خشکی دوره زایشی (Ys) در دو سال آزمایش و مقادیر شاخص‌های حساسیت و تحمل به تنش

Table 7-Mean grain yield (kg ha^{-1}) at non-stress (YP) and drought stress at reproductive phase (YS) on two years and amounts of tolerance and susceptibility to stress

| ژنوتیپ | Yp | رتبه | Ys | رتبه | SSI | رتبه | STI | رتبه | GMP | رتبه | MP | رتبه | TOL | رتبه |
|--------|------|------|------|------|-------|------|-------|------|------|------|------|------|------|------|
| 1 | 6839 | 10 | 4793 | 8 | 0.964 | 4 | 0.661 | 9 | 5725 | 9 | 5816 | 9 | 2046 | 3 |
| 2 | 6896 | 7 | 4801 | 7 | 0.977 | 6 | 0.662 | 8 | 5753 | 8 | 5848 | 8 | 2095 | 4 |
| 3 | 7240 | 3 | 4865 | 6 | 1.057 | 9 | 0.705 | 5 | 5934 | 5 | 6052 | 5 | 2375 | 9 |
| 4 | 6858 | 9 | 4990 | 4 | 0.877 | 1 | 0.685 | 6 | 5849 | 6 | 5924 | 7 | 1868 | 1 |
| 5 | 6665 | 11 | 4783 | 9 | 0.909 | 2 | 0.683 | 10 | 5646 | 10 | 5724 | 10 | 1882 | 2 |
| 6 | 7439 | 1 | 4896 | 5 | 1.099 | 10 | 0.729 | 3 | 6035 | 3 | 6167 | 2 | 2543 | 11 |
| 7 | 7201 | 5 | 5000 | 3 | 1.983 | 7 | 0.72 | 4 | 6000 | 4 | 6100 | 4 | 2201 | 6 |
| 8 | 7400 | 2 | 5176 | 1 | 0.967 | 5 | 0.766 | 1 | 6188 | 1 | 6288 | 1 | 2224 | 7 |
| 9 | 7239 | 4 | 5079 | 2 | 0.961 | 3 | 0.736 | 2 | 6063 | 2 | 6159 | 3 | 2160 | 5 |
| 10 | 7104 | 6 | 4782 | 10 | 1.051 | 8 | 0.68 | 7 | 5828 | 7 | 5943 | 9 | 2322 | 8 |
| 11 | 6862 | 8 | 4479 | 11 | 1.118 | 11 | 0.615 | 11 | 5543 | 11 | 5670 | 11 | 2383 | 10 |

اعداد کوچکتر در رتبه‌بندی‌ها و میانگین رتبه شاخص‌ها نشان‌دهنده برتری ژنوتیپ است.

Numbers of lower in ranking , mean of rank indices indicate advantage genotype

ادامه جدول ۶- میانگین عملکرد دانه (کیلوگرم در هکتار) در شرایط آبیاری کامل (Yp) و تنش خشکی دوره زایشی (Ys) در دو سال آزمایش و مقادیر شاخص‌های حساسیت و تحمل به تنش

Continue Table 6- Mean grain yield (kg ha^{-1}) at non-stress (YP) and drought stress at reproductive phase (YS) on two years and amounts of tolerance and susceptibility to stress

| ژنوتیپ | DI | رتبه | MSTIK2 | رتبه | MSTIK1 | رتبه | HM | رتبه | YSI | رتبه | YI | رتبه |
|--------|-------|------|--------|------|--------|------|------|------|-------|------|-------|------|
| 1 | 0.688 | 6 | 0.63 | 9 | 0.619 | 9 | 5609 | 9 | 0.7 | 4 | 0.982 | 8 |
| 2 | 0.685 | 7 | 0.641 | 8 | 0.63 | 8 | 5660 | 8 | 0.696 | 6 | 0.984 | 7 |
| 3 | 0.67 | 8 | 0.701 | 6 | 0.739 | 5 | 5819 | 5 | 0.671 | 9 | 0.997 | 6 |
| 4 | 0.744 | 1 | 0.717 | 5 | 0.645 | 7 | 5776 | 6 | 0.727 | 1 | 1.023 | 4 |
| 5 | 0.703 | 5 | 0.613 | 10 | 0.576 | 11 | 5569 | 10 | 0.717 | 2 | 0.981 | 9 |
| 6 | 0.66 | 9 | 0.734 | 4 | 0.807 | 2 | 5905 | 3 | 0.658 | 10 | 1.004 | 5 |
| 7 | 0.712 | 4 | 0.757 | 3 | 0.747 | 4 | 5901 | 4 | 0.694 | 7 | 1.025 | 3 |
| 8 | 0.742 | 2 | 0.863 | 1 | 0.839 | 1 | 6091 | 1 | 0.699 | 5 | 1.061 | 1 |
| 9 | 0.73 | 3 | 0.798 | 2 | 0.772 | 3 | 5969 | 2 | 0.701 | 3 | 1.041 | 2 |
| 10 | 0.66 | 9 | 0.654 | 7 | 0.687 | 6 | 5716 | 7 | 0.673 | 8 | 0.98 | 10 |
| 11 | 0.59 | 11 | 0.518 | 11 | 0.579 | 10 | 5420 | 11 | 0.652 | 11 | 0.918 | 11 |

اعداد کوچکتر در رتبه‌بندی‌ها و میانگین رتبه شاخص‌ها نشان‌دهنده برتری ژنوتیپ است.

Numbers of lower in ranking, mean of rank indices indicate advantage genotype

ادامه جدول ۶- میانگین عملکرد دانه (کیلوگرم در هکتار) در شرایط آبیاری کامل (Yp) و تنش خشکی دوره زایشی (YS) در دو سال آزمایش و مقادیر شاخص‌های حساسیت و تحمل به تنش

Continue Table 6-Mean grain yield (kg ha^{-1}) at non-stress (Yp) and drought stress at reproductive phase (YS) on two years and amounts of tolerance and susceptibility to stress

| رتبه‌نوبی | SNPI | رتبه | SSPI | رتبه | ATI | رتبه | RE | رتبه | میانگین رتبه شاخص‌ها |
|-----------|-------|------|-------|------|--------|------|------|------|----------------------|
| 1 | 9.604 | 7 | 14.47 | 3 | 8.15 | 3 | 29.9 | 4 | 6.7 |
| 2 | 9.609 | 6 | 14.82 | 4 | 8.31 | 4 | 30.4 | 6 | 6.5 |
| 3 | 9.55 | 8 | 16.8 | 9 | 9.72 | 10 | 32.8 | 9 | 6.8 |
| 4 | 10.26 | 2 | 13.21 | 1 | 7.54 | 2 | 27.2 | 1 | 3.7 |
| 5 | 9.65 | 5 | 13.31 | 2 | 7.32 | 1 | 28.2 | 2 | 6.5 |
| 6 | 9.51 | 9 | 17.99 | 11 | 10.591 | 11 | 34.1 | 11 | 6.4 |
| 7 | 9.93 | 4 | 15.57 | 6 | 9.18 | 6 | 30.5 | 7 | 4.7 |
| 8 | 10.37 | 1 | 15.73 | 7 | 9.943 | 9 | 30 | 5 | 3 |
| 9 | 10.17 | 3 | 15.28 | 5 | 9.034 | 5 | 29.8 | 3 | 3.05 |
| 10 | 9.36 | 10 | 16.42 | 8 | 9.33 | 8 | 32.6 | 8 | 7.8 |
| 11 | 8.67 | 11 | 16.86 | 10 | 9.11 | 7 | 34 | 10 | 10.3 |

اعداد کوچکتر در رتبه‌بندی‌ها و میانگین رتبه شاخص‌ها نشان‌دهنده برتری ژنتیکی است.

Numbers of lower in ranking, mean of rank indices indicate advantage genotype

جدول ۷- برخی پارامترهای هواشناسی در طی دو سال آزمایش در منطقه مشهد

Table 7- Some meteorological parameters during two years of experiment in Mashhad

| ماه Month | (%) رطوبت نسبی | | بارندگی (mm) | | تبخیر (mm) | | میانگین درجه حرارت (C°) | |
|--------------------|----------------|------|--------------|------|------------|-------|-------------------------|------|
| | 2014 | 2015 | 2014 | 2015 | 2014 | 2015 | 2014 | 2015 |
| | 2015 | 2016 | 2015 | 2016 | 2015 | 2016 | 2015 | 2016 |
| اکتوبر October | 47 | 45 | 16.7 | 13.8 | 156.5 | 148 | 18.1 | 18.6 |
| نوامبر November | 65 | 61 | 30.6 | 17.6 | 39 | 82.2 | 8.7 | 11.2 |
| دسامبر December | 73 | 64 | 31.8 | 16 | — | — | 5.5 | 6 |
| جانوری January | 67 | 56 | 20.9 | 12.7 | — | — | 6.5 | 7.3 |
| فевр February | 70 | 62 | 38.7 | 13.7 | — | — | 7.5 | 5.2 |
| مارس March | 73 | 65 | 41.6 | 58.4 | — | — | 5.7 | 12.1 |
| آبرil April | 58 | 66 | 21.6 | 94.6 | 181.4 | 65.4 | 14.9 | 13.6 |
| ماي May | 43 | 55 | 23.6 | 41.3 | 237.6 | 179 | 21.4 | 21.2 |
| خرداد June | 23 | 38 | 0.3 | 6.6 | 364.1 | 300.4 | 26.9 | 25.6 |
| تمبر July | 22 | 28 | 0 | 0 | 444.2 | 358.1 | 29.7 | 28.1 |
| میانگین | 54 | 54 | 225 | 274 | 142.2 | 113 | 14.4 | 14.8 |

به عملکرد دانه مناسب این ژنوتیپ در هر دو شرایط تنش و بدون تنش، می‌توان آن را به عنوان ژنوتیپ متحمل در شرایط تنش خشکی دوره زایشی مطرح کرد تا در صورت تأیید سایر صفات زراعی به عنوان یک لاین امیدبخش متحمل به تنش خشکی دوره زایشی در نظر گرفته شود.

نتیجه‌گیری

نتایج این تحقیق نشان داد بهدلیل تنش خشکی آخر فصل، عملکرد دانه کاهش یافت. شاخص‌های GMP, MSTI, HM, STI در هردو شرایط بدون تنش و تنش با عملکرد دانه همبستگی MP مثبت و معنی‌دار در سطح ۹۹ درصد نشان دادند و از طرفی ژنوتیپ ۸ در تمام شاخص‌های مذکور رتبه برتر را به خود اختصاص داد و با توجه

جدول ۸- ضرایب همبستگی بین عملکرد دانه با شاخص‌های ارزیابی تحمل و حساسیت به تنش

Table 8- Correlation coefficients between grain yield and tolerance evaluation and stress susceptibility indices

| | YP | YS | Tol | MP | GMP | STI | SSI | YI | YSI | HM | MSTIK1 | MSTIK2 | DI | Re | ATI | SSPI | SNPI |
|--------|--------|--------|---------|--------|--------|--------|--------|--------|---------|--------|--------|---------|---------|--------|--------|-------|------|
| YS | .586 | | | | | | | | | | | | | | | | |
| Tol | .697* | -.172 | | | | | | | | | | | | | | | |
| MP | .924** | .852** | .37 | | | | | | | | | | | | | | |
| GMP | .884** | .897** | .281 | .996** | | | | | | | | | | | | | |
| STI | .883** | .897** | .279 | .995** | .999** | | | | | | | | | | | | |
| SSI | .612* | .226 | .944** | .289 | .204 | .202 | | | | | | | | | | | |
| YI | .598 | 1** | -.169 | .853** | .898** | .899** | -.224 | | | | | | | | | | |
| YSI | -.405 | .502 | -.973** | -.25 | .69 | .70 | -.9 | .5 | | | | | | | | | |
| HM | .841** | .931** | .199 | .983** | .996** | .994** | .122 | .932** | .153 | | | | | | | | |
| MSTIK1 | .969** | .763** | .504 | .987** | .969** | .969** | .417 | .765** | -.173 | .944** | | | | | | | |
| MSTIK2 | .750** | .973** | .50 | .945** | .971** | .972** | -.33 | .974** | .296 | .916** | .886** | | | | | | |
| DI | .135 | .882** | -.616* | .504 | .583 | .583 | .635* | .88** | .850** | .649* | .369 | -.754** | | | | | |
| Re | .446 | -.462 | .952** | .71 | -.23 | -.24 | .932** | .459 | .997** | -.108 | .217 | -.256 | -.825** | | | | |
| ATI | .878** | .127 | .955** | .628* | .552 | .551 | .889** | .130 | .792** | .478 | .736** | .342 | -.355 | .819** | | | |
| SSPI | .697* | -.172 | 1** | .370 | .281 | .279 | .944** | -.169 | -.937** | .198 | .503 | .5 | -.616* | .952** | .955** | | |
| SNPI | .332 | .549 | -.82 | .474 | .497 | .507 | -.188 | .549 | .264 | .508 | .441 | .55 | .483 | -.266 | .805 | -.083 | |

* و ** بهترتبیع معنی‌دار در سطح ۵ و ۱ درصد

*,** significant at level 5 and 1 percent respectively

References

1. Afiuni, D., and Marjovvi, A. R. 2009. Assessment of different bread wheat cultivars responses to irrigation water salinity. Journal of Crop Cultivation Improvement 11 (2): 1-9. (in Persian).
2. Al-Ajlouni, Z. I.; Al-Abdallat, A.; Al-Ghzawi, A.; Ayad, J.; Abu Elenein, J.; Al Quraan, N.; and Baenziger, P. S. 2016. Impact of pre-anthesis water deficit on yield and yield components in barley (*Hordeum vulgare L.*) plants grown under controlled conditions. Agronomy Journal 6: 33-44.
3. Bouslama, M., and Schapaugh, W. T. 1984. Stress tolerance in soybean. Part 1: evaluation of three screening techniques for heat and drought tolerance. Crop Science 24: 933-937.
4. Choukan, R., Taherkhani, T., Ghannadha, M. R., and Khodarahmi, M. 2006. Evaluation of drought tolerance in grain maize inbred lines using drought tolerance indices. The Journal of Agricultural Science 8: 79-89.
5. Dastfal, M., Barati, V., Emam, Y., Haghghatnia, H., and Ramazanpour, M. 2011. Evaluation of grain yield and its components in wheat genotypes under terminal drought stress conditions in Darab region. Seed and Plant Production Journal 27 (2):195-217. (in Persian).
6. Dixit, P.; Telleria, R.; Al Khatib, A. N.; and Allouzi, S. F. 2018. Decadal analysis of impact of future climate on wheat production in dry Mediterranean environment: A case of Jordan Science of the Total Environment 610: 219-233.
7. Ehdaie, B., Alloush, G. A., and Waines, J. G. 2008. Genotypic variation in linear rate of grain growth and contribution of stem reserves to grain yield in wheat. Field Crop Research 106: 34-43.
8. Farshadfar, E., and Sutka, J. 2002. Screening drought tolerance criteria in maize. Acta Agronomica Academiae Scientiarum Hungaricae, Budapest. 50: 411-419.
9. Farshadfar, E., Poursiahbidi, M. M., and Safavi, S. M. 2013. Assessment of drought tolerance in land races of bread wheat based on resistance/ tolerance indices. International Journal of Advanced Biological and Biomedical Research 2: 143-158.

10. Fernandez, G. C. J. 1992. Effective selection criteria for assessing stress tolerance. In: Kuo C.G. (ed), Proceedings of the International Symposium on Adaptation of Vegetables and Other Food Crops in Temperature and Water Stress. Public Tainan Taiwan. 257-270.
11. Fischer, R. A., and Maurer, R. 1978. Drought resistance in spring wheat cultivars. I. Grain responses, Australian Journal of Agriculture Research 29: 897-912.
12. Gautam, A.; Sai Prasad, S. V.; Jajoo, A.; Ambati, D. 2015. Canopy temperature as a selection parameter for grain yield and its components in durum wheat under terminal heat stress in late sown conditions. Agricultural Research 4: 238-244.
13. Gavuzzi, P., Rizza, F., Palumbo, M., Campaline, R. G., Ricciardi, G. L., and Borghi, B. 1997. Evaluation of field and laboratory of drought and heat stress in winter cereals. Canadian Journal of Plant Science 77: 523-531.
14. Khokhar, M. L., Teixeira da Silva, J. A., and Spiertz, H. 2012. Evaluation of barley genotypes for yielding ability and drought tolerance under irrigated and water-stressed conditions. American-Eurasian Journal of Agricultural and Environmental Research 12 (3): 287-292.
15. Lan, J. 1998. Comparison of evaluating methods for agronomic drought resistance in crops. Acta Agri. Bor-occid Sinic. 7: 85-87.
16. Lucas, H. Wheat Initiative: An International Vision for Wheat Improvement. 2013. Available online: www.wheatinitiative.org. (accessed on 31 March 2014).
17. Moayedi, A. A., Boyce, A. N., and Barakbah, S. S. 2010. The performance of durum and bread wheat genotypes associated with yield and yield component under different water deficit conditions. Australian Journal of Basic and Applied Sciences 4 (1): 106-113.
18. Moosavi, S. S., Yazdi Samadi, B., Naghavi, M. R., Zali, A. A., Dashti, H., and Pourshahbazi, A. 2008. Introduction of new indices to identify relative drought tolerance and resistance in wheat genotypes. Desert 12: 165-178.
19. Naderi, A., Akbari Moghaddam, H. and Mahmoodi, K. 2013. Evaluation of bread wheat genotypes for terminal drought stress tolerance in south-warm regions of Iran. Seed and Plant Improvement Journal 29 (3): 601- 616. (in Persian).
20. Rosielle, A. A., and Hamblin, J. 1981. Theoretical aspects of selections for yield in stress and non-stress environments. Crop Science 21: 943-946.
21. Saeidi, M., Abdoli, M., Shafiei-Abnavi, M., Mohammadi, M., and Eskandari-Ghaleh, Z. 2016. Evaluation of genetic diversity of bread and durum wheat genotypes based on agronomy traits and some morphological traits in non-stress and terminal drought stress conditions. Cereal Research 5 (4): 353-369.
22. Saeidi, M., Moradi, F., Ahmadi, A., Spehri, R., Najafian, G., and Shabani, A. 2010. The effects of terminal water stress on physiological characteristics and sink- source relations in two bread wheat (*Triticum aestivum* L.) cultivars. Iranian Journal of Crop Sciences 12 (4): 392-408. (in Persian).
23. Sanjari Pireivatlou, A. G., Dehdar Masjedlou, B., and Aliyev, R. T. 2010. Evaluation of yield potential and stress adaptive trait in wheat genotypes under post anthesis drought stress conditions. African Journal of Agricultural Research 5 (20): 2829-2836.
24. Tadesse, W.; Solh, M.; Braun, H. J.; Oweis, T.; Baum, M. 2016 Approaches and Strategies for Sustainable Wheat Production: Tools and Guidelines; ICARDA: Beirut, Lebanon, ISBN 92-9127-490-9.
25. Takeda, S., and Matsuoka, M. 2008. Genetic approaches to crop improvement: responding to environmental and population change. Nature 9: 444-457.
26. Yarnia, M., Arabifard, N., Rahmizadeh Khoei, and Zandi, P. 2011. Evaluation of drought tolerance indices among some winter rapeseed cultivar. African Journal of Biotechnology 10: 10914-10922.
27. Zebarjadi, A. R., Tavakoli Shadpey, S., Etmian, A. R. and Mohammadi, R. 2013. Evaluation of drought stress tolerance in durum wheat genotypes using drought tolerance indices. Seed and Plant Improvement Journal 29 (1): 1-12. (in Persian).



Assessment of Tolerance to Drought Stress at Reproductive Phase in Some Wheat Genotypes (*Triticum aestivum L.*) Using Drought Tolerance and Susceptibility Indices

V. Bahraini Vijuyeh¹, M. R. Dadashi^{2*}, S. M. Nazeri³

Received: 25-12-2017

Accepted: 03-11-2018

Introduction: Wheat is important plant in the economy of the world. Between wheat cultivars, bread wheat (*Triticum aestivum L.*) is the best cultivar for nutrition. Drought stress led to decrease production, therefore, it causes problems for nutrition and agriculture. Iran is located in dry belt of the earth and its annual rain average is 250 mm. In dry land, grain filling phase is faced with a warm season when the air temperature is high and soil water storage is reduced. For screen best drought tolerant genotypes must use from drought tolerance and susceptibility indices. The purpose of this research was to identify and determine drought tolerant and high yield lines for introduction in drought stress conditions during reproductive phase and to determine the indices with a desirable efficiency for evaluating reaction of genotypes to stress conditions.

Materials and Methods: An experiment based on randomized complete block design with three replications was conducted Torogh Mashhad Agricultural Research Stations, Iran, during 2014-2016 growing seasons. In this research eight genotypes of winter wheat with three control cultivars of Mihan, Orum, zare were compared under two conditions of full irrigation and water stress during reproductive phase. Statistical analysis was performed by using SAS and SPSS software. After harvesting, yield and indices drought tolerance indices including SSI (Stress Susceptibility Index), STI (Stress Tolerance Index), GMP (Geometric Mean Productivity), HARM (Harmonic Index), MP (Mean Productivity), YSI (Yield Stability Index), YI (Yield Index), DI (Drought Index), MSTI (Modified Stress Tolerance Index), ATI (Abiotic Tolerance Index), SSPI (Stress Susceptibility Percentage Index), RE% (Reduction Percentage), SNPI (Stress non-Stress Production Index), TOL (Tolerance).

Results and Discussion: Results showed that the effect of year, genotype and irrigation and interaction effect between year and genotype were significant on all of studied traits. Drought stress decreased yield of genotypes about 32% and 30% in the first and second year, respectively. Other investigation showed that drought stress at the reproductive phase led to reduce current photosynthesis and high respiration. According to Fernandez, indices that have a significant correlation with grain yield in both stress and non-stress conditions are superior indices because they are able to distinguish high-yield genotypes in both conditions. In our research there was a significant and positive correlation between GMP, MSTI, HM, STI, MP with grain yield in both non-stress and stress conditions. In drought stress conditions genotype 8 and 9 ranked had the highest yield (5176 and 5079 kg ha⁻¹), and were selected as the most tolerant genotype.

Conclusions: This research showed that drought stress at the reproductive phase reduced grain yield. GMP, MSTI, HM, STI and MP showed significant and positive correlation with grain yield in both non-stress and stress conditions. Genotype 8 had the highest rank in all of the mentioned indices, it could be considered as tolerant genotype to the drought stress at the reproductive phase due to the proper grain yield in both stress and non-stress conditions.

Key words: Lake moisture, Productivity, Sustainability, Yield index

1- Department of Agriculture, Unit Gorgan, Islamic Azad University, Gorgan, Iran

2- Department of Agriculture, Unit Gorgan, Islamic Azad University, Gorgan, Iran

3- Seed and Plant Improvement Research Department, Khorasan Razavi Agricultural and Natural Resources Research and Education Center, AREEO, Mashhad, Iran

(*- Corresponding Author Email: mdadashi730@yahoo.com)



اثر کاربرد تلفیقی ریزو باکتری‌های محرک رشد و قارچ میکوریزا در کشت مخلوط بزرک نهاده (Vicia faba L.) و باقلاء (Linum usitatissimum L.) بر خصوصیات رشدی و عملکرد دانه

خدیجه علیزاده^۱، اسماعیل رضائی چیانه^{۲*}، رضا امیرنیا^۳، محسن برین^۴

تاریخ دریافت: ۱۳۹۷/۰۱/۲۰

تاریخ پذیرش: ۱۳۹۷/۰۵/۲۱

چکیده

به منظور بررسی اثر کودهای زیستی بر برخی ویژگی‌های زراعی بزرک (Vicia faba L.) و باقلاء (Linum usitatissimum L.) در کشت مخلوط، آزمایشی به صورت فاکتوریل در قالب طرح بلوک‌های کامل تصادفی با سه تکرار در مزرعه تحقیقاتی دانشکده کشاورزی دانشگاه ارومیه در سال ۱۳۹۵-۹۶ به اجرا درآمد. عامل اول شامل الگوی کشت در پنج سطح شامل کشت خالص بزرک، کشت خالص باقلاء، کشت مخلوط یک ردیف بزرک + یک ردیف باقلاء، دو ردیف بزرک + دو ردیف باقلاء و سه ردیف بزرک + سه ردیف باقلاء و عامل دوم شامل عدم مصرف و مصرف کود زیستی (ترکیب قارچ میکوریزا+باکتری‌های تأمین‌کننده نیتروژن، فسفر، پتاسیم و گوگرد) بود. صفات مورد مطالعه برای بزرک شامل ارتفاع بوته، تعداد شاخه‌های جانبی، تعداد کپسول در بوته، تعداد دانه در کپسول، وزن هزار دانه، عملکرد بیولوژیک و درصد روغن و برای باقلاء شامل ارتفاع بوته، تعداد شاخه‌های جانبی، طول نیام، تعداد نیام در بوته، تعداد دانه در نیام، وزن هزار دانه، عملکرد بیولوژیک و عملکرد دانه بودند. نتایج نشان داد که الگوی کشت بر کلیه صفات مورد بررسی باقلاء و بزرک اثر معنی دار داشت. حداکثر عملکرد دانه و عملکرد بیولوژیک باقلاء به ترتیب از کشت خالص (به ترتیب با ۴/۲۸۰ و ۱۳/۳۰۰ تن در هکتار) و کمترین مقادیر آنها از کشت مخلوط با نسبت یک ردیف بزرک و یک ردیف باقلاء خالص (به ترتیب با ۲/۵۹۰ و ۱۰/۲۴۰ تن در هکتار) به دست آمد. حداکثر عملکرد دانه و عملکرد بیولوژیک بزرک از کشت خالص بزرک (به ترتیب با ۲/۲۳۰ و ۷/۱۵۳ تن در هکتار) و کمترین میزان عملکرد از کشت مخلوط سه ردیف بزرک و سه ردیف باقلاء (به ترتیب با ۱۰/۴۰ و ۴/۹۹۲ تن در هکتار) حاصل شد. درصد روغن بزرک در تمامی الگوهای کشت مخلوط بیشتر از کشت خالص بود. همچنین، بالاترین عملکرد دانه و عملکرد بیولوژیک هر دو گونه در شرایط کاربرد کود زیستی و کمترین مقادیر عملکرد دانه و عملکرد بیولوژیک از عدم مصرف کاربرد کود زیستی به دست آمد. بالاترین نسبت برابری زمین نیز در شرایط کاربرد کود زیستی در کشت مخلوط دو ردیف بزرک + دو ردیف باقلاء برابر با ۱/۵۳ به دست آمد که معادل ۵۳ درصد افزایش در بهره‌وری استفاده از زمین نسبت به کشت خالص دو گونه بود و این نشان‌دهنده برتری کشت مخلوط در مقایسه با کشت خالص است.

واژه‌های کلیدی: ارتوپاکتر، الگوی کشت، باکتری‌های حل‌کننده فسفات، روغن، نسبت برابری زمین

مقدار روغن موجود در دانه بزرک بین ۳۰ تا ۴۰ درصد است، ولی این مقدار در کتان لیفی بین ۱۰ تا ۱۵ درصد می‌باشد. طول دوره رشد بزرک به طور متوسط ۹۰ تا ۱۵۰ روز است (Moradi Telavat and Ataollah Siadat, 2012). میزان تولید بزرک در ایران حدود ۷۷ تن که در سطحی معادل ۲۱۳ هکتار به دست می‌آید. عملکرد این محصول در کشور معادل ۳۶۲ کیلوگرم بذر در هکتار است (FAO, 2016).

باقلاء (Vicia faba L.) یکی از جویبات عمده در بسیاری از کشورهای جهان به شمار می‌رود که به صورت دو منظوره در تغذیه انسان و دام مورد استفاده قرار می‌گیرد. وجود ۲۳/۴ درصد پروتئین در دانه باقلاء باعث شده است تا امروزه به عنوان یکی از جویبات عمده در خیلی از مناطق جهان مورد توجه قرار گیرد. میزان تولید باقلاء در ایران حدود ۲۴ هزار تن که در سطحی معادل ۱۹ هزار هکتار به دست می‌آید. عملکرد این محصول در کشور معادل ۱۲۶۳ کیلوگرم در

بزرک گیاهی یک ساله (Linum usitatissimum L.) علفی، از تیره کتان (Linaceae) است. بزرک و کتان گیاهانی با دو تیپ رشدی متفاوت از این گونه زراعی می‌باشند. بزرک به ژنتیپ‌هایی از گیاه اطلاق می‌شود که قد آنها کوتاه و دارای انشعابات زیاد بوده و در تیجه عملکرد دانه آنها زیاد می‌باشد و به منظور تولید روغن کشت می‌شود.

- دانش‌آموخته کارشناسی ارشد زراعت، گروه زراعت و اصلاح نباتات، دانشکده کشاورزی، دانشگاه ارومیه
 - استادیار گروه زراعت و اصلاح نباتات، دانشکده کشاورزی، دانشگاه ارومیه
 - دانشیار گروه زراعت و اصلاح نباتات، دانشکده کشاورزی، دانشگاه ارومیه
 - استادیار گروه علوم خاک، دانشکده کشاورزی، دانشگاه ارومیه
- (*) - نویسنده مسئول: e.rezaeichiyaneh@urmia.ac.ir

DOI: 10.22067/gsc.v17i1.71955

در کشت مخلوط یولاف (*Avena Sativa L.*) و نخود فرنگی (*Pisum sativum L.*) گزارش شده است که جمعیت میکروبی خاک در کشت مخلوط نسبت به کشت خالص به دلیل افزایش تنوع گونه‌های زراعی، افزایش مواد آلی و فعالیت ریزموجودات خاک و بهبود تهییه خاک افزایش می‌یابد (Jannoura *et al.*, 2014). محققان دیگری در بررسی فعالیت میکروبی خاک در سیستم‌های کشت مخلوط به این نتیجه رسیدند که افزایش تنوع محصولات در کشت مخلوط منجر به افزایش جمعیت میکروبی خاک نسبت به سیستم‌های تک‌کشتی می‌گردد (Tang *et al.*, 2014). این محققان دلیل بالا بودن زیست‌توده میکروبی خاک در کشت مخلوط را تنوع بیشتر میکوارگانیسم‌ها و پیچیدگی روابط شکارگری و باکتری خواری در بین میکوارگانیسم‌های موجود در خاک بیان نمودند.

کشت مخلوط ضمن افزایش تنوع بوم‌شناسخی و اقتصادی، سبب افزایش عملکرد در واحد سطح، استفاده کارآمدتر از عوامل محیطی از افیض زمین، نور، آب و عناصر غذایی، کاهش آفات و بیماری‌ها، افزایش ثبات نظام و تغذیه مطلوب‌تر انسان و دام و برتری اقتصادی، افزایش کیمی و کیفیت محصول می‌شود (Gharineh and Enayat, 2009) (Gholizadeh, 2009). در چنین سیستمی اغلب نیتروژن تثبیت شده کشت مخلوط توسط لگوم‌ها به گیاهان همراه انتقال و این امر در عین کم نهاده بودن سیستم منجر به پایداری نیز می‌گردد (Hauggaard-Nielsen *et al.*, 2009). رضائی چیانه (Rezaei- Chiyaneh, 2016) در کشت مخلوط بزرک و لوپیا (*Phaseolus vulgaris L.*) گزارش کرد که بیشترین عملکرد دانه و عملکرد بیولوژیک لوپیا چیتی از تیمار کشت خالص به دست آمد، اما بیشترین میزان پروتئین دانه لوپیا چیتی در کشت مخلوط ردیفی مشاهده شد. همچنین، بیشترین عملکرد بیولوژیک، عملکرد دانه و میزان پروتئین دانه بزرک از کشت خالص حاصل شد، اما درصد روغن بزرک در تمام تیمارهای مخلوط بیشتر از کشت خالص بود. دباغ محمدی نسب و همکاران (Dabbagh Mohammadi Nassab *et al.*, 2015) در ارزیابی کشت مخلوط ذرت و سه رقم لوپیا با کاربرد کودهای زیستی و شیمیایی گزارش کردند که بیشترین عملکرد اقتصادی لوپیا و ذرت (*Zea Mays L.*) از کشت خالص به دست آمد و در تمام تیمارهای مخلوط نسبت برابری زمین (Land equivalent ratio) بالاتر از یک بود که این امر نشان‌دهنده برتری کشت مخلوط در مقایسه با کشت خالص است. در کشت مخلوط زیره سبز (*Cuminum cyminum L.*) و شنبیله (*Trigonella foenum-graecum L.*) مشخص شد که بیشترین عملکرد دانه زیره سبز در نتیجه کاربرد تیمار تلفیقی از توباکtro و آزوسپریلیوم و در گیاه شنبیله از گیاهان تحت تیمار سودوموناس به دست آمد (Rezvani Moghadam and Moradi, 2012).

اکثر مطالعات انجام شده در مورد کودهای زیستی بر مبنای کشت

هکtar است (FAO, 2016). باکتری ریزوبیوم لگومینوزاریوم (*Rhizobium leguminosarum*) روی ریشه باقلاً فعالیت می‌کند Jensen *et al.*, 2010) که سالانه قادر است تا ۲۰۰ کیلوگرم نیتروژن تثبیت کند (al,

امروزه مصرف نهاده‌های خارجی از جمله کودها و سموم شیمیایی که یکی از دستاوردهای کشاورزی رایج است، در حال افزایش بوده که مصرف بی‌رویه این نهاده‌ها منجر به کاهش تنوع زیستی، به مخاطره افتادن سلامت بوم‌نظمها و مشکلات زیستمحیطی متعددی شده است و بالاخره اثر سوء آنها بر سلامت انسان نیز غیرقابل انکار می‌باشد. بنابراین بهره‌گیری از اصول اکولوژیکی مانند کشت مخلوط و کودهای زیستی در تولید گیاهان زراعی امری ضروری به نظر می‌رسد (Gliessman, 1998). کاربرد تلفیقی کودها به نسبت استفاده منفرد آن‌ها علاوه بر تأثیرات مثبتی که بر کاهش آلودگی محیط‌زیست دارند، می‌توانند از لحاظ کاهش هزینه‌های تولید نیز موثر واقع شوند، ضمن اینکه در طولانی مدت می‌تواند جایگزین مناسبی برای کودهای شیمیایی باشد (Seyed Sharifi and Namvar, 2015).

کودهای زیستی متشکل از باکتری‌ها و قارچ‌های مفیدی هستند که هریک به منظور خاصی مانند تثبیت نیتروژن، رهاسازی یون‌های فسفات، پتاسیم و آهن از ترکیبات نامحلول آنها تولید می‌شوند. این باکتری‌ها معمولاً در اطراف ریشه (به صورت آزادی یا همزیست با ریشه گیاه) مستقر شده و گیاه را در جذب عناصر یاری می‌دهند. کودهای زیستی به‌واسطه تولید هورمون‌های رشد مانند اکسین، سیتوکینین و جیبرلین باعث افزایش رشد ریشه‌های گیاه شده و سطح جذب ریشه را برای جذب عناصر غذایی و آب، افزایش می‌دهد و با افزایش جذب عناصر غذایی مقاومت گیاه به انواع تنش‌های محیطی و آفات و بیماری‌ها بیشتر شده و در نتیجه عملکرد گیاهان نیز افزایش می‌یابد (Seyed Sharifi and Namvar, 2015).

امروزه به کارگیری ریز موجودات مفید خاک به عنوان کودهای زیستی به عنوان طبیعی‌ترین و مطلوب‌ترین راه حل برای تأمین عناصر غذایی به صورت کاملاً متناسب با تقدیمه طبیعی گیاهان و حفظ سلامت محیط‌زیست می‌باشد (Khaki Najafabadi *et al.*, 2017). استفاده از کودهای زیستی در سیستم‌های کشت مخلوط احتمال موفقیت سیستم‌های آن‌ها را افزایش می‌دهد. چنین به نظر می‌رسد که با بهره‌گیری از کودهای زیستی در کشت مخلوط ضمن افزایش حاصلخیزی خاک و کاهش مصرف کودهای شیمیایی می‌توان افزایش عملکرد کمی و کیفی گیاهان را نیز در این سیستم انتظار داشت (Rezaei Chiyaneh *et al.*, 2014).

تلقیح با باکتری محرک رشد و قارچ‌های میکوریزا باعث بهبود رشد گیاه و افزایش احتمالی ترشحات ریشه گیاه می‌گردد و افزایش این ترشحات به نوبه خود موجب افزایش شاخص‌های زیستی خاک و بهبود حاصلخیزی خاک و در نهایت ارتقاء وضعیت تغذیه گیاه می‌شود.

تصادفی با سه تکرار در سال زراعی ۱۳۹۵-۹۶ در مزرعه تحقیقاتی دانشگاه ارومیه با طول جغرافیایی ۴۵ درجه و ۲ دقیقه شرقی، عرض جغرافیایی ۳۷ درجه و ۲۲ دقیقه شمالی، ارتفاع ۱۳۳۲ از سطح دریا و با میانگین دما و بارندگی سالیانه در طی یک دوره ده ساله به ترتیب برابر $8/9$ درجه سانتی گراد و $۲۳۸/۲$ میلی متر اجرا شد. قبل از کاشت، از محل اجرای آزمایش از عمق صفر تا ۳۰ سانتی متری نمونه خاک تهیه و سپس تیمارهای کودی بر اساس نقشه طرح، در کرت‌های مورد نظر اعمال گردید. خصوصیات فیزیکی و شیمیایی خاک محل آزمایش در جدول ۱ آورده شده است.

خالص بوده است، لذا شناخت تأثیر تلفیقی کودهای زیستی بر عملکرد کمی و کیفی این گیاهان در کشت مخلوط، نیازمند مطالعه و تحقیق می‌باشد. با توجه به اهمیت این موضوع، بررسی تأثیر تلفیقی کودهای زیستی (دارای باکتری‌های تأمین کننده نیتروژن، فسفر، پتاسیم و گوگرد + قارچ میکوریزا)، بر عملکرد کمی و کیفی بزرگ و باقلاء در راستای اهداف کشاورزی پایدار در شرایط آب و هوایی ارومیه از اهداف این تحقیق بود.

مواد و روش‌ها

این آزمایش به صورت فاکتوریل در قالب طرح بلوک‌های کامل

جدول ۱- خصوصیات فیزیکی و شیمیایی خاک

Table 1- Physical and chemical characteristics of the soil

| پافت Texture | اسیدیته pH | هدایت الکتریکی $EC \times 10^3$ (dS m ⁻¹) | نیتروژن کل %T. N | درصد مواد آلی %O.C | فسفر قابل جذب P available (mg kg ⁻¹) | پتاسیم قابل جذب K available (mg kg ⁻¹) |
|------------------------|---------------|---|---------------------|-----------------------|--|--|
| رس سیلتی Silty clay | 7.79 | 0.98 | 1.10 | 1.25 | 12.5 | 260.20 |

با نسبت‌های مشخص (۱۰۰ گرم در هکتار) بر اساس دستورالعمل توصیه شده شرکت زیست فناور سیز تلقیح شدند. به این صورت که محتوی بسته با آب مخلوط و روی بذرها اسپری شدند تا یک پوشش کاملاً یکنواخت روی سطح آن‌ها تشکیل شود و سپس بذرها در سایه خشک شدند و عملیات کاشت صورت گرفت. همچنین، در تیمار کود زیستی سولفوبارور-۱ (حاوی باکتری تیوباسیلوس با تعداد 10^8 باکتری زنده و فعال در هر گرم کود بیولوژیک) که به صورت پودر می‌باشد، به میزان هفت کیلوگرم در هکتار استفاده شد. برای اطمینان از اثربخشی آن سه هفته قبل از کاشت به تیمارهای حاوی سولفوبارور-۱ مقداری گوگرد جهت فعالیت باکترهای موجود در این کودها اضافه و با خاک مخلوط گردید. همچنین مصرف قارچ‌های میکوریزا با نام تجاری مایکورت حاوی سه نوع قارچ از جنس *Glomus mossea+* (*Glomus intraradices*+ *Glomus etunicatum*) به صورت بذر مال اعمال شد. قارچ‌های مورد استفاده در این آزمایش که از دشت تیریز جداسازی شده بودند به صورت پودری با ماده معدنی و درصد ماده آلی فرموله شده است. فرمولاسیون حاصله قادر عناصر معدنی می‌باشد و حاوی ۵۰۰ اندام فعال قارچ در هر گرم می‌باشد.

عملیات و چین علف‌های هرز به طور مرتب به صورت دستی و در هنگام لزوم انجام شد. اولین آبیاری بعد از کاشت آبیاری و در نوبت‌های بعدی، آبیاری بر حسب شرایط اقلیمی و نیاز گیاه به طور متوسط هر ۷-۱۰ روز یکبار صورت گرفت. به منظور اجرای آزمایش در شرایط کمنهاده و بیشتر نمود پیداکردن تأثیر کودهای زیستی در زمان آماده‌سازی زمین و در طول دوره رشد از هیچ‌گونه کودشیمیابی

تیمارهای آزمایش شامل پنج الگوی کاشت شامل کشت مخلوط با نسبت یک ردیف باقلاء+ یک ردیف بزرگ، دو ردیف باقلاء+ دو ردیف بزرگ، سه ردیف باقلاء+ سه ردیف بزرگ و کشت خالص دو گونه و دو سطح کود: مصرف کود زیستی (ترکیب قارچ میکوریزا+ باکتری‌های تأمین کننده نیتروژن، فسفر، پتاسیم و گوگرد) و عدم مصرف کود بودند. بذر مورد استفاده باقلاء رقم برکت بود که از سازمان تحقیقات و کشاورزی و منابع طبیعی گرگان و بذر بزرگ از توده بومی شاهین دز بود که از سازمان تحقیقات و کشاورزی و منابع طبیعی ارومیه، تهیه شد.

فاصله بین ردیف‌های هر دو گونه ۴۰ سانتی‌متر و روی ردیف‌ها برای باقلاء $12/5$ سانتی‌متر و بزرگ سه سانتی‌متر به طول ۳ متر برای دو گونه در نظر گرفته شد (Rezaei- Chiyanah, 2016). درنتیجه تراکم نهایی در کشت خالص برای باقلاء ۲۰ بوته و بزرگ 83 بوته در متر مربع بود. کاشت باقلاء و بزرگ به طور همزمان در نیمه دوم فروردین ماه انجام گرفت. بذر هر دو گیاه یک ساعت قبل از کشت حل کننده فسفات از گونه‌های باسیلوس *Lntos* (*Bacillus lntos*) و سودوموناس *putida* (*Pseudomonas putida*) با تعداد 10^9 باکتری باکتری زنده و فعال در هر گرم کود بیولوژیک، از تو بارور ۱ (حاوی باکتری‌های تشبیت کننده نیتروژن از جنس *azotobacter* با تعداد 10^9 باکتری زنده و فعال در هر گرم کود بیولوژیک) و پتا بارو ۲- (حاوی باکتری‌های آزاد کننده پتاسیم از جنس *sodomonas* با تعداد 10^8 باکتری زنده و فعال در هر گرم کود بیولوژیک) هر سه به صورت پودر

خالص بر اساس شاخص نسبت برابری زمین (بر اساس عملکرد دانه) از معادله ۱ استفاده گردید (Ghale Noyee *et al.*, 2017):

$$LER = \frac{Y_1}{F_1} + \frac{Y_2}{S_2} \quad (1)$$

در این معادله، Y_1 و Y_2 : بهترتبیب عملکرد گونه‌های اول و دوم در کشت خالص و F_1 و S_2 : نیز عملکرد گونه اول و دوم در کشت مخلوط است.

جهت تجزیه و تحلیل داده‌های بهدست آمده، از نرم‌افزار SAS ۹.4 و برای مقایسه آماری میانگین‌های بهدست آمده از آزمون دانکن در سطح احتمال پنج درصد استفاده شد.

نتایج و بحث

خصوصیات رشدی، اجزای عملکرد و عملکرد بزرک

طبق نتایج حاصل از تجزیه واریانس داده‌ها اثر الگوی کاشت بر کلیه صفات مورد بررسی ارتفاع بوته، تعداد شاخه‌های جانبی، تعداد کپسول در بوته، تعداد دانه در کپسول، وزن هزار دانه، عملکرد دانه، عملکرد بیولوژیک و درصد روغن و اثر کود زیستی بر تمامی صفات موردن بررسی معنی‌دار بود، اما اثر متقابل بین الگوی کاشت و نوع کود بر هیچ‌یک از صفات مذکور معنی‌دار نشد (جدول ۲).

استفاده نشد.

برای استخراج میزان روغن بزرک، با استفاده از دستگاه سوکسله ابتدا نمونه‌ها آسیاب و پودر شدند و سپس پنج گرم از نمونه‌های آسیاب شده در سوکسله در ۳۰۰ سی سی از محلول ان-هگزان قرار داده شدند. پس از شش ساعت حلال مورد نظر از روغن توسط روتاری جدا گردید (Rezaei- Chiyanah *et al.*, 2015).

در پایان فصل رشد، برای تعیین اجزای عملکرد، ابتدا از هر کرت به طور تصادفی تعداد ۱۰ بوته انتخاب و صفاتی نظیر ارتفاع بوته، تعداد شاخه‌های جانبی، تعداد نیام در بوته، تعداد دانه در نیام و وزن هزار دانه برای باقلا و ارتفاع بوته، تعداد شاخه‌های جانبی، تعداد کپسول در بوته، تعداد دانه در کپسول و وزن هزار دانه برای بزرک اندازه‌گیری شد. جهت محاسبه عملکرد دانه و بیولوژیک، برداشت بوته‌ها با رعایت شرایط حذف اثر حاشیه از هر طرف در کرت‌ها از مساحت ۳/۶۰ متر مربع صورت گرفت. برای تعیین عملکرد بیولوژیک، پس از جدا نمودن بذور دو گونه، نمونه‌ها در دمای ۷۰ درجه سانتی‌گراد تا ثابت‌ماندن وزن خشک درون آون قرار گرفت و سپس همراه با بذور وزن شدند. برداشت بزرک و باقلا بهترتبیب در ۳۰ تیر ماه و ۲۵ مرداد ماه زمانی که رنگ کپسول‌های بزرک و نیام‌های باقلا به زردی گرایش پیدا کرده بودند، صورت گرفت.

برای ارزیابی کشت مخلوط باقلا و بزرک در مقایسه با کشت

جدول ۲- تجزیه واریانس اثر کاربرد کود زیستی و کشت مخلوط بر عملکرد و اجزاء عملکرد بزرک

Table 2- Analysis of variance of the effect of biofertilizer application and intercropping on yield and yield components of linseed

| متابع تغییرات S.O.V | منابع تغییرات df | درجه آزادی d.f | ارتفاع Height | تعداد شاخه- های جانبی No. of lateral branch | تعداد کپسول در بوته No. of capsule | تعداد دانه در کپسول No. of seed per capsule | تعداد دانه وزن هزار دانه 1000- seed weight | عملکرد بیولوژیک Biological yield | عملکرد دانه Seed yield | عملکرد روغن Oil percentage |
|----------------------------|---------------------|----------------------|------------------|---|--|--|---|--|---------------------------|----------------------------------|
| تکرار Replication | | 2 | 15.44 n.s | 1.78 * | 251.74 ** | 0.07 n.s | 0.18 n.s | 3467.62 n.s | 252.702 n.s | 2.31 n.s |
| الگوی کشت Cropping | | 3 | 196.19 ** | 8.24 ** | 956.08 ** | 4.91 ** | 0.14 * | 59242.70 ** | 17601.91 ** | 90.71 ** |
| کود زیستی Biofertilizer | | 1 | 610.54 ** | 19.89 ** | 917.60 ** | 7.605 ** | 6.93 ** | 16801.04 ** | 30271.56 ** | 109.01 ** |
| الگوی کشت × کود C × B | | 3 | 5.76 n.s | 0.63 n.s | 4.65 n.s | 0.052 n.s | 0.12 n.s | 562.15 n.s | 974.98 n.s | 10.19 n.s |
| خطا | | 14 | 11.71 | 0.32 | 15.43 | 0.140 | 0.14 | 1369.62 | 379.48 | 5.05 |
| Error | | - | 7.3 | 12.3 | 6.8 | 5.8 | 8.7 | 6.5 | 13.2 | 5.9 |
| ضریب تغییرات CV (%) | | | | | | | | | | |

ns, *, **: بهترتبیب نشان‌دهنده عدم اختلاف معنی‌دار و وجود اختلاف معنی‌دار در سطح پنج و یک درصد است.

ns, *, **: Non significant, significant at 5 and 1% probability levels, respectively.

ارتفاع بوته

ردیف باقلاء و سه ردیف بزرک به دست آمد، ولی بین کشت مخلوط یک ردیف بزرک و یک ردیف باقلاء کشت مخلوط سه ردیف بزرک و سه ردیف باقلاء اختلاف معنی‌داری مشاهده نشد (جدول ۳).

مقایسه میانگین ارتفاع بوته در بین الگوهای مختلف کشت نشان داد که بیشترین ارتفاع بوته (۵۴/۲۷ سانتی‌متر) از کشت خالص بزرک و کمترین مقدار آن (۴۱/۴۸ سانتی‌متر) از کشت مخلوط با نسبت سه

جدول ۳- مقایسه میانگین‌های عملکرد و اجزای عملکرد بزرک در الگوهای مختلف کشت مخلوط با باقلاء

Table 3- Means comparison of yield and yield components of linseed in intercropping different patterns with faba bean

| Cropping patterns | الگوی کشت | ارتفاع | تعداد شاخه‌های جانبی | تعداد کپسول در بوته | تعداد دانه در کپسول | وزن هزار دانه | عملکرد بیولوژیک | عملکرد دانه Seed yield (t.ha ⁻¹) | درصد روغن Oil percentage (%) |
|-------------------|-----------|-------------|-----------------------|--------------------------|-------------------------|-----------------------|--|--|------------------------------|
| | | Height (cm) | No. of lateral branch | No. of capsule per plant | No. of seed per capsule | -1000 seed weight (g) | Biological yield (t.ha ⁻¹) | | |
| | کشت خالص | 54.27 a | 6.26 a | 71.85 a | 7.62 a | 4.83 a | 7.153 a | 2.230 a | 34.00 b |
| Monocropping | | | | | | | | | |
| کشت مخلوط ۱:۱ | | 43.40 c | 4.67 bc | 53.92 c | 5.63 c | 4.18 b | 5.117 bc | 1.130 b | 41.00 a |
| Intercropping 1:1 | | | | | | | | | |
| کشت مخلوط ۲:۲ | | 48.37 b | 4.12 b | 62.85 b | 6.54 b | 4.40 b | 5.567 b | 1.540 b | 42.01 a |
| Intercropping 2:2 | | | | | | | | | |
| کشت مخلوط ۳:۳ | | 41.48 c | 3.53 c | 42.30 d | 5.80 c | 4.25 b | 4.992 c | 1.040 c | 35.01 b |
| Intercropping 3:3 | | | | | | | | | |

در هر ستون میانگین‌هایی که دارای حروف مشترک هستند، بر اساس آزمون چند دامنه‌ای دانکن در سطح احتمال پنج درصد با یکدیگر تفاوت معنی‌داری ندارند

In each column, means followed by the same letter (s) are not significantly different at 5% probability level,
using Duncan's Multiple Range Test.

نسبت به شاهد باعث افزایش ۱۸/۴۱ درصدی ارتفاع بوته گردید. در تحقیق حاضر کاربرد تلفیقی قارچ میکوریزا به همراه کاربرد باکتری‌های تأمین‌کننده عناصر غذایی به خصوص نیتروژن تأثیر مثبتی بر رشد گیاه داشته است و منجر به افزایش ارتفاع گیاه گردید. همچنین، این امر می‌تواند مربوط به تولید و ترشح ترکیبات تحریک‌کننده رشد گیاه و یا برخی هورمون‌های تنظیم‌کننده رشد از جمله اکسین باشد. بیژنی و همکاران (Bijani et al., 2015) در مطالعه‌ای، اظهار داشتند که کاربرد کود زیستی نیتروکسین (حاوی باکتری ثبیت‌کننده نیتروژن شامل ارتوبیکتر و آزوپسپریلیوم) ارتفاع بوته کنجد را به طور قابل توجهی افزایش داد.

تعداد شاخه‌های جانبی

بیشترین تعداد شاخه‌های جانبی در کشت خالص بزرک (۶/۲۶ عدد) و کمترین آن در کشت مخلوط سه ردیف بزرک و سه ردیف باقلاء (۳/۵۳ عدد) حاصل شد (جدول ۳). در کشت خالص، بهدلیل عدم رقابت بروون‌گونه‌ای و نیز وجود فضای بیشتر برای توسعه انشعابات بوته، گیاهان با استفاده از منابع موجود مقدار بیشتری شاخه فرعی

افزایش ارتفاع بازترین تغییر ناشی از رشد در اغلب گیاهان است که می‌تواند از نظر رقابت با سایر گیاهان در یک جامعه گیاهی مزیت محسوب شود. این خصوصیت کارآمدترین برگ‌ها را در بهترین موقعیت از نظر فرآیند فتوسنتر قرار می‌دهد (Strichland et al., 2015) در کشت مخلوط ارتفاع بوته روی رقابت نوری مؤثر است. از آنجایی که باقلاء نسبت به بزرک داری ارتفاع و زیست‌توده بیشتری است، به نظر می‌رسد که بزرک در کشت مخلوط فشار رقابتی بیشتری را متحمل شده و محدودیت تولید مواد فتوسنتری باعث کاهش رشد رویشی و در نتیجه ارتفاع آن شده است (Rezaei-Chiyaneh et al., 2015). در کشت مخلوط گندم (*Triticum aestivum* L.) و کلزا (*Brassica napus* L.) مشخص شد که ارتفاع گیاهان در کشت مخلوط به دلیل رقابت بروون‌گونه‌ای کاهش می‌یابد که با نتیجه تحقق حاضر مطابقت دارد (Koocheki et al., 2014). بین تیمارهای کودی مورد استفاده از نظر ارتفاع بوته اختلاف معنی‌داری وجود داشت. بیشترین ارتفاع بوته (۵۱/۲۷ سانتی‌متر) در نتیجه مصرف کودهای زیستی و کمترین ارتفاع بوته (۴۱/۸۳ سانتی‌متر) از عدم مصرف کود به دست آمد (جدول ۴). تیمار کودی

اظهار داشتند که در آرایش‌های کاشتی که در آنها گیاه از فضای بیشتری برخوردار می‌باشد، گیاه با دریافت نور بیشتر جهت افزایش تعداد شاخه‌های جانبی بیشتر تحريك می‌شود، اما در آرایش کاشت فشرده‌تر به دلیل نبود نور کافی تحريك لازم جهت شاخه‌دهی صورت نمی‌گیرد و درنتیجه تعداد شاخه‌های جانبی آن کاهش پیدا می‌کند. محققان دیگری در کشت مخلوط آنسیسون (*Pimpinella anisum*) (L.) و شببله گزارش کردند که تعداد شاخه‌های جانبی هر دو گیاه در کشت خالص بیشتر از کشت مخلوط بود (Mardani et al., 2015).

تولید می‌نمایند. طولی شدن ساقه در محیط‌های سایه‌دار به تأثیر نسبت نور قرمز به قرمز دور مربوط می‌شود و با کاهش این نسبت ارتفاع بوته افزایش می‌یابد و از تعداد شاخه‌های فرعی کاسته می‌شود. این امکان وجود دارد که افزایش ارتفاع بوته و کاهش تشکیل شاخه‌های فرعی تحت تأثیر نسبت پایین نور قرمز به قرمز دور، علامت هشداردهنده‌ای در آستانه رقابت برای نور باشد (Weisann et al., 2016). اینی فرو همکاران (Aminifar et al., 2017) در (*Vigna unguiculata* L.) کشت مخلوط کنجد و لوبيا چشم‌بلبلی (Vigna unguiculata L.)

جدول ۴- مقایسه میانگین‌های عملکرد و اجزای عملکرد بزرک تحت تأثیر کاربرد کود زیستی

Table 4- Means comparison of yield and yield components of linseed affected by biofertilizer application

| Fertilizer treatment | تیمار کودی | ارتفاع بوته (cm) | تعداد شاخه‌های جانبی | تعداد کپسول در بوته | تعداد دانه در کپسول | تعداد دانه در ۱۰۰۰ سیمین | وزن هزار دانه | عملکرد بیولوژیک | عملکرد دانه | درصد روغن | عملکرد دانه | Oil percentage (%) |
|------------------------|--------------|------------------|----------------------|---------------------|---------------------|--------------------------|---------------|-----------------|-------------|-----------|-------------|--------------------|
| No use Biofertilizer | عدم مصرف کود | 41.83 b | 3.72 b | 51.54 b | 5.83 b | 3.89 b | 5.440 b | 1.130 b | 36.01 b | | | |
| Kod Zivisti Fertilizer | کود زیستی | 51.92 a | 5.55 a | 63.91 a | 6.96 a | 4.96 a | 5.970 a | 1.840 a | 40.04 a | | | |

در هر ستون میانگین‌هایی که دارای حروف مشترک هستند، بر اساس آزمون چند دامنه‌ای دانکن در سطح احتمال پنج درصد با یکدیگر تفاوت معنی‌داری ندارند.

In each column means, followed by the same letter(s) are not significantly different at 5% probability level, using Duncan's Multiple Range Test.

از نظر تعداد کپسول وجود داشت (جدول ۳). به نظر می‌رسد در تحقیق حاضر بزرک به علت رقابت با باقلاء با محدودیت عناصر غذایی مواجه شده و قادر به افزایش تعداد کپسول نبوده است. تعداد کپسول در گیاه یکی از اجزای مهم عملکرد می‌باشد، چرا که در برگیرنده تعداد دانه نیز می‌باشد. بنابراین، تعداد کپسول بیشتر در کشت خالص و به تبع آن افزایش تعداد دانه در بوته بزرک می‌تواند منجر به افزایش عملکرد این گیاه در کشت خالص نسبت به مخلوط شود. علی و همکاران (Ali et al., 2000) گزارش کردند که کشت مخلوط کلزا با گندم موجب کاهش تعداد خورجین کلزا در بوته در کشت مخلوط شد. قلعه نویی و همکاران (Ghale Noyee et al., 2017) در کشت مخلوط کنجد و لوبيا گزارش کردند که تعداد کپسول کنجد (*Sesamum indicum*) در کشت خالص بیشتر از کشت مخلوط بود، آنها علت این افزایش را عدم رقابت درون گونه‌ای در کشت خالص بیان کردند.

تیمار کود زیستی بیشترین تعداد کپسول (۶۳/۹۱ عدد) و عدم مصرف کود زیستی کمترین (۵۱/۵۴ عدد) تعداد کپسول در بوته را دارا بودند (جدول ۴). از آنجایی که عناصر غذایی همچون نیتروژن، فسفر و پتاسیم به همراه عناصر کم مصرف در فعالیت‌های فیزیولوژیکی و بیوشیمیایی گیاهان نقش مهمی ایفا می‌کنند. دسترسی بهتر و بیشتر

تعداد شاخه‌های فرعی درنتیجه کاربرد کود زیستی افزایش معنی‌داری نسبت به شاهد نشان داد. بیشترین تعداد شاخه‌های جانبی (۵/۵۵ عدد) مربوط به تیمار کود زیستی و کمترین آن (۳/۷۲ عدد) نیز مربوط به عدم استفاده از کاربرد کود زیستی بود (جدول ۴). تحقیقات نشان داده است که استفاده از ریزو باکتری‌های محرک رشد باعث افزایش جوانه‌زنی، جذب عناصر، ارتفاع گیاه، تعداد شاخه، گرهبندی، زیست‌توده کل و عملکرد گیاه در مقایسه با شاهد می‌شود (Rudresh et al., 2005). در تحقیقی دیگر مشخص شد که کاربرد کود زیستی نیتروکسین به دلیل فراهمی بیشتر عناصر غذایی منجر به افزایش تعداد شاخه فرعی کنجد شد (Bijani et al., 2015).

تعداد کپسول در بوته

بیشترین تعداد کپسول در بوته (۷۱/۵۸) از کشت خالص بزرک و کمترین تعداد کپسول در بوته از نسبت سه ردیف بزرک و سه ردیف باقلاء (۴۲/۳۰ عدد) به دست آمد؛ بهطوری که تعداد کپسول در بوته به میزان ۴۰/۹۰ درصد نسبت به کشت خالص کاهش یافت. همچنین، بین کشت مخلوط یک ردیف بزرک و یک ردیف باقلاء با کشت مخلوط دو ردیف بزرک و دو ردیف باقلاء اختلاف معنی‌داری نیز

گوگرد به همراه قارچ میکوریزا در بهبود خصوصیات فیزیکی، شیمیابی و بیولوژیکی خاک، فراهمی عناصر اصلی غذایی، تولید هورمون‌های محرک و تنظیم‌کننده‌ی رشد و نهایتاً بهبود عملکرد و اجزای عملکرد از جمله تعداد دانه در کپسول مربوط باشد (Jahan and Nasiri, 2012). Mahallati, 2012) بنابراین حضور قارچ‌های میکوریزا و باکتری‌ها در کنار هم، حالت مکملی در افزایش آزادسازی عناصر و سپس جذب و انتقال آن به گیاه نقش ایفا کرده‌اند (Seyed Sharifi and Namvar, 2015).

وزن هزار دانه

بیشترین وزن هزاردانه در کشت خالص بزرک با میانگین ۴/۸۳ گرم و کمترین آن در کشت مخلوط یک ردیف بزرک و یک ردیف باقلا با میانگین ۱۸/۴ گرم مشاهده شد. هرچند اختلاف معنی‌داری از نظر وزن هزار دانه بین الگوهای مختلف کشت مخلوط وجود نداشت (جدول ۳). وزن دانه تابع توانایی گیاه در تأمین مواد پرورده برای مخزن‌ها و شرایط محیطی در زمان پر شدن دانه می‌باشد. دلیل کاهش وزن هزار دانه در کشت‌های مخلوط نسبت به کشت خالص به دلیل وجود رقابت برون گونه‌ای و تولید آسمیلاسیون کمتر بوده است که با نتایج پورامیر و همکاران (Pooramir et al., 2010) در کشت مخلوط نخود (Cicer arietinum L.) و کنجد و توسلی و همکاران (Tavassoli et al., 2010) در کشت مخلوط ارزن (Panicum miliaceum L.) و لویبا مطابقت دارد.

وزن هزار دانه در تیمار مصرف کود زیستی افزایش معنی‌داری نسبت به شاهد نشان داد. بیشترین وزن هزار دانه (۴/۹۶ گرم) به تیمار کود زیستی و کمترین آن (۳/۸۹ گرم) به عدم کاربرد کود زیستی مربوط بود (جدول ۴). به طوری که؛ تیمار کودی توانست نسبت به شاهد وزن هزار دانه را به میزان ۲۱/۵۷ درصد افزایش دهد. دلیل اصلی این افزایش به نقش باکتری‌ها و قارچ میکوریزا مربوط می‌شود که توانستند از طریق انحلال مواد معدنی و تجزیه مواد آلی خاک و فراهمی عناصر اصلی غذایی در محیط ریشه گیاه، باعث افزایش کارآیی جذب عناصر غذایی از خاک گردند (Khaki Najafabadi et al., 2017). باکتری‌ها با قارچ میکوریزا همکاری و رابطه تزدیکی دارند در جذب و فراهمی عناصر می‌تواند نقش اساسی ایفا کند و نقش بیشتری در رشد گیاه نشان دهند (Jahan and Nassiri Mahallati, 2012). خرم دل و همکاران (Khorramdel et al., 2010) با بررسی اثر کودهای بیولوژیک بر عملکرد و اجزای عملکرد سیاهدانه (Nigella sativa L.) اظهار داشتند که بیشترین وزن هزار دانه در تیمار ترکیبی آزوسپریلیوم و میکوریزا به دست آمد.

عملکرد دانه و بیولوژیک

الگوهای مختلف کاشت اثر معنی‌داری بر عملکرد دانه و بیولوژیک

گیاهان به این عناصر، سبب بهبود رشد، افزایش فتوستنتز و تولیدات مواد فتوستنتزی گشته و می‌تواند از این طریق موجب بهبود اجزای عملکرد گردد (Leithy et al., 2006). به نظر می‌رسد که یک حالت همزیستی چند جانبه بین بزرک، قارچ میکوریزا و ریزو-باکتری‌های محرک رشد از جمله باکتری ریزو-بیوم وجود دارد؛ به طوری که قارچ میکوریزا با افزایش سطح جذب مواد غذایی از جمله فسفر برای ریشه گیاه و باکتری با چسبیدن به سطح هیفه‌های قارچ میکوریزا و در نهایت نفوذ به داخل ریشه گیاه، می‌تواند در تشکیل تعداد گره اثر مثبتی داشته و از آن جای که تشکیل گره بر روی ریشه نیاز شدیدی به فسفر دارد، مهیا بودن فسفر و جذب فسفر نامحلول خاک توسط میکوریزا نیاز گیاه تأمین شده و فتوستنتز افزایش یافته در نهایت بر عملکرد که تعداد کپسول هم از اجزای مهم عملکرد می‌باشد افزایش می‌دهد (Seyed sharifi and Namvar, 2015).

تعداد دانه در کپسول

الگوهای مختلف کاشت اثر معنی‌داری بر تعداد دانه در کپسول داشتند؛ به طوری که کشت خالص بیشترین تعداد دانه در کپسول (۷/۶۲ عدد) و کشت مخلوط یک ردیف بزرک و یک ردیف باقلا کمترین تعداد دانه در کپسول (۵/۶۳ عدد) را داشتند. از نظر این صفت کشت مخلوط دو ردیف بزرک و دو ردیف باقلا با نسبت سه ردیف بزرک و سه ردیف باقلا تفاوت معنی‌داری را نشان دادند (جدول ۳). تعداد دانه در کپسول، در حقیقت ظرفیت مخزن گیاه را تعیین می‌کند و هرچه تعداد دانه بیشتر باشد، گیاه دارای مخزن بزرگتری برای دریافت مواد فتوستنتزی بوده و در نهایت افزایش این صفت منجر به افزایش عملکرد گاه شده (Rezaei-Chiyaneh and Gholinezhad, 2015). در کشت مخلوط کنجد و لویبا قرمز (Phaseolus calcaratus L.) و آفتابگردان (Helianthus annuus L.) مشخص شد که تعداد دانه در کپسول کنجد و تعداد نیام لویبا در کشت مخلوط کاهش یافت و دلیل آن را سایه‌اندازی آفتابگردان بر روی دو گیاه و رقابت بر سر آب، نور و عناصر غذایی بیان کردند که موجب کاهش فتوستنتز و کاهش اجزای عملکرد می‌شود (Koocheki et al., 2016).

تیمار کاربرد کود زیستی بیشترین تعداد دانه در غلاف (۶/۹۶ عدد) و عدم مصرف کود کمترین تعداد دانه (۵/۸۳ عدد) در کپسول را دارا بودند (جدول ۴). به طوری که تیمار کودی در مقایسه با شاهد تعداد دانه در کپسول را به میزان ۱۶/۲۳ درصد افزایش داد. افزایش قابلیت دسترسی گیاه به عناصر غذایی می‌تواند باعث افزایش رشد سبزینه، تعداد گل، تعداد کپسول و در نهایت افزایش تعداد دانه در کپسول شود. علت این برتری به فرآیندهای متابولیکی باکتری‌های ثبت‌کننده نیتروژن، حل کننده فسفات، آزادکننده پتاسیم، اکسیدکننده

افزایش جذب عناصر غذایی موجب افزایش رشد گیاه می‌شوند (Toosi *et al.*, 2011)

برخی محققین معتقدند که میکوریزا باعث افزایش سرعت فتوسنتز در واحد سطح برگ گیاه میزان می‌شود و دلیل این امر را افزایش غلظت نیتروژن برگ و به تبع آن افزایش مقدار کلروفیل سیستم فتوسنتزی و افزایش فعالیت آنزیم‌هایی مانند نیترات ریداکتاز، نیتروژن‌از و گلوتامین سیتاتاز در گیاه میزان می‌دانند (Seyed Sharifi and Namvar, 2015). محققان بر این باورند که میکوارگانیسم‌های حل‌کننده فسفات به همراه سایر ریزو باکترهای محرک رشد، از طریق تولید هورمون‌های گیاهی همانند ایندول استیک اسید سبب افزایش رشد گیاه می‌شوند، به این ترتیب مراحل اولیه رشد گیاهی را تحت تاثیر قرار می‌دهند و ریشه حجم بیشتری از خاک را اشغال می‌کنند و سطح جذب عناصر غذایی بالا می‌رود. همچنین، تلقیح با میکوریزا علاوه بر اینکه باعث افزایش مقدار سیتوکنین و کلروفیل در گیاهان می‌شود، گیاه میزان عناصر غذایی و آب بیشتری نیز از خاک جذب می‌نمایند و در نهایت رشد گیاه افزایش Jahan and Nassiri (Mahallati, 2012; Seyed Sharifi and Khoramdel, 2016).

درصد روغن

درصد روغن در کشت خالص متفاوت از تیمارهای کشت مخلوط به دست آمد، به طوری که درصد روغن در تمام تیمارهای مخلوط بیشتر از کشت خالص بود. کمترین میزان روغن در کشت خالص بزرک (۳۴ درصد) و بیشترین میزان آن در کشت مخلوط ۲ ردیف باقلاء و ۲ ردیف بزرک (۴۲/۰۶۵ درصد) حاصل شد که با نسبت کشت مخلوط ۱ ردیف بزرک و ۱ ردیف باقلاء اختلاف معنی‌داری از نظر درصد روغن وجود نداشت (جدول ۳). در این تحقیق کشت مخلوط باعث افزایش ۱۹/۱۷ درصدی محتوی روغن نسبت به کشت خالص شده است. از آنجا که هر عاملی که باعث افزایش فتوسنتز گیاهی گردد، می‌تواند باعث بالا رفتن درصد روغن نیز شود، لذا چنین به نظر می‌رسد که دلیل افزایش درصد روغن در کشت مخلوط به خاطر توانایی گیاه در استفاده بهینه از منابع محیطی بوده که باعث بهبود رشد و فتوسنتز و به تبع آن افزایش میزان روغن در مقایسه با کشت خالص شده است. اشغال نیچه‌های موجود به صورت مطلوب، توزیع بہتر ریشه گیاهان در پروفیل خاک، افزایش توان جذب عناصر غذایی توسط گیاه، افزایش نسبت ریشه به اندام هوایی و کاهش میزان تلفات عناصر غذایی در کشت مخلوط موجب بهبود کارایی جذب عناصر غذایی می‌گردد (Koocheki *et al.*, 2017) که توانسته فتوسنتز گیاه را بهبود داده و محتوی روغن را افزایش دهد. محققان دیگری در کشت مخلوط آفتتابگردان و باقلاء (Rezaei-Chiyaneh *et al.*, 2015) و بزرک و لوپیا چیتی (Rezaei-Chiyaneh *et al.*, 2016) ریشه در طول دوره رشد در رقابت با پاتوژن‌های ریشه و

داشته‌اند. بیشترین عملکرد دانه و عملکرد بیولوژیک از کشت خالص به ترتیب ۲/۲۳۰ تن در هکتار و ۷/۱۵۳ تن در هکتار و کمترین مقدار عملکرد دانه و بیولوژیک از الگوی کشت مخلوط سه ردیف بزرک و سه ردیف باقلاء به ترتیب برابر با ۱/۰۴۰ تن در هکتار و ۴/۹۹۲ تن در هکتار حاصل شد (جدول ۳). هرچند اختلاف معنی‌داری از نظر عملکرد دانه و بیولوژیک بین کشت مخلوط دو ردیف بزرک و دو ردیف باقلاء و کشت مخلوط یک ردیف بزرک و یک ردیف باقلاء وجود نداشت. افزایش رقابت در تیمارهای کشت مخلوط و کاهش دسترسی به منابع مورد نیاز سبب کاهش عملکرد نسبت به کشت خالص می‌شود. بررسی‌های مختلف نشان داده است که در صورت انتخاب آرایش کاشت و تراکم مناسب در کشت مخلوط جذب آب، مواد غذایی و نور به دلیل تفاوت در توانایی رقابت بین گیاهان مختلف افزایش می‌یابد که در این حالت تخصیص منابع و توزیع آنها بین گونه‌ها با کارآیی بیشتری صورت گرفته و این امر به بهبود رشد و فتوسنتز و به تبع آن افزایش عملکرد اقتصادی منجر می‌شود (Franco *et al.*, 2015). به نظر می‌رسد که در بین الگوهای مختلف کشت مخلوط به دلیل کاهش فشار رقابت بین گونه‌ای در کشت مخلوط ردیف ۲:۲ کارایی و بهره‌برداری از منابع محیطی بهبودیافته و منجر به افزایش عملکرد دانه و عملکرد بیولوژیکی باقلاء شده است، اما در کشت مخلوط ردیف ۳:۳ با افزایش تعداد ردیف‌های کاشت به دلیل کاهش اثرات تسهیل و تکمیل کنندگی دو گونه، عملکرد دانه و بیولوژیک کاهش پیدا کرد. کوچکی و همکاران (Koocheki *et al.*, 2014) در بررسی کشت مخلوط گندم و کلزا دریافتند که بیشترین مقدار عملکرد بیولوژیک و عملکرد دانه کلزا در کشت خالص به دست آمد. قلعه نوبی و همکاران (Ghale Noyee *et al.*, 2017) در کشت مخلوط کنجد و لوپیا، بالا بودن عملکرد دانه کنجد در کشت خالص را بیشتر از مخلوط گزارش کرده‌اند که با نتیجه تحقیق حاضر مطابقت دارد.

نتایج تیمار کودی نشان داد که کمترین مقدار عملکرد دانه (۱/۱۳۰ تن در هکتار) و عملکرد بیولوژیک (۵/۴۴۰ تن در هکتار) در شرایط عدم کاربرد کود زیستی و بیشترین میزان عملکرد دانه (۱/۸۴۰ تن در هکتار) و عملکرد بیولوژیک (۵/۹۷۰ تن در هکتار) در تیمار کود زیستی حاصل شد (جدول ۴). به طوری که تیمار کودی در مقایسه با شاهد عملکرد دانه را ۳۸/۵۸ درصد افزایش داد. تأمین فسفر نیز یکی از مهمترین عوامل تولید محصول با کیفیت و کمیت بالا می‌باشد. مصرف فسفر غیر از تأثیر در مراحل توسعه ریشه و شاخه‌زایی، در مراحل زایشی و پر شدن دانه نیز بسیار مؤثر است. محققان دیگری اظهار داشته‌اند که اثر کود نانو اکسید روی در تلقیح توان بذر با باکتری‌های محرک رشدی و ریزوبیوم منجر به افزایش عملکرد دانه و عملکرد بیولوژیک شد چراکه باکتری‌های افزاینده رشد به وسیله ایجاد چرخه مواد غذایی و قابل دسترس ساختن آنها، افزایش حفظ سلامتی ریشه در طول دوره رشد در رقابت با پاتوژن‌های ریشه و

روغن کنجد شد.

خصوصیات رشدی، اجزای عملکرد و عملکرد باقلاء

طبق نتایج حاصل از تجزیه واریانس داده‌ها، اثر الگوی کاشت بر کلیه صفات مورد بررسی گیاه باقلاء شامل ارتفاع بوته، تعداد شاخه‌های جانبی، طول نیام، تعداد نیام در بوته، تعداد دانه در نیام، وزن هزار دانه، عملکرد بیولوژیک و عملکرد دانه معنی دار بود. کود زیستی نیز به جز ارتفاع بوته بر سایر صفات مورد بررسی اثر معنی دار داشت، اما اثر متقابل بین الگوی کاشت و کود زیستی بر هیچ‌یک از صفات مذکور معنی دار نشد (جدول ۵).

درصد روغن آفتایگردان و بزرک را در تمامی الگوهای کشت مخلوط بالاتر از کشت خالص گزارش کردند.

تیمار کودی در مقایسه با شاهد به طور معنی دار درصد روغن را افزایش دادند؛ به طوری که تیمار کود زیستی بیشترین درصد روغن (۴۰/۴۰ درصد) و عدم مصرف کود کمترین درصد روغن (۱۲/۳۶ درصد) را دارا بودند (جدول ۴). در این مطالعه تیمار کودی در مقایسه با شاهد درصد روغن را تا ۲۳/۱۶ درصد افزایش داد. به نظر می‌رسد که در تحقیق حاضر عناصر غذایی با رفع به موقع نیاز گیاه باعث افزایش درصد روغن شده است. رضوانی مقدم و همکاران (Rezvani Moghaddam *et al.*, 2014) استفاده از کودهای آلی همراه با میکوریزا باعث افزایش درصد

جدول ۵- تجزیه واریانس اثر کود زیستی و کشت مخلوط بر عملکرد و اجزای عملکرد باقلاء

Table 5- Analysis of variance of the effect of biofertilizer and intercropping on yield and yield components of faba bean

| S.O.V | متابع تغییرات | درجه آزادی d.f | ارتفاع | تعداد شاخه‌های جانبی | طول نیام Pod length | تعداد نیام در بوته No. of seed per pod | تعداد دانه در نیام No. of seed per pod | وزن هزار دانه 1000-seed weight | عملکرد دانه بیولوژیک Biological yield | عملکرد دانه Seed yield |
|----------------------------|---------------|----------------|-----------|----------------------|---------------------|--|--|--------------------------------|---------------------------------------|------------------------|
| تکرار Replication | 2 | 32.70 n.s | 0.582 ** | 0.722 n.s | 1.59 ** | 0.150 n.s | 75.54 n.s | 9010.16 * | 473859.29 n.s | |
| الگوی کشت Planting pattern | 3 | 332.96 ** | 1.49 ** | 7.68 ** | 6.58 ** | 1.42 * | 8859.72 n.s | 97856.81 ** | 2947102.27 ** | |
| کود زیستی Biofertilizer | 1 | 0.80 n.s | 0.570 ** | 6.60 * | 4.25 ** | 2.87 ** | 34504.16 ** | 27270.05 ** | 9938214.01 ** | |
| الگوی کشت × کود P × B | 3 | 9.69 n.s | 0.152 n.s | 0.357 n.s | 0.054 n.s | 0.742 n.s | 1381.94 n.s | 19160.05 n.s | 3223.44 n.s | |
| خطا Error | 14 | 16.42 | 0.053 | 1.37 | 0.165 | 0.311 | 3325.59 | 2239.14 | 177051.72 | |
| ضریب تغییرات CV (%) | - | 5.8 | 6.0 | 15.2 | 7.6 | 13.5 | 6.9 | 9.2 | 12.0 | |

ns, *, **: بهتر ترتیب نشان دهنده عدم اختلاف معنی دار و وجود اختلاف معنی دار در سطح پنج و یک درصد است.

ns, * and **: non significant, significant at 5 and 1% probability levels, respectively.

در مخلوط با لگوم‌ها را به خاطر رقابت برای جذب نیتروژن توسط گونه غیر لگوم نسبت دادند. در کشت مخلوط نخود و سیاه‌دانه گزارش شده است که ارتفاع بوته نخود در کشت مخلوط به دلیل رقابت بین بوته‌ها بر سر آب، مواد غذایی و فضای زیستی سبب کاهش جذب نور و کاهش رشد و فتوستنتر نخود شده و به دنبال آن ارتفاع آن را در کشت مخلوط کاهش داده است که با نتیجه آزمایش حاضر مطابقت دارد (Rezaei-Chiyanah and Gholinezhad, 2015).

ارتفاع بوته

مقایسه میانگین ارتفاع بوته در بین الگوهای مختلف کشت نشان داد که بیشترین ارتفاع بوته (۷۸/۵۰ سانتی‌متر) از کشت خالص باقلاء و کمترین میزان آن (۶۱/۳۰ سانتی‌متر) از کشت مخلوط با نسبت ۱ ردیف بزرک + ۱ ردیف باقلاء به دست آمد. به نظر می‌رسد که باقلاء در کشت مخلوط ۱:۱ فشار رقابتی بیشتری را متحمل شده و به دلیل محدودیت تولید مواد فتوستنتری باعث کاهش رشد رویشی و در نتیجه کاهش ارتفاع آن شده است (جدول ۶). ابوحسین و همکاران (Abou-Hussein *et al.*, 2013) یکی از دلایل کاهش ارتفاع بوته گیاهان را

جدول ۶- مقایسه میانگین‌های عملکرد و اجزای عملکرد باقلا در الگوهای مختلف کشت مخلوط با بزرک

| الگوی کشت Cropping pattern | ارتفاع (cm) Height (cm) | تعداد شاخه‌های جانبی No. of lateral branch | طول نیام Pod length (cm) | تعداد نیام در بوته No. of pod per plant | تعداد دانه در نیام No. of seed per pod | عملکرد بیولوژیک Biological yield (t.ha ⁻¹) | عملکرد دانه Seed yield (t.ha ⁻¹) |
|--------------------------------|----------------------------------|---|-----------------------------------|--|---|--|--|
| کشت خالص Monocropping | 78.50 a | 4.51 a | 8.82 a | 6.61 a | 4.82 a | 13.300 a | 4.280 a |
| کشت مخلوط Intercropping 1:1 | 61.30 d | 3.35 c | 6.43 c | 4.10 c | 3.77 b | 10.240 c | 2.590 c |
| | 72.53 b | 3.91 b | 8.50 ab | 5.61 b | 4.13 ab | 11.860 b | 3.650 b |
| کشت مخلوط Intercropping 2:2 | 66.47 c | 3.63 bc | 7.12 bc | 5.11 b | 3.80 b | 11.290 b | 3.410 b |
| | 72.53 b | 3.91 b | 8.50 ab | 5.61 b | 4.13 ab | 11.860 b | 3.650 b |

در هر ستون میانگین‌هایی که دارای حروف مشترک هستند، بر اساس آزمون چند دامنه‌ای دانکن در سطح احتمال پنج درصد تفاوت معنی‌داری ندارند.

Means in each column, followed by similar letter(s) are not significantly different at 5% probability level,
using Duncan's Multiple Range Test

کود زیستی و کمترین آن (۳/۷ عدد) مربوط به عدم مصرف کود زیستی بود (جدول ۷). اثرات هم‌افزایی متقابل باکتری‌های تثبیت‌کننده نیتروژن، حل‌کننده فسفات، آزادکننده پتاسیم و اکسیدکننده گوگرد به همراه قارچ میکوریزا از طریق تثبیت بیولوژیکی نیتروژن، افزایش حلالیت فسفات غیرمتحرک و کاهش pH خاک و تولید انواع هورمون‌ها و مواد محرك رشد از جمله اکسین و جیبرلین، جذب عناصر غذایی را تحریک می‌کند و با تأثیر بر فرآیندهای فتوسنترزی سبب بهبود شاخص‌های رشد و عملکرد می‌شوند (Seyed sharifi and Namvar, 2015). در تحقیقی دیگری که روی لویسا سبز (Phaseolus vulgaris L.) انجام شد، بیشترین تعداد شاخه‌های جانبی در کاربرد کود زیستی حاوی باکتری آزوپسپریلیوم در ترکیب با سودوموناس به دست آمد (Karimi et al., 2013).

تعداد شاخه‌های جانبی

بیشترین تعداد شاخه‌های جانبی در کشت خالص باقلا با ۴/۵۱ عدد و کمترین آن در کشت مخلوط با نسبت یک ردیف بزرک + یک ردیف باقلا با ۳/۳۵ عدد حاصل شد، اما از نظر تعداد شاخه‌های جانبی بین کشت مخلوط دو ردیف بزرک و دو ردیف باقلا و کشت مخلوط سه ردیف بزرک و سه ردیف باقلا اختلاف معنی‌دار وجود نداشت (جدول ۶). در کشت مخلوط به علت رقابت بروون گونه‌ای از تعداد شاخه‌های جانبی به خصوص در الگوی ۱:۱ کاسته شد، اما به دلیل کمتر بودن رقابت درون گونه‌ای و نیز وجود فضای بیشتر برای توسعه انشعابات بوته در کشت خالص، گیاهان با استفاده از منابع موجود مقدار بیشتری شاخه فرعی تولید کردند.

طبق جدول ۶، بیشترین تعداد شاخه‌های جانبی (۴ عدد) در تیمار

جدول ۷- مقایسه میانگین‌های عملکرد و اجزای عملکرد باقلا تحت تاثیر کاربرد کود زیستی

| تیمار کودی Fertilizer treatment | تعداد شاخه‌های جانبی No. of lateral branch per plant | طول نیام Pod length (cm) | تعداد نیام در بوته No. of pod per plant | تعداد دانه در نیام No. of seed per pod | وزن هزار دانه 1000- seed weight (g) | عملکرد بیولوژیک Biological yield (t.ha ⁻¹) | عملکرد دانه Seed yield (t.ha ⁻¹) |
|------------------------------------|---|--------------------------------|---|---|---|--|--|
| عدم مصرف کود No fertilizer | 3.70 b | 7.19 b | 4.94 b | 3.78 b | 792.50 b | 11.340 b | 2.840 b |
| کود زیستی Biofertilizer | 4.00 a | 8.24 a | 5.78 a | 4.48 a | 868.30 a | 12.010 a | 4.120 a |

در هر ستون میانگین‌هایی که دارای حروف مشترک هستند، بر اساس آزمون چند دامنه‌ای دانکن در سطح احتمال پنج درصد تفاوت معنی‌داری ندارند.

Means in each column, followed by similar letter(s) are not significantly different at 5% probability level,
using Duncan's Multiple Range Test.

برگیرنده دانه‌ها بوده و از طرفی تولیدکننده مواد فتوستنتزی مورد نیاز دانه‌ها هم می‌باشند (Amani Machiani *et al.*, 2017). دیواره نیام‌ها به عنوان مقصد موقت، با ذخیره مواد فتوستنتزی و سپس انتقال آنها به دانه‌ها، تا حدودی در عملکرد دانه گیاه مشارک است دارند. رضوانی (Rezvani Moghadam and Moradi, 2012) در کشت مخلوط زیره سبز و شبیلیه و مردانی و همکاران (Mardani *et al.*, 2015) در کشت مخلوط شبیلیه و آنسیون دریافتند که تعداد نیام در بوته شبیلیه در کشت مخلوط نسبت به کشت خالص کاهش یافت که با نتیجه آزمایش حاضر مطابقت دارد.

تیمار کودی بیشترین نیام (۵/۷۸ عدد) و عدم مصرف کود کمترین تعداد نیام (۴/۹۴ عدد) در بوته را تولید کردند (جدول ۷). وجود ریزجانداران ناشی از کاربرد کودهای زیستی از جمله تیوباسیلوس که از عمال ترین و موثرترین میکروگانایسم‌های اکسیدکننده گوگرد می‌باشد که علاوه بر کاهش اسیدیته خاک و فراهم نمودن شرایط مناسب جذب فسفر و عناصر کم مصرف (آهن، منگنز، روی و مس)، با تولید اسید سولفوریک موجب بهبود وضعیت تنفسی گیاه می‌گردد. از طرف دیگر، اثرات هم‌افزایی متقابل باکتری‌ها و قارچ میکوریزا بر روی یکدیگر نیز عامل دیگری برای افزایش دسترسی گیاه باقلا به آب و مواد غذایی شده و از این طریق، افزایش میزان تولید نیام در گیاه باقلا گردیده است. نتایج حاصل از آزمایش کشت مخلوط ذرت و خلر نشان داد که تعداد نیام در بوته خلر با مصرف کودهای زیستی فسفر بارور ۲ و کود شیمیایی فسفر نسبت به عدم کاربرد کود به طور معنی‌داری افزایش پیدا کرد (Naghizade *et al.*, 2013).

تعداد دانه در نیام

کشت خالص با میانگین ۴/۸۲ عدد بیشترین تعداد دانه در نیام و کشت مخلوط یک ردیف باقلا و یک ردیف بزرک با میانگین ۳/۷۷ عدد کمترین تعداد دانه در نیام را داشتند؛ به طوری که تعداد دانه در نیام در کشت خالص نسبت به کشت مخلوط ۲۱/۷۸ درصد بالاتر بود (جدول ۶)، چنین به نظر می‌رسد که در تحقیق حاضر رقابت برونو گونهای در کشت مخلوط بر روی تعداد دانه در نیام اثر گذاشته و از تعداد دانه در واحد سطح کاسته شد. رضائی چیانه و همکاران (Rezaei- Chiyaneh *et al.*, 2015) مطالعه‌ای که در کشت مخلوط شبیلیه و زنیان (*Carum copticum L.*) تحت تأثیر کودهای زیستی و شیمیایی داشتند، گزارش کردند که بیشترین تعداد دانه در نیام شبیلیه مربوط به کشت خالص بود. محققان دیگری نیز در کشت مخلوط ذرت و لوبيا نیز گزارش کردند که تعداد دانه لوبيا در کشت مخلوط به دلیل رقابت بر روی منابع محیطی به طور معنی‌داری کاهش یافت (Koocheki *et al.*, 2009).

بیشترین تعداد دانه در نیام (۴/۴۸ عدد) از تیمار کود زیستی و

طول نیام

بیشترین طول نیام در کشت خالص باقلا (۸/۸۲ سانتی‌متر) و کمترین آن در کشت مخلوط یک ردیف بزرک و یک ردیف باقلا (۶/۴۳ سانتی‌متر) حاصل شد، ولی اختلاف طول نیام بین کشت مخلوط دو ردیف بزرک و دو ردیف باقلا با کشت مخلوط سه ردیف بزرک و سه ردیف باقلا معنی‌دار نبود (جدول ۶). این کاهش طول نیام را در کشت مخلوط می‌توان به دلیل افزایش رقابت بین گونه‌ای بر سر منابع محیطی ذکر کرد. محققان دیگری در کشت مخلوط لوبيا و کنجد گزارش کردند که بیشترین طول نیام لوبيا مربوط به کشت خالص بود (Ghale Noyee *et al.*, 2017).

بیشترین طول نیام (۸/۲۴ سانتی‌متر) به تیمار کود زیستی و کمترین آن نیز (۷/۱۹ سانتی‌متر) مربوط به عدم مصرف کود زیستی بود (جدول ۷). کریمی و همکاران (Karimi *et al.*, 2013) در تحقیق خود نشان دادند که طول نیام لوبيا سبز در تیمار کود زیستی افزایش معنی‌داری نسبت به شاهد داشت. بدیهی است هرچه مواد غذایی برای گیاه فراهم شود، پارامترهای عملکرد از جمله طول نیام افزایش خواهد یافت. میکوریزا با گسترش هیفهای خود و نفوذ در منافذ زیر خاک موجب جذب مقدار زیادی آب و عناصر غذایی می‌شود. از جمله جذب فسفر راحت صورت می‌گیرد، فسفر موجب بهبود گرهبندی و افزایش کارایی تشییع نیتروژن در گیاه می‌شود. از طرف دیگر، ریزو باکتری‌های تحریک‌کننده رشد گیاه نیز با افزایش دسترسی گیاه به عناصر مغذی مهمی چون نیتروژن و فسفر و افزایش رشد ریشه با تأثیر روی فرآیندهای فتوستنتزی منجر به افزایش پارامترهای عملکرد می‌شود (Rudresh *et al.*, 2005).

تعداد نیام

بیشترین و کمترین تعداد نیام در بوته به ترتیب در کشت خالص (۶/۶۱ عدد) و کشت مخلوط یک ردیف باقلا و یک ردیف بزرک (۴/۱۰ عدد) به دست آمد. بین کشت مخلوط دو ردیف بزرک و دو ردیف باقلا و کشت مخلوط سه ردیف بزرک و سه ردیف باقلا اختلاف معنی‌داری از نظر تعداد نیام وجود نداشت (جدول ۶). بررسی‌های مختلف نشان داده است که در صورت انتخاب آرایش کاشت و تراکم مناسب در کشت مخلوط، جذب آب و مواد غذایی به دلیل تفاوت در توانایی رقابت بین گیاهان مختلف افزایش می‌یابد (Hauggaard Nielsen *et al.*, 2009). بنابراین به نظر می‌رسد که در بین الگوهای مختلف کشت مخلوط کشت مخلوط دو ردیف بزرک و دو ردیف باقلا دارای رقابت بین گونه‌ای کمتری در مقایسه با رقابت درون گونه‌ای بوده و باعث شده است تا گیاهان همراه در این الگو برای نیچه‌های اکولوژیکی یکسان رقابت بالای نداشته باشند که این امر در نهایت منجر به افزایش رشد و عملکرد در این شرایط می‌گردد. نیام‌ها در

سودوموناس و باسیلوس) و بیوسولفور (حاوی باکتری‌های اکسیدکننده گوگرد از جنس *Tiobacillus*) در گیاه کنجد موجب افزایش معنی دار تعداد کپسول در بوته، تعداد دانه در بوته و وزن دانه در بوته نسبت به شاهد شد.

عملکرد دانه و عملکرد بیولوژیک

الگوی کشت اثر معنی داری بر عملکرد دانه و بیولوژیک داشت (جدول ۵). بالاترین عملکرد دانه (۴/۲۸۰ تن در هکتار) و عملکرد بیولوژیک (۱۳/۳۰۰ تن در هکتار) از کشت خالص باقلاء به دست آمد، ولی اختلاف عملکردین کشت مخلوط دو ردیف بزرک و دو ردیف باقلاء با کشت مخلوط سه ردیف بزرک و سه ردیف باقلاء معنی دار نبود (جدول ۶). چنین به نظر می‌رسد که در کشت خالص به دلیل عدم وجود رقابت بین گونه‌ها تمامی منابع موجود در اختیار باقلاء قرار گرفته است. بنابراین تحت این شرایط هر بوته از منابع در دسترس بیشترین بهره‌برداری را کرده که این موضوع می‌تواند یکی از عوامل افزایش عملکرد این گیاه در واحد سطح باشد. کاهش عملکرد دانه باقلاء در کشت مخلوط با نسبت ۱:۱ می‌تواند به دلیل افزایش رقابت بین بزرک با باقلاء باشد که باعث کاهش رشد، کاهش تعداد نیام، کاهش تعداد دانه در نیام و وزن دانه می‌گردد. در واقع اجزای عملکرد این گیاه کاملاً تحت تاثیر الگوی کشت قرار گرفت و به موازات کاهش تعداد ردیف‌ها، رقابت بین گونه‌ای در مقایسه با رقابت درون گونه‌ای بین بوته‌های دو گونه سبب کاهش عملکرد نهایی گردید.

تولسی و همکاران (Tavassoli *et al.*, 2010) در مطالعه ارزن و لوییا قرمز مشاهده کردند که عملکرد دانه لوییا در کشت خالص بیشتر از کشت‌های مخلوط بود. رضایی چیانه (Rezaei- Chiyanah, 2016) در تحقیقی که روی کشت مخلوط لوییا چیتی و بزرک انجام داد به این نتیجه رسید که بیشترین عملکرد دانه و عملکرد بیولوژیک لوییا چیتی از کشت خالص به دست آمد. هیرپا (Hirpa, 2014) در کشت مخلوط ذرت و لوییا، حمزه‌ئی و قمری رحیم (Ghamari Rahim, 2014) در کشت مخلوط ذرت و سویا (*Glycine max L.*)، مردانی و همکاران (Mardani *et al.*, 2015) در کشت مخلوط شبیله و آنسیون و قلعه نویی و همکاران (Ghale Noyee, 2017) در کشت مخلوط کنجد و لوییا نیز کاهش عملکرد حبوبات در کشت خالص نسبت به کشت مخلوط را گزارش کرده‌اند. ظریف پور و همکاران (Zarifpouri *et al.*, 2014) با بررسی اثر ترکیب‌های مختلف کشت مخلوط بر خصوصیات کمی و کیفی زیره سبز (*Cuminum cyminum L.*) و نخود مشاهده کردند که با جابه‌جایی از کشت خالص به سمت کشت مخلوط از عملکرد دانه نخود کاسته شد.

عدم مصرف کود کمترین تعداد دانه در نیام (۳/۷۸۰ عدد) را دارا بودند؛ به طوری که تیمار کودی باعث افزایش ۱۵/۶۲ درصدی تعداد دانه در نیام نسبت به شاهد شد (جدول ۷). باکتری‌های تثبیت‌کننده نیتروژن با قارچ‌های میکوریزا همکاری و رابطه نزدیکی دارند و در جذب و فراهمی عناصر غذایی نقش اساسی ایفا کرده و نقش بیشتری در رشد گیاه نشان می‌دهند. قارچ‌های میکوریزا با جذب عناصر معدنی خاک از جمله فسفر نامحلول خاک، جذب سایر عناصر از جمله نیتروژن را بهبود داده و در نهایت منجر به افزایش اجزای عملکرد دانه از جمله تعداد دانه در نیام می‌شوند.

وزن هزار دانه

طبق جدول ۶ بیشترین وزن هزار دانه در کشت خالص باقلاء با ۱۱۵ گرم و کمترین آن در کشت مخلوط یک ردیف بزرک و یک ردیف باقلاء با میانگین وزن دانه ۸۵/۵۰ گرم به دست آمد. بین کشت مخلوط دو ردیف بزرک و دو ردیف باقلاء با کشت مخلوط سه ردیف بزرک و سه ردیف باقلاء اختلاف معنی داری از نظر وزن هزار دانه مشاهده نشد. وزن دانه‌ها تابع توانایی گیاه در تأمین مواد پروردگاری مخزن‌ها و همچنین شرایط محیطی از قبیل آب و عناصر غذایی در هنگام پر شدن دانه‌ها می‌باشد. به نظر می‌رسد که در تحقیق حاضر در کشت خالص تعداد و سهم هر یک از این مخازن در دریافت مواد حاصل از فتوستتر افزایش یافته و منجر به افزایش وزن هزار دانه نسبت به کشت مخلوط شده است. احمدوند و حاجی‌نیا (Ahmadvand and Hajinia., 2016) ارزن معمولی گزارش کردند که وزن هزار دانه سویا در کشت خالص بیشتر از کشت مخلوط سویا بود که نتیجه این آزمایش را تأیید می‌کند.

همانطور که جدول ۷ ملاحظه می‌شود، وزن هزار دانه در تیمار کود زیستی افزایش معنی داری نسبت به شاهد نشان داد. بیشترین وزن هزار دانه (۱۰۳/۴۲ گرم) به تیمار کود زیستی و کمترین آن (۸۹/۰۸ گرم) مربوط به عدم استفاده از کود زیستی بود. کودهای زیستی از جمله ریزوباکتری‌های محرك رشد و قارچ‌های میکوریزا با توسعه ریشه، شرایط را برای جذب بهتر و بیشتر عناصر معدنی فراهم می‌کند. همچنین با افزایش تعداد گره ریزوبیومی ریشه جذب و تثبیت نیتروژن را می‌افزاید. این امر به نوبه خود باعث افزایش فتوستتر می‌شود. مازاد مواد فتوستتری نیز قبل از گلدهی در ساقه ذخیره به افزایش وزن دانه و در نهایت عملکرد دانه می‌شود (Boomsma and Vyn, 2008). انتقال مجدد این مواد به اندام زایشی (دانه‌ها) منتقل می‌شوند و منجر به افزایش وزن دانه و در نهایت عملکرد دانه می‌شود (Jahan *et al.*, 2013). مشخص شد که استفاده از کودهای زیستی نیتروکسین، بیوفسفر (حاوی باکتری‌های حل کننده فسفات از جنس

نسبت برابری زمین

بالاترین LER جزئی بزرک (۰/۶۸) و باقلا (۰/۸۸) به ترتیب از تیمار کشت مخلوط دو ردیف باقلا + دو ردیف بزرک در شرایط عدم کاربرد کود زیستی و کاربرد کود زیستی به دست آمد (شکل ۱). بین الگوهای مختلف کشت نسبت برابری زمین جزئی باقلا نسبت به بزرک بالاتر بود که می‌توان چنین استنباط نمود که باقلا گیاه غالب بوده و از کشت مخلوط با بزرک اثر مثبت پذیرفته است. بیشترین و کمترین نسبت برابری زمین کل به ترتیب از کشت مخلوط دو ردیف باقلا + دو ردیف بزرک (۰/۵۳) در شرایط کاربرد کود زیستی و کشت مخلوط یک ردیف باقلا + یک ردیف بزرک (۰/۰۳) در شرایط عدم کاربرد کود زیستی حاصل شد. با توجه به اینکه در تمامی تیمارهای آزمایش نسبت برابری زمین کل، بیشتر از عدد یک به دست آمد که نشان دهنده برتری کشت مخلوط نسبت به تک کشتی در این الگوهای کشت می‌باشد. بالا بودن نسبت برابری زمین از یک در کشت مخلوط می‌تواند ناشی از آرایش صحیح و استفاده مکمل از مواد مغذی و منابع آب و نور به وسیله اجزای کشت مخلوط و نیاز به ورودی‌های خارجی کمترین نمود که این شرایط منجر به افزایش رشد و نمو دو گیاه بزرک و باقلا شده است. در همین راستا می‌توان ایجاد حالت تکمیل و تسهیل کنندگی در تسخیر منابع از طریق ساختار ریشه و فنولوژی، کارایی مصرف منابع را به عنوان یک توجیه عملی برای سودمندی کشت مخلوط مطرح نمود. نقش اختلافات مورفو‌لولوژیک در دستیابی به LER (Mardani *et al.*, 2015) در کشت مخلوط شنبلیله و همکاران (Ghale, Noyee *et al.*, 2017) در کشت مخلوط کنجد و لوپیا، هودیانی مهر و همکاران (Hodiani Mehr *et al.*, 2016) در کشت مخلوط چای ترش (*Vigna radiata* L.) و ماش (*Hibiscus sabdariffa* L.) نیز گزارش شده است.

نتیجه‌گیری

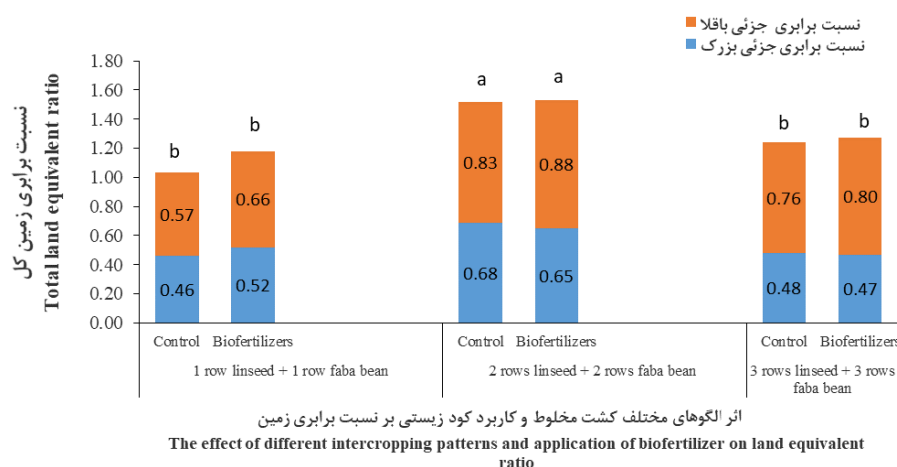
به طور کلی نتایج آزمایش حاضر نشان داد که عملکرد باقلا و بزرک تحت تأثیر الگوهای مختلف کشت مخلوط و کود زیستی قرار گرفت؛ به طوری که با افزایش تعداد ردیف‌های کاشت به دلیل کاهش اثرات تسهیل و تکمیل کنندگی دو گونه، عملکرد دانه کاهش پیدا کرد. در تحقیق حاضر کاربرد کودهای زیستی نیز توانست عملکرد و برخی خصوصیات زراعی باقلا و بزرک را بهبود ببخشد. درصد روغن بزرک در تمامی الگوهای کشت مخلوط بیشتر از کشت خالص بود. در تیمارهای کشت مخلوط، باقلا گیاه غالب بود. حضور باقلا کنار بزرک در تیمارهای مختلف به احتمال زیاد به خاطر توانایی گیاه در استفاده بهینه از منابع محیطی موجب افزایش روغن بزرک گردید. بالاترین نسبت برابری زمین نیز در شرایط کاربرد کود زیستی در کشت مخلوط

بین تیمارهای کودی مورد استفاده از نظر عملکرد دانه و عملکرد بیولوژیک اختلاف معنی‌داری وجود داشت؛ به طوری که بیشترین میزان عملکرد دانه (۴/۱۲۰ تن در هکتار) و عملکرد بیولوژیک (۰/۱۰۰ تن در هکتار) از تیمار کود زیستی و کمترین عملکرد دانه (۰/۸۴۰ تن در هکتار) و کمترین عملکرد بیولوژیک (۰/۱۱۳۴۰ تن در هکتار) از تیمار عدم مصرف کود حاصل شد (جدول ۷). تیمار کودی نسبت به عدم مصرف کود زیستی عملکرد دانه را به میزان ۳۱ درصد افزایش داد. بسیاری از گزارشات حاکی از آن است که برقراری رابطه همزیستی میکوریزی با باکتری‌های ریزوبیوم شرایط را برای تشکیل گره‌های ثبیت‌کننده نیتروژن فراهم می‌سازد. بنابراین تعداد گره‌های ثبیت‌کننده نیتروژن در گیاهان میکوریز بیشتر از گیاهانی است که با قارچ‌های میکوریزی تلقیح نشده‌اند. همچنین، گیاهان میکوریزی از سرعت فتوسنتز بیشتری برخوردار می‌باشند، لذا درصد بیشتری از مواد حاصل از فتوسنتز به ریشه‌ها و به گره‌های ثبیت‌کننده نیتروژن اختصاص می‌یابد که این خود کارایی ثبیت نیتروژن را در این گیاهان افزایش می‌دهد (Jahan and Nasiri Mahallati, 2012).

از طرف دیگر در گیاهان میکوریزی ای به دلیل جذب بیشتر فسفر و عناصر کم مصرف که همگی در فرآیند ثبیت نیتروژن مولکولی تاثیرگذار می‌باشند. این فرآیند با شدت و سرعت بیشتری نسبت به گیاهان غیرمیکوریزی به انجام می‌رسد. بنابراین بهبود رشد گیاهان بقولات پس از برقراری رابطه همزیستی میکوریزی به افزایش ثبیت نیتروژن و بهبود جذب آن از خاک خصوصاً به فرم NH_4^+ نسبت داده شده است که همین امر موجب ذخیره بیشتر مواد غذایی در دانه شده و در نهایت عملکرد دانه نیز افزایش می‌یابد (Seyed sharifi and Namvar, 2015). از طرف دیگر، احتمالاً در تحقیق حاضر نیز استفاده از باکتری تیوباسیلوس به همراه سایر باکتری‌های محرک رشد از طریق کاهش اسیدیته خاک و فراهم نمودن شرایط مناسب جذب عناصر غذایی به خصوص نیتروژن، فسفر و عناصر کم مصرف (آهن، منگنز، روی و مس) موجب افزایش عملکرد این گیاه شدند (Tong-Jian *et al.*, 2013). تانگ جیان و همکاران (al., 2010) بیان داشتند که استفاده از قارچ میکوریزا در کشت مخلوط برنج و ماش مقدار بیوماس ماش را نسبت به تک کشتی و بدون تلقیح با قارچ میکوریزا افزایش داد. محققان دیگری در کشت مخلوط ذرت و خلر گزارش کردند که عملکرد دانه خلر در تیمار تلقیقی کود زیستی فسفر بارور ۲ نسبت به عدم کاربرد کود به طور معنی‌داری افزایش پیدا کرد (Naghizade *et al.*, 2013). خرمدل و همکاران (Khorramdel *et al.*, 2010) گزارش کردند که تلقیح با کودهای زیستی (نیتروژین، نیتروکسین و بیوفسفر) در گیاه کنجد سبب افزایش معنی‌دار عملکرد دانه شد.

شیمیایی شود و در حفاظت زیست‌محیطی نیز سهمیم باشد. به‌طور کلی، با توجه به اهداف کشاورزی پایدار با هدف حذف یا کاهش قابل ملاحظه مصرف نهاده‌های شیمیایی، تیمار کاربرد کود زیستی در کشت مخلوط دو ردیف بزرک + دو ردیف باقلا مناسب و در منطقه قابل توجیه است.

دو ردیف بزرک + دو ردیف باقلا برابر با $1/53$ به دست آمد که معادل 53 درصد افزایش در بهره‌وری استفاده از زمین نسبت به کشت خالص دو گونه بود. بنابراین، چنین به نظر می‌رسد که استفاده از کودهای زیستی در کشت مخلوط یکی از راهکارهای مناسب برای دسترسی به عملکرد مطلوب با حداقل مصرف نهاده‌های خارجی است که در بلندمدت می‌تواند منجر به کاهش نیاز سیستم‌های زراعی به نهاده‌های



شکل ۱- نسبت برابری زمین جزئی و نسبت برابری زمین کل برای عملکرد دانه بزرک و باقلا در الگوهای مختلف کشت مخلوط تحت تاثیر کاربرد کود زیستی

Figure 1- Partial Land Equivalent Ratio and Land Equivalent Ratio (LER) for seed yields of linseed and faba bean in intercropping patterns affected by biofertilizer application

References

- Abou- Hussein, S. D., Salman, S. R., Adel-Mawgoud, A. M. R., and Ghoname, A. A. 2005. Productivity, quality and profit of sole or intercropping green bean (*Phaseolus vulgaris* L.) crop. Journal of Agronomy 2: 151-155.
- Ahmadvand, G., and Hajinia, S. 2016. Ecological aspects study of replacement intercropping patterns of soybean (*Glycine max* L.) and millet (*Panicum miliaceum* L.). Journal of Agroecology 7 (4): 485-498. (in Persian with English abstract).
- Ali, Z., Asghar-Malik, M., and Akhtar-Cheema, M. 2000. Studies on determining a suitable canola-wheat intercropping pattern. International Journal of Agriculture and Biology 2: 42-44.
- Amani Machiani, M., Javanmard, A., and Shekari, F. 2017. The effect of intercropping patterns on Peppermint (*Mentha piperita* L.) dry biomass yield and essential oil content and Faba Bean (*Vicia faba* L.) seed yield. Journal of Agricultural Science and Sustainable Production 27 (3): 45-62. (in Persian with English abstract).
- Aminifar, J., Ramroudi, M., Galavi, M., and Mohsenabadi, Gh. R. 2017. Advantage of Sesame and Cowpea Intercrops in Different Fertilizer Application Systems. Journal of Crop Ecophysiology 10 (4): 1039-1054.
- Bijani, M., Yadollahi, P., Asgharipour, M. R., Oleimani, S., and Latifi, M. 2015. Effects of nitrogen and biological fertilizer on yield, oil and protein content of sesame (*Sesamum indicum* L.). Journal of Oil Plants Production 1 (2): 67-78.
- Boomsma, C. R. and Vyn, T. J. 2008. Maize drought tolerance: Potential improvements through arbuscular mycorrhizal symbiosis. Iranian Journal Field Crops Research 108: 14-31.
- Dabbagh Mohammadi Nassab, A., Amini, R., and Tamar, E. 2015. Evaluation of maize (*Zea mays* L.) and three cultivars of common bean (*Phaseolus vulgaris* L.) intercropping with application of biofertilizers and chemical fertilizers. Journal of Agricultural Science and Sustainable Production 25 (1): 99-112. (in Persian with English abstract).
- FAOSTS. 2016. World Agriculture Datam, <http://www.fao.org/>
- Franco, J. G., King, S. R., Masabni, J. G., and Volder, A. 2015. Plant functional diversity improves short-term yields in a low-input intercropping system. Journal of Agriculture, Ecosystems and Environment 203: 1-10.

11. Ghale Noyee, Sh., Koocheki, A., Naseri Poor Yazdi, M. T., and Jahan, M. 2017. Effect of different treatments of mixed and row intercropping on yield and yield components of sesame and bean. *Iranian Journal of Field Crops Research* 15 (3): 588-602. (in Persian with English abstract).
12. Gharineh, M. H., and Enayat GHolizadeh, M. R. 2009. *Crop Ecology*. Islamic azad university Shoushtar branch. Pp 303.
13. Gliessman, S. R. 1998. *Agroecology: Ecological Processes in sustainable Agriculture*. CRC press.
14. Hamzei, J., and Ghamari Rahim, N. 2014. Evaluation of corn-s--oybean intercropping advantages usinga gronomic and weed control efficiency indices. *Journal of Agricultural Science and Sustainable Production* 24 (3): 61-73. (in Persian with English abstract).
15. Hauggaard-Nielsen, H., Gooding, M., Dibet, P., Von Fragstein, A., Pristeri, M., Monti, E., and Jensen, A. 2009. Pea–barley intercropping for efficient symbiotic N₂-fixation, soil N acquisition and use of other nutrients in European organic cropping systems. *Journal of Field Crops Research* 113: 64-71.
16. Hirpa, T. 2014. Effect of intercrop row arrangement on maize and haricot bean productivity and the residual soil. *World journal of Agricultural Sciences* 4:69-077.
17. Hodiani mehr, A., Dahmardeh, M., Khammari, I., and Asgharipoor, M. 2016. Effects of Tillage Systems on Changes of Soil Nutrients, Yield and Land Equivalent Ratio in Roselle – Green Gram Intercropping. *Iranian Journal of Field Crops Research* 15 (2): 311-322.
18. Jahan, M., and Nassiri Mahallati, M. 2012. Soil fertility and biofertilizers: an agroecological approach. Ferdowsi University Press. 250 pp. (in Persian).
19. Jahan, M., Aryaei, M., Amiri, M. B., and Ehyaei, H. R. 2013. The effect of plant growth promoting rhizobacteria (PGPR) on quantitative and qualitative characteristics of (*Sesamum indicum* L.) with application of cover crops of *Lathyrus* sp. and Persian clover (*Trifolium resopinatum* L.). *Journal of Agroecology* 5 (1): 1-15. (in Persian).
20. Jannoura, R., Joergensen, R. G., and Bruns, C. H. 2014. Organic fertilizer effects on growth, crop yield, and soil microbial biomass indices in sole and intercropped peas and oats under organic farming conditions. *European Journal of Agronomy* 52: 259-270.
21. Jensen, E. S., Peoples, M., and Hauggaard-Nielsen, H. 2010. Faba bean in cropping systems. *Journal of Field Crop Research* 115: 203-216.
22. Karimi, K., Bolandnazar, S. A., and Ashoori, S. 2013. Effect of bio-fertilizer and arbuscular mycorrhizal fungi on yield, growth characteristics and quality of green bean (*Phaseolous vulgaris* L.). *Journal of Agricultural Science and Sustainable Production* 23(3): 157-167. (in Persian with English abstract).
23. Khaki Najafabadi, A., Jahan, M., Koocheki, A., and Nassiri Mahalat, M. 2017. Effects of intercropping of common millet (*Panicum miliaceum* L.) cowpea (*Vigna unguiculata* L.) and biological fertilizer inoculation on water and nitrogen use efficiencies. *Iranian Journal of Field Crops Research* 15 (3): 691-708. (in Persian with English abstract).
24. Khorramdel, S., Koocheki, A., Nassiri Mahallati, M. and Ghorbani, R. 2010. Effect of biofertilizers on the yield and yield components of black cumin (*Nigella sativa* L.). *Iranian Journal of Field Crops Research* 8(5): 758-766. (in Persian).
25. Koocheki, A., Fallahpour, F., Khorramdel, S., and Jafari, L. 2014. Intercropping wheat (*Triticum aestivum* L.) with canola (*Brassica napus* L.) and their effects on yield, yield components, weed density and diversity. *Journal of Agroecology* 6 (1): 11-20. (in Persian).
26. Koocheki, A., Lalegani, B., and Najib Nia, S. 2009. Evaluation of intercropping beans and corn production. *Iranian Journal of Field Crops Research* 7 (2): 20-30. (in Persian).
27. Koocheki, A., Rezvani Moghaddam, P., and Fallahi, H. R. 2016. Effects of planning dates, irrigation management and cover crops on growth and yield of saffron (*Crocus sativus* L.). *Journal of Agroecology* 8(3): 435-451.
28. Koocheki, A., Zarghani, H., and Norooziyan, A. 2016. Comparison of yield and yield components of sunflower (*Helianthus annuus* L.), sesame (*Sesamum indicum* L.) and Red Bean (*Phaseolus calcaratus*) under different intercropping arrangements. *Iranian Journal of Field Crops Research* 14 (2): 226-243. (in Persian with English abstract).
29. Leithy, S., El-Meseiry, T. A., and Abdallah, E. F. 2006. Effect of biofertilizer, cell stabilizer and irrigation regime on rosemary herbage oil quality. *Journal of Applied Sciences Research* 2: 773-779.
30. Mardani, F., Balouchi, H., Yadavi, A., and Salehi, A. 2015. Effect of row intercropping patterns on yield, yield components, and weed control of fenugreek (*Trigonellafoenumgrecum* L.) and anise (*Pimpinellaanisum* L.). *Iranian Journal of Field Crops Research* 13 (3): 623-636. (in Persian with English abstract).
31. Moradi Telavat, M. R., and Ataollah Siadat, S. 2012. Introduction and production of oil seed crops. Education and agricultural promotion Press, Pp 374. (in Persian).
32. Naghizade, M., Ramroodi, M., Galavi, M., Siahzar, B., Heydari, M., and Maghsoudi, A. A. 2013. The effects of various phosphorus fertilizers on yield and yield components of maize and grass pea intercropping. *Iranian Journal of Field Crop Science* 43 (2): 203-215. (in Persian with English abstract).
33. Pooramir, F., Nassiri Mahallati, M., Koocheki, A., and Ghorbani, R. 2010. Effect of different planting

- combinations on yield and yield components of sesame and peas intercropping in additive series. *Iranian Journal of Field Crops Research* 8 (3): 393-402. (in Persian).
34. Rezaei- Chiyaneh, E. 2016. Intercropping of flax seed (*Linum usitatissimum* L.) and pinto bean (*Phaseolus vulgaris* L.) under foliar application of iron nano chelated and zinc. *Journal of Agricultural Science and Sustainable Production* 29 (1): 39-56. (in Persian with English abstract).
 35. Rezaei- Chiyaneh, E., Tajbakhsh, M., and Fotohi Chiyaneh, S. 2015. Yield and yield components of fenugreek (*Trigonella foenum-graecum* L.) in strip intercropping with ajowan (*Carum copticum* L.) influenced by bio and chemical fertilizer. *Journal of Agricultural Science and Sustainable Production* 24 (4): 1-15. (in Persian with English Summary).
 36. Rezaei-Chiyaneh, E., and Gholinezhad, E. 2015. Study of agronomic characteristics and advantage indices in intercropping of additive series of chickpea (*Cicer arietinum* L.) and black cumin (*Nigella sativa* L.). *Journal of Agroecology* 7 (3): 381-396. (in Persian).
 37. Rezaei-Chiyaneh, E., Khorramdel, S., and Garachali, P. 2015. Evaluation of relay intercropping of sunflower and faba bean on their yield and land use efficiency. *Journal of Crops Improvement* 17 (1): 183-196. (in Persian).
 38. Rezvani Moghadam, P., and Moradi, R. 2012. Assessment of planting date, biological fertilizer and intercropping on yield and essential oil of cumin and fenugreek. *Iranian Journal of Field Crop Science* 43 (2): 217-230. (in Persian with English abstract).
 39. Rezvani Moghaddam, P., Amiri, M. B., and Seyyedi, S. M. 2014. Effect of organic and bio-fertilizers application on yield, oil content and fatty acids composition of sesame (*Sesamum indicum* L.). *Iranian Journal of Crop Sciences* 16 (3): 209-221. (in Persian with English abstract).
 40. Rudresh, D. L., Shivaprakash, M. K., and Prasad, R. D. 2005. Effect of combined application of rhizobium, phosphate solubilizing bacterium and trichoderma spp. on growth, nutrient uptake and yield of Chickpea (*Cicer arietinum* L.). *Journal of Applied Soil Ecology* 28: 139-146.
 41. Seyed Sharifi, R., and Khorramdel, S. 2016. Effects of Nano-Zinc oxide and seed inoculation by plant growth promoting rhizobacteria (PGPR) on yield, yield components and grain filling period of soybean (*Glycine max* L.). *Iranian Journal of Field Crops Research* 13 (4): 738-753. (in Persian).
 42. Seyed sharifi, R., and Namvar, A. 2015. Bio fertilizers in agronomy. University of Mohaghegh Ardabili. 280. (in Persian).
 43. Strichland, M. S., Leggett, Z. H., and Bradford, M. A. 2015. Biofuel intercropping effects on soil carbon and microbial activity. *Ecological Applications* 25: 140-150.
 44. Tang, X., Bernard, L., Brauman, A., Daufresne, T., Deleporte, P., Desclaux, D., Souche, G., Placella, S. A., and Hinsinger, P. 2014. Increase in microbial biomass and Phosphorus availability in the rhizosphere of intercropped cereal and legumes under field conditions. *Soil Biology and Biochemistry* 75: 86-93.
 45. Tavassoli, A., Ghanbari, A., Ahmadi, M. M., and Heydari, M. 2010. The effect of fertilizer and manure on forage and grain yield of and bean in intercropping. *Iranian Journal of Agronomy Research* 8 (2): 96-114. (in Persian with English abstract).
 46. Tong-jian, X., Qing-song, Y., Wei, R., Guo-hua, X. U., and Qi-rong, S. H. 2010. Effect of inoculation with arbuscular mycorrhizal fungus on nitrogen and phosphorus utilization in upland rice-mungbean intercropping system. *Journal of Agricultural Sciences in China* 9: 528 -535.
 47. Toosi, P., Esfahani, M., Rabiei, M., and Rabiei, B. 2011. Effect of concentration and time of supplementary nitrogen fertilizer application on yield and NUE of rapeseed (*Brassica napus* L.) as a second crop in paddy field. *Iranian Journal of Field Crop Science* 42 (2): 387-396. (in Persian).
 48. Weisanny, W., Raei, Y., Zehtab-Salmasi, S., and Sohrabi, Y. 2016. Effect of arbuscular mycorrhiza fungi on yield and yield components of common bean (*Phaseolus vulgaris* L.) and dill (*Anethum graveolens* L.) in mono and Intercropping System. *Journal of Agricultural Science and Sustainable Production* 26 (3): 1-19. (in Persian with English abstract).
 49. Zarifpour, N., Naseri Poor Yazdi, M. T., and Nassiri Mahallati, M. 2014. Effect of different intercropping arrangements of cumin (*Cuminum cyminum* L.) and chickpea (*Cicer arietinum* L.) on quantity and quality characteristic of species. *Iranian Journal of Field Crops Research* 12(1): 34-43. (in Persian).



The Effect of Combined Application of PGPR and Mycorrhizal Fungi in Intercropping of Linseed (*Linum usitatissimum* L.) and Faba bean (*Vicia faba* L.) on Growth Characteristics and Seed Yield

Kh. Alizadeh¹, E. Rezaei-Chiyaneh^{2*}, R. Amirnia³, M. Barin⁴

Received: 09-04-2018

Accepted: 12-08-2018

Introduction: Intercropping is defined as the growing of two or more crops at the same time in the same piece of land. Intercropping of legume with non-legume compared with monoculture has many advantages such as reducing the risk of crop failure, making efficient use of available land, improving productivity and income, more efficient use of resources (water, nitrogen, and radiation) and increasing food security in vulnerable production systems. Biofertilizers are important not only for the reduction of quality of chemical fertilizers but also for getting better yield in sustainable agriculture. Application of biofertilizers and no use of chemical fertilizers are rapidly gaining favor. Arbuscular mycorrhizal fungi (AMF) has been well documented to be a bio-fertilizers that have a symbiotic relationship with many crops and by increasing the uptake of nutrients mainly phosphorus, and enhancing the water absorption and resistance to pathogens, improves growth and yield of host plants in sustainable agricultural systems. The main objective of the present study was to determine the effect of biofertilizers (nitrogen, phosphorus, potassium and sulfur solubilizing bacteria+ Arbuscular mycorrhizal fungi) and intercropping on seed yield and yield components of linseed and faba bean.

Materials and Methods: This experiment was conducted as factorial layout based on randomized complete block design with three replications at the Research Farm of the Faculty of Agriculture, Urmia University, Iran, during growing season of 2017. The first factor was five intercropping patterns including 1 row linseed + 1 row faba bean, 2 row linseed + 2 row faba bean, 3 row linseed + 3 row faba bean, and monocropping of each crop and the second factor was included control (no fertilizer), and biofertilizers (nitrogen, phosphorus, potassium and sulfur supplier bacteria+ arbuscular mycorrhiza fungi). Before the sowing, the related biofertilizers were shaked completely to cover the whole seeds surface after which the seeds were shadow-dried and planted, irrigation was done immediately after seed sowing. No fertilizer was used during the growing season. In addition, the land equivalent ratio (LER) was calculated to determine the advantages of intercropping. The Analysis of variance was performed using SAS 9.4 software; means were compared by using Duncan's multiple test at 0.05 probability level.

Results and Discussion: The results showed that the effect of cropping pattern on all measured traits was significant on height, number of lateral branch, number of capsule per plant, number of seed per capsule, 1000-seed weight, biological yield, seed yield, oil percentage of linseed and on height, number of lateral branch, number of pod per plant, number of seed per pod, 1000-seed weight, biological yield, seed yield of faba bean. The highest seed yield of faba bean (4.280 t ha^{-1}) and linseed (2.230 t ha^{-1}) were obtained in monocropping treatments, respectively. The higher production in linseed and faba bean monocropping may be due to the less disturbance in the habitat in homogeneous environment under monocropping systems. The results showed that biofertilizer had a significant effect on all traits, in linseed and faba bean. The highest yield and yield component of both plants were achieved in use of biofertilizers. In linseed, the highest oil percentage of all treatments was higher than sole cropping. Also, total LER was more than 1 and the highest values were observed in all treatments. The maximum LER values (1.50) were obtained for intercropping 2 row of linseed + 2 row of fababeen with using biofertilizers. It seems that better utilize of the growth resource in the intercropping led to reach this result.

Conclusions: In general, the results of this experiment showed that the faba bean and linseed yield were influenced by different intercropping patterns and biofertilizer. The highest seed yield for both plants (faba bean

1- Graduate Student of Agronomy, Department of Agronomy and Plants Breeding, Faculty of Agriculture, Urmia University, Urmia, Iran

2- Assistant Professor, Department of Agronomy and Plants Breeding, Faculty of Agriculture, Urmia University, Urmia, Iran

3- Associate Professor, Department of Agronomy and Plants Breeding, Faculty of Agriculture, Urmia University, Urmia, Iran

4- Assistant Professor, Department of Soil Science, Faculty of Agriculture, Urmia University, Urmia, Iran

(*- Corresponding Author Email: e.rezaeichiyaneh@urmia.ac.ir)

and linseed) were achieved in monocropping. In the present study, application of biofertilizers could improve the yield and some characteristics of faba bean and linseed. In addition, with application of biofertilizer the seed yield of linseed and faba bean about 38% and 31% compared with control (non-consumption), respectively. It seems that the use of biofertilizers in intercropping is one of the suitable strategies for achieving optimal yields with minimum inputs, which in the long run can reduce the need of crop systems to chemical inputs.

Keywords: *Azotobacter*, Land equivalent ratio, Oil, Planting pattern, *Pseudomonas*



شبیه‌سازی اثرات تغییر اقلیم بر رشد و عملکرد ذرت (*Zea mays*) تحت شرایط کم‌آبیاری در دشت مغان

امیرعباس رستمی اجیرلو^{*}، محمدرضا اصغری پور^۲، احمد قنبری^۳، مهدی جودی^۴، محمود خرمی وفا^۵

تاریخ دریافت: ۱۳۹۷/۰۲/۰۱

تاریخ پذیرش: ۱۳۹۷/۰۴/۳۰

چکیده

در این پژوهش با استفاده از مدل AquaCrop عملکرد دانه، زیست‌توده و طول دوره رشد سه هیبرید ذرت تحت شرایط اقلیم آینده، در تیمارهای مختلف آبیاری شبیه‌سازی شد. به این منظور، از داده‌های بارش، دمای کمینه، دمای بیشینه و ساعت آفتابی مدل ریز مقیاس نمایی LARS-WG با استفاده از مدل گردش عمومی جو HadCM3 برای سه سناریو گزارش چهارم هیأت تغییر اقلیم (A1B، A2، B1) پیش‌بینی و برای دشت مغان در دوره‌های ۱۹۷۰-۲۰۱۰، ۱۹۷۰-۲۰۳۰، ۲۰۱۱-۲۰۳۰ و ۲۰۴۶-۲۰۶۵ مورد بررسی قرار گرفت. مدل AquaCrop قیل از استفاده، توسط داده‌های مزرعه‌ای (سال‌های ۱۳۹۴ و ۱۳۹۵) و استنجی و تعیین اعتبار شد. سپس طول دوره رشد هیبریدها، مقادیر عملکرد دانه و زیست‌توده در دوره‌های آینده، برای تیمارهای متفاوت آبیاری (I1=آبیاری نرمال، I2=قطع آبیاری در مرحله رشد رویشی، I3=قطع آبیاری در مرحله پر شدن دانه) و هیبریدهای متفاوت ذرت (SC705=C1 و SC703=C2 و SC704=C3) شبیه‌سازی شد. با توجه به نتایج، در دوره آماری ۲۰۱۱-۲۰۳۰ میلادی در مقایسه با دوره ۱۹۷۰-۲۰۱۰ (پایه) میانگین ماهانه دمای به مقدار ۱/۴۱، ۱/۳۵ و ۱/۵۶ درجه سانتی گراد بهترتیب در سناریوهای A1B و A2 و B1 افزایش، میانگین ماهانه بارش به مقدار ۱۱ و ۱۵ میلی‌متر بهترتیب در سناریوهای A1B، A2 و B1 کاهش خواهد یافت و در دوره آماری ۲۰۴۶-۲۰۶۵ میلادی در مقایسه با دوره پایه میانگین ماهانه دمای به مقدار ۲/۹ و ۲/۳۲ درجه سانتی گراد، بهترتیب در سناریوهای A1B، A2 و B1 افزایش خواهد یافت. همچنین در طی این دوره، مقدار کاهش بارندگی به مقدار ۱۵، ۱۸ و ۱۴ میلی‌متر بهترتیب در سناریوهای A1B، A2 و B1 پیش‌بینی شد. نتایج شبیه‌سازی عملکرد دانه و زیست‌توده کل ارقام ذرت تحت تاثیر مدیریت‌های آبیاری با استفاده از مدل AquaCrop، نشان داد که متغیرهای آماری ریشه میانگین مربعات خطای عملکرد دانه و ماده خشک در سال‌های ۱۳۹۴ و ۱۳۹۵، بهترتیب ۴۳ و ۸۹۱ کیلوگرم در هکتار بود. مقدار ریشه میانگین مربعات خطای نرمال شده عملکرد دانه و ماده خشک، بهترتیب ۱۱ و ۱۰ درصد بهترتیب آمد. به علاوه، استفاده از داده‌های هواشناسی آینده تحت سناریوهای مختلف تغییر اقلیم نشان از کاهش طول دوره رشد، عملکرد دانه و عملکرد زیست‌توده در دوره‌های ۲۰۱۱-۲۰۳۰ و ۲۰۴۶-۲۰۶۵ در سناریوهای A1B، A2 و B1 دارد. در بین ارقام مورد مطالعه در این تحقیق مشاهده شد که هیبرید سینگل کراس ۷۰۴ نسبت به سایر هیبریدهای ذرت دارای کاهش رشد و عملکرد کمتری می‌باشد. بنابراین این رقم می‌تواند برای تغییر اقلیم آینده در دشت مغان مناسب باشد.

واژه‌های کلیدی: آب و هوا، بحران آب، تنش خشکی، مدل AquaCrop

مقدمه

استفاده از سوخت‌های فسیلی، غلظت آن‌ها به خصوص میزان گاز دی‌اکسیدکربن افزایش یافته که این امر موجب گرم شدن کره زمین شده است (Wilcox and Makowski, 2014). گرم شدن زمین که از اوخر قرن نوزدهم آغاز شده و انتظار می‌رود که در سال‌های آینده نیز ادامه پیدا کند و بر وضعیت دیگر اجزای چرخه اقلیمی اثر گذاشته و پدیده تغییر اقلیم را به همراه داشته است. تغییرات بلندمدت شرایط عمومی آب و هوایی زمین، تغییر اقلیم نامیده می‌شود که در اثر تغییر اقلیم متغیرهای آب و هوایی مانند دما و بارش ثابت نمانده و در مناطق مختلف تغییر می‌کند (Tacarindua *et al.*, 2013). براساس آخرین گزارش مجمع بین دول تغییر اقلیم، میانگین درجه حرارت جهان تا ۵۰ سال آینده ۶/۰-۲/۵ درجه سانتی گراد و تا پایان قرن حاضر

بررسی وضعیت انتشار گازهای گلخانه‌ای نشان می‌دهد که پس از انقلاب صنعتی، به دلیل توسعه روزافزون صنایع و به سبب آن افزایش

۱- دانش‌آموخته دکتری اگروکلولژی، گروه زراعت، دانشکده کشاورزی، دانشگاه زابل، ایران

۲- بهترتیب دانشیار و استاد اگروکلولژی، گروه زراعت، دانشکده کشاورزی، دانشگاه زابل، ایران

۳- دانشیار فیزیولوژی گیاهان زراعی، گروه علوم گیاهی و گیاهان دارویی، دانشکده کشاورزی مشکین شهر، دانشگاه محقق اردبیلی، اردبیل، ایران

۴- دانشیار اکولوژی گیاهان زراعی، دانشگاه رازی کرمانشاه، کرمانشاه، ایران

۵- استادیار اکولوژی گیاهان زراعی، دانشگاه رازی کرمانشاه، کرمانشاه، ایران

(*)- نویسنده مسئول: (Email: abasat.rostami@yahoo.com)

DOI: 10.22067/gsc.v17i1.72189

این با وجود ساده بودن مدل، توجه خاصی به روندهای اساسی فیزیولوژیکی و زراعی دارد که در تولیدات گیاه و واکنش‌های آب موثر هستند (Steduto *et al.*, 2009). با استفاده از این مدل‌ها، اثر سناریوهای مختلف کم‌آبیاری بر تولید محصول تعیین و با توجه به منابع آب بهترین برنامه کم‌آبیاری استنتاج می‌شود. در این راستا (Esmaely *et al.*, 2014) با استفاده از میانگین طولانی مدت پارامترهای هواشناسی در منطقه کرمانشاه، عملکرد گیاه سویا با را با استفاده از مدل AquaCrop بررسی نمودند سپس با استفاده از مدل LARS-WG تحت سه سناریو پارامترهای هواشناسی پیش‌بینی و عملکرد محصول سویا (*Glycine max* L.) در حالت پتانسیل در دوره زمانی ۲۰۳۰-۲۰۱۰ توسط مدل AquaCrop را برآورد نمودند. بر اساس نتایج مدل LARS-WG، هر سه سناریو افزایش دمای هوا به میزان یک تا دو درجه را پیش‌بینی نموده و با توجه به نتایج بدست آمده عملکرد دانه و عملکرد بیولوژیک سویا در شرایط آینده در منطقه کرمانشاه کاهش خواهد یافت. (Roustaie *et al.*, 2011) در منطقه پاکدشت تاثیر تغییر اقلیم بر زیست‌توده ذرت (*Zea mays* L.) را مورد بررسی قرار دادند. آن‌ها با استفاده از مدل ریزمقیاس نمایی-LARS-WG تغییرات دما و بارش را با استفاده از دوره پایه برای دوره ۲۰۳۹-۲۰۱۰ پیش‌بینی و به عنوان ورویدی برای مدل AquaCrop تلقی کردند و نتایج شبیه‌سازی رشد گیاه ذرت در دوره ۳۰ ساله ۲۰۱۰-۲۰۳۹، نشان از سیر نزولی زیست‌توده، در تیمارهای آبیاری کامل و کم آبیاری دارد، به‌طوری‌که در سطح رسک ۵۰ درصد و تیمارهای آبیاری کامل و کم آبیاری، به ترتیب ۱/۲۱ و ۱/۴۲ تن بر هکتار کاهش در زیست‌توده پیش‌بینی شده است. همچنین نتایج آنالیز رسک نشان داد که تفاوت میان مقادیر زیست‌توده ذرت در سطوح ۲۵ و ۲۵ و ۷۵ درصد در سال ۲۰۳۹-۲۰۱۰ تن بر هکتار در تیمار آبیاری کامل و ۰/۵۰ تن بر هکتار در کم آبیاری خواهد بود. یافتو و همکاران، ۲۰۰۷ با بررسی تأثیر تغییر اقلیم بر رشد و نیاز آبی گیاهان گندم (*Triticum aestivum* L.) و ذرت در ساحل شرقی دریای مدیترانه در ترکیه نتیجه گرفتند که بالا رفتن دما باعث افزایش سرعت رشد فیزیولوژیکی هر دو گیاه می‌شود و این خود باعث زودرس شدن این محصولات و در نتیجه کاهش دوره رشد می‌شود.

در این پژوهش تأثیر پدیده تغییر اقلیم بر طول دوره رشد و عملکرد سه هیبرید ذرت تحت شرایط کم آبیاری در دشت مغان در دوره‌های ۱۹۷۰-۲۰۱۰، ۲۰۱۱-۲۰۳۰ و ۲۰۴۶-۲۰۶۵ در تیمارهای مختلف آبیاری با استفاده از نسخه جدید مدل ریزمقیاس نمایی LARS-WG و مدل پیش‌بینی عملکرد AquaCrop مورد بررسی قرار گرفت.

۱/۶-۱/۱ سانتی گراد افزایش می‌باید و دامنه این افزایش درجه حرارت در مقیاس منطقه‌ای بسیار زیاد خواهد بود (IPCC, 2016). با وجودی که تغییر اقلیم در برخی از مناطق جهان به‌ویژه نواحی واقع در عرض‌های شمالی اثرات مثبتی بر تولیدات کشاورزی به همراه خواهد داشت (Raymond *et al.*, 2014) ولی اثرات منفی این تغییرات در مناطق گرم و خشک شدید خواهد بود (Babalola and Akinsanola, 2016) به‌طوری‌که در کشورهای در حال توسعه Rootaei *et al.*, 2012 و به علاوه فراوانی و شدت وقوع پدیده‌های نادر اقلیمی (خشکسالی، گرما، سرما و سیل) نیز تشدید خواهد شد. تعداد و شدت بیشتر بارندگی‌ها، افزایش دما، خشکسالی و انواع دیگر مخاطرات آب و هوایی مورد انتظار، بر عملکرد و کیفیت محصولات کشاورزی اثر می‌گذارند (Hatfield *et al.*, 2011).

معتبرترین ابزار، جهت بررسی اثرات پدیده تغییر اقلیم بر سیستم‌های مختلف، استفاده از متغیرهای اقلیمی شبیه‌سازی شده توسط مدل‌های جفت شده گردش عمومی جوی-اقيانوسی می‌باشد (Abkar *et al.*, 2013). برای بسط دادن به شرایط هر منطقه خروجی این مدل‌ها باقیستی قبل از استفاده در مطالعات ارزیابی اثرات Ashraf *et al.*, 2014 تغییر اقلیم و مقایسه با داده‌های مشاهداتی ریزمقیاس شوند (LARS-WG) برای مدل‌سازی رفتار اقلیم در نقاط مختلف جهان برای دهه‌های آینده معمول است و می‌توان نتایج مدل را در Hatfield *et al.*, 2011 زمینه‌های مختلف کشاورزی به کار برد. () جهت بهره‌برداری از نتایج مدل‌های تغییر اقلیم و بررسی اثرات آنها بر گیاهان زراعی، می‌توان از مدل‌های گیاهی استفاده کرد (Hajarpour *et al.*, 2013) بدین صورت که با تولید داده‌های روزانه سال‌های آینده می‌توان خروجی این مدل‌های ریزمقیاس کننده را به عنوان ورویدی مدل‌های گیاهی لحاظ و میزان عملکرد محصولات کشاورزی را تحت تغییرات اقلیمی دهه‌های آینده برآورد کرد.

یکی از مدل‌های جدیدی که برای شبیه‌سازی رشد محصول با استفاده از سری‌های طولانی داده‌های اقلیمی گذشته می‌تواند مورد استفاده قرار گیرد، مدل AquaCrop است (Nasiry *et al.*, 2014). مدل AquaCrop یکی از مدل‌های پرکاربرد گیاهان زراعی است که توسط سازمان فائو ارائه شده و با وارد کردن واکنش‌های فیزیولوژیک گیاه می‌تواند محصول قابل دستیابی را بر اساس شرایط هواشناسی، خاک، سیستم آبیاری و مدیریت مزرعه پیش‌بینی کند (Steduto *et al.*, 2015). با مقایسه محصول پیش‌بینی شده توسط مدل و اندازه‌گیری شده در مزرعه می‌توان مدل را واسنجی کرده و اعتبار آن را برای یک محصول و شرایط آب و هوایی سنجید همچنین مدل می‌تواند برای استفاده توسط اقتصاددان‌ها، مدیران و کارفرمایان بخش آب کشاورزی با اهداف و کاربردهای متنوع مناسب می‌باشد. علاوه بر

گل‌دهی و $I4=$ قطع آبیاری در مرحله پر شدن دانه) و ژنوتیپ‌های مختلف ذرت ($C1=SC705$, $C2=SC704$, $C3=SC703$) بودند. هر کرت آزمایشی شامل چهار ردیف به طول پنج متر با تراکم بوته ۱۱۰۰ بوته در هکتار بودند. بعد از بلوک‌بندی برای جلوگیری از نشت آب بین کرت‌های اصلی دو متر فاصله گذاشته شد. در این آزمایش بذرهای ژنوتیپ‌های مختلف ذرت به صورت دستی در فواصل مذکور در چهارم تیر ماه به عنوان کشت دوم بعد از گندم کشت گردیدند. پیش از اجرای آزمایش، نمونه‌ای مركب از خاک مزرعه تهیه و برای تعیین ویژگی‌های فیزیکوکیمیایی به آزمایشگاه ارسال شد و بر اساس نتایج آزمون خاک (جدول ۱) و با توجه به نیاز گیاه ذرت، ۴۰۰ کیلوگرم کود اوره در هکتار (150 kg) کیلوگرم در هکتار قبل از کشت و مابقی به صورت سرک در دو مرحله استفاده شد، 200 kg کیلوگرم سوپر فسفات تریپل نیز قبل از کاشت به خاک اضافه شد. همچنین برای تأمین نیاز کودی پتابسیم؛ نانوکود پتابسیم ($K2O$ درصد، به میزان 10 kg کیلوگرم در هکتار) به صورت خاک مصرف مورد استفاده قرار گرفت (در هر دوسال زراعی برنامه کودی رعایت شد).

مواد و روش‌ها

آزمایشات مزرعه‌ای و موقعیت منطقه مورد مطالعه آزمایش مزرعه‌ای بر روی گیاه ذرت دانه‌ای، در سال‌های ۱۳۹۴ و ۱۳۹۵ به منظور بررسی تأثیر کم آبیاری بر عملکرد دانه و زیست‌توده محصول در مزرعه شخصی واقع در بخش تازه‌آباد از توابع شهرستان پارس‌آباد از دشت معان (یکی از قطب‌های مهم کشاورزی کشور واقع در شمال استان اردبیل) انجام شد. محل اجرای آزمایش بین مدارهای 39° درجه و 12° دقیقه تا $39^{\circ} 42^{\prime}$ درجه و 42° دقیقه عرض شمالی و 47° درجه و 10° دقیقه تا $48^{\circ} 21^{\prime}$ درجه و 21° دقیقه طول شرقی از نصف‌النهار گرینویچ واقع شده است. از نظر پهنه‌بندی اقلیمی منطقه مورد بررسی دارای اقلیم نیمه‌خشک است و میانگین بارش سالانه در این منطقه 271 mm می‌تر و میانگین دمای سالانه آن 15° درجه سانتی‌گراد می‌باشد (Vatankhah, 2009). آزمایش در دو سال زراعی به صورت طرح کرت‌های خردشده در قالب بلوک‌های کامل تصادفی با سه تکرار انجام شد. کرت‌های اصلی شامل چهار سطح مختلف آبیاری ($I1=$ آبیاری نرمال، $I2=$ قطع آبیاری در مرحله رشد رویشی (قطع آبیاری از مرحله $10-12$ برگی تا ظهرور تاسل)، $I3=$ قطع آبیاری در مرحله

جدول ۱- نتایج آزمون خاک

Table 1- Soil test results

| سال Year | عمق Depth (cm) | هدایت الکتریسیتی EC (ds.m-1) | مواد آلی Organic Matter (%) | pH | نیتروژن N (%) | فسفر P (mg. kg-1) | پتابسیم K (mg. kg-1) | بافت خاک Soil texture |
|-------------|----------------------|---------------------------------|-----------------------------------|-----|------------------|----------------------|-------------------------|-----------------------------|
| 1394 | 0-60 | 0.93 | 0.88 | 7.2 | 0.07 | 4.2 | 385 | رسی |
| 1395 | 0-60 | 0.94 | 0.87 | 7.2 | 0.066 | 4.3 | 388 | رسی |

LARS-WG

شیبیه‌سازی اقلیم آینده توسط مدل LARS-WG جهت ریزمقیاس نمایی آماری داده‌های مدل گردش عمومی جو HADCM3 از مدل LARS-WG استفاده شد. برای تولید داده‌های روزانه دمای کمینه، دمای بیشینه، بارش و ساعت آفتابی اقلیم آینده و پایه از داده‌های ایستگاه هواشناسی مرکز تحقیقات مغان (واقع در شمال غرب کشور و شمال استان اردبیل) استفاده شد. جدول ۲ ویژگی‌های ایستگاه‌های مورد مطالعه را نشان می‌دهد.

عملیات و جین علف‌های هرز از مرحله آغاز رشدی تا ظهور بال‌ها به صورت دستی انجام گردید همچنین جهت مدیریت آفات که عمدهاً ساقه خوار اروپایی ذرت بودند، قبل از پیدایش گل تاجی از سومون آوات و هگرافلومرون بر علیه لاروهای سن اول (به صورت مه‌پاشی و به میزان دو لیتر در هکتار، جزء سومون خد تزییده‌ای) استفاده گردید. آبیاری به روش جوی و پشتۀ ای اجرا و تمامی تیمارها تا ظهور ۴ برگ به طور یکسان آبیاری شدند و بعد از این مرحله تیمارهای آبیاری (بر اساس مراحل رشدی) اعمال شدند.

جدول ۲- مشخصات جغرافیایی ایستگاه مورد مطالعه

Table 2- Geographic characteristics of station

| نام ایستگاه Station name | کد ایستگاه سنتوپتیک Synoptic station code | ارتفاع (متر) Height (m) | عرض جغرافیایی Latitude | طول جغرافیایی Longitude |
|---------------------------------|--|----------------------------|---------------------------|----------------------------|
| هواشناسی کشاورزی اولتان مغان | 40700 | 72.6 | 39.36 | 47.47 |

سوم شبیه‌سازی داده‌های اقلیمی برای دوره ۲۰۳۰-۲۰۱۱ و ۲۰۶۵-۲۰۴۶ انجام شد. در این مرحله مدل با استفاده از رفتار اقلیم در دوره پایه و ریز مقیاس نمایی آماری داده‌های مدل گردش عمومی جو HADCM3 با استفاده از سه سناریو گزارش چهارم هیأت تغییر اقلیم (A1B، A2 و B1) اقدام به شبیه‌سازی نمود. جدول ۳ خلاصه‌ای از مشخصات سناریوهای انتشار یادشده را ارائه می‌دهد. بدین ترتیب مدل LARS-WG اجرا شده و مقادیر روزانه داده‌های اقلیمی بارش، دمای کمینه، دمای بیشینه و ساعت آفتابی برای دوره ۲۰۳۰-۲۰۱۱ و ۲۰۶۵-۲۰۴۶ شبیه‌سازی شد. سپس میانگین داده‌های روزانه خروجی مدل LARS-WG محاسبه شد. شایان ذکر است که میانگین ماهانه داده‌های اقلیمی دوره مشاهداتی (۱۹۷۰-۲۰۱۰) نیز جهت مقایسه و درک بهتر تغییرات اقلیمی آینده، نشان داده شده است.

به طور کلی تولید داده توسط مدل LARS-WG در سه مرحله صورت می‌گیرد. که عبارتند از: واسنجی داده‌ها، ارزیابی داده‌ها و تولید یا شبیه‌سازی داده‌های هواشناسی برای دوره آینده. نیاز اساسی مدل در مرحله واسنجی، فایلی است که مشخص کننده رفتار اقلیم در دوره گذشته می‌باشد. بر این اساس برای اجرای مدل، ابتدا با در نظر گرفتن دوره ۳۰ ساله (۱۹۷۰-۲۰۱۰) داده‌های مورد نیاز مدل، شامل مقادیر روزانه دمای کمینه، دمای بیشینه، بارش و ساعت آفتابی ایستگاه تحقیقات کشاورزی شهرستان پارس آباد مغان وابسته به مرکز تحقیقات کشاورزی و منابع طبیعی معان، در این دوره آماری پردازش و مرتب‌سازی شد و فایل‌های ورودی مدل برای دوره پایه تهیه شد بدین ترتیب مرحله واسنجی (تعريف داده‌های ورودی) به پایان رسید و در مرحله بعد اقدام به ارزیابی داده‌های تولید شده توسط مدل و داده‌های واقعی مشاهده شده (موجود در دوره پایه) شد و در نهایت در مرحله

جدول ۳- مشخصات سناریوهای A1B و A2 و B1
Table 3- Characteristics of scenarios A1B, A2 and B

| سناریو Scenario | فرضیه‌های اصلی در سناریو The main hypothesize in the scenario | غلهزت CO_2 (ppm) 2011-30 | غلهزت CO_2 (ppm) 2046-65 | غلهزت CO_2 (ppm) 2081-100 |
|--|--|---|---|--|
| جهان همراه با توسعه پایدار The world with sustainable development | B1 تغییر در ساختارهای اقتصادی، همراه با بهبود و افزایش سطح توجه به محیط‌زیست Changes in economic structures, along with improved environmental awareness | 410 | 492 | 538 |
| جهان ثروتمند The rich world | A1B این سناریو با رشد اقتصادی سریع (۲٪/رشد) توصیف می‌شود This scenario is characterized by rapid economic growth (2 % growth) | 418 | 541 | 674 |
| جهان جدا شده Isolated world | A2 مشخصات فرهنگی مناطق مختلف را تفکیک می‌کند Cultural characteristics of different regions are distinguished | 414 | 545 | 754 |

مختلف و همچنین برای سناریوهای تغییر اقلیم باشد.

داده‌های ورودی مدل

داده‌های اقلیمی: داده‌های اقلیمی شامل چهار بخش میزان تبخیر تعریق گیاه مرجع روزانه، دمای حداقل و حداکثر روزانه، مقادیر بارندگی روزانه و میانگین سالیانه غلهزت CO_2 است. از اطلاعات آماری ایستگاه هواشناسی اولتان مغان برای محاسبه تبخیر و تعریق مرجع ET₀ به روش پنمن مانیث (Allen *et al.*, 1998) استفاده شد. برای محاسبه غلهزت CO_2 موجود در اتمسفر از مقادیر محاسبه شده در مدل استفاده گردید. همچنین مقادیر بارندگی و دمای حداقل و حداکثر در فصل رشد به صورت روزانه به مدل داده شد.

داده‌های گیاهی: به طور کلی داده‌های گیاهی دارای دو نوع ورودی می‌باشند که برخی از آنها ثابت و برخی دیگر متغیر و غیرثابت

AquaCrop عملکرد گیاه

مدل AquaCrop یکی از کارآترین و جدیدترین مدل‌های گیاهی است که توسط سازمان خوار و بار جهانی (FAO) ارایه شده است. این مدل را می‌توان به عنوان ابزاری جهت ارزیابی تنش آبی و میزان محصول در منطقه، ارزیابی محصول کشت دیم در طولانی مدت، برنامه‌ریزی کم آبیاری و آبیاری تکمیلی به کار برد (Heydarinia *et al.*, 2012) (Steduto *et al.*, 2005). این مدل بیلان آب را به صورت روزانه محاسبه کرده و تعریق به تبخیر از سطح خاک و تعریق پوشش گیاهی توسعه یافته است. برای محاسبه تولید روزانه زیست‌توده از پارامتر بهره‌وری آب نرمال شده، استفاده می‌شود که پارامتری ثابت برای آب و گوا و گیاه معین، در نظر گرفته می‌شود تا مدل قادر به شبیه‌سازی در مکان‌ها، فضول

\bar{M} میانگین مقدار اندازه‌گیری شده است. هر دو شاخص برای نقاط داده‌های جمع‌آوری شده در طی فصل برای هر تیمار است. داده‌های شبیه‌سازی شده دوره آینده توسط مدل تولید داده LARS-WG به همراه مقادیر محاسباتی تبخیر و تعرق به عنوان ورودی مدل *AquaCrop* به کار گرفته شد. مدل با استفاده از داده‌های سال ۱۳۹۴ واسنجی و با داده‌های سال ۱۳۹۵ تحت تیمارهای مختلف آبیاری (I1=آبیاری نرمال، I2=قطع آبیاری در مرحله رشد رویشی، I3=قطع آبیاری در مرحله گل‌دهی و I4=قطع آبیاری در مرحله پر شدن دانه) و ژنوتیپ‌های مختلف ذرت دانه‌ای (C1=C2، SC704=SC705 و C3=SC703) صحت‌سنجی شد.

نتایج و بحث

ریز مقیاس نمایی داده‌های شبیه‌سازی شده دوره‌های آینده در این پژوهش، با استفاده از محاسبه ضریب تعیین و شاخص‌های خطاسنجی میانگین مجدور مربعات خطا RMSE و میانگین خطای مطلق MAE، اقدام به ارزیابی داده‌های تولید شده با استفاده از مدل LARS-WG و داده‌های مشاهده شده موجود در دوره پایه شد که نتایج آن در جدول ۴ آورده شده است.

نتایج ارزیابی آماری داده‌های شبیه‌سازی شده ویژگی‌های هواشناسی توسط مدل و داده‌های واقعی دوره پایه در جدول ۵ ارایه شده است. شاخص آماری ریشه میانگین مربعات خطا کوچک به دست آمدند. مقادیر کوچک‌تر این شاخص بیانگر وجود اختلاف کمتر بین مقادیر مشاهده شده و پیش‌بینی شده عوامل هواشناسی تولید شده توسط مدل LARS-WG می‌باشد. به منظور ارزیابی توانایی مدل در شبیه‌سازی اقلیم منطقه، آزمون‌های آماری توسط مدل برای ایستگاه مورد مطالعه اجرا گردید. آزمون t جهت تست همانندی برای میانگین بارش ماهانه و میانگین ماهانه دمای بیشینه و کمینه روزانه و آزمون F جهت ارزیابی واریانس ماهانه بارش اجرا شد. جدول ۶ نتایج آزمون‌های کلموگروف-سیمیرنوف، t و F را برای ایستگاه مورد مطالعه نشان می‌دهد. در این جدول، تعداد آزمون‌های خارج از سطح معنی‌داری (5 درصد) نسبت به کل آزمون در هر سری نشان داده شد. به عبارتی اگر مقدار P-value کمتر از سطح معنی‌داری (پنج درصد) باشد فرض صفر مبنی بر این که داده شبیه‌سازی شده همانند داده واقعی می‌باشد، رد می‌شود.

نتایج به دست آمده از آزمون آماری t نشان داد که دما هوا در ۱۱ ماه، در سطح احتمال پنج درصد اختلاف معنی‌داری بین داده‌های مشاهده شده و شبیه‌سازی شده توسط مدل وجود ندارد. همچنین، نتایج به دست آمده از آزمون آماری F نشان داد که در هیچ ماهی از سال، در سطح احتمال پنج درصد اختلاف معنی‌داری بین داده‌های مشاهده شده و شبیه‌سازی شده توسط مدل وجود ندارد.

هستند. برای داده‌های ثابت از مقادیر پیش‌فرض مدل برای گیاه ذرت که با تغییر مکان یا گذشت زمان تغییر نمی‌کنند استفاده شد و یا این که تغییرات بسیار کم و قابل چشم‌پوشی فرض شد و مقادیر داده‌های متغیر شامل پوشش گیاهی هر نهال هنگام جوانه‌زنی ۹۰ درصد، بیشینه‌ی رشد کانونی، عمق موثر ریشه، بهره‌وری آب، حد پایین آستانه‌ی شوری، حد بالای آستانه‌ی شوری، شاخص برداشت مرجع، مدت زمان کاشت تا جوانه‌زنی، مدت زمان کاشت تا بیشینه‌ی رشد، کانونی، مدت زمان کاشت تا برداشت محصول، مدت زمان کاشت تا دوره‌ی پیری، مدت زمان کاشت تا بلوغ به مدل وارد شد.

داده‌های خصوصیات خاک: داده‌های خصوصیات خاک برای ورودی مدل نظری بافت خاک زراعی و خصوصیات هیدرولیکی خاک نظری هدایت هیدرولیکی اشباع خاک، رطوبت‌های اشباع، ظرفیت مزروعه و پژمردگی دائم مورد نیاز است. مقادیر این ورودی‌ها با توجه به بافت خاک مزروعه‌ی آزمایشی به مدل داده شد. هدایت هیدرولیکی خاک برابر ۱۰۰ میلی‌متر بر ساعت، رطوبت اولیه‌ی خاک در حد پژمردگی دائم و شوری پروفیل خاک در سه لایه برابر با دو دسیزیمنس بر متر در نظر گرفته شد.

داده‌های مدیریت مزروعه: داده‌های مدیریت مزروعه به دو بخش اصلی تقسیم شده‌اند: ۱- مدیریت مزروعه و حاصلخیزی آن، ۲- مدیریت آبیاری.

حاصلخیزی مزروعه بدون محدودیت و به‌طور کامل در نظر گرفته شد. داده‌های مربوط به مدیریت آبیاری شامل روش آبیاری و مقادیر و کیفیت آب آبیاری در طول فصل رشد می‌باشد. از روش آبیاری جوی و پشت‌های در تیمارهای مختلف استفاده شد. به دلیل پیچیده و دشوار بودن تعیین پارامترهای گیاهی و دوره‌های زمانی رشد گیاه، از اطلاعات تیمار شاهد برای واسنجی مدل در تخمین عملکرد محصول استفاده شد.

ارزیابی مدل: جهت بررسی نتایج حاصل از مدل و نتایج مشاهده‌ای در سطح مزروعه و صحت‌یابی نتایج و ارزیابی قابل اعتماد بودن مدل، از شاخص‌های ارزیابی مزروعه‌ای (RMSE) شاخص توافق (d) و ضریب راندمان (E) طبق معادله‌های زیر استفاده شد (Jacovides and Kontoyiannis, 1995).

$$d = 1 - \frac{\sum_{i=1}^n (Si - Mi)^2}{\sum_{i=1}^n (|Si - \bar{M}| + |Mi - \bar{M}|)^2}$$

$$RMSE = \sqrt{\frac{1}{n} \sum_{i=1}^n (Si - Mi)^2} \times 100/\bar{M}$$

$$E = 1 - \frac{\sum_{i=1}^n (Mi - Si)^2}{\sum_{i=1}^n (Mi - \bar{M})^2}$$

که در آنها:

و M_i مقادیر شبیه‌سازی و اندازه‌گیری شده، n تعداد مشاهدات و Si

جدول ۴- شاخص‌های ارزیابی مدل LARS-WG
Table 4- LARS-WG model evaluation indicators

| پارامتر Parameter | MAE | RMSE | R ² |
|-----------------------------------|--------|--------|----------------|
| دما کمینه Minimum temperature | 0.145 | 0.1887 | 0.9995 |
| دما بیشینه Maximum temperature | 0.2107 | 0.2511 | 0.9995 |
| تابش Radiation | 0.1634 | 0.2355 | 0.9972 |
| بارش Precipitation | 4.0557 | 5.5066 | 0.8899 |

WG در شبیه‌سازی ویژگی‌های هواشناسی در تحقیقات بسیاری از Sayari *et al.*, 2011; Ansari *et al.*, 2015 محققین نیز به تأیید رسیده است (.

نتایج نشان داد که توانایی مدل LARS-WG در مدل‌سازی ویژگی‌های هواشناسی مناسب است و می‌توان از آن در شبیه‌سازی LARS-داده‌ها برای دوره آینده استفاده نمود. توانایی بالای مدل-

جدول ۵- ریشه میانگین مربعات خطای مدل‌های گردش عمومی در شبیه‌سازی دما و بارش در دوره پایه
Table 5- Root mean squares error of general circulation models in temperature and precipitation simulation in baseline period

| مدل‌های گردش عمومی General circulation models | GFCM2.1 | HadCM3 | INCM3 | IPCM4 | MPEH5 | NCCCSM |
|--|---------|--------|-------|-------|-------|--------|
| دما Temperature | 7.9 | 2.4 | 3.1 | 2.7 | 0.59 | 3.3 |
| بارش Precipitation | 1.15 | 0.76 | 0.77 | 0.79 | 0.28 | 0.6 |
| میانگین خطای Mean error | 4.5 | 1.59 | 1.94 | 1.78 | 0.43 | 1.95 |

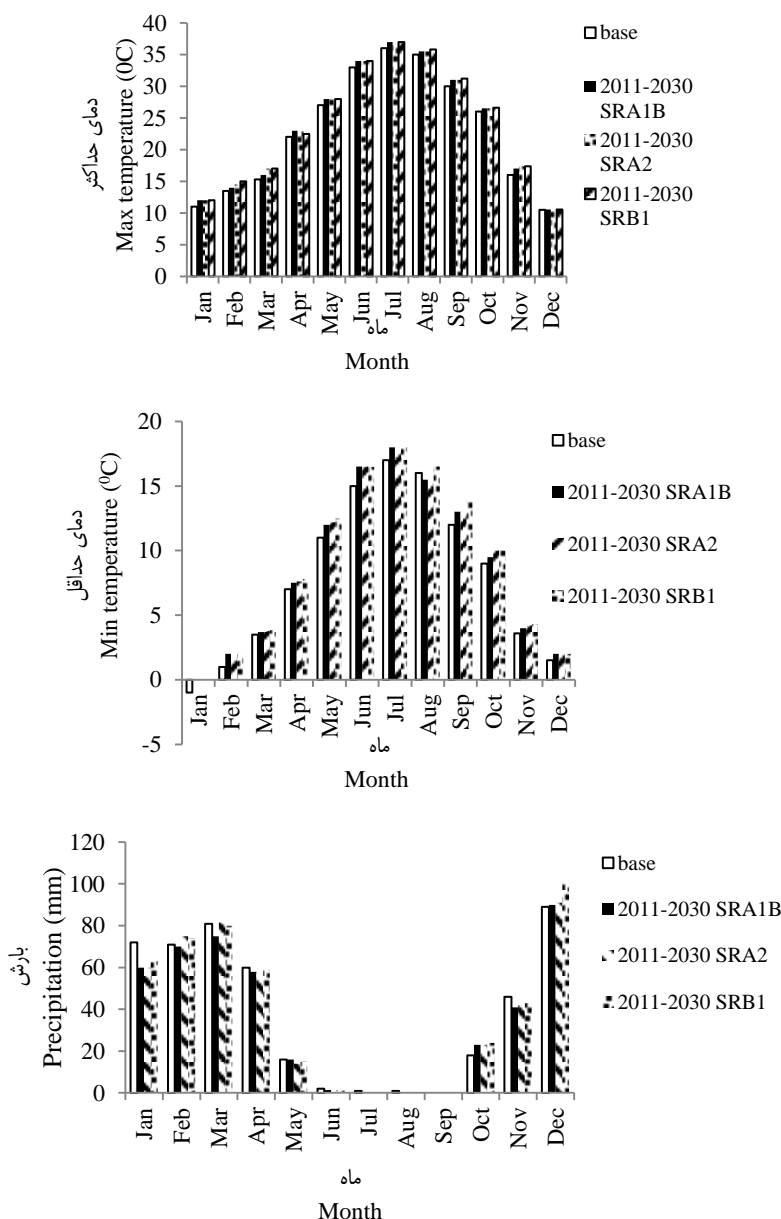
جدول ۶- نتایج آزمون‌های t و F در سطح احتمال ۵ درصد
Table 6- Results of t and F tests at 5% probability level

| ویژگی اقلیمی Climatic feature | میانگین بارش ماهانه Average Monthly Precipitation | واریانس بارش ماهانه Monthly Precipitation variances | میانگین ماهانه دمای حداقل Monthly average minimum temperature | میانگین ماهانه دمای حداکثر Monthly average maximum temperature | میانگین ماهانه دمای حداکثر Average monthly maximum temperature | |
|----------------------------------|--|--|--|---|---|--------|
| | | | | | t-test | t-test |
| آزمون آماری (Statistical test) | | | | | | |
| ماه شمسی | ماه میلادی | | | | | |
| Solar month | Christian month | | | | | |
| بهمن | ژانویه (January) | 0.99 | 0.17 | 0.52 | 0.29 | |
| اسفند | فوریه (February) | 0.99 | 0.34 | 0.9 | 0.29 | |
| فوردودین | مارس (March) | 0.55 | 0.21 | 0.18 | 0.91 | |
| اردیبهشت | آوریل (April) | 0.37 | 0.52 | 0.34 | 0.77 | |
| خرداد | ماهی (May) | 0.33 | 0.71 | 0.038 | 0.43 | |
| تیر | ژوئن (June) | 0.34 | 0.74 | 0.23 | 0.84 | |
| مرداد | جولای (July) | 0.15 | 0.22 | 0.25 | 0.83 | |
| شهریور | اگوست (August) | 0.34 | 0.09 | 0.6 | 0.13 | |
| مهر | سپتامبر (September) | 0.09 | 0.64 | 0.29 | 0.3 | |
| آبان | اکتبر (October) | 0.49 | 0.56 | 0.69 | 0.79 | |
| آذر | نوامبر (November) | 0.61 | 0.55 | 0.48 | 0.14 | |
| دی | دسامبر (December) | 0.42 | 0.83 | 0.39 | 0.44 | |

کاهش خواهد یافت. مقایسه میانگین ماهانه مقادیر شبیه‌سازی شده در سناریوهای ۲۰۱۱-۲۰۳۰، A1B، A2 و B1 با میانگین ماهانه مقادیر در دوره پایه (۱۹۷۰-۲۰۱۰) در شکل ۱ نشان داده شده است که در دوره ۲۰۱۱-۲۰۳۰ در تمام ماه‌ها نسبت به دوره پایه افزایش دما مشاهده شد.

مقایسه سناریوهای مختلف انتشار گازهای گلخانه‌ای (B1، A2، A1B)

با توجه به جدول ۷ در ایستگاه هوشنگی در دوره آماری ۲۰۱۱-۲۰۳۰ میلادی در مقایسه با دوره ۱۹۷۰-۲۰۱۰ میانگین ماهانه دمای به مقدار ۱/۴۱، ۱/۳۵ و ۱/۵۶ درجه سانتی‌گراد به ترتیب در سناریوهای A1B، A2 و B1 افزایش، میانگین ماهانه بارش به مقدار ۱۱ و ۱۵ میلی‌متر به ترتیب در سناریوهای A1B، A2 و B1 مشاهده شد.



شکل ۱ - مقایسه میانگین ماهانه مقادیر شبیه‌سازی شده دمای حداکثر و حداقل و بارش (۲۰۱۱-۲۰۳۰) نسبت به دوره پایه (۱۹۷۰-۲۰۱۰)
Figure 1- Comparison of the monthly average of simulated maximum and minimum temperature and precipitation (2011-2030) compared to the base period (1979-2010)

تغییر اقلیم دوره رشد گیاهان کوتاه‌تر خواهد شد که به نوع گیاهی و شدت تغییر اقلیم بستگی دارد (Ma et al., 2017; Ding et al., 2016). نتایج تحقیق ارزیابی اثر تغییر اقلیم بر گندم در دوره آماری ۲۰۷۱-۲۱۰۰ میلادی در شمال و مرکز تونس نشان داد که طول دوره رشد گندم کاهش می‌یابد (Lhomme et al., 2009). در تحقیقی دیگر نیز نشان داده شد که تحت تغییر اقلیم در آینده، طول دوره کاشت تا گلدهی و همچنین طول دوره رسیدگی ذرت تحت تأثیر تغییر اقلیم در سناریوهای مورد استفاده کاهش خواهد یافت (Moradi et al., 2013). در پژوهشی اثر تغییر اقلیم بر رشد و عملکرد نخود (Cicer arietinum L.) نشان داده شد که دوره رشد گیاه در اثر افزایش دما ۱۰ تا ۱۳ درصد کاهش می‌یابد (Soltani and Koocheki and Nassiri, 2006). در تحقیقی دیگر تأثیر تغییر اقلیم بر چندرقدن (Beta vulgaris) در ایران مشاهده شد که افزایش میانگین دما در طی کل فصل رشد چندرقدن باعث کاهشی معادل ۱۵ درصد در طول دوره کاشت تا رسیدگی گیاه می‌شود (Mahallati, 2016).

اثر تغییر اقلیم بر عملکرد و ماده خشک گیاه ذرت

عملکرد دانه و ماده خشک شبیه‌سازی شده در دوره پایه (۲۰۱۰-۱۹۸۰) و دوره آینده در تیمارهای مختلف به ترتیب در جداول ۹ و ۱۰ ارائه شده است. متوسط عملکرد در دوره پایه ۵۴۹۷ کیلوگرم بر هکتار، در دوره (۲۰۱۱-۲۰۳۰) در سناریوهای A1B، A2 و B1 به ترتیب ۵۱۴۶، ۴۶۴۰ و ۵۰۵۴ کیلوگرم بر هکتار و در دوره (۲۰۴۶-۲۰۶۵) در سناریوهای A1B، A2 و B1 به ترتیب ۴۸۵۸ و ۴۷۵۵، ۴۸۳۷ و ۴۷۱۲ کیلوگرم بر هکتار به دست آمد. متوسط ماده خشک در دوره پایه ۱۳۰۴۸ کیلوگرم بر هکتار در دوره (۲۰۱۱-۲۰۳۰) در سناریوهای A1B، A2 و B1 به ترتیب ۱۰۷۱۲، ۱۰۷۱ و ۱۰۵۱۴ کیلوگرم بر هکتار و در دوره (۲۰۴۶-۲۰۶۵) در سناریوهای A1B، A2 و B1 به ترتیب ۱۰۶۱۲، ۱۰۵۹۰ و ۱۰۶۷۳ کیلوگرم بر هکتار به دست آمد. بنابراین، می‌توان نتیجه گرفت که تغییر اقلیم موجب کاهش عملکرد و ماده خشک ارقام ذرت در منطقه دشت مغان خواهد شد.

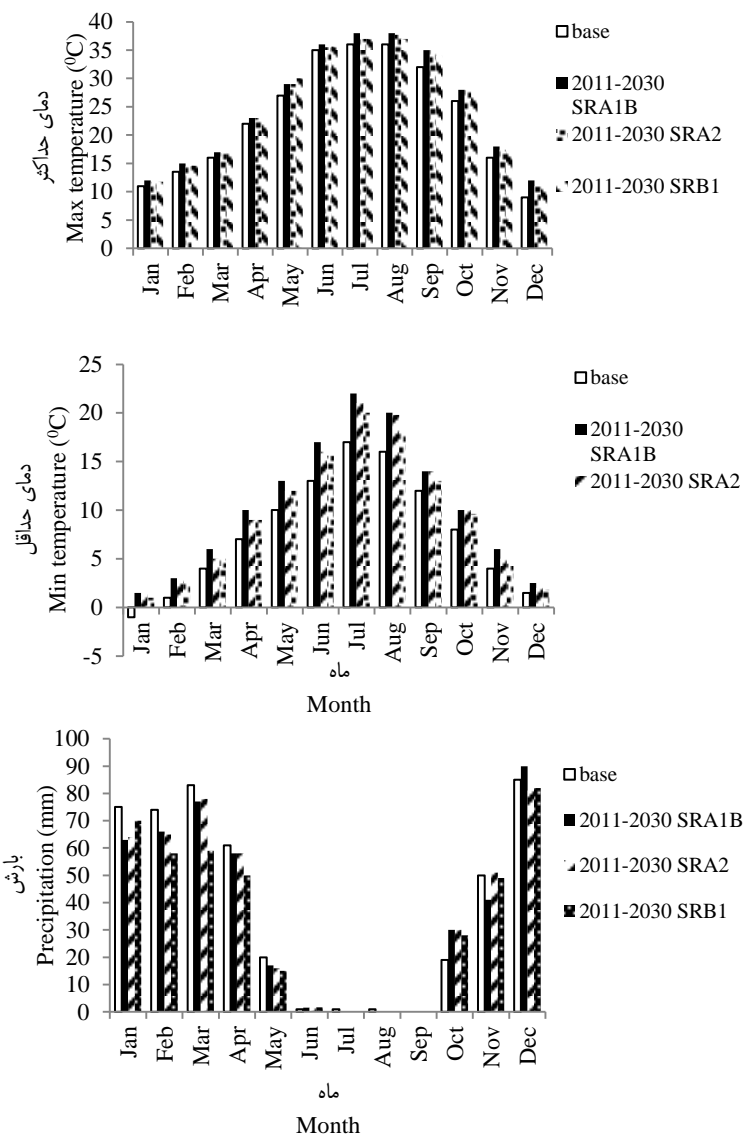
با توجه به جدول ۷ در دوره آماری ۲۰۴۶-۲۰۶۵ میلادی در مقایسه با دوره ۱۹۷۰-۲۰۱۰ میانگین ماهانه دمای به مقدار ۲/۹ و ۲/۳۲ درجه سانتی‌گراد، به ترتیب در سناریوهای B1، A2 و A1B افزایش خواهد یافت. همچنین در طی این دوره، مقدار کاهش بارندگی به مقدار ۱۸، ۱۵ و ۱۴ میلی‌متر به ترتیب در سناریوهای A1B، A2 و B1 پیش‌بینی شد.

در شکل ۲ مقایسه میانگین ماهانه مقادیر شبیه‌سازی شده (۲۰۴۶-۲۰۶۵) دمای حدکثرا و حداقل و بارش در سناریوهای A1B و A2 و B1 با میانگین ماهانه مقادیر در دوره پایه (۱۹۷۰-۲۰۱۰) نشان داده شده است. نتایج نشان داد در دوره ۲۰۴۶-۲۰۶۵ در تمام ماهها دما نسبت به دوره پایه دما افزایش خواهد یافت. به طور کلی با توجه به نتایج بدست آمده، دما در دوره‌ی (۲۰۴۶-۲۰۶۵) نسبت به دوره‌ی (۲۰۱۱-۲۰۳۰) بیشتر افزایش داشت که نشان‌دهنده افزایش دما در اثر تغییر اقلیم می‌باشد. در دوره‌ی (۲۰۱۱-۲۰۳۰) سناریوی B1 نسبت به دو سناریوی دیگر افزایش دمای بیشتری را نشان داد. در دوره‌ی (۲۰۴۶-۲۰۶۵) سناریوی A1B نسبت به دو سناریوی دیگر افزایش دمای بیشتری را نشان داد. بارش در دوره (۲۰۱۱-۲۰۳۰) در هر سه سناریو کاهش نشان داد، بنابراین بارش در اثر تغییر اقلیم در حال کاهش است که سناریوی B1 نسبت به دو سناریوی دیگر دارای کاهش بارش بیشتری است. افزایش دما و کاهش بارش در اثر تغییر اقلیم در آینده در تحقیقات سایر محققین نیز گزارش شده است (Mesbahboani et al., 2005; Zarghami et al., 2011).

نتایج بررسی اثرات تغییر اقلیم بر ویژگی‌های گیاهی

اثر تغییر اقلیم بر طول دوره رشد ذرت

در جدول ۸ طول دوره رشد ذرت در دوره پایه ۱۹۸۰-۲۰۱۰ و دوره آینده ۲۰۱۱-۲۰۳۰ و ۲۰۴۶-۲۰۶۵ در ارقام مختلف ذرت ارائه شده است. با توجه به نتایج شبیه‌سازی در ارقام، طول دوره رشد ذرت تحت اقلیم آینده کاهش پیدا می‌کند. متوسط دوره رشد در دوره پایه ۱۲۲ روز، در دوره ۲۰۱۱-۲۰۳۰ در هر سه سناریو ۱۱۹ روز و در دوره ۲۰۴۶-۲۰۶۵ در هر سه سناریو ۱۱۶ روز به دست آمد. کاهش طول دوره رشد ارقام ذرت در دوره ۲۰۴۶-۲۰۶۵ بیشتر از دوره ۲۰۱۱-۲۰۳۰ بود. نتایج تحقیقات مختلف نیز نشان داد که در شرایط



شکل ۲- مقایسه میانگین ماهانه مقادیر شبیه‌سازی شده دمای حداکثر و حداقل و بارش (۲۰۶۵-۲۰۴۶) نسبت به دوره پایه
Figure 2- Comparison of the average monthly simulated maximum and minimum temperature and rainfall (2046-2065) compared to the base period

را برای تغییر اقلیم آینده در منطقه مغان توصیه نمود. افزایش دما و کاهش بارندگی سبب خواهد شد گیاه در مدت زمان کمتری مراحل رشد فنولوژیک خود را پشت سر بگذارد و همین امر موجب کاهش محصول و عملکرد آن، در نتیجه بهم خوردن توازن مراحل رشد فنولوژیک خواهد شد و در نهایت کاهش عملکرد و بیomas کل ارقام ذرت در اثر تغییر اقلیم در آینده در منطقه مغان رخ خواهد داد.

Moradi *et al.* (2013) با بررسی اثرات تغییر اقلیم بر رشد و عملکرد ذرت در منطقه مشهد به نتایج مشابهی دست یافته‌ند و کاهش عملکرد ذرت تحت اقلیم آینده مشهد را ناشی از کاهش طول دوره رشد گزارش کردند.

کاهش عملکرد در دوره (۲۰۱۱-۲۰۳۰) در سناریوهای A2 و B1 به ترتیب ۱۶ و ۹ درصد و در دوره (۲۰۴۶-۲۰۶۵) در سناریوهای A2، A1B و B1 به ترتیب ۱۲، ۲۲ و ۱۸ درصد است. کاهش ماده خشک در دوره (۲۰۱۱-۲۰۳۰) در سناریوهای A2 و B1 به ترتیب ۴ و ۷ درصد و در دوره (۲۰۴۶-۲۰۶۵) در سناریوهای A1B و B1 به ترتیب ۱۳ و ۱۴ درصد است. به طور کلی نتایج نشان داد که سناریوی B1 در مدل گردش عمومی HadCM3 نسب به دیگر سناریوهای دارای کمترین کاهش عملکرد در مقایسه با شرایط کنونی بود (جدول ۹ و ۱۰). در بین ارقام مورد مطالعه در این تحقیق مشاهده می‌شود که رقم ۷۰۴ نسبت به سایر ارقام ذرت دارای کاهش رشد و عملکرد کمتری نسبت به رقم‌های دیگر می‌باشد و می‌توان این رقم

جدول ۸- طول دوره رشد ارقام ذرت در دوره پایه (۱۹۸۰-۲۰۱۰) و دوره‌های آینده (۲۰۱۱-۲۰۳۰) و (۲۰۴۶-۲۰۶۵)

Table 8- Growth period of corn cultivars during the base period (1980-89) and future periods (2011-2030) and (2046-2065)

| واریته Variety | طول دوره رشد ۱۹۸۰-۲۰۱۰ Growth period (day) 1980-2010 | طول دوره رشد ۲۰۱۱-۲۰۳۰ Growth period (day) 1980-2010 | | | طول دوره رشد ۲۰۴۶-۲۰۶۵ Growth period (day) 2046-2065 | | |
|--------------------|--|---|------|------|---|------|------|
| | | SRA1B | SRA2 | SRB1 | SRA1B | SRA2 | SRB1 |
| | | 120 | 119 | 119 | 118 | 115 | 115 |
| SC705 | 120 | 119 | 119 | 118 | 115 | 115 | 116 |
| SC704 | 120 | 117 | 177 | 116 | 114 | 114 | 114 |
| SC703 | 125 | 122 | 122 | 120 | 118 | 118 | 119 |
| متوسط (Average) | 122 | 119 | 119 | 118 | 116 | 116 | 116 |
| سازیو :SR | | | | | | | |

جدول ۹- عملکرد دانه ارقام ذرت در دوره پایه (۱۹۸۰-۲۰۱۰) و دوره‌های آینده (۲۰۱۱-۲۰۳۰) و (۲۰۴۶-۲۰۶۵)

Table 9- Grain yield of maize cultivars during the base period (1980-1989) and future periods (2030-2011) and (2046-2065)

| واریته Variety | متوسط عملکرد ۱۹۸۰-۲۰۱۰ Average yield (kg.ha ⁻¹) 1980-2010 | متوسط عملکرد ۲۰۱۱-۲۰۳۰ Average yield (kg.ha ⁻¹) 2011-2030 | | | متوسط عملکرد ۲۰۴۶-۲۰۶۵ Average yield (kg.ha ⁻¹) 2046-2065 | | |
|--------------------|---|--|------|------|--|------|------|
| | | SRA1B | SRA2 | SRB1 | SRA1B | SRA2 | SRB1 |
| | 5515 | 5098 | 4850 | 5008 | 5035 | 4770 | 5050 |
| SC705 | 5515 | 5098 | 4850 | 5008 | 5035 | 4770 | 5050 |
| SC704 | 5657 | 5161 | 5132 | 5069 | 5354 | 5364 | 5395 |
| SC703 | 5321 | 5180 | 3939 | 5085 | 4121 | 4131 | 4130 |
| متوسط (Average) | 5497 | 5146 | 4640 | 5054 | 4837 | 4755 | 4858 |
| سازیو :SR | | | | | | | |

جدول ۱۰- بیوماس کل ارقام ذرت در دوره پایه (۱۹۸۰-۲۰۱۰) و دوره‌های آینده (۲۰۱۱-۲۰۳۰) و (۲۰۴۶-۲۰۶۵)

Table 10- Biomass of maize cultivars during the base period (1980-1989) and future periods (2030-2011) and (2046-2065)

| واریته Variety | متوسط بیوماس کل ۱۹۸۰-۲۰۱۰ Average yield (kg.ha ⁻¹) 1980-2010 | متوسط بیوماس کل ۲۰۱۱-۲۰۳۰ Average yield (kg.ha ⁻¹) 2011-2030 | | | متوسط بیوماس کل ۲۰۴۶-۲۰۶۵ Average yield (kg.ha ⁻¹) 2046-2065 | | |
|--------------------|--|---|-------|-------|---|-------|-------|
| | | SRA1B | SRA2 | SRB1 | SRA1B | SRA2 | SRB1 |
| | 12052 | 10600 | 10182 | 10406 | 10607 | 10682 | 10691 |
| SC705 | 12052 | 10600 | 10182 | 10406 | 10607 | 10682 | 10691 |
| SC704 | 14038 | 10793 | 10683 | 10591 | 11115 | 11138 | 11205 |
| SC703 | 13055 | 10742 | 9648 | 10545 | 10047 | 10071 | 10124 |
| متوسط (Average) | 13048 | 10712 | 10171 | 10514 | 10590 | 10612 | 10673 |
| سازیو :SR | | | | | | | |

حساس رشد ذرت مثل تولید تاسل و ابریشم منجر به کاهش عملکرد ذرت در این شرایط می‌گردد. Daccache *et al.* (2011)

گزارش کردند که افزایش دما به طور Richard *et al.* (2015) غیر مستقیم و از طریق تاثیر بر طول مراحل فنولوژیکی و نیز مراحل

نتیجه‌گیری

نتایج تحقیق نشان داد که، در دوره آماری ۲۰۱۱-۲۰۳۰ میلادی در مقایسه با دوره ۱۹۷۰-۲۰۱۰ میانگین ماهانه دمای به مقدار ۱/۴۱ درجه سانتی‌گراد بهترین ترتیب در سناریوهای A1B، A2، ۱/۳۵ و ۱/۵۶ درجه سانتی‌گراد بهترین ترتیب در سناریوهای B1 افزایش، میانگین ماهانه بارش به مقدار ۱۱ و ۱۵ میلی‌متر بهترین ترتیب در سناریوهای A1B، A2 و B1 کاهش خواهد یافت و در دوره آماری ۲۰۴۶-۲۰۶۵ میلادی در مقایسه با دوره ۱۹۷۰-۲۰۱۰ میانگین ماهانه دمای به مقدار ۲/۹ و ۲/۳۲ درجه سانتی‌گراد بهترین ترتیب در سناریوهای A1B، A2 و B1 افزایش خواهد یافت. همچنین در طی این دوره، مقدار کاهش بارندگی به مقدار ۱۸، ۱۵ و ۱۴ میلی‌متر بهترین ترتیب در سناریوهای A1B و B1 پیش‌بینی شد. نتایج شیبیه‌سازی عملکرد دانه و بیوماس کل ارقام ذرت تحت تاثیر مدیریت‌های آبیاری با استفاده از مدل AquaCrop نشان داد که متغیرهای آماری ریشه میانگین مربعات خطای عملکرد دانه و ماده خشک در سال‌های ۱۳۹۴ و ۱۳۹۵، بهترین ۴۱۳ و ۸۹۱ کیلوگرم در هکتار می‌باشد. مقدار ریشه میانگین مربعات خطای نرمال شده عملکرد دانه و ماده خشک بهترین ۱۱ و ۱۰ درصد به دست آمد. همچنین با استفاده از داده‌های هواشناسی آینده مغان، طول دوره رشد هر سه رقم تحت سناریوهای مختلف تغییر اقلیم کاهش یافت که کاهش طول دوره رشد سینگل کراس ۷۰۴ نسبت به سینگل کراس ۷۰۵ و ۷۰۳ کمتر بود. علاوه بر این، عملکرد در دوره (۲۰۱۱-۲۰۳۰) در سناریوهای A2 و B1 بهترین ۱۶ و ۹ درصد و در دوره (۲۰۴۶-۲۰۴۶) در سناریوهای A1B و B1 بهترین ۱۲، ۲۲ و ۱۸ درصد کاهش یافت. همچنین کاهش ماده خشک در دوره (۲۰۱۱-۲۰۳۰) در سناریوهای A2 و B1 بهترین ۴ و ۷ درصد و در دوره (۲۰۴۶-۲۰۴۶) در سناریوهای A1B، A2 و B1 بهترین ۱۳، ۱۴ و ۱۲ درصد بود. بنابراین در اقلیم آینده مغان که با افزایش دما و کاهش بارندگی مواجه خواهد شد کشت گیاهان پر مصرف از نظر نیاز آبی توصیه نمی‌گردد و در مورد ذرت به خاطر مقاوم بودن به گرما بهتر از ارقام سازگار به شرایط آینده معان استفاده کرد که در بین ارقام مورد مطالعه در این تحقیق مشاهده شد که ذرت رقم سینگل کراس ۷۰۴ نسبت به سایر ارقام ذرت دارای کاهش طول دوره رشد، عملکرد دانه و زیست‌توده کمتری نسبت به رقم‌های دیگر بود و می‌توان این رقم را برای تغییر اقلیم آینده در منطقه مغان پیشنهاد داد.

سپاسگزاری

نگارندگان مقاله از کمک‌های بسیاری دریغ آقایان مهندس حسین سمندر و پیمان رستمی در زمینه اجرای کارهای مزرعه‌ای کمال سپاسگزاری را دارند.

تأثیر تغییر اقلیم بر رشد و نیاز آبی گیاهان گندم و ذرت نتیجه گرفتند که بالا رفتن دما باعث افزایش سرعت رشد فیزیولوژیکی هر دو گیاه می‌شود و این خود باعث زودرس شدن این محصولات و در نتیجه کاهش دوره رشد و عملکرد دانه و زیست‌توده می‌شود. (Soleymani et al., 2011) با بررسی رخداد پدیده تغییر اقلیم در آینده، دوره زمانی مناسب برای کاشت گندم بین ۱ تا ۳۱ روز افزایش و طول دوره رشد گیاه بین ۲ تا ۲۹ روز کوتاه‌تر خواهد شد که این امر موجب تقلیل عملکرد دانه و زیست‌توده گیاه خواهد شد. (Li et al., 2011) با شیبیه‌سازی عملکرد بیولوژیکی و عملکرد دانه ذرت در شیبیه‌سازی (AquaCrop) نتیجه گرفتند که مدل به خوبی تغییرات عملکرد ذرت را در اثر تغییرات بارندگی و درجه حرارت شیبیه‌سازی می‌کند. داده‌های شیبیه‌سازی شده نشان داد که عملکرد بیولوژیکی و عملکرد دانه ذرت با افزایش درجه حرارت از حد مطلوب و کاهش بارندگی به تدریج کاهش یافت. آن‌ها نتیجه گرفتند که مدل مذکور برای پیش‌بینی عملکرد ذرت در سناریوهای اقلیمی مشابه با منطقه مورد بررسی قابل کاربرد است. در تحقیقی در زمینه شیبیه‌سازی تولید ارقام گندم در اثر تغییر اقلیم در مشهد نشان داده شد که تغییر اقلیم باعث کاهش عملکرد دانه گندم تا ۳۰ درصد خواهد شد (Koocheki et al., 2006). در تحقیقی دیگر در رابطه با تأثیر تغییر اقلیم بر کشاورزی ایران مشاهده شد که میانگین عملکرد گندم، ذرت، خواهند یافت (Koocheki and Nassiri Mahallati, 2016). در تحقیقی (Chen et al., 2012) تأثیر تغییر اقلیم را در استان شان دانگ از کشور چین بر روی ذرت تابستانه مورد بررسی قرار دادند، آنها گزارش کردند که در اقلیم آینده چین افزایش دما و کاهش بارندگی را خواهیم داشت و برای مقابله با این پدیده، استفاده از ارقام سازگار ذرت و کم‌آبی را بهترین استراتژی گزارش کردند. همچنین آنها به این نتیجه رسیدند که عملکرد ذرت ارقام مورد بررسی بهویژه ارقام بومی نسبت به سایر ارقام تحت اقلیم آینده چین (که با افزایش دما مواجه خواهد شد) بهدلیل کوتاه‌تر شدن فصل رشد کاهش می‌یابد. (Li et al., 2011) با بررسی اثر تغییر اقلیم بر ذرت در دو کشور ایالت متحده آمریکا و چین گزارش کردند که مدل AquaCrop توافقی پیش‌بینی عملکرد دانه و زیست‌توده را به خوبی دارد و تحت اقلیم آینده دو کشور مورد بررسی کاهش عملکرد ذرت و طول دوره رشد را خواهیم داشت که این امر بهدلیل افزایش دما، کاهش بارندگی و افزایش دی‌اکسید کربن جو خواهد بود.

References

1. Abkar, A., Habibnajad, M., Solaimani, K., and Naghavi, H. 2013. Investigation efficiency SDSM model to simulate temperature indexes in arid and semi-arid regions. *Water and Irrigation Engineer Journal* 4 (14): 1-17. (in Persian).
2. Allen, R. G., Pereira, L. S., Raes, D., and Smith, M. 1998. "Crop evapotranspiration. Guidelines for computing crop water requirements", *Irrigation and Drainage paper no. 56*. FAO, Rome, 1998.
3. Ansari, H., Khadivi, M., Salehnia, N., and Babaeian, I. 2015. Evaluation of Uncertainty LARS Model under Scenarios A1B, A2 and B1 in Precipitation and Temperature Forecast (Case Study: Mashhad Synoptic Stations). *Iranian Journal of Irrigation and Drainage* 4 (8): 664-672. (in Persian).
4. Ashraf, B., Alizadeh, A., Mousavi Baygi, M., and Bannayan Awal, M. 2014. Verification of Temperature and Precipitation Simulated Data by Individual and Ensemble Performance of Five AOGCM Models for North East of Iran. *Journal of Water and Soil* 28 (2): 253-266. (in Persian).
5. Babalola, O. S., and Akinsanola, A. A. 2016. Change Detection in Land Surface Temperature and Land Use Land Cover over Lagos Metropolis, Nigeria. *Journal of Remote Sensing* 5: 2-19.
6. Chen, G., Liu, H., Zhang, J., Liu, Peng, and Dong, S. 2012. Factors affecting summer maize yield under climate change in Shandong Province in the Huanghuaihai Region of China. *International Journal of Biometeorology*. 56: 621-629.
7. Daccache, A., Weatherhead, E. K., Stalham, M. A., and Knox, J. W. 2011. Impacts of climate change on irrigated potato production in a humid climate. *Journal of Agriculture and Forest Meteorology* 151(7):1641-1653.
8. Ding, D., Feng, H., Zhao, Y., Liu, W., Chen, H., and He, J. 2016. Impact assessment of climate change and later-maturing cultivars on winter wheat growth and soil water deficit on the Loess Plateau of China. *Climate Change* 138: 157-171.
9. Doorenbos, J., and Kassam, A. H. 1979. Yield response to water. *Irrigation and Drainage paper no.33*. FAO, Rome.
10. Hajarpour, A., Soltani, A., Zeinali, E., and Sayyedi, F. 2013. Simulating the impact of climate change on production of Chickpea in rainfed and irrigated condition of Kermanshah. *Journal of Plant Production* 20 (2): 235-252. (in Persian).
11. Hatfield, J. L., Boote, K. J., Kimball, B. A., Ziska, L. H., Izaurrealde, R. C., Ort, D., Thomson A. M., and Wolfe, D. 2011. Climate Impacts on Agriculture: Implications for Crop Production. *Agronomy Journal* 103: 351-370.
12. Heydarinia, M., Nasery, A. A., and Borumand, S. 2012. Investigating the applicability of Aqua Crop model in plantation of sunflower irrigation in Ahvaz. *Journal Mnagement System* 5 (4): 37-50. (in Persian).
13. Intergovernmental Panel on Climate Change (IPCC). Available online: http://ipcc.ch/publications_and_data/publications_and_data_reports.shtml (accessed on 20 April 2016).
14. Jacovides, C. P., and Kontoyiannis, H. 1995. "Statistical procedures for the evaluation of Evapotranspiration computing models". *Agricultural Water Management* 27: 365-371.
15. Koocheki, A., and Nassiri Mahallati, M. 2016. Climate Change Effects on Agricultural Production of Iran: II. Predicting Productivity of Field Crops and Adaptation Strategies. *Iranian Journal of Field Crops Research* 14 (1): 1-20. (in Persian).
16. Koocheki, A., Nassiri, M. Soltani, A. Sharifi, H., and R. Ghorbani. 2006. Effects of climate change on growth criteria and yield of sunflower and chickpea crops in Iran. *Journal of Climate Research* 14: 247-253.
17. Lhomme, J. P., Mougou, R., and Mansour, M. 2009. Potential impact of climate change on durum wheat cropping in Tunisia. *Climate Change* 96 (4): 549-564.
18. Li, X., Takahashi, T., Suzuki, N., and Kaiser, H. M 2011. The impact of climate change on maize yields in the United States and China. *Agricultural Systems* 104: 348-353.
19. Ma, L., Ahuja, L. R., Islamb, A. T. J., Troutc, S. A., Saseendrand, R., and Malonee, W. 2017. Modeling yield and biomass responses of maize cultivars to climate change under full and deficit irrigation. *Agricultural Water Management* Journal 180: 88-98.
20. Mesbahboani, A. R., and Morid, S. 2005. Climate change effects on water resources and agricultural production. Case study: Isfahan Zayandeh-Doud Basin. *Iranian Water Resources Research Journal* 1 (4): 40-47. (in Persian).
21. Moradi, R, Koocheki, A., and Nassiri Mahallati, M. 2013. Effect of Climate Change on Maize Production and Shifting of Planting Date as Adaptation Strategy in Mashhad. *Journal of Agricultural Science and Sustainable Production* 3 (4):111-131. (in Persian).
22. Nasiry, Sh., Shamsnia, A., and Aflatuni, M. 2014. Simulation of yield in wheat field using Aqua Crop model (Case study: Chaharmahal-Bakhtiari: Shahrekord, Borujen areas). 2sd National Conference on Water Crisis, Shahrekord University. April 8-9, 2014.
23. Raymond, C. L., Peterson, D. L., and Rochefort, R. M. 2014. Climate Change Vulnerability and Adaptation in the North Cascades Region, Washington; General Technical Report-Pacific Northwest Research Station; USDA Forest Service: Washington, DC, USA, 2014; pp. 1-279.

24. Richard, C., Sicher, K., and James, A. 2015. The Impact of Enhanced Atmospheric CO₂ Concentrations on the Responses of Maize and Soybean to Elevated Growth Temperatures. Springer International Publishing Switzerland 2015. Food production under SRES emissions and socio-economic scenarios. Global Environment Change 14: 53-67.
25. Rootaei, M., Sohrabi, T., Massah Bavani, A., and Ahadi, M. S. 2012, "Risk Evaluation of Biomass Yield of Corn Affected by Climate Change", Journal of Water Research in Agriculture 26 (4): 425-438. (in Persian).
26. Roustaie, M., Sohraby, T., Mesbah Boani, A., and Ahadi, M. S. 2011. Risk assessment of maize biomass yield under the influence of climate change (Case study: Pakdasht, Iran). 1st National Conference on Meteorology and Water Management. Novomber 5-6, 2011. 11 pages. (in Persian).
27. Roustaie, M., Sohraby, T., Mesbah Boani, A., and Ahadi, M. S. 2012. Risk assessment of maize biomass yield under the influence of climate change. Journal of Water Research in Agriculture 4 (26): 425-438. (in Persian).
28. Sayari, N., Alizadeh, A., Banayan, M., Farid Hoseiny, A., and Hesami Kermani, M. R. 2011. Investigation of drought trend under climate change conditions in Kashfrud basin in future periods using model of HadCM3 and two scenarios of A2 and B2. Journal of Climatology 2 (7-8): 22-42. (in Persian).
29. Soleymani Nanadegani, M., Parsinejad, M., Araghinejad, Sh., and Massah Bavani, A. 2011. Study on Climate Change Effect on Net Irrigation Requirement and Yield for Rainfed Wheat (Case Study: Behshahr). Journal of Water and Soil 25 (2): 389-397. (in Persian).
30. Soltani, A., and Gholipoor, M. 2006. Simulating the impact of climate change on growth, yield and water use of chickpea. Journal of Agriculture Science and Nature Resources 13 (2): 1-11. (in Persian).
31. Steduto, P., Raes, D., Hsiao, T. C., Fereres, E., Heng, L., Izzi, G., and Hoogeveen, J. 2005. "AquaCrop: a new model for crop prediction under water deficit conditions". Options Méditerranéennes. 80: 202-214.
32. Steduto, P., Raes, D., Hsiao, T. C., Fereres, E., Heng, L., Izzi, G. and Hoogeveen, J. 2015. "AquaCrop: a new model for crop prediction under water deficit conditions". Options Méditerranéennes 80: 220-230.
33. Steduto, P., Raes, T., Hsiao, T. C. Fereres, E., Heng, L., Izzi, G., and Hoogeveen, J. 2009. AquaCrop: a new model for crop prediction under water deficit conditions. Options Mediterranennes 80: 285-292.
34. Tacarindua, C. R., Shiraiwa, T., Homma, K., Kumagai, E., and Sameshima, R. 2013. The effects of increased temperature on crop growth and yield of soybean grown in a temperature gradient chamber. Field Crops Research 154 (1):74-81.
35. Vatankhah Sadat, A. 2009. Feasibility regions cultivation of citrus in Prsabad Moghan. M.Sc., Thesis. Azad University, Ahar branch, 95 p.
36. Wilcox, J., and Makowski, D. 2014. A meta-analysis of the predicted effects of climate change on wheat yield using simulation studies. Field Crops Research 156 (2): 180-190.
37. Zarghami, M., Abdi, A., Babaian, I., Hasanzadeh, Y., and Kanani, R. 2011. Impacts of climate change on runoffs in East Azerbaijan, Iran. Global and Planetary Change 78: 137-146.



Simulation the Effect of Climate Change on Growth Period and Yield of three Hybrids of Maize (*Zea mays*) under Low Irrigation Conditions (Case study: Moghan Plain)

A. A. Rostami Ajirloo^{1*}, M. R. Asgharipour², A. Ganbari³, M. Joudi⁴, M. Khoramivafa⁵

Received: 21-04-2018

Accepted: 21-07-2018

Introduction: According to the present state of climate science, the increase in greenhouse gas concentrations will result in changes of the climate parameters; particularly, an increase of the global temperature and changes in precipitation are expected. These changes in climate, which are likely to occur during future decades, may have significant consequences (positive or negative) on the development, growth, and crops yield. Climate change and its impacts on water resources is known as one of the most important challenges which human would be faced with it in future century. Future climate change in each region can be predicted through the models of the Global Circulation Model (GCM). It is also possible to investigate the effect of climate change on the yield and the water requirement of plants using performance predictive models as Aquacrop model. The main objective of this study is to assess the effect of climate change on the future climate of Moghan plain and also, simulation three corn hybrids parameters such as grain yield, biomass yield and growth period of corn, under different irrigation treatments.

Materials and Methods: In this study, AquaCrop model was used to simulate grain yield and biomass of different maize hybrids under the future climate in different irrigation treatments. For this purpose, rainfall data, minimum temperature, maximum temperature and sunshine model of the LARS-WG fine-scale model with using six general circulation models (ADCM3, HadCM3, IPCM4, GFCM2, NCCCSM INCM3), for which three scenarios the fourth report of the Climate Change Board (A1B, A2, and B1) was predicted and reviewed for the Moghan region during 1970-2010, 2011-2030 and 2046-2065. AquaCrop model was calibrated and validated by field data (2015 and 2016 year), corn plants collected in the area. Then, the grain and biomass yield values in the upcoming periods for different irrigation treatments (I1 = normal irrigation, I2 = irrigation cut off at vegetative growth stage, I3 = irrigation cut during flowering stage and I4 = irrigation cut off at the seed filling stage) different maize hybrids (C1 = SC704, C2 = SC703 and C3 = SC705).

Results and Discussion: According to the results, in the statistical period of 2011-2030 compared base periods (1970-1999), the average monthly temperature was 1.41, 1.35, and 1.66 °C, respectively for scenarios A1B, A2, and B1. Also, the average monthly rainfall will be reduced to 6, 11 and 15 mm, respectively, for scenarios A1B, A2 and B1, and during 2046-2065 periods, compared to period of 1979-2010. Furthermore, the monthly average of the temperature will be increased to 2.9, 2.69 and 2.32 °C respectively, for scenarios A1B, A2 and B1. During this period, the amount of rain reduction was estimated at 18, 15 and 14 millimeters, respectively, in scenarios A1B, A2, and B1. The results of simulation of grain yield and total biomass of maize cultivars under the influence of irrigation administrations using AquaCrop model showed that the root mean square variables of seed and dry matter yield errors in years 2015 and 2016 were 413 and 891 kg.ha⁻¹. The root mean square mean of normalized error of seed and dry matter yield was 11 and 10%, respectively. Also, with using future meteorological data under different scenarios was observed that growth period, grain yield and biomass yield during 2011-2030 and 2046-2065 periods for three scenarios A2, B1 A1B were decreased. Among the cultivars studied, Hybrid SC704 corn had more growth and yield than other corn hybrids, and this figure could be recommended for future climate change for Moghan area.

Conclusions: Future meteorological data under different scenarios of climate change will decrease growth period, grain yield and biomass yield during 2011-2030 for scenarios A1B, A2 and B1, respectively, 7 %, 16 % and 9%, and during period 2045-2065 for scenarios A1B, A2 and B1, respectively, 13 %, 14 % and 12 percent.

1- PhD of Agroecology, Department of Agronomy, Faculty of Agriculture, Zabol University

2 and 3- Associate Professor and Professor of Agroecology Respectively, Department of Agronomy, Faculty of Agriculture, Zabol University

4- Associate Professor, Meshgin-shahr Faculty of Agriculture, University of Mohaghegh Ardabili

5- Assistant Professor of Agroecology, Razi University of Kermanshah

(*- Corresponding Author Email: abasat.rostami@yahoo.com)

Among the cultivars studied, the growth period of SC 704 hybrid was higher for all three scenarios than other hybrids and it has more growth and yield, therefore can recommended to change future climate for Moghan region.

Keywords: AquaCrop model, Climate, Drought stress, Water crisis



تأثیر محلول‌پاشی سالیسیلیک اسید بر کارآیی مصرف آب در جو در شرایط قطع آبیاری

عباس ابهری^۱، اسماعیل قلی نژاد^{*}

تاریخ دریافت: ۱۳۹۷/۰۴/۱۳

تاریخ پذیرش: ۱۳۹۷/۰۷/۱۴

چکیده

به منظور بررسی تاثیر سالیسیلیک اسید بر کارآیی مصرف آب و برخی خصوصیات فیزیولوژیکی جو در شرایط تنفس خشکی، آزمایشی در سال زراعی ۱۳۹۶ به صورت فاکتوریل در قالب طرح پایه بلوک‌های کامل تصادفی با سه تکرار در مزارع کیندور واقع در شهرستان سبزوار انجام شد. تیمارها شامل آبیاری در دو سطح قطع آبیاری (قطع آبیاری از مرحله آبستنی (کد ۴۹ زادوکس) تا برداشت) و آبیاری کامل و تیمار محلول‌پاشی سالیسیلیک اسید در چهار سطح صفر (شاهد)، دو، چهار و شش میلی‌مولار در مرحله ساقده‌ی (کد ۳۹ زادوکس) روی جو اجرا شد. نتایج نشان داد که در هر دو شرایط آبیاری کامل و قطع آبیاری بیشترین تعداد سنبله، تعداد دانه در سنبله، عملکرد دانه و عملکرد بیولوژیکی در متر مربع بهترین در تیمار محلول‌پاشی دو تا شش میلی‌مولار سالیسیلیک اسید و کمترین آن مربوط به تیمار شاهد بود. کمترین کارآیی مصرف آب ($1/28$) در شرایط قطع آبیاری و بدون مصرف سالیسیلیک اسید حاصل شد و با مصرف سالیسیلیک اسید تا شش میلی‌مولار کارآیی مصرف آب افزایش یافت. همچنین با افزایش مصرف سالیسیلیک اسید در شرایط قطع آبیاری در مقایسه با آبیاری کامل، کارآیی مصرف آب افزایش بیشتری یافت. کمبود آب از یک طرف با تأثیر بر ساختار غشای سلول سبب افزایش نفوذپذیری غشا نسبت به یون‌ها و ماکرو مولکول‌ها شد (نشست الکتروولیت برگ در شرایط آبیاری کامل و قطع آبیاری بهترین $45/0$ و $58/0$ بود) و از طرف دیگر، با افت شاخص کلروفیل، فتوسنتر را کاهش داد که در نهایت کاهش عملکرد و اجزای آن را به همراه داشت. از طرفی، اسید سالیسیلیک موجب تعییل تنفس خشکی از طریق کاهش نشست یونی (عدم مصرف و مصرف سالیسیلیک اسید شش میلی‌مولار در شرایط قطع آبیاری بهترین $61/0$ و $38/0$ بود)، افزایش غلظت پرولین و شاخص کلروفیل در نتیجه بهبود عملکرد دانه گندم در شرایط قطع آبیاری در مقایسه با آبیاری کامل گردید.

واژه‌های کلیدی: پرولین، شاخص کلروفیل، عملکرد دانه، قطع آبیاری، نشست الکتروولیت

مقدمه

تنفس خشکی اثرات اسمزی و فیزیولوژیکی بر گیاهان دارد که نتیجه آن کاهش رشد، اختلالات متابولیکی و تنفس‌های اکسیداتیو در گیاهان است. گیاهان مختلف راهکارهای متعددی برای مقابله با تنفس خشکی به کار می‌برند. کاربرد خارجی ترکیبات متفاوت مانند محلول‌های آلی و مواد معدنی یک راهکار برای افزایش تحمل به خشکی در گیاهان است (Ashraf *et al.*, 2011). سالیسیلیک اسید یک تنظیم‌کننده درونی رشد گیاه است که بر واکنش‌های متابولیکی و فیزیولوژیکی گستره‌های در رشد و توسعه گیاه تاثیرگذار است (Hayat *et al.*, 2010).

سالیسیلیک اسید به عنوان یک شبه‌هورمون گیاهی شناخته شده و نقش آن در ارتباط با سازوکارهای دفاعی در برابر عوامل تنفس‌زای زیستی و غیر زیستی به خوبی مشخص شده است (Hayat, 2005). همچنین بازدارنده فعالیت آنزیم کاتالاز که آنزیم پاکسازی کننده پراکسید هیدروژن است بوده و در نتیجه با کاهش فعالیت این آنزیم سبب افزایش پراکسید هیدروژن در گیاه می‌شود

جو (Hordeum vulgare L.) یکی از قدیمی‌ترین گیاهان زراعی است و بیشترین سازگاری و تحمل به خشکی را نسبت به سایر غلات دارد همچنین مانند دیگر غلات تأمین‌کننده نیاز غذایی بشر و حیوانات است و استفاده از آن به عنوان یک منبع سرشار از نشاسته مورد نظر بوده است (Yousefirad *et al.*, 2015). جو با دامنه وسیع اکولوژیکی و با سطح زیر کشت $46/92$ میلیون هکتار و تولید $141/27$ میلیون تن با میانگین عملکرد دانه $30/10$ کیلوگرم در هکتار، چهارمین غله مهم بعد از گندم (Triticum aestivum), ذرت (Zea mays) و برنج (Oryza sativa) در جهان است. میانگین سطح زیر کشت و میزان تولید سال‌های اخیر در ایران به ترتیب $1/61$ میلیون هکتار و $2/9$ میلیون تن با میانگین عملکرد دانه $18/04$

۱- استادیار، گروه علمی علوم کشاورزی، دانشگاه پیام نور، تهران، ایران

۲- دانشیار، گروه علمی علوم کشاورزی، دانشگاه پیام نور، تهران، ایران

(*)- نویسنده مسئول: Email: gholinezhad1358@yahoo.com

DOI: 10.22067/gsc.v17i1.73912

راهبرد کم آبیاری و آبیاری کامل روی ارقام سویا (*Glycine max*) نشان داده است که اگر تولیدکننده از روش کم آبیاری استفاده کند، در مصرف آب صرفه‌جویی شده و با افزایش سطح زیر کشت، تولید کل افزایش می‌یابد (Kiani, 2010). تنش خشکی بر فعالیت‌های فیزیولوژیکی گیاه تاثیر گذاشته و از رشد و تقسیم سلولی ممانعت می‌کند و سبب کاهش عملکرد در گیاهان می‌شود. بنابراین استفاده از موادی مثل سالسیلیک اسید که بتواند اثرات تنش خشکی را کاهش دهد دارای اهمیت است. هدف از این آزمایش تاثیر سالسیلیک اسید در کاهش اثرات تنش خشکی بر عملکرد، کارآبی مصرف آب و برخی خصوصیات فیزیولوژیکی جو می‌باشد. بنابراین در این مطالعه با مصرف سالسیلیک اسید و تاثیر برخی ویژگی‌ها و خصوصیات فیزیولوژیکی و بهبود این شاخص‌ها در شرایط قطع آبیاری و تاثیر آن بر عملکرد دانه و عملکرد بیولوژیکی، شناخت بهترین تیمار موثر در زمینه کارآبی مصرف آب مورد نظر بود.

مواد و روش‌ها

این آزمایش بهصورت فاکتوریل در قالب طرح پایه بلوک‌های کامل تصادفی با سه تکرار در سال زراعی ۱۳۹۶ در مزارع کینور واقع در شهرستان سبزوار انجام شد. ارتفاع این منطقه از سطح دریا ۱۱۹۵ متر بوده و در ۳۶ درجه و ۵ دقیقه عرض شمالی و ۴۴ درجه و ۳ دقیقه طول شرقی واقع شده است. تیمارها شامل آبیاری در دو سطح قطع آبیاری (قطع آبیاری از مرحله آبستنی^۱ (کد ۴۹ زادوکس) تا برداشت) و آبیاری کامل و تیمار محلول‌پاشی سالسیلیک اسید در چهار سطح صفر، دو، چهار و شش میلی‌مولار در مرحله ساقه‌دهی (کد ۳۹ زادوکس) روی جو رقم ریحان اجرا شد. این رقم خاص مناطق معتدل و با عملکرد متوسط ۲ الی ۴ تن در هکتار می‌باشد. قبل از کاشت نمونه‌گیری از خاک در عمق صفر تا ۳۰ سانتی‌متر انجام و کودپاشی بر اساس نتایج آزمون خاک (۱۵۰ کیلوگرم در هکتار نیتروژن، ۷۵ کیلوگرم در هکتار P₂O₅ و ۷۰ کیلوگرم در هکتار پتاس) انجام گردید. برخی خصوصیات فیزیکی و شیمیایی خاک مزروعه در جدول ۱ آمده است. کاشت در ۲۷ آبان ماه سال ۱۳۹۶ صورت گرفت طول هر کرت سه متر و عرض هر کرت دو متر و دارای ۱۰ خط کاشت بود. کاشت در خطوطی با فاصله ۱۵ سانتی‌متر انجام شد. متوسط فاصله بذرها در هر خط کاشت دو تا سه سانتی‌متر و بین کرت‌های مختلف ۳۰ سانتی‌متر فاصله بود. در ۲۵ اردیبهشت ماه سال ۱۳۹۷ پس از حذف حاشیه از خطوط وسط هر کرت به مساحت یک متر مربع برای محاسبه عملکرد و اجزای عملکرد دانه برداشت گردید سپس نمونه‌ها در آون به مدت ۴۸ ساعت و در دمای ۷۵ درجه

(Horvath *et al.*, 2007) سالیسیلیک اسید یکی از مولکول‌های سیگنال‌دهنده مهم است که باعث عکس العمل گیاه در برابر تنش‌های محیطی می‌شود. این ماده همانند یک آنتی‌اکسیدانت غیر آنزیمی نقش مهمی را در تنظیم فرآیندهای فیزیولوژیکی در گیاه ایفا می‌کند (Arfan *et al.*, 2007). ترکیب شبه‌هormونی سالیسیلیک اسید یک ترکیب فنلی است که در گیاهان به‌وسیله سلول‌های ریشه تولید می‌شود. این ماده در گیاهان در مقادیر کم (میلی‌گرم بر گرم وزن تریا کمتر) وجود دارد (Raskin, 1992). در تحقیقی پاک مهر و همکاران (Pak Mehr *et al.*, 2015) بیان کردند که پرایمینگ با سالیسیلیک اسید، میزان کلروفیل را افزایش داد. ولی در بالاترین سطح غلاظت به‌کار رفته و به‌خصوص در شرایط تنش میزان کلروفیل برگ در مقایسه با تیمار ۷۷۰۰ میکرو مولار کاهش یافت. نتایج این آزمایش نشان داد که گیاهان حاصل از بذرهای پرایم شده با سالیسیلیک اسید از طریق افزایش محتوای نسبی آب، شدت تعرق، هدایت روزنه‌ای و شاخص کلروفیل برگ گیاه، توانستند سرعت فتوسنتز را در شرایط عادی و تنش بهبود بخشدند. زرگریان و همکاران (Zargerian *et al.*, 2016) در نتایج خود عنوان کردند یکی از پارامترهای فیزیولوژیکی پاسخ‌دهنده به کم‌آبی محتوای نسبی آب برگ است. مطابق با نتایج حاصل از این تحقیق با افزایش شدت کم‌آبی در ریحان محتوای رطوبت نسبی برگ کاسته شد و محلول‌پاشی با اسید سالیسیلیک سبب افزایش محتوای نسبی آب برگ شد. نتایج به‌دست آمده از تحقیق خیرخواه و همکاران (Kheirkhah *et al.*, 2016) نشان داد تمام تیمارهای محلول‌پاشی مواد ضد تنش اعم از سالیسیلیک اسید، تیوفول و گلیسین در غلاظت‌های مختلف باعث افزایش در میزان صفات کیفی چندرنگند (*Beta vulgaris*) (اعم از عملکرد ریشه، عیار Ranjbar *et al.*, 2010) نشان دادند که افزایش قندهای محلول و نامحلول و کاهش آنزیم‌های اکسیدازی توسط اسید سالیسیلیک در شرایط تنش نشان‌دهنده تاثیر این ترکیب در آسیب‌های اکسایی می‌باشد. تنش خشکی یکی از عوامل اصلی کاهش کمی و کیفی در گیاهان است. در تحقیقی مشاهده شده است که تیمار سالسیلیک اسید، آنزیم‌های هیدرولیزکننده پلی‌ساقارید را مهار کرده و تشکیل پلی‌ساقاریدها از قندهای محلول را سرعت می‌بخشدند. با این فرض، سالسیلیک اسید میزان قندهای غیر محلول را نسبت به قندهای محلول افزایش می‌دهد (Borsanio and Botella, 2001). با اعمال تیمار تنش رطوبتی، کارآبی مصرف آب گندم بر حسب عملکرد دانه در هر دو سال آزمایش کاهش یافت (Ezzat Ahmadi *et al.*, 2010). به طور نسبی، در شرایط زراعی، افزایش کمبود آب سبب افزایش راندمان مصرف آب می‌شود؛ به عبارت دیگر در شرایط نزدیک به تنش کمبود آب، گیاه در مقایسه با شرایط رطوبتی مطلوب، نسبت به میزان آب مصرف شده محصول بیشتری تولید می‌کند (Shabiri *et al.*, 2006).

نشت الکتروولیت مواد از برگ‌ها به روش والتزوویک و همکاران (Valentovic *et al.* 2006) و در مرحله رسیدگی عملکرد و اجزای عملکرد در آزمایشگاه زیست‌شناسی دانشگاه پیام نور سبزوار اندازه‌گیری شد. پس از جمع‌آوری داده‌ها تجزیه آماری با نرم‌افزار SAS نسخه ۹/۱ انجام شد. مقایسه میانگین تیمارها به روش LSD در سطح احتمال پنج درصد انجام شد.

سانتری گراد خشک شدن و عملکرد و اجزای عملکرد دانه تعیین شد. کارآبی مصرف آب با محاسبه نسبت عملکرد دانه بر میزان آب مصرفی در طول فصل رشد محاسبه شد. به این صورت که میزان آب مصرفی در هر مدار براساس مقدار دبی آب در زمان بر مساحت زمین محاسبه گردید. در مرحله گرده‌افشانی میزان کلروفیل برگ، اسید آمینه پرولین به روش بیتس (Bates, 1973)، محتوا نسبی آب برگ به روش اسمارت و بینگهام (Smart and Bingham, 1974) و

جدول ۱- برخی از ویژگی‌های فیزیکی و شیمیایی خاک

Table 1- Some physical and chemical properties of soil

| Soil texture | Clay (%) | Silt (%) | Sand (%) | N (%) | K mg kg ⁻¹ | P mg kg ⁻¹ | کربن آلی Organic Carbon (%) | EC dS m ⁻¹ | pH |
|--------------|----------|----------|----------|-------|-----------------------|-----------------------|-----------------------------|-----------------------|----|
| Clay loam | 27 | 45 | 28 | 1.07 | 190 | 9.58 | 0.97 | 0.624 | 7 |

افزایش یافته است (Fahadi *et al.*, 2016). در گزارشی در مورد سورگوم (*Sorghum bicolor*) آمده است که در شرایط تنفس خشکی، رشد بخش هوای، ریشه و ارتفاع گیاه تحت تاثیر اسید سالیسیلیک، افزایش قابل ملاحظه‌ای را نشان داده است (Gill, 2003). در شرایط آبیاری کامل، مصرف سالیسیلیک اسید توانست میزان نشت الکتروولیت را کاهش دهد (جدول ۳). در شرایط قطع آبیاری، نشت الکتروولیت را کاهش دهد (جدول ۳). در شرایط قطع آبیاری، مصرف سالیسیلیک اسید توانسته است میزان نشت الکتروولیت را کاهش دهد (جدول ۳) به طوری که محلول پاشی با غلظت شش میلی مولار سالیسیلیک اسید در مقایسه با شاهد (بدون محلول پاشی سالیسیلیک اسید) میزان نشت الکتروولیت را به میزان ۳۸ درصد کاهش داد (جدول ۳). کاهش خسارت غشاء در اثر کاربرد سالیسیلیک اسید با تولید آنتی‌اکسیدان در ارتباط می‌باشد و از این روش سالیسیلیک اسید سبب افزایش پایداری غشا در برابر تنفس‌های اکسایشی می‌گردد (Ghoulam *et al.*, 2001). قطع آبیاری در مقایسه با آبیاری کامل، میزان نشت الکتروولیت برگ را به میزان ۲۳ درصد افزایش داد (جدول ۳). نقی زاده و غلامی توران پشتی (Naghizadeh and Gholami Toran Poshti, 2015) در نتایج خود بیان کردند تنفس خشکی در دوره پرشدن دانه تأثیر منفی بر ارزی بر عملکرد و اجزای آن و همچنین محتوا نسبی آب برگ پرچم گذاشت و در مقابل، افزایش نشت یونی را به همراه داشت. افزایش در نشت الکتروولیت در گیاهان تحت تنفس خشکی در بسیاری از گونه‌های گیاهی گزارش شده است (Borsani *et al.*, 2001; Ghoulam *et al.*, 2001).

در این مطالعه مشخص شد که قطع آبیاری نسبت به آبیاری کامل باعث افزایش مقدار اسید آمینه پرولین شد به طوری که اعمال تنفس خشکی موجب ۱۱ درصد افزایش در غلظت پرولین برگ گندم در مقایسه با شاهد گردید (جدول ۳). سایر محققان نیز گزارش کردند

نتایج و بحث

نتایج تجزیه واریانس داده‌ها نشان داد اثر ساده آبیاری، سالیسیلیک اسید و برهمنکنش آبیاری و سالیسیلیک اسید بر کلیه صفات مورد مطالعه در این تحقیق در سطح احتمال یک درصد معنی‌دار شد ($P < 0.01$ ، جدول ۲). مقایسه میانگین برهمنکنش آبیاری و سالیسیلیک اسید نشان داد در هر دو شرایط آبیاری کامل و قطع آبیاری، بیشترین و کمترین وزن خشک ساقه به ترتیب از تیمار محلول پاشی شش میلی مولار سالیسیلیک اسید و تیمار شاهد (بدون محلول پاشی سالیسیلیک اسید) به دست آمد (جدول ۳). دلیل بهبود رشد و افزایش ماده خشک در اثر مصرف سالیسیلیک اسید در انتقال مواد فتوستراتی به سمت مخزن ارتباط داده شده است همچنین سالیسیلیک اسید باعث افزایش فعالیت آنزیم‌های نیترات رداکتاز و کربنیک آنهیدراز، مانع اکسیداسیون اکسین شده و از این طریق بر رشد تاثیر مثبت می‌گذارد (Fariduddin *et al.*, 2003).

مقایسه میانگین نشان داد در شرایط آبیاری کامل، بیشترین و کمترین وزن خشک برگ به ترتیب از تیمار محلول پاشی شش میلی مولار سالیسیلیک اسید و تیمار شاهد (بدون محلول پاشی سالیسیلیک اسید) به دست آمد (جدول ۳). در صورتی که با قطع آبیاری در مرحله آبسترنی (کد ۴۹ زادوکس) وزن خشک برگ در تیمارهای مختلف سالیسیلیک اسید از روند خاصی پیروی نکرد و مصرف دو میلی مولار سالیسیلیک با ۱۴۵/۵۵ گرم بر مترمربع بیشترین وزن خشک برگ را تولید کرد (جدول ۳). سالیسیلیک اسید در دوره تنفس خشکی از طریق تاثیر بر سیستم آنتی‌اکسیدان باعث تأخیر در لوله شدن بر گیاهان می‌شود (Kadioglu *et al.*, 2011). در شرایط تنفس خشکی، سالیسیلیک اسید از طریق تاثیر بر بیوسنتر اتیلن پیری برگ‌ها را به تأخیر انداخته و از این طریق مدت زمان حفظ سطح برگ افزایش و به دنبال آن فتوسترات و انتقال مواد فتوستراتی به مخازن

مرربع را به میزان ۱۵ درصد کاهش داد (جدول ۳). در همین راستا، سایر محققان گزارش کردند که تنفس خشکی باعث کاهش معنی‌دار تعداد سنبله در متراز مربع به میزان ۱۰ درصد شد (Naghizadeh and Gholami Tooran Poshti, 2014).

در شرایط آبیاری کامل، بیشترین تعداد دانه در سنبله (۳۴ دانه در سنبله) در تیمار شش میلی‌مولا ر سالیسیلیک اسید مشاهده شد (جدول ۳). با قطع آبیاری در مرحله آبستنی، در تیمارهای مختلف سالیسیلیک اسید تعداد دانه در سنبله از روند خاصی پیروی نکرد (جدول ۳). قطع آبیاری در مقایسه با آبیاری کامل، تعداد دانه در سنبله را به میزان ۱۸ درصد کاهش داد (جدول ۳). تاثیر تنفس خشکی بر کاهش تعداد دانه در سنبله از طریق افزایش نسبت اندام‌های عقیم قبل از پر شدن دانه دانست همچنین از دیگر دلایل آن می‌توان به مرگ و میر گلچه‌ها و اختلال در گردهافشانی و پر شدن دانه در اثر تنفس خشکی اشاره کرد (Flower and Ludlow, 1986).

گزارش شده است اعمال تنفس رطوبتی و افزایش شدت آن، تعداد دانه در سنبله، عملکرد دانه و بیولوژیک را در گندم کاهش داد در حالی که کاربرد تنظیم‌کننده‌های رشد مانند سالیسیلیک اسید و جاسمونیک اسید سبب بهبود همه اجزای عملکرد دانه و در نهایت افزایش عملکرد دانه گردید (Vahabi et al., 2017).

افزایش تعداد دانه در سنبله در اثر محلول‌پاشی سالیسیلیک اسید در گندم توسط سایر محققان نیز گزارش شده است (Pirasteh-Anosheh et al., 2012; Amin et al., 2008).

مقایسه میانگین برهمکنش آبیاری و سالیسیلیک اسید نشان داد در هر دو شرایط آبیاری کامل و قطع آبیاری، بیشترین و کمترین تعداد دانه در متر مربع به ترتیب از تیمار محلول‌پاشی شش میلی‌مولا ر سالیسیلیک اسید و تیمار شاهد (بدون محلول‌پاشی سالیسیلیک اسید) به دست آمد (جدول ۳).

در شرایط آبیاری کامل، بیشترین وزن هزار دانه در تیمار دو و چهار میلی‌مولا ر (بدون اختلاف معنی‌دار با یکدیگر) مشاهده شد (جدول ۳). در تیمار قطع آبیاری، بیشترین (۳۷/۶۰ گرم) و کمترین (۲۱/۱۴ گرم) وزن هزار دانه به ترتیب از تیمار شش میلی‌مولا ر سالیسیلیک اسید و تیمار شاهد (بدون محلول‌پاشی سالیسیلیک اسید) به دست آمد در شرایط قطع آبیاری، محلول‌پاشی با سالیسیلیک اسید مقدار وزن ۱۰۰۰ دانه را حدود ۴۴ درصد افزایش داد (جدول ۳).

مقایسه میانگین شرایط آبیاری کامل و قطع آبیاری نشان داد که تیمار قطع آبیاری در مقایسه با آبیاری کامل، وزن ۱۰۰۰ دانه را به میزان ۹ درصد کاهش داد (جدول ۳). قطع آبیاری به دلیل اختلال در انتقال مواد فتوستتری به دانه، سبب کوچک و ضعیف شدن دانه‌ها می‌شود (Dalvandi et al., 2013).

که تنفس خشکی باعث افزایش معنی‌دار پرولین به میزان ۶۰ درصد (Ghazizadeh and Gholami Tooran Poshti, 2014; Pireivatlou et al., 2010) و کمترین (۱۰۶/۸ میلی‌مولا ر بر کیلوگرم) و کمترین (۱۵۵/۸ میلی‌مولا ر بر کیلوگرم) مقدار اسید آمینه پرولین به ترتیب از تیمار چهار میلی‌مولا ر سالیسیلیک اسید و تیمار شش میلی‌مولا ر سالیسیلیک اسید به دست آمد (جدول ۳). در شرایط قطع آبیاری، بیشترین (۱۶۱/۹۳ میلی‌مولا ر بر کیلوگرم) و کمترین (۱۰۸/۷۷ میلی‌مولا ر بر کیلوگرم) مقدار اسید آمینه پرولین به ترتیب در تیمار دو میلی‌مولا ر سالیسیلیک اسید و تیمار شش میلی‌مولا ر سالیسیلیک اسید مشاهده شد (جدول ۳). به نظر می‌رسد غلظت بالای محلول‌پاشی سالیسیلیک اسید (۶ میلی‌مولا ر) در شرایط قطع آبیاری توانسته است وضعیت آبی گیاه را بهبود بخشدیده و گیاه برای مقابله با کمبود آب، اسید آمینه پرولین کمتری را تولید کرده است.

در شرایط آبیاری کامل، مصرف دو میلی‌مولا ر سالیسیلیک اسید توانست شاخص کلروفیل را افزایش دهد (جدول ۳). در شرایط قطع آبیاری، مصرف شش و چهار میلی‌مولا ر سالیسیلیک اسید توانست شاخص کلروفیل را افزایش دهد اما با تیمار شاهد اختلاف معنی‌داری نداشت (جدول ۳). این نتایج در خصوص تاثیر مثبت سالیسیلیک اسید بر افزایش شاخص کلروفیل با نتایج پاک مهر و همکاران (Pak mehr et al., 2015) مطابقت داشت. سایر پژوهش‌گران نیز گزارش کردند که در تیمارهای تیمار شده با سالیسیلیک اسید، میزان کلروفیل و فعالیت کربوکسیلازی روبیسکو افزایش یافت (Singh and Usha, 2003; Farajzadeh et al., 2016).

مقایسه میانگین آبیاری کامل و قطع آبیاری در مقایسه با آبیاری یافت (جدول ۳) به طوری که تیمار قطع آبیاری در زیان بار کلروفیل را به میزان ۱۸ درصد کاهش داد (جدول ۳). نتایج مطالعه کایدنظامی و بلوچی (Kaid Nezami and Balochi, 2014) روی عدس (Lens culinaris) نشان داد که استفاده از اسید سالیسیلیک ۰/۵ میلی‌مولا ر در شوری‌های با غلظت بالا باعث افزایش مقدار کلروفیل و کارتونیبید شد. این نتایج نشان داد که محلول‌پاشی اسید سالیسیلیک سبب افزایش بردباری به تنفس شوری و کاهش اثرهای زیان بار کلروفیل سدیم در گیاه عدس شد.

در شرایط آبیاری کامل و قطع آبیاری، تیمار محلول‌پاشی شش میلی‌مولا ر سالیسیلیک اسید در مقایسه با شاهد (بدون محلول‌پاشی سالیسیلیک اسید)، تعداد سنبله در متر مربع را به ترتیب به میزان ۲۴ و ۲۸ درصد افزایش داد (جدول ۳). به نظر می‌رسد تاثیر محلول‌پاشی سالیسیلیک اسید در شرایط قطع آبیاری موثرتر از شرایط آبیاری کامل بوده است. قطع آبیاری در مقایسه با آبیاری کامل، تعداد سنبله در متر

جدول ۲- نتایج تجزیه و روابط صفات مورد مطالعه

| محلع تفسیر | d.f | جدول ۲- نتایج تجزیه و روابط صفات مورد مطالعه | | | | | | | | | | | | |
|-----------------------------|-----|--|------------------|---------------------|------------|-------------------|------------------------------|------------------------|----------------|------------------|----------------|----------------|-----------|----------------------|
| | | وزن خشک برگ | وزن خشک برگ ساقه | نشست الکترولیت | بروفن | نیتروزین کلروفیل | تعداد سپله در مترمربع | تعداد داروهای سپله | 1000-گره | زرن مترمتر | عندود بیولوژیک | عندود بیولوژیک | نماخض | کارآبی مصرف آب |
| Source of variation | | Leaf dry weight | Stem dry weight | Electrolyte leakage | Proline | Chlorophyll index | Seed number per square meter | Seeds per square meter | seed weight | Biological yield | seed yield | Harvest index | | Water use efficiency |
| کار | | | | | | | | | | | | | | |
| Replication | 2 | 0.36 ns | 0.38 ns | 0.0014 * | 25.23 ns | 0.88 ns | 1.98 ns | 0.59 ** | 1.85 ns | 0.60 ** | 260.70 ns | 52.43 ns | 0.22** | |
| آب | 1 | 6232.95 ** | 18393.91 ** | 0.109 ** | 111.84 ns | 610.04 ** | 17115.76 ** | 165.21 ** | 20205845.68 ** | 56.15 ** | 1041891.68 ** | 1177361.10 ** | 84.11 ** | 0.011 ** |
| Irrigation | | | | | | | | | | | | | | |
| سالیسیلیک اسید | 3 | 18705 ** | 692.70 ** | 0.011 ** | 1582.51 ** | 51.30 ** | 13006.12 ** | 30.22 ** | 13444296.59 ** | 163.62 ** | 3535011.64 ** | 3323238.23 ** | 161.71 ** | 0.116 ** |
| Salicylic acid | | | | | | | | | | | | | | |
| آب × سالیسیلیک اسید | 3 | 31.08 ** | 845.67 ** | 0.104 ** | 1995.00 ** | 73.68 ** | 114.76 ** | 19.23 ** | 6686965.28 ** | 72.07 ** | 48542.83 ** | 159814.32 ** | 151.71 ** | 0.062 ** |
| Irrigation × سالیسیلیک اسید | | | | | | | | | | | | | | |
| ساک | 14 | 0.14 | 1.12 | 0.00031 | 31.83 | 2.10 | 1.78 | 0.087 | 2.27 | 0.107 | 415.29 | 531.05 | 0.49 | 0.000020 |
| Error | | | | | | | | | | | | | | |
| ضریب تغییرات (%) | - | 5.02 | 7.98 | 3.39 | 4.30 | 2.75 | 6.39 | 5.05 | 8.51 | 4.99 | 10.48 | 7.74 | 5.01 | 6.78 |
| CV % | | | | | | | | | | | | | | |

*، **، ns ترتیب اختلاف معنادار در سطح احتمال ۱٪، ۵٪ و غیر معنادار

**، * and ns significant at 1%, 5% and non-significant probability levels, respectively

جدول - ۳ مقایسه میانگین سطوح سالیلیک اسید در شرایط آبیاری کامل و قطع آبیاری برای صفات مختلف

Table 3- Comparison of salicylic acid levels increase full and cut-off irrigation conditions for different traits

| نام کاشتگاری | وزن خشک | نسلت الکتروپوت | پیوپس | نشست کلروفیل | شاخص کلروفیل | تعداد دانه در هزار | تعداد دانه در متر | تعداد دانه در سنتلر | تعداد دانه در متر | دانه (گرم) | عکسکرد پیوپورزی | عکسکرد پیوپورزی | بیان | |
|--------------------|---------|----------------|---------------------|-------------------------|--------------------------------|------------------------|------------------------|-------------------------------|------------------------------|-----------------------------------|--------------------|--------------------|------------|-----------|
| Irrigation | (گم) بر | (درصد) | (میلی مولار بر) | (درصد) | Chlorophyll index | Seeds per square meter | Seeds per square meter | Spike number per square meter | seed number per square meter | seed yield (kg ha ⁻¹) | (کیلوگرم در هکتار) | (کیلوگرم در هکتار) | آب | |
| | موارز | شمرونی | Leaf dry weight (g) | Electrolyte leakage (%) | Proline (mM Kg ⁻¹) | | | | | 1000-seed weight (g) | Harvest index (%) | کلیوگرم بر | کلیوگرم بر | مصرف مکعب |
| آبیاری کامل | 0 | 48.98 | 57.70 | 0.48 | 126.3 | 57.23 | 319.41 | 33.17 | 8754.22 | 29.47 | 3511.10 | 2427.5 | 69.14 | 0.40 |
| Full irrigation | 2 | 51.13 | 73.14 | 0.53 | 126.8 | 61.7 | 333.18 | 29.95 | 8771.33 | 38.45 | 4709.10 | 3116.9 | 66.19 | 0.52 |
| Cut-off irrigation | 4 | 57.4 | 81.53 | 0.80 | 155.8 | 52.56 | 399.94 | 25.11 | 10128.0 | 39.00 | 4943.00 | 3453.2 | 69.90 | 0.58 |
| قطع آبیاری | 6 | 58.19 | 105.36 | 0.53 | 106.8 | 58.83 | 415.38 | 34.00 | 14148.1 | 30.96 | 5445.70 | 4324.9 | 79.42 | 0.72 |
| LSD | 0.67 | 1.85 | 0.03 | 9.81 | 2.53 | 2.63 | 2.33 | 0.51 | 0.57 | 41.71 | 47.81 | 1.23 | 0.008 | |

در هر سوتون میانگین‌های دارای حداقل یک حرف مشترک تفاوت معنی‌داری در سطح احتمال ۵٪ براساس آزمون LSD ندازند.

سالیسیلیک اسید و کمترین درصد شاخص برداشت از تیمار شاهد به دست آمد مقایسه تیمارهای آبیاری کامل و قطع آبیاری نشان داد که آبیاری کامل باعث افزایش شاخص برداشت شد (جدول ۳).

در هر دو شرایط آبیاری کامل و قطع آبیاری، بیشترین و کمترین کارآبی مصرف آب به ترتیب از تیمار محلول پاشی شش میلی مولار سالیسیلیک اسید و تیمار شاهد (بدون محلول پاشی سالیسیلیک اسید) به دست آمد (جدول ۳). در شرایط آبیاری کامل و قطع آبیاری، تیمار محلول پاشی شش میلی مولار سالیسیلیک اسید در مقایسه با شاهد (بدون محلول پاشی سالیسیلیک اسید)، کارآبی مصرف آب را به ترتیب به میزان ۴۳ و ۴۸ درصد افزایش داد (جدول ۳). به نظر می‌رسد تاثیر محلول پاشی سالیسیلیک اسید در شرایط قطع آبیاری در مقایسه با تیمار آبیاری کامل، در بهبود کارآبی مصرف آب موثرتر بوده است. بیشترین (۵۵/۰ کیلوگرم بر مترمکعب) و کمترین (۶۰/۰ کیلوگرم بر مترمکعب) کارآبی مصرف آب به ترتیب از تیمار قطع آبیاری و آبیاری کامل حاصل شد (جدول ۳). سایر پژوهش‌گران نیز گزارش کردند تنش خشکی و محلول پاشی با سالیسیلیک اسید باعث افزایش کارآبی مصرف آب در گیاه ذرت گردید (Bayat and Sepehri, 2014). علت بیشتر بودن کارآبی مصرف آب در شرایط تنش خشکی در مقایسه با آبیاری کامل، هدر رفت زیاد آب از طریق تبخیر و تعرق و نفوذ عمیق Allen and Musik, 1993 محلول پاشی با سالیسیلیک اسید با تحریک رشد ریشه‌های نابه جا نقش موثری در افزایش کارآبی مصرف آب ایفا می‌کند آزمایشی روی سویا نشان داد که در شرایط خشکی کارآبی مصرف آب افزایش یافت. به طور نسبی، در شرایط زراعی، افزایش کمبود آب سبب افزایش راندمان مصرف آب می‌شود؛ به عبارت دیگر در شرایط نزدیک به تنش کمبود آب، گیاه در مقایسه با شرایط رطوبتی مطلوب، نسبت به میزان آب مصرف شده محصول بیشتری تولید می‌کند (Shabiri et al., 2006).

نتیجه‌گیری

کمترین وزن خشک ساقه از تیمار شاهد (بدون مصرف سالیسیلیک اسید) و بیشترین آن از محلول پاشی شش میلی مولار سالیسیلیک اسید در شرایط قطع آبیاری به وجود آمد. در صورتی که در شرایط تنش مصرف دو میلی مولار سالیسیلیک با ۱۴۵/۵۵ گرم در مترمربع بیشترین وزن خشک برگ را تولید کرد. در هر دو شرایط آبیاری کامل و قطع آبیاری، بیشترین تعداد سنبله در متربع، تعداد دانه در سنبله و وزن هزار دانه باعث کاهش عملکرد دانه گندم شده است پژوهش‌گران دیگر نیز معتقدند که تنش خشکی از تاثیرات منفی بر اجزای عملکرد دانه گندم داشته و عملکرد دانه را کاهش داده است (Gooding et al., 2003; Ozturk and Aydin, 2004).

در شرایط آبیاری کامل و قطع آبیاری، تیمار محلول پاشی شش میلی مولار سالیسیلیک اسید در مقایسه با شاهد (بدون محلول پاشی سالیسیلیک اسید)، عملکرد بیولوژیک را به ترتیب به میزان ۳۶ و ۳۵ درصد افزایش داد (جدول ۳). افزایش عملکرد بیولوژیک با مصرف سالیسیلیک اسید توسط سایر پژوهش‌گران نیز گزارش شده است Vahabi et al., 2017; Anjum et al., 2011; Yun-Xia et al., 2010). ساجدی و قلی‌نژاد (Sajedi and Gholinezhad, 2012) گزارش کردند که با مصرف سالیسیلیک اسید در شرایط دیم، عملکرد بیولوژیک ارقام گندم نسبت به شاهد ۱۰ درصد افزایش یافت. قطع آبیاری در مقایسه با آبیاری کامل، عملکرد بیولوژیک را به میزان ۹ درصد کاهش داد (جدول ۳). تنش خشکی از طریق تاثیر بر بسته شدن روزنه‌ها، کاهش تورژسانس، کاهش سطح فتوسترنکنده و کاهش میزان فتوسترن باعث کاهش عملکرد بیولوژیک در گیاه می‌شود (Simanne et al., 1993).

در هر دو شرایط آبیاری کامل و قطع آبیاری، بیشترین و کمترین عملکرد دانه به ترتیب از تیمار محلول پاشی شش میلی مولار سالیسیلیک اسید و تیمار شاهد (بدون محلول پاشی سالیسیلیک اسید) به دست آمد (جدول ۳). در شرایط آبیاری کامل و عدم قطع آبیاری، تیمار محلول پاشی شش میلی مولار سالیسیلیک اسید در مقایسه با شاهد (بدون محلول پاشی سالیسیلیک اسید)، عملکرد دانه را به ترتیب به میزان ۴۴ و ۴۸ درصد افزایش داد (جدول ۳). به نظر می‌رسد تاثیر محلول پاشی سالیسیلیک اسید در شرایط قطع آبیاری در بهبود عملکرد دانه موثرتر از شرایط آبیاری کامل بوده است. حیدری و همکاران (Heidari et al., 2016) بیان کردند که دمای نهایی سایه‌انداز گیاه نیز تحت اثر سالیسیلیک اسید کاهش یافت که نشان‌دهنده این است که استفاده از سالیسیلیک اسید در شرایط تنش، می‌تواند از طریق خنکتر نگه داشتن سایه‌انداز گیاه رهیافتی برای حفظ و پایداری فتوسترن و عملکرد در شرایط تنش خشکی باشد. سایر پژوهش‌گران نیز گزارش کردند که سالیسیلیک اسید باعث افزایش عملکرد دانه شده است (Anjum et al., 2011; Yun-Xia et al., 2010). قطع آبیاری در مقایسه با آبیاری کامل، عملکرد دانه را به میزان ۱۴ درصد کاهش داد (جدول ۳). به نظر می‌رسد قطع آبیاری از طریق کاهش اجزای عملکرد دانه مانند تعداد سنبله در متربع، تعداد دانه در سنبله و وزن هزار دانه باعث کاهش عملکرد دانه گندم شده است پژوهش‌گران دیگر نیز معتقدند که تنش خشکی از تاثیرات منفی بر اجزای عملکرد دانه گندم داشته و عملکرد دانه را کاهش داده است (Gooding et al., 2003; Ozturk and Aydin, 2004).

در شرایط آبیاری کامل بیشترین شاخص برداشت از تیمار محلول پاشی شش میلی مولار سالیسیلیک اسید به دست آمد. با قطع آبیاری بیشترین شاخص برداشت از تیمارهای محلول پاشی

الکتروولیت برگ در شرایط آبیاری کامل و قطع آبیاری به ترتیب ۰/۴۵ و ۰/۵۸ بود) و از طرف دیگر، با افت محتوی رطوبت نسبی و پتانسیل آب برگ زمینه کاهش شاخص کلروفیل و فتوسنتز را فراهم آورد (شاخص کلروفیل برگ در شرایط آبیاری کامل و قطع آبیاری به ترتیب ۰/۵۷/۵ و ۰/۴۷/۵ بود) و در نهایت باعث کاهش عملکرد و اجزای آن شد (عملکرد دانه در شرایط آبیاری کامل و قطع آبیاری به ترتیب ۳۳۳ و ۲۸۸/۲ گرم در متر مربع بود). از طرفی، اسید سالیسیلیک موجب تعدیل تنفس خشکی از طریق کاهش نشت یونی (عدم مصرف و مصرف سالیسیلیک اسید شش میلی‌مولا در شرایط قطع آبیاری به ترتیب ۰/۶۱ و ۰/۳۸)، کاهش غلظت پرولین (عدم مصرف و مصرف سالیسیلیک اسید شش میلی‌مولا در شرایط قطع آبیاری به ترتیب ۱۵۲/۷ و ۱۰۸/۷) و شاخص کلروفیل (عدم مصرف و مصرف سالیسیلیک اسید شش میلی‌مولا در شرایط قطع آبیاری به ترتیب ۵۲/۳۳ و ۵۴/۲۰) شد و در نتیجه باعث بهبود عملکرد دانه گندم در شرایط تنفس گردید. در نهایت مشخص شد که مصرف شش میلی‌مولا در نسبت به سایر تیمارها در هر دو شرایط آبیاری کامل و قطع آبیاری باعث افزایش عملکرد بیولوژیکی، عملکرد دانه و کارایی مصرف آب شد.

قطع آبیاری باعث شد که وزن هزار دانه در تیمار شش میلی‌مولا سالیسیلیک اسید بیشترین مقدار را داشته باشد. در شرایط آبیاری کامل، مقایسه میانگین تیمارهای سالیسیلیک اسید نشان داد که کمترین کارایی مصرف آب در تیمار شاهد و بیشترین آن به محلول پاشی شش میلی‌مولا سالیسیلیک اسید مربوط بود. همچنین در شرایط قطع آبیاری، تیمارهای مختلف سالیسیلیک اسید، کارایی مصرف آب را افزایش داد. در شرایط آبیاری کامل مصرف چهار میلی‌مولا سالیسیلیک اسید توانست بیشترین میزان اسید آمینه پرولین را تولید کند. در شرایط قطع آبیاری مصرف دو میلی‌مولا سالیسیلیک اسید توانست میزان ۱۶۱/۹۳ میلی‌مولا بر کیلوگرم اسید آمینه پرولین تولید کند که با تیمار شاهد اختلاف معنی‌داری داشت. در شرایط آبیاری کامل مصرف سالیسیلیک اسید توانست میزان نشت الکتروولیت را کاهش دهد اما در شرایط قطع آبیاری مصرف سالیسیلیک اسید توانست میزان نشت الکتروولیت را کاهش دهد. تنفس خشکی ایجاد شده در دوره گردهافشانی تا آخر فصل رشد تأثیر منفی بازی بر عملکرد و اجزای آن و همچنین نشت الکتروولیت برگ گذاشت و در مقابل سالیسیلیک اسید باعث افزایش غلظت پرولین و نشت یونی شد. کمبود آب از یک طرف با تأثیر بر ساختار غشای سلول سبب افزایش نفوذپذیری غشا نسبت به یون‌ها و مacro مولکول‌ها می‌گردد (نشست

References

- Allen, R. R., and Musik, J. T. 1993. Planting date, water management, and maturity length relations for irrigated grain sorghum. Trans. ASAE 36 (4): 1123-1129.
- Amin, A. A., Li, S., Rashad, M., Fatma, A., and Gharib, E. 2008. Changes in morphological, physiological and reproductive characters of wheat plants as affected by foliar application with salicylic acid and ascorbic acid. Australian Journal of Basic and Applied Sciences 2: 252-261.
- Anjum, S. A., Wang, L., Farooq, M., Khan, I., and Xue, L. 2011. Methyl jasmonate-induced alteration in lipid peroxidation, ant oxidative defense system and yield in soybean under drought. Journal of Agronomy and Crop Science 197: 296-301.
- Arfan, M., Athar, H. R., and Ashraf, M. 2007. Does exogenous application of Salicylic Acid through the rooting medium modulate growth and photosynthetic capacity in two differently adapted spring wheat cultivars under salt stress? Journal of Plant Physiology 164: 685-694.
- Ashraf, M., Akram, N. A., Al-Qurainy, F., and Flood, M. R. 2011. Drought tolerance: roles of organic osmolytes, growth, regulators, and mineral nutrients. Advance in Agronomy 111: 249-296.
- Bates, L. S. 1973. Rapid determination of free proline for water-stress studies. Plant and soil 39: 205-207.
- Bayat, S., and Sepehri, A. 2014. Effect of salicylic acid and paclobutrazol on yield and water use efficiency of corn (*Zea mays L.*) under moisture stress. 1th international and 13th Iranian crop science congress. Tehran, Iran.
- Borsani, O., Valpuesta, V., and Botella, M. N. 2001. Evidence for a role of salicylic acid in the oxidative damage generated by NaCl and osmotic stress in *Arabidopsis* seedling. Plant Physiology 126: 1024-1030.
- Borsanio, V., and Botella, M. A. 2001. Evidence for a role of Salicylic Acid in the oxidative damage generated by NaCl and osmotic stress in *Arabidopsis* seedlings. Plant physiology 126: 1024-1030.
- Dalvandi, G., Ghanbari-Odivi, A., Farnia, A., Khalil-Tahmasebi, B., and Nabati, E. 2013. Effects of drought stress on the growth, yield and yield components of four wheat populations in different growth stages. Advances in Environmental Biology 7 (4): 619-624.
- Ezzat Ahmadi, M., Noormohammadi, Gh., Ghodsi, M., and Kafi, M. 2010. Effect of water stress and spraying of potassium iodide on agronomic traits and grain yield of bread wheat (*Triticum aestivum L.*) genotypes. Iranian Journal of Field Crops Research 8 (2): 177-182. (in Persian with English abstract).
- FAOSTAT. 2012. FAO Statistical Data. [www.faostat.org.]

13. Farajzadeh, R., Sajedi, N. A., and Babaei, T. 2016. Effect of salicylic acid and post anthesis water deficit stress on some agronomic and physiological traits of different wheat genotypes. *Cereal Research* 6 (2): 173-184. (in Persian with English abstract).
14. Farhadi, N., Sayyahfar, M., and Shakarami, Gh. 2016. Effect of foliar applications of various levels of salicylic acid on yield and yield components of two barley cultivars under dry land farming conditions. *Agricultural Research Journal* 8 (5): 25-40. (in Persian with English abstract).
15. Fariduddin, Q., Hayat, S., and Ahmad, A. 2003. Salicylic acid influences net photosynthetic rate, carboxylation efficiency, nitrate reductase activity, and seed yield in *Brassica juncea*. *Photosynthetica* 41 (2): 281-284.
16. Fletcher, R., and Hofstra, G. 1988. Triazoles as potential plant protectants. In: *Sterol Synthesis Inhibitors in Plant Protection*. Eds D. Berg, M. Plempel, Cambridge, Ellis Horwood Ltd, 321-331.
17. Flower, D., and Ludlow, M. M. 1986. Contribution of osmotic adjustment to the dehydration tolerance of water-stressed pigeon pea (*Cajanus cajan* L. mill sp.) leaves. *Plant, Cell and Environment* 9: 3-44.
18. Ghoulam, C. F., Ahmed, F., and Khalid, F. 2001. Effects of salt stress on growth, inorganic ions and proline accumulation in relation to osmotic adjustment in five sugar beet cultivars. *Environmental and Experimental Botany* 47: 139-150.
19. Gill, P. K., Sharma, A. D., Singh, P., and Bnular, S. S. 2003. Changes in germination, growth and soluble sugar contents of *Sorghum bicolor* L. Moench seeds under various abiotic stresses. *Plant Growth Regulation* 40: 154-162.
20. Gooding, M., Ellis, R., Shewry, P., and Schofield, J. 2003. Effects of restricted water availability and increased temperature on the grain filling, drying and quality of winter wheat. *Journal of Cereal Sciences* 37: 295-309.
21. Hayat, Q., Hayat, S., Irfan, M., and Ahmad, A. 2010. Effect of exogenous Salicylic Acid under changing environment: A review. *Environmental and Experimental Botany* 68: 14-25.
22. Hayat, S., and Ahmad, A. 2005. Salicylic acid: A plant hormone. Springer. 97-99.
23. Heidari, A., Bijan Zadeh, A., Naderi, R., and Imam, Y. 2016. Effect of seasonal drought stress and Salicylic Acid on grain yield and plant shadow temperature in two canola cultivars. *Journal of Plant Physiology* 27: 37-53. (in Persian with English abstract).
24. Horvath, E., Szalai, G., and Janda, T. 2007. Induction of A biotic stress tolerance by salicylic acid signaling. *Plant Growth Regulation* 26: 290-300.
25. Kadioglu, A., Saruhan, N., Saglam, A., Terzi, R., and Acet, T. E. 2011. Exogenous salicylic acid alleviates effects of long term drought stress and delays leaf rolling by inducing antioxidant system. *Plant Growth Regul* 64: 27-37.
26. Kaid Nezami, R., and Balochi, H. 2014. Physiological reactions of lentil plant (*Lens culinaris Medik*) to salinity stress and Salicylic Acid solution. *Journal of Iranian Bean Studies* 5 (2): 98-83. (in Persian with English abstract).
27. Kheirkhah, M., Farazi, M., Dadkhah, A., and Khoshnood Yazdi, A. 2016. Use of glycine, thiophile and salicylic acid in sugar beet (*Beta vulgaris* L.) under irrigated conditions. *Eco-physiology of Crop Plants* 10 (37): 182-167. (in Persian with English abstract).
28. Kiani, A. R. 2010. Optimal irrigation scheduling based on water-yield relations in some soybean cultivars. *Journal of Agriculture Engineering Research* 11 (1): 85-102.
29. Naghizadeh, M., and Gholami Tooran Poshti, M. 2014. Evaluation the effect of seed priming by salicylic acid on yield and yield components of wheat under drought stress conditions. *Journal of Agroecology* 6 (1): 162-170. (in Persian with English abstract).
30. Naghizadeh, M., and Gholami Toran Poshti, M. 2014. Effect of seed pre-treatment with Salicylic Acid on wheat yield and yield components under drought stress. *Journal of Agricultural Ecology* 6 (1): 170-162. (in Persian with English abstract).
31. Ozturk, A., and Aydin, F. 2004. Effect of water stress at various stages on some quality characteristics of winter wheat. *Journal of Agronomy and Crop Science* 190: 93-99.
32. Pak Mehr, A., Shakeri, F., and Rastgo, M. 2015. The effect of seed priming with Salicylic Acid on some photosynthetic traits of blubber beans under stress at flowering stage. *Journal of Iranian Pulses Research* 5 (2): 19-30. (in Persian with English abstract).
33. Pirasteh-Anosheh, H., and Emam, Y. 2012. Yield and yield component responses of bread and durum wheat to PGRs under drought stress conditions in field and greenhouse. *Environmental Stress in Crop Sciences* 5: 1-17. (in Persian with English abstract).
34. Pirevatlou, A. S., Dehdar Masjedlou, B., and Ramiz, T. A. 2010. Evaluation of yield potential and stress adaptive trait in wheat genotypes under post anthesis drought stress conditions. *African Journal Agricultural Research* 5: 2829-2836.

35. Ranjbar, M., Larry Yazdi, H., and Bromandjazi, Sh. 2010. The effect of Salicylic Acid on antioxidant enzymes, photosynthetic pigments of sugar content in rape (*Brasica napus*) under Pb stress. Journal of Plant Biology 3 (9): 39-52. (in Persian with English abstract).
36. Raskin, I. 1992. Role of salicylic acid in plants. Annual Review of Plant Physiology and Plant Molecular Biology 43: 463-439.
37. Sajedi, N. A., and Gholinezhad, A. 2012. Response of yield and yield component of dry land wheat cultivars to salicylic acid and selenium. Iranian Journal of Field Crops Research 10 (3): 614-621. (in Persian with English abstract).
38. Shabiri, S., Ghasemi Golazani, K., Golchin, A., and Saba, J. 2006. Effect of irrigation water on phenology and yield of three chickpea cultivars (*Cicer arietinum* L.). Journal of Agricultural Knowledge 16 (2): 137-147. (in Persian with English abstract).
39. Simanne, B. P. C., Peacock, J. M., and Struk, P. C. 1993. Differences in development plasticity and growth rate among drought resistance and susceptible cultivar of durum wheat (*Triticum Turgidum* L. var. durum). Plant and Soil 157: 155-166.
40. Singh, B., and Usha, K. 2003. Salicylic acid induced physiological and biochemical changes in wheat seedlings under water stress. Plant Growth Regulation 39: 137-141.
41. Smart, R. E., and Bingham, G. E. 1974. Rapid estimates of relative water content. Plant Physiology 53: 258-260.
42. Vahabi, N., Emam, Y., and Pirasteh-Anosheh, H. 2017. Improving wheat growth and yield using chlormequat chloride, salicylic acid and jasmonic acid under water stress. Iranian Journal of Field Crops Research 15 (1): 124-135. (in Persian with English abstract).
43. Valentovic, P., Luxova, M., Kolarovic, L., and Gasparikova, O. 2006. Effect of osmotic stress on compatible solutes content, membrane stability and water relations in two maize cultivars. Plant Soil Environment 52 (4): 186-191.
44. Yun-Xia, G., Li-Jun, Z., Feng-Hai, L., Zhi-Bin, C., Che, W., Yun-Cong, Y., Zhen-Hai, H., Jie, Z., and Zhen-Sheng, S. 2010. Relationship between jasmonic acid accumulation and senescence in drought-stress. African Journal of Agriculture Research 5: 1978-1983.
45. Yousefirad, M., Asghari, M., Mohammadi, M., Masoumi Zavarian, A. 2015. Effect of drought stress on yield, yield components and some physiological characteristics of seven barley cultivars. Journal of Agricultural Research 7 (4): 297-309.
46. Zargerian, M., Tehranifar, A., Nemati, H., and Siavashpour, B. 2016. The effect of Salicylic Acid on some morphophysiological characteristics of sunflower seedlings in drought stress conditions. Journal of Horticulture 30 (1): 162-151. (in Persian with English abstract).



Effect of Salicylic Acid Foliar Application on Barley Water use Efficiency in Cut-Off Condition

A. Abhari¹, E. Gholinezhad^{2*}

Received: 04-07-2018

Accepted: 06-10-2018

Introduction: Drought stress has osmotic and physiological effects on plants, resulting in reduced growth, metabolic disorders and oxidative stress in plants. Different plants use several strategies to cope with drought stress. External application of different compounds such as organic solvents and minerals is a solution to increase drought tolerance in plants. Salicylic acid is recognized as a plant hormone and its role in defense mechanisms against biological and non-biological stressors is well defined. The purpose of this experiment was to evaluate the effect of salicylic acid on reducing the effects of drought stress on yield, water use efficiency and some physiological characteristics of the barely.

Materials and Methods: This experiment was carried out as factorial experiment based on randomized complete block design with three replications in the Kizor fields located in the city of Sabzevar in 2017. The altitude of this area is 1195 m above sea level and is 36° 5' N latitude and 44° 3' E longitude. The treatments included irrigation at two levels of cut-off irrigation (irrigation cut from booting to harvesting stage) (Z39) and non-cut-off irrigation and salicylic acid spraying treatment at four levels of zero (control), two, four and six mM at stage of shoots on barley. Data were analyzed with the SAS software ver 9.1 and the means were compared with LSD test.

Results and Discussion: The results showed that in both conditions of non-cut-off irrigation and cut-off irrigation, the highest number of spikes, number of seeds, seed yield and biological yield per m^2 were obtained in two to six mM of salicylic acid, respectively, and the lowest was related to control treatment. The lowest water use efficiency (0.38) was obtained under non-cut-off irrigation conditions without salicylic acid and with the consumption of salicylic acid up to six mM, water use efficiency increased. Also, salicylic acid spraying in cut-off irrigation conditions compared to non-cut-off irrigation led to increase water use efficiency. In both conditions, non-cut-off irrigation and cut-off irrigation, the highest and lowest grain yields were obtained from 6 mM salicylic acid and control treatments (without salicylic acid spraying), respectively. Under non-cut-off irrigation and cut-off irrigation, spraying with 6 mM of salicylic acid increased the grain yield by 44% and 48% compared to control (without salicylic acid spraying). It seems that the effect of salicylic acid spraying in cut-off irrigation conditions was more effective than non-cut-off irrigation conditions. The cause of higher water use efficiency in cut-off irrigation conditions in comparison with non-cut-off irrigation was high waste of water due to evapotranspiration and deep penetration in non-cut-off irrigation treatments. Spraying with salicylic acid by stimulating the growth of hair and sub-roots plays an effective role in increasing water use efficiency. In cut-off irrigation conditions, salicylic acid consumption has reduced the amount of electrolyte leakage so that the spray at a concentration of 6 mM of salicylic acid compared to the control (without salicylic acid spraying) decreased electrolyte leakage about 38 %. The reduction of membrane damage due to the use of salicylic acid is related to the production of antioxidants. Spraying with salicylic acid increases the stability of the membrane against oxidative stresses.

Conclusions: Water deficit at first affecting the structure of the cell membrane, increased the permeability of the membrane relative to the ions and macromolecules and at second stage decreased the photosynthesis by decreasing the chlorophyll index, which finally reduced the yield and its components. Also, salicylic acid alleviate drought stress by reducing ion leakage, increasing proline concentration and chlorophyll index resulting to improved wheat grain yield under cut-off irrigation conditions compared to non-cut-off irrigation.

Keywords: Chlorophyll index, Cut-off irrigation, Grain Yield, Ion leakage, Porolin

1- Assistant Professor, Department of Agricultural Sciences, Payame Noor University, Tehran, Iran

2- Associate Professor, Department of Agricultural Sciences, Payame Noor University, Tehran, Iran

(*- Corresponding Author Email: gholinezhad1358@yahoo.com)



بررسی تاثیر تغییر اقلیم در آینده نزدیک بر تولید گندم آبی منطقه تربت جام: مطالعه موردنی

سید فرهاد صابرعلی^{۱*}، حسین نستری نصرآبادی^۲، محمد دوستخواه احمدی^۳

تاریخ دریافت: ۱۳۹۷/۰۴/۳۰

تاریخ پذیرش: ۱۳۹۷/۰۶/۲۷

چکیده

کشاورزی، که عامل تأمین نیاز غذایی و ثبات اقتصادی و امنیتی هر جامعه‌ای است، می‌تواند تحت تاثیر نوسانات اقلیمی هر منطقه قرار گیرد. بررسی تاثیر اقلیم بر تولید محصولات زراعی همچون گندم که یک محصول راهبردی در تأمین امنیت غذایی جامعه ایرانی است از اهمیت دوچندانی برخوردار است. هدف از این مطالعه پیش‌بینی اثرات تغییر اقلیم در آینده نزدیک بر عملکرد گندم آبی در منطقه تربت‌جام با بیشترین سطح زیر کشت در استان خراسان رضوی بود. در این تحقیق از برنامه MarkSim تحت چهار سناریوی انتشار RCP2.6، RCP4.5، RCP6 و RCP8.5 برای تولید داده‌های اقلیمی در دوره آینده نزدیک (۲۰۱۸-۲۰۴۷) استفاده شد. در نهایت داده‌های اقلیمی خروجی از برنامه MarkSim به عنوان داده‌های آب و هوایی ورودی برای اجرای مدل شبیه‌سازی رشد گیاهان زراعی DSSAT مورد استفاده قرار گرفت. نتایج شبیه‌سازی رشد گندم آبی در دوره پایه نشان داد که این گیاه کاهش دوره رشد و افزایش تولید ماده خشک و عملکرد را در دوره ۲۰ ساله اخیر تجربه کرده است. افزایش بارش‌های بهاری و همچنین افزایش دما در طول فصول سرد سال از جمله دلایل این افزایش بوده است. همچنین افزایش دما در طول فصل سرد سال و افزایش غلظت دی‌اسید کربن در آینده نزدیک تحت سناریوهای مختلف تغییر اقلیم افزایش حدود ۲۵ تا ۲۰ درصدی تولید دانه گندم را باعث خواهد شد. اگرچه میزان این افزایش تولید در خاک‌های سبک‌تر کمتر از خاک‌های سنگین‌تر منطقه بود. همچنین مشخص گردید، با وجود احتمال کاهش حداقل ۳۰۰ متر مکعب آب آبیاری در هر هکتار در طول دوره رشد گندم در ۳۰ سال آینده، در نهایت با به کارگیری سیستم‌های آبیاری با راندمان بالاتر احتمالاً افزایش تولید با تغییرات چندانی رو به رو نخواهد شد.

واژه‌های کلیدی: افزایش دما، سناریوی انتشار، شبیه‌سازی، DSSAT، MarkSim

آب و هوایی در بحث تغییر اقلیم شامل افزایش غلظت دی‌اسید کربن اتمسفری، دما و نیز نوسان بارندگی است، که به طور مستقیم رشد و عملکرد گیاهان زراعی را تحت تأثیر قرار می‌دهد (Landau *et al.*, 2000). از طرفی بیشتر گستره کشور ایران در مناطق خشک و نیمه‌خشک واقع شده است و نسبت به تغییرات اقلیمی به ویژه حرارت و رطوبت که به طور مستقیم بر نیاز آبی گیاهان اثرگذارند، آسیب‌پذیر استند. بنابراین به نظر می‌رسد که وقوع احتمالی تغییرات اقلیمی در این مناطق تأثیر قابل توجهی بر نظام‌های تولید محصولات کشاورزی Fischer *et al.*, 1994, Koocheki and Kamali, داشته باشد (2010). با توجه به بحران کم‌آبی در ایران و اهمیت نقش پدیده تغییر اقلیم در تشدید آن، مطالعات بیشتر و دقیق‌تر در مورد این پدیده در مقیاس منطقه‌ای و پیش‌بینی پاسخ نظام‌های تولید محصولات کشاورزی به این تغییرات در هر منطقه وجود دارد.

تخمین زده شده است که بالاترین تغییرات دمایی ناشی از تغییرات آب و هوایی در کره زمین هم در دمای حداقل و هم حداکثر تا اوخر قرن بیست یک در آسیا روی دهد (IPCC, 2013). این امر باعث افزایش تقاضای آب محصولات زراعی شده و همچنین ممکن

مقدمه

افزایش جمعیت و توسعه صنایع و کارخانه‌ها و به تبع آن افزایش مصرف سوخت‌های فسیلی به منظور تأمین انرژی از یک طرف و جنگل‌زدایی و تخریب محیط‌زیست از طرف دیگر باعث افزایش روزافزون گازهای گلخانه‌ای در سطح کره زمین طی دهه‌های اخیر شده است. پس فعالیت‌های انسانی که باعث انتشار گازهای گلخانه‌ای به جو زمین شوند، علت اصلی تغییرات آب و هوایی و افزایش دمای متوسط کره زمین هستند. کشاورزی از جمله بخش‌های تولیدی مهم هر کشور و تأمین کننده نیاز غذایی جامعه است که با تأثیرپذیری از شرایط اقلیمی می‌تواند موجب نوسانات شدید اجتماعی، اقتصادی و امنیتی در هر کشوری شود (Easterling, 2011). نوسانات عوامل

۱- استادیار گروه علوم و مهندسی باغبانی، مجتمع آموزش عالی تربت‌جام، خراسان رضوی، ایران

۲- کارشناس ارشد آبخیزداری، بخش تولیدات گیاهی اداره جهاد کشاورزی تربت‌جام، خراسان رضوی، ایران

(Email: sf.saberali@yahoo.com)

DOI: 10.22067/gsc.v17i1.74284

(*)- نویسنده مسئول:

مدل‌های اقلیمی در بازه زمانی طولانی‌تر از ۳۰ سال برای شبیه‌سازی پاسخ نظام‌های زراعی، به نظر بیش از حد خوش‌بینانه خواهد بود (Moss *et al.*, 2010). به علاوه ورود دقیق مشخصات خاکی، نظام زراعی و مشخصات زنگنه‌کی ارقام هر منطقه در مدل‌های شبیه‌سازی از جمله ضروریات تولید خروجی‌های دقیق توسط مدل خواهد بود. در نتیجه در این تحقیق با هدف افزایش دقت برآوردها، مدل در سطح یک شهرستان و در بازه زمانی ۳۰ ساله مورد استفاده قرار گرفت. شهرستان تربت جام با نزدیک ۱۲ درصد از کل کشت گندم آبی استان خراسان رضوی (۱۷۰۹۰ هکتار) و مجموع تولید ۸۷۰۰۰ تن در سال و با متوسط تولید دانه ۴۲۰۰ کیلوگرم در هکتار جایگاه اول تولید گندم استان رو به خود اختصاص داده است (سال نامه آماری خراسان رضوی، ۱۳۹۵). با توجه به اهمیت این شهرستان در تولید گندم در استان خراسان رضوی و عدم وجود اطلاعات کافی در مورد تاثیرات تغییر اقلیم در این شهرستان این مطالعه با هدف کمی کردن اثرات احتمالی تغییر اقلیم در ۳۰ سال آینده بر عملکرد گندم آبی منطقه انجام گردید.

مواد و روش‌ها

در این تحقیق، اطلاعات سیستم‌های زراعی منطقه و داده‌های آب و هوایی مورد نیاز برای بررسی اثرات تغییر اقلیم جمع‌آوری شده و در نهایت با استفاده از مدل CERES-Wheat، رشد و عملکرد گندم آبی در پاسخ به این تغییرات تخمین زده شد. بدین مظور از چهارچوب استانداردی که توسط محققین AgMIP (Agricultural Model Intercomparison and Improvement Project) ارایه شده است، استفاده گردید. AgMIP یک برنامه تحقیقاتی بین‌المللی گسترده در زمینه تغییرات اقلیمی است که بر کشاورزی تمرکز دارد و هدف آن ارائه اطلاعات دقیق در مورد تکنیک‌های شبیه‌سازی جدید و روش‌های صحیح ارزیابی‌هایی اقلیمی است. این برنامه که بیش از ۷۰۰ محقق در بیش از ۴۰ کشور دنیا عضو دارد، به منظور کمی کردن و ارزیابی مدل‌های کشاورزی، مقایسه کارایی آنها، بهبود توئانایی مدل‌ها در پیش‌بینی تغییرات آب و هوایی و ارزیابی تاثیرات واقعی و پیش‌بینی شده آن در مقیاس منطقه‌ای و جهانی توسعه داده شده است (Rosenzweig *et al.*, 2013). در این برنامه بین‌المللی توصیه شده در تحقیقات مربوط به تغییر اقلیم به سه سوال اصلی پاسخ داده شود (Thorburn *et al.*, 2015)، که شامل: ۱- پاسخ یا حساسیت در سیستم‌های تولید کشاورزی به تغییرات آب و هوایی تا به امروز چگونه بوده است؟، ۲- تاثیر تغییرات آب و هوایی بر تولید محصولات کشاورزی در آینده چگونه خواهد بود؟، ۳- سودمندی مدیریت‌های احتمالی که به منظور سازگاری به تغییرات اقلیمی اعمال خواهد شد چه میزان خواهد بود؟ برای پاسخ دادن به این سوالات نیازمند

است خطر استرس گرما را در طول گلدهی محصولات زمستانه و بهاره، همچون گندم (*Triticum aestivum L.*) و جو (*Hordeum vulgare L.*), موجود در این منطقه را افزایش دهد. مدل‌ها ابزار کارآمد و مناسبی برای پیش‌بینی خروجی حاصل از سیستم‌های واقعی هستند. مدل‌های شبیه‌سازی رشد نمو و عملکرد گیاهان زراعی، از جمله ابزار مناسب برای کمی کردن و پیش‌بینی پاسخ رشدی گیاهان زراعی به نوسانات عوامل اقلیمی است. مدل‌های رشد گیاهی در مقایسه با آزمایش‌های انجام شده در محیط‌های کنترل شده برای کمی کردن پاسخ رشد گیاهان به افزایش دما و غلظت دی‌اکسید کربن، با صرف زمان و هزینه کمتر نتایج قابل قبولی فراهم آورده است (Koocheki and Kamali, 2010) با استفاده از یک مدل شبیه‌سازی رشد گیاهی و بر اساس سناریوهای مختلف اقلیمی تغییرات عملکرد گندم دیم را مورد مطالعه قرار دادند و به این نتیجه رسیدند که به طور متوسط عملکرد گندم دیم در کشور بین ۱۴ تا ۲۲ درصد تا سال ۲۰۵۰ کاهش می‌یابد. در تحقیق دیگری در شمال شرق ایران با استفاده از دو مدل اقلیمی نشان داده شد که تحت شرایط تغییر اقلیم بین عملکرد دانه گندم دیم و بارندگی ارتباط مثبت و قابل توجهی وجود دارد و با افزایش بارندگی عملکرد دانه گندم افزایش می‌یابد (Eyshi-Rezaie and Bannayan, 2012). بررسی مهندسین عوامل اقلیمی موثر بر تولید گندم، جو و یولاف در منطقه‌ای آلاسکا نیز نشان داد که نحوه توزیع بارش، کاهش بارندگی و افزایش دما می‌تواند ۷۰ درصد تغییرات محصول سالیانه را در تمام رقم‌های مورد مطالعه توضیح دهد (Sharatt *et al.*, 2003). بررسی تاثیر بارندگی و درجه حرارت بر عملکرد گندم دیم در استان خراسان رضوی نشان داد که بارندگی بیش از درجه حرارت بر عملکرد محصول گندم دیم موثر است و بارندگی طی ماه‌های فروردین و اردیبهشت بیش از نیمی از تغییرات عملکرد را توجیه می‌نماید (Talliee and Bahramy, 2003). نتایج یک تحقیق در استان فارس نشان داد که که تحت همه سناریوهای تغییر اقلیم در آینده با افزایش دما و غلظت دی‌اکسید کربن عملکرد دانه گندم آبی در شرایط پتانسیل روند افزایشی خواهد داشت (Einy-Naghese *et al.*, 2015). آنها عنوان کردند که به طور متوسط تحت سناریوهای مختلف اقلیمی در دوره ۲۰۱۱-۲۰۳۰ میانگین عملکرد دانه در مقایسه با دوره پایه ۱۲ درصد افزایش خواهد داشت. بررسی‌های دقیق تغییرات اقلیمی در هر منطقه و تجمعی این اطلاعات برای هر استان، کشور و نهایتاً در سطح جهانی، چشم‌اندازی دقیق و کارآمد در جهت تبیین استراتژی‌های بلند مدت مدیریتی برای محققین و سیاست‌گذارهای بخش کشاورزی فراهم خواهد کرد (Thorburn *et al.*, 2015).

با توجه به عدم قطعیت موجود در مدل‌ها اقلیمی و پیچیدگی‌های سیستم‌های زنده، استفاده از داده‌های هواشناسی تولیدشده توسط

کشاورزان منطقه است. داده‌های گزارش شده متوسط داده‌های ۲۰ مزرعه متفاوت در طی سه سال بوده که سطحی معادل ۵۰۰ هکتار از اراضی زیر کشت گندم شهرستان تربت جام را شامل می‌شود. لازم به ذکر است که مساحت تقریبی این شهرستان حدود ۸۱۰۰ کیلومتر مربع و سطح زیر کشت گندم آن حدود ۱۷۰۰۰ هکتار است. هرچه اطلاعات مورد نیاز به واقعیت نزدیک تر باشد، به دنبال آن نتایج شبیه‌سازی نیز معتبرتر خواهد بود (Thorburn *et al.*, 2015)، که بدین‌منظور اطلاعات مورد نیاز از طریق روش توصیه شده گروه AgMIP یعنی پایش منطقه و مشاوره با کارشناسان جهاد کشاورزی منطقه بهدست آمد. بعد از وارد کردن اطلاعات آب و هوایی، خاکی و مدیریتی مورد نیاز به یک مدل کالیبره شده، از نتایج شبیه‌سازی‌های انجام شده توسط مدل برای پاسخگویی به سوالات مورد نظر استفاده گردید. در این مطالعه از مدل CERES-Wheat کالیبره شده در منطقه استفاده گردید، که ضرایب ژنتیکی آن در جدول ۳ ارایه گردیده است. لازم به ذکر است برای کالیبراسون آن از روش گام به گام و با استفاده از داده‌برداری از سه مزرعه در شرایط عدم تنش در سال‌های ۱۳۹۳-۱۳۹۵ استفاده گردید. در روش گام به گام ابتدا ضرایب مربوط به فنولوژی و سپس ضرایب مربوط به سطح برگ و ماده خشک و نهایتاً ضرایب مربوط به عملکرد برآورد شد (Wolf *et al.*, 1996). بدین‌منظور از نرم‌افزار کمکی GLUE DSSAT به‌منظور تخمین ضرایب ژنتیکی گنجانده شده است نیز کمک گرفته شد. برای پاسخ به سوال اول، از نتایج شبیه‌سازی سیستم زراعی رایج منطقه با استفاده از داده‌های بلند مدت روزانه ایستگاه هواشناسی منطقه بهره برده شد (Thorburn *et al.*, 2015) که در تحقیق حاضر با توجه به قدمت ۲۰ ساله ایستگاه هواشناسی منطقه داده‌های روزانه ثبتی از سال ۱۳۷۷ تا سال ۱۳۹۶ استفاده گردید. برای پیش‌بینی عملکرد گندم ناشی از تغییرات اقلیمی در سال‌های آینده نیز، مدل با استفاده از داده‌های آب و هوایی روزانه تولید شده بر اساس چهار سناریوی RCP4.5, RCP6, RCP2.6 و RCP8.5 توسط MarkSim برای یک دوره ۳۰ ساله (۲۰۱۸-۲۰۴۷) اجرا شد. غلظت دی‌اکسید کربن در میانه این دوره ۳۰ ساله نیز از پایگاه داده CMIP5 (Meinshausen *et al.*, 2011) استخراج و در مدل CERES-Wheat به عنوان ورودی استفاده شد. سپس برای درک اثرات ناشی از تغییر اقلیم و پاسخ به سوال دوم، نتایج رشد و عملکرد شبیه‌سازی شده گندم با داده‌های آب و هوایی آینده با نتایج رشد و عملکرد شبیه‌سازی شده گندم توسط داده‌های آب و هوایی دوره پایه (۱۳۹۶-۱۳۷۷) مقایسه شد. در نهایت نیز تأثیر تغییرات احتمالی که در سیستم زراعی شبیه‌سازی شده در آینده ممکن است در پاسخ به شرایط تغییر اقلیم رخ دهد، توسط مدل ارزیابی قرار گرفت. با توجه به اینکه در گذشته بیش از حد از منابع آب زیرزمینی برداشت شده است، لذا کاهش میزان آب قبل دسترس برای آبیاری و از طرف

مدل‌های شبیه‌سازی رشد گیاهی هستیم که به خوبی ارزیابی و تنظیم شده باشند تا نماینگر سیستم‌های واقعی کشت منطقه مورد مطالعه باشند. برای رسیدن به این هدف نیاز به اطلاعات آب و هوای موثق بر فرآیندهای رشد گیاه و داده‌ها یا اطلاعات مدیریتی دقیقی از مزارع منطقه داریم (Thorburn *et al.*, 2015). داده‌های بلندمدت اقلیمی مورد استفاده در این تحقیق برای اجرای مدل شامل دمای کمینه و بیشینه، بارندگی و تعداد ساعت‌های آفتابی بود، که داده‌های مربوط به زمان گذشته از ایستگاه هواشناسی تربت‌جام و داده‌های مربوط به آینده از یک برنامه تولید داده‌های اقلیمی به نام MarkSim به دست آمدند. این داده‌ها، به عنوان حداقل داده‌های آب و هوایی مورد نیاز برای اجرای مدل CERES-Wheat که در غالب یک بسته شبیه‌سازی جامعی به نام DSSAT ارایه می‌شود، توسط یک نرم‌افزار رابطی به نام WeatherMan به مدل رشد گیاهی معرفی شد.

برآوردها وضعیت اقلیمی تحت سناریوهای مختلف انتشار گازهای توسعه مدل‌های اقلیمی و بیش از همه به وسیله مدل‌های گردش عمومی جو (GCM) انجام می‌گیرد. داده‌های آب و هوای روزانه مورد نیاز با استفاده از یک نرم‌افزار تولید داده‌های اقلیمی به نام Jones and Thornton (Jones and Thornton, 2000) این نرم‌افزار داده‌های آب و هوای را براساس موقعیت جغرافیایی برای سناریوهای مختلف تغییرات آب و هوایی در فرمت قابل استفاده برای DSSAT عرضه می‌کند. در این مطالعه از آخرین سناریوهای Fifth Assessment (Fifth Assessment Report, AR5) هیات بین دول تغییرات اقلیمی (IPCC, 2013) سال ۲۰۱۳ استفاده شد (IPCC, 2013). سناریوهای RCP8.5, RCP6, RCP4.5, RCP2.6 برای بررسی اثرات تغییر اقلیم در مطالعات کشاورزی برای تولید داده‌های اقلیمی هستند (Thorburn *et al.*, 2015). با توجه به اینکه کارایی مدل اقلیمی MarkSim در تولید داده‌های اقلیمی در مناطق مختلف دنیا از جمله ایران به اثبات رسیده است (Nouri *et al.*, 2016)، نیازی به ارزیابی مجدد این مدل و تایید مجدد دقت یک مدل کارآمد دیده نشد.

اطلاعات اصلی که مبنای شبیه‌سازی سیستم‌های زراعی است باشست از پایش سیستم‌های مرسوم کشاورزی منطقه استخراج شده باشد، که در این صورت است که عملکرد خروجی حاصل از مدل‌های شبیه‌سازی برای یک شرایط خاص آب و هوای خاکی و مدیریتی قابل مقایسه با عملکردهای واقعی آن منطقه خواهد بود (Thorburn *et al.*, 2015). برخی از مهمترین اطلاعات مورد استفاده برای شبیه‌سازی سیستم زراعی سیستم زراعی منطقه در جدول ۱ و ۲ ارایه شده است. نتایج ارایه شده در جدول ۲ حاصل جمع‌آوری داده‌های آزمون‌های خاک انجام شده توسط آزمایشگاه‌های تخصصی برای

میلی‌متر از مقدار کل آب آبیاری مصرفی (۳۰۰ متر مکعب در هکتار) در طول دوره رشد از آب ورودی مدل کسر گردید. محاسبه ضریب تغییرات پارامترهای اقلیمی توسط فرمول زیر انجام شد:

$$CV\% = \frac{\sigma}{LTM} \times 100 \quad (1)$$

σ انحراف معیار صفت مورد نظر در هر سناریوی اقلیمی و LTM نیز میانگین دراز مدت صفت مورد نظر است.

دیگر افزایش راندمان آب آبیاری با گسترش بیشتر سیستم‌های آبیاری تحت فشار از جمله سناریوهای حتمی است که سیستم‌های زراعی در آینده نزدیک با آن روبه‌رو خواهد بود. بدین منظور فرض شد که مجموع رطوبت حاصل از افزایش تبخیر و تعرق پتانسیل و کاهش میزان بارش در طول دوره رشد گندم در شرایط تغییر اقلیم در مقایسه با دوره پایه، در آینده قابل تأمین از طریق منابع آب زیرزمینی نخواهد بود. در نتیجه حدود یک میلی‌متر در هر آبیاری و در مجموع ۳۰

جدول ۱- جزئیات سیستم زراعی در مدل CERES-Wheat

Table 1- Details of the cropping system inputs for CERES-Wheat model during the different time periods

| مشخصات Features | دوره پایه Baseline period | آینده Future period | | | |
|-------------------------------|------------------------------|------------------------|-------------------------------------|---------|---------|
| | | RCP2.6 | RCP4.5 | RCP6 | RCP8.5 |
| تاریخ کشت | | 16 October | | | |
| Planting date | | | 350 plant m ⁻² | | |
| تراکم کشت | | | | | |
| Plant density | | | 5cm | | |
| عمق کاشت | | | | | |
| Planting depth | | | | | |
| مقدار آبیاری | | | 6500 (m ³ ha) | | |
| Irrigation amount | کارایی آبیاری | 55% | | 55-70% | |
| Irrigation efficiency | بیشینه مجاز تخلیه رطوبتی | | 65% | | |
| Maximum soil water depletion | مقدار کود نیتروژنی | | 150 kg ha ⁻¹ | | |
| Nitrogen fertilizer rate | غلظت دی‌اسید کربن | 384 ppm | 434 ppm | 446 ppm | 437 ppm |
| CO ₂ concentration | عمق موثر ریشه | | 60 cm | | |
| Effective root depth | بافت خاک | | Clay loam, Loam and Sandy clay loam | | |
| Soil texture | | | | | |

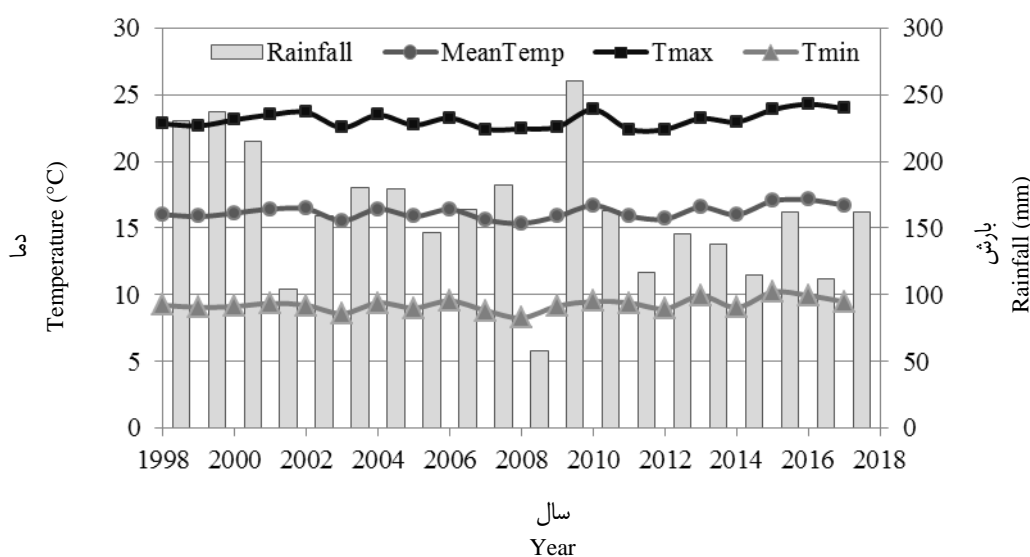
جدول ۲- متوسط خصوصیات خاک‌های منطقه تربت‌جام در عمق ۰-۳۰

Table 2- Average characteristics of the Torbat-e Jam soils at depth of 0-30

| بافت خاک Soil texture | پتاسیم K (ppm) | فسفر P (ppm) | نیتروژن کل Total N (%) | کربن آلی Organic C (%) | شوری EC (dS m ⁻¹) | اسیدیت pH |
|--------------------------|----------------------|--------------------|------------------------------|------------------------------|-------------------------------------|-----------|
| Clay loam | 280 | 9 | 0.06 | 0.5 | 4.3 | 7.7 |
| Sandy clay loam | 180 | 6 | 0.03 | 0.35 | 3.6 | 7.5 |
| Loam | 260 | 10 | 0.05 | 0.45 | 4.1 | 7.3 |

جدول ۳- ضرایب ژنتیکی گندم در مدل CERES-Wheat
Table 3- Genetic coefficients of wheat in the CERES-Wheat model.

| ضرایب Coefficients | توصیف Definition |
|-----------------------|--|
| P1V | Days at optimum vernalizing temperature required to complete vernalization |
| P1D | Percentage reduction in development rate in a photoperiod shorter than the threshold (10 hour) |
| P5 | Duration of the grain filling phase ($^{\circ}\text{C d}$) |
| G1 | Kernel number per unit canopy weight at anthesis (kernels g^{-1}) |
| G2 | Standard kernel size under optimum conditions (mg) |
| G3 | Standard, non-stressed dry weight of a single tiller at maturity (g) |
| PHINT | Interval between successive leaf tip appearances ($^{\circ}\text{C d}$) |



شکل ۱- متوسط بارش و درجه حرارت‌های سالانه حداکثر، حداقل و میانگین آنها در یک دوره ۲۰ ساله در منطقه تربت جام

Figure 1- Yearly maximum, minimum and mean temperature and precipitation during 20 years period for Torbat-e Jam, Iran

۲۰ ساله ۵۱ میلی‌متر کمتر از پنج ساله ابتدایی این دوره بوده است (شکل ۱). تغییرات احتمالی متغیرهای آب و هوایی در ۳۰ سال آینده نسبت به دوره پایه در طول دوره رشد گندم نیز نشان داد که تغییرات دما در طول فصل رشد بین $-2/2$ تا $5/7$ خواهد بود. همچنین به طور متوسط گندم در طول دوره رشد خود افزایش $1/1$ ، $1/6$ و $1/8$ درجه سانتی‌گرادی را به ترتیب تحت سناریوهای RCP4.5، RCP2.6 و RCP8.5 و RCP6 تا 30 سال آینده تجربه خواهد کرد (شکل ۲). ضریب تغییرات سالیانه دما نیز در دوره پایه حدود 6 درصد و در شرایط تغییر اقلیم تحت سناریوهای RCP4.5.RCP2.6 و RCP6 و RCP8.5 به ترتیب $3/3$ ، $2/9$ ، $3/4$ و 3 درصد بود. نکته قابل توجه این است که گندم افزایش $4/2$ تا $5/7$ درجه سانتی‌گرادی را در مراحل پایانی دوره پر شدن دانه خود (210 تا 226 روز بعد از کاشت)، تحت سناریوهای مختلف تغییر اقلیمی نسبت به دوره پایه تجربه خواهد کرد. نتایج همچنین نشان داد میزان بارش در طول دوره رشد

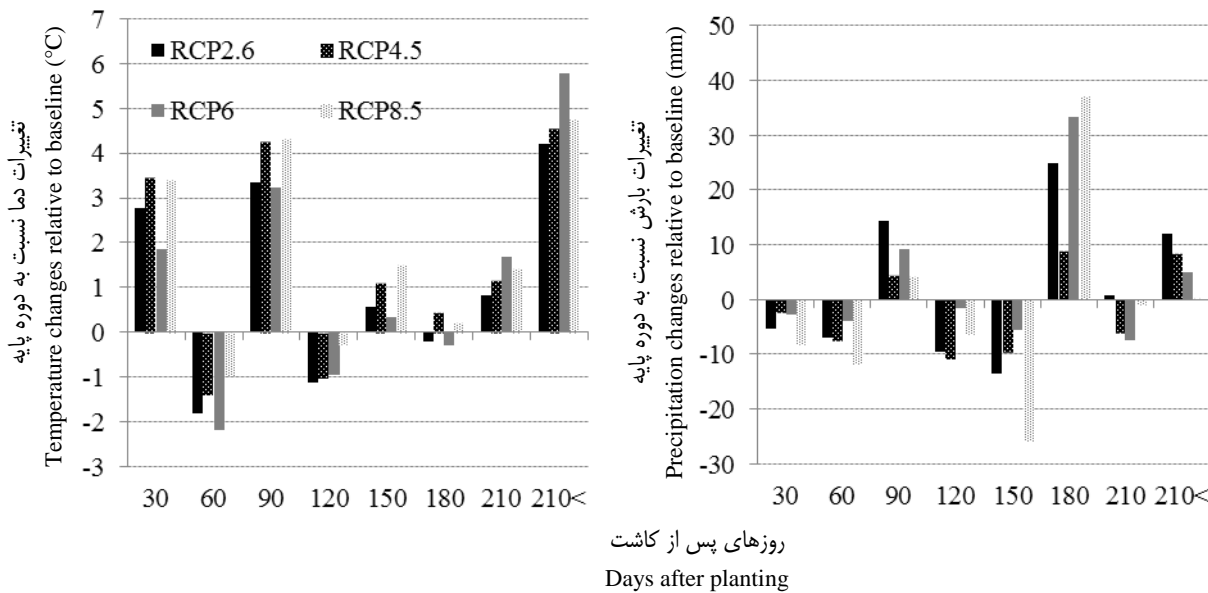
نتایج و بحث

تغییرات عوامل آب و هوایی

با توجه به اینکه داده‌های هواشناسی در شهرستان تربت جام از سال ۱۳۷۷ تاکنون ثبت شده است، لذا تغییرات آب و هوایی در این بازه زمانی به عنوان دوره پایه بررسی شد. بررسی متوسط دما و بارش در پنج ساله ابتدایی و انتهایی این دوره پایه 20 ساله نشان داد که میانگین دمای حداقل به میزان $0/52$ درجه سانتی‌گراد و دمای حداکثر $0/50$ درجه سانتی‌گراد و به طور متوسط $0/51$ درجه سانتی‌گراد در طول این 20 سال افزایش داشته است (شکل ۱). همچنین بررسی میانگین دما در طول دوره رشد گندم ($0/5$ مهر تا اواسط خرداد) نشان داد که دما در طول این دوره 20 ساله حدود $1/6$ درصد در پنج ساله انتهایی دوره نسبت به پنج ساله اول دوره بیشتر بود (جدول ۴). از طرفی متوسط میزان بارش سالیانه نیز در پنج سال انتهایی این دوره

تغییرات سالیانه بارش نیز نشان داد که ضریب تغییرات در دوره پایه حدود ۳۰ درصد بود و در شرایط تغییر اقلیم نیز تحت سناریوهای RCP4.5، RCP6 و RCP8.5 به ترتیب ۲۸/۷، ۱۳، ۱۸/۴ و ۲۱/۵ درصد بود.

گندم تحت سناریوهای RCP4.5 و RCP8.5 به ترتیب ۹ و ۸ درصد کاهش و تحت سناریوهای RCP2.6 و RCP6 به ترتیب ۱۱ و ۱۷ درصد افزایش خواهد داشت (شکل ۲). پراکنش بارش نیز نشان داد که در شرایط تغییر اقلیم، میزان بارش در زمان قبل از گل‌دهی تا دوره پر شدن دانه در گندم بیشتر از دوره پایه خواهد بود (شکل ۲). ضریب



شکل ۲- میانگین تغییرات بلندمدت بارش و دما در آینده در طول دوره رشد گندم تحت چهار سناریو مختلف اقلیمی نسبت به دوره پایه در منطقه تربت جام

Figure 2- Mean of long-term variations in precipitation and temperature for the near future during wheat growth period under four different climate scenarios compared to precipitation and temperature of Torbat-e Jam in baseline

هر دهه بوده است (Dong *et al.*, 2018).

تغییرات عملکرد و ماده خشک تولیدی در ۲۰ سال گذشته بررسی تغییرات عملکرد دانه گندم شبیه‌سازی شده توسط مدل CEREC-Wheat در دوره پایه (۱۳۷۶ تا ۱۳۹۶) نشان داد که متوسط عملکرد دانه گندم در پنج سال ابتدایی این دوره ۴۶۳۱ کیلوگرم در هکتار بود و در پنج سال انتهایی این دوره به ۴۸۸۴ کیلوگرم در هکتار رسید (جدول ۴). بدین ترتیب یک افزایش ۵ درصدی در میزان عملکرد گندم در این دوره ۱۹ ساله کشت گندم مشاهده می‌شود. بررسی انحراف معیار عملکرد گندم در خاک‌های متفاوت نیز نشان داد که میزان تغییرات عملکرد گندم از سال‌های ابتدایی این دوره به سمت سال‌های پایانی آن کاهش یافته است (شکل ۳). دلیل کاهش انحراف معیار عملکرد در سال‌های اخیر می‌تواند ناشی از تغییر پراکنش بارش و افزایش سهم بارش‌های بهاری از کل بارش‌ها باشد (شکل ۴). در واقع تغییر پراکنش بارش‌ها به سمت بهار، باعث شده است که تأثیر تفاوت طرفیت ذخیره رطوبتی

عرفانیان و همکاران (۱۳۹۳) با بررسی شاخص‌های مربوط به دما در دوره آماری ۱۹۶۱ تا ۲۰۱۰ تا ۲۰۱۰ گزارش کردند که به طور کلی در استان خراسان رضوی تعداد روزهای یخبندان و روزهای یخی کاهش یافته، و بالعکس تعداد روزهای آفتابی و نهایتاً دما روند افزایشی داشته است. همچنین افزایش ۳ درجه سانتی‌گرادی در میانگین دمای سالانه مشهد در دوره ۵۰ ساله (۱۹۶۱ تا ۲۰۱۰) گزارش شده است (Ahmadi and Radmanesh, 2014). بابایان و نجفی نیک (Babaeyan and Najafi-Nik, 2011) افزایش ۱/۵ درجه سانتی‌گرادی دما در استان خراسان رضوی را تا سال ۲۰۳۹ پیش‌بینی کردند. آنها همچنین گزارش کردند که به طور متوسط میزان بارش با کاهش متوسط ده درصدی در استان خراسان رضوی در یک دوره ۱۷ ساله (۱۹۹۸-۲۰۰۵) روبرو بوده است، با این وجود توزیع بارش‌ها نشان داد که میزان بارش‌های اوخر زمستان و بهار در این دوره افزایش داشته است. مطالعه تغییرات اقلیمی در آسیا نیز نشان داد که بین سال‌های ۱۹۶۱ تا ۲۰۱۲، منطقه مغولستان چین شاهد افزایش ۰/۳ درجه سانتی‌گرادی در دما و کاهش ۴/۳ میلی‌متری بارش‌ها در

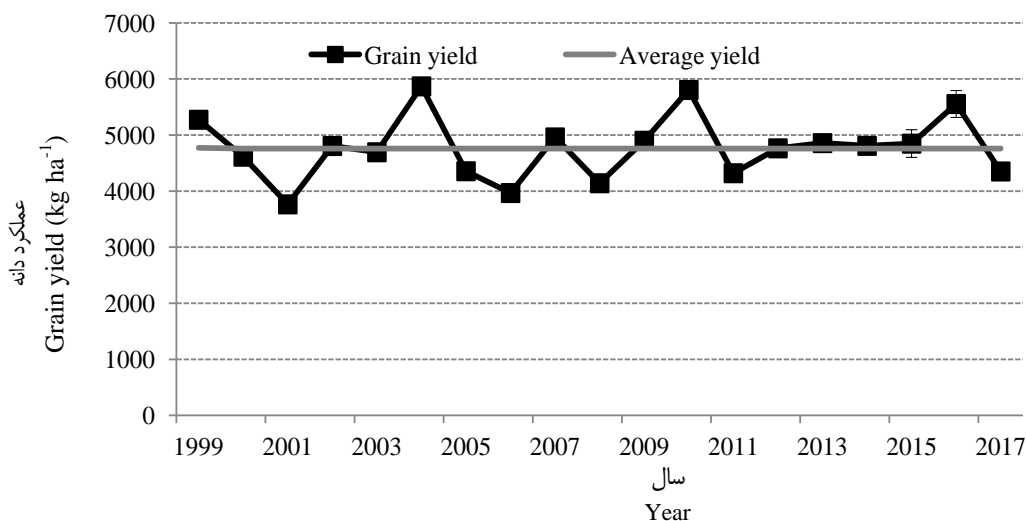
وجود کاهش بارش‌ها در زمان رشد رویشی گندم میزان بارش‌ها بعد از مرحله گرده‌افشانی گندم (تقریباً اواخر فروردین) در طی ۲۰ سال گذشته از حدود ۱۰ میلی‌متر به ۲۰ میلی‌متر افزایش یافته است (شکل ۴). لازم به ذکر است با شروع فصل بهار و کشت محصولات با ارزش اقتصادی بیشتر بهویژه کشت خربزه در منطقه، اولویت کشاورزان منطقه تأمین آب برای محصولات با ارزش‌تر می‌باشد و بدین ترتیب دور آبیاری گندم به‌منظور تأمین آب مورد نیاز برای کشت صیفی‌جات مورد اشاره افزایش می‌یابد. بنابراین به‌دلیل عدم دسترسی به میزان آب کافی در منطقه، وجود بارندگی‌های بهاره حکم آبیاری‌های تکمیلی در کشت گندم آبی را داشته و باعث افزایش شاخص برداشت شده است. در واقع افزایش کسر نور جذبی توسط گندم و دسترسی به رطوبت بیشتر در طول رشد زایشی گندم در سال‌های پایانی دوره پایه، منجر به افزایش تولید ماده خشک و همچنین تخصیص بیشتر ماده خشک به بخش عملکرد شده و نهایتاً افزایش عملکرد دانه گندم را در سال‌های پایانی دوره مورد مطالعه نسبت به سال‌های ابتدایی آن باعث شده است. همچنین بررسی نیاز آبی گندم (مجموع تبخیر و تعرق در طول فصل رشد) نشان داد که نیاز آبی گندم در ۵ ساله انتهای دوره پایه نسبت به پنج سال ابتدای آن در حدود ۵ میلی‌متر (۱ درصد) افزایش یافته است (جدول ۴)، که دلیل این افزایش اندک باوجود افزایش یک درصدی دما می‌تواند ناشی از کاهش سه روزه طول فصل رشد گندم در انتهای دوره مورد مطالعه باشد.

بافت‌های متفاوت خاکی بر عملکرد گندم کمتر شده باشد. به علاوه بررسی تغییرات ماده خشک تولیدی گندم در دوره پایه نیز نشان داد که متوسط ماده خشک تولیدی گندم در پنج ساله ابتدایی این دوره نسبت به پنج ساله انتهایی دوره حدود $\frac{2}{3}$ درصد افزایش یافته است (جدول ۴). با توجه به کاهش میزان بارندگی سالانه و عدم تغییر میزان تشعشع خورشیدی و همچنین ثابت در نظر گرفتن غلظت دی‌اسکید کربن و مدیریت کودی در طول دوره پایه، مهمترین دلیل افزایش ماده خشک تولیدی می‌تواند ناشی از تغییرات دما و پراکنش بارش در طول فصل رشد زراعی باشد. بررسی‌ها نشان داد که باوجود کاهش میزان کل بارش‌ها در سال‌های پایانی دوره مورد مطالعه نسبت به سال‌های ابتدایی آن، توزیع بارش‌ها در زمان رشد زایشی گندم در سال‌های انتهایی دوره مورد مطالعه ۵۰ درصد بیشتر از سال‌های ابتدایی آن بوده است (شکل ۴). همچنین افزایش دما در طول دوره رشد به‌خصوص در طی فصل سرد می‌تواند موجب تسريع سرعت رشد و نمو برگ و نهایتاً افزایش کسر نور جذبی توسط گندم شود. بررسی کسر نور جذبی گندم حاکی از افزایش $\frac{2}{4}$ درصدی افزایش کسر نور جذبی در پنج ساله پایانی دوره پایه نسبت به ۵ ساله ابتدایی آن دارد (جدول ۴). به علاوه بررسی شاخص برداشت نیز نشان داد که میزان شاخص برداشت در گندم از ۳۸ درصد در پنج سال ابتدای دوره پایه به ۳۹ درصد در انتهای دوره پایه افزایش یافته (جدول ۲). دلیل افزایش شاخص برداشت گندم را نیز می‌توان به تغییر توزیع بارش‌ها در طی این دوره ۲۰ ساله نسبت داد، به‌طوری‌که با

جدول ۴- میانگین متغیرهای آب و هوایی در طول دوره رشد گندم و صفات رشدی شبیه‌سازی شده گندم در پنج سال ابتدایی و انتهایی دوره پایه

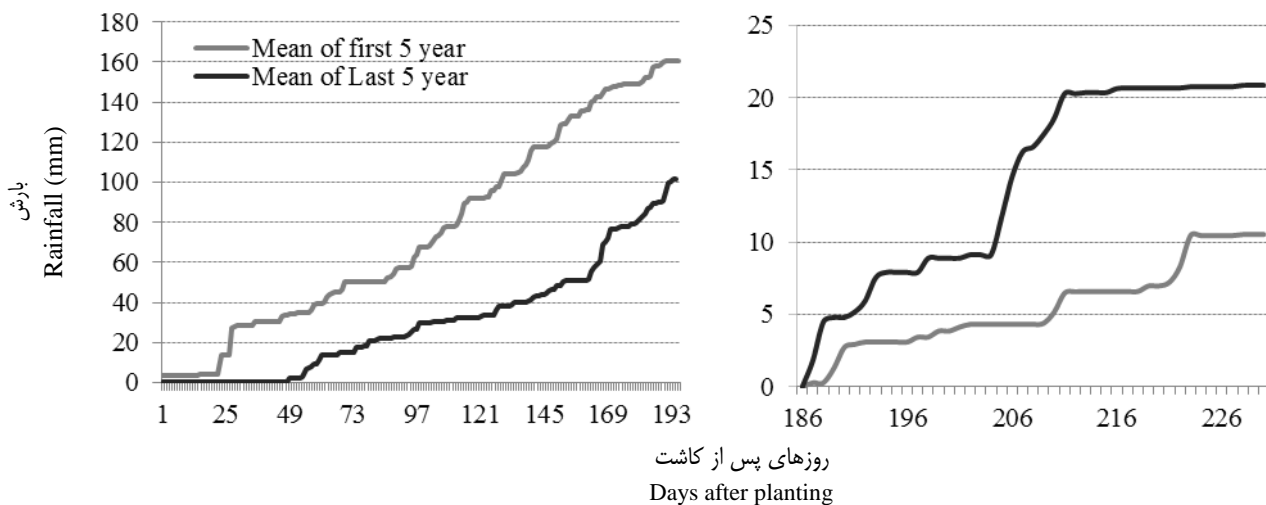
Table 4- Mean weather variables during wheat growth period and simulated growth parameters of wheat in the first and last 5 years of the baseline period

| دوره پایه | میانگین درجه حرارت قبل از گرده‌افشانی | میانگین درجه حرارت بعد از گرده‌افشانی | طول رشد | میزان تشعشع خورشیدی | متوسط کسر نور جذبی در کل دوره رشد | نیاز آبی water needs (mm) | عملکرد دانه Grain yield (kg ha^{-1}) | کل ماده خشک تویلیدی | شاخص برداشت Harvest index |
|-----------------------------|--|--|----------------------------|---|--|---------------------------|---|--|---------------------------|
| Baseline period (20 years) | Average temperature before anthesis (°C) | Average temperature before anthesis (°C) | Total growth period (days) | Average solar radiation ($\text{MJ m}^{-2} \text{ day}^{-1}$) | Average Light interception ration during growth period (%) | | (kg ha^{-1}) | Total biomass production (kg ha^{-1}) | (%) |
| ۵ سال ابتدایی First 5 years | 9.67 | 18.44 | 226 | 16.24 | 45.7 | 465 | 4631 | 12912 | 38 |
| ۵ سال انتهایی Last 5 years | 9.82 | 18.53 | 223 | 16.25 | 46.8 | 470 | 4884 | 13210 | 39 |
| میزان تغییرات Variation (%) | +1.5 | +0.5 | -1.3 | +0.09 | +2.4 | +1.0 | +5.0 | +2.3 | +1 |



شکل ۳- تغییرات سالانه عملکرد دانه گندم شبیه‌سازی شده در سه خاک لومی رسی، رسی و لوم رسی شنی در منطقه تربت جام بین سال‌های ۱۳۹۶ تا ۱۳۷۷

Figure 3- Annual variations of simulated wheat grain yield in clay loam, loam and sandy clay loam soils during 1998-2017 in Torbat-e Jam



شکل ۴- متوسط بارش در فصل کشت در زمان قبل (سمت چپ) و بعد از گرده‌افشانی (سمت راست) گندم. داده‌ها متوسط ۵ سال ابتدایی و ۵ سال انتهایی دوره مورد مطالعه (۱۳۹۶-۱۳۷۷) است

Figure 4- Mean of precipitation before (left) and after (right) wheat anthesis during growth season. Data are the average of first and last 5 years in the period of baseline (1999-2017)

در حالی است که افزایش دما طی ماههای پایانی دوره رشد (اردیبهشت و خرداد) از طریق افزایش تبخیر و تعرق و ایجاد تنفسهای گرمایی سبب کاهش عملکرد می‌گردد. گزارش شده است که بارندگی در ماههای فروردین و آبان رابطه بیشتری با عملکرد گندم دیدم در منطقه خراسان دارد، به طوری که می‌توان با مقدار

نتایج تحقیقات نشان داده است که افزایش دما طی ماههای آبان، آذر، بهمن، اسفند و فروردین تاثیر مثبتی بر عملکرد گندم و جو دیدم دارد (Mosaedi *et al.*, 2015). این محققین همچنین بیان کردند که با توجه به یخنده‌های زمستانه در منطقه، افزایش دما در این ماهها برای شروع فتوسنتر و رشد مجدد مفید می‌باشد. این

به ترتیب تحت سناریوهای RCP2.6، RCP4.5، RCP6 و RCP8.5 خواهد یافت (جدول ۵). بدین ترتیب بررسی پاسخ عملکرد گندم به تغییر اقلیم نشان داد که افزایش عملکرد گندم آبی در خاک‌های با بافت رسی بیشترین و در خاک‌های لومی رسی شنی کمترین مقدار بود. به طور میانگین عملکرد دانه گندم با مختلف با در طی روند تغییر اقلیم در سناریوهای RCP2.6، RCP4.5، RCP6، RCP8.5 به ترتیب شاهد افزایش ۲۴/۸، ۱۹/۹ و ۲۵/۲ درصدی در منطقه تربت جام خواهد بود. به منظور فهم چرایی افزایش عملکرد در شرایط تغییر اقلیم نسبت به دوره پایه، کسر نور جذبی و راندمان مصرف نور گندم مورد بررسی قرار گرفت. نتایج نشان داد که میانگین کسر نور جذبی در طول دوره رشد تحت سناریوهای RCP2.6، RCP4.5، RCP6 و RCP8.5 به ترتیب حدود ۲۴/۶، ۲۴/۵، ۲۲/۹ و ۲۳/۸ درصد بیشتر از کسر نور جذبی در دوره پایه خواهد بود (شکل ۵). کاهش تعداد روزهای یخبندان و افزایش تعداد روزهای آفتابی و نهایتاً دما در طول دوره رشد می‌تواند منجر به استقرار سریع تر سطح برگ و نهایتاً افزایش پتانسیل جذب نور در شرایط تغییر اقلیم شود. بررسی راندمان مصرف نور نیز نشان داد که راندمان مصرف نور گندم در شرایط تغییر اقلیم نسبت به دوره پایه افزایش یافته بود (شکل ۵). به طوری که میانگین راندمان مصرف نور در طول دوره رشد گندم تحت سناریوهای RCP2.6، RCP4.5، RCP6 و RCP8.5 حدود ۷/۳، ۵/۵، ۷/۲ و ۸/۳ درصد بیشتر از راندمان مصرف نور در دوره پایه خواهد بود. با وجود افزایش ۱۳ تا ۲۱ درصدی غلظت دی‌اکسید کربن و افزایش حدود ۲۱ تا ۲۵ درصدی کسر نور جذبی تحت شرایط تغییر اقلیم نسبت به شرایط پایه، به دلیل تنش‌های خشکی و دمایی اتفاق افتداد در طول دوره رشد کارایی مصرف نور متناسب با آنها افزایش نیافته است. تنش سرمایی (درجه حرارت‌های ۱۴–۱۶ تا ۰/۴۴ در طول ۸۵ تا ۱۲۰ روز پس از کاشت (اواسط مرحله پنجه‌زنی) مهمترین عامل کاهش راندمان مصرف نور در طول دوره رشد رویشی و تنش‌های حرارتی و خشکی در طول دوره پر شده دانه مهمترین عوامل کاهش راندمان مصرف نور در طول دوره پر شدن دانه در شرایط تغییر اقلیم بودند (شکل‌های ۲ و ۵). با وجود تنش‌های مقطعي و کاهش طول دوره رشد گندم در شرایط تغییر اقلیم، نتایج نشان داد که افزایش راندمان مصرف نور در کل دوره رشد گندم و همچنین افزایش ساختن برداشت ناشی از بارش‌های بهاری بیشتر (شکل ۲)، منجر به افزایش عملکرد دانه در شرایط تغییر اقلیم خواهد شد. در تحقیقات متعدد افزایش دما به علت افزایش سرعت رشد و نمو مهمترین عامل گل‌دهی زودتر و کاهش طول دوره رشد گندم عنوان شده است (Einy-Naghese et al., 2013; Lv et al., 2013; Jones and Thornton, 2003) (*Zea mays L.*) و برنج ذرت (Prasad et al., 2006) (*Oriza sativa L.*) نیز در پاسخ به افزایش

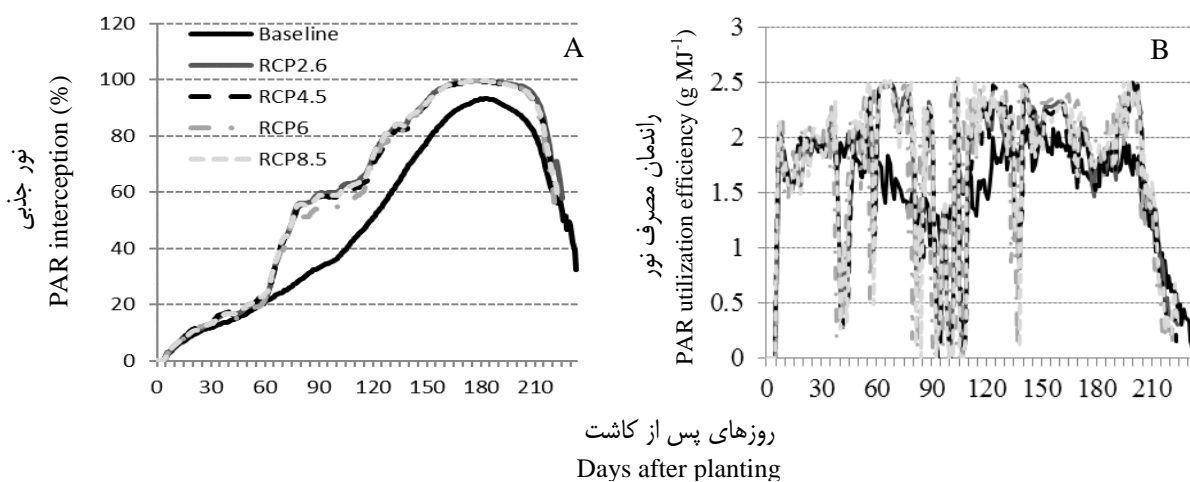
بارندگی در این دو ماه عملکرد را با دقت قابل قبولی برآورد کرد (Tatari, 2008). نتایج یک مطالعه در استرالیا نشان داد که افزایش دما مسئول ۳۰ تا ۵۰ درصد از عملکرد تولیدی گندم بوده است، زیرا روند افزایشی دما از طریق بالا بردن دمای کمینه و کاهش تعداد وقوع یخبندان بر عملکرد تأثیر مثبت داشته است (Nicholls, 1997). در چین نیز گزارش شد که عملکرد گندم آبی در صورت تأمین آب کافی افزایش و عملکرد گندم دیم با توجه به کاهش بارندگی‌ها کاهش خواهد یافت (Lv et al., 2013). کاهش طول دوره رشد و افزایش تبخیر تعرق در طول دوره رشد گندم آبی نیز در شرایط تغییر اقلیم در کشور چین گزارش شده است (Lv et al., 2013). محققین گزارش کردند که افزایش دما در شرایط تغییر اقلیم باعث تجمع سریع تر درجه روزهای رشد گندم و درنتیجه باعث افزایش سرعت توسعه کانوپی می‌شود (Kirby et al., 1990)، که این افزایش سرعت توسعه برگ و کانوپی در شرایط عدم تنش رطوبتی و عناصر غذایی می‌تواند منجر به افزایش راندمان مصرف نور جذبی گردد (Ludwig and Asseng, 2006).

تغییرات عملکرد در آینده نزدیک با فرض ثابت بودن مدیریت‌های زراعی

بررسی طول دوره رشد گندم برای یک دوره ۳۰ ساله در آینده نزدیک (۲۰۴۷–۲۰۱۸) به وسیله مدل شبیه‌سازی رشد گندم نشان داد که طول دوره رشد تا گرده‌افشانی از حدود ۱۹۶/۶ روز در دوره پایه به ۱۹۳/۷، ۱۹۳/۸ و ۱۹۲/۶ روز به ترتیب تحت سناریوهای RCP8.5 و RCP6 RCP4.5، RCP2.6 کاهش خواهد یافت (جدول ۵). طول دوره پر شدن دانه (فاصله بین گرده‌افشانی تا رسیدگی فیزیولوژیک) نیز از ۲۹ روز در دوره پایه به حدود ۲۶/۹، ۲۷/۲ و ۲۶/۹ روز، به ترتیب تحت سناریوهای RCP2.6 و RCP4.5 در اواسط مرحله پنجه‌زنی می‌شود نسبت کاهش طول دوره پر شدن دانه در مقایسه به طول دوره رشد رویشی گندم بیشتر است (جدول ۵) در مقایسه با دوره شدیدتر دما در اواسط طول دوره پر شدن (شکل ۲) در مقایسه با دوره رشد رویشی گندم قابل توجیه است. بررسی تغییرات عملکرد نیز نشان داد که عملکرد دانه در خاک لومی رسی از مقدار ۵۰۷۴ کیلوگرم در هکتار در دوره پایه به ۶۵۹۸، ۶۲۵۱ و ۶۶۷۳ کیلوگرم در هکتار به ترتیب تحت سناریوهای RCP6 RCP4.5، RCP2.6 و RCP8.5 افزایش خواهد یافت. همچنین در خاکی با بافت لومی عملکرد دانه از ۴۹۹۲ کیلوگرم در هکتار در دوره پایه به ۶۲۳۵، ۵۹۷۷ و ۶۱۸۵ کیلوگرم در هکتار به ترتیب تحت سناریوهای RCP8.5، RCP6، RCP4.5 و RCP2.6 افزایش خواهد یافت. در خاک لومی رسی شنی نیز مقدار عملکرد از ۴۲۱۲ کیلوگرم در هکتار در دوره پایه به ۴۸۹۷، ۵۰۹۵ و ۵۲۰۰ کیلوگرم در هکتار

مختلف چین نیز تغییرات اقلیمی در مناطق مختلف چین تا سال ۲۰۸۰ میلادی عمدتاً باعث کاهش عملکرد دانه گندم در زراعت دیم و افزایش عملکرد آن در گندم آبی خواهد شد (Lv *et al.*, 2013)، آنها همچنین مهمترین دلیل افزایش عملکرد دانه گندم در چین را افزایش پتانسیل جذب نور خورشید در شرایط تغییر اقلیم عنوان کردند. افزایش دما در ماه‌های سرد سال، افزایش سرعت اسیمیلاسیون دی‌اکسید کربن و کاهش انداز سرعت تعرق از جمله عوامل موثر بر افزایش پتانسیل تولید در گندم زمستانه عنوان شده است (Kang *et al.*, 2009). افزایش غلظت دی‌اکسید کربن در محصولات زراعی مختلف باعث کاهش آب مصرفی در حدود ۳ تا ۸ درصد و افزایش Kimball *et al.*, 2002؛ ۳۱ تا ۸ درصد شده است (Tao and Zhang, 2013). تاثیر همزمان افزایش دما و افزایش غلظت دی‌اکسید کربن در هر منطقه‌ای تعیین‌کننده پاسخ منطقه‌ای گیاهان به تغییر اقلیم خواهد بود، درصورتی که اثرات مثبت افزایش دی‌اکسید کربن بر اثرات منفی حاصل از تنش حرارتی پیشی بگیرد به شرط عدم تنش رطوبتی می‌تواند منجر به افزایش عملکرد شود (Cammarano *et al.*, 2006). گزارش شده است که افزایش انداز کدام همراه با افزایش دی‌اکسید کربن در محصولاً سه کربن‌هه همچون گندم منجر به افزایش عملکرد در شرایط تغییر اقلیم در کشور ایتالیا خواهد شد (Ventrella *et al.*, 2012). همچنین بیان شد که کاهش طول دوره پر شدن دانه غلات در مناطق مدیترانه‌ای ایتالیا در شرایط تنش خشکی و دمای بالا از راهکار گریز از تنش و موجب بهبود عملکرد دانه در شرایط تغییر اقلیم است.

دما گزارش شده است. لال و همکاران (Lal *et al.*, 1998) گزارش کردند که یک درجه سانتی‌گراد افزایش دما منجر به کاهش حدود ۵ روزه در زمان گلدهی گندم خواهد شد. بررسی پاسخ عملکرد گندم به تغییرات اقلیمی نشان داد که عملکرد دانه گندم دیم به دلیل افزایش تنفس‌های آبی و گرمایی کاهش و عملکرد دانه گندم آبی به شرط تأمین نیاز آبی آن افزایش خواهد داشت (Lv *et al.*, 2013; Koocheki and Nassiri, 2008). به طور مثال Koocheki and Nassiri, 2008 با استفاده از نتایج شبیه‌سازی و بر اساس سناریوهای مختلف اقلیمی به این نتیجه رسیدند که به طور متوسط عملکرد گندم دیم در کشور بین ۱۴ تا ۲۲ درصد تا سال ۲۰۵۰ کاهش می‌باشد. نتایج شبیه‌سازی عملکرد گندم آبی با مدل APSIM در استان فارس نیز نشان داد که در شرایط تغییر اقلیم تحت سناریوهای مختلف انتشار دی‌اکسید کربن عملکرد دانه گندم آبی در آینده روند افزایشی نسبت به دوره پایه خواهد داشت (Einy-Naghese *et al.*, 2015). عملکرد دانه گندم دیم و آبی در بسیاری از مناطق آسیای مرکزی (قزاقستان) در شرایط تأمین نیاز آبی گندم با وجود تغییر اقلیم تا سال ۲۰۵۰ میلادی ۱۲ درصد افزایش خواهد داشت (Sommer *et al.*, 2013). نتایج این پژوهش نشان داد که دمای بالاتر که منجر به استقرار سریع تر بوته‌ها و حفظ رشد در ماه‌های سرد سال می‌شود، مهمترین عامل افزایش جذب نور و پتانسیل تولید ماده خشک و عملکرد در شرایط تغییر اقلیم خواهد بود. بررسی تغییر اقلیم در مناطق مختلف هند نیز نشان داد که پتانسیل تولید گندم آبی تا سال ۲۰۵۰ با وجود ۳۱ درصد افزایش خواهد یافت (Abeyasingha *et al.*, 2016).



شکل ۵- کسر نور جذبی (الف) و راندمان مصرف نور (ب) در گندم در طی دوره رشد نجت شرایط پایه و سناریوهای مختلف اقلیمی در منطقه تربت‌جام

Figure 5- The ratio of light interception (A) and light use efficiency (B) in wheat during the growth period under the baseline conditions and different climate scenarios in the Torbat-e Jam

جدول ۵- میانگین متغیرهای رشدی و عملکرد دانه شبیه‌سازی شده در گندم آبی تحت چهار سناریوی تغییر اقلیم و دوره پایه
Table 5- Mean simulated variables of growth and yield in the irrigated wheat under the four scenarios of climate change and baseline period

| سناریوهای Scenarios | نوع خاک Soil type | طول دوره رشد رویشی تا گرده‌افشانی Growth period till anthesis (days) | طول دوره پر شدن دانه Length of grain fill period (days) | عملکرد دانه Grain yield (kg ha^{-1}) |
|--|--|--|---|---|
| baseline period | Clay loam | 196.5 (4.01) | 29.0 (1.8) | 5074 (725) |
| | Loam | 197.1 (4.1) | 29.0 (1.6) | 4992 (624) |
| | Sandy clay loam | 196.3 (4.2) | 29.0 (1.9) | 4212 (853) |
| | میانگین | 196.6 | 29.0 | 4759 |
| | Mean | | | |
| | Clay loam | 193.7 (2.4) | 27.2 (0.57) | 6598 (281) |
| | Loam | 193.8 (2.3) | 27.2 (0.56) | 6131 (366) |
| | Sandy clay loam | 193.8 (2.3) | 27.2 (0.56) | 5095 (534) |
| | میانگین | | | |
| | Mean | 193.8 | 27.2 | 5941 |
| تغییرات نسبت به دوره پایه | | | | |
| Variation compare to the baseline period (%) | | -1.4 | -6.2 | +24.8 |
| CPR2.6 | Clay loam | 193.7 (1.88) | 27.0 (0.66) | 6251 (316) |
| | Loam | 193.6 (1.89) | 26.9 (0.64) | 5977 (225) |
| | Sandy clay loam | 193.7 (1.87) | 26.9 (0.69) | 4897 (396) |
| | میانگین | | | |
| | Mean | 193.7 | 26.9 | 5708 |
| | تغییرات نسبت به دوره پایه | | | |
| | Variation compare to the baseline period (%) | -1.5 | -7.2 | +19.9 |
| | Clay loam | 193 (1.4) | 26(0.26) | 6394 (301) |
| | Loam | 193 (1.5) | 26(0.18) | 6235 (350) |
| | Sandy clay loam | 193 (1.5) | 26(0.18) | 5200 (516) |
| CPR4.5 | میانگین | | | |
| | Mean | 193 | 26 | 5943 |
| | تغییرات نسبت به دوره پایه | | | |
| | Variation compare to the baseline period (%) | -1.8 | -10.3 | +24.9 |
| | Clay loam | 192.6 (2.10) | 26.9 (0.41) | 6673 (434) |
| | Loam | 192.6 (2.10) | 26.9 (0.41) | 6185 (475) |
| | Sandy clay loam | 192.6 (2.10) | 26.9 (0.41) | 5023 (523) |
| | میانگین | | | |
| | Mean | 192.6 | 26.9 | 5960 |
| | تغییرات نسبت به دوره پایه | | | |
| Variation compare to the baseline period (%) | | -2.0 | -7.2 | +25.2 |
| اعداد داخل پرانتز بیانگر انحراف معیارها است. Values in parentheses are standard deviations. | | | | |

گندم کاری دنیا نیز در حدود ۴۵۰۰ تا ۶۵۰۰ (به طور متوسط ۵۵۰۰) متر مکعب گزارش شده است (Brouwer and Heibloem, 1986). بهره‌برداری بیش از حد از آب‌های زیرزمینی برای تأمین نیاز آبی گیاهان و کاهش بارندگی‌ها، در دراز مدت منجر به عدم تعادل بین ورودی و خروجی منابع آبی زیرزمینی و در نهایت کاهش این منابع آبی خواهد شد (Zhang *et al.*, 2013). از طرفی افزایش جمعیت و کاهش کیفیت آب در دراز مدت نیز باعث کاهش سهم آب قابل دسترس برای کشاورزی خواهد شد (Mo *et al.*, 2012). اگرچه کل آب مصرفی به دلیل کاهش طول دوره رشد گیاهان ممکن است در شرایط تغییر اقلیم کاهش پیدا کند، ولی سرعت تبخیر و تعرق روزانه با توجه به افزایش نیاز بخار اتمسفری با افزایش دما افزایش خواهد یافت. افزایش سرعت تبخیر و تعرق روزانه می‌تواند میزان وقوع تنش‌های کوتاه مدت در طی ساعات گرم روز و همچنین شدت تاثیرگذاری تنش‌ها بر رشد گیاهان را در شرایط کم آبی افزایش دهد (Mo *et al.*, 2017; Mo *et al.*, 2012). مو و همکاران (Mo *et al.*, 2017) گزارش کردند که میزان آب مورد نیاز در طول سال زراعی برای کشت تناوب گندم و ذرت در شرایط تغییر اقلیم افزایش خواهد یافت. آنها همچنین گزارش کردند به‌خاطر افزایش میزان تبخیر و تعرق سالانه ناشی از تغییر اقلیم، میزان ۴ تا ۲۴ درصد از آب مازاد بر تبخیر و تعرق که صرف پر شدن منابع آبی می‌شد کاسته خواهد شد. لازم به ذکر است که افزایش تبخیر و تعرق و کاهش میزان آب مصرفی ناشی از کمبود آب و آب‌شویی کمتر خاک ناشی از سیستم‌های آبیاری با راندمان بالاتر نهایتاً می‌تواند موجب شوری خاک نیز شود. افزایش شوری خاک نیز باعث کاهش ذخیره آب در خاک و کاهش رطوبت قابل دسترس گیاه و نهایتاً کاهش عملکرد گیاهان زراعی خواهد شد (Ashour and Al-Najar, 2012). آشور و النجار (Ashour and Al-Najar, 2012) با مطالعه میزان شوری در نوار غزه گزارش کردند که تاثیر تغییرات اقلیمی بر نیاز آبی گیاهان در خاک‌های با شوری بالا بسیار بیشتر از خاک‌های با شوری کمتر است. به علاوه افزایش جمعیت، تعداد نسل و تغییر عادت غذایی و توزیع جمعیت آفات گیاهی در مناطق زیر کشت در شرایط تغییر اقلیم نیز گزارش شده است (Castex *et al.*, 2018). در مطالعه حاضر اثر تغییر اقلیم بر شوری خاک و پویایی آفات گیاهی در نظر گرفته نشده است که دلیل آن به‌خاطر عدم وجود مطالعات مرتبط و همچنین عدم توانایی مدل موجود برای شبیه‌سازی عوامل ذکر شده است. در نتیجه افزایش احتمالی پتانسیل تولید دانه گندم آبی در شرایط تغییر اقلیم با مد نظر قرار دادن پارامترهای تاثیرگذاری همچون شوری خاک و افزایش احتمالی خسارت آفات حتماً کمتر از مقدار برآورد شده توسط مدل‌های رشد گیاهان زراعی خواهد بود.

تغییرات عملکرد در آینده نزدیک با فرض تغییر

مدیریت‌های زراعی

در سال‌های آتی، احتمال رخداد تنش خشکی ناشی از کاهش دسترسی به آب آبیاری به‌خاطر کاهش بارش‌ها و افزایش بی‌رویه استفاده از منابع آبی زیرزمینی در گذشته، بیشتر خواهد بود. در این شریط، افزایش راندمان مصرف آب آبیاری از جمله راهکارهای سازگاری به بحران کمبود آب در بخش کشاورزی خواهد بود. بنابراین اثر کاهش آب آبیاری قابل دسترس و از طرفی افزایش راندمان مصرف آب آبیاری نیز در فرآیند شبیه‌سازی تولید گندم مورد ارزیابی قرار گرفت. بدین منظور فرض شد که مجموع رطوبت حاصل از افزایش تبخیر و تعرق پتانسیل و کاهش میزان بارش در طول دوره رشد گندم در شرایط تغییر اقلیم در مقایسه با دوره پایه، در آینده قابل تأمین از طریق منابع آب زیرزمینی نیست. درنتیجه حدود یک میلی‌متر در هر آبیاری و در مجموع ۳۰ میلی‌متر از مقدار کل آب آبیاری مصرفی در مدل کسر گردید. بدین صورت نتایج نشان داد که در شرایط کاهش میزان آب آبیاری به میزان حدود ۳۰ میلی‌متر در طول دوره رشد گندم (معادل ۳۰۰ متر مکعب در هکتار) بدون افزایش راندمان آبیاری، میزان متوسط افزایش عملکرد گندم در خاک‌های منطقه تحت سناریوهای RCP8.5 و RCP6، RCP4.5، RCP2.6 به ترتیب حدود ۰/۸، ۰/۱، ۰/۲ و ۰/۴ درصد کمتر از سناریوی قبلی بود، که در آن میزان آب مصرفی ۳۰۰ متر مکعب بیشتر مصرف می‌شد (جدول ۶). با فرض کاهش میزان آب آبیاری و هم‌زمان افزایش ۱۵ درصدی راندمان مصرف آب آبیاری (از ۵۵ به ۷۰ درصد) میزان متوسط عملکرد گندم در خاک‌های منطقه تربت‌جام در سناریوهای RCP2.6، RCP4.5، RCP6 و RCP8.5 در طول دوره رشد گندم تا ۳۰ سال آینده و متوسط افزایش ۲/۳ و ۲/۲ و ۰/۸ درصد بیشتر از سناریوی بود که در آن ۳۰۰ متر مکعب آب بیشتر ولی با راندمان آبیاری ۵۵ درصد استفاده شده بود (جدول ۶). پس در دامنه افزایش دمای ۱/۱ تا ۱/۸ درجه سانتی‌گرادی در طول دوره رشد گندم تا ۳۰ سال آینده و متوسط افزایش ۱۳ درصدی غلظت دی‌اکسید کربن تحت سناریوهای مختلف تغییر اقلیمی و با وجود کاهش آب قابل دسترس آبیاری به طور متوسط ۳۰۰ متر مکعب در هر هکتار در طول دوره رشد گندم، افزایش متوسط حدود ۲۰ تا ۲۷ درصدی عملکرد دانه گندم در آینده نزدیک محتمل خواهد بود. با توجه به اینکه نیاز آبی گندم منطقه حدود ۴۷۰۰ متر مکعب در طول دوره رشد توسط مدل برآورد شده (جدول ۶) و مجموع آبیاری و بارندگی احتمالی تا ۳۰ سال آینده نیز نیاز آبی گندم را پوشش داده است، در نتیجه افت عملکرد چندانی ناشی از کاهش مصرف آب آبیاری در هکتار مشاهده نشده است. نیاز آبی گندم در مشهد با استفاده از لایسمتر حدود ۵۴۰۰ متر مکعب تخمین زده شده است (Ghaemi *et al.*, 2013).

جدول ۶- میانگین عملکرد گندم شبیه‌سازی شده تحت چهار سناریوی تغییر اقلیم در شرایط کاهش آب آبیاری با وجود افزایش و عدم افزایش در کارایی سیستم آبیاری

Table 6- Mean of simulated yield of the irrigated wheat under the four scenarios of climate change in terms of reducing irrigation water with increasing and no increase in the irrigation efficiency

| | | نوع خاک | کارایی آبیاری ۵۵ درصد Irrigation efficiency of 50% | کارایی آبیاری ۷۰ درصد Irrigation efficiency of 70% |
|--|--|---------|---|---|
| CPR2.6 | Clay loam | | 6585(392) | 6720(366) |
| | Loam | | 5982(395) | 6041(354) |
| | Sandy clay loam | | 5133(553) | 5270(516) |
| | میانگین | | 5900 | 6010 |
| | Mean | | | |
| | تغییرات نسبت به دوره پایه | | + 24.0 | + 26.3 |
| CPR4.5 | Variation compare to the baseline period (%) | | | |
| | Clay loam | | 6203 (307) | 6320 (331) |
| | Loam | | 5830 (238) | 5858 (203) |
| | Sandy clay loam | | 4774 (370) | 4901 (363) |
| | میانگین | | 5602 | 5693 |
| | Mean | | | |
| CPR6 | تغییرات نسبت به دوره پایه | | +17.7 | +19.6 |
| | Variation compare to the baseline period (%) | | | |
| | Clay loam | | 6391(319) | 6458(315) |
| | Loam | | 6206(383) | 6352(350) |
| | Sandy clay loam | | 5246(488) | 5345(547) |
| | میانگین | | 5948 | 6052 |
| CPR8.5 | تغییرات نسبت به دوره پایه | | + 25.0 | +27.2 |
| | Variation compare to the baseline period (%) | | | |
| | Clay loam | | 6652 (434) | 6677 (407) |
| | Loam | | 6173 (534) | 6188 (480) |
| | Sandy clay loam | | 4998 (545) | 5067 (522) |
| | میانگین | | 5941 | 5977 |
| | Mean | | | |
| | تغییرات نسبت به دوره پایه | | +24.8 | +25.6 |
| Values in parentheses are standard deviations. | | | | |

اعداد داخل پرانتز بیانگر انحراف معیارها است.

Values in parentheses are standard deviations.

نتیجه‌گیری

بررسی اثر تغییر اقلیم در منطقه تربت‌جام با استفاده از مدل رشد گیاهی نشان داد که در ۲۰ سال گذشته افزایش ۵ درصدی در عملکرد دانه گندم با فرض ثابت بودن غلظت دی‌اکسید کربن روی داده است. نتایج همچنین نشان داد که در ۳۰ سال آینده (۲۰۴۷-۲۰۱۸)، تغییر اقلیم تحت سناریوهای مختلف انتشار گازها، افزایش ۲۵ تا ۲۵ درصدی عملکرد دانه در گندم آبی را باعث خواهد شد. دمای بالاتر در شرایط تغییر اقلیم، که منجر به استقرار سریع تر بوته‌ها و حفظ رشد در ماههای سرد سال می‌شود و افزایش غلظت دی‌اکسید کربن به ترتیب مهمترین عوامل در افزایش جذب نور و راندمان مصرف نور و نهایتاً

افزایش پتانسیل تولید ماده خشک گندم خواهد بود. بررسی اثر تغییر اقلیم با فرض کاهش دسترسی به آب آبیاری به میزان ۳۰۰ متر مکعب در هکتار در طول دوره رشد گندم نیز نشان داد که افزایش راندمان مصرف آب آبیاری به میزان ۷۰ درصد باعث جبران اثر کمبود آب و حفظ افزایش پتانسیل تولید گندم به میزان ۲۰ تا ۲۷ درصد در آینده خواهد شد.

سپاسگزاری

این مقاله مستخرج از نتایج طرح تحقیقاتی اجرا شده از محل اعتبارات معاونت پژوهشی دانشگاه تربت‌جام می‌باشد.

References

1. Abeysingha, N. S., Singh, M., Islam, A., and Sehgal, V. K. 2016. Climate Change Impacts on Irrigated Rice and Wheat Production in Gomti River Basin of India: a case study. Springer Plus 5 (2): 1250-1270.
2. Ahmadi, F., and Radmanesh, F. 2014. Trend Analysis of Monthly and Annual Mean Temperature of the Northern Half of Iran Over the Last 50 Years. Journal of Water and Soil 28 (4): 855-865. (in Persian).
3. Ashour, E. K., and Al-Najar H. 2012. The Impact of Climate Change and Soil Salinity in Irrigation Water Demand in the Gaza Strip. Journal of Earth Science & Climatic Change 3 (2): 120-127.
4. Babaeyan, E., and Najafi-Nik, Z. 2011. Climate change analysis of Khorasan Razavi province using downscaling of GCM outflow during the period 2089-2020. Journal of Geography and Regional Development 15 (3): 24-32 (in Persian).
5. Brouwer, M., and Heibloem, A. E. 1986. Irrigation Water Management: Irrigation Water Needs. FAO Training manual no. 3. Food and Agriculture Organization of the United Nations, Via delle Terme di Caracalla, 00100 Rome, Italy.
6. Cammarano, D., Rötter, R. P., Asseng, S., Ewert, F., Wallach, D., Martre, P., Hatfield, J. L., Jones, J. W., Rosenzweig, C., and Wolf, J. 2016. Uncertainty of Wheat Water Use: Simulated Patterns and Sensitivity to Temperature and CO₂. Field Crops Research 198 (11): 80-92.
7. Castex, V., Beniston, M., Calanca, P., Fleury, D., and Moreau, J. 2018. Pest Management under Climate Change: The Importance of Understanding Trophic Relations. Science of the Total Environment 616 (3): 397-407.
8. Dong, Z., Pan, Z., He, Q., Wang, J., Huang, L., Pan, Y., Han, G., Xue, X., and Chen, Y. 2018. Vulnerability assessment of spring wheat production to climate change in the Inner Mongolia region of China. Ecological Indicators 85 (2): 67-78.
9. Easterling, W. E. 2011. Guidelines for adapting agriculture to climate change. PP 282-321 in Hillel, D., Rosenzweig, C. (Eds.), Handbook of Climate Change and Agroecosystems: Impacts, Adaptation and Mitigation. Imperial College Press, London, United Kingdom.
10. Einy-Naghese, H., Dehimi, R., Sofizade, S., Hagheghat, M., and Noori, O. 2015. Prediction of climate change on yield of wheat in Fars province using APSIM model. Journal of Crop production 8 (4): 203-224. (in Persian with English abstract).
11. Eyshi Rezaie, E., and Bannayan, M. 2012. Rainfed wheat yields under climate change in north eastern Iran. Meteorological Applications 19 (4): 346-354.
12. Fischer, G., Frohberg, K., Parry, M. L., and Rosenzweig, C. 1994. Climate change and world food supply, demand and trade: who benefits, who loses? Global Environmental Change 4 (1): 7-23
13. Frisch, M. 2015. Predictivism and old evidence: a critical look at climate model tuning. European Journal for Philosophy of Science 5 (2): 171-190.
14. Ghaemi, M., Raeini Sarjaz, M., and Mosavi, M. 2013. Estimating the crop coefficient and the water requirement of the Gascogne wheat by using energy balance method in Mashhad. Journal of Irrigation and Water Engineering 11 (10): 58-68
15. Intergovernmental Panel on Climate Change (IPCC). 2013. Climate change 2013: the physical science basis. In: Stocker, T. F., Qin, D., Plattner, G. K., Tignor, M., Allen, S.K., Boschung, J., Nauels, A., Xia, Y., Bex, V.,

- Midgley, P. M. (Eds.), Working Group I Contribution to the Fifth Assessment Report of the Intergovernmental Panel on Climate Change. Cambridge University Press, Cambridge, United Kingdom and New York, NY, USA.
16. Jones, P. G., and Thornton, P. K. 2003. The potential impacts of climate change on maize production in Africa and Latin America in 2055. *Global Environment Change* 13 (1): 51-59.
 17. Kang, Y., Khan Sh., and Ma, X. 2009. Climate change impacts on crop yield, crop water productivity and food security – A review. *Progress in Natural Science* 19 (12): 1665-1674.
 18. Kimball, B. A., Kobayashi, K., and Bindi, M. 2002. Responses of agricultural crops to free-air CO₂ enrichment. *Advances in Agronomy* 77 (1) 293-368.
 19. Kirby, E. J. M. 1990. Number of main shoot leaves in wheat as affected by temperature. *Journal of Agricultural Science* 45 (2): 270-279.
 20. Knutti, R. 2016. Climate model confirmation: from philosophy to predicting climate in the real world. In: Lloyd L, Winsberg E., eds. *Philosophical and Conceptual Issues in Climate Modelling*. Chicago: University of Chicago Press.
 21. Koocheki, A., and Kamali, G. A., 2010. Climate change and rainfed wheat production in Iran. *Iranian Journal of Field Crops Research* 8 (3): 508-520. (in Persian with English abstract).
 22. Koocheki, A., and Nassiri, M. 2008. Impacts of climate change and CO₂ concentration on wheat yield in Iran and adaptation strategies. *Iranian Field Crops Research* 6 (2): 139-153 (in Persian with English abstract).
 23. Lal, M., Singh, K. K., Rathore, L. S., Srinivasan, G., and Saseendran, S. A. 1998. Vulnerability of rice and wheat yields in NW India to future changes in climate. *Agricultural and Forest Meteorology* 89 (2): 101-114.
 24. Landau, S., Mitchell, R. A. C., Barnett, V., Colls, J. J., Craigon, J., Moore, K. L., and Payne, R. W. 2000. A parsimonious, multiple-regression model of wheat yield response to environment. *Agricultural and Forest Meteorology* 101 (2): 151-166.
 25. Ludwig, F., and Asseng, S. 2006. Impacts and adaptation to climate change in Western Australian wheat cropping systems. *Agricultural Systems* 90 (1): 159-179.
 26. Lv, Z., Liu, X., Cao, W., and Zhu, Y. 2013. Climate Change Impacts on Regional Winter Wheat Production in Main Wheat Production Regions of China. *Agricultural and Forest Meteorology* 172 (4): 234-248.
 27. Moss, R. H., Edmonds, J. A., Hibbard, K. A., Manning, M. R., Rose, S. K., van Vuuren, D. P., Timothy, R., Carter, T. R., Emori, S., Kainuma, M., Kram, T., Meehl, G. A., Mitchell, J. F. B., Nakicenovic, N., Riahi, K., Smith, S. J., Stouffer, R. J., Thomson, A. M., Weyant, J. P., and Wilbanks, T. W. 2010. The next generation of scenarios for climate change research and assessment. *Nature* 463 (7282):747-756.
 28. Meinshausen, M., Smith, S. J., Calvin, K., Daniel, J. S., Kainuma, M. L. T., Lamarque, J.-F., Matsumoto, K., Montzka, S. A., and van Vuuren, D. P. P. 2011. The RCP greenhouse gas concentrations and their extensions from 1765 to 2300. *Climatic Change* 109 (1): 213-241.
 29. Mo, X., Mo, Liu, S., and Lin, Z. 2012. Evaluation of an ecosystem model for a wheat-maize double cropping system over the North China Plain. *Environmental Modelling & Software* 32 (2): 61-73.
 30. Mo, X. G., Hu, S. L., Lin, Z. H., Liu, S. X., and Xia, J. 2017. Impacts of Climate Change on Agricultural Water Resources and Adaptation on the North China Plain. *Advances in Climate Change Research* 8 (2): 93-98.
 31. Mosaedi, A., Mohammadi-Moghaddam, S., and Ghabaei-Sough, M. 2015. Modelling Rain-fed Wheat and Barley based on Meteorological Features and Drought Indices. *Journal of Water and Soil* 29 (3): 730-749. (in Persian with English abstract).
 32. Nicholls, N. 1997. Increased Australian wheat yields due to recent climate trends. *Nature*. 387 (7311): 484-485.
 33. Nouri, M., Homaei, M., Bannayan, M., and Hoogenboom, G. 2016. Towards Modelling Soil Texture-Specific Sensitivity of Wheat Yield and Water Balance to Climatic Changes. *Agricultural Water Management* 177 (2): 248-63.
 34. Prasad, P. V. V., Boote, K. J., Allen, Jr., L. H., Sheehy, J. E., and Thomas, J. M. G. 2006. Species, ecotype and cultivar differences in spikelet fertility and harvest index of rice in response to high temperature stress. *Field Crops Research* 95 (2/3), 398-411.
 35. Rosenzweig, C., Jones, J. W., Hatfield, J. L., Ruane, A. C., Boote, K. J., Thorburn, P., Antle, J. M., Nelson, G. C., Porter, C., Janssen, S., Asseng, S., Basso, B., Ewert, F., Wallach, D., Baigorria, G., and Winter, J. M. 2013. The Agricultural Model Intercomparison and Improvement Project (AgMIP): protocols and pilot studies. *Agricultural Forest Meteorology* 170 (4): 166-182.
 36. Sharatt, B. S., Knight, C. W., and Wooding, F. 2003. Climatic impact on small grain production in the Subarctic, in Region of the United States. *Arctic* 56 (3): 219-226.
 37. Sommer, R., Glazirina, M., Yuldashev, T., Otarov, A., Ibraeva, M., Martynova, L., Bekenov, M., Kholov, B., Ibragimov, N., Kobilov, R., Karaev, S., M. Sultonov, F., Khasanova, M., Esanbekov, D., Mavlyanov, S., Isaev, S.,

- Abdurahimov, S., Ikramov, R., Shezdyukova, L., and Pauw E. de. 2013. Impact of Climate Change on Wheat Productivity in Central Asia. *Agriculture, Ecosystems & Environment* 178 (1): 78-99.
38. Subash, N., and Ram Mohan, H. S. 2012. Evaluation of the Impact of Climatic Trends and Variability in Rice–Wheat System Productivity Using Cropping System Model DSSAT over the Indo-Gangetic Plains of India. *Agricultural and Forest Meteorology* 164 (1): 71-81.
39. Talliee, A., and Bahramy, N. 2003. The effects of rainfall and temperature on the yield of dryland wheat in Kermanshah province. *Iranian Journal of Soil and Waters Sciences* 17 (1): 9-18.
40. Tao, F. L., and Zhang, Z. 2013. Climate change, wheat productivity and water use in the North China Plain: a new super-ensemble-based probabilistic projection. *Agric. Forest Mete Agricultural and Forest Meteorolog* 170 (1): 146-165.
41. Tatari, M. 2008. Dryland wheat yield prediction in Khorasan using climate and edaphic data by applying neural networks. PhD Dissertation, Faculty of Agriculture, Ferdowsi University of Mashhad, Iran. (in Persian with English abstract).
42. Thorburn, P. J., Boote, K. J., Hargreaves, J. N. G., Poulton, P. L., and Jones, J. W. 2015. Cropping Systems Modelling in AgMIP: A New Protocol-Driven Approach for Regional Integrated Assessments. *Handbook of Climate Change and Agroecosystems: The Agricultural Model Intercomparison and Improvement Project (AgMIP) Integrated Crop and Economic Assessments*. Imperial College Press, London, United Kingdom 80-99 pp.
43. Ventrella, D., Charfeddine, M., Moriondo, M., Rinaldi, M., and Bindi, M. 2012. Agronomic adaptation strategies under climate change for winter durum wheat and tomato in southern Italy: irrigation and nitrogen fertilization. *Regional Environmental Change* 12 (2): 407-419.
44. Wolf, J., Evans, L. G., Semenov, M. A., Eckersten, H., and Iglesias, A. 1996. Comparison of wheat simulation models under climate change. I. Model calibration and sensitivity analyses. *Climate Research* 7 (2): 253-270.
45. Zhang, G., Fei, Y., Liu, C., Feng, H., Yan, M., and Wang, J. 2013. Relationship between decline of shallow groundwater levels and irrigated agriculture on Hefei Plain of North China. *Advances Water Science* 24 (2): 228-234. (in Chinese).



Investigating the Impact of Climate Change on Irrigated Wheat Production under Torbat-e Jam Region for the Near Future

S. F. SaberAli^{1*}, H. Nastari-Nasrabadi², M. Dostkhah -Ahmadi³

Received: 21-07-2018

Accepted: 18-09-2018

Introduction: Wheat production is an important component for national food security. Studying the impact of future climate change on crop production is crucial to manage crop productivity. Improving our understanding of potential responses of the wheat plant to these changes while taking into consideration agricultural management is required for identifying best adaptation strategies. In Khorasan Razavi province, over 12% of the total cultivated wheat area is belong to Torbat-e Jam region. The current study aimed to quantify the potential impacts of climate change on irrigated wheat yield in the next 30 years for this region.

Materials and Methods: In this study, information on regional cropping systems and meteorological data to study the effects of climate change were collected and finally, the impact of climate change on irrigated wheat yield was studied using simulation approaches under different climatic scenarios. Long-term daily weather data for future was generated using MarkSim weather generator software and the past meteorological data was gathered from regional weather station. Daily weather data generated by four scenarios RCP2.6, RCP4.5, RCP6, and RCP8.5 for a 30-year period. The generated and measured daily weather data was used for running CERES-Wheat model. Finally, crop model outputs were used to interpret climate change impacts on wheat growth and production.

Results and Discussion: The average air temperature during the wheat growth period showed that temperature increased about 1.6% in the last five years compared to the first five years of the baseline 30-years period. Furthermore, the average annual precipitation for the last 5 years was 51 mm less than the first 5 years of the baseline period. The air temperature will increase about 1.1, 1.6, 1.2 and 1.8 °C during the wheat growth period for the near future (30 years) under the RCP2.6, RCP4.5, RCP6, and RCP8.5 scenarios, respectively. The precipitation over the wheat growth period will reduce by 9 and 8% under RCP4.5 and RCP8.5 scenarios, respectively. Furthermore, the precipitation over the growth period would increase by 11 and 17% under RCP2.6 and RCP6 scenarios, respectively. The simulated wheat yield by the CEREC-Wheat model showed that the grain yield increased by 5% in the first 5 years compared to the last 5 years of the baseline period (1998-2017). The biomass production and harvest index (HI) also increased by 2.3 and 1%, respectively. The increased dry matter production and HI can be due to temperature increase during the cold seasons, and more amount of precipitation during the reproductive growth. The simulated wheat growth during the near future period (2018-2047) showed that wheat growth cycle will reduce from 5 to 7 days under different emission scenarios. In the different soil textures, wheat yield under RCP2.6, RCP4.5, RCP6, and RCP8.5 scenarios will increase by 24.4, 19.9, 24.9 and 25.2%, respectively. Furthermore, the highest and the lowest yield were obtained from clay and sandy clay loam soils, respectively. Under the different emission scenarios, the mean incident light and light use efficiency during the growth period would be increased by 20.8-24.6% and 5.5-8.3%, respectively, in projected climate change as compare to baseline period. Reducing irrigation water as amount of 300 m³ ha⁻¹ and simultaneous increase in irrigation water use efficiency are possible incident scenarios for the near future. Based on these scenarios, simulations showed that grain yield increased 26.3, 19.6, 27.2 and 25.6 % under RCP2.6, RCP4.5, RCP6, and RCP8.5 emission scenarios, respectively.

Conclusions: The increased temperature and atmospheric CO₂ concentration during the next 30 years will decrease wheat growth cycle, but increase the potential biomass and grain wheat yield under the different

1 and 2- Assistant Professor, Department of horticulture science and engineering, High Educational Complex of Torbat-e Jam, Khorasan Razavi, Iran

3- Plant Production, Department of Agricultural Jihad, Torbat-e Jam, Khorasan Razavi, Iran

(*- Corresponding Author Email: sf.saberAli@yahoo.com)

emission scenarios. The results showed that the increased yield production will occur under climate change conditions, even if the available irrigation water would decrease by $300 \text{ m}^3 \text{ ha}^{-1}$.

Keywords: Diffusion scenario, DSSAT, MarkSim, Simulation, Temperature rise

Contents

| | |
|---|-----|
| Effects of Deficit Irrigation and Wild Oat (<i>Avena ludoviciana</i>) Density on Yield and Yield Components of Wheat | 13 |
| A. R. Barjasteh- A. Nezami- H. R. Khazaei- E. Zand | |
| Yield Monitoring for Wheat and Sugar beet in Khorasan Province: 2- Estimation of Yield Gap | 38 |
| A. Koocheki- M. Nassiri Mahallati | |
| Effects of Biochar on Soil Fertility and Water Use Efficiency of Black Seed (<i>Nigella sativa L.</i>) under Water Stress Conditions | 51 |
| F. Abbaspour- H. R. Asghari- P. Rezvani Moghaddam- H. Abbasdokht- J. Shabahang- A. Baig Babaei | |
| Investigation the Physiological Traits Associated with Canola (<i>Brassica napus L.</i>) Genotypes Yield Improvement | 72 |
| A. Foroughi- A. Biabani- A. Rahemi Karizaki- Gh. A. Rassam | |
| Selectivity of Cold Tolerant Chickpea Genotypes under Controlled Condition (Cold room) | 81 |
| D. Sadeghzadeh-Ahari | |
| Evaluation of Root and Grain Yield of Wheat Cultivars Affected by Phosphate Solubilizing Bacteria and Mycorrhizal Fungi under Dry land Conditions | 97 |
| R. Naseri- M. Barary- M. J. Zarea- K. Khavazi- Z. Tahmasebi | |
| An Evaluation of the Relationship between Seed Yield and Oil Percentage with Some Important Agronomic Traits in Sesame by Using Path Analysis and Principal Component Analysis | 110 |
| B. Masoudi | |
| Assessment of Tolerance to Drought Stress at Reproductive Phase in Some Wheat Genotypes (<i>Triticum aestivum L.</i>) Using Drought Tolerance and Susceptibility Indices | 121 |
| V. Bahraini Vijuyeh- M. R. Dadashi- S. M. Nazeri | |
| The Effect of Combined Application of PGPR and Mycorrhizal Fungi in Intercropping of Linseed (<i>Linum usitatissimum L.</i>) and Faba bean (<i>Vicia faba L.</i>) on Growth Characteristics and Seed Yield | 139 |
| Kh. Alizadeh- E. Rezaei-Chiyaneh- R. Amirnia- M. Barin | |
| Simulation the Effect of Climate Change on Growth Period and Yield of three Hybrids of Maize (<i>Zea mays</i>) under Low Irrigation Conditions (Case study: Moghan Plain) | 154 |
| A. A. Rostami Ajirloo- M. R. Asgharipour- A. Ganbari- M. Joudi- M. Khoramivafa | |
| Effect of Salicylic Acid Foliar Application on Barley Water use Efficiency in Cut-Off Condition | 167 |
| A. Abhari- E. Gholinezhad | |
| Investigating the Impact of Climate Change on Irrigated Wheat Production under Torbat-e Jam Region for the Near Future | 185 |
| S. F. SaberAli- H. Nastari-Nasrabadi- M. Dostkhah-Ahmadi | |

Iranian Journal of Field Crops Research

Ferdowsi University of Mashhad
Center of Excellence for Special Crops (CESC)

Vol. 17

No. 1

2019

| | | |
|-------------------------|--|---------------------------------------|
| Publisher | Ferdowsi University of Mashhad | |
| Managing | P. Rezvani Moghaddam (Agroecology) Prof., Ferdowsi University of Mashhad | |
| Editor- in-chief | H.R. Khazaei (Crop Physiology) | Prof., Ferdowsi University of Mashhad |

Editorial Board

| | | |
|-----------------------|----------------------------|--|
| Emam, Y. | Crop Physiology | Prof., Shiraz University |
| Bagheri, A. | Genetic and Plant Breeding | Prof., Ferdowsi University of Mashhad |
| Behdani, M.A. | Crop Ecology | Prof., University of Birjand |
| Banayan Awal, M. | Agro-Environment Modeling | Prof., Ferdowsi University of Mashhad |
| Jami Alahmadi, M. | Crop Physiology | Assoc. Prof., University of Birjand |
| Rahimian-Mashhadi, H. | Crop Physiology | Prof., Tehran University |
| Zamani, Gh.R. | Crop Physiology | Assoc. Prof., University of Birjand |
| Zare- Feizabadi, A. | Crop Ecology | Prof., Agriculture and Natural Resources Research Center of Khorasan Razavi Province |
| Shahriari-Ahmadi, F. | Genetic and Plant Breeding | Prof., Ferdowsi University of Mashhad |
| Kafi, M. | Crop Physiology | Prof., Ferdowsi University of Mashhad |
| Nezami, A. | Crop Physiology | Prof., Ferdowsi University of Mashhad |
| Mazaheri, D. | Crop Ecology | Prof., Tehran University |
| Khazaei, H.R. | Crop Physiology | Prof., Ferdowsi University of Mashhad |

Address: Iranian Journal of Field Crops Research Ferdowsi University of Mashhad Faculty of Agriculture
Mashhad, Iran

P. O. Box: 91775-1163

Email: cesc@ferdowsi.um.ac.ir

Web Site: <https://jcesc.um.ac.ir>



Ferdowsi University
of Mashhad

Vol. 17 No. 1

2019

Iranian Journal of

Field Crops Research

ISSN:2008-1472

Contents

| | |
|--|-----|
| Effects of Deficit Irrigation and Wild Oat (<i>Arena ludoviciana</i>) Density on Yield and Yield Components of Wheat | 13 |
| A. R. Barjasteh- A. Nezami- H. R. Khazaei- E. Zand | |
| Yield Monitoring for Wheat and Sugar beet in Khorasan Province: 2- Estimation of Yield Gap | 38 |
| A. Koocheki- M. Nassiri Mahallati | |
| Effects of Biochar on Soil Fertility and Water Use Efficiency of Black Seed (<i>Nigella sativa L.</i>) under Water Stress Conditions | 51 |
| F. Abbaspour- H. R. Asghari- P. Rezvani Moghaddam- H. Abbasdokht- J. Shabahang- A. Baig Babaci | |
| Investigation the Physiological Traits Associated with Canola (<i>Brassica napus L.</i>) Genotypes Yield Improvement | 72 |
| A. Foroughi- A. Biabani- A. Rahemi Karzaki- G. A. Rassam | |
| Selectivity of Cold Tolerant Chickpea Genotypes under Controlled Condition (Cold room) | 81 |
| D. Sadeghzadch-Ahari | |
| Evaluation of Root and Grain Yield of Wheat Cultivars Affected by Phosphate Solubilizing Bacteria and Mycorrhizal Fungi under Dry land Conditions | 97 |
| R. Naseri- M. Barary- M. J. Zarea- K. Khavazi- Z. Tahmasebi | |
| An Evaluation of the Relationship between Seed Yield and Oil Percentage with Some Important Agronomic Traits in Sesame by Using Path Analysis and Principal Component Analysis | 110 |
| B. Masoudi | |
| Assessment of Tolerance to Drought Stress at Reproductive Phase in Some Wheat Genotypes (<i>Triticum aestivum L.</i>) Using Drought Tolerance and Susceptibility Indices | 121 |
| V. Bahraini Vijuyeh- M. R. Dadashi- S. M. Nazeri | |
| The Effect of Combined Application of PGPR and Mycorrhizal Fungi in Intercropping of Linseed (<i>Linum usitatissimum L.</i>) and Faba bean (<i>Vicia faba L.</i>) on Growth Characteristics and Seed Yield ... | 139 |
| Kh. Alizadeh- E. Rezaei-Chiyaneh- R. Amirmia- M. Barin | |
| Simulation the Effect of Climate Change on Growth Period and Yield of three Hybrids of Maize (<i>Zea mays</i>) under Low Irrigation Conditions (Case study: Moghan Plain) | 154 |
| A. A. Rostami Ajirloc- M. R. Asgharipour- A. Ganbari- M. Joudi- M. Khoramivale | |
| Effect of Salicylic Acid Foliar Application on Barley Water use Efficiency in Cut-Off Condition | 167 |
| A. Abbasi- F. Gholinezhad | |
| Investigating the Impact of Climate Change on Irrigated Wheat Production under Torbat-e Jam Region for the Near Future | 185 |
| S. F. Saberli- H. Nasouri-Nasrabadi- M. Dosikhah-Ahmadi | |